arXiv:1604.00795v1 [math.AC] 4 Apr 2016

Méthodes Matricielles
Introduction à la Complexité Algébrique

ABDELJAOUED Jounaïdi
Maître Assistant
Université de Tunis

LOMBARDI Henri
Maître de Conférences
Université de Franche-Comté, Besançon

Version mise à jour en, avril 2012

Avant-Propos

L'algèbre linéaire nous a semblé être le terrain idéal pour une introduction simple et pédagogique aux outils modernes de la complexité algébrique développés durant les trois dernières décennies.

Le tournant en matière de complexité algébrique en algèbre linéaire fut la découverte par Strassen [86], en 1969, d'un fait d'une simplicité déconcertante, mais d'une portée considérable, à savoir que la multiplication de deux matrices carrées d'ordre deux pouvait se faire avec seulement sept multiplications (non commutatives) au lieu de huit dans l'anneau de base. Ce qui ramenait la complexité asymptotique de la multiplication de deux matrices carrées d'ordre n à $\mathcal{O}(n^{\log_2 7})$ au lieu de $\mathcal{O}(n^3)$ et faisait descendre pour la première fois l'exposant de n au-dessous de 3, alors que les recherches antérieures n'avaient réussi qu'à réduire le coefficient de n^3 dans le nombre d'opérations arithmétiques nécessaires pour calculer le produit de deux matrices carrées d'ordre n (cf. [18]).

Depuis, de nombreux outils ont été développés. Des notions nouvelles sont apparues comme celles de complexité bilinéaire et de rang tensoriel utilisées de manière intensive notamment par Bini, Pan, Schönhage, Strassen, Winograd et d'autres (cf. [7, 8, 19, Pan, 82, 90]) pour réduire l'exposant α : à l'heure actuelle, on sait que $\alpha < 2,376$. Il est cependant conjecturé que la borne inférieure des exposants α acceptables serait 2, c'est-à-dire que pour tout $\varepsilon > 0$ le produit de deux matrices carrées d'ordre n pourrait être calculé par un circuit arithmétique de taille $\mathcal{O}(n^{2+\varepsilon})$ et de profondeur $\mathcal{O}(\log n)$. Cependant ces méthodes, d'un intérêt théorique certain, sont à l'heure actuelle inapplicables à cause notamment de la constante démesurée que le « *grand* $\mathcal{O}$ » cache (cf. [Knu] § 4.6.4). Par contre la méthode de Strassen a pu trouver une implémentation concrète [14], et elle commence à battre la multiplication usuelle (dite conventionnelle) à partir de $n = 70$.

Le calcul parallèle est une technique, en plein développement, qui distribue un calcul à faire sur un grand nombre de processeurs travaillant au même moment, en parallèle. Pour la multiplication rapide de matrices carrées, si le nombre de processeurs disponibles est suffisamment grand (de l'ordre de $\mathcal{O}(n^\alpha)$), le temps de calcul est alors extrêmement faible (de l'ordre de $\mathcal{O}(\log n)$ pour des matrices sur un corps fini).

La multiplication rapide des matrices carrées a de nombreuses applications en algèbre linéaire sur les corps, par exemple l'inversion d'une matrice carrée peut se faire en $\mathcal{O}(n^\alpha)$ avec le même exposant. Cependant, contrairement à la multiplication rapide des matrices, ces algorithmes ne sont pas bien adaptés au *calcul parallèle*. Ainsi l'agorithme d'inversion d'une matrice carrée auquel on vient de faire allusion, et que nous étudierons dans la section 8.2, ne voit jamais son temps de calcul descendre en dessous d'un $\mathcal{O}(n \log n)$.

C'est sur la base de résultats parfois anciens qu'on a pu exhiber, en algèbre linéaire, des algorithmes bien adaptés au calcul parallèle, s'appuyant sur la multiplication rapide des matrices. Ces algorithmes sont en outre des algorithmes sans divisions (ou presque) et s'appliquent donc à des anneaux commutatifs.

C'est le cas en particulier de la méthode développée en 1847 par l'astronome français Le Verrier améliorée, un siècle plus tard, par Souriau, Frame et Faddeev qui l'utilisent pour le calcul des déterminants, du polynôme caractéristique, pour l'inversion des matrices, et pour la résolution des systèmes linéaires. Cette méthode s'est avérée porteuse d'un algorithme très bien adapté au calcul parallèle, dû à Csanky, qui en 1976 a construit, dans le cas d'un anneau commutatif contenant le corps des rationnels, une famille de circuits arithmétiques, pour calculer en $\mathcal{O}(\log^2 n)$ étapes parallèles les coefficients du polynôme caractéristique.

Une autre méthode, dite *de partitionnement* ([Gas] pp. 291–298) et attribuée à Samuelson [79] (1942), a eu un regain d'intérêt avec l'algorithme de Berkowitz [6], qui fournit un calcul rapide, parallèle et sans division, du polynôme caractéristique. Cet algorithme a permis de généraliser aux anneaux commutatifs arbitraires le résultat de Csanky concernant la complexité parallèle, par une voie tout à fait différente. Nous en présenterons une version parallèle améliorée (section 10.2).

La version séquentielle la plus simple de l'algorithme de Berkowitz n'utilise pas de produits de matrices mais seulement des produits d'une

matrice par un vecteur.
Elle s'est avérée tout à fait efficace sur les ordinateurs usuels, et particulièrement bien adaptée au cas des matrices creuses.

Nous présentons dans cet ouvrage les principaux algorithmes en algèbre linéaire, et donnons plus particulièrement un aperçu détaillé des différentes méthodes utilisées pour le calcul du polynôme caractéristique, avec des résultats récents.

L'intérêt porté au polynôme caractéristique d'une matrice est justifié par le fait que la détermination de ses coefficients suffit à connaître le déterminant de cette matrice et à calculer son adjointe. Dans le cas des corps cela permet de calculer son inverse et de résoudre les systèmes d'équations linéaires. Il réside également dans les renseignements que cela donne sur une forme quadratique, comme par exemple sa signature dans le cas du corps des réels.

Plan de l'ouvrage

Nous faisons quelques rappels d'algèbre linéaire dans le chapitre 1.

Le chapitre 2 contient quelques méthodes classiques couramment utilisées pour le calcul du polynôme caractéristique : l'algorithme de Jordan-Bareiss, la méthode de Hessenberg, la méthode d'interpolation de Lagrange, l'algorithme de Le Verrier et son amélioration par Souriau-Faddeev-Frame, la méthode de Samuelson modifiée à la Berkowitz, en général la plus efficace, la méthode de Chistov qui a des performances voisines, et enfin des méthodes reliées aux suites récurrentes linéaires, les plus efficaces sur les corps finis.

Le chapitre 3 développe le formalisme des circuits arithmétiques (ou programmes d'évaluation) pour une description formelle des calculs algébriques. Nous y expliquons la technique importante d'élimination des divisions, elle aussi inventée par Strassen.

Dans le chapitre 4 nous donnons un aperçu des principales notions de complexité les plus couramment utilisées. Ces notions constituent une tentative de théoriser les calculs sur ordinateur, leur temps d'exécution et l'espace mémoire qu'ils occupent.

Dans le chapitre 5 nous expliquons la stratégie générale « diviser pour gagner », bien adaptée au calcul parallèle. Nous donnons quelques exemples de base.

Le chapitre 6 est consacré à la multiplication rapide des polynômes, avec la méthode de Karatsuba et la Transformée de Fourier Discrète.

Le chapitre 7 est consacré à la multiplication rapide des matrices. Nous y abordons notamment les notions fondamentales de complexité bilinéaire, de rang tensoriel et de calculs bilinéaires approximatifs.

Le chapitre 8 est consacré à des algorithmes dans lesquels intervient la multiplication rapide des matrices, mais sans que l'ensemble de l'algorithme soit bien adapté au calcul parallèle.

On obtient ainsi en général les procédures les plus rapides connues en ce qui concerne le *temps séquentiel asymptotique*, pour la plupart des problèmes classiques liés à l'algèbre linéaire. Ces performances sont en général obtenues uniquement sur les corps. Seule la dernière section du chapitre, consacrée à l'algorithme de Kaltofen-Wiedemann concerne le calcul sur un anneau commutatif arbitraire.

Le chapitre 9 présente les parallélisations de la méthode de Le Verrier, qui s'appliquent dans tout anneau commutatif où les entiers sont non diviseurs de zéro et où la division par un entier, quand elle est possible, est explicite.

Le chapitre 10 est consacré aux méthodes parallèles de Chistov et de Berkowitz qui s'appliquent en toute généralité.

Le chapitre 11 présente tout d'abord quelques tableaux récapitulatifs des complexités des différents algorithmes étudiés, séquentiels ou parallèles, pour le calcul du déterminant et celui du polynôme caractéristique. Nous donnons ensuite les résultats des tests expérimentaux concernant quelques méthodes séquentielles du calcul du polynôme caractéristique. Ces résultats montrent des performances supérieures pour les algorithmes de Chistov et de Berkowitz avec un léger avantage pour ce dernier.

Les deux derniers chapitres sont consacrés aux travaux de Valiant sur un analogue algébrique de la conjecture $\mathcal{P} \neq \mathcal{NP}$, dans lesquels le déterminant et le permanent occupent une place centrale. Bien qu'on ait très peu d'idées sur la manière de résoudre la conjecture de Valiant $\mathcal{VP} \neq \mathcal{VNP}$, celle-ci semble quand même moins hors de portée que la conjecture algorithmique dont elle s'inspire.

L'annexe contient les codes Maple des algorithmes expérimentés. Nous avons choisi le logiciel de Calcul Formel Maple essentiellement pour des raisons de commodité. Le langage de programmation qui lui est rattaché est proche de celui de nombreux autres langages classiques, permettant de définir et de présenter de manière lisible et efficace les algorithmes considérés. Les autres langages de calcul formel généralistes auraient pu aussi bien faire l'affaire. Il n'y aura d'ailleurs aucun mal à

implémenter dans un de ces langages les algorithmes présentés dans ce livre. Une liste récapitulative en est donnée dans la table page 355.

L'esprit dans lequel est écrit cet ouvrage

Nous avons en général donné des preuves complètes de nos résultats, en accordant une grande place aux exemples. Mais il nous est aussi arrivé de ne donner qu'une idée de la preuve, ou de ne la donner complètement que sur un exemple, ou de renvoyer à une référence. Nous assumons très consciemment ce que nous avons sacrifié de la rigueur formelle au profit de la compréhension de « ce qui se passe ». Nous avons essayé de donner dessins et figures pour illustrer notre texte, tout en ayant conscience d'en avoir fait bien trop peu.

Nous avons aussi essayé de rapprocher cet exposé de la pratique concrète des algorithmes, en développant chaque fois que nous l'avons pu des calculs de complexité dans lesquels nous explicitons les constantes « cachées dans le grand $\mathcal{O}$ », sans la connaissance desquelles les résultats théoriques n'ont pas de réelle portée pratique, et peuvent être trompeurs.

Le niveau requis pour lire ce livre est seulement une bonne familiarité avec l'algèbre linéaire. Le mieux serait évidemment d'avoir lu auparavant cette perle rare qu'est le livre de Gantmacher [Gan]. On peut recommander aussi le grand classique (toujours disponible) [LT] de Lancaster & Tismenetsky. Il est naturellement préférable, mais pas indispensable, d'avoir une idée des concepts de base de la complexité binaire pour lesquels nous recommandons les ouvrages [BDG] et [Ste].

Enfin, sur les algorithmes en général, si vous n'avez pas lu le livre de Knuth [Knu] parce que vous comprenez mal l'anglais ou que vous êtes plutôt habitués à la langue de Voltaire, avant même de commencer la lecture de notre ouvrage, écrivez une lettre à tous les éditeurs scientifiques en leur demandant par quelle aberration la traduction en français n'a pas encore été faite.

Pour aller au delà en Calcul Formel nous recommandons les livres de von zur Gathen & Gerhard [GG], Bini & Pan [BP], Bürgisser, Clausen & Shokrollahi [BCS], Bürgisser [Bur] et le Handbook of Computer Algebra [GKW].

Nous espérons que notre livre contribuera à mieux faire saisir l'importance de la complexité algébrique à un moment où les mathématiques constructives et les solutions algorithmiques se développent de manière rapide et commencent à occuper de plus en plus une place essentielle

dans l'enseignement des Mathématiques, de l'Informatique et des Sciences de l'ingénieur.

Remerciements Nous remercions Marie-Françoise Roy et Gilles Villard pour leur relecture attentive et leurs suggestions pertinentes, ainsi que Peter Bürgisser pour son aide concernant les deux derniers chapitres. Et enfin François Pétiard qui nous a fait bénéficier avec une patience infinie de son expertise en LaTeX.

Table des matières

Avant-Propos **i**

Table des matières : vous y êtes ! **vii**

1 Rappels d'algèbre linéaire **1**

1.1 Quelques propriétés générales 1

1.1.1 Notations 1

1.1.2 Formule de Binet-Cauchy 4

1.1.3 Rang, déterminant et identités de Cramer 5

1.1.4 Identités de Sylvester 9

1.2 Polynôme caractéristique 10

1.2.1 Matrice caractéristique adjointe 11

1.2.2 Formule de Samuelson 13

1.2.3 Valeurs propres de $f(A)$ 14

1.3 Polynôme minimal 16

1.3.1 Sous-espaces de Krylov 16

1.3.2 Cas de matrices à coefficients dans $\mathbb{Z}$. 20

1.4 Suites récurrentes linéaires 21

1.4.1 Polynôme générateur, opérateur de décalage 21

1.4.2 Matrices de Hankel 23

1.5 Polynômes symétriques et relations de Newton 25

1.6 Inégalité de Hadamard et calcul modulaire 30

1.6.1 Normes matricielles 30

1.6.2 Théorème chinois et applications 32

1.7 Résolution uniforme des systèmes linéaires 34

1.7.1 L'inverse de Moore-Penrose 35

1.7.2 Généralisation sur un corps arbitraire 42

2 Algorithmes de base en algèbre linéaire **51**
2.1 Méthode du pivot de Gauss 53
2.1.1 Transformations élémentaires 53
2.1.2 La LU - décomposition 56
2.1.3 Recherche de pivot non nul 62
2.2 Méthode de Jordan-Bareiss 65
2.2.1 Formule de Dodgson-Jordan-Bareiss 66
2.2.2 Méthode de Jordan-Bareiss modifiée 70
2.2.3 La méthode de Dodgson 71
2.3 Méthode de Hessenberg 74
2.4 Méthode d'interpolation de Lagrange 81
2.5 Méthode de Le Verrier et variantes 82
2.5.1 Le principe général 82
2.5.2 Méthode de Souriau-Faddeev-Frame 84
2.5.3 Méthode de Preparata & Sarwate 88
2.6 Méthode de Samuelson-Berkowitz 90
2.6.1 Principe général de l'algorithme 90
2.6.2 Version séquentielle 91
2.7 Méthode de Chistov 93
2.7.1 Le principe général 93
2.7.2 La version séquentielle 95
2.8 Méthodes reliées aux suites récurrentes linéaires 97
2.8.1 L'algorithme de Frobenius 98
2.8.2 Algorithme de Berlekamp/Massey 108
2.8.3 Méthode de Wiedemann 109

3 Circuits arithmétiques **111**
3.1 Circuits arithmétiques et programmes d'évaluation 112
3.1.1 Quelques définitions 112
3.1.2 Circuit arithmétique vu comme un graphe 116
3.1.3 Circuits arithmétiques homogènes 118
3.1.4 Le problème des divisions 119
3.2 Élimination des divisions à la Strassen 120
3.2.1 Le principe général 121
3.2.2 Coût de l'élimination des divisions 125
3.3 Calcul des dérivées partielles 126

4 Notions de complexité **129**
4.1 Machines de Turing et Machines à Accès Direct 129
4.2 Complexité binaire, les classes $\mathcal{P}$, $\mathcal{NP}$ et $\#\mathcal{P}$ 134
4.2.1 Calculs faisables 134
4.2.2 Quand les solutions sont faciles à tester 135
4.2.3 Problèmes de comptage 141
4.3 Complexités arithmétique et binaire 142
4.3.1 Complexité arithmétique 142
4.3.2 Complexité binaire 143
4.4 Familles uniformes de circuits 149
4.5 Machines parallèles à accès direct 151
4.5.1 Une idéalisation des calculs parallèles 152
4.5.2 PRAM-complexité et Processeur-efficacité 153
4.5.3 Le principe de Brent 156

5 Diviser pour gagner **159**
5.1 Le principe général 159
5.2 Circuit binaire équilibré 162
5.3 Calcul parallèle des préfixes 163

6 Multiplication rapide des polynômes **171**
6.1 Méthode de Karatsuba 172
6.2 Transformation de Fourier discrète usuelle 175
6.3 Transformation de Fourier discrète rapide 177
6.3.1 Cas favorable 177
6.3.2 Cas d'un anneau commutatif arbitraire 180
6.4 Produits de matrices de Toeplitz 183

7 Multiplication rapide des matrices **185**
7.1 Analyse de la méthode de Strassen 187
7.1.1 La méthode et sa complexité 187
7.1.2 Une famille uniforme de circuits arithmétiques . . 191
7.2 Inversion des matrices triangulaires 195
7.3 Complexité bilinéaire 197
7.3.1 Rang tensoriel d'une application bilinéaire 198
7.3.2 Exposant de la multiplication des matrices carrées 204
7.3.3 Complexités bilinéaire et multiplicative 205
7.3.4 Extension du corps de base 207
7.4 Calculs bilinéaires approximatifs 209
7.4.1 Méthode de Bini 209

7.4.2 Une amélioration décisive de Schönhage 215
7.4.3 Sommes directes d'applications bilinéaires 221
7.4.4 L'inégalité asymptotique de Schönhage 225

8 Algèbre linéaire séquentielle rapide 229
8.1 L'Algorithme de Bunch & Hopcroft 231
8.2 Calcul du déterminant et de l'inverse 235
8.3 Forme réduite échelonnée en lignes 236
8.4 Méthode de Keller-Gehrig 243
8.5 Méthode de Kaltofen-Wiedemann 245

9 Parallélisations de la méthode de Leverrier 255
9.1 Algorithme de Csanky 255
9.2 Amélioration de Preparata et Sarwate 259
9.3 Amélioration de Galil et Pan 266

10 Polynôme caractéristique sur un anneau arbitraire 271
10.1 Méthode générale de parallélisation 271
10.2 Algorithme de Berkowitz amélioré 272
10.3 Méthode de Chistov 283
10.4 Applications des algorithmes 287

11 Résultats expérimentaux 291
11.1 Tableaux récapitulatifs des complexités 291
11.2 Présentation des tests 295
11.3 Tableaux de Comparaison 296

12 Le déterminant et les expressions arithmétiques 303
12.1 Expressions, circuits et descriptions 303
12.2 Parallélisation des expressions et des circuits 309
12.3 La plupart des polynômes sont difficiles à évaluer 313
12.4 Le caractère universel du déterminant 315

13 Le permanent et la conjecture $\mathcal{P} \neq \mathcal{NP}$ 321
13.1 Familles d'expressions et de circuits booléens 321
13.2 Booléen versus algébrique 328
13.2.1 Évaluation booléenne des circuits arithmétiques . 328
13.2.2 Simulation algébrique des circuits et expressions booléennes 330
13.2.3 Formes algébriques déployées 333
13.3 Complexité binaire versus complexité booléenne 335

13.4 Le caractère universel du permanent 339
13.5 La conjecture de Valiant 340

Annexe : codes Maple **343**

Tables, bibliographie, index. **355**
Liste des algorithmes, circuits et programmes d'évaluation . . . 355
Liste des Figures 357
Bibliographie 359
Index des notations 371
Index des termes 371

1. Rappels d'algèbre linéaire

Introduction

Ce chapitre est consacré à des rappels d'algèbre linéaire insistant sur quelques identités algébriques liées aux déterminants et polynômes caractéristiques. Notre but est double. D'une part fixer les notations et donner les formules qui justifieront les algorithmes de calcul de ces objets. D'autre part, donner une idée de l'étendue des applications qui pourront être tirées de ces calculs.

La section 1.1 fixe les notations et rappelle la formule de Binet-Cauchy ainsi que les identités de Cramer et de Sylvester. La section 1.2 est consacrée au polynôme caractéristique et à la formule de Samuelson. Dans la section 1.3 nous étudions le polynôme minimal et les sous-espaces de Krylov. La section 1.4 est consacrée aux suites récurrentes linéaires. Nous rappelons les identités liées aux sommes de Newton dans la section 1.5. La section 1.6 aborde les méthodes du calcul modulaire. Enfin la section 1.7 est consacrée à l'inverse de Moore-Penrose et à ses généralisations.

1.1 Quelques propriétés générales

1.1.1 Notations

Dans cet ouvrage $\mathcal{A}$ est un anneau commutatif et unitaire[1] et $\mathcal{K}$ un corps commutatif. Pour deux entiers positifs quelconques m et n, $\mathcal{A}^{m\times n}$ désigne l'ensemble des matrices de m lignes et n colonnes à coefficients dans $\mathcal{A}$.

1. Si $\mathcal{A}$ n'est pas unitaire, on peut toujours le plonger dans un anneau avec unité (cf. [Jac]).

Soit $A = (a_{ij}) \in \mathcal{A}^{n\times n}$ une matrice carrée d'ordre $n \geq 2$ à coefficients dans $\mathcal{A}$ et soit un entier r $(1 \leq r \leq n)$. On adopte les notations suivantes :

- I_r est la matrice unité d'ordre r.
- $\det(A)$ désigne le *déterminant* de A : par définition, c'est le polynôme en les a_{ij} défini par la même formule que dans le cas d'une matrice à coefficients dans un corps, autrement dit $\det(A)$ est donné par :

$$\det(A) = \sum_{\sigma} \varepsilon(\sigma) \prod_{i=1}^{n} a_{i,\sigma(i)}$$

  où σ parcourt l'ensemble des permutations de l'ensemble d'indices $\{1, \ldots, n\}$ et où $\varepsilon(\sigma)$ est la signature de la permutation σ. Lorsque cela ne prête pas à confusion, nous noterons parfois $|A|$ au lieu de $\det(A)$ le déterminant de A.
- $\mathrm{Tr}(A)$ est la *trace* de A, c'est-à-dire la somme de ses éléments diagonaux.
- La *comatrice* de A est la matrice $(d_{ij})_{1\leq i,j\leq n}$ où chaque d_{ij} est le cofacteur de l'élément en position (i, j) dans A, c'est-à-dire

$$d_{ij} = (-1)^{i+j} \det(B_{ij})$$

  où B_{ij} est la matrice obtenue à partir de A en supprimant la i-ème ligne et la j-ème colonne.
- On a alors les formules de développement de $\det(A)$ (suivant la i-ème ligne ou suivant la j-ème colonne) valables sur un anneau commutatif arbitraire :

$$\det(A) = \sum_{k=1}^{n} a_{ik}\, d_{ik} = \sum_{k=1}^{n} a_{kj}\, d_{kj} \quad (1 \leq i, j \leq n)\,.$$

- $\mathrm{Adj}(A)$ désigne la matrice adjointe de A. C'est la transposée de la comatrice de A. Rappelons qu'elle vérifie la double égalité :

$$A\,\mathrm{Adj}(A) = \mathrm{Adj}(A)\,A = \det(A)\,\mathrm{I}_n\,. \tag{1.1}$$

Maintenant $A = (a_{ij}) \in \mathcal{A}^{m\times n}$ désigne une matrice quelconque à coefficients dans $\mathcal{A}$ et r un entier $\in \{1, \ldots, \min(m, n)\}$.

- Un *mineur* d'ordre r de A est le déterminant d'une matrice carrée extraite de A en supprimant $m - r$ lignes et $n - r$ colonnes.

- $A_{i..j,h..k}$ désigne la matrice extraite de A sur les lignes de i à j et sur les colonnes de h à k ($i \leq j \leq m$, $h \leq k \leq n$). Si $j-i=k-h$ on note $a_{i..j}^{h..k} = \det(A_{i..j,h..k})$ le mineur correspondant.
- Plus généralement, si $\alpha = \{\alpha_1, \ldots, \alpha_r\}$ avec $1 \leq \alpha_1 < \cdots < \alpha_r \leq m$ et $\beta = \{\beta_1, \ldots, \beta_s\}$ avec $1 \leq \beta_1 < \cdots < \beta_s \leq n$ on notera $A_{\alpha,\beta}$ la matrice extraite de A sur les lignes (resp. les colonnes) dont les indices sont en ordre croissant dans α (resp. dans β).
- Les *sous-matrices principales* sont les sous-matrices dont la diagonale principale est extraite de celle de A. On appellera *mineurs principaux de* A les déterminants des sous-matrices principales de A. Comme cas particulier, A_r désigne la sous-matrice $A_{1..r,1..r}$: nous dirons que c'est une *sous-matrice principale dominante* de A. Son déterminant est appelé un *mineur principal dominant.*
- $A_{i,h..k} = (a_{ih}, \ldots, a_{ik}) = A_{i..i,h..k}$ est la matrice-ligne extraite de la i-ème ligne de A sur les colonnes de h à k. On pose de même $A_{i..j,h} = {}^{\mathrm{t}}(a_{ih}, \ldots, a_{jh}) = A_{i..j,h..h}$.
- On définit $a_{ij}^{(r)} = \begin{vmatrix} A_r & A_{1..r,j} \\ A_{i,1..r} & a_{ij} \end{vmatrix}$ pour tous entiers r, i, j tels que $1 \leq r \leq \min(m,n)-1$ et $r < i \leq m$, $r < j \leq n$, le mineur d'ordre $r+1$ de A obtenu en bordant la sous-matrice principale dominante A_r par les coefficients correspondants de la i-ème ligne et de la j-ème colonne de A, ce qui fait par exemple que $|A_r| = a_{rr}^{(r-1)}$. Par convention on pose $a_{ij}^{(0)} = a_{ij}$ et $a_{00}^{(-1)} = 1$.

Parmi les propriétés du déterminant qui restent valables dans un anneau commutatif arbitraire, on doit citer en premier la linéarité par rapport à chaque ligne et par rapport à chaque colonne. La deuxième propriété la plus importante est son caractère *alterné*, c'est-à-dire qu'il s'annule si deux lignes ou si deux colonnes sont égales. On déduit de ces propriétés que le déterminant d'une matrice carrée ne change pas si on ajoute à une ligne (resp. à une colonne) une combinaison linéaire des autres lignes (resp. des autres colonnes).

Plus généralement, on peut citer toutes les propriétés qui relèvent d'identités algébriques. Par exemple l'égalité $\det(AB) = \det(A)\det(B)$, ou encore le théorème de Cayley-Hamilton (qui peut être vu, pour une matrice carrée d'ordre n, comme une famille de n^2 identités algébriques). Ces identités sont vérifiées lorsque les coefficients sont réels, elles sont donc vraies dans tous les anneaux commutatifs (un polynôme en k variables à coefficients entiers est identiquement nul si et seulement si il s'annule sur $\mathbb{Z}^k$).

1.1.2 Formule de Binet-Cauchy

C'est une formule qui généralise l'égalité $\det(AB) = \det(A)\det(B)$ au cas d'un produit AB avec $A \in \mathcal{A}^{m\times n}$ et $B \in \mathcal{A}^{n\times m}$ ($m < n$) : pour chaque m-uple $\beta = \beta_1, \ldots, \beta_m$ extrait en ordre croissant de $\{1, \ldots, n\}$, on considère $A_{1..m,\beta}$ la matrice extraite de A sur les colonnes $\beta_1, \ldots, \beta_m$ et $B_{\beta,1..m}$ la matrice extraite[2] de B sur les lignes $\beta_1, \ldots, \beta_m$, alors on a la *formule de Binet-Cauchy* (cf. [Gan] p. 9) :

$$\det(AB) = \sum\nolimits_{\beta} \det(A_{1..m,\beta}) \det(B_{\beta,1..m}) \tag{1.2}$$

(la somme comporte C_n^m termes).

Pour le vérifier, on pose $A = (a_{ij}) \in \mathcal{A}^{m\times n}$, $B = (b_{ij}) \in \mathcal{A}^{n\times m}$ et on utilise les propriétés élémentaires des déterminants pour obtenir la suite d'égalités immédiates suivantes (avec des notations évidentes) :

$$\det(AB) = \begin{vmatrix} \sum_{i_1=1}^n a_{1,i_1} b_{i_1,1} & \ldots & \sum_{i_m=1}^n a_{1,i_m} b_{i_m,m} \\ \vdots & \vdots & \vdots \\ \sum_{i_1=1}^n a_{m,i_1} b_{i_1,1} & \ldots & \sum_{i_m=1}^n a_{m,i_m} b_{i_m,m} \end{vmatrix}$$

$$= \sum_{1\le i_1\,,\,i_2\,,\,\ldots\,,i_m\le n} \begin{vmatrix} a_{1,i_1} b_{i_1,1} & \ldots & a_{1,i_m} b_{i_m,m} \\ \vdots & \vdots & \vdots \\ a_{m,i_1} b_{i_1,1} & \ldots & a_{m,i_m} b_{i_m,m} \end{vmatrix}$$

$$= \sum_{1\le i_1\,,\,i_2\,,\,\ldots\,,\,i_m\le n} b_{i_1,1}\times b_{i_2,2}\times\cdots\times b_{i_m,m}\times \begin{vmatrix} a_{1,i_1} & \ldots & a_{1,i_m} \\ \vdots & \vdots & \vdots \\ a_{m,i_1} & \ldots & a_{m,i_m} \end{vmatrix}.$$

Parmi les n^m termes de cette somme, il n'y a que $m!\,\mathrm{C}_n^m$ termes qui risquent de ne pas être nuls[3]. Ce sont, pour chacun des C_n^m multi-indices $\beta = (\,\beta_1,\, \beta_2,\, \ldots,\, \beta_m\,)$ avec $1 \le \beta_1 < \beta_2 < \ldots < \beta_m \le n$, les $m!$ termes correspondant aux multi-indices $(i_1,\, i_2,\, \ldots,\, i_m)$ tels que :

$$\{\, i_1,\, i_2,\, \ldots,\, i_m \,\} = \{\, \beta_1,\, \beta_2,\, \ldots,\, \beta_m \,\}\,.$$

2. $A_{1..m,\beta}$ et $B_{\beta,1..m}$ sont des matrices carrées d'ordre m.

3. à cause du fait qu'un déterminant ayant deux colonnes identiques est nul ; c'est d'ailleurs la raison simple pour laquelle $\det(AB) = 0$ lorsque $m > n$.

On regroupe ces termes en C_n^m sommes partielles. Chaque somme partielle correspond à une valeur β du multi-indice $(\beta_1, \beta_2, \ldots, \beta_m)$ et comporte $m!$ termes dans lesquels on peut mettre en facteur :

$$\begin{vmatrix} a_{1,\beta_1} & \ldots & a_{1,\beta_m} \\ \vdots & \vdots & \vdots \\ a_{m,\beta_1} & \ldots & a_{m,\beta_m} \end{vmatrix} = \det(A_{1..m,\beta}) .$$

Il suffit alors d'utiliser la définition du déterminant de la matrice $B_{\beta,1..m}$ pour voir que la somme partielle correspondant au multi-indice β n'est autre que : $\begin{vmatrix} b_{\beta_1,1} & \ldots & b_{\beta_1,m} \\ \vdots & \vdots & \vdots \\ b_{\beta_m,1} & \ldots & b_{\beta_m,m} \end{vmatrix} \det(A_{1..m,\beta})$. Ce qui donne :

$$\det(AB) = \sum_{1 \leq \beta_1 < \beta_2 < \ldots < \beta_m \leq n} \det(A_{1..m,\beta}) \times \det(B_{\beta,1..m}) . \qquad \square$$

1.1.3 Rang, déterminant et identités de Cramer

Une matrice carrée est dite *régulière* si elle est inversible, c'est-à-dire si son déterminant est inversible dans $\mathcal{A}$, et *singulière* si son déterminant est nul. Une matrice (non nécessairement carrée) est dite *fortement régulière* si toutes ses sous-matrices principales dominantes sont régulières (*i.e.* tous les mineurs principaux dominants sont inversibles dans l'anneau de base considéré).

Lorsque $\mathcal{A}$ est supposé *intègre*, on désignera par $\mathrm{rg}(M)$ le rang d'une matrice M quelconque à coefficients dans $\mathcal{A}$, c'est-à-dire l'ordre maximum des mineurs non nuls de M.

Utilisant les notations ci-dessus, nous rappelons maintenant quelques résultats élémentaires d'algèbre linéaire dont certains seront accompagnés de brèves démonstrations.

Comme nous travaillerons souvent avec un anneau commutatif arbitraire $\mathcal{A}$, nous aurons besoin de la notion de $\mathcal{A}-$*module*, qui est la généralisation aux anneaux de la notion d'espace vectoriel sur un corps. Un $\mathcal{A}-$module M est par définition un groupe abélien (la loi de groupe est notée $+$) muni d'une loi externe $\mathcal{A} \times M \to M$, $(a, x) \mapsto a.x$ qui vérifie les axiomes usuels (pour tous $a, b \in \mathcal{A}$ et $x, y \in M$) :

$$\begin{aligned} 1.x &= x \\ a.(b.x) &= (ab).x \\ (a+b).x &= a.x + b.x \\ a.(x+y) &= a.x + a.y \end{aligned}$$

Nous ne considérerons dans cet ouvrage que des *modules libres de dimension finie*, c'est-à-dire isomorphes à $\mathcal{A}^n$, ou parfois le module $\mathcal{A}^{\mathbb{N}}$.

Dans le cas où il est intègre, l'anneau $\mathcal{A}$ peut être plongé dans son corps des fractions qui est noté $\mathcal{F}_{\mathcal{A}}$, et tout $\mathcal{A}-$module libre de dimension finie (isomorphe à un module $\mathcal{A}^n$) peut être considéré comme inclus dans un $\mathcal{F}_{\mathcal{A}}-$espace vectoriel (isomorphe à $(\mathcal{F}_{\mathcal{A}})^n$). Le rang d'une matrice est alors égal à son rang usuel si on considère que ses coefficients sont dans le corps $\mathcal{F}_{\mathcal{A}}$.

Dans la suite, chaque fois que l'hypothèse d'intégrité sur $\mathcal{A}$ doit intervenir, elle sera clairement soulignée.

Propriété 1.1.1 *Soit $\mathcal{A}$ un anneau intègre. Pour toutes matrices carrées M et N d'ordre $n \geq 2$, à coefficients dans $\mathcal{A}$, on a :*
(i) $MN = 0 \implies \operatorname{rg}(M) + \operatorname{rg}(N) \leq n$;
(ii) $\operatorname{Adj}(M) = 0 \iff \operatorname{rg}(M) \leq n-2$.

Preuve. (i) provient du fait que si u et v sont deux endomorphismes d'un $\mathcal{F}_{\mathcal{A}}-$espace vectoriel de dimension finie n, alors : $\dim(\operatorname{Im} u) + \dim(\operatorname{Ker} u) = n$ et $(u \circ v = 0 \Rightarrow \operatorname{Im} v \subseteq \operatorname{Ker} u)$.
(ii) découle du fait que si $\operatorname{Adj}(M) = 0$, tous les mineurs d'ordre $n-1$ de M sont nuls, et réciproquement. □

Propriété 1.1.2 *$\mathcal{A}$ étant un anneau intègre, le rang de la matrice adjointe de toute matrice carrée* singulière *$M \in \mathcal{A}^{n\times n}$ $(n \geq 2)$ est au plus égal à 1, et on a les équivalences :*

$$\operatorname{Adj}(M) \neq 0 \iff \operatorname{rg}(M) = n-1 \iff \operatorname{rg}(\operatorname{Adj}(M)) = 1.$$

Preuve. C'est une conséquence de la propriété 1.1.1 sachant que, par hypothèse, $M \operatorname{Adj}(M) = \det(M)\, \mathrm{I}_n = 0$. □

Propriété 1.1.3 *Soit $\mathcal{A}$ un anneau commutatif arbitraire. Pour tous entiers $n, p \geq 2$ et toutes matrices $P \in \mathcal{A}^{p\times n}$, $M \in \mathcal{A}^{n\times n}$ et $Q \in \mathcal{A}^{n\times p}$, on a l'implication :*

$$\det(M) = 0 \implies \det(P \operatorname{Adj}(M)\, Q) = 0$$

Preuve.
• Supposons tout d'abord l'anneau $\mathcal{A}$ intègre.
La propriété (1.1.2) nous permet alors d'écrire :
$\det(M) = 0 \Rightarrow \operatorname{rg}(\operatorname{Adj}(M)) \leq 1 \Rightarrow \operatorname{rg}(P \operatorname{Adj}(M)\, Q) \leq 1 < p$
et de conclure.

• Voyons maintenant le cas où $\mathcal{A}$ n'est pas intègre, et commençons par le cas générique. Considérons pour cela l'anneau $\mathbb{Z}[a_1, a_2, \ldots, a_t] = \mathbb{Z}[\underline{a}]$ où $t = n^2 + 2np$ et où les a_i sont des variables représentant les entrées des matrices M, P et Q. Il est bien connu que $\det(M) \in \mathbb{Z}[\underline{a}]$ est un polynôme irréductible dans cet anneau et que donc $\mathbb{Z}[\underline{a}]\,/\langle\det(M)\rangle$ est un anneau intègre. Comme dans cet anneau $\det(M) = 0$, on est ramené au cas précédent et l'on a : $\det(P\,\mathrm{Adj}(M)\,Q) = 0$ dans $\mathbb{Z}[\underline{a}]\,/\langle\det(M)\rangle$. Ceci prouve l'existence d'un polynôme $f(\underline{a}) \in \mathbb{Z}[\underline{a}]$ vérifiant l'identité :

$$\det(P\,\mathrm{Adj}(M)\,Q) = f(\underline{a})\,\det(M)$$

(le polynôme $f(\underline{a})$ peut être calculé par un algorithme de division exacte dans l'anneau $\mathbb{Z}[\underline{a}]$). Cette identité algébrique est vérifiée dans tout anneau commutatif, ce qui permet de conclure dans le cas général. □

Proposition 1.1.4 (Identités de Cramer) *Soit $\mathcal{A}$ un anneau commutatif arbitraire et $A \in \mathcal{A}^{m\times n}$. Notons C_j la j-ème colonne de A ($C_j = A_{1..m,j}$) et B_j la matrice extraite de A en supprimant la colonne C_j.*

1. *Si $n = m + 1$ et si $\mu_j = \det(B_j)$ on a :*

$$\sum\nolimits_{j=1}^{n} (-1)^j\,\mu_j\,C_j \;=\; 0 \tag{1.3}$$

2. *Supposons $n \leq m$ et que tous les mineurs d'ordre n de A sont nuls. Soit $\alpha = \alpha_1, \ldots, \alpha_{n-1}$ extrait en ordre croissant de $\{1, \ldots, m\}$. Soit $D_j = (B_j)_{\alpha,1..n-1} \in \mathcal{A}^{(n-1)\times(n-1)}$ la matrice extraite de B_j en gardant les lignes de α, et soit $\nu_j = \det(D_j)$. Alors on a :*

$$\sum\nolimits_{j=1}^{n} (-1)^j\,\nu_j\,C_j \;=\; 0 \tag{1.4}$$

Preuve.
Pour le premier point : la coordonnée n° k de $\sum_{j=1}^{n} (-1)^j\,\mu_j\,C_j$ est égale au déterminant de la matrice obtenue en collant au dessous de A la ligne n° k de A (ceci se voit en développant ce déterminant selon la dernière ligne). Cette coordonnée est donc nulle.
Le deuxième point se prouve de manière analogue. □

Ces deux égalités peuvent être relues sous la forme « solution d'un système linéaire ». Pour la première on considère $A \in \mathcal{A}^{n\times n}$ et $V \in \mathcal{A}^{n\times 1}$ on note E_j la matrice obtenue à partir de A en remplaçant la

colonne C_j par V, et $\mu'_j = \det(E_j)$. Alors (1.3) se relit sous la forme plus classique :

$$\det(A)\,V \;=\; \sum\nolimits_{j=1}^{n} \mu'_j\, C_j \;=\; A \begin{bmatrix} \mu'_1 \\ \vdots \\ \mu'_n \end{bmatrix} \;=\; A \cdot \mathrm{Adj}(A) \cdot V \tag{1.5}$$

On peut également relire (1.4) comme suit. On considère une matrice $A \in \mathcal{A}^{m\times n}$ et $V \in \mathcal{A}^{m\times 1}$ avec $m > n$. *On suppose que tous les mineurs d'ordre* $n+1$ *de* $(A|V)$ *sont nuls.* On note toujours $C_j = A_{1..m,j}$ la j-ème colonne de A. On choisit $\alpha = \alpha_1, \ldots, \alpha_n$ extrait en ordre croissant de $\{1, \ldots, m\}$. On considère la matrice F_j obtenue à partir de $A_{\alpha,1..n}$ en remplaçant la j-ème colonne par V et on pose $\nu_{\alpha,j} = \det(F_j)$. Si on applique (1.4) avec la matrice $(A|V) \in \mathcal{A}^{m\times(n+1)}$ on obtient :

$$\det(A_{\alpha,1..n})\,V \;=\; \sum\nolimits_{j=1}^{n} \nu_{\alpha,j}\, C_j \tag{1.6}$$

Proposition 1.1.5 *Soit* $\mathcal{A}$ *un anneau commutatif arbitraire non trivial, c'est-à-dire dans lequel* $1_{\mathcal{A}} \neq 0_{\mathcal{A}}$, *et* $A \in \mathcal{A}^{m\times n}$. *Les propriétés suivantes sont équivalentes :*

1. *Pour tout* $V \in \mathcal{A}^{m\times 1}$ *il existe* $X \in \mathcal{A}^{n\times 1}$ *tel que* $A\,X = V$. *Autrement dit, l'application linéaire* $\varphi : \mathcal{A}^n \to \mathcal{A}^m$ *définie par* A *est surjective.*
2. *Il existe* $B \in \mathcal{A}^{n\times m}$ *tel que* $A\,B = \mathrm{I}_m$.
3. *On a* $n \geq m$ *et il existe une combinaison linéaire des mineurs d'ordre* m *de* A *qui est égale à* 1.

Preuve.
(1) ⇒ (2) Soit e_j le j-ème vecteur de la base canonique de $\mathcal{A}^m$ et soit X_j un vecteur de $\mathcal{A}^n$ tel que $A\,X_j = e_j$. On prend pour matrice B la matrice dont les colonnes sont les X_j.
(2) ⇒ (1) On prend $X = B\,V$.
(2) ⇒ (3) Montrons que $n < m$ est impossible. Si tel est le cas on rajoute $m-n$ colonnes nulles à droite de A et $m-n$ lignes nulles en dessous de B, on obtient deux matrices carrées A' et B' pour lesquelles on a $\det(A') = \det(B') = 0$ et $A' \cdot B' = A \cdot B = \mathrm{I}_m$, ce qui donne $0_{\mathcal{A}} = 1_{\mathcal{A}}$. Pour la combinaison linéaire, on applique la formule de Binet-Cauchy (1.2) avec $A\,B = \mathrm{I}_m$.
(3) ⇒ (2) Supposons $\sum_\beta c_\beta \det(A_{1..m,\beta}) = 1$. La somme est étendue à tous les $\beta = \{\beta_1, \ldots, \beta_m\}$ où $1 \leq \beta_1 < \cdots < \beta_m \leq n$. On a $A_{1..m,\beta} = A \cdot (\mathrm{I}_n)_{1..n,\beta}$. Posons $B_\beta = (\mathrm{I}_n)_{1..n,\beta} \cdot \mathrm{Adj}(A_{1..m,\beta})$. Alors $A \cdot B_\beta = \det(A_{1..m,\beta})\,\mathrm{I}_m$. Il suffit donc de prendre $B = \sum_\beta c_\beta\, B_\beta$. □

1.1.4 Identités de Sylvester

Propriété 1.1.6 (Une identité de Sylvester)
Soit $\mathcal{A}$ un anneau commutatif quelconque. Pour tout entier $n \geq 2$ et toute matrice $A = (a_{ij}) \in \mathcal{A}^{n\times n}$, on a :

$$\det(A) = a_{nn}\det(A_{n-1}) - A_{n,1..n-1}\,[\mathrm{Adj}(A_{n-1})]\,A_{1..n-1,n}\,.$$

Preuve. Pour obtenir cette formule, il suffit de développer

$$\det(A) = \begin{vmatrix} A_{n-1} & A_{1..n-1,n} \\ A_{n,1..n-1} & a_{nn} \end{vmatrix}$$

suivant la dernière ligne puis chacun des cofacteurs des éléments de $A_{n,1..n-1}$ intervenant dans ce développement suivant la dernière colonne qui n'est autre que $A_{1..n-1,n}$. □

Nous allons voir maintenant que la propriété précédente peut être généralisée à d'autres partitions de A. Étant donnés en effet deux entiers r et n avec $n \geq 2$ et $1 \leq r < n$, on associe à toute matrice $A \in \mathcal{A}^{n\times n}$ la partition suivante de la matrice A en blocs :

$$A = \begin{bmatrix} A_r & A_{12} \\ A_{21} & A_{22} \end{bmatrix}$$

où $A_{12} = A_{1..r,r+1..n} \in \mathcal{A}^{r\times(n-r)}$, $A_{21} = A_{r+1..n,1..r} \in \mathcal{A}^{(n-r)\times r}$ et $A_{22} = A_{r+1..n,r+1..n} \in \mathcal{A}^{(n-r)\times(n-r)}$.

On a alors le résultat suivant, valable pour tout anneau commutatif et unitaire $\mathcal{A}$.

Proposition 1.1.7 (Identités de Sylvester) *Avec les notations ci-dessus, et pour tous entiers n et r tels que $1 \leq r \leq n-1$, on a les identités suivantes, dans lesquelles on a posé $B_r = \mathrm{Adj}A_r$:*

$$|A_r|\,A = \begin{bmatrix} A_r & 0 \\ A_{21} & \mathrm{I}_{n-r} \end{bmatrix} \begin{bmatrix} |A_r|\,\mathrm{I}_r & B_r\,A_{12} \\ 0 & |A_r|\,A_{22} - A_{21}\,B_r\,A_{12} \end{bmatrix} \tag{1.7}$$

$$|A_r|^{n-r-1}|A| = \det(|A_r|\,A_{22} - A_{21}\,B_r\,A_{12}) \tag{1.8}$$

$$\left(a_{rr}^{(r-1)}\right)^{n-r-1} a_{nn}^{(n-1)} = \begin{vmatrix} a_{r+1,r+1}^{(r)} & \dots & a_{r+1,n}^{(r)} \\ \vdots & & \vdots \\ a_{n,r+1}^{(r)} & \dots & a_{n,n}^{(r)} \end{vmatrix} \tag{1.9}$$

$$a_{n-2,n-2}^{(n-3)}\,a_{nn}^{(n-1)} = \begin{vmatrix} a_{n-1,n-1}^{(n-2)} & a_{n-1,n}^{(n-2)} \\ a_{n,n-1}^{(n-2)} & a_{n,n}^{(n-2)} \end{vmatrix} \tag{1.10}$$

Preuve.
– L'égalité matricielle (1.7) résulte de l'identité $A_r\, B_r = |A_r|\, \mathrm{I}_r$.
– Pour démontrer (1.8) qui est une identité algébrique, on peut se restreindre au cas où les coefficients a_{ij} de A sont des indéterminées. Les mineurs de A peuvent alors être vus comme des polynômes non nuls dans l'anneau intègre $\mathbb{Z}[(a_{ij})_{1\leq i,j\leq n}]$. L'égalité (1.8) est alors obtenue en prenant les déterminants des deux membres de l'égalité (1.7) et en simplifiant par le polynôme $|A_r|^{r+1}$.
– Le premier membre de l'identité (1.9) est le même que celui de (1.8). L'égalité des seconds membres provient du fait que l'élément de la $(i-r)$-ème ligne et $(j-r)$-ème colonne $(r+1\leq i,j\leq n)$ de la matrice :

$$\det(A_r)\, A_{22} - A_{21}\, [\mathrm{Adj}(A_r)]\, A_{12} \in \mathcal{A}^{(n-r)\times(n-r)}$$

est égal à :

$$a_{ij}\det(A_r) - A_{i,1..r}\, [\mathrm{Adj}(A_r)]\, A_{1..r,j}$$

qui n'est autre que $a_{ij}^{(r)}$ d'après la propriété (1.1.6) appliquée à la matrice $\begin{bmatrix} A_r & A_{1..r,j} \\ A_{i,1..r} & a_{ij} \end{bmatrix}$.
– L'égalité (1.10) est un cas particulier de (1.9) pour $r = n-2$. □

Remarque. Si l'on fait $r = n-1$ et par conséquent

$$A = \begin{bmatrix} A_{n-1} & A_{1..n-1,n} \\ A_{n,1..n-1} & a_{nn} \end{bmatrix},$$

l'égalité (1.8) donne exactement la formule de la propriété (1.1.6), ce qui permet d'affirmer que celle-ci est une identité de Sylvester particulière.

Les identités de Sylvester seront utilisées dans la section 2.2 pour le calcul des déterminants par la méthode de Jordan-Bareiss.

1.2 Polynôme caractéristique

On appelle *matrice caractéristique* d'une matrice $A \in \mathcal{A}^{n\times n}$ la matrice $A - X\mathrm{I}_n \in (\mathcal{A}[X])^{n\times n}$ (X désigne une indéterminée sur $\mathcal{A}$).
Le *polynôme caractéristique* de A est, par définition, le déterminant de sa matrice caractéristique ([4]). On le notera P_A :

$$\mathrm{P}_A(X) = \det(A - X\mathrm{I}_n) = p_0X^n + p_1X^{n-1} + \cdots + p_{n-1}X + p_n\,.$$

4. Il serait en fait plus pratique de définir comme le fait Bourbaki le polynôme caractéristique de A comme le déterminant de $X\mathrm{I}_n - A$, mais nous nous en tenons à l'usage le plus répandu.

Notons que $p_0 = (-1)^n$, $p_n = \det(A)$ et que pour $1 \leq k \leq n-1$, le coefficient p_k est le produit par $(-1)^{n-k}$ de la somme de tous les mineurs diagonaux d'ordre k de A ([5]). En particulier :

$$(-1)^{n-1}\, p_1 \;=\; \sum_{i=1}^{n} a_{ii} = \mathrm{Tr}(A).$$

1.2.1 Matrice caractéristique adjointe

On appelle *matrice caractéristique adjointe* de $A \in \mathcal{A}^{n\times n}$ la matrice :

$$Q(X) = \mathrm{Adj}(X\mathrm{I}_n - A) = (-1)^{(n-1)}\,\mathrm{Adj}(A - X\mathrm{I}_n)\,.$$

C'est, à un signe près, l'adjointe de la matrice caractéristique de A. Elle peut être vue comme un polynôme matriciel de degré $n-1$ en X, à coefficients dans $\mathcal{A}^{n\times n}$: en effet, la matrice des cofacteurs de $X\mathrm{I}_n - A$ est une matrice $n \times n$ dont les éléments diagonaux sont des polynômes de degré $n-1$ en X et les autres des polynômes de degré $n-2$ en X. Ce qui fait que la *matrice caractéristique adjointe* de A s'écrit :

$$Q(X) = B_0X^{n-1} + B_1X^{n-2} + \cdots + B_{n-2}X + B_{n-1} \in \mathcal{A}^{n\times n}[X]\,. \quad (1.11)$$

D'après l'équation (1.1) page 2, on a l'égalité :

$$(X\mathrm{I}_n - A)\,Q(X) = P(X)\,\mathrm{I}_n \quad \text{où} \quad P(X) = (-1)^n\,\mathrm{P}_A(X).$$

On posera : $P(X) = X^n - [\,c_1X^{n-1} + \cdots + c_{n-1}X + c_n\,]\,.$

Ainsi le polynôme $P(X)\,\mathrm{I}_n$ est divisible par le polynôme $(X\mathrm{I}_n - A)$ au sens de la division euclidienne dans l'anneau de polynômes $\mathcal{A}^{n\times n}[X]$. Pour obtenir les coefficients (matriciels) du quotient $Q(X)$ dans cette division, on applique la procédure de Horner [6] au polynôme matriciel

5. Pour s'en convaincre, on peut examiner la formule qui donne par définition $\mathrm{P}_A(-X) = \det(A + X\mathrm{I}_n)$ et voir quels sont les produits qui contiennent X^{n-k}. On peut aussi faire une preuve par récurrence sur n en développant $\det(A + X\mathrm{I}_n)$ suivant la première colonne.

6. La procédure (ou encore schéma) de Horner n'est rien d'autre qu'une mise en forme algorithmique de la division euclidienne d'un polynôme $P(X) = \sum_i^n c_iX^i$ par un polynôme $X - a$. Le reste, égal à $P(a)$, est alors obtenu sous la forme $c_0 + a\,(c_1 + a\,(c_2 + \cdots + a\,c_n)\cdots)$. Ceci consitue une évaluation efficace de $P(a)$, utilisant un minimum de multiplications. Cette méthode est en fait identique à celle de Ch'in Chiu-Shao employée en Chine médiévale. Elle a été redécouverte par Ruffini (1802) et Horner (1819). Voir l'Encyclopedia of Mathematics, chez Kluwer (1996).

$P(X)\,\mathrm{I}_n \in \mathcal{A}^{n\times n}[X]$ avec la constante $A \in \mathcal{A}^{n\times n}$. Le reste $B_n = P(A)$ est nul ; ce qui donne l'identité $\mathrm{P}_A(A) = 0$ et fournit en passant une démonstration (élégante) du théorème de Cayley-Hamilton.

Le procédé de Horner peut être représenté par le schéma suivant :

$P(X)\,\mathrm{I}_n$	I_n	$-c_1\mathrm{I}_n$	$-c_2\mathrm{I}_n$	$\dots$	$-c_{n-1}\mathrm{I}_n$	$-c_n\mathrm{I}_n$	
A	0	B_0	B_1	$\dots$	B_{n-2}	B_{n-1}	$B_n = 0$

$$\text{avec} \;:\; B_0 = \mathrm{I}_n \quad \text{et} \quad B_k = AB_{k-1} - c_k\mathrm{I}_n \;\; (1 \le k \le n)\,. \tag{1.12}$$

Cela donne une méthode rapide et efficace pour calculer, à partir des coefficients du polynôme caractéristique, la matrice caractéristique adjointe, et fournit les relations détaillées suivantes utilisées pour établir la formule de Samuelson (§ 1.2.2 page ci-contre) :

$$\left\{\begin{array}{lcl} B_1 & = & A - c_1\mathrm{I}_n \\ B_2 & = & A^2 - c_1A - c_2\mathrm{I}_n \\ \vdots & \vdots & \quad\vdots \\ B_k & = & A^k - c_1A^{k-1} - \dots - c_{k-1}A - c_k\mathrm{I}_n \\ \vdots & \vdots & \quad\vdots \\ B_n & = & A^n - c_1A^{n-1} - \dots - c_{n-1}A - c_n\mathrm{I}_n = 0 \end{array}\right. \tag{1.13}$$

Notons qu'à la fin de la procédure de Horner, on obtient $B_n = 0$ c'est-à-dire $A\,B_{n-1} - c_n\,\mathrm{I}_n = 0$ ou encore :

$$A\,B_{n-1} = c_n\,\mathrm{I}_n = (-1)^{n-1}\det(A)\,\mathrm{I}_n\,.$$

Si $\det(A)$ est inversible dans $\mathcal{A}$, alors A possède un inverse qui peut être calculé par la formule $A^{-1} = (c_n)^{-1}\,B_{n-1}$.
Notons que $B_{n-1} = Q(0) = (-1)^{n-1}\,\mathrm{Adj}(A)$. Donc

$$\mathrm{Adj}(A) = (-1)^{(n-1)}\,[\,A^{n-1} - c_1\,A^{n-2} - \cdots - c_{n-2}\,A - c_{n-1}\,\mathrm{I}_n\,]\,.$$

Ainsi le calcul de la matrice caractéristique adjointe nous donne l'adjointe de A. Il nous permet aussi d'obtenir l'inverse de A (s'il existe) notamment dans les cas où la méthode du pivot de Gauss s'avérerait impraticable, ce qui se produit lorsque l'anneau contient des diviseurs de zéro. La matrice caractéristique adjointe de A sert également, comme nous le verrons plus loin (voir § 2.5.2 page 84 et suivantes), à calculer le polynôme caractéristique de A par la méthode de Faddeev-Souriau-Frame et, dans certains cas, des vecteurs propres non nuls.

Nous allons à présent l'utiliser pour établir un résultat important pour la suite et faisant l'objet du paragraphe suivant.

1.2.2 Formule de Samuelson

Utilisant l'égalité 1.11 et les relations 1.13 dans lesquelles on remplace les coefficients c_i par les coefficients p_i du polynôme caractéristique de A, sachant que $p_i = (-1)^{n+1}\, c_i$, on obtient l'identité algébrique :

$$\mathrm{Adj}(A - X\,\mathrm{I}_n) \;=\; -\sum_{k=0}^{n-1} \left(\sum\nolimits_{j=0}^{k} \; p_j\, A^{k-j} \right) X^{n-1-k}\,. \tag{1.14}$$

Cette égalité nous sert à démontrer la *formule de Samuelson* [79] (voir [Gas], méthode de partitionnement pp. 291–298, [FF]).

Proposition 1.2.1 (Formule de Samuelson)
Soit $\mathcal{A}$ un anneau commutatif arbitraire, n un entier ≥ 2, $A = (a_{ij}) \in \mathcal{A}^{n\times n}$ et $r = n-1$. Notons $P_r(X) = \sum_{i=0}^{r} q_{r-i} X^i = \det(A_r - X\mathrm{I}_r)$ le polynôme caractéristique de la sous-matrice principale dominante A_r. Posons $R_r := A_{n,1..r}$ et $S_r := A_{1..r,n}$ de sorte que la matrice A est partitionnée comme suit :

$$A := \begin{bmatrix} A_r & S_r \\ R_r & a_{nn} \end{bmatrix}.$$

Alors on a :

$$\mathrm{P}_A(X) \;=\; (a_{n,n} - X)\, P_r(X) \;+\; \sum_{k=0}^{r-1} \left(\sum\nolimits_{j=0}^{k} q_j\, (R_r\, A_r^{k-j} S_r) \right) X^{r-1-k}\,.$$

C'est-à-dire encore :

$$\mathrm{P}_A(X) = \begin{cases} (a_{n,n} - X)\, P_{n-1}(X) + \\ \sum_{k=0}^{n-2} \left[q_0\, (R_r\, A_r^k\, S_r) \;+ \cdots + \; q_k\, (R_r\, S_r) \right] X^{n-2-k} \end{cases} \tag{1.15}$$

Preuve. Tout d'abord on applique l'identité de Sylvester donnée en 1.1.6 à la matrice $(A - X\mathrm{I}_n)$. On obtient :

$$\mathrm{P}_A(X) = (a_{n,n} - X)\det(A_r - X\mathrm{I}_r) - R_r\,\mathrm{Adj}(A_r - X\mathrm{I}_r)\, S_r\,.$$

Ensuite on applique (1.14) en remplaçant A par A_r et n par r :

$$\mathrm{Adj}(A_r - X\mathrm{I}_r) \;=\; -\sum_{k=0}^{r-1} \left(\sum\nolimits_{j=0}^{k} q_j\, A_r^{k-j} \right) X^{r-1-k}\,. \qquad \square$$

La formule de Samuelson sera utilisée dans l'algorithme de Berkowitz.

1.2.3 Valeurs propres de $f(A)$

Supposons l'anneau $\mathcal{A}$ intègre et soit $\mathcal{F}_{\mathcal{A}}$ son corps des fractions et $\mathcal{L}$ une extension de $\mathcal{F}_{\mathcal{A}}$ dans laquelle P_A se décompose en produit de facteurs du premier degré. Une telle extension est ce qu'on appelle un *corps de décomposition* de P_A. Tout zéro de P_A dans $\mathcal{L}$ est appelé *valeur propre* de A, et sa multiplicité est, par définition, la *multiplicité algébrique* de la valeur propre de A. Plus généralement, même si $\mathcal{A}$ n'est pas intègre, il est parfois utile de l'envoyer dans un corps $\mathcal{K}$ par un homomorphisme d'anneaux unitaires $\varphi : \mathcal{A} \to \mathcal{K}$. Les valeurs propres de la matrice A dans $\mathcal{K}$ seront alors par définition les zéros du polynôme

$$\varphi(\mathrm{P}_A) \stackrel{\text{def}}{=} \sum\nolimits_{i=1}^{n} \varphi(p_i) X^{n-i} \in \mathcal{K}[X]\,.$$

Soit un polynôme $f = a_0 X^m + a_1 X^{m-1} + \cdots + a_{m-1} X + a_m \in \mathcal{L}[X]$. Considérons la matrice $f(A) = a_0 A^m + a_1 A^{m-1} + \cdots + a_{m-1} A + a_m \mathrm{I}_n \in \mathcal{L}^{n\times n}$ et les polynômes caractéristiques P_A et $\mathrm{P}_{f(A)}$ de A et de $f(A)$. Le lemme suivant exprime alors en particulier le lien entre les valeurs propres de la matrice $A \in \mathcal{A}^{n\times n}$ et celles de la matrice $f(A)$, dans le cas où l'anneau de base $\mathcal{A}$ est intègre.

Lemme 1.2.2 *Soit $\mathcal{A}$ un anneau intègre, $\mathcal{L}$ une extension du corps des fractions de $\mathcal{A}$, et f un polynôme de $\mathcal{L}[X]$. Si le polynôme caractéristique de A s'écrit :*

$$\mathrm{P}_A(X) = (-1)^n\,(X-\lambda_1)\,(X-\lambda_2)\cdots(X-\lambda_n)$$

avec les $\lambda_i \in \mathcal{L}$, alors le polynôme caractéristique de $f(A)$ s'écrit :

$$\mathrm{P}_{f(A)} = (-1)^n\,(X-f(\lambda_1))\,(X-f(\lambda_2))\cdots(X-f(\lambda_n)).$$

En particulier, $\mathrm{Tr}(f(A)) = \sum_{i=1}^{n} f(\lambda_i)$ *et pour tout* $k \in \mathbb{N}$, $\mathrm{Tr}(A^k) = \sum_{i=1}^{n} \lambda_i^k$.

Preuve. Il suffit de montrer le premier point. Dans le corps $\mathcal{L}$, qui contient toutes les valeurs propres de la matrice A, celle-ci peut être ramenée à une forme triangulaire. C'est-à-dire qu'il existe une matrice triangulaire $A' \in \mathcal{L}^{n\times n}$ avec les λ_i sur la diagonale et une matrice $M \in \mathcal{L}^{n\times n}$ inversible telles que $A' = M^{-1}AM$. Comme f est un polynôme, et que A' est triangulaire de la forme

$$A' = \begin{bmatrix} \lambda_1 & 0 & \cdots & 0 \\ \times & \ddots & \ddots & \vdots \\ \vdots & \ddots & \ddots & 0 \\ \times & \cdots & \times & \lambda_n \end{bmatrix}$$

la matrice $f(A')$ sera aussi triangulaire, de la forme

$$f(A') = \begin{bmatrix} f(\lambda_1) & 0 & \cdots & 0 \\ \times & \ddots & \ddots & \vdots \\ \vdots & \ddots & \ddots & 0 \\ \times & \cdots & \times & f(\lambda_n) \end{bmatrix}.$$

De plus, puisque $\Theta_M : A \longmapsto M^{-1}A\,M$ est un automorphisme[7] de l'anneau $\mathcal{L}^{n\times n}$, on a $f(A') = M^{-1}f(A)\,M$, et par suite $\mathrm{P}_{f(A)} = \mathrm{P}_{f(A')} = (-1)^n \prod_{i=1}^n (X - f(\lambda_i))$. □

En fait, il n'est pas nécessaire que les deux matrices A et A' soient semblables pour conclure que $\mathrm{P}_{f(A)} = \mathrm{P}_{f(A')}$. Il suffit pour cela que $\mathrm{P}_A = \mathrm{P}_{A'}$, comme l'indique le résultat suivant, valable dans un anneau commutatif arbitraire $\mathcal{A}$.

Propriété 1.2.3 *Soient A et A' deux matrices carrées à coefficients dans $\mathcal{A}$ ayant même polynôme caractéristique $\mathrm{P}_A = \mathrm{P}_{A'}$. Alors, pour tout $f \in \mathcal{A}[X]$ on a : $\mathrm{P}_{f(A)} = \mathrm{P}_{f(A')}$.*

Démonstration.
Soit B la *matrice compagnon du polynôme unitaire* $(-1)^n\mathrm{P}_A(X) = X^n - (c_1X^{n-1} + \cdots + c_{n-1}X + c_n)$, c'est-à-dire la matrice

$$B = \begin{bmatrix} 0 & \cdots & \cdots & 0 & c_n \\ 1 & 0 & \cdots & 0 & c_{n-1} \\ 0 & \ddots & \ddots & \vdots & \vdots \\ \vdots & \ddots & \ddots & 0 & \vdots \\ 0 & \cdots & 0 & 1 & c_1 \end{bmatrix} \in \mathcal{A}^{n\times n}.$$

On vérifie sans difficulté que $\mathrm{P}_A(X) = \mathrm{P}_B(X)$. Il suffit de montrer que $\mathrm{P}_{f(A)} = \mathrm{P}_{f(B)}$ pour conclure (puisqu'alors on a aussi $\mathrm{P}_{f(A')} = \mathrm{P}_{f(B)}$). On peut écrire

$$\mathrm{P}_{f(B)} = Q_n(c_1, \ldots, c_n, X) = (-1)^n X^n + \sum\nolimits_{i=0}^{n-1} q_{n,i}(c_1, \ldots, c_n)\, X^i\,.$$

7. Précisément, $\mathcal{B} = \mathcal{L}^{n\times n}$ est une $\mathcal{L}$-algèbre, c'est-à-dire un anneau muni d'une loi externe $(x, A) \mapsto x.A$ (produit d'une matrice par un scalaire) qui vérifie les identités $(x+y).A = x.A+y.A$, $x.(A+B) = x.A+x.B$, $x.(y.A) = xy.A$, $x.(AB) = (x.A)B$ et $1.A = A$. Et Θ_M est un automorphisme de cette structure : un homomorphisme bijectif d'anneau qui vérifie en plus $\Theta_M(x.A) = x.\Theta_M(A)$. On en déduit que pour tout polynôme $f \in \mathcal{A}[X]$ on a : $\Theta_M(f(A)) = f(\Theta_M(A))$.

Il s'agit alors de montrer que

$$\mathrm{P}_{f(A)} = (-1)^n X^n + \sum_{i=0}^{n-1} q_{n,i}(c_1, c_2, \ldots, c_n) X^i \,.$$

Si l'on considère les coefficients de f et les entrées de A comme indéterminées $x_1, \ldots, x_\ell$ sur $\mathbb{Z}$ (on a $\ell = n^2 + 1 + \deg f$), établir l'égalité précédente revient à démontrer n identités algébriques dans $\mathbb{Z}[x_1, \ldots, x_\ell]$. Ces identités algébriques sont ensuite valables dans tout anneau commutatif $\mathcal{A}$, en remplaçant les variables formelles x_i par des éléments ξ_i de $\mathcal{A}$ et elles donnent le résultat souhaité.
Or, pour démontrer ces identités algébriques, il suffit de les vérifier sur un ouvert U de $\mathbb{C}^\ell$, c'est-à-dire lorsqu'on substitue à $(x_1, \ldots, x_\ell)$ un élément $(\xi_1, \ldots, \xi_\ell)$ arbitraire de U.
Pour cela, on considère par exemple l'ouvert correspondant à des matrices « suffisamment proches » de la matrice diagonale suivante :

$$\begin{bmatrix} 1 & 0 & \cdots & 0 \\ 0 & 2 & \ddots & \vdots \\ \vdots & \ddots & \ddots & 0 \\ 0 & \cdots & 0 & n \end{bmatrix} .$$

Ces matrices sont diagonalisables puisque leurs valeurs propres restent distinctes dans l'ouvert considéré. Dans ce cas-là, A et B sont diagonalisables avec les mêmes valeurs propres, et le résultat est trivial. □

1.3 Polynôme minimal

Soit $\mathcal{K}$ un corps, E un $\mathcal{K}-$espace vectoriel de dimension $n > 0$ et $\varphi : E \longrightarrow E$ un opérateur linéaire, représenté en général par une matrice A dans une base donnée de E.

1.3.1 Polynôme minimal et sous-espaces de Krylov

Le *polynôme minimal* de φ (ou de A) est par définition le polynôme unitaire $\mathrm{P}^\varphi \in \mathcal{K}[X]$ engendrant l'idéal des polynômes $f \in \mathcal{K}[X]$ tels que $f(\varphi) = 0$. A priori, ce polynôme peut être calculé par les méthodes usuelles d'algèbre linéaire en cherchant la première relation de dépendance linéaire entre les « vecteurs » successifs : Id_E, φ, φ^2, $\varphi^3 \ldots$, de l'espace vectoriel $\mathrm{End}(E) \simeq \mathcal{K}^{n\times n}$ des endomorphismes de E.

Puisque $\mathrm{P}_\varphi(\varphi) = 0$ (théorème de Cayley-Hamilton), on obtient que P^φ divise P_φ.

Par ailleurs, étant donné un vecteur $v \in E$, le sous-espace *φ-engendré* par v (on dit aussi *sous-espace de Krylov pour le couple* (φ, v)) est, par définition, le sous-espace de E engendré par le système de vecteurs $(\varphi^i(v))_{i\in\mathbb{N}}$. On le note $\mathrm{Kr}(\varphi, v)$.

Sa dimension n'est autre que le degré du polynôme unitaire $\mathrm{P}^{\varphi,v} \in \mathcal{K}[X]$ qui engendre l'idéal $\{f \in \mathcal{K}[X] \,|\, f(\varphi)(v) = 0\}$ de $\mathcal{K}[X]$. Ce polynôme s'appelle *le polynôme φ-minimal de v*. Les deux polynômes P^φ et P_φ appartiennent évidemment à cet idéal et on a :

$$\mathrm{Kr}(\varphi, v) = E \iff \mathrm{d^o P}^{\varphi,v} = n \iff \mathrm{P}^{\varphi,v} = \mathrm{P}^\varphi = (-1)^n \mathrm{P}_\varphi\,.$$

Ainsi, l'existence d'un vecteur v qui φ-engendre E suffit pour que le polynôme caractéristique de l'endomorphisme φ de E soit égal (à un signe près) à son polynôme minimal :

$$\exists v \in E,\ \mathrm{d^o P}^{\varphi,v} = n \implies \mathrm{P}^\varphi = (-1)^n \mathrm{P}_\varphi\,.$$

Mais la réciproque est aussi vraie, comme nous allons le voir bientôt.

Remarquons que, comme le polynôme P^φ, le polynôme $\mathrm{P}^{\varphi,v}$ peut être calculé par les méthodes usuelles d'algèbre linéaire.

Rappelons maintenant la propriété classique suivante relative à la décomposition de E en sous espaces φ-stables :

Propriété 1.3.1 *Soit φ un endomorphisme de E et $f \in \mathcal{K}[X]$ tel que $f = f_1 f_2 \cdots f_r$ avec $\mathrm{pgcd}(f_i, f_j) = 1$ pour $i \neq j$ et $f(\varphi) = 0$. Posons $g_i = f/f_i$, $\theta_i = f_i(\varphi)$, $\psi_i = g_i(\varphi)$, $E_i = \mathrm{Ker}\,\theta_i$. Chaque E_i est un sous-espace φ-stable, on note $\varphi_i : E_i \to E_i$ la restriction de φ. Alors :*

a) $E = E_1 \oplus \cdots \oplus E_r$.

b) $E_i = \mathrm{Im}\,\psi_i$, et la restriction de ψ_i à E_i induit un automorphisme de l'espace vectoriel E_i.

c) On a les égalités $\mathrm{P}_\varphi = \prod_{i=1}^r \mathrm{P}_{\varphi_i}$ et $\mathrm{P}^\varphi = \prod_{i=1}^r \mathrm{P}^{\varphi_i}$.

d) Si $(v_1, \ldots, v_r) \in E_1 \times \cdots \times E_r$, et $v = v_1 + \cdots + v_r$, on a l'égalité $\mathrm{P}^{\varphi,v} = \prod_{i=1}^r \mathrm{P}^{\varphi_i, v_i}$.

Preuve. Tout d'abord on remarque que deux endomorphismes de la forme $a(\varphi)$ et $b(\varphi)$ commutent toujours puisque $a(\varphi) \circ b(\varphi) = (ab)(\varphi)$. Ensuite il est clair que tout sous-espace du type $\mathrm{Ker}\,a(\varphi)$ ou $\mathrm{Im}\,a(\varphi)$ est φ-stable.

La preuve des points a) et b) est alors basée sur les égalités $\varphi_i \circ \psi_i = \psi_i \circ \varphi_i = f(\varphi) = 0_E$ et sur l'identité de Bézout $u_1\, g_1 + \cdots + u_r\, g_r = 1$, qui implique $u_1(\varphi) \circ g_1(\varphi) + \cdots + u_r(\varphi) \circ g_r(\varphi) = \mathrm{Id}_E$, ce qui se lit : $\psi_1 \circ \alpha_1 + \cdots + \psi_r \circ \alpha_r = \mathrm{Id}_E$, où $\alpha_i = u_i\,(\varphi)$.

Si on choisit dans chaque E_i une base B_i leur réunion est une base B de E et la matrice de φ sur B est diagonale par blocs, chaque bloc étant la matrice de φ_i sur B_i. Ceci implique $\mathrm{P}_\varphi = \prod_{i=1}^r \mathrm{P}_{\varphi_i}$.

Soit $h_i = P^{\varphi_i}$. Il est clair que $(h_1 \cdots h_r)(\varphi) = 0_E$ (car nul sur chaque E_i), et que les h_i sont premiers entre eux 2 à 2 (car h_i divise f_i). Si $g(\varphi) = 0$, a fortiori $g(\varphi_i) = 0$, donc g est multiple des h_i, et par suite multiple de $h = h_1 \cdots h_r$. Ceci termine la preuve du point c).

Et la preuve du point d) est analogue, en remplaçant $h_i = P^{\varphi_i}$ par P^{φ_i, v_i}. □

Propriété 1.3.2 *Soit* $\mathrm{P}^\varphi = P_1^{m_1}\, P_2^{m_1} \ldots P_r^{m_r}$ *la décomposition du polynôme minimal de* φ *en facteurs premiers distincts* P_1, P_2, $\ldots$, P_r. *On reprend les notations de la propriété 1.3.1 avec* $f_i = P_i^{m_i}$. *On pose en outre* $Q_i = \mathrm{P}^\varphi / P_i$, $G_i = \mathrm{Ker}(Q_i(\varphi))$, $F_i = \mathrm{Ker}(P_i^{m_i - 1}(\varphi))$, *pour* $1 \leq i \leq r$. *Alors* $E = E_1 \oplus \cdots \oplus E_r$, *chaque* F_i *est strictement inclus dans* E_i *et pour tout* $v = v_1 + \cdots + v_r$ $(v_i \in E_i)$ *on a les équivalences suivantes :*

$$v \notin \bigcup_{i=1}^r G_i \iff P^{\varphi, v} = P^\varphi \iff \bigwedge_{i=1}^r P^{\varphi_i, v_i} = P^{\varphi_i} \iff \bigwedge_{i=1}^r v_i \notin F_i.$$

Preuve. Le fait que $E = E_1 \oplus \cdots \oplus E_r$ résulte de la propriété 1.3.1 a). La deuxième équivalence résulte des propriétés 1.3.1 c) et d). La première équivalence est claire : la première condition signifie exactement que le polynôme φ-minimal de v ne divise pas strictement le polynôme minimal de φ. Même chose pour la dernière équivalence (tout diviseur strict de $P_i^{m_i}$ divise $P_i^{m_i - 1}$). Cette remarque montre aussi que l'inclusion $F_i \subset E_i$ est stricte. □

Corollaire 1.3.3 *Il existe toujours un vecteur* v *tel que* $\mathrm{P}^{\varphi, v} = \mathrm{P}^\varphi$. *En particulier, si le polynôme minimal de* φ *a pour degré la dimension de* E *(autrement dit si, au signe près, il est égal au polynôme caractéristique) il existe des vecteurs qui* φ*-engendrent* E.

Preuve. Il suffit de prendre $v = v_1 + \cdots + v_r$ avec chaque v_i dans $E_i \setminus F_i$. □

Ainsi, sauf exception, c'est-à-dire si l'on choisit v en dehors de la réunion d'un petit nombre de sous-espaces vectoriels stricts de E, les $\mathrm{Ker}(Q_i(\varphi))$, (cette réunion ne remplit jamais l'espace, même si le corps de base est fini), le vecteur v convient.

Notons que la preuve précédente est peu satisfaisante parce qu'en général on ne sait pas calculer la décomposition en facteurs premiers d'un polynôme. Il s'ensuit que notre preuve de l'existence d'un vecteur qui φ-engendre E reste plus théorique que pratique.

Voici une manière de contourner cet obstacle.

Premièrement on établit le lemme suivant.

Lemme 1.3.4 *Si on connaît un polynôme Q qui est un facteur strict d'un polynôme P de $\mathcal{K}[X]$ on peut, ou bien décomposer P en un produit $P_1\,P_2$ de deux polynômes étrangers, ou bien écrire P et Q sous la forme P_1^k et P_1^ℓ $(1 \leq \ell < k)$.*

La procédure (que nous ne donnons pas en détail) consiste à partir de la factorisation intitiale $P = QQ_1$ et à la raffiner au maximum en utilisant les pgcd's.

Ensuite on rappelle que les polynômes $\mathrm{P}^{\varphi,v}$ et P^{φ} peuvent facilement être calculés par les méthodes classiques d'algèbre linéaire.

On démarre alors avec un v non nul arbitraire. Si $\mathrm{P}^{\varphi,v}$ est égal à P^{φ} on a terminé. Sinon, on applique le lemme précédent avec $P = \mathrm{P}^{\varphi}$ et $Q = \mathrm{P}^{\varphi,v}$. Dans le premier cas, on applique la propriété 1.3.1 c) et d) avec les polynômes P_1 et P_2. On est ramené à résoudre le même problème séparément dans deux espaces de dimensions plus petites. Dans le deuxième cas, on choisit un nouveau v dans le complémentaire de $\mathrm{Ker}(P_1^{k-1}(\varphi))$, ce qui fait que le degré de son polynôme minimal augmente strictement.

Remarque. Toute décomposition $E = \bigoplus_{i=1}^k E_i$ en sous-espaces E_i φ-stables donne une forme réduite de φ, c'est-à-dire la représentation de φ dans une base convenable par une matrice diagonale par blocs de la forme :

$$A = \begin{bmatrix} A_1 & 0 & \cdots & 0 \\ 0 & A_2 & \ddots & \vdots \\ \vdots & \ddots & \ddots & 0 \\ 0 & \cdots & 0 & A_k \end{bmatrix}.$$

où $A_1, A_2, \ldots, A_k$ sont les matrices des endomorphismes φ_i induits par φ dans les sous-espaces E_i. Certaines de ces formes réduites sont

dites canoniques, comme la réduction de Jordan dans le cas où le polynôme caractéristique se factorise en facteurs linéaires sur $\mathcal{K}$. Il existe d'autres formes réduites canoniques entièrement rationnelles, c'est-à-dire qui n'utilisent pour le changement de base que des expressions rationnelles en les coefficients de la matrice de départ. Sur le sujet des formes normales réduites (et sur bien d'autres) nous recommandons le livre de Gantmacher ([Gan]) dont on attend toujours la réédition à un prix abordable.

1.3.2 Cas de matrices à coefficients dans $\mathbb{Z}$.

Dans certains algorithmes que nous aurons à développer par la suite, nous partirons d'une matrice C à coefficients dans un anneau intègre $\mathcal{A}$ et bien souvent il sera avantageux qu'aucun des calculs intermédiaires ne produise des éléments qui seraient dans le corps des fractions de $\mathcal{A}$ sans être dans $\mathcal{A}$.

Se pose alors naturellement la question suivante : les polynômes P^C et $\mathrm{P}^{C,v}$ que nous pouvons être amenés à envisager comme résultats de calculs intermédiaires en vue de trouver le polynôme caractéristique de C, sont-ils toujours des polynômes à coefficients dans $\mathcal{A}$?

Dans le cas de matrices carrées à coefficients dans $\mathbb{Z}$, ou dans un anneau de polynômes $\mathbb{Z}[x_1, \ldots, x_n]$ ou $\mathbb{Q}[x_1, \ldots, x_n]$, la réponse est positive.

Ce résultat n'est pas évident. Il est basé sur les définitions et les propriétés qui suivent, pour lesquelles on peut consulter les livres classiques d'algèbre (par exemple [Gob] ou [MRR]).

Définition 1.3.5 *Un anneau intègre $\mathcal{A}$ est dit* intégralement clos *si tout diviseur unitaire dans $\mathcal{F}_{\mathcal{A}}[X]$ d'un polynôme unitaire de $\mathcal{A}[X]$ est dans $\mathcal{A}[X]$.*

Avec de tels anneaux les polynômes P^C et $\mathrm{P}^{C,v}$ sont donc automatiquement à coefficients dans $\mathcal{A}$.

Définition 1.3.6 *Un anneau intègre $\mathcal{A}$ est dit* anneau à pgcds *si tout couple d'éléments (a, b) admet un pgcd, c'est-à-dire un élément $g \in \mathcal{A}$ tel que :*

$$\forall x \in \mathcal{A} \quad ((x \text{ divise } a \text{ et } b) \iff x \text{ divise } g)\,.$$

Propriété 1.3.7 *Pour qu'un anneau intègre soit intégralement clos, il suffit que la propriété qui le définit soit vérifiée pour les diviseurs de*

degré 1. *Autrement dit, tout zéro dans* $\mathcal{F}_{\mathcal{A}}$ *d'un polynôme unitaire de* $\mathcal{A}[X]$ *est dans* $\mathcal{A}$.

Propriété 1.3.8 *Tout anneau à pgcds est intégralement clos.*

Propriété 1.3.9 *Si* $\mathcal{A}$ *est un anneau à pgcds il en va de même pour* $\mathcal{A}[x_1, \ldots, x_n]$.

1.4 Suites récurrentes linéaires

1.4.1 Polynôme générateur, opérateur de décalage

Soit E un $\mathcal{K}-$espace vectoriel (resp. un $\mathcal{A}-$module). On considère une suite $(a_n)_{n\in\mathbb{N}}$ d'éléments de E et un entier $p \in \mathbb{N}$. Une *relation de récurrence linéaire d'ordre* p pour cette suite est définie par la donnée de $p+1$ éléments $c_0,\ c_1, \ldots,\ c_p$ de $\mathcal{K}$ (resp. de $\mathcal{A}$) vérifiant :

$$\forall n \in \mathbb{N} \qquad c_0 a_n + c_1 a_{n+1} + \cdots + c_p a_{n+p} = 0 \tag{1.16}$$

Le polynôme $h(X) = \sum_{i=0}^{p} c_i X^i$ dans $\mathcal{K}[X]$ (resp. dans $\mathcal{A}[X]$) est appelé *un polynôme générateur* de la suite (a_n). Lorsque le coefficient c_p est inversible, la suite est alors déterminée par la donnée de a_0, $a_1, \ldots,\ a_{p-1}$ car elle peut ensuite être construite par récurrence : elle est en quelque sorte « engendrée » par le polynôme h, ce qui justifie la terminologie adoptée. Une *suite récurrente linéaire* dans E est une suite $(a_n)_{n\in\mathbb{N}}$ d'éléments de E qui possède un polynôme générateur dont le coefficient dominant est inversible.

On interprète cette situation de la manière suivante en algèbre linéaire. On appelle $\mathcal{S}$ le $\mathcal{K}-$espace vectoriel (resp. le $\mathcal{A}-$module) $E^{\mathbb{N}}$ formé de toutes les suites $(u_n)_{n\in\mathbb{N}}$ à valeurs dans E. On note $\Phi : \mathcal{S} \to \mathcal{S}$ *l'opérateur de décalage* qui donne pour image de $(u_n)_{n\in\mathbb{N}}$ la suite décalée d'un cran $(u_{n+1})_{n\in\mathbb{N}}$. Il est clair que l'opérateur de décalage est un opérateur linéaire. Dire que la suite $\underline{a} = (a_n)_{n\in\mathbb{N}}$ vérifie la relation de récurrence linéaire (1.16) se traduit exactement, en langage un peu plus abstrait, par :

$$\underline{a} \ \in \ \mathrm{Ker}(h(\Phi))\,.$$

Cela montre que les polynômes générateurs d'une suite récurrente linéaire donnée forment un idéal de $\mathcal{K}[X]$ (resp. de $\mathcal{A}[X]$). Dans le cas d'un corps et d'une suite récurrente linéaire, comme $\mathcal{K}[X]$ est un anneau principal, cet idéal (non nul) est engendré par un polynôme unitaire

unique qu'on appelle *le polynôme générateur minimal* ou simplement *le polynôme minimal* de la suite. Nous le noterons $\mathrm{P}^{\underline{a}}$. Nous allons voir plus loin que ce polynôme peut effectivement être calculé, dès qu'on connaît un polynôme générateur de la suite récurrente linéaire.

Considérons maintenant un polynôme unitaire fixé

$$f(X) = X^p - \sum_{i=0}^{p-1} b_i X^i$$

dans $\mathcal{K}[X]$ (resp. dans $\mathcal{A}[X]$). Le $\mathcal{K}-$espace vectoriel (resp. le $\mathcal{A}-$module) $\mathrm{Ker}(f(\Phi))$ formé des suites récurrentes linéaires dans E pour lesquelles f est un polynôme générateur sera noté $\mathcal{S}_f$. Il est isomorphe à $\mathcal{K}^p$ (resp. $\mathcal{A}^p$) et une base canonique est fournie par les p suites[8] $e^{(i)}$ $(i = 0, \ldots, p-1)$ telles que $e^{(i)}(j) = \delta_{ij}$ pour $j = 0, \ldots, p-1$, où δ_{ij} est le *symbole de Kronecker* ($\delta_{ij} = 1$ si $i = j$ et $\delta_{ij} = 0$ si $i \neq j$). Pour une suite récurrente linéaire arbitraire $\underline{a} = (a_n)_{n\in\mathbb{N}}$ dans $\mathcal{S}_f$ on a alors : $\underline{a} = \sum_{j=0}^{p-1} a_j e^{(j)}$.

Il est clair que $\mathcal{S}_f$ est stable par Φ. Notons Φ_f la restriction de Φ à $\mathcal{S}_f$. On constate immédiatement que la matrice de Φ_f sur la base canonique $(e^{(p-1)}, \ldots, e^{(1)}, e^{(0)})$ est la matrice compagnon du polynôme f :

$$\mathrm{C}_f = \begin{bmatrix} 0 & \cdots & 0 & b_0 \\ & & & b_1 \\ & \mathrm{I}_{p-1} & & \vdots \\ & & & b_{p-1} \end{bmatrix} = \begin{bmatrix} 0 & \cdots & \cdots & 0 & b_0 \\ 1 & 0 & \cdots & 0 & b_1 \\ 0 & \ddots & \ddots & \vdots & \vdots \\ \vdots & \ddots & \ddots & 0 & \vdots \\ 0 & \cdots & 0 & 1 & b_{p-1} \end{bmatrix}.$$

En particulier $\mathrm{P}^{\Phi_f, e^{(1)}} = \mathrm{P}^{\Phi_f} = \mathrm{P}_{\Phi_f} = f$. En outre, par simple application des définitions on obtient $\mathrm{P}^{\Phi_f, \underline{a}} = \mathrm{P}^{\underline{a}}$.

Comme exemples importants de suites récurrentes linéaires, on peut citer :

– la suite récurrente linéaire formée des puissances $(A^n)_{n\in\mathbb{N}}$ d'une matrice $A \in \mathcal{K}^{m\times m}$ dont le polynôme générateur minimal n'est autre que le polynôme minimal P^A de la matrice ;

– pour des vecteurs donnés $u, v \in \mathcal{K}^{m\times 1}$, les suites récurrentes linéaires $(A^n\, v)_{n\in\mathbb{N}}$ et $({}^{\mathrm{t}}u\, A^n\, v)_{n\in\mathbb{N}}$ dont les polynômes minimaux, notés respectivement $\mathrm{P}^{A,v}$ et $\mathrm{P}_u^{A,v}$, sont alors tels que : $\mathrm{P}_u^{A,v}$ divise $\mathrm{P}^{A,v}$ et $\mathrm{P}^{A,v}$ divise P^A.

8. Chacune de ces suites est évidemment définie par ses p premiers termes.

1.4.2 Suites récurrentes linéaires et matrices de Hankel

Comme le montre la discussion qui suit, l'étude des suites récurrentes linéaires est étroitement liée à celle des *matrices de Hankel.*

Une matrice de Hankel est une matrice (pas nécessairement carrée) $H = (v_{ij})$ dont les coefficients sont constants sur les diagonales montantes : $v_{ij} = v_{hk}$ si $i + j = h + k$.

Les matrices de Hankel fournissent un exemple de *matrices structurées.* L'autre exemple le plus important est celui des *matrices de Toeplitz,* celles dont les coefficients sont constants sur les diagonales descendantes : $v_{ij} = v_{hk}$ si $i - j = h - k$.

Remarquons qu'une matrice de Hankel carrée d'ordre n est une matrice symétrique et que les produits $H\,\mathrm{J}_n$ et $\mathrm{J}_n\,H$ d'une matrice de Hankel H carrée d'ordre n par la matrice de Hankel particulière J_n :

$$\mathrm{J}_n = \begin{bmatrix} 0 & 0 & \cdots & 0 & 1 \\ 0 & 0 & \cdots & 1 & 0 \\ \vdots & \vdots & & \vdots & \vdots \\ 0 & 1 & \cdots & 0 & 0 \\ 1 & 0 & \cdots & 0 & 0 \end{bmatrix}$$

sont des matrices de Toeplitz. Cette matrice de permutation d'ordre n permet de renverser l'ordre des n colonnes (resp. des n lignes) d'une matrice lorsque celle-ci est multipliée à droite (resp. à gauche) par la matrice J_n : c'est pourquoi on l'appelle *matrice de renversement* ou encore *matrice d'arabisation* du fait qu'elle permet d'écrire de droite à gauche les colonnes que l'on lit de gauche à droite et inversement.

Inversement, les produits $\mathrm{J}_n\,T$ et $T\,\mathrm{J}_n$ d'une matrice de Toeplitz T carrée d'ordre n par la matrice J_n sont des matrices de Hankel.

Une matrice structurée est déterminée par la donnée de beaucoup moins de coefficients qu'une matrice ordinaire de même taille. Par exemple une matrice de Hankel (resp. de Toeplitz) de type (n, p) est déterminée par la donnée de $n + p - 1$ coefficients : ceux des première ligne et dernière (resp. première) colonne. Cela rend ces matrices particulièrement importantes pour les « grands calculs » d'algèbre linéaire.

Si $\underline{a} = (a_n)_{n\in\mathbb{N}}$ est une suite arbitraire et si $i, r, p \in \mathbb{N}$ nous noterons

$\mathrm{H}^{\underline{a}}_{i,r,p}$ la matrice de Hankel suivante, qui possède r lignes et p colonnes :

$$\mathrm{H}^{\underline{a}}_{i,r,p} = \begin{bmatrix} a_i & a_{i+1} & a_{i+2} & \cdots & a_{i+p-1} \\ a_{i+1} & a_{i+2} & & & a_{i+p} \\ a_{i+2} & & & & \\ \vdots & & & & \vdots \\ a_{i+r-1} & a_{i+r} & \cdots & \cdots & a_{i+r+p-2} \end{bmatrix}.$$

Le fait suivant est une simple constatation.

Fait 1.4.1 *Reprenant les notations ci-dessus, une suite $\underline{a}$ est une suite récurrente linéaire avec f comme polynôme générateur si et seulement si sont vérifiées pour tous i, $r \in \mathbb{N}$ les équations matricielles*

$$\mathrm{H}^{\underline{a}}_{i,r,p}\,\mathrm{C}_f = \mathrm{H}^{\underline{a}}_{i+1,r,p} \tag{1.17}$$

Ou ce qui revient au même, en transposant, ${}^{\mathrm{t}}\mathrm{C}_f\,\mathrm{H}^{\underline{a}}_{i,p,r} = \mathrm{H}^{\underline{a}}_{i+1,p,r}$. Naturellement, il suffit que ces équations soient vérifées lorsque $r = 1$.

On en déduit

$$\mathrm{H}^{\underline{a}}_{i,r,p}\,(\mathrm{C}_f)^k = \mathrm{H}^{\underline{a}}_{i+k,r,p} \tag{1.18}$$

et donc on a aussi :

Fait 1.4.2 *Sous les mêmes hypothèses, dans toute matrice $\mathrm{H}^{\underline{a}}_{i,r,p+k}$ les k dernières colonnes sont combinaisons linéaires des p premières. Et, par transposition, dans toute matrice $\mathrm{H}^{\underline{a}}_{i,p+k,s}$ les k dernières lignes sont combinaisons linéaires des p premières.*

On en déduit la proposition suivante.

Proposition 1.4.3 *Avec les notations ci-dessus, et dans le cas d'un corps $\mathcal{K}$, si $\underline{a}$ est une suite récurrente linéaire qui admet f pour polynôme générateur, le degré d de son polynôme générateur minimal $\mathrm{P}^{\underline{a}}$ est égal au rang de la matrice de Hankel $\mathrm{H}^{\underline{a}}_{0,p,p}$. Les coefficients de $\mathrm{P}^{\underline{a}}(X) = X^d - \sum_{i=0}^{d-1} g_i X^i \in \mathcal{K}[X]$ sont l'unique solution de l'équation*

$$\mathrm{H}^{\underline{a}}_{0,d,d}\,\mathrm{C}_{\mathrm{P}^{\underline{a}}} = \mathrm{H}^{\underline{a}}_{d,d,1} \tag{1.19}$$

c'est-à-dire encore l'unique solution du système linéaire

$$\begin{bmatrix} a_0 & a_1 & a_2 & \cdots & a_{d-1} \\ a_1 & a_2 & & \iddots & a_d \\ a_2 & & \iddots & \iddots & \vdots \\ \vdots & \iddots & \iddots & & \vdots \\ a_{d-1} & a_d & \cdots & \cdots & a_{2d-2} \end{bmatrix} \begin{bmatrix} g_0 \\ g_1 \\ g_2 \\ \vdots \\ g_{d-1} \end{bmatrix} = \begin{bmatrix} a_d \\ a_{d+1} \\ a_{d+2} \\ \vdots \\ a_{2d-1} \end{bmatrix}.$$

Preuve. Considérons la première relation de dépendance linéaire entre les colonnes de $\mathrm{H}_{0,p,p}^{\underline{a}}$, et appelons g le polynôme unitaire correspondant, qui vérifie

$$ {}^{\mathrm{t}}\mathrm{C}_g \, \mathrm{H}_{0,d,p}^{\underline{a}} = \mathrm{H}_{1,d,p}^{\underline{a}} \, . $$

Cela donne l'équation ${}^{\mathrm{t}}\mathrm{C}_g \, \mathrm{H}_{0,d,p}^{\underline{a}} = \mathrm{H}_{0,d,p}^{\underline{a}} \, \mathrm{C}_f$ d'où immédiatement par récurrence sur k :

$$ ({}^{\mathrm{t}}\mathrm{C}_g)^k \, \mathrm{H}_{0,d,p}^{\underline{a}} = \mathrm{H}_{0,d,p}^{\underline{a}} \, (\mathrm{C}_f)^k = \mathrm{H}_{k,d,p}^{\underline{a}} \, , $$

et donc

$$ {}^{\mathrm{t}}\mathrm{C}_g \, \mathrm{H}_{k,d,p}^{\underline{a}} = \mathrm{H}_{k+1,d,p}^{\underline{a}} \, . $$

A fortiori, pour tout k on a :

$$ {}^{\mathrm{t}}\mathrm{C}_g \, \mathrm{H}_{k,d,1}^{\underline{a}} = \mathrm{H}_{k+1,d,1}^{\underline{a}} \, , $$

et cela signifie que g est également un polynôme générateur pour la suite $\underline{a}$.
On laisse le soin à la lectrice et au lecteur de finir la preuve. □

1.5 Polynômes symétriques et relations de Newton

Soit $\mathcal{A}$ un anneau commutatif unitaire et $\mathcal{A}[x_1, \ldots, x_n]$ l'algèbre sur $\mathcal{A}$ des polynômes à n indéterminées $x_1, \ldots, x_n$.

Tout polynôme $f \in \mathcal{A}[x_1, \ldots, x_n]$ s'écrit de manière unique comme une somme finie de monômes distincts $a_J \, x^J = a_J \, x_1^{j_1} \cdots x_n^{j_n}$ où $J = (j_1, \ldots, j_n) \in \mathbb{N}^n$ et $a_J \in \mathcal{A}$:

$$ f = \sum\nolimits_J a_J \, x_1^{j_1} \cdots x_n^{j_n} $$

où la somme porte sur une partie finie de $\mathbb{N}^n$. On a souvent intérêt à donner un bon ordre sur les termes $x^J = x_1^{j_1} \cdots x_n^{j_n}$ pour faire des preuves par induction. Il suffit par exemple d'ordonner les indéterminées $(x_1 < x_2 < \cdots < x_n)$ pour définir un bon ordre sur les termes x^J, par exemple l'ordre lexicographique, ou l'ordre lexicographique subordonné au degré total.

On écrit souvent aussi le polynôme comme somme de ses composantes homogènes

$$ f = \sum\nolimits_{h=0}^{n} f_h \, , $$

où n est le degré total de f et f_h la composante homogène de degré h de f. Une manière simple de voir les composantes homogènes d'un polynôme $f \in \mathcal{A}[x_1, \ldots, x_n]$ est de considérer une nouvelle indéterminée z et le polynôme en z : $g(z) = f(x_1 z, \ldots, x_n z) \in \mathcal{A}[x_1, \ldots, x_n][z]$. La composante homogène f_h n'est autre que le coefficient de z^h dans $g(z)$.

Désignant par $\mathcal{S}_n$ le groupe des permutations de $\{1, 2, \ldots, n\}$, un polynôme $f \in \mathcal{A}[x_1, \ldots, x_n]$ est dit *symétrique* si son stabilisateur par l'action

$$f = f(x_1, \ldots, x_n) \overset{\tau}{\longmapsto} \tau f = f(x_{\tau(1)}, \ldots, x_{\tau(n)})$$

de $\mathcal{S}_n$ sur $\mathcal{A}[x_1, \ldots, x_n]$ est le groupe $\mathcal{S}_n$ tout entier. C'est-à-dire encore si les monômes d'une même orbite de $\mathcal{S}_n$ figurent dans l'expression de f avec le même coefficient.

Des polynômes symétriques importants sont les *sommes de Newton à n indéterminées* :

$$S_k(x_1, \ldots, x_n) = \sum\nolimits_{i=1}^{n} x_i^k \quad \in \mathcal{A}[x_1, \ldots, x_n] \quad (k \in \mathbb{N}) \tag{1.20}$$

On notera $\mathcal{A}[x_1, \ldots, x_n]_{sym}$ l'ensemble des polynômes symétriques en $x_1, \ldots, x_n$ sur $\mathcal{A}$. C'est une sous-algèbre propre de $\mathcal{A}[x_1, \ldots, x_n]$. Il est bien connu (la démonstration peut se faire par récurrence en utilisant l'ordre lexicographique) que tout polynôme symétrique s'exprime de manière unique comme polynôme en $\sigma_1, \sigma_2, \ldots, \sigma_n$ où les σ_p $(1 \leq p \leq n)$ sont les *polynômes symétriques élémentaires* en $x_1, x_2, \ldots, x_n$:

$$\sigma_p = \sum_{1 \leq i_1 < i_2 < \cdots < i_p \leq n} x_{i_1} x_{i_2} \cdots x_{i_p} \ .$$

Cela signifie que l'homomorphisme de $\mathcal{A}$–algèbres

$$\varphi : \mathcal{A}[y_1, \ldots, y_n] \longrightarrow \mathcal{A}[x_1, \ldots, x_n]_{sym}$$

défini par

$$\varphi(f(y_1, \ldots, y_n)) := f(\sigma_1, \sigma_2, \ldots, \sigma_n)$$

est un isomorphisme.

En outre, lorsque $\mathcal{A}$ est intègre, $\mathcal{F}_{\mathcal{A}}$ désignant le corps des fractions de $\mathcal{A}$, cet isomorphisme φ se prolonge de manière unique en un isomorphisme de $\mathcal{F}_{\mathcal{A}}$–algèbres, de $\mathcal{F}_{\mathcal{A}}(y_1, \ldots, y_n)$ vers $\mathcal{F}_{\mathcal{A}}(x_1, \ldots, x_n)_{sym}$, qui est par définition la sous-algèbre de $\mathcal{F}_{\mathcal{A}}(x_1, \ldots, x_n)$ formée des fractions rationnelles invariantes par permutation des variables. Autrement dit,

toute fraction rationnelle sur $\mathcal{F}_{\mathcal{A}}$, symétrique en $x_1, \ldots, x_n$, s'écrit de manière unique comme une fraction rationnelle en $\sigma_1, \ldots, \sigma_n$ sur $\mathcal{F}_{\mathcal{A}}$. On exprime ce fait en disant que $(\sigma_1, \ldots, \sigma_n)$ est un *système fondamental* de polynômes symétriques en $x_1, \ldots, x_n$ sur le corps $\mathcal{F}_{\mathcal{A}}$. Plus généralement :

Définition 1.5.1 *Étant donné un anneau commutatif unitaire $\mathcal{A}$ (resp. un corps $\mathcal{K}$), et n indéterminées $x_1, \ldots, x_n$ sur cet anneau (resp. ce corps), on appelle* système fondamental de polynômes symétriques en $x_1, \ldots, x_n$ sur l'anneau $\mathcal{A}$ *(resp.* fractions rationnelles symétriques en $x_1, \ldots, x_n$ sur le corps $\mathcal{K}$*) tout système $(f_1, \ldots, f_n)$ de n éléments de $\mathcal{A}[x_1, \ldots, x_n]_{sym}$ (resp. de $\mathcal{K}(x_1, \ldots, x_n)_{sym}$) vérifiant $\mathcal{A}[x_1, \ldots, x_n]_{sym} = \mathcal{A}[f_1, \ldots, f_n]$ (resp. $\mathcal{K}(x_1, \ldots, x_n)_{sym} = \mathcal{K}(f_1, \ldots, f_n)$).*

Attention à l'ambiguité de langage : un système fondamental *sur le corps* $\mathcal{K}$ n'est pas nécessairement un système fondamental *sur l'anneau* $\mathcal{K}$, même s'il est formé de polynômes. Par contre, un système fondamental sur l'anneau intègre $\mathcal{A}$ est toujours un système fondamental sur le corps $\mathcal{F}_{\mathcal{A}}$.

La définition d'un système fondamental sur un corps $\mathcal{K}$ implique l'indépendance algébrique du système $(f_1, f_2, \ldots, f_n)$ et garantit l'unicité de l'expression rationnelle, dans ce système fondamental, de toute fraction rationnelle symétrique sur $\mathcal{K}$.

Les relations dites de Newton permettent d'exprimer les sommes de Newton dans le système fondamental des polynômes symétriques élémentaires.

Proposition 1.5.2 (Relations de Newton) *Les polynômes de Newton à n indéterminées $(S_k)_{k\in\mathbb{N}}$ sont reliés aux n polynômes symétriques élémentaires $(\sigma_k)_{1\leq k\leq n}$ par les relations suivantes :*

(i) $S_0 = n$;

(ii) *pour* $1 \leq k \leq n$: $S_k + \sum_{i=1}^{k-1}(-1)^i\,\sigma_i\,S_{k-i} + (-1)^k\,k\,\sigma_k = 0$;

(iii) *pour* $k > n$: $S_k + \sum_{i=1}^{n}(-1)^i\,\sigma_i\,S_{k-i} = 0$.

Preuve. On pose $\alpha_k = (-1)^{k+1}\,\sigma_k$ $(k = 1\ldots, n)$. Les polynômes symétriques élémentaires apparaissent dans le développement du polynôme

$$Q(X) \;=\; \prod_{i=1}^{n}(1 - x_i X) \;=\; 1 - \sum_{k=1}^{n}\alpha_k\,X^k\,.$$

Par dérivation logarithmique formelle, on obtient les égalités suivantes dans l'algèbre de séries formelles $\mathcal{F}_{\mathcal{A}}(x_1,\ldots,x_n)\,[[X,X^{-1}]]$:

$$\frac{Q'(X)}{Q(X)} = \sum_{i=1}^{n} \frac{-x_i}{1-x_iX} = \frac{1}{X}\sum_{i=1}^{n}\left[1-\frac{1}{1-x_iX}\right] = -\frac{1}{X}\sum_{k=1}^{\infty} S_k\,X^k$$

ou encore dans $\mathcal{F}_{\mathcal{A}}(x_1,\ldots,x_n)\,[[X]]$:

$$-\,X\,Q'(X) \;=\; Q(X)\;\sum_{k=1}^{\infty} S_k\,X^k \tag{1.21}$$

avec $Q(X) = 1-[\alpha_1\,X+\ldots+\alpha_n\,X^n]$ et $-XQ'(X) \;=\; \alpha_1\,X+2\,\alpha_2\,X^2+\ldots+n\,\alpha_n\,X^n$. Identifiant dans l'équation (1.21) les termes en X^k pour $1\le k\le n$, on obtient les formules (ii). Les formules (iii) sont obtenues par identification des termes de degré supérieur à n.

Remarque. En notant $\alpha_i = (-1)^{i+1}\,\sigma_i$ les relations de Newton s'écrivent sous la forme matricielle suivante :

$$\begin{bmatrix} 1 & 0 & \ldots & \ldots & 0 \\ S_1 & 2 & \ddots & & \vdots \\ \vdots & \ddots & \ddots & \ddots & \vdots \\ S_{n-2} & & \ddots & n-1 & 0 \\ S_{n-1} & S_{n-2} & & S_1 & n \\ S_n & S_{n-1} & & & S_1 \\ \vdots & & & & \vdots \\ S_{n+k} & & & & S_{k+1} \\ \vdots & \vdots & \vdots & \vdots & \vdots \end{bmatrix} \begin{bmatrix} \alpha_1 \\ \alpha_2 \\ \vdots \\ \vdots \\ \alpha_n \end{bmatrix} = \begin{bmatrix} S_1 \\ S_2 \\ \vdots \\ \vdots \\ S_n \\ S_{n+1} \\ \vdots \\ S_{n+k+1} \\ \vdots \end{bmatrix} \tag{1.22}$$

Les relations (ii) (qui correspondent aux n premières lignes dans la matrice infinie ci-dessus) et (iii) (qui correspondent aux lignes n° n et suivantes) donnent la même formule si l'on fait $k=n$. D'autre part, les relations (iii) peuvent être obtenues directement : en multipliant par X^{k-n} $(k>n)$ le polynôme

$$P(X) = \prod_{i=1}^{n}(X-x_i) = X^n \;-\; \sum_{i=1}^{n}\alpha_i\,X^{n-i}\;,$$

on obtient

$$X^{k-n}\,P(X) = X^k \;-\; \sum\nolimits_{i=1}^{n}\alpha_i\,X^{k-i}\,.$$

Lorsque $k > n$ les identités $x_j^{k-n}\, P(x_j) = 0$ donnent alors par sommation :

$$\sum_{j=1}^{n} x_j^k \,-\, \sum_{i=1}^{n} \alpha_i \left[\sum\nolimits_{j=1}^{n} x_j^{k-i}\right] = S_k - \sum_{i=1}^{n} \alpha_i\, S_{k-i} = 0\,.$$

Corollaire 1.5.3 *Si $\mathcal{A}$ est un anneau commutatif où les entiers* 1, 2, $\ldots$, n *sont inversibles, alors les sommes de Newton $(S_k)_{1\leq k\leq n}$ en les n indéterminées $x_1, \ldots, x_n$ forment un système fondamental de polynômes symétriques en $x_1, \ldots, x_n$ sur l'anneau $\mathcal{A}$.*

Preuve. Le système triangulaire formé par les n premières équations dans (1.22) admet clairement une solution unique en les α_i. □

Corollaire 1.5.4 *Soit $P = X^n - \big[a_1 X^{n-1} + \ldots + a_{n-1}X + a_n\big]$ un polynôme unitaire à une indéterminée sur un anneau intègre $\mathcal{A}$, et soient $\lambda_1, \lambda_2, \ldots, \lambda_n$ les n racines de ce polynôme (distinctes ou non) dans un corps de décomposition de P (une extension de $\mathcal{F}_{\mathcal{A}}$). Si l'on pose $s_k = \sum_{i=1}^{n} \lambda_i^k$ pour $1 \leq k \leq n$, on a les relations :*

$$\left\{\begin{array}{lcl} s_1 & = & a_1 \\ s_2 & = & s_1\, a_1 + 2\, a_2 \\ \vdots & \vdots & \qquad\vdots \\ s_n & = & s_{n-1}a_1 + \ldots + s_1 a_{n-1} + n\, a_n \end{array}\right. \tag{1.23}$$

Ainsi les coefficients du polynôme P sont déterminés de manière unique dans $\mathcal{A}$ par la donnée de ses sommes de Newton si $n\,!$ est non diviseur de zéro dans $\mathcal{A}$. Et si la division exacte par chacun des entiers $2, \ldots, n$ est explicite lorsqu'elle est possible, le calcul des s_i à partir des a_i est lui aussi explicite.

Dans la définition suivante, on généralise les sommes de Newton pour les zéros du polynôme P au cas d'un anneau commutatif arbitraire.

Définition 1.5.5 *Soit $P = X^n - \big[a_1 X^{n-1} + \ldots + a_{n-1}X + a_n\big]$ un polynôme unitaire à une indéterminée sur un anneau commutatif $\mathcal{A}$. Alors les éléments s_i donnés par les équations (1.23) s'appellent les sommes de Newton de P (ou de tout polynôme $u\,P$ avec u non diviseur de zéro dans $\mathcal{A}$).*

Un fait important est le suivant.

Lemme 1.5.6 *Soit $\mathcal{A}$ un anneau commutatif arbitraire, A une matrice carrée d'ordre n sur $\mathcal{A}$ et P_A son polynôme caractéristique. Les sommes de Newton de P_A données dans la définition précédente sont les traces des puissances de la matrice A : $s_k = \mathrm{Tr}(A^k)$ pour $1 \leq k \leq n$.*

Preuve. On remarque que les égalités à démontrer sont des identités algébriques en les entrées de la matrice A (considérées comme des indéterminées). Il suffit donc de traiter le cas d'un anneau intègre. Dans ce cas, le résultat est donné par le corollaire 1.5.4 et le lemme 1.2.2. □

1.6 Inégalité de Hadamard et calcul modulaire

Nous décrivons d'abord quelques majorations utiles en algèbre linéaire.

1.6.1 Normes matricielles

Si $A = (a_{ij}) \in \mathcal{A}^{m\times n}$ est une matrice à coefficients réels ou complexes, on définit classiquement les *normes* suivantes (cf. [Cia], [GL])

$$\| A \|_1 = \max_{1\leq j\leq n} \left[\sum\nolimits_{i=1}^{m} |a_{ij}| \right] , \quad \| A \|_\infty = \max_{1\leq i\leq m} \left[\sum\nolimits_{j=1}^{n} |a_{ij}| \right]$$

$$\| A \|_F = \sqrt{\sum\nolimits_{i=1}^{m} \sum\nolimits_{j=1}^{n} |a_{ij}|^2}$$

Chacune de ces normes vérifie les relations classiques

$$\| c\, A \| = |c| \, \| A \| , \quad \| A + B \| \leq \| A \| + \| B \|$$

(si A et B ont mêmes dimensions) et

$$\| A\, B \| \leq \| A \| \, \| B \|$$

(si le produit $A\, B$ est défini).

Considérons maintenant des matrices à coefficients entiers. La *taille d'un entier* x est l'espace qu'il occupe lorsqu'on l'implante sur machine. Si le codage des entiers est standard, cela veut dire que la taille de x est correctement appréciée par $1 + \lceil \log_2(1 + |x|) \rceil$.

Notation 1.6.1 Dans tout cet ouvrage $\log x$ dénote $\max(1, \log_2 |x|)$.

Lorsque x est entier, cela représente donc la taille de x à une constante près. Si $\lambda(A) = \log(\| A \|)$ avec l'une des normes précédentes, la taille de chaque coefficient de A est clairement majorée par $\lambda(A)$ (à une constante additive près) et en outre les relations précédentes impliquent immédiatement que

$$\lambda(A\,B) \leq \lambda(A) + \lambda(B), \quad \lambda(A+B) \leq \max(\lambda(A), \lambda(B)) + 1.$$

Ces relations sont souvent utiles pour calculer des majorations de la taille des entiers qui interviennent comme résultats de calculs matriciels.

L'inégalité de Hadamard

L'inégalité de Hadamard s'applique aux matrices à coefficients réels. La valeur absolue du déterminant représente le volume (n - dimensionnel) du parallélépipède construit sur les vecteurs colonnes de la matrice, « et donc » elle est majorée par le produit des longueurs de ces vecteurs :

$$|\det((a_{ij})_{1\leq i,j\leq n})| \leq \prod_{j=1}^{n} \sqrt{\sum_{i=1}^{n} a_{ij}^2} \tag{1.24}$$

Il y a évidemment des preuves rigoureuses de ce fait intuitif. Par exemple le processus d'orthogonalisation de Gram-Schmidt remplace la matrice par une matrice de même déterminant dont les vecteurs-colonnes sont deux à deux orthogonaux et ne sont pas plus longs que ceux de la matrice initiale. La signification géométrique de cette preuve est la suivante : le processus d'orthogonalisation de Gram-Schmidt remplace le parallélépipède (construit sur les vecteurs colonnes) par un parallélépipède droit de même volume dont les cotés sont devenus plus courts. Ce même raisonnement donne l'inégalité dans le cas d'une matrice à coefficients complexes en remplaçant a_{ij}^2 par $|a_{ij}|^2$ (mais l'interprétation géométrique directe disparaît).

Avec les normes $\| \ \|_1$ et $\| \ \|_\infty$ on obtient pour une matrice carrée :

$$|\det(A)| \leq (\| A \|_1)^n \ , \quad |\det(A)| \leq (\| A \|_\infty)^n \tag{1.25}$$

Avec la norme de Frobenius $\| A \|_F$ on obtient la majoration suivante (un produit de n réels positifs dont la somme est constante est maximum lorsqu'ils sont tous égaux) :

$$|\det(A)| \leq \left(\frac{\| A \|_F}{\sqrt{n}} \right)^n \tag{1.26}$$

1.6.2 Le théorème chinois et son application aux calculs modulaires

Soient $p_1, p_2, \ldots, p_r$ des entiers positifs deux à deux premiers entre eux. On pose $M = p_1 p_2 \cdots p_r$. Pour toute suite $x_1, x_2, \ldots, x_r$ de r entiers relatifs, il existe un entier x (unique modulo M) vérifiant : $x \equiv x_i \pmod{p_i}$ $(i = 1, \ldots, r)$. On peut calculer cet entier (modulo M) en remarquant que, pour tout i compris entre 1 et r, les nombres p_i et $q_i = M/p_i$ sont premiers entre eux et que par conséquent il existe des entiers u_i et v_i (relation de Bézout) tels que $p_i u_i + q_i v_i = 1$ $(i = 1, \ldots, r)$. Le nombre x recherché n'est autre que $\sum_{i=1}^{r} x_i q_i v_i$ (modulo M). Il est facile de vérifier qu'il répond bien à la question.

L'une des conséquences importantes du Théorème chinois en calcul formel est son utilisation pour le calcul de coefficients entiers $x \in \mathbb{Z}$ dont on sait majorer la valeur absolue par un entier B strictement positif. Il arrive souvent que les calculs intermédiaires, lorsqu'ils sont effectués (avec ou sans division) dans $\mathbb{Z}$, donnent des coefficients dont la taille explose rapidement, ce qui risque de rendre ces calculs impraticables ou trop coûteux, alors que la taille du résultat final est bien plus petite. Supposons que l'on ait à calculer un $x \in \mathbb{Z}$ tel que $-B \leq x \leq B$ par un algorithme sans divisions.

On commence par choisir des entiers positifs p_1, $p_2, \ldots, p_r$ deux à deux premiers entre eux dont le produit dépasse strictement $2B$. Au lieu de calculer directement x, on effectue tous les calculs modulo p_i séparément pour chaque i $(i = 1, \ldots, r)$. Les résultats x_1, $x_2, \ldots,$ x_r ainsi obtenus sont tels que x est dans la classe de x_i modulo p_i (pour $i = 1 \ldots r$). Utilisant les mêmes notations que ci-dessus pour les coefficients de Bézout relatifs aux couples (p_i, q_i), on récupère ensuite le résultat principal x à partir des résultats partiels x_1, $x_2, \ldots,$ x_r en remarquant que x est l'entier relatif de plus petite valeur absolue congru à $\sum_{i=1}^{r} x_i q_i v_i$ modulo $p_1 p_2 \cdots p_r$ (puisque $-B \leq x \leq B$). Dans le cas d'un algorithme avec divisions, les facteurs p_i doivent être choisis de manière à ce qu'ils soient premiers avec les diviseurs intervenant dans les calculs.

Pour le calcul des déterminants de matrices à coefficients entiers, par exemple, on peut utiliser l'inégalité de Hadamard (1.24) pour faire fonctionner la méthode modulaire. On prendra pour borne $B = M^n n^{n/2}$ où $M = \max_{1 \leq i,j \leq n} |a_{ij}|$. Si cela s'avère préférable, on peut choisir une des bornes données dans les équations (1.25) et (1.26).

Il en est de même pour le calcul du polynôme caractéristique P_A

d'une matrice $A \in \mathbb{Z}^{n\times n}$ car chacun des coefficients de P_A est une somme de mineurs diagonaux de la matrice A. On peut donc là aussi utiliser l'inégalité de Hadamard pour majorer les valeurs absolues des coefficients en vue du traitement modulaire.

Plus précisément, si l'on prend $M = \max_{1\leq i,j\leq n} |a_{ij}|$ comme ci-dessus et si l'on désigne par $m_{k,j}$ $(1 \leq j \leq C_n^k)$ les mineurs de A diagonaux d'ordre k (pour k donné entre 1 et n), alors le coefficient μ_k du terme de degré $n-k$ de P_A est majoré en valeur absolue comme suit :

$$|\mu_k| = \left| \sum_{j\in\{1,\ldots,C_n^k\}} m_{k,j} \right| \leq C_n^k M^k k^{\frac{k}{2}} \leq (2M)^n n^{\frac{n}{2}} \tag{1.27}$$

puisque $C_n^k \leq 2^n$.

Quelques considérations pratiques

L'idée principale dans l'utilisation du calcul modulaire est de remplacer un algorithme dans $\mathbb{Z}$ permettant de résoudre un problème donné par plusieurs algorithmes modulo des nombres premiers.

Pour être vraiment efficace, cette méthode doit être appliquée avec des listes de nombres premiers $p_1, p_2, \ldots, p_r$ déjà répertoriées et pour lesquelles on a déjà calculé les coefficients $q_i v_i$ correspondants qui permettent de récupérer x à partir des x_i.

Ces nombres premiers peuvent être choisis par rapport à la taille des mots traités par les processeurs. Par exemple, pour des processeurs qui traitent des mots à 64 bits, on prend des nombres premiers compris entre 2^{63} et $2^{64}-1$: il y en a suffisamment (bien plus que 10^{17} nombres !) pour résoudre dans la pratique tous les problèmes de taille humainement raisonnable et réaliste [GG]. En outre on possède des tests rapides pour savoir si un nombre est premier, et cela a permis d'établir des listes $p_1, p_2, \ldots, p_r$ avec la liste des coefficients $q_i v_i$ correspondants, qui répondent à tous les cas qui se posent en pratique.

Chaque opération arithmétique élémentaire modulo un tel nombre premier se fait alors en temps constant, ce qui réduit considérablement le temps de calcul. En outre la décomposition du problème en algorithmes modulaires offre la possibilité d'utiliser plusieurs processeurs en parallèle.

1.7 Résolution uniforme des systèmes linéaires

Nous expliquons ici comment le polynôme caractéristique permet de déterminer le rang d'une matrice et de résoudre *uniformément* (avec une seule formule, du type Cramer) les systèmes linéaires ayant un format donné et un rang fixé. Et ceci sur un corps arbitraire.

Cette solution uniforme (cf. [24]) constitue une extension d'un résultat de Mulmuley [73] qui ne traite que la question du rang.

Naturellement, le rang d'une matrice peut être calculé par la méthode du pivot de Gauss. Mais la méthode n'est pas uniforme et, a priori, ne se laisse pas bien paralléliser.

Les applications des formules et algorithmes que nous allons décrire ici seront de deux ordres : d'une part en calcul parallèle, d'autre part lorsqu'on doit traiter des systèmes linéaires dépendant de paramètres.

Dans ce deuxième cas de figure, la méthode du pivot de Gauss produit un arbre de calcul qui risque de comporter un très grand nombre de branches, correspondant à un grand nombre de formules distinctes, lorsque les paramètres prennent toutes les valeurs possibles. Le cas extrême est celui où toutes les entrées d'une matrice sont des paramètres indépendants. Par exemple avec une matrice de rang maximum de format $n \times 2n$ la solution du système linéaire correspondant par la méthode du pivot de Gauss dépend du mineur maximal non nul qu'on extrait, et ce dernier peut être n'importe lequel des $C_{2n}^n > 2^n$ mineurs d'ordre n de la matrice.

En analyse numérique matricielle, avec des matrices à coefficients réels ou complexes, une formule uniforme compacte en rang fixé est obtenue par l'utilisation des coefficients de Gram de la matrice correspondant au système linéaire homogène : dans le cas réel, le Gram d'ordre k d'une matrice A est égal à la somme des carrés de tous les mineurs d'ordre k de A, son annulation signifie que le rang de la matrice n'excède pas $k-1$.

Les identités que nous allons obtenir sont des généralisations directes des formules usuelles qui expriment l'inverse de Moore-Penrose en fonction des coefficients de Gram de la matrice. L'étonnant est que, même sur un corps fini, un petit nombre de sommes de carrés de mineurs suffit à contrôler le rang d'une matrice, et que des formules semblables aux formules usuelles fonctionnent encore.

Il y a cependant un prix à payer, non négligeable, qui est d'introduire un paramètre supplémentaire dans les calculs.

1.7.1 Les coefficients de Gram et l'inverse de Moore-Penrose dans le cas réel ou complexe

Théorie générale

Dans toute la section 1.7.1 A est une matrice dans $\mathbb{K}^{m\times n}$, avec $\mathbb{K} = \mathbb{C}$ ou $\mathbb{R}$, représentant sur des bases orthonormées une application linéaire $\varphi : E \to F$ entre espaces vectoriels hermitiens ou euclidiens de dimension finie. Nous noterons $\langle x, y\rangle$ le produit scalaire des vecteurs x et y. Nous notons $A^\star$ la transposée de la conjuguée de A (dans le cas réel on a $A^\star = {}^{\mathrm{t}}A$). La matrice $A^\star$ représente sur les mêmes bases l'application linéaire adjointe[9] $\varphi^\star$, caractérisée par :

$$\forall x \in E \quad \forall y \in F \qquad \langle \varphi(x), y\rangle_F = \langle x, \varphi^\star(y)\rangle_E \tag{1.28}$$

Les matrices $AA^\star$ et $A^\star A$ sont des matrices carrées hermitiennes positives (symétriques réelles positives dans le cas réel), en général non régulières. Si H est un sous-espace vectoriel de E nous noterons π_H la projection orthogonale de E sur H, vue comme application linéaire de E dans E.

D'un point de vue de pure algèbre linéaire tous les résultats de la « théorie générale » qui suit sont basés sur la décomposition des espaces E et F en sommes directes de noyaux et d'images de φ et $\varphi^\star$.

Lemme 1.7.1 *Nous avons deux sommes directes :*

$$\operatorname{Im}\varphi \oplus \operatorname{Ker}\varphi^\star = F, \quad \operatorname{Ker}\varphi \oplus \operatorname{Im}\varphi^\star = E \tag{1.29}$$

Cela résulte du fait que $\operatorname{Ker}\varphi^\star$ (resp. $\operatorname{Ker}\varphi$) est le sous-espace orthogonal de $\operatorname{Im}\varphi$ (resp. $\operatorname{Im}\varphi^\star$), ce qui est une conséquence directe de l'égalité (1.28).

Nous en déduisons les faits suivants.

Fait 1.7.2

1. *L'application linéaire φ se restreint en un isomorphisme φ_0 de $\operatorname{Im}\varphi^\star$ sur $\operatorname{Im}\varphi$ et $\varphi^\star$ se restreint en un isomorphisme $\varphi_0^\star$ de $\operatorname{Im}\varphi$ sur $\operatorname{Im}\varphi^\star$.*
2. *En outre :*

$$\begin{aligned} \operatorname{Im}\varphi &= \operatorname{Im}\varphi\varphi^\star, & \operatorname{Ker}\varphi^\star &= \operatorname{Ker}\varphi\varphi^\star, \\ \operatorname{Ker}\varphi &= \operatorname{Ker}\varphi^\star\varphi, & \operatorname{Im}\varphi^\star &= \operatorname{Im}\varphi^\star\varphi. \end{aligned} \tag{1.30}$$

9. A ne pas confondre avec la matrice adjointe $\operatorname{Adj}(A)$. Cette ambigüité dans la terminologie, en français, est ennuyeuse.

3. *Soit* $\varphi_1 : \operatorname{Im}\varphi \to \operatorname{Im}\varphi$ *l'automorphisme linéaire défini par* $\varphi_1 = \varphi_0\varphi_0^\star$. *C'est la restriction de* $\varphi\,\varphi^\star$ *à* $\operatorname{Im}\varphi$. *Nous avons :*

$$\left\{\begin{array}{rcl} \det(\mathrm{Id}_{\operatorname{Im}\varphi} + Z\,\varphi_1) & = & \det(\mathrm{Id}_F + Z\,\varphi\varphi^\star) \\ & = & 1 + a_1 Z + \cdots + a_r Z^r\,. \end{array}\right.$$

où $r = \operatorname{rg}(\varphi) = \operatorname{rg}(\varphi_1)$ *et* $a_r \neq 0$. *De la même façon, nous avons l'automorphisme* $\varphi_1^\star = \varphi_0^\star\,\varphi_0$ *de* $\operatorname{Im}\varphi^\star$ *et*

$$\left\{\begin{array}{rcl} \det(\mathrm{Id}_{\operatorname{Im}\varphi^\star} + Z\,\varphi_1^\star) & = & \det(\mathrm{Id}_E + Z\,\varphi^\star\varphi) \\ & = & 1 + a_1 Z + \cdots + a_r Z^r\,. \end{array}\right.$$

Ce sont des conséquences directes du lemme 1.7.1.

Peut-être cela sera plus clair si nous représentons $\varphi^\star$ et φ dans les sommes orthogonales (1.29) :

$$\varphi = \begin{pmatrix} \varphi_0 & 0_{K,I} \\ 0_{I^\star,K^\star} & 0_{K,K^\star} \end{pmatrix}, \quad \varphi^\star = \begin{pmatrix} \varphi_0^\star & 0_{K^\star,I^\star} \\ 0_{I,K} & 0_{K^\star,K} \end{pmatrix} \tag{1.31}$$

où $K = \operatorname{Ker}\varphi,\ K^\star = \operatorname{Ker}\varphi^\star,\ I = \operatorname{Im}\varphi,\ I^\star = \operatorname{Im}\varphi^\star$.

Définition 1.7.3 *Les* coefficients de Gram de A (ou de φ) *sont les* $\mathcal{G}_k(A) = \mathcal{G}_k(\varphi) = a_k$ *donnés par la formule*

$$\det(\mathrm{I}_m + Z\,AA^\star) = 1 + a_1\,Z + \cdots + a_m\,Z^m. \tag{1.32}$$

Nous définissons aussi $\mathcal{G}_0(A) = 1$ et $\mathcal{G}_\ell(A) = 0$ pour $\ell > m$.

Notez que le polynôme caractéristique de $B = AA^\star$ est égal à $(-1)^m Z^m Q(1/Z)$ où $Q(Z) = \det(\mathrm{I}_m + Z\,B)$. Les coefficients de Gram de φ sont donc, au signe près, les coefficients du polynôme caractéristique de $\varphi\varphi^\star$.

Lemme 1.7.4 (Conditions de Gram pour le rang)

1. *L'application linéaire* φ *est de rang* $\leq r$ *si et seulement si* $\mathcal{G}_k(\varphi) = 0$ *pour* $r < k \leq n$. *Elle est de rang* r *si en outre* $\mathcal{G}_r(\varphi) \neq 0$.
2. *Le coefficient de Gram* $\mathcal{G}_k(A)$ *est un nombre réel positif ou nul, égal à la somme des carrés des modules des mineurs d'ordre* k *de la matrice* A. *En conséquence,* $\mathcal{G}_{r+1}(\varphi) = 0$ *suffit pour certifier que le rang est* $\leq r$.

Preuve. Le premier point est une conséquence directe du fait 1.7.2-3. Il pourrait aussi être vu comme une conséquence du second point, que nous démontrons maintenant.
Le coefficient a_k est la somme des mineurs principaux d'ordre k de $AA^\star$. Chaque mineur principal d'ordre k est obtenu comme déterminant de la matrice correspondante, qui est égale à $A_\alpha(A_\alpha)^\star$ où α désigne un k-uple $\alpha_1 < \cdots < \alpha_k$ extrait de $\{1, \ldots, m\}$ et A_α est la matrice extraite de A en gardant seulement les k lignes correspondant à α. La formule de Binet-Cauchy (1.2) nous indique alors que ce déterminant est la somme des carrés des modules des mineurs d'ordre k extraits de A_α. □

Nous supposons désormais $r = \mathrm{rg}(\varphi)$ (donc $a_r = \mathcal{G}_r(\varphi) \neq 0$). Puisque

$$\det(\mathrm{Id}_{\mathrm{Im}\,\varphi} + Z\,\varphi_1) \;=\; \det(\mathrm{Id}_F + Z\,\varphi\varphi^\star) \;=\; 1 + a_1 Z + \cdots + a_r Z^r$$

le théorème de Cayley-Hamilton nous donne

$$\varphi_1^r - a_1\varphi_1^{r-1} + \cdots + (-1)^r a_r \mathrm{Id}_{\mathrm{Im}\,\varphi} \;=\; 0\,. \tag{1.33}$$

Par suite, on obtient en remplaçant φ_1 par $\varphi\varphi^\star$ dans la formule précédente

$$(\varphi\varphi^\star)^r - a_1(\varphi\varphi^\star)^{r-1} + \cdots + (-1)^r a_r \pi_{\mathrm{Im}\,\varphi} \;=\; 0\,.$$

Ainsi :

Lemme 1.7.5 (projections orthogonales sur l'image et sur le noyau)

1. *La projection orthogonale π_I sur le sous-espace $I = \mathrm{Im}\,\varphi \subseteq F$ est égale à :*

$$a_r^{-1}\left(a_{r-1}\varphi\,\varphi^\star - a_{r-2}(\varphi\,\varphi^\star)^2 + \cdots + (-1)^{r-1}(\varphi\,\varphi^\star)^r\right). \tag{1.34}$$

2. *La projection orthogonale $\pi_{I^\star}$ sur le sous-espace $I^\star = \mathrm{Im}\,\varphi^\star \subseteq E$ est égale à :*

$$a_r^{-1}\left(a_{r-1}\varphi^\star\varphi - a_{r-2}(\varphi^\star\varphi)^2 + \cdots + (-1)^{r-1}(\varphi^\star\varphi)^r\right). \tag{1.35}$$

Et la projection orthogonale sur le noyau de φ est $\mathrm{Id}_E - \pi_{I^\star}$.

En outre l'équation (1.33) implique que l'inverse de φ_1 est donné par

$$\varphi_1^{-1} \;=\; a_r^{-1}\left(a_{r-1}\mathrm{Id}_{\mathrm{Im}\,\varphi} - a_{r-2}\varphi_1 + \cdots + (-1)^{r-1}\varphi_1^{r-1}\right)\,.$$

De même on a

$$\varphi_1^{\star -1} \;=\; a_r^{-1}\left(a_{r-1}\mathrm{Id}_{\mathrm{Im}\,\varphi^\star} - a_{r-2}\varphi_1^\star + \cdots + (-1)^{r-1}\varphi_1^{\star r-1}\right).$$

et puisque $\varphi_1^\star = \varphi_0^\star\,\varphi_0$, cela donne

$$\left\{\begin{array}{l} \forall y \in \mathrm{Im}\,\varphi^\star \quad \varphi_1^{\star -1}(y) \;= \\ \quad a_r^{-1}\left(a_{r-1}\mathrm{Id}_E - a_{r-2}(\varphi^\star\varphi) + \cdots + (-1)^{r-1}(\varphi^\star\varphi)^{r-1}\right)(y) \end{array}\right. \tag{1.36}$$

Définition 1.7.6 *Supposons que φ est de rang r.* L'inverse de Moore-Penrose de φ (en rang r) *est l'application linéaire $\varphi^{[-1]_r} : F \to E$ définie par :*

$$\forall y \in F \qquad \varphi^{[-1]_r}(y) = \varphi_0^{-1}(\pi_{\mathrm{Im}\,\varphi}(y)).$$

Remarque. Nous n'avons pas écrit $\varphi^{[-1]_r} = \varphi_0^{-1} \circ \pi_{\mathrm{Im}\,\varphi}$ parce que le deuxième membre est a priori « mal défini » : $\pi_{\mathrm{Im}\,\varphi}$ est une application de F dans F, φ_0^{-1} est une application de $\mathrm{Im}\,\varphi$ dans $\mathrm{Im}\,\varphi^\star$ et $\varphi^{[-1]_r}$ est une application de F dans E.

D'après (1.29) et (1.31) on voit que

$$\begin{array}{lrcl} \forall y \in F & \pi_{\mathrm{Im}\,\varphi}(y) & = & \varphi_0^{\star -1}(\varphi^\star(y)) \\ \forall y \in F & \varphi^{[-1]_r}(y) & = & \varphi_0^{-1}(\varphi_0^{\star -1}(\varphi^\star(y))). \end{array}$$

et puisque $\varphi_0^{-1} \circ \varphi_0^{\star -1} = \varphi_1^{\star -1}$ nous obtenons

$$\forall y \in F \quad \varphi^{[-1]_r}(y) = \varphi_1^{\star -1}(\varphi^\star(y)) \tag{1.37}$$

En appliquant (1.36) on obtient alors une formule uniforme en rang r qui donne une solution des systèmes linéaires en analyse numérique matricielle :

Proposition 1.7.7 (Inverse de Moore-Penrose) *Soit $v \in F$. Soit $\varphi \oplus v$ l'application linéaire $E \oplus \mathbb{K} \to F$ définie par $(\varphi \oplus v)(x, \lambda) = \varphi(x) + \lambda v$.*
1) L'inverse de Moore-Penrose $\varphi^{[-1]_r} \in \mathcal{L}(F, E)$ est donné par :

$$\left\{\begin{array}{l} a_r^{-1}\left(a_{r-1}\mathrm{Id}_E - a_{r-2}(\varphi^\star\varphi) + \cdots + (-1)^{r-1}(\varphi^\star\varphi)^{r-1}\right)\varphi^\star \\ \quad = \\ a_r^{-1}\,\varphi^\star\left(a_{r-1}\mathrm{Id}_F - a_{r-2}(\varphi\varphi^\star) + \cdots + (-1)^{r-1}(\varphi\varphi^\star)^{r-1}\right) \end{array}\right. \tag{1.38}$$

où $a_k = \mathcal{G}_k(\varphi)$.
2) Nous avons $v \in \mathrm{Im}(\varphi)$ si et seulement si $\mathcal{G}_{r+1}(\varphi \oplus v) = 0$ si et seulement si

$$v \;=\; \varphi\,\varphi^{[-1]_r}(v) \tag{1.39}$$

Dans ce cas $x = \varphi^{[-1]_r}(v)$ est l'unique solution dans $\mathrm{Im}(\varphi^\star)$.

Remarque 1.7.8 *Voici la formulation matricielle du lemme 1.7.5 et de la proposition 1.7.7. Soient* m, n, $r > 0$ *dans* $\mathbb{N}$ *avec* $r \leq \min(m, n)$ *et* $A \in \mathbb{K}^{m\times n}$ *une matrice de rang* r. *Posons* $a_k = \mathcal{G}_k(A)$. *Soit* $V \in \mathbb{K}^{m\times 1}$.
1) La matrice de la projection orthogonale sur le sous-espace $\operatorname{Im} A \subseteq \mathbb{K}^m$ *est égale à*

$$P = a_r^{-1}\left(a_{r-1}AA^\star - a_{r-2}(AA^\star)^2 + \cdots + (-1)^{r-1}(AA^\star)^r\right).$$

2) La matrice de la projection orthogonale sur le sous-espace $\operatorname{Im} A^\star \subseteq \mathbb{K}^n$ *est égale à :*

$$P^\star = a_r^{-1}\left(a_{r-1}A^\star A - a_{r-2}(A^\star A)^2 + \cdots + (-1)^{r-1}(A^\star A)^r\right).$$

Et celle de la projection orthogonale sur le noyau de A *est* $\mathrm{I}_n - P^\star$.
3) La matrice $A^{[-1]_r} \in \mathbb{K}^{n\times m}$ *(inverse de Moore-Penrose de* A *en rang* r*) est égale à :*

$$a_r^{-1}\left(a_{r-1}\mathrm{I}_n - a_{r-2}A^\star A + \cdots + (-1)^{r-1}(A^\star A)^{r-1}\right)\ A^\star \tag{1.40}$$

4) Le système linéaire $AX = V$ *admet une solution si et seulement si* $\mathcal{G}_{r+1}(A|V) = 0$ *(*$(A|V)$ *est la matrice obtenue en juxtaposant la colonne* V *à droite de la matrice* A*) si et seulement si on a l'égalité :*

$$V \ = \ A\ A^{[-1]_r}\ V \tag{1.41}$$

Dans ce cas $X = A^{[-1]_r}\ V$ *est l'unique solution dans l'espace* $\operatorname{Im} A^\star$.

Notez que la matrice $A^{[-1]_r} \in \mathbb{K}^{n\times m}$ est bien définie par la formule (1.40) dès que A est de rang $\geq r$. Cela est utile en analyse numérique et de manière plus générale chaque fois que les coefficients de A sont des réels connus avec seulement une précision finie (ce qui peut introduire une incertitude sur le rang de la matrice).

Cas des matrices hermitiennes

Lorsque $E = F$ et $\varphi = \varphi^\star$, l'endomorphisme φ est dit hermitien. Alors on a une décomposition orthogonale $E = \operatorname{Ker}\varphi \oplus \operatorname{Im}\varphi$ et la restriction φ_0 de φ à $\operatorname{Im}\varphi$ est un automorphisme linéaire de $\operatorname{Im}\varphi$. Nous posons

$$\det(\mathrm{Id}_E + Z\,\varphi) = \det(\mathrm{I}_m + Z\,A) = 1 + b_1\,Z + \cdots + b_n\,Z^n. \tag{1.42}$$

Au signe près, les b_i sont donc les coefficients du polynôme caractéristique de φ. Si le rang de φ est égal à r alors $b_r \neq 0$, $b_{r+1} = \ldots = b_n = 0$ et

$$\det(\mathrm{Id}_E + Z\,\varphi) = \det(\mathrm{Id}_{\mathrm{Im}\,\varphi} + Z\,\varphi_0) = 1 + b_1\,Z + \cdots + b_r\,Z^r.$$

Ainsi par Cayley-Hamilton

$$\varphi_0^r - b_1\,\varphi_0^{r-1} + b_2\,\varphi_0^{r-2} + \cdots + (-1)^{r-1} b_{r-2}\,\varphi_0 + (-1)^{r-1} b_r\,\mathrm{Id}_{\mathrm{Im}\,\varphi} = 0$$

Et en remplaçant φ_0 par φ nous obtenons :

$$\varphi^r - b_1\,\varphi^{r-1} + b_2\,\varphi^{r-2} + \cdots + (-1)^{r-1} b_{r-2}\,\varphi + (-1)^{r-1} b_r\,\pi_{\mathrm{Im}\,\varphi} = 0$$

Ceci donne, pour le cas des matrices hermitiennes, une version simplifiée des résultats précédents plus généraux. Elle se trouve dans l'ouvrage [BP] de Bini et Pan.

Proposition 1.7.9 (inverse de Moore-Penrose, cas hermitien)
1) La projection orthogonale $\pi_{\mathrm{Im}}\,\varphi$ *sur le sous-espace* $\mathrm{Im}\,\varphi$ *est égale à :*

$$b_r^{-1}\left(b_{r-1}\,\varphi - b_{r-2}\,\varphi^2 + \cdots + (-1)^{r-1} b_1\,\varphi^{r-1} + (-1)^r \varphi^r\right). \tag{1.43}$$

2) L'inverse de Moore-Penrose $\varphi^{[-1]_r} \in \mathcal{L}(E,E)$ *est égal à :*

$$b_r^{-1}\left(b_{r-1}\,\pi_{\mathrm{Im}\,\varphi} - b_{r-2}\,\varphi + \cdots + (-1)^{r-1} b_1\,\varphi^{r-2} + (-1)^r \varphi^{r-1}\right) \tag{1.44}$$

Remarquez que l'équation (1.34) peut être déduite de (1.30) et (1.43).

Interprétation géométrique

Si $\lambda_1 \geq \lambda_2 \geq \cdots \geq \lambda_r$ sont les *valeurs singulières* non nulles de φ, c'est-à-dire les racines carrées des valeurs propres > 0 de $\varphi\varphi^\star$ il existe des bases orthonormées de E et F par rapport auxquelles la matrice de φ est égale à L :

$$L = \begin{bmatrix} \lambda_1 & 0 & \cdots & \cdots & 0 & \cdots & 0 \\ 0 & \lambda_2 & 0 & & & & \vdots \\ \vdots & \ddots & \ddots & \ddots & & & \vdots \\ \vdots & & \ddots & \lambda_r & 0 & & \vdots \\ 0 & \cdots & \cdots & 0 & 0 & & 0 \\ \vdots & & & & & & \vdots \\ 0 & \cdots & & \cdots & & \cdots & 0 \end{bmatrix}$$

(cf. [Cia, GL, LT]).

Matriciellement on obtient $A = ULV$ où U et V sont des matrices unitaires (orthogonales dans la cas réel) convenables. Ceci s'appelle la décomposition de A en valeurs singulières (la SVD en anglais).

On voit que φ transforme la sphère unité de E en un ellipsoïde dans $\operatorname{Im}\varphi$ avec pour longueurs des axes principaux $2\lambda_1, \ldots, 2\lambda_r$. Dans ces conditions la matrice de $\varphi^\star$ est égale à $L^\star = {}^{\mathrm{t}}L$ et celle de $\varphi^{[-1]_r}$ est égale à

$$L^{[-1]_r} = \begin{bmatrix} (\lambda_1)^{-1} & 0 & \cdots & \cdots & 0 & \cdots & 0 \\ 0 & (\lambda_2)^{-1} & 0 & & & & \vdots \\ \vdots & \ddots & \ddots & \ddots & & & \vdots \\ \vdots & & \ddots & (\lambda_r)^{-1} & 0 & & \vdots \\ 0 & \cdots & \cdots & 0 & 0 & & 0 \\ \vdots & & & & & & \vdots \\ 0 & \cdots & & \cdots & & \cdots & 0 \end{bmatrix}$$

de même format que ${}^{\mathrm{t}}L$.

Bien que les matrices L et $A^{[-1]_r}$ soient attachées de manière unique à A et dépendent continument de A (sous l'hypothèse que le rang est fixé), il n'en va pas de même pour les matrices U et V de la décomposition en valeurs singulières, qui sont fondamentalement instables.

Que le vecteur v appartienne ou non à $\operatorname{Im}\varphi$ on a toujours $\varphi^{[-1]_r}(v) \in \operatorname{Im}\varphi^\star$, qui est le sous-espace orthogonal à $\operatorname{Ker}\varphi$ et $\varphi(\varphi^{[-1]_r}(v))$ est la projection orthogonale de v sur $\operatorname{Im}\varphi$. Ainsi lorsque v n'est pas dans l'image, l'inverse de Moore-Penrose fournit une *solution approchée* $x = \varphi^{[-1]_r}(v)$ qui donne pour $\varphi(x)$ la meilleure approximation (au sens des moindres carrés) de v. En outre x est la plus petite en norme (parmi les solutions qui réalisent cette meilleure approximation).

Ce qui est remarquable est qu'on arrive à calculer (essentiellement à l'aide du polynôme caractéristique de $\varphi\varphi^\star$) les projections orthogonales et l'inverse de Moore-Penrose par une formule uniforme (plus exactement, par une formule qui ne dépend que du rang, lequel se lit sur le polynôme caractéristique en question) sans qu'on ait besoin de calculer les bases orthonormées dans lesquelles se révèle la géométrie de l'application linéaire φ.

1.7.2 Généralisation sur un corps arbitraire

Théorie générale

Dans le cas réel ou complexe, on a vu qu'en termes d'algèbre linéaire tout le paragraphe « théorie générale » est gouverné par les sommes directes (1.29) entre les noyaux et images de φ et $\varphi^\star$ (lemme 1.7.1) :

$$\operatorname{Im}\varphi \oplus \operatorname{Ker}\varphi^\star = F, \quad \operatorname{Ker}\varphi \oplus \operatorname{Im}\varphi^\star = E\,.$$

Il suffit en effet, lorsqu'on parle de projection orthogonale, de remplacer par exemple l'expression *projection orthogonale sur* $\operatorname{Im}\varphi$ par *projection sur* $\operatorname{Im}\varphi$ *parallèlement à* $\operatorname{Ker}(\varphi^\star)$.

Nous allons voir maintenant que ces relations (1.29) peuvent être réalisées de manière automatique sur un corps arbitraire $\mathcal{K}$ à condition d'introduire, à la place de $A^\star$, une matrice A° à coefficients dans le corps $\mathcal{K}(t)$ où t est une indéterminée.

Pour cela nous nous limitons au point de vue purement matriciel, (c'est le point de vue où des bases ont été fixées dans E et F). Nous considérons une forme quadratique $\Phi_{t,n}$ sur $E' = \mathcal{K}(t)^n$ et une forme quadratique $\Phi_{t,m}$ sur $F' = \mathcal{K}(t)^m$:

$$\begin{aligned}\Phi_{t,n}(\xi_1,\dots,\xi_n) &= {\xi_1}^2 + t\,{\xi_2}^2 + \cdots + t^{n-1}\,{\xi_n}^2\\ \Phi_{t,m}(\zeta_1,\dots,\zeta_m) &= {\zeta_1}^2 + t\,{\zeta_2}^2 + \cdots + t^{m-1}\,{\zeta_m}^2\end{aligned}$$

Nous notons les « produits scalaires » correspondants par $\langle\cdot,\cdot\rangle^t_{E'}$ et $\langle\cdot,\cdot\rangle^t_{F'}$. Nous notons Q_n et Q_m les matrices (diagonales) de ces formes sur les bases canoniques.

Toute application linéaire $\varphi : E \to F$ donne lieu à une application linéaire $E' \to F'$ que nous notons encore φ et qui est définie par la même matrice sur les bases canoniques. Il existe alors une unique application linéaire $\varphi^\circ : F' \to E'$ qui réalise les égalités (1.28) dans ce nouveau contexte :

$$\forall x \in E' \quad \forall y \in F' \qquad \langle\varphi(x), y\rangle^t_{F'} = \langle x, \varphi^\circ(y)\rangle^t_{E'} \tag{1.45}$$

La matrice A° de φ° sur les bases canoniques est alors

$$A^\circ \;=\; {Q_n}^{-1}\;{}^{\mathrm{t}}A\,Q_m\,,$$

puisqu'on doit avoir pour tous $X \in \mathcal{K}(t)^{n\times 1}$, $Y \in \mathcal{K}(t)^{m\times 1}$

$${}^{\mathrm{t}}(A\,X)\,Q_m\,Y \;=\; {}^{\mathrm{t}}X\,Q_n\,(A^\circ\,Y)\,.$$

En pratique si $A = (a_{i,j})$ on obtient $A^\circ = (t^{j-i}\, a_{j,i})$, par exemple :

$$A \;=\; \begin{bmatrix} a_{11} & a_{12} & a_{13} & a_{14} & a_{15} \\ a_{21} & a_{22} & a_{23} & a_{24} & a_{25} \\ a_{31} & a_{32} & a_{33} & a_{34} & a_{35} \end{bmatrix}, \quad A^\circ \;=\; \begin{bmatrix} a_{11} & t\, a_{21} & t^2\, a_{31} \\ t^{-1}\, a_{12} & a_{22} & t\, a_{32} \\ t^{-2}\, a_{13} & t^{-1}\, a_{23} & a_{33} \\ t^{-3}\, a_{14} & t^{-2}\, a_{24} & t^{-1}\, a_{34} \\ t^{-4} a_{15} & t^{-3} a_{25} & t^{-2} a_{35} \end{bmatrix}$$

Comme nous l'avons déjà indiqué, pour pouvoir reproduire (avec les légères variations nécessaires) le fait 1.7.2, les définitions 1.7.3 et 1.7.6, les lemmes 1.7.4, 1.7.5 et la proposition 1.7.7 il nous suffit de démontrer l'analogue du lemme 1.7.1.

Lemme 1.7.10 *Avec les notations ci-dessus on a pour toute matrice $M \in \mathcal{K}^{m\times n}$, des sommes directes orthogonales dans les espaces $F' = \mathcal{K}(t)^m$ et $E' = \mathcal{K}(t)^n$*

$$\operatorname{Im}\varphi \oplus \operatorname{Ker}\varphi^\circ = F'\,, \quad \operatorname{Ker}\varphi \oplus \operatorname{Im}\varphi^\circ = E' \tag{1.46}$$

Preuve. Les dimensions conviennent et il suffit de montrer que l'intersection est réduite à 0. Prenons par exemple la première. La relation (1.45) implique que l'orthogonal de $\operatorname{Im}\varphi$ au sens de la forme bilinéaire $\langle\cdot,\cdot\rangle_{F'}$ est égal à $\operatorname{Ker}\varphi^\circ$. Il nous suffit donc de montrer que si H est un sous-espace vectoriel de $F' = \mathcal{K}(t)^m$ *défini sur* $\mathcal{K}$, son orthogonal $H^\perp$ dans $\mathcal{K}(t)^m$ au sens du produit scalaire $\langle\cdot,\cdot\rangle^t_{F'}$ ne le coupe qu'en 0. Soit donc $(p_1(t),\dots,p_m(t)) \in H \cap H^\perp$. Il existe $v_1,\dots,v_r \in H$ et $a_1(t),\dots,a_r(t) \in \mathcal{K}(t)$ tels que $(p_1(t),\dots,p_m(t)) = \sum_i a_i(t)\, v_i$. Quitte à multiplier par le produit des dénominateurs on peut supposer que les a_i sont des polynômes et donc aussi les p_i. On peut introduire une nouvelle indéterminée u et travailler dans $\mathcal{K}[t,u]$. Alors puisque $\sum_i a_i(t)\, v_i$ est orthogonal à tous les v_i il est orthogonal à $\sum_i a_i(u)\, v_i = (p_1(u),\dots,p_m(u))$ et cela donne

$$P(t,u) = \sum\nolimits_{i=1}^m p_i(t)\, p_i(u)\, t^{i-1} = 0\,.$$

Il nous reste à voir que cette relation implique que les p_i sont tous nuls. Supposons l'un des p_i non nul. Soit $d \geq 0$ le plus grand des degrés des p_i. Soit k le plus grand indice pour lequel $\deg p_k = d$ et a_k le coefficient dominant de p_k. Alors on vérifie facilement que le coefficient de $u^d\, t^{d+k-1}$ dans $P(t,u)$ est égal à a_k^2, et donc P est non nul. $\square$

Nous nous contentons maintenant de reproduire les définitions et résultats dans notre nouveau cadre.

Fait 1.7.11

1. *L'application linéaire* $\varphi : E' \to F'$ *se restreint en un isomorphisme* φ_0 *de* $\operatorname{Im}\varphi^\circ$ *sur* $\operatorname{Im}\varphi$ *et* φ° *se restreint en un isomorphisme* φ_0° *de* $\operatorname{Im}\varphi$ *sur* $\operatorname{Im}\varphi^\circ$.
2. *En outre :*

$$\begin{array}{rclrcl} \operatorname{Im}\varphi & = & \operatorname{Im}\varphi\varphi^\circ\,, & \operatorname{Ker}\varphi^\circ & = & \operatorname{Ker}\varphi\varphi^\circ\,, \\ \operatorname{Ker}\varphi & = & \operatorname{Ker}\varphi^\circ\varphi\,, & \operatorname{Im}\varphi^\circ & = & \operatorname{Im}\varphi^\circ\varphi\,. \end{array} \tag{1.47}$$

3. *Soit* $\varphi_1 : \operatorname{Im}\varphi \to \operatorname{Im}\varphi$ *l'automorphisme linéaire défini par* $\varphi_1 = \varphi_0\varphi_0^\circ$. *C'est la restriction de* $\varphi\,\varphi^\circ$ *à* $\operatorname{Im}\varphi$. *Nous avons :*

$$\left\{ \begin{array}{rcl} \det(\mathrm{Id}_{\operatorname{Im}\varphi} + Z\,\varphi_1) & = & \det(\mathrm{Id}_F + Z\,\varphi\varphi^\circ) \\ & = & 1 + a_1 Z + \cdots + a_r Z^r\,. \end{array} \right.$$

où $r = \operatorname{rg}(\varphi) = \operatorname{rg}(\varphi_1)$ *et* $a_r \neq 0$. *De la même façon, nous avons l'automorphisme* $\varphi_1^\circ = \varphi_0^\circ\,\varphi_0$ *de* $\operatorname{Im}\varphi^\circ$ *et*

$$\left\{ \begin{array}{rcl} \det(\mathrm{Id}_{\operatorname{Im}\varphi^\circ} + Z\,\varphi_1^\circ) & = & \det(\mathrm{Id}_E + Z\,\varphi^\circ\varphi) \\ & = & 1 + a_1 Z + \cdots + a_r Z^r\,. \end{array} \right.$$

Les coefficients de la matrice $A\,A^\circ$ sont des *polynômes de Laurent*, autrement dit des éléments de $\mathcal{K}[t, 1/t]$.

Définition 1.7.12 *Les* polynômes de Gram (généralisés) de A *sont les polynômes de Laurent* $\mathcal{G}'_k(A)(t) = a_k(t) \in \mathcal{K}[t, 1/t]$, *et les* coefficients de Gram généralisés de A *sont les coefficients* $\mathcal{G}'_{k,\ell}(A) = a_{k,\ell}$ *donnés par la formule*

$$\left\{ \begin{array}{rcl} \det(\mathrm{I}_m + Z\,AA^\circ) & = & 1 \,+\, a_1(t)\,Z \,+\, \cdots \,+\, a_m(t)\,Z^m \\ a_k(t) & = & t^{-k(n-k)} \left(\sum_{\ell=0}^{k(m+n-2k)} a_{k,\ell}\,t^\ell \right) \end{array} \right. \tag{1.48}$$

Nous définissons aussi $\mathcal{G}'_0(A) = 1$ et $\mathcal{G}'_\ell(A) = 0$ pour $\ell > m$.

On vérifie aisément que $\mathcal{G}'_k(A)(t) = \mathcal{G}'_k({}^{\mathrm{t}}A)(1/t)$.

Dans la suite de cette section, nous dirons, pour abréger, « polynôme » à la place de « polynôme de Laurent » en laissant au lecteur le soin de déterminer selon le contexte si des puissances négatives de la variable sont présentes ou non.

Notons que les coefficients de Gram usuels sont donnés par

$$\mathcal{G}_k(A) = \mathcal{G}'_k(A)(1) = \sum\nolimits_\ell a_{k,\ell} \tag{1.49}$$

Les coefficients de Gram généralisés sont des sommes de carrés de mineurs et ils permettent de contrôler le rang de la matrice en vertu du lemme suivant, qui est l'analogue du lemme 1.7.4.

Lemme 1.7.13 (Conditions de Gram généralisées pour le rang) *Soit* $A \in \mathcal{K}^{m\times n} \subseteq \mathcal{K}(t)^{m\times n}$.

(1) *La matrice* A *est de rang* $\leq r$ *si et seulement si les polynômes* $\mathcal{G}'_k(A)(t)$ *pour* $k > r$ *sont identiquement nuls. Elle est de rang* r *si en outre* $\mathcal{G}'_r(A) \neq 0$.

(2) *Le coefficient de Gram* $a_{k,\ell} = \mathcal{G}'_{k,\ell}(A)$ *est égal à la somme des carrés des mineurs* $\mu_{\alpha,\beta}$ *d'ordre* k *de la matrice* A *extraits sur les lignes et les colonnes correspondant aux multi-indices* $\alpha = (\alpha_1, \ldots, \alpha_k)$ *et* $\beta = (\beta_1, \ldots, \beta_k)$ *pour toutes les paires* (α, β) *qui vérifient l'égalité* $\sum_{i=1}^k \alpha_i - \sum_{j=1}^k \beta_j = \ell - k(n-k)$.

En particulier $\mathcal{G}'_k(A) = 0$ si $k > p = \inf(m, n)$.

En posant $p = \inf(m, n)$ et $p' = \sup(m, n)$ le nombre total des coefficients de Gram généralisés est égal à :

$$\sum_{k=1}^{p} \left(k\left(m+n-2k\right)+1\right) = p + \frac{1}{6}\,p\left(p+1\right)\left(3p'-p-2\right) \leq \frac{1}{2}p(p+1)p'\,.$$

Nous avons les analogues du lemme 1.7.5 et de la proposition 1.7.7.

Lemme 1.7.14 (projections sur l'image et sur le noyau)
Soient $m, n, r > 0$ *dans* $\mathbb{N}$ *avec* $r \leq \min(m, n)$, $A \in \mathcal{K}^{m\times n}$ *une matrice de rang* r. *Posons* $a_k(t) = \mathcal{G}'_k(A)$.

(1) *La matrice de la projection sur le sous-espace* $\operatorname{Im} A \subseteq \mathcal{K}(t)^m$ *parallèlement à* $\operatorname{Ker} A^\circ$ *est égale à*

$$P = a_r^{-1}\left(a_{r-1}AA^\circ - a_{r-2}(AA^\circ)^2 + \cdots + (-1)^{r-1}(AA^\circ)^r\right) \tag{1.50}$$

(2) *La matrice de la projection sur le sous-espace* $\operatorname{Im} A^\circ \subseteq \mathcal{K}(t)^n$ *parallèlement à* $\operatorname{Ker} A$ *est égale à*

$$P^\bullet = a_r^{-1}\left(a_{r-1}A^\circ A - a_{r-2}(A^\circ A)^2 + \cdots + (-1)^{r-1}(A^\circ A)^r\right) \tag{1.51}$$

Et la matrice de projection sur le noyau de A *parallèlement à* $\operatorname{Im} A^\circ$ *est* $\mathrm{I}_n - P^\bullet$.

Notez qu'il s'agit de projections orthogonales par rapport aux formes bilinéaires $\langle .,. \rangle^t_{E'}$ et $\langle .,. \rangle^t_{F'}$.

Remarque. En fait chaque formule peut être spécialisée en remplaçant t par n'importe quelle valeur $\tau \in \mathcal{K} \setminus \{0\}$ qui n'annule pas le dénominateur $a_r(t)$ (ce qui est toujours possible si le corps possède au moins $r(m+n-2r)+1$ éléments).

Définition 1.7.15 *Supposons que φ est de rang r.* L'inverse de Moore-Penrose généralisé de φ (en rang r) *est l'application linéaire $\varphi^{[-1]_{r,t}}$: $F' \to E'$ définie par :*

$$\forall y \in F' \qquad \varphi^{[-1]_{r,t}}(y) = \varphi_0^{-1}(\pi_{\operatorname{Im}\varphi}(y)).$$

Proposition 1.7.16 (inverse de Moore-Penrose généralisé)
Soient $m, n, r > 0$ dans $\mathbb{N}$ avec $r \leq \min(m,n)$, $A \in \mathcal{K}^{m\times n}$ de rang r, $V \in \mathcal{K}^{m\times 1}$.

(1) *L'inverse de Moore-Penrose généralisé de A en rang r est la matrice $A^{[-1]_{r,t}} \in \mathcal{K}(t)^{n\times m}$ égale à*

$$a_r^{-1}\left(a_{r-1}\mathrm{I}_m - a_{r-2}A^\circ A + \cdots + (-1)^{r-1}(A^\circ A)^{r-1}\right)\ A^\circ \tag{1.52}$$

où $a_k = \mathcal{G}'_k(A)$.

(2) *Le système linéaire $AX = V$ admet une solution si et seulement si le polynôme $\mathcal{G}'_{r+1}(A|V)$ est identiquement nul si et seulement si*

$$V \ = \ A\ A^{[-1]_{r,t}}\ V \tag{1.53}$$

Dans ce cas $X = A^{[-1]_{r,t}}V$ est l'unique solution dans $\operatorname{Im}(A^\circ)$.

Remarque. Si φ est injective et $v \in \operatorname{Im}\varphi$ est représenté par un vecteur colonne $V \in \mathcal{K}^{m\times 1}$ l'élément $A^{[-1]_{r,t}}\,V$ est l'unique solution du système linéaire correspondant. En conséquence, il ne dépend pas de t et les fractions rationnelles données par le calcul des coordonnées de $A^{[-1]_{r,t}}\,V$ se simplifient en des constantes.

Cas des matrices symétriques

Dans ce paragraphe $E' = F' = \mathcal{K}(t)^{n\times n}$, φ est défini par une matrice symétrique $A = {}^{\mathrm{t}}A \in \mathcal{K}^{n\times n}$ et $\operatorname{rg}(\varphi) = r$. Soit λ l'automorphisme linéaire de E' defini par Q_n par rapport à la base canonique.

Définissons $\widehat{\varphi} = \lambda^{-1} \circ \varphi$, $\widetilde{\varphi} = \varphi \circ \lambda$.

La matrice de $\widehat{\varphi}$ est $\widehat{A} = Q_n^{-1} A$, celle de $\widetilde{\varphi}$ est $\widetilde{A} = A\, Q_n$.
Puisque A est symétrique, on a :

$$\widehat{A}(t) = {}^{\mathrm{t}}(\widetilde{A})(1/t) \ \text{ et } \ \varphi^\circ = \lambda^{-1} \circ \varphi \circ \lambda = \widehat{\varphi} \circ \lambda = \lambda^{-1} \circ \widetilde{\varphi}\,.$$

On en déduit :

$$\begin{array}{lll} \operatorname{Im} \widehat{\varphi} = \operatorname{Im} \varphi^\circ, & \operatorname{Ker} \widehat{\varphi} = \operatorname{Ker} \varphi, & \operatorname{Im} \widetilde{\varphi} = \operatorname{Im} \varphi, \\ \operatorname{Ker} \widetilde{\varphi} = \operatorname{Ker} \varphi^\circ, & \operatorname{Im} \varphi = \lambda(\operatorname{Im} \varphi^\circ), & \operatorname{Ker} \varphi = \lambda(\operatorname{Ker} \varphi^\circ) \end{array}$$

Donc l'équation (1.46) peut être réécrite comme deux décompositions orthogonales (par rapport à la forme bilinéaire $\langle .,. \rangle^t_{E'}$) :

$$\begin{array}{rcccccc} \operatorname{Im} \widehat{\varphi} \oplus \operatorname{Ker} \widehat{\varphi} & = & \operatorname{Im} \varphi^\circ \oplus \operatorname{Ker} \varphi & = & I^\circ \oplus K & = & E', \\ \operatorname{Im} \widetilde{\varphi} \oplus \operatorname{Ker} \widetilde{\varphi} & = & \operatorname{Im} \varphi \oplus \operatorname{Ker} \varphi^\circ & = & I \oplus K^\circ & = & E'. \end{array}$$

Nous notons $\widetilde{\varphi}_0$ l'automorphisme de I obtenu par restriction de $\widetilde{\varphi}$.
Les applications linéaires φ, $\widetilde{\varphi}$ et $\widetilde{\varphi}_0$ ont même rang r, et la somme directe $\operatorname{Im} \widetilde{\varphi} \oplus \operatorname{Ker} \widetilde{\varphi} = I \oplus K^\circ = E'$ entraîne que :

$$\det(\mathrm{I}_n + Z\, \widetilde{\varphi}) = \det(\mathrm{Id}_I + Z\, \widetilde{\varphi}_0) = 1 + b_1(t)\, Z + \cdots + b_r(t) Z^r \qquad (1.54)$$

avec $b_r \neq 0$ et $b_{r+1} = \ldots = b_n = 0$. Les $b_i(t)$ sont au signe près les coefficients du polynôme caractéristique de $\widetilde{\varphi}$.

On vient de démontrer la version simplifiée du lemme 1.7.13. Ceci constitue le résultat clé de Mulmuley [73].

Lemme 1.7.17 (Conditions de Mulmuley pour le rang d'une matrice symétrique) *Soit $\widetilde{A} = A\, Q_n$ avec $A \in \mathcal{K}^{n \times n}$ symétrique. Soit $c_k = c_k(t)$ le coefficient de Z^{n-k} dans le polynôme caractéristique $\mathrm{P}_{\widetilde{A}}(Z)$ de $\widetilde{A}$. Alors, la matrice A est de rang $\leq r$ si et seulement si les polynômes $c_k(t)$ pour $k > r$ sont identiquement nuls.*
Elle est de rang r si en outre $c_r(t) \neq 0$.

Puisqu'on a la somme orthogonale $\operatorname{Im} \widetilde{\varphi} \oplus \operatorname{Ker} \widetilde{\varphi} = E'$ on peut reproduire les calculs donnés dans le cas des matrices symétriques réelles et on obtient le résultat suivant, qui simplifie ceux obtenus dans le cas d'une matrice arbitraire, de façon similaire à la proposition 1.7.9.

Proposition 1.7.18 (Un inverse généralisé d'une matrice symétrique) *Soit $A \in \mathcal{K}^{n \times n}$ symétrique de rang r, $E' = \mathcal{K}(t)^n$ et $\varphi : E' \to E'$ l'application linéaire définie par A. On considère la matrice $\widetilde{A} = A\, Q_n$.*

Les coefficients b_i *sont définis par l'égalité* (1.54). *Dans la suite l'orthogonalité s'entend par rapport à la forme bilinéaire* $\langle .,. \rangle^t_{E'}$.

(1) *La projection orthogonale* $\pi_{\operatorname{Im}\varphi}$ *sur le sous-espace* $\operatorname{Im}\varphi$ *de* E' *a pour matrice :*

$$P = b_r^{-1}\left(b_{r-1}\,\widetilde{A} - b_{r-2}\,\widetilde{A}^{\,2} + \cdots + (-1)^{r-1} b_1\,\widetilde{A}^{\,r-1} + (-1)^r \widetilde{A}^{\,r}\right).$$

(2) *L'inverse de Moore-Penrose généralisé* $\widetilde{\varphi}^{\,[-1]_{r,t}} \in \mathcal{L}(E', E')$ *de* $\widetilde{\varphi}$ *a pour matrice :*

$$\widetilde{A}^{\,[-1]_{r,t}} = b_r{}^{-1}\left(b_{r-1}\,P - b_{r-2}\,\widetilde{A} + \cdots + (-1)^{r-1} b_1\,\widetilde{A}^{\,r-2} + (-1)^r \widetilde{A}^{\,r-1}\right)$$

(3) *L'endomorphisme* $\psi = \lambda \circ \widetilde{\varphi}^{\,[-1]_{r,t}}$ *de* E', *dont la matrice est* $B = Q_n\,\widetilde{A}^{\,[-1]_{r,t}}$, *est un* inverse généralisé *de* φ *au sens suivant :*

$$\varphi \circ \psi \circ \varphi = \varphi \quad \text{et} \quad \psi \circ \varphi \circ \psi = \psi\,.$$

L'application linéaire $\varphi \circ \psi$ *est la projection sur* $\operatorname{Im}\varphi$ *parallèlement à* $\operatorname{Ker}\psi$ *et* $\psi \circ \varphi$ *est la projection sur* $\operatorname{Im}\psi$ *parallèlement à* $\operatorname{Ker}\varphi$.
Pour tout vecteur colonne V *le système linéaire* $AX = V$ *admet une solution si et seulement si* $ABV = V$ *et en cas de réponse positive,* BV *est l'unique solution dans l'espace* $\operatorname{Im}\psi$.

Preuve. Il reste à prouver le point 3. Posons $\theta = \widetilde{\varphi}^{\,[-1]_{r,t}}$. On sait que

$$\widetilde{\varphi} \circ \theta \circ \widetilde{\varphi} = \widetilde{\varphi} \quad \text{et} \quad \theta \circ \widetilde{\varphi} \circ \theta = \theta\,.$$

Puisque $\widetilde{\varphi} = \varphi \circ \lambda$ et $\psi = \lambda \circ \theta$, cela donne tout de suite les deux égalités demandées pour ψ et φ. Tout le reste suit sans difficulté. □

Pour la théorie des inverses généralisés nous recommandons les livres [Bha] et [LT].

Interprétation par les identités de Cramer

Supposons la matrice A de rang r et V dans l'espace engendré par les colonnes de A. Appelons C_j la j-ème colonne de A. Soit $\mu_{\alpha,\beta} = \det(A_{\alpha,\beta})$ le mineur d'ordre r de la matrice A extrait sur les lignes $\alpha = \{\alpha_1, \ldots, \alpha_r\}$ et les colonnes $\beta = \{\beta_1, \ldots, \beta_r\}$. Pour $j = 1, \ldots, r$ soit $\nu_{\alpha,\beta,j}$ le déterminant de la même matrice extraite, à ceci près que la colonne j a été remplacée par la colonne extraite de V sur les lignes α.

Alors on obtient pour chaque couple (α, β) de multi-indices une identité de Cramer :

$$\mu_{\alpha,\beta}\, V = \sum\nolimits_{j=1}^{r} \nu_{\alpha,\beta,j}\, C_{\beta_j} \tag{1.55}$$

due au fait que le rang de la matrice $(A_{1..m,\beta}|V)$ est inférieur ou égal à r (cf. l'égalité 1.6 page 8). Ceci peut se relire comme suit :

$$\begin{aligned}
\mu_{\alpha,\beta}\, V &= \begin{bmatrix} C_{\beta_1} & \dots & C_{\beta_r} \end{bmatrix} \cdot \begin{bmatrix} \nu_{\alpha,\beta,1} \\ \vdots \\ \nu_{\alpha,\beta,r} \end{bmatrix} = \\
&= \begin{bmatrix} C_{\beta_1} & \dots & C_{\beta_r} \end{bmatrix} \cdot \mathrm{Adj}(A_{\alpha,\beta}) \cdot \begin{bmatrix} v_{\alpha_1} \\ \vdots \\ v_{\alpha_r} \end{bmatrix} = \\
&= A \cdot (\mathrm{I}_n)_{1..n,\beta} \cdot \mathrm{Adj}(A_{\alpha,\beta}) \cdot (\mathrm{I}_m)_{\alpha,1..m} \cdot V
\end{aligned} \tag{1.56}$$

Notons $|\alpha| = \sum_{i=1}^{r} \alpha_i$, $|\beta| = \sum_{i=1}^{r} \beta_i$. Rappelons que

$$\mathcal{G}'_r(A)(t) \;=\; \sum_{\alpha,\beta} t^{|\alpha|-|\beta|}\;\; \mu^2_{\alpha,\beta}.$$

Si nous multiplions chaque égalité (1.56) par $\mu_{\alpha,\beta}\, t^{|\alpha|-|\beta|}$ et si nous additionnons toutes ces égalités nous obtenons une expression de la forme :

$$\mathcal{G}'_r(A) \cdot V = A \cdot \Big(\sum\nolimits_{\alpha,\beta} \mu_{\alpha,\beta}\, t^{|\alpha|-|\beta|} \cdot (\mathrm{I}_n)_{1..n,\beta} \cdot \mathrm{Adj}(A_{\alpha,\beta}) \cdot (\mathrm{I}_m)_{\alpha,1..m} \Big) \cdot V$$

Cette formule ressemble beaucoup trop à (1.53) donnée dans la proposition 1.7.16 :

$$V \;=\; A\, A^{[-1]_{r,t}}\, V$$

pour ne pas être due à une égalité

$$\mathcal{G}'_r(A)\, A^{[-1]_{r,t}} \;=\; \sum_{\beta,\alpha} \mu_{\alpha,\beta}\; t^{|\alpha|-|\beta|}\, (\mathrm{I}_n)_{1..n,\beta} \cdot \mathrm{Adj}(A_{\alpha,\beta}) \cdot (\mathrm{I}_m)_{\alpha,1..m}. \tag{1.57}$$

Ainsi l'inverse de Moore-Penrose généralisé peut être interprété comme une somme pondérée d'identités de Cramer.

Nous ne prouverons cependant pas cette dernière égalité. On peut la trouver, démontrée dans un cadre différent (plus général) et formulée différemment, comme l'égalité 2.13 dans [76] ou, avec la même formulation qu'ici, dans [25].

2. Algorithmes de base en algèbre linéaire

Introduction

Il s'agit dans ce chapitre de décrire et d'analyser certaines méthodes séquentielles, plus ou moins classiques, pour le calcul du déterminant et du polynôme caractéristique à coefficients dans un anneau commutatif.

L'objectif recherché est de comparer ces algorithmes séquentiels et de dégager le meilleur possible, c'est-à-dire le plus rapide théoriquement et pratiquement, occupant le moins d'espace mémoire possible (en évitant notamment l'explosion de la taille des résultats intermédiaires), le plus facilement implémentable sur machine séquentielle et le plus général, c'est-à-dire applicable dans un anneau commutatif arbitraire.

Nous introduirons plus loin (chapitre 4) des notions précises de complexité. Dans ce chapitre nous nous contenterons de la notion informelle de complexité arithmétique donnée par le compte du nombre d'opérations arithmétiques dans l'anneau de base lors de l'exécution de l'algorithme considéré. Nous ferons également quelques commentaires, souvent informels, sur le bon contrôle (ou non) de la taille des résultats intermédiaires.

Nous commençons par l'algorithme du pivot de Gauss pour le calcul du déterminant. C'est l'algorithme d'algèbre linéaire le plus classique. Il fonctionne sur un corps et possède de nombreuses applications (solutions de systèmes linéaires , calcul de l'inverse, LU-décomposition ...). *La méthode du pivot pour la résolution des systèmes linéaires est en fait due aux savants chinois* : on pourra consulter à ce sujet la notice historique du chapitre 3 dans l'ouvrage de Schrijver [Sch] ainsi que l'étude plus récente de Karine Chemla [1] [15, 16].

1. Dès le troisième siècle de notre ére, on trouve dans les commentaires de Liu Hui sur le texte classique *Les neuf Chapitres* ce qu'il semble légitime d'appeler une

Nous continuons avec un algorithme qui a pour mérite sa très grande simplicité : l'algorithme de Jordan-Bareiss qui peut être vu comme une adaptation de la méthode du pivot de Gauss, avec un meilleur comportement des coefficients intermédiaires. Cet algorithme fonctionne sur un anneau commutatif intègre, à condition que les divisions exactes ne soit pas trop coûteuses. Dans le cas du calcul du polynôme caractéristique, il devient un algorithme sans division et s'applique sur un anneau commutatif arbitraire. C'est ce que nous appelons la méthode de Jordan-Bareiss modifiée. Une variante de l'algorithme de Jordan-Bareiss due à Dodgson (alias Lewis Caroll) offre des perspectives intéressantes dans le cas des matrices structurées.

Nous étudions ensuite l'algorithme de Hessenberg, couramment utilisé en analyse numérique. Il utilise des divisions par des éléments non nuls arbitraires (on suppose donc qu'on travaille sur un corps). Mais en calcul formel, où l'on veut des résultats exacts, se pose sérieusement le problème de la croissance de la taille des résultats intermédiaires.

Nous signalons la méthode d'interpolation de Lagrange dans laquelle le calcul du polynôme caractéristique dépend du calcul de plusieurs déterminants.

Nous examinons ensuite des méthodes qui utilisent des divisions uniquement par des nombres entiers (de petite taille). Il s'agit de la méthode de Le Verrier et de son amélioration à la Souriau-Faddeev-Frame.

Nous continuons avec les méthodes sans division de Samuelson-Berkowitz et de Chistov. Plus sophistiquées et nettement plus efficaces que la méthode de Jordan-Bareiss modifiée elles fonctionnent également sur un anneau commutatif arbitraire. L'algorithme de Chistov présente les mêmes caractéristiques que celui de Samuelson-Berkowitz mais révèle un léger handicap par rapport à ce dernier dans les tests expérimentaux.

Nous terminons avec les méthodes qui utilisent les suites récurrentes linéaires. Celle que nous appelons méthode de Frobenius a de bonnes caractéristiques tant du point de vue du nombre d'opérations arithmétiques que de la taille des résultats intermédiaires. Elle ne s'applique cependant pas en toute généralité, et, hormis le cas des corps finis, elle est en pratique surpassée par l'algorithme de Berkowitz, sans doute parce que ce dernier n'utilise pas de division, et a besoin de moins d'espace mémoire (meilleur contrôle des résultats intermédiaires). Nous exposons également une variante due à Wiedemann.

Dans ce chapitre, nous nous intéressons seulement à des versions

---

preuve de correction de l'algorithme du pivot de Gauss présenté dans ce texte ancien.

assez simples des algorithmes.

Nous dirons qu'une version d'un algorithme est *élémentaire* si les multiplications de matrices, de polynômes ou de nombres entiers qui interviennent en son sein sont exécutées selon la méthode classique usuelle (dite parfois « naïve »). Pour les matrices et les polynômes la multiplication usuelle consiste à appliquer simplement la formule définissant le produit. Pour la multiplication des entiers, il s'agit de l'algorithme qu'on apprend à l'école primaire.

D'autre part, nous parlons de *versions séquentielles* dans la mesure où les méthodes qui cherchent à accélérer l'exécution lorsque de nombreux processeurs sont utilisés en parallèle ne sont pas envisagées.

Dans ce chapitre, nous ne développons que des versions séquentielles élémentaires.

Rappelons enfin la convention importante suivante : dans tout cet ouvrage la notation $\log n$ signifie $\max(1, \log_2 n)$.

2.1 Méthode du pivot de Gauss

C'est la méthode la plus répandue et la plus courante aussi bien pour le calcul exact que pour le calcul approché des déterminants lorsque les coefficients appartiennent à un corps $\mathcal{K}$ dans lequel les opérations de base $(+, -, \times, /)$ ainsi que le test d'égalité à 0 s'effectuent par des algorithmes.

Son intérêt réside non seulement dans le fait qu'elle possède plusieurs variantes (symboliques ou numériques) jouant un rôle important dans la réduction et l'inversion des matrices et dans la résolution des systèmes linéaires, mais aussi dans le fait que la technique du pivot est utilisée dans d'autres méthodes de réduction comme celle de Jordan-Bareiss, ou pour le calcul du polynôme caractéristique comme nous le verrons plus loin avec, par exemple, les méthodes de « Jordan-Bareiss modifiée » ou de Hessenberg.

2.1.1 Transformations élémentaires

Une matrice est dite *triangulaire supérieure* (resp. triangulaire inférieure) si les éléments situés au-dessous de (resp. au dessus de) la diagonale principale sont nuls. On dit matrice triangulaire lorsque le contexte rend clair de quelle variante il s'agit. Une matrice triangulaire

est dite *unitriangulaire* si les coefficients sur la diagonale principale sont tous égaux à 1.

Basée sur l'idée des éliminations successives des inconnues dans la résolution d'un système linéaire, la méthode du pivot de Gauss consiste à réduire une matrice $A \in \mathcal{K}^{m\times n}$ à une matrice triangulaire supérieure par une succession de transformations élémentaires sur les lignes (et éventuellement sur les colonnes) de A.

Les *transformations élémentaires* sur les lignes d'une matrice sont de trois types :

(i) multiplier une ligne par un élément non nul de $\mathcal{K}$;

(ii) échanger deux lignes ;

(iii) ajouter à une ligne le produit d'une autre ligne par un élément de $\mathcal{K}$.

On définit de manière analogue les transformations élémentaires sur les colonnes.

On associe à toute transformation élémentaire (sur les lignes ou sur les colonnes) d'une matrice $A \in \mathcal{K}^{m\times n}$ la matrice (dite élémentaire) obtenue en effectuant cette même transformation élémentaire de la matrice unité (matrice unité d'ordre m ou n selon le cas). Toute transformation élémentaire sur les lignes (resp. colonnes) de A revient alors à multiplier à gauche (resp. à droite) la matrice A par la matrice élémentaire correspondante. Ceci est dû simplement au fait que si $L_1, L_2 \in \mathcal{K}^{1\times n}$, on a pour tout $\lambda \in \mathcal{K}$:

$$\begin{bmatrix} \lambda & 0 \\ 0 & 1 \end{bmatrix} \begin{bmatrix} L_1 \\ L_2 \end{bmatrix} = \begin{bmatrix} \lambda L_1 \\ L_2 \end{bmatrix} \ ; \quad \begin{bmatrix} 0 & 1 \\ 1 & 0 \end{bmatrix} \begin{bmatrix} L_1 \\ L_2 \end{bmatrix} = \begin{bmatrix} L_2 \\ L_1 \end{bmatrix} \ ;$$

$$\text{et} \ \begin{bmatrix} 1 & 0 \\ \lambda & 1 \end{bmatrix} \begin{bmatrix} L_1 \\ L_2 \end{bmatrix} = \begin{bmatrix} L_1 \\ L_2 + \lambda L_1 \end{bmatrix} . \ (^2)$$

Il est clair que l'inverse d'une transformation élémentaire sur les lignes (resp. colonnes) est une transformation élémentaire de même type sur les lignes (resp. colonnes). Précisément :

$$\begin{bmatrix} \lambda & 0 \\ 0 & 1 \end{bmatrix}^{-1} = \begin{bmatrix} \lambda^{-1} & 0 \\ 0 & 1 \end{bmatrix} \quad , \quad \begin{bmatrix} 0 & 1 \\ 1 & 0 \end{bmatrix}^{-1} = \begin{bmatrix} 0 & 1 \\ 1 & 0 \end{bmatrix}$$

$$\text{et} \ \begin{bmatrix} 1 & 0 \\ \lambda & 1 \end{bmatrix}^{-1} = \begin{bmatrix} 1 & 0 \\ -\lambda & 1 \end{bmatrix} \ \text{pour tout } \lambda \in \mathcal{K}.$$

2. Égalités analogues pour les colonnes.

Une matrice (et l'application linéaire correspondante) est dite *unimodulaire* si elle est de déterminant 1. Lorsqu'on veut se limiter aux transformations élémentaires qui correspondent au produit par une matrice unimodulaire, on a droit seulement à celles du troisième type. Néanmoins, il est facile de voir qu'une succession de trois telles transformations permet d'obtenir un *échange signé de lignes (ou de colonnes)* du type $(L_i, L_j) \leftarrow (L_j, -L_i)$, qui est considéré comme la variante unimodulaire des transformations élémentaires du deuxième type. Les échanges signés et les transformations élémentaires du troisème type sont appelées *transformations élémentaires unimodulaires*.

L'élimination de Gauss proprement dite que nous considérons ici est essentiellement une succession de transformations élémentaires du troisième type sur les lignes : des échanges de lignes ou de colonnes n'interviennent que s'il y a lieu de chercher un pivot non nul pour le ramener au bon endroit. Chaque étape de l'algorithme de Gauss consiste donc à traiter le pivot (non nul) issu de l'étape précédente, en faisant apparaître des zéros au-dessous de ce pivot, et à déterminer ensuite le pivot de l'étape suivante pour le placer sur la diagonale consécutivement au pivot précédent. Si on remplaçait les échanges (de lignes ou de colonnes) signés, on obtiendrait donc une réduction n'utilisant que des transformations élémentaires unimodulaires.

En fait, il est bien connu, et c'est une conséquence de la méthode du pivot de Gauss, que toute matrice carrée inversible est égale à un produit de matrices élémentaires. Et qu'en conséquence toute matrice (de n'importe quel format) peut être ramenée par manipulations élémentaires de lignes et de colonnes à une forme canonique du type suivant

$$\begin{bmatrix} \mathrm{I}_r & | & 0 \\ - & - & - \\ 0 & | & 0 \end{bmatrix}$$

avec la possibilité de lignes ou de colonnes vides.

Cette réduction est d'une importance théorique capitale. Citons par exemple Gabriel & Roiter [GR] page 5, qui donnent d'ailleurs dans leur chapitre 1 des extensions très intéressantes de la méthode : [...] *en dépit de son évidence et de sa simplicité, ou peut-être grâce à elles, cette réduction est très utile, et son usage répété conduit à des résultats profonds.*

Si on se limite aux transformations élémentaires unimodulaires, alors la forme réduite est la même que ci-dessus dans le cas d'une matrice rectangulaire ou carrée non inversible, et pour une matrice carrée inversible

il faut modifier la forme réduite en prenant son dernier coefficient diagonal non nécessairement égal à 1.

2.1.2 La LU - décomposition

Lorsque le processus de triangulation d'une matrice $A \in \mathcal{K}^{m\times n}$ aboutit sans qu'aucune permutation de lignes ou de colonnes n'intervienne — ce qui a lieu si les r premières sous-matrices principales dominantes de A, r étant le rang de A, sont régulières — et si l'on garde en mémoire les matrices élémentaires associées aux transformations effectuées, la méthode du pivot de Gauss permet d'obtenir, en même temps que la triangulation de A, ce qu'il est convenu d'appeler une *LU-décomposition*, c'est-à-dire une façon d'écrire A sous la forme : $A = LU$, où $U \in \mathcal{K}^{m\times n}$ est une matrice triangulaire supérieure (c'est la forme triangulaire recherchée de A), et $L \in \mathcal{K}^{m\times m}$ une matrice unitriangulaire inférieure : L n'est autre que l'inverse du produit des matrices élémentaires correspondant aux transformations successives effectuées sur les lignes de A.

Pour une matrice carrée régulière, l'existence d'une telle décomposition équivaut au fait que le processus de triangulation arrive à son terme sans aucun échange de lignes ni de colonnes. Elle équivaut aussi à la complète régularité de la matrice puisque les mineurs principaux de la matrice considérée ne sont autres que les produits successifs des pivots rencontrés au cours du processus. Enfin, toujours dans le cas d'une matrice carrée régulière, l'existence de la décomposition implique son unicité. Cela ne serait plus le cas pour une matrice singulière comme on peut le voir ici

$$\begin{bmatrix} 1 & 0 & 0 \\ 2 & 1 & 0 \\ 3 & 4 & 1 \end{bmatrix} \begin{bmatrix} 1 & 3 & 1 \\ 0 & 0 & 1 \\ 0 & 0 & 1 \end{bmatrix} = \begin{bmatrix} 1 & 3 & 1 \\ 2 & 6 & 3 \\ 3 & 9 & 8 \end{bmatrix} = \begin{bmatrix} 1 & 0 & 0 \\ 2 & 1 & 0 \\ 3 & 0 & 1 \end{bmatrix} \begin{bmatrix} 1 & 3 & 1 \\ 0 & 0 & 1 \\ 0 & 0 & 5 \end{bmatrix}.$$

Nous donnons maintenant à voir le résultat de la méthode du pivot de Gauss avec des matrices à coefficients entiers.

Exemples 2.1.1 Nous montrons deux exemples caractérisitiques, où tous les pivots qui se présentent sur la diagonale sont non nuls. Nous donnons les matrices L et U. Le premier est celui d'une matrice dont les coefficients entiers ne prennent pas plus

que 2 chiffres. Sur la première ligne les matrices M_1 et L_1, ensuite la matrice U_1.

$$\begin{bmatrix} 9 & 7 & 8 & 11 & 13 & 4 \\ 19 & 4 & 56 & 84 & 73 & 10 \\ 35 & 62 & -13 & 17 & 23 & 11 \\ 20 & 3 & 6 & 7 & 5 & 9 \\ 49 & 23 & 50 & 42 & 2 & 17 \end{bmatrix}, \begin{bmatrix} 1 & 0 & 0 & 0 & 0 \\ \frac{19}{9} & 1 & 0 & 0 & 0 \\ \frac{35}{9} & \frac{-313}{97} & 1 & 0 & 0 \\ \frac{20}{9} & \frac{113}{97} & \frac{-5562}{7963} & 1 & 0 \\ \frac{49}{9} & \frac{136}{97} & \frac{-4694}{7963} & \frac{-21433}{244718} & 1 \end{bmatrix},$$

$$U_1 = \begin{bmatrix} 9 & 7 & 8 & 11 & 13 & 4 \\ 0 & \frac{-97}{9} & \frac{352}{9} & \frac{547}{9} & \frac{410}{9} & \frac{14}{9} \\ 0 & 0 & \frac{7963}{97} & \frac{16523}{97} & \frac{11586}{97} & \frac{45}{97} \\ 0 & 0 & 0 & \frac{244718}{7963} & \frac{51521}{7963} & \frac{-10965}{7963} \\ 0 & 0 & 0 & 0 & \frac{-15092695}{244718} & \frac{-1665525}{244718} \end{bmatrix}.$$

Le deuxième exemple est celui d'une matrice à coefficients dans $\mathbb{Q}$. Le numérateur et le dénominateur n'ont qu'un chiffre, mais la croissance de la taille des coefficients est spectaculaire. Sur la première ligne M_2 et U_2, sur la seconde L_2.

$$\begin{bmatrix} \frac{1}{6} & \frac{3}{2} & \frac{-9}{5} & \frac{7}{6} & \frac{-7}{6} \\ \frac{3}{2} & \frac{-9}{8} & 1 & \frac{5}{7} & \frac{2}{9} \\ \frac{-1}{9} & \frac{2}{3} & \frac{7}{6} & \frac{1}{8} & \frac{9}{5} \\ \frac{7}{8} & \frac{3}{4} & \frac{1}{4} & \frac{-7}{9} & \frac{-4}{3} \\ \frac{-1}{3} & -1 & \frac{-7}{6} & \frac{-4}{9} & \frac{6}{7} \\ \frac{9}{8} & \frac{-1}{2} & \frac{2}{5} & \frac{-5}{9} & \frac{9}{8} \\ \frac{2}{3} & \frac{-8}{7} & -1 & \frac{4}{9} & \frac{-3}{7} \end{bmatrix}, \begin{bmatrix} \frac{1}{6} & \frac{3}{2} & \frac{-9}{5} & \frac{7}{6} & \frac{-7}{6} \\ 0 & \frac{-117}{8} & \frac{86}{5} & \frac{-137}{14} & \frac{193}{18} \\ 0 & 0 & \frac{6763}{3510} & \frac{-4175}{19656} & \frac{35446}{15795} \\ 0 & 0 & 0 & \frac{-3391183}{1704276} & \frac{-959257}{486936} \\ 0 & 0 & 0 & 0 & \frac{25849022797}{10254937392} \\ 0 & 0 & 0 & 0 & 0 \\ 0 & 0 & 0 & 0 & 0 \end{bmatrix}$$

$$L_2 = \begin{bmatrix} 1 & 0 & 0 & 0 & 0 & 0 & 0 \\ 9 & 1 & 0 & 0 & 0 & 0 & 0 \\ \frac{-2}{3} & \frac{-40}{351} & 1 & 0 & 0 & 0 & 0 \\ \frac{21}{4} & \frac{19}{39} & \frac{4635}{6763} & 1 & 0 & 0 & 0 \\ -2 & \frac{-16}{117} & \frac{-8475}{6763} & \frac{-969733}{6782366} & 1 & 0 & 0 \\ \frac{27}{4} & \frac{85}{117} & \frac{381}{13526} & \frac{8966489}{13564732} & \frac{251177120859}{258490227970} & 1 & 0 \\ 4 & \frac{400}{819} & \frac{-54066}{47341} & \frac{-3752551}{23738281} & \frac{64239864618}{129245113985} & 0 & 1 \end{bmatrix},$$

Nous allons comprendre ces comportements typiques en exprimant précisément les coefficients calculés dans la méthode du pivot de Gauss en fonction de déterminants extraits de la matrice initiale. Nous avons pour cela besoin de préciser les notations.

Notation 2.1.2 *Soit $A \in \mathcal{K}^{m\times n}$ une matrice de rang r. On suppose que la triangulation de Gauss aboutit à son terme sans échange de ligne ni de colonne. Dans ces conditions on pose $A^{[0]} = A$, on note $A^{[p]}$ la matrice transformée de A à l'issue de l'étape p ($p \leq r$) et on note $L^{[p]}$ le produit des matrices élémentaires correspondant aux transformations effectuées au cours de l'étape p, de sorte que $A^{[p]} = L^{[p]}A^{[p-1]}$ et $L^{[p]}$ est une matrice qui ne diffère de la matrice unité I_m que des éléments de la p-ème colonne situés au-dessous de la diagonale principale. On note $a_{ij}^{[p]}$ l'élément en position (i,j) de la matrice $A^{[p]}$ et $l_{ij}^{[p]}$ celui de la matrice $L^{[p]}$.*

Le symbole de Kronecker est défini page 22 et la notation $a_{ij}^{(p)}$ page 3. On a alors :

Propriété 2.1.3 *Avec les notations précédentes, les éléments $l_{ij}^{[p]}$, $a_{ij}^{[p]}$ et $a_{ij}^{(p)}$ sont liés par les relations suivantes (dans (2.1) on a $1 \leq p \leq r$, $p < j \leq n$ et $p < i \leq m$) :*

$$a_{ij}^{[p]} = a_{ij}^{[p-1]} - \frac{a_{ip}^{[p-1]}}{a_{pp}^{[p-1]}}\, a_{pj}^{[p-1]} = \frac{a_{ij}^{[p-1]}\, a_{pp}^{[p-1]} - a_{ip}^{[p-1]}\, a_{pj}^{[p-1]}}{a_{pp}^{[p-1]}}. \tag{2.1}$$

$$l_{ip}^{[p]} = -\frac{a_{ip}^{[p-1]}}{a_{pp}^{[p-1]}} \quad \text{si } i > p, \quad l_{ij}^{[p]} = \delta_{ij} \quad \text{sinon.} \tag{2.2}$$

$$a_{11}^{[0]} a_{22}^{[1]} \cdots a_{pp}^{[p-1]} = a_{pp}^{(p-1)}. \tag{2.3}$$

$$a_{ij}^{[p]} = \frac{a_{ij}^{(p)}}{a_{pp}^{(p-1)}}. \tag{2.4}$$

$$l_{ip}^{[p]} = -\frac{a_{ip}^{(p-1)}}{a_{pp}^{(p-1)}} \quad \text{si } i > p, \quad l_{ij}^{[p]} = \delta_{ij} \quad \text{sinon.} \tag{2.5}$$

Preuve. Les deux premières équations correspondent exactement aux affectations de l'algorithme de Gauss. Les deux suivantes correspondent au fait que les déterminants des sous matrices correspondantes de A sont inchangés par les transformations élémentaires de lignes utilisées dans l'algorithme. La dernière résulte de la deuxième et la quatrième. □

Il est clair que la matrice $U = A^{[r-1]}$ (où $r = \mathrm{rg}(A)$) obtenue à l'issue de la dernière étape de l'algorithme de Gauss dans ce cas, est bien la forme triangulaire supérieure recherchée de la matrice A, et que $A = LU$ où

$$L = [l_{ij}] = \left[L^{[1]}\right]^{-1} \left[L^{[2]}\right]^{-1} \cdots \left[L^{[r-1]}\right]^{-1} \tag{2.6}$$

est une matrice triangulaire inférieure avec en outre

$$l_{ij} = -l_{ij}^{[j]} = \frac{a_{ij}^{(j-1)}}{a_{jj}^{(j-1)}} \text{ si } m \geq i > j \geq 1, \quad l_{ij} = \delta_{ij} \text{ sinon.} \tag{2.7}$$

En effet la matrice $\left[L^{[p]}\right]^{-1}$ ne diffère de $L^{[p]}$ que des éléments $l_{ip}^{[p]}$ pour $1 \leq p < i \leq m$ qui doivent être remplacés par leurs opposés, et la multiplication à gauche par $\left[L^{[p-1]}\right]^{-1}$ du produit $\left[L^{[p]}\right]^{-1} \left[L^{[p+1]}\right]^{-1} \cdots \left[L^{[r-1]}\right]^{-1}$ n'affecte que la $(p-1)$ - ème colonne de ce dernier (identique à la $(p-1)$ - ème colonne de I_m) et revient tout simplement à la remplacer par la $(p-1)$ - ème colonne de $\left[L^{[p-1]}\right]^{-1}$.

Remarquons aussi que la relation (2.3) montre comment l'algorithme du pivot de Gauss permet de calculer les mineurs principaux de la matrice $\mathcal{A}$ (et donc son déterminant lorsqu'elle est carrée).

Nous comprenons maintenant dans le cas d'une matrice initiale à coefficients entiers le comportement typique de la taille des coefficients calculés dans la méthode du pivot de Gauss (cf. la matrice M_1 de l'exemple précédent). On voit sur les relations (2.4), (2.2) et (2.7) que tous ces coefficients peuvent être écrits comme des fractions dont le numérateur et le dénominateur sont des mineurs de la matrice initiale. En outre les mineurs sont majorés (en valeur absolue, donc aussi en taille si ce sont des entiers) en utilisant l'inégalité de Hadamard. Grosso modo, en partant d'une matrice à k lignes avec des coefficients de taille τ, on obtient dans l'algorithme du pivot de Gauss des coefficients de taille $k\tau$. Pour ce qui concerne une matrice à coefficients dans $\mathbb{Q}$ (comme M_2), pour obtenir une majoration de la taille des coefficients calculés, nous devons remplacer M_2 par une matrice à coefficients entiers $M_2' = c\, M_2$

(où c est le ppcm des dénominateurs). Grosso modo, en partant d'une matrice à k lignes avec des coefficients dont le dénominateur et le numérateur sont de taille τ, on obtient maintenant dans l'algorithme du pivot de Gauss des coefficients de taille $k\tau^2$.

Algorithme du pivot de Gauss simplifié

L'algorithme simplifié pour la méthode du pivot de Gauss s'applique pour les matrices fortement régulières. Dans ce cas, il n'y a pas de recherche de pivot et la matrice est de rang maximum $\inf(m,n)$. Cet algorithme remplace la matrice A par une matrice de mêmes dimensions dont la partie supérieure (diagonale principale comprise) est celle de la matrice U et la partie inférieure (sans la diagonale) [3] celle de la matrice L de la LU-décomposition de A. On obtient l'algorithme 2.1.

Algorithme 2.1 ***Algorithme du pivot de Gauss simplifié (sans recherche de pivot) et LU-décomposition.***

Entrée : Une matrice $A = (a_{ij}) \in \mathcal{K}^{m\times n}$ fortement régulière.
Sortie : La matrice A transformée ainsi que les matrices L et U comme expliqué ci-dessus.

Début
Variables locales : i, j, $p \in \mathbb{N}$; $piv \in \mathcal{A}$;
  pour p **de** 1 **à** $\inf(m,n)$ **faire**
    $piv := a_{pp}$;
    pour i **de** $p+1$ **à** m **faire**
      $a_{ip} := a_{ip}/piv$;
      pour j **de** $p+1$ **à** n **faire** $a_{ij} := a_{ij} - a_{ip} * a_{pj}$
      fin pour
    fin pour
  fin pour
Fin.

En fait la dernière étape ($p = \inf(m,n)$) de la boucle principale ne s'exécute que si $m > n$ et elle ne modifie alors que les valeurs des a_{in} pour $i > n$. On aurait donc pu écrire **pour** p **de** 1 **à** $\inf(m,n) - 1$ **faire** ... mais il aurait fallu rajouter à la fin :

3. Et sans les éléments nuls en position (i,j) avec $i > j > n$ lorsque $m \geq n+2$.

si $m > n$ **alors**
  $piv := a_{nn}$;
  pour i **de** $n+1$ **à** m **faire**
    $a_{in} := a_{in}/piv$;
  fin pour
fin si

Un calcul élémentaire donne le résultat suivant.

Proposition 2.1.4 *Le nombre d'opérations arithmétiques dans $\mathcal{K}$ lorsqu'on exécute l'algorithme du pivot de Gauss simplifié, est majoré par :*

$$n(m-1)(2n-2m+1) + \tfrac{1}{6}m(m-1)(4m-5)$$

ce qui donne pour $m = n$ la majoration $\frac{2}{3}n^3 - \frac{1}{2}n^2 - \frac{1}{6}n$.

Si la matrice A est de rang r et si les r premiers mineurs principaux dominants sont non nuls, l'algorithme précédent, modifié pour s'arrêter lorsque le pivot piv est nul, fournit encore la LU-décomposition de A. Cela donne l'algorithme 2.2 page suivante.

Exemple 2.1.5 Voici une matrice $M_3 \in \mathbb{Z}^{6\times 5}$ de rang 4, suivie des matrices L_3 et U_3 obtenues à partir de l'algorithme 2.2.

$$\begin{bmatrix} -73 & -53 & -30 & 45 & -58 \\ 21 & -54 & -11 & 0 & -1 \\ 72 & -59 & 52 & -23 & 77 \\ 33 & 55 & 66 & -15 & 62 \\ -41 & -95 & -25 & 51 & -54 \\ 14 & 55 & 35 & -5 & 25 \end{bmatrix}, \begin{bmatrix} 1 & 0 & 0 & 0 & 0 & 0 \\ \frac{-21}{73} & 1 & 0 & 0 & 0 & 0 \\ \frac{-72}{73} & \frac{8123}{5055} & 1 & 0 & 0 & 0 \\ \frac{-33}{73} & \frac{-2266}{5055} & \frac{220594}{272743} & 1 & 0 & 0 \\ \frac{41}{73} & \frac{4762}{5055} & \frac{52277}{272743} & \frac{1193}{949} & 1 & 0 \\ \frac{-14}{73} & \frac{-1091}{1685} & \frac{83592}{272743} & \frac{1052}{949} & 0 & 1 \end{bmatrix}$$

$$\begin{bmatrix} -73 & -53 & -30 & 45 & -58 \\ 0 & \frac{-5055}{73} & \frac{-1433}{73} & \frac{945}{73} & \frac{-1291}{73} \\ 0 & 0 & \frac{272743}{5055} & \frac{196}{337} & \frac{243716}{5055} \\ 0 & 0 & 0 & \frac{2911532}{272743} & \frac{-3038698}{272743} \\ 0 & 0 & 0 & 0 & 0 \\ 0 & 0 & 0 & 0 & 0 \end{bmatrix}$$

Algorithme 2.2 ***Deuxième algorithme du pivot de Gauss simplifié (sans recherche de pivot) et LU-décomposition.***

Entrée : Une matrice $A = (a_{ij}) \in \mathcal{K}^{m\times n}$.

Sortie : La matrice A transformée ainsi que le rang r de A lorsque celui-ci est égal à l'ordre du dernier mineur principal dominant non nul. On obtient également, dans ce cas, la LU-décomposition de la matrice A comme dans l'algorithme 2.1.

Début
Variables locales : i, j, p, $r \in \mathbb{N}$; $piv \in \mathcal{K}$;
  $p := 1$; $r := \inf(m, n)$;
  tant que $p \leq \inf(m, n)$ **faire**
    $piv := a_{pp}$;
    si $piv = 0$ **alors** $r := p - 1$; $p := \inf(m, n)$ **sinon**
      pour i **de** $p + 1$ **à** m **faire**
        $a_{ip} := a_{ip}/piv$;
        pour j **de** $p + 1$ **à** n **faire**
          $a_{ij} := a_{ij} - a_{ip} * a_{pj}$
        fin pour
      fin pour
    fin si ;
    $p := p + 1$
  fin tant que
Fin.

2.1.3 Algorithmes avec recherche de pivot non nul

Si on rencontre un pivot nul sur la diagonale principale au cours du processus de triangulation on doit procéder à des échanges de lignes et/ou de colonnes pour ramener un pivot en position convenable (s'il reste un élément non nul dans le coin sud-est). Alors ce n'est pas une LU-décomposition de A que l'on obtient avec la méthode du pivot de Gauss, mais une $\tilde{P}LUP$-décomposition (voir par exemple [AHU, BP]), c'est-à-dire une LU-décomposition du produit à droite et à gauche de la matrice A par des matrices de permutation.

De manière plus précise, si à l'issue de l'étape $p-1$ du processus de triangulation, on obtient un pivot nul ($a_{pp}^{[p-1]} = 0$), alors de deux choses l'une : ou bien $a_{ij}^{[p-1]} = 0$ pour tous $i, j \geq p$ auquel cas le rang de A est égal à $p-1$, et le processus est terminé, ou bien on peut trouver des

entiers i et $j \geq p$ et tels que $a_{ij}^{[p-1]} \neq 0$. Dans ce cas, une permutation de lignes et/ou de colonnes doit intervenir pour remplacer le pivot nul par l'élément $a_{ij}^{[p-1]}$: ce qui revient à remplacer la matrice $A^{[p-1]}$ par la matrice $E_{ip}(m)\, A^{[p-1]}\, E_{jp}(n)$ où $E_{kl}(h)$ désigne la matrice élémentaire obtenue à partir de I_h par échange des lignes k et l (ou, ce qui revient au même, par échange des colonnes k et l). Cette opération, qui prépare $A^{[p-1]}$ à subir avec succès l'étape p, n'altère pas les $p-1$ premières lignes et les $p-1$ premières colonnes de cette matrice. Plus précisément, elle commute avec les opérations de type « traitement d'un pivot » déjà effectuées (qui correspondent au produit à gauche par une matrice triangulaire inférieure). Par exemple, si sur une matrice 6×6 on doit faire des échanges de lignes et de colonnes avant de traiter les pivots n° 3 et 5 on obtiendra la décomposition suivante

$$L^{[5]}\, Q_5\, L^{[4]}\, L^{[3]}\, Q_3\, L^{[2]}\, L^{[1]} = L^{[5]}\, \tilde{L}^{[4]}\, \tilde{L}^{[3]}\, \tilde{L}^{[2]}\, \tilde{L}^{[1]}\, Q_5\, Q_3 = L_5\, Q_5\, Q_3$$

où

$$\tilde{L}^{[4]} = Q_5\, L^{[4]}\, Q_5\,, \;\; \tilde{L}^{[3]} = Q_5\, L^{[3]}\, Q_5\,,$$
$$\tilde{L}^{[2]} = Q_5\, Q_3\, L^{[2]}\, Q_3\, Q_5\,, \;\; \tilde{L}^{[1]} = Q_5\, Q_3\, L^{[1]}\, Q_3\, Q_5$$

et

$$L_5 = L^{[5]}\, \tilde{L}^{[4]}\, \tilde{L}^{[3]}\, \tilde{L}^{[2]}\, \tilde{L}^{[1]},$$

et donc

$$A = \; Q_3\, Q_5 (L_5)^{-1}\, U\, P_5\, P_3 = \tilde{P}\, L\, U\, P\,.$$

Ainsi le processus de triangulation de Gauss, lorsqu'une recherche de pivots intervient, se ramène à un processus sans recherche de pivot sur le produit à droite et à gauche de la matrice A par des matrices de permutation. Cela montre aussi que l'algorithme du pivot de Gauss, appliqué à la matrice A, donne, en même temps que sa $\tilde{P}LUP$-décomposition, le rang de la matrice A.

Notons aussi que la méthode avec recherche du pivot permet de calculer dans tous les cas le déterminant de la matrice A si elle est carrée. Il suffit de garder en mémoire et de mettre à jour à chaque étape la parité des permutations de lignes et de colonnes déjà effectuées.

LUP-décomposition d'une matrice surjective

Un cas particulier est donné par les matrices surjectives. Un pivot non nul existe toujours sur la ligne voulue. Cela donne l'algorithme 2.3 page suivante.

Algorithme 2.3 ***LUP-décomposition d'une matrice surjective.***

Entrée : Une matrice $A = (a_{ij}) \in \mathcal{K}^{m\times n}$ surjective.

Sortie : La matrice A transformée (elle donne les matrices L et U comme dans l'algorithme 2.1), la matrice de permutation P et sa signature $e \in \{-1, 1\}$.

Début
Variables locales : i, j, $p \in \mathbb{N}$; $piv \in \mathcal{K}$;
  $P := \mathrm{I}_n$; $e := 1$;
  pour p **de** 1 **à** m **faire**
    $piv := a_{pp}$; $j := p$;
    si $piv = 0$ **alors**
      tant que $piv = 0$ **faire**
        $j := j + 1$; $piv := a_{pj}$;
      fin tant que ;
      EchCol(A, p, j) ; EchCol(P, p, j) ; $e := -e$;
        # EchCol(A, p, j) est une procédure qui échange
        # les colonnes p et j de la matrice A.
    fin si ;
    pour i **de** $p + 1$ **à** m **faire**
      $a_{ip} := a_{ip}/piv$;
      pour j **de** $p + 1$ **à** n **faire** $a_{ij} := a_{ij} - a_{ip} * a_{pj}$
      fin pour
    fin pour
  fin pour
Fin.

Ainsi lorsqu'une matrice $A \in \mathcal{K}^{m\times n}$ est surjective (c'est-à-dire si son rang est égal au nombre de ses lignes), on peut la décomposer en un produit de trois matrices L, U, P où $L \in \mathcal{K}^{n\times n}$ est une matrice triangulaire inférieure avec des 1 sur la diagonale, $U \in \mathcal{K}^{m\times n}$ une matrice triangulaire supérieure et $P \in \mathcal{K}^{n\times n}$ une matrice de permutation.

La LUP-décomposition permet de résoudre des problèmes comme le calcul du déterminant ou la résolution d'un système d'équations linéaires. En effet, pour résoudre le système $A\,x = b$ avec $A = L\,U\,P$, on commence par résoudre le système $L\,z = b$ puis le système $U\,y = z$ et enfin le système $P\,x = y$. Les deux premiers systèmes sont des systèmes triangulaires que l'on peut résoudre par substitutions successives des

inconnues (en $\mathcal{O}(n^2)$ opérations arithmétiques donc) et le dernier système est une simple permutation des inconnues. Enfin $\det A = \pm \det U$ (selon la parité de la permutation représentée par la matrice P).

Il faut remarquer qu'une matrice non surjective n'admet pas toujours de LUP-décomposition comme par exemple la matrice $\begin{bmatrix} 0 & 0 \\ 1 & 1 \end{bmatrix}$. Par ailleurs la LUP-décomposition d'une matrice surjective n'est pas unique comme on peut le voir sur la matrice $A = \begin{bmatrix} 2 & 1 & 1 \\ 0 & 3 & 4 \end{bmatrix}$ qui admet les deux LUP-décompositions $A = L\,U\,P$ avec $L = \mathrm{I}_2$, $P = \mathrm{I}_3$ et $U = A$, ou encore $A = L\,U\,P$ avec

$$L = \begin{bmatrix} 1 & 0 \\ 3 & 1 \end{bmatrix}, \quad U = \begin{bmatrix} 1 & 2 & 1 \\ 0 & -6 & 1 \end{bmatrix} \quad \text{et} \quad P = \begin{bmatrix} 0 & 1 & 0 \\ 1 & 0 & 0 \\ 0 & 0 & 1 \end{bmatrix}.$$

Notons enfin que la matrice U obtenue dans la décomposition $A = L\,U\,P$ est une matrice surjective et fortement régulière.

Résolution de systèmes linéaires et calcul de l'inverse

La méthode du pivot de Gauss permet de résoudre un ou plusieurs systèmes linéaires associés à la même matrice, en triangulant la matrice élargie aux seconds membres.

Dans sa variante « Gauss-Jordan », qui consiste à poursuivre le processus d'élimination de Gauss « de bas en haut » et « de droite à gauche » sur les lignes de la matrice U de façon à annuler les éléments au dessus de la diagonale principale, la méthode du pivot de Gauss sert également à calculer l'inverse d'une matrice carrée inversible lorqu'on l'applique à cette matrice élargie (à droite) avec la matrice unité de même ordre, moyennant un coût légèrement supérieur qui fait passer la constante dans $\mathcal{O}(n^3)$ de $\frac{2}{3}$ à $\frac{4}{3}$.

2.2 Méthode de Jordan-Bareiss

La méthode du pivot de Gauss est une méthode de traitement automatique des systèmes d'équations linéaires dont les coefficients et les inconnues sont dans un corps donné $\mathcal{K}$. Cette méthode fonctionne bien dans le cas de matrices à coefficients dans un corps fini (et dans une moindre mesure, dans le cas du corps $\mathbb{Q}$). Mais hormis le cas des corps finis, elle possède l'inconvénient majeur de nécessiter une simplification

systématique des fractions calculées si on ne veut pas voir la taille des coefficients exploser, ce qui entraîne souvent un temps de calcul prohibitif, par exemple lorsqu'on travaille avec un corps de fractions rationnelles à plusieurs variables. En outre cette méthode utilise des divisions et ne s'applique donc pas si la matrice a ses coefficients dans un anneau arbitraire.

Nous allons voir dans cette section que la méthode connue aujourd'hui sous le nom de « méthode de Bareiss », qui peut être considérée comme une adaptation de la méthode du pivot de Gauss classique, permet dans une certaine mesure de pallier aux inconvénients présentés par cette dernière.

La méthode de Bareiss (cf. [4], 1968) était connue de Jordan (cf. [Dur]), et elle semble avoir été découverte par Dodgson (plus connu sous le nom de Lewis Caroll) qui en a donné une variante dans [26]. Nous la désignerons désormais sous le nom de *méthode de Jordan-Bareiss*.

Nous réservons le nom de *méthode de Dodgson* à la variante de Lewis Caroll que nous exposons à la fin de la section.

La méthode de Jordan-Bareiss est valable dans le cas d'un anneau intègre $\mathcal{A}$ où l'égalité peut être testée par un algorithme, et l'addition, la multiplication et la division « exacte » (quand il y a un quotient exact) peuvent être effectuées par des algorithmes. Cela signifie, pour la division exacte, qu'il y a un algorithme prenant en entrée un couple $(a, b) \in \mathcal{A}^2$, $b \neq 0$, et donnant en sortie l'unique élément $x \in \mathcal{A}$ vérifiant $ax = b$, dans le cas où il existe.

2.2.1 Formule de Dodgson-Jordan-Bareiss et variantes

Soit A une matrice dans $\mathcal{A}^{m\times n}$. Reprenant les relations données à la propriété 2.1.3, et puisque tous les coefficients $a_{ij}^{[p]}$ s'écrivent $a_{ij}^{(p)}/a_{pp}^{(p-1)}$ (relation (2.4)) avec le même dénominateur pour un p fixé, l'idée est de calculer directement les numérateurs de manière récursive. L'équation (2.1) se relit alors sous la forme

$$a_{ij}^{(p)} = \frac{a_{ij}^{(p-1)}\, a_{pp}^{(p-1)} - a_{ip}^{(p-1)}\, a_{pj}^{(p-1)}}{a_{p-1,p-1}^{(p-2)}} \tag{2.8}$$

C'est ce que nous appellerons la *formule de Dodgson-Jordan-Bareiss*. On peut obtenir ce même résultat en appliquant l'identité de Sylvester

(1.10) de la proposition 1.1.7 page 9 à la matrice

$$\begin{bmatrix} A_p & A_{1..p,j} \\ A_{i,1..p} & a_{ij} \end{bmatrix}$$

avec $p \in [1..\min(m,n)-1]$, $i \in [p+1..m]$, $j \in [p+1..n]$. Cela donne :

Proposition 2.2.1 (Formule de Dodgson-Jordan-Bareiss)
Soit $\mathcal{A}$ un anneau commutatif arbitraire. Pour toute matrice $A = (a_{ij}) \in \mathcal{A}^{m\times n}$, on a la relation :

$$a_{ij}^{(p)} \times a_{p-1,p-1}^{(p-2)} = \begin{vmatrix} a_{pp}^{(p-1)} & a_{pj}^{(p-1)} \\ a_{ip}^{(p-1)} & a_{ij}^{(p-1)} \end{vmatrix} \tag{2.9}$$

avec les conventions usuelles $a_{00}^{(-1)} = 1$ *et* $a_{ij}^{(0)} = a_{ij}$.

On a également la variante suivante. Si l'on applique la formule (1.9) de la proposition 1.1.7 à la matrice $\begin{bmatrix} A_p & A_{1..p,j} \\ A_{i,1..p} & a_{ij} \end{bmatrix}$, on obtient :

Proposition 2.2.2 (Formule de Bareiss à plusieurs étages)
Soit $\mathcal{A}$ un anneau commutatif arbitraire. Pour toute matrice $A \in \mathcal{A}^{m\times n}$ et tout entier $p \geq 2$, on a lorsque $1 \leq r \leq p-1$, $p+1 \leq i \leq m$, et $p+1 \leq j \leq n$:

$$\left(a_{rr}^{(r-1)}\right)^{p-r} a_{ij}^{(p)} = \begin{vmatrix} a_{r+1,r+1}^{(r)} & \cdots & a_{r+1,n}^{(r)} & a_{r+1,j}^{(r)} \\ \vdots & \ddots & \vdots & \vdots \\ a_{p,r+1}^{(r)} & \cdots & a_{p,p}^{(r)} & a_{p,j}^{(r)} \\ a_{i,r+1}^{(r)} & \cdots & a_{i,p}^{(r)} & a_{i,j}^{(r)} \end{vmatrix}. \tag{2.10}$$

Dans son article, Bareiss a remarqué qu'on pouvait utiliser cette identité avec $p - r = 2$ pour calculer les $a_{ij}^{(p)}$ de proche en proche, lorsque l'anneau est intègre et possède un algorithme de division exacte.

En fait la « méthode de Bareiss » couramment utilisée aujourd'hui est plutôt basée sur la première formule (celle de Dodgson-Jordan-Bareiss). L'équation (2.8) permet en effet de calculer les $a_{ij}^{(p)}$ de proche en proche.

La méthode de Jordan-Bareiss est donc une adaptation de la méthode du pivot de Gauss qui garantit, tout au long du processus de triangulation de la matrice traitée, l'appartenance des coefficients à l'anneau de base. L'efficacité de cet algorithme tient à ce que les coefficients calculés sont tous des déterminants extraits de la matrice initiale, et donc restent de taille raisonnable pour la plupart des anneaux usuels.

Algorithme de Jordan-Bareiss

En utilisant la relation (2.8) on obtient l'algorithme de Jordan-Bareiss 2.4, dans sa version de *l'élimination à un seul étage* déchargée de la recherche du pivot.

Rappelons les conventions $a_{00}^{(-1)} = 1$ et $a_{pp}^{(p-1)} = 0$ pour $p > \inf(m,n)$.

Algorithme 2.4 ***Algorithme de Jordan-Bareiss***

Entrée : Une matrice $A = (a_{ij}) \in \mathcal{A}^{m\times n}$. L'anneau $\mathcal{A}$ est supposé intègre avec un algorithme de division exacte.

Sortie : La matrice A transformée. Si les r premiers mineurs principaux dominants sont non nuls, et si le $(r+1)$-ème est nul, elle contient en position (i,j) le mineur $a_{i,j}^{(p)}$ avec $p = \inf(r, i-1, j-1)$. L'entier r est aussi calculé. Si en outre $r = \mathrm{rg}(A)$ on retrouve facilement la LU-décomposition de A à partir de la sortie, comme expliqué avant l'exemple 2.2.3.

Début
Variables locales : i, j, $p \in \mathbb{N}$; piv, den, $coe \in \mathcal{A}$;
  $p := 1$; $den := 1$; $r := \inf(m,n)$;
  tant que $p < \inf(m,n)$ **faire**
    $piv := a_{pp}$;
    si $piv = 0$ **alors** $p := \inf(m,n)$; $r := p-1$ **sinon**
      pour i **de** $p+1$ **à** m **faire**
        $coe := a_{ip}$;
        pour j **de** $p+1$ **à** n **faire**
          $a_{ij} := (piv * a_{ij} - coe * a_{pj}) \,/\, den$
        fin pour
      fin pour
    fin si ;
    $p := p+1$;
    $den := piv$
  fin tant que
Fin.

On retrouve facilement la LU-décomposition de A à partir de la matrice retournée par l'algorithme précédent en utilisant les formules (2.4) (propriété 2.1.3) et (2.7) page 59 : notons c_{ij} les coefficients de cette matrice ; alors pour la matrice L on a $l_{ij} = c_{ij}/c_{jj}$ si $1 \leq j <$

$i \leq m$ ($l_{ij} = \delta_{ij}$ sinon) et pour la matrice U on a $u_{ij} = c_{ij}/c_{i-1,i-1}$ si $1 \leq i \leq j$ ($u_{ij} = 0$ sinon). On peut le voir sur l'exemple suivant.

Exemple 2.2.3 Dans cet exemple on reprend la matrice M_3 de l'exemple 2.1.5 et on donne ses transformées par les algorithmes de Jordan-Bareiss et de Gauss.

$$M3 = \begin{bmatrix} -73 & -53 & -30 & 45 & -58 \\ 21 & -54 & -11 & 0 & -1 \\ 72 & -59 & 52 & -23 & 77 \\ 33 & 55 & 66 & -15 & 62 \\ -41 & -95 & -25 & 51 & -54 \\ 14 & 55 & 35 & -5 & 25 \end{bmatrix}$$

$$\begin{bmatrix} -73 & -53 & -30 & 45 & -58 \\ 21 & 5055 & 1433 & -945 & 1291 \\ 72 & 8123 & 272743 & 2940 & 243716 \\ 33 & -2266 & 220594 & 2911532 & -3038698 \\ -41 & 4762 & 52277 & 3660124 & 0 \\ 14 & -3273 & 83592 & 3227536 & 0 \end{bmatrix}$$

$$\begin{bmatrix} -73 & -53 & -30 & 45 & -58 \\ \frac{-21}{73} & \frac{-5055}{73} & \frac{-1433}{73} & \frac{945}{73} & \frac{-1291}{73} \\ \frac{-72}{73} & \frac{8123}{5055} & \frac{272743}{5055} & \frac{196}{337} & \frac{243716}{5055} \\ \frac{-33}{73} & \frac{-2266}{5055} & \frac{220594}{272743} & \frac{2911532}{272743} & \frac{-3038698}{272743} \\ \frac{41}{73} & \frac{4762}{5055} & \frac{52277}{272743} & \frac{1193}{949} & 0 \\ \frac{-14}{73} & \frac{-1091}{1685} & \frac{83592}{272743} & \frac{1052}{949} & 0 \end{bmatrix}$$

Comparons l'algorithme de Jordan-Bareiss à l'algorithme du pivot de Gauss dans le cas de l'anneau $\mathcal{A} = \mathbb{Z}[X, Y]$.

Lorsqu'on utilise l'algorithme du pivot de Gauss dans le corps des fractions $\mathcal{F}_{\mathcal{A}} = \mathbb{Q}(X, Y)$ sans réduire les fractions au fur et à mesure qu'elles sont calculées (ce qui est très coûteux), il n'est pas difficile de voir que les degrés des numérateurs et dénominateurs ont un comportement exponentiel. Avec l'algorithme de Jordan-Bareiss, par contre, les degrés ont seulement une croissance linéaire.

Remarque. Dans le *cas non intègre*, le fonctionnement de l'algorithme de Jordan-Bareiss sans recherche du pivot reste possible si tous les mineurs principaux rencontrés $a_{pp}^{(p-1)}$ au cours du processus de triangulation sont non diviseurs de 0, et si *les divisions exactes :*

$$\frac{a_{pp}^{(p-1)} a_{ij}^{(p-1)} - a_{ip}^{(p-1)} a_{pj}^{(p-1)}}{a_{p-1,p-1}^{(p-2)}} \quad \textit{peuvent se faire algorithmiquement}\,.$$

Cette condition est satisfaite lorsqu'on remplace la matrice carrée A par sa matrice caractéristique $A - X\mathrm{I}_n \in \mathcal{A}[X]^{n\times n}$ où tous les pivots rencontrés sont des polynômes unitaires (au signe près). Donc l'algorithme de Jordan-Bareiss appliqué à $A - X\mathrm{I}_n$ ne fait intervenir que la structure d'anneau de $\mathcal{A}$ et ne nécessite aucune division dans $\mathcal{A}$. C'est l'objet du paragraphe suivant.

2.2.2 Cas d'un anneau commutatif arbitraire : méthode de Jordan-Bareiss modifiée

C'est la méthode de Jordan-Bareiss appliquée à la matrice caractéristique $A - X\mathrm{I}_n$ d'une matrice carrée $A \in \mathcal{A}^{n\times n}$. Les coefficients de $A - X\mathrm{I}_n$ sont dans l'anneau $\mathcal{A}[X]$. Même si $\mathcal{A}$ n'est pas intègre, les divisions exactes requises sont ici des divisions par des polynômes unitaires qui ne nécessitent par conséquent aucune division dans $\mathcal{A}$, mais uniquement des additions, soustractions, et multiplications. En particulier, aucune permutation de lignes ou de colonnes n'intervient au cours du processus de triangulation.

La méthode de Jordan-Bareiss modifiée permet donc de calculer le polynôme caractéristique de la matrice A, et par conséquent son déterminant, son adjointe, et, au cas où elle est inversible, son inverse.

Cette méthode a été proposée en 1982 par Sasaki & Murao [80]. Les auteurs remarquent également que dans un calcul de base de l'algorithme (du type « produit en croix divisé par le pivot précédent ») :

$$f(X) := \frac{a(X)\,c(X) - b(X)\,d(X)}{e(X)}\,,$$

les degrés en X sont égaux à k ou $k+1$ pour f, à k ou $k-1$ pour a, b, c, d et à $k-1$ pour e. On peut donc se passer de calculer les coefficients des monômes de degré $< k-1$ dans $ac-bd$ et le calcul du quotient ne doit pas non plus s'encombrer des termes de degrés $< k-1$ dans les restes successifs (pour l'algorithme usuel de division des polynômes). Ceci conduit précisément aux résultats suivants.

- Les coefficients des monômes de degré $k-1$ à $2k$ dans le produit de deux polynômes de degré k se calculent (en utilisant la méthode usuelle) en $k^2 + 2\,k - 2$ opérations arithmétiques.
- La division exacte d'un polynôme de degré $2k$ par un polynôme unitaire de degré $k-1$ se calcule (en utilisant la méthode usuelle) en $k^2 + 3\,k - 1$ opérations arithmétiques.

On en déduit qu'une affectation $f := \frac{a\,d-b\,c}{e}$ dans l'algorithme de Jordan-Bareiss modifié, lorsque $e = e(X)$ est le pivot unitaire de degré $k-1$, consomme $3\,k^2 + \mathcal{O}(k)$ opérations arithmétiques dans l'anneau de base (et en tout cas au plus $3\,k^2 + 8\,k - 4$).

Pour l'ensemble de l'algorithme on obtient un nombre total d'opérations arithmétiques inférieur à

$$\sum_{k=2}^{n} (3\,k^2 + 8\,k - 4)\,(n-k+1)^2 \;\leq\; \frac{1}{10}\,n^5 + \frac{7}{6}\,n^4 + \frac{7}{3}\,n^3\,.$$

Proposition 2.2.4 *Soit $A \in \mathcal{A}^{n\times n}$ une matrice carrée sur un anneau commutatif arbitraire. L'algorithme de Jordan-Bareiss appliqué à la matrice caractéristique $A - X\,\mathrm{I}_n$ s'exécute (en utilisant la méthode usuelle) en $\frac{1}{10}\,n^5 + \mathcal{O}(n^4)$ opérations arithmétiques dans l'anneau $\mathcal{A}$.*

2.2.3 La méthode de Dodgson

La méthode de Dodgson est une variante élégante et symétrique de la méthode de Jordan-Bareiss. Cependant son but n'est pas le calcul de la LU-décomposition d'une matrice, mais seulement celui de ses *mineurs connexes*, c'est-à-dire les mineurs $a_{i..j}^{h..k}$ (avec $j-i = k-h$). En particulier elle peut être utilisée pour le calcul du déterminant d'une matrice carrée.

Une variante de la formule 2.9 (après un échange de lignes et un échange de colonnes) est la formule suivante concernant les mineurs connexes

$$a_{i+1..j-1}^{h+1..k-1} \cdot a_{i..j}^{h..k} = \begin{vmatrix} a_{i..j-1}^{h..k-1} & a_{i..j-1}^{h+1..k} \\ a_{i+1..j}^{h..k-1} & a_{i+1..j}^{h+1..k} \end{vmatrix} \tag{2.11}$$

Cela donne les affectations correspondantes dans l'algorithme de Dodgson. Mais ce dernier fonctionne uniquement si tous les mineurs connexes appelés à servir de dénominateur sont non nuls : contrairement à la méthode du pivot de Gauss et à la méthode de Jordan-Bareiss, la méthode de Dodgson ne possède pas de variante connue efficace dans le cas où une affectation $x := 0/0$ est produite par l'algorithme([4]).

4. Lewis Caroll propose dans sa communication d'opérer des permutations circulaires sur les lignes et les colonnes de la matrice. Voici un contre-exemple montrant que la méthode de Dodgson ne s'applique pas toujours. La matrice $A = \begin{bmatrix} 1 & 0 & 1 & 1 \\ 1 & 0 & 1 & 0 \\ 0 & 1 & 0 & 0 \\ 1 & 0 & 0 & 1 \end{bmatrix}$ est une matrice inversible de déterminant 1, lequel ne peut pas se calculer par la méthode de Lewis Carrol, même lorsqu'on effectue des permutations circulaires de lignes et de colonnes.

Pour voir plus clairement ce que signifie l'équation de Lewis Caroll (2.11) appelons B la matrice extraite $A_{i+1..j-1,h+1..k-1,}$ et notons p, q, u, v les indices $i+1$, $j-1$, $h+1$, $k-1$. L'équation se réécrit alors :

$$|\,B\,|\cdot\begin{vmatrix} a_{i,h} & A_{i,u..v} & a_{i,k} \\ A_{p..q,h} & B & A_{p..q,k} \\ a_{j,h} & A_{j,u..v} & a_{j,k} \end{vmatrix} =$$

$$\begin{vmatrix} a_{i,h} & A_{i,u..v} \\ A_{p..q,h} & B \end{vmatrix}\cdot\begin{vmatrix} B & A_{p..q,k} \\ A_{j,u..v} & a_{j,k} \end{vmatrix} - \begin{vmatrix} A_{p..q,h} & B \\ a_{j,h} & A_{j,u..v} \end{vmatrix}\cdot\begin{vmatrix} A_{i,u..v} & a_{i,k} \\ B & A_{p..q,k} \end{vmatrix}$$

Un exemple :

$$\begin{vmatrix} c_2 & c_3 \\ d_2 & d_3 \end{vmatrix}\cdot\begin{vmatrix} b_1 & b_2 & b_3 & b_4 \\ c_1 & c_2 & c_3 & c_4 \\ d_1 & d_2 & d_3 & d_4 \\ e_1 & e_2 & e_3 & e_4 \end{vmatrix} =$$

$$\begin{vmatrix} b_1 & b_2 & b_3 \\ c_1 & c_2 & c_3 \\ d_1 & d_2 & d_3 \end{vmatrix}\cdot\begin{vmatrix} c_2 & c_3 & c_4 \\ d_2 & d_3 & d_4 \\ e_2 & e_3 & e_4 \end{vmatrix} - \begin{vmatrix} c_1 & c_2 & c_3 \\ d_1 & d_2 & d_3 \\ e_1 & e_2 & e_3 \end{vmatrix}\cdot\begin{vmatrix} b_2 & b_3 & b_4 \\ c_2 & c_3 & c_4 \\ d_2 & d_3 & d_4 \end{vmatrix}$$

Dans la méthode de Jordan-Bareiss sans recherche de pivot on calcule à l'étape n° p tous les mineurs $a_{ij}^{(p)}$ $((i,j>p)$ d'une matrice A. Dans la méthode du pivot de Gauss on calcule les quotients $a_{ij}^{[p]} = a_{ij}^{(p)}/a_{p,p}^{(p-1)}$. Si la matrice a une « structure interne » comme dans le cas des matrices de Hankel ou de Toeplitz la structure est perdue dès la première étape.

Dans la méthode de Dodgson, on calcule à l'étape n° p tous les mineurs connexes d'ordre $p+1$ de la matrice A. Il s'ensuit que dans le cas d'une matrice structurée, les matrices intermédiaires calculées par la méthode de Dodgson sont également structurées. Ceci diminue très sérieusement le nombre d'opérations arithmétiques à effectuer et le fait passer de $\mathcal{O}(n^3)$ à $\mathcal{O}(n^2)$.

Dans le cas d'un anneau intègre où les divisions exactes sont faisables par un algorithme, on obtient les mêmes avantages que dans l'algorithme de Jordan-Bareiss concernant la taille des coefficients intermédiaires.

Algorithme de Dodgson pour une matrice de Hankel

Nous donnons ici une version précise de l'algorithme de Dodgson pour les matrices de Hankel dont tous les mineurs connexes sont non nuls. C'est l'algorithme 2.5 page ci-contre.
L'entrée est une liste $L=(a_i)$ contenant les $m+n-1$ coefficients de la matrice de Hankel initiale $H\in\mathcal{A}^{m\times n}$ $(h_{i,j}=a_{i+j-1})$. La sortie est un tableau $T=(t_{r,j})$ $(r=0,\ldots,\inf(m,n),\ j=r,\ldots,m+n-r)$ qui

contient tous les mineurs connexes de la matrice H, calculés en suivant l'algorithme de Dodgson. Pour l'initialisation, sur la ligne 0 il y a des 1 (les « mineurs connexes d'ordre 0 ») et sur le ligne 1 les coefficients de H (les « mineurs connexes d'ordre 1 »). Sur la ligne $r \geq 2$ il y a les coefficients de la matrice de Hankel formée par les mineurs connexes d'ordre r de H. Dans la colonne j il y a les déterminants des sous-matrices carrées de H qui ont le coefficient a_j sur leur diagonale ascendante.

Algorithme 2.5 ***Algorithme de Dodgson pour une matrice de Hankel***

Entrée : Deux entiers $m, n \in \mathbb{N}$ et une liste $L = (a_i) \in \mathcal{A}^{m+n-1}$. Cette liste contient les coefficients d'une matrice de Hankel $H \in \mathcal{A}^{m \times n}$. L'anneau $\mathcal{A}$ est supposé intègre avec un algorithme de division exacte.

Sortie : Un tableau $T = (t_{r,j})$ rempli d'éléments de $\mathcal{A}$ pour $r \in \{0, \ldots, \inf(m,n)\}$, $j \in \{r, \ldots, m+n-r\}$. Il contient sur la ligne r les mineurs connexes d'ordre r de la matrice H, supposés tous non nuls.

Début
Variables locales : r, j, $q \in \mathbb{N}$;
  $q := \inf(m,n)$;
  $T :=$TableauVide$(0..q, 1..m+n-1)$;
        # on a créé T tableau vide de taille voulue
  pour j **de** 1 **à** $m+n-1$ **faire**
    $t_{0,j} := 1$; $t_{1,j} := a_j$;
  fin pour ;
        # fin de l'initialisation
  pour r **de** 1 **à** $q-1$ **faire**
    pour j **de** $r+1$ **à** $m+n-r-1$ **faire**
      $t_{r+1,j} := (t_{r,j-1}\, t_{r,j+1} - t_{r,j}^2)/t_{r-1,j}$
    fin pour
  fin pour
Fin.

L'algorithme est pratiquement le même dans le cas d'une matrice de Toeplitz Z (il suffit de changer le signe dans l'affectation de $t_{r+1,j}$) et il peut s'appliquer pour le calcul du polynôme caractéristique.

Exemples 2.2.5
Dans le premier exemple, on considère la matrice de Hilbert d'ordre 5, qui est un exemple classique de matrice de Hankel mal conditionnée (le déterminant de la ma-

trice, 1/266716800000, est l'inverse d'un entier très grand).

$$A = \begin{bmatrix} 1 & 1/2 & 1/3 & 1/4 & 1/5 \\ 1/2 & 1/3 & 1/4 & 1/5 & 1/6 \\ 1/3 & 1/4 & 1/5 & 1/6 & 1/7 \\ 1/4 & 1/5 & 1/6 & 1/7 & 1/8 \\ 1/5 & 1/6 & 1/7 & 1/8 & 1/9 \end{bmatrix}$$

Voici alors la sortie de l'algorithme de Dodgson 2.5 (on a supprimé la ligne des 1) :

$$\begin{array}{cccccccc}
1 & \frac{1}{2} & \frac{1}{3} & \frac{1}{4} & \frac{1}{5} & \frac{1}{6} & \frac{1}{7} & \frac{1}{8} & \frac{1}{9} \\
 & \frac{1}{12} & \frac{1}{72} & \frac{1}{240} & \frac{1}{600} & \frac{1}{1260} & \frac{1}{2352} & \frac{1}{4032} & \\
 & & \frac{1}{2160} & \frac{1}{43200} & \frac{1}{378000} & \frac{1}{2116800} & \frac{1}{8890560} & & \\
 & & & \frac{1}{6048000} & \frac{1}{423360000} & \frac{1}{10668672000} & & & \\
 & & & & \frac{1}{266716800000} & & & &
\end{array}$$

Voici ensuite un exemple de la sortie de l'algorithme avec une matrice de Hankel carrée d'ordre 7 à coefficients entiers (lisibles sur la première ligne) :

$$\begin{array}{ccccccccccccc}
1 & 7 & 7 & 1 & 2 & 2 & 4 & 3 & 5 & 3 & 7 & 2 & 4 \\
 & -42 & -42 & 13 & -2 & 4 & -10 & 11 & -16 & 26 & -43 & 24 & \\
 & & -330 & -85 & 24 & 2 & -14 & 13 & 6 & 4 & -175 & & \\
 & & & -1165 & 373 & -85 & 17 & -23 & -1 & -41 & & & \\
 & & & & -1671 & -442 & -119 & -42 & 157 & & & & \\
 & & & & & -41 & 259 & 889 & & & & & \\
 & & & & & & 870 & & & & & &
\end{array}$$

2.3 Méthode de Hessenberg

Toutes les matrices considérées ici sont à coefficients dans un corps commutatif $\mathcal{K}$.

Matrices quasi-triangulaires

Définition 2.3.1 *Une matrice carrée $H = (h_{ij}) \in \mathcal{K}^{n\times n}$ $(n \in \mathbb{N}^*)$ est dite quasi-triangulaire supérieure (resp. quasi-triangulaire inférieure) si $h_{ij} = 0$ dès que $i - j \geq 2$ (resp. dès que $j - i \geq 2$). On dit encore que H est une matrice de Hessenberg.*

Une matrice quasi-triangulaire supérieure H est donc une matrice de la forme :

$$H = \begin{bmatrix} h_{11} & h_{12} & \dots & h_{1,n-1} & h_{1n} \\ h_{21} & h_{22} & \dots & h_{2,n-1} & h_{2n} \\ 0 & h_{32} & \ddots & & h_{3n} \\ \vdots & \ddots & \ddots & \ddots & \vdots \\ 0 & \dots & 0 & h_{n,n-1} & h_{nn} \end{bmatrix} \tag{2.12}$$

On démontre par une récurrence immédiate sur k $(1 \leq k \leq n)$ la propriété suivante des matrices de Hessenberg :

Proposition 2.3.2 *Soit $H = (h_{ij})$ une matrice de Hessenberg (supérieure ou inférieure). On désigne par H_k $(1 \leq k \leq n)$ la sous-matrice principale dominante d'ordre k de H et par D_k le déterminant de H_k. On pose $D_0 = 1$. La suite $(D_k)_{1 \leq k \leq n}$ (des mineurs principaux dominants de H) vérifie alors la relation de récurrence :*

$$D_k = h_{kk} D_{k-1} + \sum_{i=1}^{k-1} (-1)^{k-i} h_{k,k-1} h_{k-1,k-2} \dots h_{i+1,i}\, h_{ik}\, D_{i-1}\,.$$

Pour le voir, il suffit de développer D_k suivant la dernière ligne (resp. la dernière colonne) de H_k si celle-ci est une matrice quasi-triangulaire supérieure (resp. inférieure).

Appliquant ce résultat à la matrice $H - X\mathrm{I}_n$, elle-même quasi-triangulaire, dont les mineurs principaux dominants sont les polynômes caractéristiques $P_k(X)$ des sous-matrices principales dominantes H_k de H $(1 \leq k \leq n)$, on obtient les relations de récurrence suivantes dites *relations de Hessenberg* permettant de calculer de proche en proche les polynômes caractéristiques $P_k(X)$ de H_k pour $2 \leq k \leq n$ sachant que $P_0(X) = 1,\ P_1(X) = h_{11} - X$; et

$$P_k(X) = \begin{cases} (h_{kk} - X)\, P_{k-1}(X) + \\ \sum_{i=1}^{k-1} \left(\left[\prod_{j=i+1}^{k} (-h_{j,j-1}) \right] h_{ik}\, P_{i-1}(X) \right) \end{cases} \tag{2.13}$$

La méthode de Hessenberg

Elle consiste à calculer le polynôme caractéristique d'une matrice carrée A d'ordre $n \geq 2$, dont les éléments a_{ij} appartiennent à un corps $\mathcal{K}$, en la réduisant à la forme (2.12) c'est-à-dire à une matrice

de Hessenberg H semblable à A dont les éléments h_{ij} appartiennent également à $\mathcal{K}$.

Algorithme 2.6 ***Algorithme de Hessenberg ($\mathcal{K}$ est un corps)***

Entrée : Un entier $n \geq 2$ et une matrice $A = (a_{ij}) \in \mathcal{K}^{n\times n}$.
Sortie : Le polynôme caractéristique de A : $\mathrm{P}_A(X)$.
Variables locales : $jpiv$, $ipiv$, $iciv$, i, $m \in \mathbb{N}$; $piv, c, \in \mathcal{K}$;
$H := (h_{ij}) \in \mathcal{K}^{n\times n}$: les matrices transformées successives de A ;
$P = (P_i)$: liste des polynômes caractéristiques successifs dans $\mathcal{K}[X]$;

Début
  $P_0 := 1$; $H := A$; # Initialisations
    # Réduction de H à la forme de Hessenberg
  pour $jpiv$ **de** 1 **à** $n-2$ **faire**
    $ipiv := jpiv + 1$; $iciv := ipiv$; $piv := h_{iciv,jpiv}$;
    tant que $piv = 0$ et $iciv < n$ **faire**
      $iciv := iciv + 1$; $piv := h_{iciv,jpiv}$
    fin tant que ;
    si $piv \neq 0$ **alors**
      si $iciv > ipiv$ **alors**
        EchLin$(H, ipiv, iciv)$; # Echange de lignes
        EchCol$(H, ipiv, iciv)$ # Echange de colonnes
      fin si ;
      pour i **de** $iciv + 1$ **à** n **faire**
        $c := h_{i,jpiv}/piv$;
        AjLin$(H, ipiv, i, -c)$; # Manipulation de lignes
        AjCol$(H, i, ipiv, c)$ # Manipulation de colonnes
    fin si
  fin pour ;
    # Calcul du polynôme caractéristique
  pour m **de** 1 **à** n **faire**
    $P_m := (h_{mm} - X) \cdot P_{m-1}$; $c := 1$;
    pour i **de** 1 **à** $m-1$ **faire**
      $c := -c \cdot h_{m-i+1,m-i}$; $P_m := P_m + c \cdot h_{m-i,m} \cdot P_{m-i-1}$
    fin pour
  fin pour ;
  $\mathrm{P}_A(X) := P_n(X)$ # le polynôme caractéristique de A.
Fin.

Pour ce faire, on applique la méthode du pivot de Gauss aux lignes de la matrice donnée A en prenant comme pivots les éléments sous-diagonaux de la matrice traitée, et en prenant bien soin d'effectuer les transformations « inverses » sur les colonnes de A pour que la matrice et sa transformée soient semblables.

Plus précisément, l'étape p $(1 \leq p \leq n-2)$ consiste tout d'abord à voir si l'élément en position $(p+1, p)$ est nul, auquel cas il faut chercher un élément non nul au-dessous de lui (sur la colonne p) : si un tel élément n'existe pas, on passe à l'étape suivante $p+1$. Sinon par une permutation de lignes, on ramène le pivot non nul au bon endroit, c'est-à-dire à la position $(p+1, p)$, ce qui revient à multiplier à gauche la matrice traitée par la matrice de permutation $E_{i,p+1}$ $(i > p+1)$ obtenue en permutant les lignes i et $p+1$ (ou les colonnes i et $p+1$, ce qui revient au même) de la matrice unité I_n. On multiplie à droite par la même matrice de permutation (qui est ici égale à son inverse) afin que la matrice obtenue à l'issue de chaque étape reste semblable à la matrice de départ.

Le pivot non nul étant alors au bon endroit, on achève l'étape p en utilisant ce pivot pour faire apparaître des zéros au-dessous de lui dans sa colonne, ce qui revient à multiplier à gauche la matrice traitée par une matrice du type :

$$
\begin{array}{cc}
 & \begin{array}{ccccccc} & & p & p+1 & & & \\ & & \downarrow & \downarrow & & & \end{array} \\
L = & \begin{bmatrix}
1 & \ldots & 0 & 0 & 0 & \ldots & 0 \\
\vdots & \ddots & \vdots & \vdots & \vdots & & \vdots \\
0 & \ldots & 1 & 0 & 0 & \ldots & 0 \\
0 & \ldots & 0 & 1 & 0 & \ldots & 0 \\
0 & \ldots & 0 & l_{p+2,p+1} & 1 & \ldots & 0 \\
\vdots & \ddots & \vdots & \vdots & \vdots & \ddots & \vdots \\
0 & \ldots & 0 & l_{n,p+1} & 0 & \ldots & 1
\end{bmatrix}
\begin{array}{l}
\\ \\ \leftarrow \ p \\ \leftarrow \ p+1 \\ \leftarrow \ p+2 \\ \\ \\
\end{array}
\end{array}
$$

et multiplier ensuite à droite la matrice traitée par la matrice L^{-1} (obtenue à partir de L en changeant le signe des éléments sous la diagonale).

Il est clair que ces opérations, qui définissent l'étape p et qui sont effectuées sur la matrice provenant de l'étape précédente (appelons-la $A^{(p-1)}$), n'affectent pas les $p-1$ premières colonnes de $A^{(p-1)}$ et donnent une matrice $A^{(p)}$ semblable à $A^{(p-1)}$.

Ceci donne l'algorithme de Hessenberg : Primo, calculer, à l'aide de la procédure décrite ci-dessus, une matrice de Hessenberg H semblable à la matrice donnée $A \in \mathcal{K}^{n\times n}$. Secundo, calculer le polynôme caractéristique de H (qui est aussi celui de A) en utilisant les relations de Hessenberg (2.13).

On obtient ainsi l'algorithme 2.6 page 76. Dans cet algorithme la procédure $\mathsf{AjLin}(H, i, j, c)$ opère une manipulation de lignes sur la matrice H : on ajoute à la ligne j la ligne i multipliée par c.

Exemple 2.3.3 Dans cet exemple on montre une « petite » matrice à coefficients entiers et sa réduction à la forme de Hessenberg.

$$A := \begin{bmatrix} -3 & 3 & 0 & -2 & -3 & 1 & -2 & 2 \\ 1 & 2 & 1 & 1 & 2 & 3 & 2 & 0 \\ 2 & 2 & 3 & -3 & 3 & 0 & -2 & -3 \\ -2 & 0 & 1 & -2 & 0 & 0 & -1 & 2 \\ 3 & -3 & 3 & 3 & 2 & 3 & 0 & 3 \\ 3 & 2 & 3 & -3 & 1 & 2 & -1 & -2 \\ -3 & 3 & 3 & 2 & 3 & 1 & -2 & 0 \\ 0 & -1 & -3 & -1 & -1 & 1 & -1 & -3 \end{bmatrix}$$

Voici la liste des lignes de la forme réduite de Hessenberg. Nous n'avons pas indiqué les 0 en position (i, j) lorsque $i > j + 1$.

$$\left[-3\,,\,7\,,\,\frac{-122}{7}\,,\,\frac{-26680}{6639}\,,\,\frac{-4080544}{1522773}\,,\,\frac{4747626797}{1757764263}\,,\,\frac{109259596132466}{234026268743849}\,,\,2\right]$$

$$\left[1\,,\,11\,,\,\frac{87}{7}\,,\,\frac{24037}{13278}\,,\,\frac{17521799}{7613865}\,,\,\frac{1473144559}{1757764263}\,,\,2\,,\,0\right]$$

$$\left[7\,,\,\frac{-415}{7}\,,\,\frac{-54333}{4426}\,,\,\frac{-1294739}{2537955}\,,\,\frac{689762552}{585921421}\,,\,\frac{-2270125812893340}{234026268743849}\,,\,-3\right]$$

$$\left[\frac{13278}{49}\,,\,\frac{1670911}{30982}\,,\,\frac{13199211}{1973965}\,,\,\frac{-11965124859}{4101449947}\,,\,\frac{79329636778655517}{1638183881206943}\,,\,\frac{107}{7}\right]$$

$$\left[\frac{-17765685}{19589476}\,,\,\frac{-2532182353}{2246597766}\,,\,\frac{2798215923779}{2593288209346}\,,\,\frac{6108776229950083011}{1035800265460275674}\,,\,\frac{25553}{4426}\right]$$

$$\left[\frac{-2593288209346}{1288243116405}\,,\,\frac{954443884297868}{1487042200034055}\,,\,\frac{17689012510838333947}{28283244709037870895}\,,\,\frac{600431}{2537955}\right]$$

$$\left[\frac{13198847530884339751}{5149558673799888615}\,,\,\frac{-1072911444230039651899789 6}{20568150590058583663414 35}\,,\,\frac{-64207585234}{26366463945}\right]$$

$$\left[\frac{30646265449653141668396326 2645}{5476829446216823540437533 4801}\,,\,\frac{481086736521535}{234026268743849}\right]$$

On voit apparaître des fractions de grande taille : les coefficients de la matrice initiale sont majorés par 3 en valeur absolue, et le numérateur le plus grand dans la matrice transformée est environ égal à $3^{61,8}$. Une étude expérimentale dans les mêmes conditions avec des matrices carrées d'ordre n variant entre 8 et 32 donne une taille des

coefficients intermédiaires de type quadratique : le numérateur ou dénominateur de taille maximum est de l'ordre de $3^{2(n-2)^2}$. Il s'agit donc ici d'un cas typique d'une méthode qui ne s'applique efficacement de manière directe, en calcul formel, que dans le cas d'un corps fini.

Remarque 2.3.4 Une matrice triangulaire $A \in \mathcal{K}^{n\times n}$ est une matrice de Hessenberg particulière qui a ses valeurs propres dans $\mathcal{K}$. Mais une matrice de Hessenberg qui a ses valeurs propres dans $\mathcal{K}$ n'est pas nécessairement triangulaire ni semblable à une matrice triangulaire, comme on le voit avec la matrice $\begin{bmatrix} 1 & 0 & 1 \\ 1 & 1 & 1 \\ 0 & 0 & 1 \end{bmatrix}$.

Nombre d'opérations arithmétiques

• La phase 1 de réduction à la forme de Hessenberg est composée de $n-2$ étapes. Chacune des étapes p $(1 \leq p \leq n-2)$ comporte un travail sur les lignes avec $(n-p-1)$ divisions, $(n-p-1)(n-p)$ multiplications et autant d'additions. L'opération inverse sur les colonnes comporte $(n-p-1)\,n$ multiplications et autant d'additions.
Ce qui donne $\frac{1}{6}(n-1)(n-2)(5n+3) \asymp \frac{5}{6}n^3$ multiplications/divisions et $\frac{5}{6}n(n-1)(n-2)$ additions/soustractions, c'est-à-dire un nombre total d'opérations arithmétiques dans $\mathcal{K}$ qui est asymptotiquement de l'ordre de $\frac{5}{3}n^3$.

• La phase 2 qui consiste à calculer les polynômes caractéristiques $P_k(X)$ $(2 \leq k \leq n)$ des sous-matrices principales dominantes de la réduite de Hessenberg s'effectue par récurrence sur k à partir de $P_0(X) = 1$ et $P_1(X) = h_{11} - X$. Si l'on désigne par $S(k)$ le nombre de multiplications/divisions (resp. additions/soustractions) permettant de calculer le polynôme caractéristique $P_k(X)$ de H_k, l'utilisation des relations de Hessenberg conduit aux relations de récurrence suivantes, vraies pour $2 \leq k \leq n$:

$$\begin{cases} S(k) = & S(k-1) + (k-1) + \displaystyle\sum_{i=1}^{k-1} i \\ & \text{pour les multiplications/divisions} \\ S(k) = & S(k-1) + 2\,(k-1) + \displaystyle\sum_{i=1}^{k-2} i \\ & \text{pour les additions/soustractions} \end{cases}$$

c'est-à-dire, dans les deux cas (que $S(k)$ désigne le nombre de multiplications/divisions ou celui des additions/soustractions) :

$$S(k) = S(k-1) + \frac{1}{2}\,(k-1)\,(k+2)\,.$$

Comme $S(1) = 0$, cela donne par sommation : $\frac{1}{6}\,n\,(n-1)\,(n+4) \asymp \frac{1}{6}\,n^3$ multiplications/divisions et autant d'additions/soustractions dans le corps $\mathcal{K}$ (la phase de quasi-triangularisation est donc la plus coûteuse, asymptotiquement cinq fois plus chère en nombre d'opérations arithmétiques que la phase de calcul du polynôme caractéristique de la matrice quasi-triangulaire).

D'où le résultat :

Proposition 2.3.5 *L'algorithme de Hessenberg calcule les polynômes caractéristiques de toutes les sous-matrices principales dominantes d'une matrice* $n \times n$ *sur un corps* $\mathcal{K}$ *avec moins de* $(n+1)\,(n-1)^2$ *multiplications/divisions et* $n\,(n-1)^2$ *additions/soustractions, soit en tout* $2\,n^3 - 3\,n^2 + 1$ *opérations arithmétiques.*

Remarque 2.3.6 Ce que la méthode de Hessenberg gagne en complexité arithmétique par rapport aux précédentes méthodes de calcul du polynôme caractéristique, elle le perd sur un aspect essentiel au plan pratique. Celui de l'absence de contrôle raisonnable de la taille des coefficients intermédiaires. La formule permettant d'exprimer dans la méthode du pivot de Gauss chaque coefficient intermédiaire comme quotient de deux déterminants extraits de la matrice de départ (voir propriété 2.1.3 page 58), ne s'applique plus dans le processus de quasi-triangularisation de Hessenberg. En effet les transformations subies par les lignes sont ici suivies par des transformations inverses sur les colonnes. Et on ne dispose pas actuellement pour la méthode de Hessenberg, pourtant la plus rapide en temps séquentiel si on ne prend en compte que le nombre d'opérations arithmétiques, d'une formule analogue qui permette de conclure sur la question de la taille des coefficients intermédiaires. Cela est confirmé par les résultats expérimentaux que nous avons pu avoir (voir l'exemple 2.3.3 et le chapitre 11). Dans le cas de matrices à coefficients entiers, il y a la possibilité de remédier à ce problème en utilisant le calcul modulaire (cf. section 1.6 page 32).

Remarque 2.3.7 Signalons l'existence d'une version modifiée récente de l'algorithme de Hessenberg sur un anneau intègre, développée dans

[3], qui permet de garder les coefficients intermédiaires, tout au long des calculs, dans l'anneau de base, supposé intègre. Elle semble bien adaptée au calcul modulaire sur les anneaux de polynômes à coefficients entiers.

2.4 Méthode d'interpolation de Lagrange

Elle ramène le calcul du polynôme caractéristique d'une matrice carrée $A \in \mathcal{A}^{n\times n}$ au calcul de $n+1$ déterminants.

On est donc supposé être dans une situation où le calcul des déterminants ne pose pas problème : cela peut être le cas par exemple lorsque la méthode du pivot de Gauss ne se heurte pas à des problèmes graves de simplification de fractions, ou lorsque l'on dispose d'un algorithme efficace et sans division pour le calcul des déterminants (comme celui du développement suivant une ligne ou une colonne si la matrice donnée est creuse). La méthode consiste à appliquer la formule d'interpolation de Lagrange au polynôme caractéristique $\mathrm{P}_A(X) = \det(A - X\mathrm{I}_n)$, c'est-à-dire la formule bien connue :

$$\mathrm{P}_A(X) = \sum_{i=0}^{n} \left(P(x_i) \prod_{i\in\{0,\ldots,n\}}^{i\neq k} \frac{X - x_i}{x_k - x_i} \right)$$

où $x_0, x_1, \ldots, x_n$ sont $n+1$ éléments distincts de $\mathcal{A}$, avec la restriction suivante : les $(x_i - x_j)$ (pour $i \neq j$) doivent être non diviseurs de zéro dans $\mathcal{A}$ et on doit disposer d'un algorithme de division exacte par les $(x_i - x_j)$ dans $\mathcal{A}$.

C'est par exemple le cas avec $x_i = i \times 1_{\mathcal{A}}$ lorsque $\mathcal{A}$ est de caractéristique nulle, ou finie étrangère à $n!$, ou plus généralement lorsque la division exacte par les *les entiers de $\mathcal{A}$ inférieurs ou égaux à n* (c'est-à-dire les éléments $1_{\mathcal{A}}$, $1_{\mathcal{A}} + 1_{\mathcal{A}}$, …, $n\,1_{\mathcal{A}}$), si elle est possible, est unique et réalisable par un algorithme.

En effet, si l'on choisit $x_k = k$ pour $0 \leq k \leq n$, la formule d'interpolation s'écrit :

$$\det(A - X\mathrm{I}_n) = \sum_{k=0}^{n} \left((-1)^k \, \frac{\det(A - k\,\mathrm{I}_n)}{k\,!\,(n-k)\,!} \prod_{i\in\{0,\ldots,n\}}^{i\neq k} (X - i) \right)$$

ce qui exige la possibilité d'effectuer des divisions (exactes) par les entiers de $\mathcal{A}$ inférieurs ou égaux à n.

En fait, $\mathrm{P}_A(X) = (-1)^n X^n + Q(X)$ avec $\deg(Q) \leq n-1$ et il suffit d'appliquer la méthode d'interpolation de Lagrange à $Q(X)$, ce qui revient à calculer la valeur de P_A en n points au lieu de $n+1$.

Le nombre d'opérations arithmétiques lors de l'exécution de cet algorithme est à peu près n fois celle du calcul d'un déterminant d'ordre n. Si, pour le calcul des déterminants $P(x_i) = \det(A - x_i\,\mathrm{I}_n)$, on choisit d'utiliser l'algorithme du pivot de Gauss (ou l'algorithme de Jordan-Bareiss si on est dans une situation où il s'avère être préférable à l'algorithme de Gauss [5]), on obtient donc pour la méthode d'interpolation de Lagrange un $\mathcal{O}(n^4)$. En fait les meilleurs algorithmes sans division dont on dispose actuellement pour calculer les déterminants passent par le calcul du polynôme caractéristique, ce qui rend caduque la méthode d'interpolation de Lagrange. Celle-ci, avec le calcul du déterminant dans l'anneau de base abandonné à la sagacité de Maple, sera comparée à ces autres algorithmes sur quelques exemples testés sur machine (voir chapitre 11).

2.5 Méthode de Le Verrier et variantes

Cette méthode, découverte en 1848 par l'astronome français Le Verrier [65], repose sur les relations de Newton entre les sommes de Newton et les polynômes symétriques élémentaires dans l'algèbre des polynômes à n indéterminées $x_1, \ldots, x_n$ sur un anneau commutatif $\mathcal{A}$.

De manière générale, la méthode de Le Verrier appliquée à une matrice $n \times n$ réclame qu'on soit dans un anneau où les entiers $1, 2, \ldots, n$ sont non diviseurs de zéro. Les seules divisions requises sont des divisions exactes par l'un de ces entiers.

2.5.1 Le principe général

La méthode de Le Verrier consiste précisément à déduire le calcul des coefficients du polynôme caractéristique du calcul de ses sommes de Newton. Celles-ci sont en effet égales aux traces des puissances de A comme le montre le lemme 1.5.6 page 30.

Rappelons que l'anneau de base n'a pas besoin d'être intègre, puisque les sommes de Newton peuvent être définies sans recours aux valeurs propres, en utilisant les équations (1.23) page 29 (cf. définition 1.5.5).

5. Dans les deux cas, nous avons vu que le nombre d'opérations arithmétiques est $\mathcal{O}(n^3)$.

Ceci donne l'algorithme 2.7.

Algorithme 2.7 ***Algorithme de Le Verrier***
Début
Étape 1 :
Calculer les puissances $A^2, \ldots, A^{n-1}$ de la matrice A ainsi que les éléments diagonaux de la matrice A^n ;
Étape 2 :
Calculer les traces des matrices A^1, $A^2, \ldots,$ A^n ;
Étape 3 :
Calculer les coefficients p_k $(1 \leq k \leq n)$ en utilisant les équations (1.23).
Fin.

Nombre d'opérations arithmétiques

Pour un anneau $\mathcal{A}$ fixé par le contexte, *nous noterons* $\mu_M(n)$ *le nombre d'opérations arithmétiques nécessaires pour la multiplication de deux matrices carrées d'ordre* n (on trouvera une définition plus précise dans la notation 7.2.1 page 195). Lorsqu'on utilise la méthode usuelle de multiplication des matrices carrées on a $\mu_M(n) = n^2\,(2n-1)$.

Pour l'algorithme de Le Verrier, le compte est le suivant :

- l'étape 1 utilise $(n-2)\,\mu_M(n)+n\,(2n-1)$ opérations arithmétiques
- les étapes 2 et 3 utilisent $n^2 + 2\sum_{k=1}^{n}(k-1) = 2\,n^2 - n$ opérations.

Proposition 2.5.1 *Le nombre total d'opérations arithmétiques lors de l'exécution de l'algorithme de Le Verrier, si on utilise la multiplication usuelle des matrices, est* $2\,n^4 + \mathcal{O}(n^3) = \mathcal{O}(n^4)$ *(précisément égal à* $2\,n\,(n-1/2)\,(n^2-2n+2)$*).*

Des algorithmes dérivés de l'algorithme de Le Verrier ont été proposés par de nombreux auteurs, avec des améliorations concernant la complexité (cf. [22, 32, 77, 84] et [FF]). Nous les étudions dans la suite de cette section et dans le chapitre 9.

2.5.2 Méthode de Souriau-Faddeev-Frame

Cette méthode, découverte séparément par Faddeev & Sominskii [FS], Souriau [84] et Frame [31], est une amélioration astucieuse de l'algorithme de Le Verrier.

Comme dans le cas de l'algorithme de Le Verrier, l'anneau $\mathcal{A}$ est supposé tel que *la division par un entier, quand elle est possible, est unique* (autrement dit, les entiers ne sont pas des diviseurs de zéro) *et réalisable par un algorithme*. Cette méthode permet de calculer :

- le polynôme caractéristique P_A d'une matrice carrée $A \in \mathcal{A}^{n\times n}$;
- l'adjointe de la matrice A et son inverse (s'il existe) ;
- un vecteur propre non nul relatif à une valeur propre donnée de A si l'on suppose de plus que l'anneau $\mathcal{A}$ est intègre.

Posant $P(X) = (-1)^n \mathrm{P}_A(X) = X^n - \left[c_1 X^{n-1} + \cdots + c_{n-1}X + c_n\right]$, la méthode consiste à calculer les coefficients c_k pour en déduire le polynôme caractéristique de A. On utilise pour cela le calcul de la matrice caractéristique adjointe de A tel que développé dans 1.2.1. Rappelons la définition de la matrice caractéristique adjointe de A : c'est la matrice $Q(X) = \mathrm{Adj}(X\mathrm{I}_n - A) = \sum_{k=0}^{n-1} B_k X^{n-1-k}$ (formule 1.11 page 11) dans laquelle les matrices B_k sont données par les relations 1.12 (page 12) :

$$B_k = AB_{k-1} - c_k\mathrm{I}_n \quad (1 \le k \le n) \quad \text{avec} \quad B_0 = \mathrm{I}_n\,.$$

On démontre, en utilisant les relations de Newton (1.23 page 29), que :

$$c_k = \frac{1}{k}\,\mathrm{Tr}(A\,B_{k-1}) \quad \text{pour } 1 \le k \le n\,.$$

En effet, partant des équations suivantes (voir 1.13 page 12) qui découlent des relations 1.12 rappelées ci-dessus :

$$B_k = A^k - c_1 A^{k-1} - \ldots - c_{k-1}A - c_k\mathrm{I}_n \ \text{ pour tout entier } \ k \in \{1,\ldots,n\}\,,$$

on considère les traces des deux membres dans chacune de ces n égalités matricielles pour obtenir :

$$\mathrm{Tr}(B_k) = s_k - c_1 s_{k-1} - \ldots - c_{k-1}s_1 - nc_k \quad (1 \le k \le n)\,.$$

Mais $s_k = c_1 s_{k-1} + \ldots + c_{k-1}s_1 + kc_k$ (ce sont les relations de Newton pour le polynôme $P(X)$). Comme $\mathrm{Tr}(B_k) = \mathrm{Tr}(AB_{k-1}) - nc_k$ (à cause de l'égalité $B_k = AB_{k-1} - c_k\mathrm{I}_n$), on obtient $\mathrm{Tr}(AB_{k-1}) = kc_k$. □

Notons par ailleurs (comme nous l'avons fait au § 1.2.1 page 11) que $B_n = A\,B_{n-1} - c_n\,\mathrm{I}_n = 0$, c'est-à-dire $A\,B_{n-1} = c_n\,\mathrm{I}_n = (-1)^{n-1}\det(A)\,\mathrm{I}_n$.

Ce qui montre que si $\det(A)$ est inversible dans $\mathcal{A}$, alors A possède un inverse donné par $A^{-1} = (c_n)^{-1}\, B_{n-1}$.

Rappelons également que $B_{n-1} = (-1)^{n-1}\,\mathrm{Adj}(A)$ ce qui donne, sans autre calcul, l'adjointe de la matrice A.

Nous traduisons la méthode de Souriau-Faddeev-Frame qui vient d'être développée par l'algorithme 2.8, dans lequel B désigne successivement les matrices $B_0 = \mathrm{I}_n$, $B_1, \ldots,$ B_n, et C les matrices A, $A\,B_1, \ldots,$ $A\,B_n$.

Algorithme 2.8 ***Algorithme de Souriau-Faddeev-Frame***

Entrée : Un entier n et une matrice $A \in \mathcal{A}^{n\times n}$. L'anneau $\mathcal{A}$ est supposé avoir un algorithme de division exacte par les entiers $\leq n$.
Sortie : Le polynôme caractéristique P_A de A.

Début
Variables locales : $k \in \mathbb{N}$; $c \in \mathcal{A}$; $C, B \in \mathcal{A}^{n\times n}$; $P \in \mathcal{A}[X]$.
  $Id := \mathrm{I}_n$; $B := Id$; $P := X^n$;
  pour k **de** 1 **à** $n-1$ **faire**
    $C := B \cdot A$; $c := \mathrm{Tr}(C)/k$;
    $P := P - c \cdot X^{n-k}$; $B := C - c \cdot Id$
  fin pour ;
  $c := \mathrm{Tr}(B \cdot A)/n$; $P := P - c$;
  $\mathrm{P}_A := (-1)^n\, P$
Fin.

Calcul de vecteurs propres

Dans le cas où $\mathcal{A}$ est intègre, si λ est une valeur propre simple de A (c'est-à-dire une racine simple de $P(X)$), le même calcul (donnant entre autres la matrice caractéristique adjointe $Q(X) = \mathrm{Adj}(X\mathrm{I}_n - A)$) nous permet d'obtenir un vecteur propre non nul associé à λ.

En effet $Q(X) = \displaystyle\sum_{i=0}^{n-1} B_i X^{n-1-i}$ donc $\mathrm{Tr}(Q(X)) = \displaystyle\sum_{i=0}^{n-1} \mathrm{Tr}(B_i)\, X^{n-1-i}$.
Mais $\mathrm{Tr}(B_i) = (i-n)\, c_i$, donc

$$\mathrm{Tr}(Q(X)) = -\sum_{i=0}^{n-1} (n-i)\, c_i\, X^{n-i-1} = P'(X)$$

où $P'(X)$ désigne le polynôme dérivé de $P(X)$. Ainsi $\mathrm{Tr}(Q(\lambda)) = P'(\lambda) \neq 0$ puisque λ est une racine simple de P. Par conséquent la matrice $Q(\lambda)$ n'est pas nulle.

Mais l'égalité $(X\mathrm{I}_n - A)\,Q(X) = P(X)\,\mathrm{I}_n$ donne $(A - \lambda\mathrm{I}_n)\,Q(\lambda) = -P(\lambda)\,\mathrm{I}_n = 0$. Ce qui prouve que n'importe quelle colonne non nulle v de $Q(\lambda)$ vérifie $Av = \lambda v$ et c'est donc un vecteur propre non nul de A relatif à la valeur propre λ.

Si l'on désigne par ℓ le numéro de la colonne présumée non nulle de la matrice $Q(\lambda) = B_0\lambda^{n-1} + B_1\lambda^{n-2} + \cdots + B_{n-2}\lambda + B_{n-1}$ et par b_k^ℓ la colonne n° ℓ de B_k, le calcul de ce vecteur propre peut se faire de la manière suivante :

- Poser $v_0 = e_\ell$ (colonne numéro ℓ de la matrice I_n) ;
- Faire $v_k = \lambda\, v_{k-1} + b_k^\ell$ (pour k allant de 1 à $n-1$).

Le vecteur propre recherché n'est autre que $v = v_{n-1}$.

Plus généralement, si la multiplicité géométrique [6] de λ est égale à 1, la matrice $Q(\lambda)$ n'est pas nulle (elle est de rang 1) et n'importe quelle colonne non nulle de $Q(\lambda)$ représente un vecteur propre non nul de A pour la valeur propre λ.

Si par contre la multiplicité géométrique (et par conséquent la multiplicité algébrique [7]) de la valeur propre λ est supérieure ou égale à 2, non seulement la trace, mais la matrice $Q(\lambda)$ elle-même est nulle d'après la propriété 1.1.2 page 6, puisque le rang de la matrice singulière $A - \lambda\mathrm{I}_n$ est, dans ce cas, au plus égal à $n-2$. La matrice $Q(\lambda)$, dans ce cas, ne donne donc aucun vecteur propre non nul de A.

On montre alors que ce sont les matrices dérivées successives (par rapport à X) de la matrice $Q(X)$ qui permettent de calculer des vecteurs propres non nuls relatifs à λ.

Considérons en effet pour $k \in \mathbb{N}$ l'opérateur $\Delta^{[k]} : \mathcal{A}[X] \longrightarrow \mathcal{A}[X]$, $P \mapsto \Delta^{[k]}P$, où $\Delta^{[k]}P\,(X) = P^{[k]}(X)$ est défini par l'identité

$$P(X+Y) = \sum\nolimits_{k\geq 0} P^{[k]}(X)\,Y^k\,.$$

Remarquons que $P^{[0]}(X) = P(X)$, $P^{[1]}(X) = P'(X)$ et qu'en caractéristique nulle $\Delta^{[k]} = \frac{1}{k!}\,D^k$ où D^k est l'opérateur de dérivation d'ordre k dans $\mathcal{A}\,[X]$ $(P^{[k]}(X) = \frac{1}{k!}P^{(k)}(X))$. Il est facile de voir qu'en caractéristique quelconque, $\Delta^{[k]}$ est un $\mathcal{A}$-endomorphisme de l'algèbre

6. La multiplicité géométrique d'une valeur propre est par définition la dimension du sous-espace propre correspondant.

7. C'est la multiplicité de λ en tant que zéro du polynôme caractéristique.

$\mathcal{A}[X]$ qui vérifie une formule analogue à la formule de Leibnitz, mais plus simple :

$$\Delta^{[k]}(P_1\,P_2) = \sum_{i=0}^{k} \Delta^{[i]}(P_1)\;\Delta^{[k-i]}(P_2)$$

En outre un polynôme P admet λ comme racine d'ordre $k \geq 1$ si et seulement si $P^{[0]}(\lambda) = P^{[1]}(\lambda) = \ldots = P^{[k-1]}(\lambda) = 0$ et $P^{[k]}(\lambda) \neq 0$. Appliquant successivement les opérateurs $\Delta^{[k]}$ pour k allant de 1 à m (où m est la multiplicité algébrique de la valeur propre λ) à l'égalité matricielle :

$$(X\mathrm{I}_n - A)\,Q(X) = P(X)\,\mathrm{I}_n\,,$$

on obtient la suite d'égalités :

$$Q^{[k-1]}(X) + (X\mathrm{I}_n - A)\,Q^{[k]}(X) = P^{[k]}(X)\,\mathrm{I}_n \quad (1 \leq k \leq m).$$

Remplaçant dans ces égalités X par la valeur propre λ, et tenant compte du fait que $Q(\lambda) = P(\lambda) = P^{[1]}(\lambda) = \cdots = P^{[m-1]}(\lambda) = 0$, on obtient le système :

$$\begin{cases} Q(\lambda) = 0 \\ (\lambda\mathrm{I}_n - A)\,Q^{[1]}(\lambda) = 0 \\ Q^{[1]}(\lambda) + (\lambda\mathrm{I}_n - A)\,Q^{[2]}(\lambda) = 0 \\ \quad\vdots \quad \vdots \quad \vdots \quad \vdots \quad \vdots \\ Q^{[m-2]}(\lambda) + (\lambda\mathrm{I}_n - A)\,Q^{[m-1]}(\lambda) = 0 \\ Q^{[m-1]}(\lambda) + (\lambda\mathrm{I}_n - A)\,Q^{[m]}(\lambda) = P^{[m]}(\lambda)\,\mathrm{I}_n\,. \end{cases}$$

Soit $r \in \mathbb{N}$ le plus petit entier tel que $Q^{[r]}(\lambda) \neq 0$.
Alors $r < m$ car sinon, on aurait $Q(\lambda) = Q^{[1]}(\lambda) = \cdots = Q^{[m-1]}(\lambda) = 0$ et $(\lambda\mathrm{I}_n - A)\,Q^{[m]}(\lambda) = P^{[m]}(\lambda)\,\mathrm{I}_n$ avec $P^{[m]}(\lambda) \neq 0$, ce qui contredit (nous sommes dans un anneau intègre) le fait que la matrice $\lambda\mathrm{I}_n - A$ est singulière.

Donc $(\lambda\mathrm{I}_n - A)\,Q^{[r]}(\lambda) = 0$ et toute colonne non nulle de $Q^{[r]}(\lambda)$ est un vecteur propre non nul de A pour la valeur propre multiple λ.

Nombre d'opérations arithmétiques

L'algorithme de Souriau-Faddeev-Frame consiste à calculer, pour k allant de 1 à n, le produit matriciel $A_k = AB_{k-1}$, le coefficient $c_k = \frac{1}{k}\mathrm{Tr}(A_k)$ et enfin la matrice $B_k = A_k - c_k\mathrm{I}_n$.

Rappelons qu'on désigne par $\mu_M(n)$ le nombre d'opérations arithmétiques dans l'anneau de base pour la multiplication de deux matrices

carrées d'ordre n. Le coût de l'algorithme de Souriau-Faddeev-Frame s'élève à

$$(n-2)\,\mu_M(n) + n\,(2n-1) + 2\,n\,(n-1)\,.$$

C'est à très peu près le même coût que pour l'algo de Le Verrier (on gagne n opérations arithmétiques).

Outre la plus grande simplicité, l'avantage est que l'on a aussi calculé la matrice adjointe. En particulier le calcul de la matrice inverse, si elle existe ne coûte que n^2 divisions supplémentaires dans $\mathcal{A}$. Enfin le calcul d'un vecteur propre non nul relatif à une valeur propre donnée de multiplicité géométrique égale à 1 se fait moyennant $2\,n\,(n-1)$ opérations arithmétiques supplémentaires.

Proposition 2.5.2 *Avec la méthode de Faddeev-Souriau-Frame, le calcul du polynôme caractéristique de la matrice A, de son déterminant, de sa matrice adjointe, de son inverse quand elle existe, ainsi que des sous-espaces propres de dimension 1 (quand on connaît la valeur propre correspondante) se fait en $2\,n^4 + \mathcal{O}(n^3) = O(n^4)$ opérations arithmétiques. Pour le calcul du seul polynôme caractéristique on en effectue précisément $2\,n\,(n-1)\,(n^2 - 3n/2 + 1/2)$ opérations.*

2.5.3 Méthode de Preparata & Sarwate

La méthode de Preparata & Sarwate est une accélération astucieuse de la méthode de Le Verrier, basée sur la remarque simple suivante. Pour calculer la trace d'un produit AB de deux matrices carrées d'ordre n, il suffit d'éxécuter $2n^2$ opérations arithmétiques puisque $\operatorname{Tr} AB = \sum_{k,\ell} a_{k,\ell}\, b_{\ell,k}$. Or le calcul le plus coûteux dans la méthode de Le Verrier est celui des traces des puissances successives de la matrice A dont on veut calculer le polynôme caractéristique.

Posons donc $r = \lceil \sqrt{n}\,\rceil$, $B_0 = C_0 = \mathrm{I}_n$, $B_1 = A$, et calculons les $B_i = A^i$ pour $i = 2, \ldots, r$, puis les $C_j = {B_r}^j$ pour $j = 1, \ldots, r-1$. Ce calcul consomme $(2r-3)(n^3 - n^2) \simeq 2\,n^{3,5}$ opérations arithmétiques dans $\mathcal{A}$.

On a alors $\operatorname{Tr} A^{rj+i} = \operatorname{Tr} B_i C_j = \sum_{k,\ell} b_{i,k,\ell}\, c_{j,\ell,k}$, et les valeurs $rj+i$ pour $0 \le i, j \le r-1$ parcourent l'intervalle $[0, r^2-1]$. Si $r^2 = n$ on doit calculer en outre $S_n = \operatorname{Tr} C_1 C_{r-1}$. On obtient donc toutes les sommes de Newton $S_m = \operatorname{Tr} A^m$, $1 \le m \le n$ pour un peu moins que $2n^3$ opérations arithmétiques supplémentaires dans $\mathcal{A}$.

Ceci donne l'algorithme 2.9. Comme la récupération des coefficients du polynôme caractéristique à partir des sommes de Newton réclame $\mathcal{O}(n^2)$ opérations arithmétiques on obtient la proposition suivante.

Algorithme 2.9 ***Algorithme de Preparata & Sarwate, version séquentielle simple.***

Entrée : Une matrice carrée $A \in \mathcal{A}^{n\times n}$ où $\mathcal{A}$ est un anneau vérifiant les hypothèses de l'algorithme de Le Verrier.
Sortie : Le polynôme caractéristique $\mathrm{P}_A = (-1)^n\,(X^n + \sum_{k=1}^{n} p_k X^{n-k})$.

Début
Variables locales : i, j, $r \in \mathbb{N}$; B_i, $C_j \in \mathcal{A}^{n\times n}$ $(i, j = 1..r-1)$, $S_i \in \mathcal{A}$ $(i = 1..n)$;
Étape 1 : Calcul des puissances A^i pour $i < r = \lceil \sqrt{n}\,\rceil$.
  $r := \lceil \sqrt{n}\,\rceil$; $B_1 := A$; $S_0 := n$; $S_1 := \mathrm{Tr}\,A$;
  pour i **de** 1 **à** $r-2$ **faire**
    $B_{i+1} := A\,B_i$; $S_{i+1} := \mathrm{Tr}\,B_{i+1}$
  fin pour ;
Étape 2 : Calcul des puissances A^{rj} pour $j < r$.
  $C_1 := A\,B_{r-1}$; $S_r := \mathrm{Tr}\ C_1$;
  pour j **de** 1 **à** $r-2$ **faire**
    $C_{j+1} := C_1\,C_j$; $S_{(j+1)r} := \mathrm{Tr}\ C_{j+1}$
  fin pour ;
Étape 3 : Calcul des sommes de Newton.
  pour i **de** 1 **à** $r-1$ **faire**
    pour j **de** 1 **à** $r-1$ **faire**
      $S_{jr+i} := \mathrm{Tr}\,B_iC_j$
    fin pour
  fin pour
  si $n = r^2$ **alors** $S_n := \mathrm{Tr}\ C_1C_{r-1}$ **fin si** ;
Étape 4 : Calcul des coefficients de P_A.
  Calculer les coefficients p_k $(1 \le k \le n)$ en utilisant les équations (1.23).
Fin.

Proposition 2.5.3 *Supposons que l'anneau commutatif $\mathcal{A}$ satisfasse les hypothèses de l'algorithme de Le Verrier :* la division par un entier, quand elle est possible, est unique, et réalisable par un algorithme. *Le nombre total d'opérations arithmétiques lors de l'exécution de l'algorith-*

me de Preparata & Sarwate, si on utilise la multiplication usuelle des matrices, est égal à $2\,n^{3,5} + \mathcal{O}(n^3) = \mathcal{O}(n^{3,5})$.

2.6 Méthode de Samuelson-Berkowitz

Elle est basée sur la méthode de partitionnement ([Gas] pp. 291–298, [FF]), attribuée à Samuelson [79], et elle a l'avantage de s'appliquer à un anneau commutatif arbitraire.

Berkowitz [6] en donne une version parallèle de laquelle nous extrayons une méthode séquentielle particulièrement simple et efficace. Elle montre l'intérêt pratique de cet algorithme pour les machines séquentielles, en le plaçant parmi les algorithmes les plus performants actuellement pour le calcul sans division du polynôme caractéristique (cf. les test expérimentaux présentés au chapitre 11).

2.6.1 Principe général de l'algorithme

Soit $A = (a_{ij}) \in \mathcal{A}^{n\times n}$ une matrice carrée d'ordre $n \geq 2$ sur un anneau commutatif arbitraire $\mathcal{A}$. Conformément aux notations introduites dans la section 1.1, pour tout entier r $(1 \leq r \leq n-1)$, on désigne par A_r la sous-matrice principale dominante d'ordre r de A. On partitionne comme suit la matrice A_{r+1} :

$$A_{r+1} = \begin{bmatrix} A_r & A_{1..r,r+1} \\ A_{r+1,1..r} & a_{r+1,r+1} \end{bmatrix} = \begin{bmatrix} A_r & S_r \\ R_r & a_{r+1,r+1} \end{bmatrix}.$$

Le polynôme caractéristique $P_{r+1}(X)$ de A_{r+1} est relié au polynôme caractéristique $P_r(X) = \sum_{i=0}^{r} p_{r-i}X^i$ de A_r par la formule de Samuelson (1.15) (proposition 1.2.1 page 13) que l'on peut réécrire sous la forme suivante :

$$P_{r+1} = \begin{cases} (a_{r+1,r+1} - X)\,P_r(X) + \\ \sum_{k=2}^{r+1} \left[(R_r A_r^{k-2} S_r)p_0 + \cdots + (R_r S_r)p_{k-2}\right] X^{r+1-k} \end{cases} \tag{2.14}$$

Notons Q_{r+1} le polynôme :

$$-X^{r+1} + a_{r+1,r+1}\,X^r + R_r S_r\,X^{r-1} + R_r A_r S_r\,X^{r-2} + \cdots + R_r A_r^{r-1} S_r\,.$$

Pour calculer $P_{r+1}(X)$ selon la formule de Samuelson on peut :

- effectuer le produit $P_r\,Q_{r+1}$;
- supprimer les termes de degré $< r$;

– et enfin diviser par X^r.

On peut aussi décrire ce calcul sous la forme :

$$\overrightarrow{P_{r+1}} = \mathrm{Toep}(Q_{r+1}) \times \overrightarrow{P_r} \tag{2.15}$$

où $\overrightarrow{P_r}$ est le vecteur colonne ${}^{\mathrm{t}}(p_0, p_1, \ldots, p_r)$ des coefficients du polynôme P_r et $\mathrm{Toep}(Q_{r+1}) \in \mathcal{A}^{(r+2)\times(r+1)}$ est la matrice de Toeplitz suivante définie à partir du polynôme Q_{r+1} :

$$\mathrm{Toep}(Q_{r+1}) = \begin{bmatrix} -1 & 0 & \cdots & \cdots & 0 \\ a_{r+1,r+1} & -1 & \ddots & & \vdots \\ R_r S_r & \ddots & \ddots & \ddots & \vdots \\ \vdots & \ddots & \ddots & \ddots & 0 \\ R_r A_r^{r-2} S_r & & \ddots & \ddots & -1 \\ R_r A_r^{r-1} S_r & R_r A_r^{r-2} S_r & \ldots & R_r S_r & a_{r+1,r+1} \end{bmatrix}$$

Algorithme 2.10 ***Algorithme de Berkowitz, principe général.***

Entrée : Une matrice $A \in \mathcal{A}^{n\times n}$.

Sortie : Le polynôme caractéristique $\mathrm{P}_A(X)$ de A.

Début

Étape 1 :

Pour $k < r$ dans $\{1, \ldots, n\}$ calculer les produits $R_r\,(A_r)^k\,S_r$,
ce qui donne les polynômes Q_{r+1} et les matrices $\mathrm{Toep}(Q_{r+1})$,

Étape 2 :

Calculer le produit $\mathrm{Toep}(Q_n)\,\mathrm{Toep}(Q_{n-1})\,\cdots\,\mathrm{Toep}(Q_2)\,\overrightarrow{P_1}$:
on obtient $\overrightarrow{\mathrm{P}_A}$.

Fin.

Avec $\overrightarrow{P_1} = \begin{bmatrix} -1 \\ a_{1,1} \end{bmatrix}$, on obtient l'algorithme de Berkowitz informel 2.10.

2.6.2 Version séquentielle

Dans la version séquentielle la plus simple de l'algorithme de Berkowitz, le calcul des coefficients de la matrice $\mathrm{Toep}(Q_{r+1})$ se fait naturellement par l'utilisation exclusive de produits scalaires ou de produits de

matrices par des vecteurs. De même dans l'étape 2, le produit s'effectue de droite à gauche, donc n'utilise que des produits matrice par vecteur. Cela donne l'algorithme 2.11.

Algorithme 2.11 ***Algorithme de Berkowitz, version séquentielle simple.***

Entrée : Un entier $n \geq 2$ et une matrice $A = (a_{ij}) \in \mathcal{A}^{n \times n}$.
Sortie : Le polynôme caractéristique de A : $\mathrm{P}_A(X)$.

Début
Variables locales : i, j, k, $r \in \mathbb{N}$; $v = (v_i)$, $c = (c_i)$, $s = (s_i)$, $P = (p_i)$: listes de longueur variable r $(1 \leq r \leq n+1)$ dans $\mathcal{A}$.

```
# initialisation de c et de v
c_1 := -1 ; v := (-1, a_11) ;
# Calcul des polynômes caractéristiques des matrices principales
# dominantes d'ordre ≥ 2 (les listes successives dans P = (p_i))
pour r de 2 à n faire
   (s_i)_{i=1..r-1} := (a_ir)_{i=1..r-1} ;
   c_2 := a_rr ;
   pour i de 1 à r-2 faire
      c_{i+2} := Σ_{j=1}^{r-1} a_rj s_j ;
      pour j de 1 à r-1 faire p_j := Σ_{k=1}^{r-1} a_jk s_k fin pour ;
      (s_j)_{j=1..r-1} := (p_j)_{j=1..r-1}
   fin pour ;
   c_{r+1} := Σ_{j=1}^{r-1} a_rj s_j ;
   pour i de 1 à r+1 faire
      p_i := Σ_{j=1}^{min(r,i)} c_{i+1-j} v_j
   fin pour ;
   (v_i)_{i=1..r+1} := (p_i)_{i=1..r+1}
fin pour ;
P_A(X) := Σ_{i=0}^{n} v_{i+1} X^{n-i}
```

Fin.

Ainsi, sans calculer des puissances de matrices A_r^{k-1} $(3 \leq k \leq r)$ on commence par calculer $R_r S_r$ puis successivement, pour k allant de 2 à r, le produit (matrice par vecteur) $A_r^{k-1} S_r$ suivi du produit scalaire $R_r A_r^{k-1} S_r$, ce qui se traduit par $2r^3 + r^2 - 3r + 1$ opérations arithmétiques pour chaque r $(1 \leq r \leq n-1)$. On en déduit que le nombre d'opérations arithmétiques (dans l'anneau de base $\mathcal{A}$) intervenant dans

ce calcul est égal à :

$$\sum_{r=1}^{n-1}(2r^3+r^2-3r+1)=\frac{1}{2}n^4-\frac{2}{3}n^3-\frac{3}{2}n^2+\frac{8}{3}n-1\,.$$

Il en est de même pour la multiplication des matrices de Toeplitz $\mathrm{Toep}(Q_r)$. On commence par multiplier la première matrice $\mathrm{Toep}(Q_1)=\overrightarrow{P_1}$ à gauche par la matrice $\mathrm{Toep}(Q_2)$ pour obtenir le vecteur $\overrightarrow{P_2}$ qui est un vecteur 3×1 et ainsi de suite jusqu'à $\overrightarrow{P_n}=\mathrm{Toep}(Q_n)\times\overrightarrow{P_{n-1}}$. Comme chaque multiplication $\overrightarrow{P_r}=\mathrm{Toep}(Q_r)\times\overrightarrow{P_{r-1}}$ (d'une matrice sous-triangulaire $(r+1)\times r$ avec des -1 sur la diagonale par un vecteur $r\times 1$) coûte $r\,(r-1)$ opérations arithmétiques dans $\mathcal{A}$, le calcul de $\overrightarrow{P_n}$ se fait en $\displaystyle\sum_{r=2}^{n}(r^2-r)=\frac{1}{3}(n^3-n)$ opérations arithmétiques de base [8].

Proposition 2.6.1 *Le coût total de l'algorithme séquentiel simple de Berkowitz s'élève à*

$$\frac{1}{2}n^4-\frac{1}{3}n^3-\frac{3}{2}n^2+\frac{7}{3}n-1\ \ \leq\ \ \frac{1}{2}n^4-\frac{1}{3}n^3$$

opérations arithmétiques dans l'anneau de base.

2.7 Méthode de Chistov

2.7.1 Le principe général

La méthode de Chistov [17] consiste à calculer le polynôme caractéristique $\mathrm{P}_A(X)$ d'une matrice carrée $A\in\mathcal{A}^{n\times n}$ $(n\geq 2)$ en le ramenant à l'inversion du polynôme formel $Q(X)=\det(\mathrm{I}_n-XA)$ dans l'anneau des séries formelles $\mathcal{A}[[X]]$.

Ce polynôme est, à un signe près, le polynôme réciproque du polynôme caractéristique puisque

$$(-1)^nX^nQ\left(\frac{1}{X}\right)=(-X)^n\det\left(\mathrm{I}_n-\frac{1}{X}A\right)=\det(A-X\mathrm{I}_n)=\mathrm{P}_A(X).$$

Comme les polynômes P_A et Q, résultat final du calcul, sont de degré n, tous les calculs peuvent se faire modulo X^{n+1} dans l'anneau des séries

8. Ce calcul peut être accéléré en utilisant une multiplication rapide des polynômes (cf. chapitre 6), mais cela ne change pas substantiellement le résultat global qui reste de $\mathcal{O}(n^4)$ opérations arithmétiques avec la même constante asymptotique. Nous n'avons pas implémenté cette amélioration lors de nos tests expérimentaux.

formelles $\mathcal{A}[[X]]$, c'est-à-dire encore peuvent se faire dans *l'anneau des développements limités à l'ordre* n *sur* $\mathcal{A}$: $\mathcal{A}[X]\big/\big\langle X^{n+1}\big\rangle$.

Dans la suite, nous noterons souvent cet anneau $\mathcal{A}_n$.

L'algorithme de Chistov utilise le fait que, pour toute matrice carrée B d'ordre n régulière, le n-ème élément de la diagonale de la matrice inverse B^{-1}, noté $(B^{-1})_{n,n}$, est égal à :

$$(B^{-1})_{n,n} = \frac{\det B_{n-1}}{\det B} \quad \text{ou encore} \quad (B_n^{-1})_{n,n} = \frac{\det B_{n-1}}{\det B_n}\,,$$

où B_r désigne la sous-matrice principale dominante d'ordre r de B (avec la convention $\det B_0 = 1$). Ceci permet d'écrire lorsque B est fortement régulière :

$$\big(B_n^{-1}\big)_{n,n} \times \big(B_{n-1}^{-1}\big)_{n-1,n-1} \times \cdots \times \big(B_1^{-1}\big)_{1,1} = \frac{1}{\det B}\,.$$

Appliquant ce fait à la matrice $B = \mathrm{I}_n - XA_n \in \mathcal{A}[X]^{n\times n}$ qui est fortement régulière puisque tous ses mineurs principaux dominants sont des polynômes de terme constant égal à 1 et sont donc inversibles dans l'anneau $\mathcal{A}[[X]]$, on obtient :

$$Q(X)^{-1} = [\,\det(\mathrm{I}_n - XA_n)\,]^{-1} = \prod_{r=1}^{n} \big(B_r^{-1}\big)_{r,r}\,. \tag{2.16}$$

Mais on a un isomorphisme canonique $\mathcal{A}[[X]]^{r\times r} \simeq \mathcal{A}^{r\times r}[[X]]$ et la matrice $B_r = \mathrm{I}_r - XA_r$ est aussi inversible dans l'algèbre des séries formelles sur l'anneau de matrices $\mathcal{A}^{r\times r}$, et son inverse est la matrice :

$$B_r^{-1} = \mathrm{I}_r + \sum_{k=1}^{\infty} (A_r)^k\, X^k \in \mathcal{A}^{r\times r}[[X]]\,. \tag{2.17}$$

Donc en notant E_r la r-ème colonne de I_r :

$$\big(B_r^{-1}\big)_{r,r} \bmod X^{n+1} = 1 + \sum_{k=1}^{n} \Big(\,{}^{\mathrm{t}}\mathrm{E}_r\,(A_r)^k\,\mathrm{E}_r\Big)\; X^k\,. \tag{2.18}$$

Par conséquent en notant $\widetilde{Q}(X) = Q(X)^{-1} \bmod X^{n+1}$ on obtient :

$$\widetilde{Q}(X) = \prod_{r=1}^{n} \left[\, 1 + \sum_{k=1}^{n} \Big(\,{}^{\mathrm{t}}\mathrm{E}_r\,(A_r)^k\,\mathrm{E}_r\Big)\; X^k \right] \bmod X^{n+1}$$

et donc,

$$Q(X) = \left\{ \prod_{r=1}^{n} \left[1 + \sum_{k=1}^{n} \left({}^{\mathrm{t}}\mathrm{E}_r \, (A_r)^k \, \mathrm{E}_r \right) X^k \right] \right\}^{-1} \quad \text{dans } \mathcal{A}[X] \big/ \langle X^{n+1} \rangle$$

Ainsi $Q(X)$ est l'inverse modulo X^{n+1} du produit modulo X^{n+1} de n polynômes de terme constant égal à 1 et de degré inférieur ou égal à n.

Rappelons que le polynôme caractéristique à calculer $\mathrm{P}_A(X)$ est le produit par $(-1)^n$ du polynôme réciproque à l'ordre n de $Q(X)$. On obtient alors l'algorithme de Chistov 2.12.

Algorithme 2.12 ***Algorithme de Chistov, principe général.***
Entrée : la matrice $A \in \mathcal{A}^{n \times n}$.
Sortie : le polynôme caractéristique $\mathrm{P}_A(X)$ de A.
Début
Étape 1 :
Calculer pour $r, k \in \{1, \ldots, n\}$ les produits ${}^{\mathrm{t}}\mathrm{E}_r \, (A_r)^k \, \mathrm{E}_r$,
ce qui donne les polynômes $\left(B_r^{-1}\right)_{r,r}$ (formule (2.18)).
Étape 2 :
Calculer le produit des n polynômes précédents modulo X^{n+1},
ce qui donne $Q(X)^{-1} \bmod X^{n+1}$ (formule (2.16)).
Étape 3 :
Inverser modulo X^{n+1} le polynôme précédent : on obtient $Q(X)$.
Étape 4 :
Prendre le polynôme réciproque à l'ordre n du polynôme $Q(X)$.
On obtient $\mathrm{P}_A(X)$ en multipliant par $(-1)^n$.
Fin.

Nous détaillons maintenant la version séquentielle élémentaire de cet algorithme.

2.7.2 La version séquentielle

Dans la version séquentielle la plus simple on obtient l'algorithme 2.13 page suivante.

On démontre maintenant que le coût en nombre d'opérations arithmétiques dans l'anneau de base pour cette version élémentaire est asymptotiquement de l'ordre de $(2/3)\, n^4$.

Algorithme 2.13 ***Algorithme de Chistov, version séquentielle simple.***

Entrée : Un entier $n \geq 2$ et une matrice $A = (a_{i,j}) \in \mathcal{A}^{n\times n}$.
Sortie : Le polynôme caractéristique de A, $\mathrm{P}_A \in \mathcal{A}[X]$.

Début
Variables locales : i, j, k, $r \in \mathbb{N}$; $q = (q_i)$, $b = (b_i)$, $c = (c_i) \in \mathcal{A}^{n+1}$ où $0 \leq i \leq n$; $v = (v_i)$, $w = (w_i) \in \mathcal{A}^r$ où $1 \leq i \leq r$, $Q \in \mathcal{A}[X]$.
  $q := (1)_{i=0..n}$; $c := q$; (initialisation)
  pour i **de** 1 **à** n **faire** $q_i := q_{i-1}\, a_{1,1}$ **fin pour** ;
  pour r **de** 2 **à** n **faire**
    $v := (a_{i,r})_{i=1..r}$; $c_1 := v_r$;
    pour i **de** 2 **à** $n-1$ **faire**
      pour j **de** 1 **à** r **faire** $w_j := \sum_{k=1}^{r} a_{j,k}\, v_k$ **fin pour** ;
      $v := w$; $c_i := v_r$
    fin pour ;
    $c_n := \sum_{k=1}^{r} a_{r,k}\, v_k$;
    pour j **de** 0 **à** n **faire** $b_j := \sum_{k=0}^{j} c_{j-k}\, q_k$ **fin pour** ;
    $q := b$
  fin pour
  $Q := 1/\left(\sum_{k=0}^{n} q_k X^k\right) \bmod X^{n+1}$;
  $\mathrm{P}_A := (-1)^n X^n Q(1/X)$
Fin.

Reprenons en effet les quatre étapes dans l'algorithme de Chistov général 2.12 page précédente.

• **L'étape 1**, la plus coûteuse, se ramène en fait à calculer successivement les produits $(A_r)^k \mathrm{E}_r$ pour $1 \leq r \leq n$ et pour $1 \leq k \leq n$, puisque ${}^{\mathrm{t}}\mathrm{E}_r\,(A_r)^k\,\mathrm{E}_r$ n'est autre que la r-ème composante du vecteur $(A_r)^k\,\mathrm{E}_r$.

Pour chaque valeur de r $(1 \leq r \leq n)$, on commence par calculer $A_r\mathrm{E}_r$ puis, pour k allant de 2 à n, le produit de la matrice A_r par le vecteur $(A_r)^{k-1}\mathrm{E}_r$, ce qui se traduit par $n\,(2r^2-r)$ opérations arithmétiques (additions/soustractions et multiplications) pour chaque r compris entre 1 et n. On en déduit que le nombre d'opérations dans ce calcul est égal à :

$$n \sum_{r=1}^{n} (2r^2 - r) \;=\; \frac{1}{6}\, n^2\,(n+1)(4n-1) \;=\; (2/3)\, n^4 + \mathcal{O}(n^3)\,.$$

• **L'étape 2** revient à calculer le produit tronqué de n polynômes de degré au plus égal à n, ce qui se fait en $\mathcal{O}(n^3)$ opérations de base.

• **L'étape 3** consiste à calculer le produit tronqué à l'ordre n des $\lceil \log n \rceil$ polynômes $1 + R$, $1 + R^2$, $\ldots$, $1 + R^{2^{\lceil \log n \rceil}}$ eux-mêmes obtenus à l'issue de $\lceil \log n \rceil$ élévations successives au carré, tronquées à l'ordre n, de polynômes de degré n. Cela fait un nombre d'opérations arithmétiques de l'ordre de $n^2 \lceil \log n \rceil$.

• **L'étape 4** a un coût négligeable.

Proposition 2.7.1 *Le coût total de l'algorithme séquentiel élémentaire de Chistov s'élève à* $(2/3)\, n^4 + \mathcal{O}(n^3)$ *opérations arithmétiques dans l'anneau de base.*

Nous présentons ci-dessous un résumé de la discussion sur le nombre d'opérations arithmétiques :

Etape	Coût
Etape 1	$(2/3)\, n^4 + \mathcal{O}(n^3)$
Etape 2	$\mathcal{O}(n^3)$
Etape 3	$\mathcal{O}(n^2 \log n)$
Etape 4	négligeable

Tableau 2.7.2
Complexité de la version séquentielle de l'algorithme de Chistov

2.8 Méthodes reliées aux suites récurrentes linéaires

Dans la section 2.8.1 nous donnons un algorithme de calcul du polynôme caractéristique d'une matrice A basé sur la considération des transformés successifs de vecteurs de la base canonique par A.

Dans la section 2.8.2 nous présentons un algorithme dû à Berlekamp qui permet de calculer le polynôme générateur minimal d'une suite récurrente linéaire dans un corps lorsqu'on sait qu'elle vérifie une relation de récurrence linéaire d'ordre n et qu'on connaît les $2n$ premiers termes de la suite.

Dans la section 2.8.3 on décrit l'algorithme de Wiedemann qui utilise celui de Berlekamp pour trouver avec une bonne probabilité le polynôme caractéristique d'une matrice sur un corps fini.

2.8.1 L'algorithme de Frobenius

Nous donnons ici un algorithme qui est basé sur une description de nature géométrique pour un endomorphisme d'un $\mathcal{K}-$espace vectoriel.

Comme conséquence, on calcule le polynôme caractéristique de l'endomorphisme avec essentiellement le même nombre d'opérations arithmétiques que dans la méthode du pivot de Gauss (qui ne calcule que le déterminant), sans les inconvénients que présentait la méthode de Hessenberg (hormis le cas des corps finis) concernant la taille des coefficients intermédiaires.

Le cas usuel

Nous aurons besoin de la procédure 2.14 page ci-contre (dérivée de l'algorithme de Jordan-Bareiss) à laquelle nous donnons le nom de **JorBarSol**. Elle calcule, à la Jordan-Bareiss, la relation de dépendance linéaire exprimant la dernière colonne en fonction des premières dans une matrice fortement régulière ayant une colonne de plus que de lignes. La fin du calcul, après la triangulation, reste dans l'anneau $\mathcal{A}$ si la relation de dépendance linéaire est à coefficients dans $\mathcal{A}$.

Considérons une matrice carrée $A \in \mathbb{Z}^{5\times 5}$ d'ordre 5 prise au hasard, donnée par exemple par Maple. Elle définit un endomorphisme h_A de $\mathbb{Q}^5$. On note $(f_i)_{1\leq i\leq 6}$ le premier vecteur de la base canonique de $\mathbb{Q}^5$ et ses 5 transformés successifs par A. Ceci fournit une matrice $B \in \mathbb{Z}^{5\times 6}$.

Voici un exemple typique

$$A = \begin{bmatrix} 57 & -82 & -48 & -11 & 38 \\ -7 & 58 & -94 & -68 & 14 \\ -35 & -14 & -9 & -51 & -73 \\ -73 & -91 & 1 & 5 & -86 \\ 43 & -4 & -50 & 50 & 67 \end{bmatrix},$$

$$B = \begin{bmatrix} 1 & 57 & 7940 & 55624 & -46831857 & -22451480858 \\ 0 & -7 & 8051 & 1071926 & 199923276 & 14745797441 \\ 0 & -35 & -998 & -245490 & 54032957 & 9123769947 \\ 0 & -73 & -7622 & -1648929 & -128141849 & -10372211183 \\ 0 & 43 & 3460 & 209836 & -58008810 & -15808793525 \end{bmatrix}.$$

En général les vecteurs $(f_i)_{1\leq i\leq 5}$ sont indépendants, et même, la matrice B est fortement régulière. C'est le cas ici.

Concernant la taille des coefficients, ceux de la matrice initiale sont majorés par 100 en valeur absolue, et ceux de la matrice B dans la

k-ème colonne, sont majorés par M^{k-1} si M est une des normes de A décrite en section 1.6, par exemple $M < 270$ pour la norme de Frobenius.

Algorithme 2.14 ***Algorithme JorBarSol***

Entrée : Une matrice $A = (a_{ij}) \in \mathcal{A}^{n\times(n+1)}$ fortement régulière. L'anneau $\mathcal{A}$ est supposé intègre avec un algorithme de division exacte.

Sortie : $L = (\ell_j) \in \mathcal{A}^n$: on a, en notant C_j la j-ème colonne de A, $C_{n+1} = \sum_{j=1}^{n} \ell_j\, C_j$. La fin du calcul reste dans $\mathcal{A}$ si les ℓ_i sont dans $\mathcal{A}$.

Début

Variables locales : i, j, p, $q \in \mathbb{N}$; piv, den, $coe \in \mathcal{A}$;

```
            # LU-décomposition à la Jordan-Bareiss
  den := 1 ; m := n + 1 ;
  pour p de 1 à n − 1 faire
    piv := a_pp ; fortement régulière
    pour i de p + 1 à n faire
      coe := a_ip ;
      pour j de p + 1 à m faire
        a_ij := (piv ∗ a_ij − coe ∗ a_pj) / den
      fin pour
    fin pour
    den := piv
  fin pour
            # calcul des coefficients ℓ_i
  pour q de 1 à n − 1 faire
    p := n − q ; ℓ_p := a_pm/a_pp ;
    pour i de 1 à p − 1 faire
      a_im := a_im − ℓ_p a_ip
    fin pour
  fin pour
Fin.
```

On peut calculer la relation de dépendance linéaire $f_6 = \sum_{i=1}^{5} \alpha_i\, f_i$, qui se relit ${h_A}^5(f_1) = \sum_{i=0}^{4} \alpha_i\, {h_A}^i(f_1)$. La matrice de h_A sur la base $(f_1, \ldots, f_5)$ est alors clairement la matrice compagnon du polynôme $P(X) = X^5 - \sum_{i=0}^{4} \alpha_i\, X^i$ (cf. page 15) et on obtient le polynôme caractéristique de A par la formule $\mathrm{P}_A(X) = (-1)^5 P(X)$.

Cet algorithme qui calcule le polynôme caractéristique de A fonc-

tionne lorsque le polynôme générateur minimal P de la suite récurrente linéaire $(A^n f_1)_{n\in\mathbb{N}}$ dans $\mathbb{Q}^5$ est de degré ≥ 5. Dans ce cas le polynôme P est en effet égal au polynôme minimal et au polynôme caractéristique de A (au signe près).

Pour calculer la relation de dépendance linéaire $f_6 = \sum_{i=1}^{5} \alpha_i f_i$ on applique la procédure **JorBarSol**. Elle commence par la triangulation à la Jordan-Bareiss de la matrice B. Cette triangulation (en fait, une LU-décomposition) ne change pas les deux premières colonnes et donne les 4 dernières suivantes.

7940	55624	−46831857	−22451480858
8051	1071926	199923276	14745797441
288771	39235840	6619083961	452236520806
641077	−110921281313	−32874613863452	−5984786805270056
−370413	−114147742050	−8244227015780803785	−1467472408808983073730

Si on traite une matrice carrée A d'ordre n dont une norme est majorée par M, le coefficient en position (i,j) dans la matrice ainsi obtenue est égal au mineur $b_{i,j}^{(k-1)}$ de la matrice $B = [f_1|Af_1|\cdots|A^n f_1]$ avec $k = \min(i,j)$. A priori (comme dans l'exemple ci-dessus, d'ailleurs) le plus grand coefficient serait en position $(n, n+1)$, majoré par $M^{1+\cdots+(n-2)+n}$, c'est-à-dire $M^{(n^2-n+2)/2}$, ce qui reste raisonnable, en tout cas bien meilleur que dans l'algorithme de Hessenberg.

L'algorithme termine en donnant la combinaison linéaire recherchée par le calcul successif des coefficients $\alpha_5, \alpha_4, \ldots, \alpha_1$.

Une *matrice de Frobenius d'ordre* n est un autre nom donné à une matrice compagnon d'un polynôme $P(X)$ de degré n. On peut l'interpréter comme la matrice de l'application linéaire « multiplication par x » (la classe de X) dans l'algèbre quotient $\mathcal{K}[X]/\langle P(X)\rangle$ sur la base canonique $1, x, \ldots, x^{n-1}$.

L'algorithme que nous venons de décrire n'ayant pas de nom officiel, nous l'appellerons *algorithme de Frobenius*, c'est l'algorithme 2.15 page suivante.

Nombre d'opérations arithmétiques

Avec une matrice carrée d'ordre n l'algorithme de Frobenius donne un calcul en $\mathcal{O}(n^3)$ opérations arithmétiques, ce qui est du même ordre de grandeur que pour la méthode du pivot de Gauss.

Plus précisément l'algorithme 2.15 se décompose en deux grandes étapes. La première étape crée la matrice B et exécute $(n-1)\,n^2$ mul-

Algorithme 2.15 ***Algorithme de Frobenius (le cas simple)***

Entrée : Une matrice $A = (a_{ij}) \in \mathcal{A}^{n\times n}$. L'anneau $\mathcal{A}$ est supposé intègre avec un algorithme de division exacte.

Sortie : Le polynôme caractéristique $\mathrm{P}_A(X)$. L'algorithme ne fonctionne que si le premier vecteur de base et ses $n-1$ transformés successifs par A sont linéairement indépendants.

Début
Variables locales : i, k, $m \in \mathbb{N}$; $B = (b_{i,j}) \in \mathcal{A}^{n\times(n+1)}$;
$V = (v_i) \in \mathcal{A}^{n\times 1}$, $L = (\ell_j) \in \mathcal{A}^n$;
  $m := n+1$; $V :=$ première colonne de A ;
  $B := 0$ dans $\mathcal{A}^{n\times(n+1)}$; $b_{1,1} := 1$;
  2-ème colonne de $B := V$;
  pour k **de** 3 **à** m **faire**
    $V := A\,V$;
    k-ème colonne de $B := V$
  fin pour ;
  $L :=$ JorBarSol(B) ;
  $\mathrm{P}_A := (-1)^n(X^n - \sum_{k=1}^n \ell_k\, X^{k-1})$
Fin.

tiplications et $(n-1)^3$ additions. La deuxième étape applique l'algorithme **JorBarSol** à la matrice B. Vue la première colonne de celle-ci, cet algorithme utilise

$$\sum_{p=2}^{n-1}(n-p)\,(n-p+1) + \sum_{p=1}^{n-1}(p-1) = \frac{1}{3}\,n^3 - \frac{1}{2}\,n^2 - \frac{5}{6}\,n + 1$$

additions/soustractions et

$$3\sum_{p=2}^{n-1}(n-p)\,(n-p+1) + \sum_{p=1}^{n-1}(p-1) + n - 2 = n^3 - \frac{5}{2}\,n^2 + \frac{3}{2}\,n - 1$$

multiplications/divisions (les divisions sont toutes exactes). Ceci donne le résultat suivant.

Proposition 2.8.1 *L'algorithme de Frobenius (dans le cas usuel simple) appliqué à une matrice carrée d'ordre n sur un anneau intègre dans lequel les divisions exactes sont explicites demande en tout*

$$\frac{10}{3}\,n^3 - 7\,n^2 + \frac{11}{3}\,n - 1$$

opérations arithmétiques dans l'anneau. Plus précisément cet algorithme exécute $\frac{4}{3}n^3-\frac{7}{2}n^2+\frac{13}{6}n$ *additions/soustractions et* $2n^3-\frac{7}{2}n^2+\frac{3}{2}n-1$ *multiplications/divisions.*

En pratique, sur un corps fini, les algorithmes de Hessenberg et de Frobenius s'avèrent meilleurs que tous les autres, ce qui correspond au fait qu'ils fonctionnent en exécutant seulement $\mathcal{O}(n^3)$ opérations arithmétiques. Mais dès qu'on passe à des matrices à coefficients dans $\mathbb{Z}$, l'algorithme de Berkowitz devient plus performant, car ses $\mathcal{O}(n^4)$ opérations arithmétiques sont exécutées sur des entiers de taille mieux contrôlée. Si on passe à des anneaux tels que $\mathbb{Z}[t,u]$, l'algorithme de Berkowitz bénéficie en plus du fait qu'il n'utilise pas de divisions. Enfin sur des anneaux non intègres, les algorithmes de Hessenberg et de Frobenius, même dans leurs variantes avec recherche de pivot non nuls, ne fonctionnent plus en toute généralité.

Le cas difficile : triangularisation par blocs

La méthode que nous décrivons maintenant est l'adaptation de la précédente pour le cas le plus difficile, qui se présente cependant rarement. Cette méthode, comme celle décrite pour le cas usuel (celui où le polynôme caractéristique de A est égal à son polynôme minimal et où le premier vecteur de base A-engendre l'espace $\mathcal{K}^n$) fait partie de l'usage, et nous ne savons pas à qui l'attribuer.

Soit A une matrice carrée dans $\mathcal{K}^{n\times n}$. Notons $a=(e_1,\dots,e_n)$ la base canonique de $\mathcal{K}^n$ (on identifiera $\mathcal{K}^{n\times 1}$ avec $\mathcal{K}^n$) et h_A l'endomorphisme de $\mathcal{K}^n$ ayant pour matrice A dans cette base.

Nous allons construire une nouvelle base $b=(f_1,\dots,f_n)$ dans laquelle l'endomorphisme h_A aura une matrice suffisamment sympathique, dont le polynôme caractéristique sera facile à calculer. Il s'agit précisément de réduire la matrice de h_A à une forme triangulaire par blocs avec des blocs diagonaux ayant la forme de Frobenius.

Voyons ce qui se passe sur un exemple.

Un exemple dans $\mathcal{K}^7=\mathbb{Q}^7$:

Soit $(e_1,e_2,e_3,e_4,e_5,e_6,e_7)$ la base canonique de $\mathcal{K}^7$, v un vecteur de $\mathcal{K}^7$ et A la matrice carrée d'ordre 7 ci-dessous. Rappelons que le sous-espace de Krylov[9] associé au couple (A,v) (ou au couple (h_A,v)),

9. On dit parfois aussi *sous espace cyclique*.

noté $\mathrm{Kr}_{A,\,v}$, est le sous-espace de $\mathcal{K}^7$ engendré par la suite récurrente linéaire $(A^n\,v)_{n\in\mathbb{N}}$.

$$A = \begin{bmatrix} 1 & 5 & 43 & 683 & 794 & 206 & 268 \\ -1 & -2 & -26 & -458 & -554 & -148 & -186 \\ 0 & 0 & 1 & 14 & 18 & 5 & 6 \\ 1 & 3 & 24 & 387 & 469 & 125 & 157 \\ 1 & 4 & 21 & 300 & 357 & 92 & 119 \\ 2 & 5 & 53 & 888 & 1082 & 292 & 363 \\ -7 & -23 & -163 & -2547 & -3074 & -813 & -1028 \end{bmatrix},$$

Pour obtenir une base du sous-espace $\mathrm{Kr}_{A,\,e_1}$ (de dimension k_1) nous calculons successivement les vecteurs e_1, Ae_1, A^2e_1, ... en nous arrêtant au dernier vecteur qui ne soit pas combinaison linéaire de ceux qui le précèdent ou, ce qui revient au même, nous construisons successivement les matrices $[e_1]$, $[e_1\,|\,Ae_1]$, $[e_1\,|\,Ae_1\,|\,A^2e_2]\,,\ldots$ en nous arrêtant à la dernière matrice dont le rang est égal au nombre de colonnes. Dans notre cas, cela donne la suite de matrices :

$$\begin{bmatrix} 1 \\ 0 \\ 0 \\ 0 \\ 0 \\ 0 \\ 0 \end{bmatrix}, \begin{bmatrix} 1 & 1 \\ 0 & -1 \\ 0 & 0 \\ 0 & 1 \\ 0 & 1 \\ 0 & 2 \\ 0 & -7 \end{bmatrix}, \begin{bmatrix} 1 & 1 & 9 \\ 0 & -1 & -5 \\ 0 & 0 & 0 \\ 0 & 1 & 5 \\ 0 & 1 & 5 \\ 0 & 2 & 10 \\ 0 & -7 & -35 \end{bmatrix}, \ \ldots$$

Il faut s'arrêter à la deuxième matrice car la matrice $[\,e_1\,|\,Ae_1\,|\,A^2e_1\,]$ est de rang 2. On remarque en effet que $A^2e_2 = 4\,e_1 + 5\,Ae_1$. Une base du sous-espace $V_1 = \mathrm{Kr}_{A,\,e_1}$ est donc formée du couple (e_1, Ae_1) et $\dim V_1 = k_1 = 2$. La matrice correspondante est notée $U_1 = [\,e_1\,|\,Ae_1\,]$.

Passons au second vecteur de la base canonique. On remarque que e_2 n'est pas dans le sous-espace V_1 et l'on poursuit la construction de la base recherchée avec les matrices $[\,U_1\,|\,e_2\,]$ puis $[\,U_1\,|\,e_2\,|\,Ae_2\,]$ puis $[\,U_1\,|\,e_2\,|\,Ae_2\,|\,A^2e_2\,]\ldots$ jusquà obtenir une matrice dont la dernière colonne est combinaison linéaire des autres.

Ici c'est le vecteur A^3e_2 qui est combinaison linéaire de ceux qui le précèdent (c'est-à-dire qu'il appartient au sous-espace $V_2 = V_1 +$

$\langle e_2, Ae_2, A^2e_2\rangle$) et on obtient la suite de matrices :

$$\begin{bmatrix} 1 & 1 & 0 \\ 0 & -1 & 1 \\ 0 & 0 & 0 \\ 0 & 1 & 0 \\ 0 & 1 & 0 \\ 0 & 2 & 0 \\ 0 & -7 & 0 \end{bmatrix}, \begin{bmatrix} 1 & 1 & 0 & 5 \\ 0 & -1 & 1 & -2 \\ 0 & 0 & 0 & 0 \\ 0 & 1 & 0 & 3 \\ 0 & 1 & 0 & 4 \\ 0 & 2 & 0 & 5 \\ 0 & -7 & 0 & -23 \end{bmatrix}, \quad U_2 = \begin{bmatrix} 1 & 1 & 0 & 5 & 86 \\ 0 & -1 & 1 & -2 & -53 \\ 0 & 0 & 0 & 0 & 1 \\ 0 & 1 & 0 & 3 & 50 \\ 0 & 1 & 0 & 4 & 48 \\ 0 & 2 & 0 & 5 & 103 \\ 0 & -7 & 0 & -23 & -347 \end{bmatrix}.$$

Et la matrice $[\, e_1 \,|\, Ae_1 \,|\, e_2 \,|\, Ae_2 \,|\, A^2e_2 \,|\, A^3e_2 \,] = [\, U_2 \,|\, A^3e_2 \,]$:

$$\begin{bmatrix} 1 & 1 & 0 & 5 & 86 & 348 \\ 0 & -1 & 1 & -2 & -53 & -200 \\ 0 & 0 & 0 & 0 & 1 & -2 \\ 0 & 1 & 0 & 3 & 50 & 209 \\ 0 & 1 & 0 & 4 & 48 & 214 \\ 0 & 2 & 0 & 5 & 103 & 411 \\ 0 & -7 & 0 & -23 & -347 & -1471 \end{bmatrix}$$

est de rang 5 puisque sa dernière colonne A^3e_2 est combinaison des autres. On peut le voir par exemple par la méthode du pivot de Gauss, qui fournit la relation de dépendance linéaire $A^3e_2 = 209e_1 + 306Ae_1 + 2e_2 + Ae_2 - 2A^2e_2$. On passe ensuite au troisième vecteur de la base canonique. On remarque que e_3 n'est pas dans le sous-espace V_2. On construit alors une base de $V_3 = V_2 + \mathrm{Kr}_{A,\,e_3}$. On poursuit donc la construction de la base recherchée avec les nouvelles matrices $[\, U_2 \,|\, e_3 \,]$ et $[\, U_2 \,|\, e_3 \,|\, Ae_3 \,]$:

$$\begin{bmatrix} 1 & 1 & 0 & 5 & 86 & 0 \\ 0 & -1 & 1 & -2 & -53 & 0 \\ 0 & 0 & 0 & 0 & 1 & 1 \\ 0 & 1 & 0 & 3 & 50 & 0 \\ 0 & 1 & 0 & 4 & 48 & 0 \\ 0 & 2 & 0 & 5 & 103 & 0 \\ 0 & -7 & 0 & -23 & -347 & 0 \end{bmatrix}, \begin{bmatrix} 1 & 1 & 0 & 5 & 86 & 0 & 43 \\ 0 & -1 & 1 & -2 & -53 & 0 & -26 \\ 0 & 0 & 0 & 0 & 1 & 1 & 1 \\ 0 & 1 & 0 & 3 & 50 & 0 & 24 \\ 0 & 1 & 0 & 4 & 48 & 0 & 21 \\ 0 & 2 & 0 & 5 & 103 & 0 & 53 \\ 0 & -7 & 0 & -23 & -347 & 0 & -163 \end{bmatrix}$$

La dernière matrice, que nous notons $U_3 = U$, est de rang 7. C'est la matrice de passage de la base canonique à la base que nous venons de construire $b = (e_1, Ae_1, e_2, Ae_2, A^2e_2, e_3, Ae_3)$.

Dans cette nouvelle base, il est clair que la matrice de l'endomorphisme h_A est une matrice triangulaire supérieure par blocs, les blocs diagonaux étant formés de matrices de Frobenius.

On peut d'ailleurs le vérifier, en calculant le produit matriciel $U^{-1}AU$ pour obtenir :

$$U^{-1}\,A\,U = \begin{bmatrix} 0 & 4 & 0 & 0 & 209 & 0 & 179 \\ 1 & 5 & 0 & 0 & 306 & 0 & 291 \\ 0 & 0 & 0 & 0 & 2 & 0 & 6 \\ 0 & 0 & 1 & 0 & 1 & 0 & -17 \\ 0 & 0 & 0 & 1 & -2 & 0 & -4 \\ 0 & 0 & 0 & 0 & 0 & 0 & 1 \\ 0 & 0 & 0 & 0 & 0 & 1 & 5 \end{bmatrix}$$

dont le polynôme caractéristique (celui aussi de A) est égal au produit des polynômes caractéristiques des blocs diagonaux de Frobenius, c'est-à-dire : $\left(X^2 - 5\,X - 4\right)\left(X^3 + 2\,X^2 - X - 2\right)\left(X^2 - 5\,X - 1\right)$.

En fait la matrice $U^{-1}AU$, et par suite les polynômes caractéristiques des blocs diagonaux de Frobenius, peuvent être retrouvés à partir des relations de dépendance linéaires déjà calculées et de la relation qui exprime le vecteur A^2e_3 comme combinaison linéaire des vecteurs de la base b, qui peut être obtenue en appliquant la méthode du pivot de Gauss à la matrice $[\,U_3 \,|\, A^2e_3\,]$.

Description générale de l'algorithme

On prend $f_1 = e_1$ puis $f_2 = Ae_1$, sauf si Ae_1 est colinéaire avec e_1, auquel cas on prend $f_2 = e_2$.

Précisément, on définit l'entier $k_1 \in \{1, \ldots, n\}$ comme suit : les vecteurs e_1, $Ae_1, \ldots,$ $A^{k_1-1}e_1$ sont indépendants, mais $A^{k_1}e_1$ dépend linéairement des précédents. Ceci définit le début

$$(f_1, \ldots, f_{k_1}) = (e_1, Ae_1, \ldots, A^{k_1-1}e_1)$$

de notre base.

Les tests de dépendance linéaire dont nous avons eu besoin peuvent être obtenus en appliquant le pivot de Gauss, avec éventuels échanges de lignes mais sans échange de colonnes, sur les matrices successives (e_1, Ae_1), (e_1, Ae_1, A^2e_1) etc. Cette méthode fournit aussi la relation de dépendance linéaire lorsque l'entier k_1 est atteint. Notez aussi que nous n'avons pas besoin de calculer les puissances successives de la matrice A mais seulement les transformés successifs du vecteur e_1 par A.

Si $k_1 = n$ notre base b est trouvée, et en exprimant Af_{k_1} sur la base b nous obtenons en même temps la matrice de h_A sur b sous forme

d'une matrice de Frobenius.

$$\begin{bmatrix} 0 & \cdots & 0 & a_0 \\ 1 & \ddots & \vdots & a_1 \\ \vdots & \ddots & 0 & \vdots \\ 0 & \cdots & 1 & a_{n-1} \end{bmatrix}$$

dont le polynôme caractéristique est, au signe près,

$$P(X) = X^n - (a_{n-1}X^{n-1} + \cdots + a_1X + a_0)$$

Si $k_1 < n$, nous cherchons le premier vecteur e_i $(i > 1)$ linéairement indépendant de $f_1, \ldots, f_{k_1}$. Ceci nous fournit le vecteur f_{k_1+1}. Le calcul de l'indice i et donc du vecteur f_{k_1+1} peut de nouveau être obtenu par la méthode du pivot de Gauss (sans échange de colonnes) appliquée aux matrices $(f_1, \ldots, f_{k_1}, e_i)$. On définit ensuite l'entier $k_2 \in \{1, \ldots, n - k_1\}$ comme suit : les vecteurs

$$f_1, \ldots, f_{k_1+1}, Af_{k_1+1}, \ldots, A^{k_2-1}f_{k_1+1}$$

sont indépendants, mais $A^{k_2}f_{k_1+1}$ dépend linéairement des précédents. Ceci définit le nouveau début de notre base,

$$(f_1, \ldots, f_{k_1+k_2}) = (f_1, \ldots, f_{k_1+1}, Af_{k_1+1}, \ldots, A^{k_2-1}f_{k_1+1}).$$

Si $k_1 + k_2 = n$ notre base b est trouvée, et en exprimant $Af_{k_1+k_2}$ sur la base b nous obtenons en même temps la matrice de h_A sur b sous forme d'une matrice triangulaire par blocs, ayant pour blocs diagonaux deux matrices de Frobenius.

$$\begin{bmatrix} 0 & \cdots & 0 & a_0 & 0 & \cdots & \cdots & 0 & c_0 \\ 1 & \ddots & \vdots & a_1 & \vdots & & & \vdots & c_1 \\ \vdots & \ddots & 0 & \vdots & \vdots & & & \vdots & \vdots \\ 0 & \cdots & 1 & a_{n-1} & 0 & \cdots & \cdots & 0 & c_{n-1} \\ 0 & \cdots & \cdots & 0 & 0 & \cdots & \cdots & 0 & b_0 \\ \vdots & & & \vdots & 1 & \ddots & & \vdots & b_1 \\ \vdots & & & \vdots & 0 & \ddots & \ddots & \vdots & \vdots \\ \vdots & & & \vdots & \vdots & \ddots & \ddots & 0 & \vdots \\ 0 & \cdots & \cdots & 0 & 0 & \cdots & 0 & 1 & b_{m-1} \end{bmatrix}$$

dont le polynôme caractéristique est, au signe près,

$$P(X) = \left(X^n - \sum_{i=0}^{n-1} a_i X^i\right) \cdot \left(X^m - \sum_{j=0}^{m-1} b_j X^j\right) .$$

Si $k_1+k_2 < n$ nous cherchons le vecteur $f_{k_1+k_2+1}$ parmi les vecteurs restants de la base canonique, et nous continuons le processus. En fin de compte, en ayant calculé un nombre relativement restreint (certainement $< 2n$) de produits du type matrice fois vecteur Ag, et en ayant appliqué le pivot de Gauss un nombre relativement restreint de fois nous avons obtenu une nouvelle base b ainsi que la matrice de h_A sur cette base sous la forme d'une matrice triangulaire par blocs, ayant sur la diagonale des blocs formés de matrices de Frobenius. Le polynôme caractéristique de la matrice est donc égal au produit des polynômes caractéristiques $P_i(X)$ des blocs diagonaux, qui sont donnés par simple lecture de la dernière colonne de la matrice de Frobenius.

Notons pour terminer qu'il est facile de vérifier sur une telle forme réduite que chacun des vecteurs f_j est annulé par l'endomorphisme $\prod_i P_i(h_A)$, ce qui fournit une preuve géométrique élémentaire du théorème de Cayley-Hamilton. Pour la preuve de ce théorème il suffit d'ailleurs de constater le fait pour le vecteur f_1, car celui-ci est simplement le premier vecteur d'une base, et donc n'importe quel vecteur non nul a priori.

Domaine de validité et nombre d'opérations arithmétiques

Dans cet algorithme le nombre d'opérations arithmétiques est encore un $\mathcal{O}(n^3)$.

Son domaine de validité est celui des corps, et plus généralement celui des anneaux intègres et intégralement clos, que nous avons envisagés à l'occasion de l'étude du polynôme minimal (voir section 1.3.2 page 20).

En effet avec un tel anneau, si $C \in \mathcal{A}^{n\times n}$ les polynômes P^C et $\mathrm{P}^{C,v}$ sont automatiquement à coefficients dans $\mathcal{A}$. Il s'ensuit que les procédures du type **JorBarSol** que nous utilisons au cours de l'algorithme ne calculent que des éléments dans $\mathcal{A}$.

Dans le cas d'une matrice à coefficients dans $\mathbb{Z}$ on a les mêmes majorations des coefficients intermédiaires que celles que nous avons esquissées dans le cas facile le plus usuel.

2.8.2 Algorithme de Berlekamp/Massey

On donne dans un corps $\mathcal{K}$ les $2n$ premiers éléments d'une suite récurrente linéaire $(a_k)_{k\in\mathbb{N}}$ pour laquelle on sait qu'il existe un polynôme générateur de degré n. Le problème est de calculer le polynôme générateur minimal g de la suite.

Une telle solution est donnée par l'algorithme de Berlekamp/Massey [27] qui donne en sortie le degré d ainsi que les coefficients d'un polynôme $f = c_d\, g$ associé au polynôme g. Ce polynôme g est alors obtenu en divisant par c_d.

L'algorithme de Berlekamp/Massey utilise les propriétés de la suite des triplets (R_i, U_i, V_i) formée des restes et des multiplicateurs de Bézout successifs dans l'algorithme d'Euclide étendu pour le couple de polynômes (R_{-1}, R_0) où $R_{-1} = X^{2n}$ et $R_0 = \sum_{i=0}^{2n-1} a_i X^i$.

Posant $V_{-1} = U_0 = 0$ et $U_{-1} = V_0 = 1$, ces triplets vérifient, pour tout $i \geq 0$, les relations :

$$\begin{array}{rcll}
R_{i-1} & = & R_i\, Q_i + R_{i+1} & \text{où } \mathrm{d^o} R_{i+1} < \mathrm{d^o} R_i \\
U_{i+1} & = & U_{i-1} - Q_i\, U_i, & \\
V_{i+1} & = & V_{i-1} - Q_i\, V_i, & \text{d'où :} \\
R_i & = & U_i\, R_{-1} + V_i\, R_0, & \\
\text{de plus :}\quad U_i\, V_{i-1} - V_i\, U_{i-1} & = & (-1)^i \qquad \text{et} & \mathrm{d^o} R_i < 2n - \mathrm{d^o} V_i\,.
\end{array}$$

Les deux dernières relations se vérifient facilement par récurrence sur i.

On arrête le processus au premier reste, disons R_m, de degré plus bas que n, pour obtenir :

$$U_m\, X^{2n} + V_m\, R_0 = R_m \quad \text{avec} \quad \mathrm{d^o} R_m < n.$$

Posons $d = \sup(\mathrm{d^o} V_m, 1 + \mathrm{d^o} R_m)$ et $P = X^d V_m(1/X)$. Alors on peut montrer que P divisé par son coefficient dominant est le polynôme générateur minimal de la suite (a_k) (cf. [GG] et [27]). Par exemple dans le cas où $\mathrm{d^o} V_m = n$ et $V_m(0) \neq 0$, en écrivant que les termes de degré compris entre n et $2n-1$ du polynôme $V_m(X)\, R_0(X)$ sont nuls, on constate que $P(X)$ est bien un polynôme générateur de la suite (a_k).

Ceci donne précisément l'algorithme 2.16 page suivante (dans lequel $\mathrm{cd}(P)$ désigne le coefficient dominant de P).

Cet algorithme est dû à Berlekamp, mais sous une forme où la relation avec l'algorithme d'Euclide étendu était invisible. C'est Massey qui a fait le rapprochement. Pour plus de détails sur la relation entre cet algorithme et l'algorithme d'Euclide étendu, on pourra consulter [27].

Algorithme 2.16 ***Algorithme de Berlekamp-Massey***

Entrée : Un entier $n \geq 1$. Une liste non nulle d'éléments du corps $\mathcal{K}$, $[a_0, a_1, \ldots, a_{2n-1}]$: les $2n$ premiers termes d'une suite récurrente linéaire, sous l'hypothèse qu'elle admet un polynôme générateur de degré $\leq n$.
Sortie : Le polynôme générateur minimal P de la suite récurrente linéaire.

Début
Variables locales : $R, R_0, R_1, V, V_0, V_1, Q$: polynômes en X
  # initialisation
  $R_0 := X^{2n}$; $R_1 := \sum_{i=0}^{2n-1} a_i X^i$; $V_0 := 0$; $V_1 := 1$;
  # boucle
  tant que $n \leq \deg(R_1)$ **faire**
    $(Q, R) :=$ quotient et reste de la division de R_0 par R_1 ;
    $V := V_0 - Q * V_1$;
    $V_0 := V_1$; $V_1 := V$; $R_0 := R_1$; $R_1 := R$;
  fin tant que
  # sortie
  $d := \sup(\deg(V_1), 1 + \deg(R_1))$; $P := X^d V_1(1/X)$;
  Retourner $P := P/\mathrm{cd}(P)$.
Fin.

2.8.3 Méthode de Wiedemann

L'algorithme de Wiedemann [96] pour la résolution des systèmes linéaires sur un corps $\mathcal{K}$ est un algorithme probabiliste, avec divisions, qui est basé sur la théorie des suites récurrentes linéaires. Il est particulièrement efficace dans le cas des matrices creuses sur les corps finis.

Il utilise le fait que si le polynôme minimal P^A d'une matrice $A \in \mathcal{K}^{n\times n}$ est de degré n (donc égal, à un signe près, au polynôme caractéristique P_A de A), alors il existe toujours un vecteur $v \in \mathcal{K}^{n\times 1}$ pour lequel le polynôme générateur minimal de la suite récurrente linéaire $(A^k v)_{k\in\mathbb{N}}$ est égal à P^A. Il suffit en effet, comme nous l'avons vu dans la section 1.3 (corollaire 1.3.3), de prendre un vecteur de $\mathcal{K}^n$ en dehors d'une réunion finie de sous-espaces de $\mathcal{K}^n$.

L'algorithme de Wiedemann choisit au hasard une forme linéaire $\pi : \mathcal{K}^n \to \mathcal{K}$ et un vecteur $v \in \mathcal{K}^n$ puis il calcule les $2n$ premiers termes de la suite récurrente linéaire $(\pi(A^k v))_{k\in\mathbb{N}}$ dans $\mathcal{K}$. Enfin le polynôme générateur minimal de cette suite est obtenu par l'algorithme

de Berlekamp-Massey.

Dans le cas étudié par Wiedemann, le corps $\mathcal{K}$ est fini de cardinal q, et on a une mesure de probabilité naturelle, en postulant une équiprobabilité des éléments du corps. Si le polynôme minimal de la matrice A est égal à son polynôme caractéristique, la probabilité pour trouver un vecteur v convenable après k essais successifs est supérieure à $1 - \log \frac{q^{k-1}}{q^{k-1}-1} \geq 1 - \frac{1}{q^{k-1}-1}$ (cf. [96]).

Si on compare avec l'algorithme de Frobenius, on voit que l'on doit calculer $2n$ vecteurs $A^k v$ au lieu de n. Par contre le calcul du polynôme générateur minimal est ensuite beaucoup plus rapide. En outre, dans le cas des matrices creuses, même le calcul des $2n$ vecteurs $A^k v$ est très rapide.

Notons enfin que les algorithmes de Frobenius et de Wiedemann peuvent être accélérés très significativement au moyen de la multiplication rapide des polynômes et de la multiplication rapide des matrices (cf. sections 8.4 et 8.5).

3. Circuits arithmétiques

Introduction

Dans ce chapitre nous introduisons la notion fondamentale de circuit arithmétique qui est le cadre général dans lequel se situe l'analyse des algorithmes développés dans cet ouvrage.

La complexité algébrique peut être vue comme une théorie qui cherche à analyser les algorithmes qui acceptent de se mettre sous forme de familles de circuits arithmétiques.

Dans un circuit arithmétique les instructions de branchement ne sont pas autorisées, ce qui semble une limitation assez sévère. Les algorithmes usuels d'algèbre linéaire sont en effet ordinairement écrits en utilisant des tests d'égalité à 0. Néanmoins, il s'avère que dans beaucoup de cas, cette limitation apparente n'en est pas une, notamment en raison de la procédure d'élimination des divisions de Strassen que nous exposons dans la section 3.2. Par contre le cadre un peu strict fourni par les circuits arithmétiques s'avère très fécond. C'est grâce à lui que l'on peut mettre en place la stratégie générale « diviser pour gagner ».

Lorsqu'on envisage les algorithmes liés à la géométrie algébrique réelle, la nécessité des tests de signe, et donc des instructions de branchement, devient souvent impérieuse, et une autre branche de la complexité algébrique est nécessaire, avec la théorie des *réseaux arithmétiques* que nous ne développerons pas ici.

Dans la section 3.1 nous donnons les définitions précises des circuits arithmétiques et de leur variante « programmée », les programmes d'évaluation (straight-line programs en anglais). C'est l'occasion d'introduire quelques mesures de complexité pour ces algorithmes.

Dans la section 3.2 nous introduisons l'élimination des divisions selon la méthode de Strassen et nous établissons quelques uns des résultats les plus importants qui la concernent.

Dans la section 3.3 nous donnons une méthode qui transforme un cir-

cuit arithmétique Γ qui calcule une fraction rationnelle f en un circuit arithmétique Γ' de taille comparable (la taille est multipliée par au plus 5), qui calcule à la fois la fonction f et toutes ses dérivées partielles.

3.1 Circuits arithmétiques et programmes d'évaluation

Un circuit arithmétique constitue une façon naturelle et simple de représenter les calculs algébriques dans un anneau arbitraire, dans le cas où un algorithme n'utilise pas d'instructions de branchements, et uniquement des boucles du type

pour i **de** m **à** n **faire** ... **fin pour**.

Si la taille de l'entrée est fixée, ces boucles peuvent être « mises à plat » et on obtient un programme dont les seules instructions sont des affectations.

La plupart des algorithmes présentés dans le chapitre 2 sont de ce type et donnent donc lieu, lorsque les dimensions des matrices sont fixées, à des programmes d'évaluation.

3.1.1 Quelques définitions

Par exemple l'idée d'un circuit arithmétique est donnée par le calcul du déterminant d'une matrice carrée par l'algorithme du pivot de Gauss simplifié, dans le cas des matrices fortement régulières, pour des matrices de taille fixée. Le calcul est alors toujours exactement le même et peut être représenté comme une suite d'affectations qu'on peut disposer séquentiellement ou dessiner au moyen d'un graphe plan.

Par exemple pour une matrice 4×4, en donnant un nom différent à chaque résultat de calcul élémentaire (addition, soustraction, multiplication ou division), et en reprenant la notation $a_{ij}^{[k]}$ introduite à la section 2.1, on obtient la mise à plat sous la forme du programme d'évaluation 3.1 page ci-contre dans lequel toutes les affectations situées à une même profondeur peuvent en principe être exécutées simultanément.

Pour une profondeur donnée, les calculs sont faits avec des variables définies aux étages précédents. Ce calcul comprend 37 opérations arithmétiques, et sa *profondeur* est égale à 10, sa *largeur* est égale à 9.

Programme d'évaluation 3.1 ***Calcul du déterminant et de la LU-décomposition d'une matrice carrée d'ordre*** 4 ***par la méthode du pivot de Gauss (sans recherche de pivot).***

Entrée : Une matrice $A = (a_{ij}) \in \mathcal{K}^{4\times 4}$ à coefficients dans un corps $\mathcal{K}$.
Sortie : Les coefficients l_{ij} en dessous de la diagonale de la matrice L, les coefficients $u_{ij} = a_{ij}^{[i-1]}$ $(j \geq i)$ de la matrice U, le déterminant d_4 de A.

Début
profondeur 1 : Traitement du premier pivot
$l_{21} := a_{21}/a_{11}$; $l_{31} := a_{31}/a_{11}$; $l_{41} := a_{41}/a_{11}$
profondeur 2 : largeur 9
$b_{22}^{[1]} := l_{21}\, a_{12}$; $b_{23}^{[1]} := l_{21}\, a_{13}$; $b_{24}^{[1]} := l_{21}\, a_{14}$;
$b_{32}^{[1]} := l_{31}\, a_{12}$; $b_{33}^{[1]} := l_{31}\, a_{13}$; $b_{34}^{[1]} := l_{31}\, a_{14}$;
$b_{42}^{[1]} := l_{41}\, a_{12}$; $b_{43}^{[1]} := l_{41}\, a_{13}$; $b_{44}^{[1]} := l_{31}\, a_{44}$
profondeur 3 : largeur 9
$a_{22}^{[1]} := a_{22} - b_{22}^{[1]}$; $a_{23}^{[1]} := a_{23} - b_{23}^{[1]}$; $a_{24}^{[1]} := a_{24} - b_{24}^{[1]}$;
$a_{32}^{[1]} := a_{32} - b_{32}^{[1]}$; $a_{33}^{[1]} := a_{33} - b_{33}^{[1]}$; $a_{34}^{[1]} := a_{33} - b_{34}^{[1]}$;
$a_{42}^{[1]} := a_{42} - b_{42}^{[1]}$; $a_{43}^{[1]} := a_{43} - b_{43}^{[1]}$; $a_{44}^{[1]} := a_{43} - b_{44}^{[1]}$
profondeur 4 : Traitement du deuxième pivot
$l_{32} := a_{32}^{[1]}/a_{22}^{[1]}$; $l_{42} := a_{42}^{[1]}/a_{22}^{[1]}$; $d_2 := a_{11}a_{22}^{[1]}$
profondeur 5 : largeur 4
$b_{33}^{[2]} := l_{32}\, a_{23}^{[1]}$; $b_{34}^{[2]} := l_{32}\, a_{24}^{[1]}$;
$b_{43}^{[2]} := l_{42}\, a_{23}^{[1]}$; $b_{44}^{[2]} := l_{42}\, a_{24}^{[1]}$
profondeur 6 : largeur 4
$a_{33}^{[2]} := a_{33}^{[1]} - b_{33}^{[2]}$; $a_{34}^{[2]} := a_{34}^{[1]} - b_{34}^{[2]}$;
$a_{43}^{[2]} := a_{43}^{[1]} - b_{43}^{[2]}$; $a_{44}^{[2]} := a_{44}^{[1]} - b_{44}^{[2]}$
profondeur 7 : Traitement du troisième pivot
$l_{43} := a_{43}^{[2]}/a_{33}^{[2]}$; $l_{44} := a_{44}^{[2]}/a_{33}^{[2]}$; $d_3 := d_2\, a_{33}^{[2]}$
profondeur 8 :
$b_{44}^{[3]} := l_{43}\, a_{44}^{[2]}$
profondeur 9 :
$a_{44}^{[3]} := a_{44}^{[2]} - b_{44}^{[3]}$
profondeur 10 :
$d_4 := d_3\, a_{44}^{[3]}$
Fin.

Plus généralement.

Définition 3.1.1 *Un* programme d'évaluation arithmétique P *sans division (resp. avec division) avec constantes dans* C*, où* C *est une partie (codée) d'un anneau* $\mathcal{A}$ *ou d'un corps* $\mathcal{K}$*, est la donnée :*
— d'un ensemble de variables $x_{p,u}$ *où* p *est un entier* ≥ 0 *donnant la profondeur de la variable et* (p,u) *est l'identificateur de la variable,*
— d'une suite d'instructions d'affectations de l'un des types suivants :
– $x_{p,u} := a \circ b$ *où* a *et* b *désignent ou bien une variable* $x_{q,u}$ *avec* $q < p$ *ou bien une constante* $c \in C$*, et* $\circ \in \{+,-,\times\}$ *(resp.* $\circ \in \{+,-,\times,/\}$*).*
– $x_{p,u} := a$ *(avec les mêmes conventions pour* a*).*
Mises à part les variables $x_{0,u}$ *qui sont les entrées du programmes d'évaluation, toutes les variables* $x_{p,u}$ *sont affectées exactement une fois dans le programme. Ce sont* les variables d'affectation *du programme.*
Les constantes sont considérées comme de profondeur nulle. En conséquence on note $\mathrm{prof}(a) = 0$ *si* $a \in C$ *et* $\mathrm{prof}(x_{p,u}) = p$*.*

Quelques commentaires sur cette définition.

Dans le cas d'un programme d'évaluation avec divisions, l'évaluation peut échouer pour certaines valeurs des variables d'entrée dans le corps $\mathcal{K}$. Souvent l'ensemble C est vide ou réduit à $\{0,1\}$. Le programme peut alors être évalué sur un corps arbitraire (sur un anneau arbitraire s'il est sans division).

Naturellement, tous les identificateurs doivent être distincts. Les affectations du type $x_{p,u} := a$ sont prévues uniquement pour le cas où on désire respecter certaines contraintes dans une gestion précise des étapes parallèles.

Ordinairement, on demande que dans une affectation $x_{p,u} := a \circ b$ on ait $\mathrm{prof}(x_{p,u}) = 1 + \max(\mathrm{prof}(a), \mathrm{prof}(b))$ et dans une affectation $x_{p,u} := a$ on ait $\mathrm{prof}(x_{p,u}) = 1 + \mathrm{prof}(a)$. On peut aussi demander que dans une affectation $x_{p,u} := a \circ b$ on ait
$a \in C$ ou $p = 1 + \mathrm{prof}(a)$, et $b \in C$ ou $p = 1 + \mathrm{prof}(b)$.

Le texte du programme d'évaluation doit normalement préciser quelles sont les variables représentant les sorties. Mais on peut demander que les sorties soient exclusivement les variables de profondeur maximum. On peut demander aussi que toute variable de profondeur non maximum soit utilisée.

Remarque 3.1.2 De manière plus générale, un programme d'évaluation peut être défini pour n'importe quel type de structure algébrique, une fois qu'ont été précisés les opérateurs de base dans la structure,

qui peuvent être de n'importe quelle arité. Par exemple un *programme d'évaluation booléen* correspond à la structure d'algèbre de Boole avec les opérateurs booléens usuels. Autre exemple, dans les anneaux commutatifs, on peut définir une notion de *programme d'évaluation avec déterminants* si on introduit en tant qu'opérateurs de base les $\det_n$ comme opérations d'arité n^2 qui donnent le déterminant d'une matrice $n \times n$ en fonction de ses entrées.

Définition 3.1.3 *Nous utiliserons la terminologie suivante concernant les programmes d'évaluation :*

- *Le nombre des entrées dans un programme d'évaluation est en général contrôlé par un ou plusieurs paramètres qu'on appelle* les paramètres d'entrée *du programme. Par exemple, dans un programme d'évaluation qui calcule le produit de deux matrices $n \times n$, on prend l'entier n comme paramètre d'entrée et dans un programme d'évaluation associé à la résolution d'un système de m équations polynomiales à n indéterminées, de degré maximum d, écrites en représentation dense*[1]*, les paramètres d'entrée sont m, n, d.*
- *Dans une affectation du type $x_{p,u} := a \circ b$, a et b sont les* antécédents *de $x_{p,u}$.*
- *La* profondeur *du programme d'évaluation est la profondeur maximum de ses variables d'affectation ; notée* $\mathrm{prof}(P)$*, elle correspond au nombre d'étapes parallèles du programme d'évaluation P.*
- *La* taille *ou* longueur *du programme d'évaluation désignera le nombre total de toutes les opérations arithmétiques, c'est-à-dire les affectations du type $x_{p,u} := a \circ b$.*
- *Pour chaque étape p $(1 \leq p \leq \mathrm{prof}(P))$, on considère le nombre τ_p d'opérations effectuées durant cette étape. On appelle* largeur *du programme d'évaluation le plus grand de ces nombres , c'est-à-dire* $\max\{\tau_p \mid 1 \leq p \leq \mathrm{prof}(P)\}$.
- *Lors de l'évaluation d'un programme d'évaluation arithmétique sur un anneau ou sur un corps dont les éléments sont codés, les entrées x_i ont a priori n'importe quelle taille tandis que les constantes du programme ont une taille fixée une fois pour toutes. Du point de vue du calcul concret sur des objets codés, on est donc souvent en*

1. Un polynôme est *codé en représentation dense* lorsque le codage donne la liste de tous les coefficients des monômes en dessous d'un degré donné, dans un ordre convenu. Il est *codé en représentation creuse* lorsque le codage donne la liste des paires (a_m, m) où m code un monôme (par exemple $x^2y^3z^5$ peut être codé par $(2, 3, 5)$ et a_m son coefficient (non nul) dans le polynôme.

droit d'estimer que seules importent vraiment les affectations sans scalaires*, c'est-à-dire celles du type* $x_{p,u} := a \pm b$ *et* $x_{p,u} := a \times b$ *ou aucun des deux antécédents n'est une constante, ainsi que* $x_{p,u} := a/b$ *où* b *n'est pas une constante. Ceci donne lieu aux notions de* longueur stricte *et de* profondeur stricte*, dans lesquelles seules sont prises en compte les affectations sans scalaires. Une multiplication ou division sans scalaire dans un programme d'évaluation arithmétique est encore dite* essentielle.

– *Variation sur le thème précédent. Dans la mesure où on consière que les additions ainsi que les multiplications ou divisions par des constantes sont relativement peu coûteuses (ou éventuellement pour des raisons plus profondes d'ordre théorique) on est intéressé par la* longueur multiplicative *d'un programme d'évaluation et par sa* profondeur multiplicative *qui sont définies comme la longueur et la profondeur mais en ne tenant compte que des multiplications et divisions essentielles.*

Par exemple le programme d'évaluation 3.1 a une profondeur multiplicative égale à 6 et une largeur multiplicative égale à 9.

3.1.2 Circuit arithmétique vu comme un graphe

On peut également représenter un programme d'évaluation sous forme d'un dessin plan. Par exemple pour le calcul du déterminant par l'algorithme du pivot de Gauss avec une matrice fortement régulière 3×3, on peut le représenter par le dessin du circuit 3.2 page suivante.

Pour une matrice $n \times n$, on obtiendra un circuit de profondeur $3n - 2$ avec un nombre de portes, en tenant compte des $n - 1$ affectations $d_p := d_{p-1}\, a_{pp}^{[p-1]}$ $(2 \leq p \leq n)$ qui donnent les mineurs principaux dominants de la matrice, égal à :

$$(n-1) + \sum_{k=1}^{n-1} k\,(2k+1) = \frac{1}{6}\,(n-1)\,(4n^2 + n + 6)\,.$$

Si on veut formaliser ce genre de dessin qui visualise bien la situation, on peut adopter la définition suivante.

Définition 3.1.4 *Un* circuit arithmétique avec divisions *(resp. sans division) « avec constantes dans* C *», où* C *est une partie (codée) d'un anneau* $\mathcal{A}$ *ou d'un corps* $\mathcal{K}$*, est un graphe acyclique orienté et étiqueté, chaque nœud qui n'est pas une porte d'entrée ayant exactement deux*

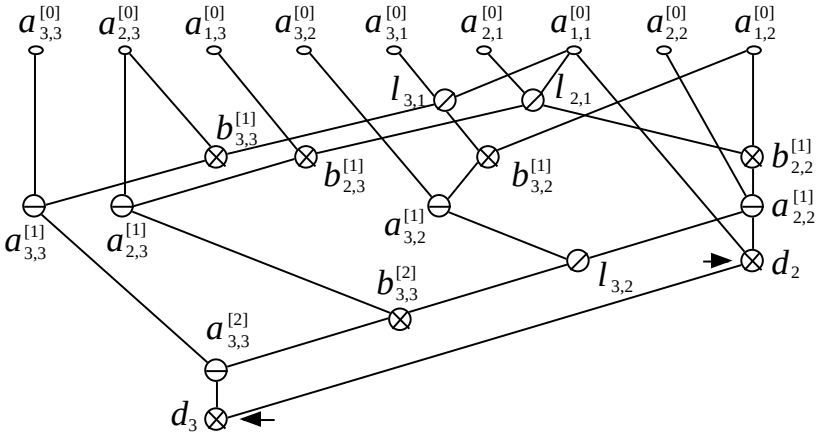

($\oslash$: division ; $\otimes$: multiplication ; $\ominus$: soustraction)

Pour la division et la soustraction

le brin entrant gauche représente le premier terme de l'opération

Circuit 3.2: Pivot de Gauss simplifié pour une matrice 3×3

antécédents. Le circuit est étiqueté de la manière suivante :
— chaque porte d'entrée est étiquetée par un triplet $(0, n, c)$ *où* 0 *est la profondeur,* $(0, n)$ *est le nom qui identifie le nœud et* $c \in \{x\} \cup C$ *(avec* $x \notin C$*). Ici un triplet* $(0, n, x)$ *représente la variable* x_n *et un triplet* $(0, n, c)$ *avec* $c \in C$ *représente l'élément (codé par)* c *de* $\mathcal{A}$*.*
— chaque nœud interne et chaque porte de sortie est étiqueté par un triplet $(m, n, \circ)$ *où* m *est sa profondeur,* (m, n) *est son identificateur, et* $\circ \in \{+, -, \times, /\}$ *(resp.* $\circ \in \{+, -, \times\}$*) désigne une opération arithmétique.*
— enfin, dans le cas des opérateurs $/$ *et* $-$ *(et dans le cas de l'opérateur* $\times$ *si le circuit est destiné à être évalué dans un anneau non commutatif) il faut étiqueter de manière à les distinguer (gauche, droite) les deux arcs qui aboutissent à un nœud correspondant à cet opérateur.*
— les portes de sortie correspondant aux résultats du calcul sont spécifiées par une marque distinctive dans leur identificateur.

En fait, dans toute la suite, nous utiliserons indifféremment « circuit arithmétique » et « programme d'évaluation arithmétique », tout en sous-entendant que, pour ce qui est du codage, nous choisissons toujours un codage correspondant à la définition d'un programme d'évaluation arithmétique. De la même manière, nous considérerons comme

synonymes programme d'évaluation booléen et circuit booléen.

Dans un circuit arithmétique on peut interpréter chaque nœud comme représentant un polynôme de $\mathcal{A}[(x_i)_{i\in I}]$ ou $\mathcal{K}[(x_i)_{i\in I}]$ (dans le cas sans division) ou une fraction rationnelle de $\mathcal{K}((x_i)_{i\in I})$ (dans le cas avec division).

3.1.3 Circuits arithmétiques homogènes

Définition 3.1.5 *On appelle* circuit arithmétique homogène *un circuit arithmétique sans division dont tous les noeuds représentent des polynômes homogènes et qui a la structure suivante.*

- *Les polynômes de degré d sont calculés après ceux de degrés strictement inférieurs.*
- *Le calcul des polynômes de degré d se fait en deux phases. Dans la première phase, en une seule étape parallèle, on effectue des produits de polynômes précédemment calculés (de degrés $d' < d$ et $d - d'$). Dans la deuxième phase on calcule des combinaisons linéaires des précédents.*

Proposition 3.1.6 *Tout circuit arithmétique sans division qui calcule une famille de polynômes de degré $\leq d$ peut être réorganisé en un circuit arithmétique homogène qui calcule toutes les composantes homogènes des polynômes en sortie. Le circuit arithmétique homogène obtenu est de profondeur multiplicative $d-1$. Par rapport au circuit initial, la profondeur a été multipliée par $\mathcal{O}(\log d)$, la longueur multiplicative a été au plus multipliée par $d(d-1)/2$, et la longueur totale a été au plus multipliée par $(d+1)^2$.*

Preuve. Chaque noeud y_j du circuit initial représente un polynôme en les entrées x_i qu'on décompose en somme de composantes homogènes.

$$y_j := y_j^{[0]} + y_j^{[1]} + \cdots + y_j^{[d]} + \text{des composantes sans importance}$$

On analyse alors le calcul qui est fait sur les composantes homogènes de degré $\leq d$.
Lorsqu'on a dans le circuit arithmétique original une affectation correspondant à une addition $y_\ell := y_h + y_k$ on obtient sur les composantes homogènes au plus $d+1$ additions qui peuvent être exécutées en $\lceil \log(d+1) \rceil$ étapes parallèles.

Lorsqu'on a dans le circuit arithmétique original une affectation correspondant à une multiplication essentielle $y_\ell := y_h\, y_k$ on obtient

$$\begin{array}{rcl} y_\ell^{[0]} & = & y_h^{[0]}\, y_k^{[0]} \\ y_\ell^{[1]} & = & y_h^{[0]}\, y_k^{[1]} + y_h^{[1]}\, y_k^{[0]} \\ y_\ell^{[2]} & = & y_h^{[0]}\, y_k^{[2]} + y_h^{[1]}\, y_k^{[1]} + y_h^{[2]}\, y_k^{[0]} \\ \vdots & \vdots & \vdots \\ y_\ell^{[d]} & = & y_h^{[0]}\, y_k^{[d]} + y_h^{[d-1]}\, y_k^{[1]} + \cdots + y_h^{[d]}\, y_k^{[0]} \end{array}$$

ce qui correspond à (au plus) $d(d-1)/2$ multiplications essentielles entre les composantes homogènes, $2d+1$ multiplications scalaires, et $d(d+1)/2$ additions, soit $(d+1)^2$ opérations arithmétiques en tout. Par ailleurs on peut réorganiser l'ensemble du calcul de manière que tous les polynômes homogènes de degré k soient calculés après ceux de degré $< k$. □

3.1.4 Le problème des divisions dans les circuits arithmétiques

Certains circuits arithmétiques avec division comportent une division par une fraction rationnelle identiquement nulle, et ne représentent plus aucun calcul raisonnable. Implicitement on suppose toujours qu'on n'est pas dans ce cas.

Le cas de l'algorithme de Jordan-Bareiss sans recherche de pivot est un peu plus subtil. Il correspond à un circuit arithmétique « avec divisions exactes », c'est-à-dire que, lorsqu'on le regarde comme produisant à chaque porte un élément du corps des fractions rationnelles, on reste en fait toujours dans l'anneau des polynômes : les divisions ont toujours pour résultat un polynôme et non une fraction rationnelle.

Si les portes de sortie d'un circuit arithmétique sont des polynômes (en les entrées) il est a priori préférable que le circuit soit sans division. Il pourra en effet être évalué dans n'importe quel anneau.

Dans le cas d'un circuit avec divisions évalué dans un corps, il se peut que certaines divisions soient impossibles, non parce qu'on doit diviser par une fraction rationnelle identiquement nulle, mais parce que les valeurs des x_i annulent la fraction rationnelle du dénominateur. C'est encore une raison qui fait qu'on préfère les circuits sans divisions.

Une autre raison est que si le corps $\mathcal{K}$ est de caractéristique nulle ou s'il contient des éléments transcendants, l'addition de deux fractions est

une affaire bien encombrante. L'addition dans $\mathbb{Q}$ par exemple, réclame, dans $\mathbb{Z}$ tout d'abord 3 multiplications et une addition, suivies d'une simplification de fraction, qui réclame un calcul de pgcd, donc les divisions successives de l'algorithme d'Euclide. Ainsi, lorsque les entrées sont dans $\mathbb{Z}$ par exemple, on préfère que tout le calcul reste dans $\mathbb{Z}$.

Si on essaie d'évaluer un circuit avec divisions dans un anneau arbitraire $\mathcal{A}$, la situation est encore un peu compliquée. Toute division par un diviseur de zéro est impossible. Et si on divise par un non diviseur de zéro, on se retrouve naturellement dans l'anneau total des fractions de $\mathcal{A}$, défini de la même manière que le corps des fractions d'un anneau intègre, mais en autorisant comme dénominateurs uniquement des non diviseurs de zéro dans $\mathcal{A}$. Naturellement, les calculs dans ce nouvel anneau $\mathcal{A}'$ sont nettement plus compliqués que ceux dans $\mathcal{A}$ (cf. la discussion à propos de la méthode du pivot dans $\mathbb{Q}$.)

La profondeur d'un circuit est un paramètre pertinent à plus d'un titre. Tout d'abord, la profondeur représente en quelque sorte le « temps de calcul parallèle » si on donne une unité de temps pour chaque opération arithmétique et si on dispose de suffisamment de « processeurs » entre lesquels on répartit les calculs à faire. Ensuite, la profondeur permet un contrôle de la taille des objets intermédiaires lorsque le calcul est effectué comme une évaluation par exemple dans $\mathbb{Z}$, $\mathbb{Q}$, ou $\mathbb{Q}(x, y)$. Grosso modo, la taille double au maximum lorsque la profondeur augmente de 1. Dans le cas des circuits sans divisions évalués par exemple dans $\mathbb{Z}$ ou $\mathbb{Z}[x, y]$ la profondeur multiplicative est de loin la plus importante pour le contrôle de la taille des objets intermédiaires.

Tout ceci a conduit à attacher une importance toute particulière aux circuits sans division et de faible profondeur.

3.2 Élimination des divisions à la Strassen

Lorqu'on dispose d'une procédure utilisant les divisions dans le corps des fractions rationnelles pour calculer un polynôme de degré déterminé à coefficients dans un anneau intègre, une technique de Strassen ([87]) basée sur une idée très simple permet d'éliminer toutes les divisions dans cette procédure.

3.2.1 Le principe général

L'idée de base est que la division par un polynôme de la forme $(1-u)$ où $u = u((x_i))$ peut être remplacée par le produit par la série formelle

$$1 + u + \cdots + u^m + \cdots$$

à condition d'être dans une situation où on sait qu'on peut ne considérer qu'une partie finie bien contrôlée des séries formelles en jeu.

Nous allons expliquer cette idée fondamentale sur l'exemple du calcul du déterminant d'une matrice carrée A par l'algorithme du pivot de Gauss simplifié (c'est-à-dire sans recherche de pivot) mis sous forme d'un circuit arithmétique pour les matrices $n \times n$ pour une valeur fixée de n. On considère ce circuit comme un programme d'évaluation dans un anneau arbitraire $\mathcal{A}$ (on peut se limiter au sous-anneau engendré par les coefficients de la matrice, ou plutôt à l'anneau total des fractions de ce sous-anneau). Naturellement un obstacle apparaît éventuellement lors d'une affectation $v_h := v_k/v_\ell$ si v_ℓ est diviseur de zéro. Il y a cependant des cas où cet obstacle n'apparaît pas du tout, le plus simple est celui où la matrice de départ est égale à I_n : toutes les divisions se font par 1 ! Cette remarque d'apparence anodine est cependant la clé de l'élimination des divisions. En effet, il suffit de faire le changement de variable $F := A - \mathrm{I}_n$ et de décider d'évaluer le circuit pour l'entrée $\mathrm{I}_n + zF$, où z est une nouvelle variable, dans l'anneau $\mathcal{A}[z] \big/ \langle z^{n+1} \rangle$: *l'anneau des développements limités à l'ordre n à coefficients dans $\mathcal{A}$*, que nous noterons souvent $\mathcal{A}_n$.

Quelle que soit la matrice F à coefficients dans $\mathcal{A}$ prise en entrée, chaque nœud v_ℓ intervenant dans une division est maintenant un développement limité du type

$$v_\ell = 1 + c_{\ell,1} z + \cdots + c_{\ell,n} z^n, \qquad (c_{\ell,1}, \ldots, c_{\ell,n} \in \mathcal{A})$$

c'est-à-dire un élément inversible de $\mathcal{A}_n = \mathcal{A}[z] \big/ \langle z^{n+1} \rangle$. A la fin du calcul on récupère donc $\det(\mathrm{I}_n + zF)$ dans $\mathcal{A}_n$, c'est-à-dire en fait : on récupère $\det(\mathrm{I}_n + zF)$ dans $\mathcal{A}[z]$([2]). Et il suffit de faire $z = 1$ pour

2. Dans le cas présent, il serait donc plus astucieux, d'appliquer la procédure avec la matrice A à la place de la matrice F, car on obtient ici à très peu près le polynôme caractéristique de F. Dans le cas présent la procédure d'élimination des divisions est donc très proche de la méthode de Jordan-Bareiss modifiée. Cette dernière est cependant un peu plus simple, car dans la méthode de Strassen on manipule très rapidement des polynômes de degré n (l'ordre de la matrice). Pour terminer notons que c'est un fait d'expérience assez curieux que les procédures « rapides » de calcul sans division du déterminant passent toutes par le calcul du polynôme caractéristique.

obtenir $\det(A)$. En fait la division dans $\mathcal{A}_n$ d'un élément $a(z)$ par un élément inversible $b(z) = 1 - zu(z)$ ne nécessite que des additions et multiplications dans $\mathcal{A}_n$: on peut en effet faire une division en puissances croissantes de $a(z)$ par $b(z)$ jusqu'à l'ordre n en z. On peut également invoquer la formule (valable dans $\mathcal{A}_n$)

$$(1 - zu(z))^{-1} = (1 - w)^{-1} = (1 + w)(1 + w^2)(1 + w^4) \cdots (1 + w^{2^k}) \quad (3.1)$$

si $2^{k+1} \geq n + 1$ (il suffit de prendre $k = \lceil \log(n+1) \rceil - 1$).

Ainsi toutes les affectations (correspondant à l'évaluation du circuit) dans $\mathcal{A}_n$ se ramènent à des additions et multiplications de polynômes tronqués, c'est-à-dire encore à des additions et multiplications dans $\mathcal{A}$. Le théorème suivant est maintenant clair :

Théorème 3.1 *La procédure d'élimination des divisions de Strassen peut être appliquée à tout circuit arithmétique pourvu qu'on soit dans le cas suivant : on connaît un point $(\xi_1, \ldots, \xi_n)$ de « l'espace des entrées » tel que, lorsque le circuit est évalué en ce point, toutes les divisions qui doivent être exécutées le sont par des éléments inversibles de l'anneau de base (on rajoute alors ces éléments et leurs inverses à l'ensemble des constantes C du circuit).*
En particulier l'élimination des divisions est toujours possible si l'anneau de base est un corps infini.

Définition 3.2.1 Éliminer les divisions (à la Strassen) dans un circuit arithmétique à partir du point $(\xi_1, \ldots, \xi_n)$, *c'est lui appliquer la procédure d'élimination des divisions de Strassen en utilisant $(\xi_1, \ldots, \xi_n)$ comme point en lequel le circuit est évalué sans divisions. Nous appellerons ce point le* centre d'élimination des divisions.

Sur un corps infini, l'existence d'un centre d'élimination des divisions pour un circuit arithmétique résulte du fait qu'on peut toujours éviter l'ensemble des zéros d'une famille finie de polynômes non (formellement) nuls : leur produit est un polynôme non formellement nul et un tel polynôme définit une fonction non identiquement nulle sur $\mathcal{K}^n$ (n est le nombre de variables) si $\mathcal{K}$ est infini.

Un exemple d'élimination des divisions

Donnons à titre d'exemple le résultat de l'élimination des divisions pour l'algorithme du pivot de Gauss simplifié, dans le cas $n = 3$, pour

une matrice $\mathrm{I}_3 + zF$. Le circuit initial est donné par le programme d'évaluation 3.3.

Programme d'évaluation 3.3 ***Calcul du déterminant de la matrice carrée*** $\mathrm{I}_3 + zF$ ***par la méthode du pivot de Gauss.***

Entrée : Les coefficients f_{ij} de la matrice F dans un anneau commutatif arbitraire $\mathcal{A}$.

Sortie : Le déterminant $d_3 = \det(\mathrm{I}_3 + zF)$. Le calcul est correct si on se situe dans un anneau $\mathcal{B}$ contenant z et $\mathcal{A}$ et dans lequel tous les éléments de la forme $1 + zb$ sont inversibles. Les opérations arithmétiques de ce programme d'évaluation sont effectuées dans $\mathcal{B}$. Notez que les coefficients de $\mathrm{I}_3 + zF$ sont les éléments zf_{ij} pour $i \neq j$ et les éléments $(1 + zf_{ii})$ pour $i = j$.

Début

profondeur 1 : Traitement du premier pivot

$l_{21} := z\, f_{21}/(1 + zf_{11})$; $l_{31} := z\, f_{31}/(1 + zf_{11})$

profondeur 2 :

$b^{[1]}_{22} := l_{21}\, z\, f_{12}$; $b^{[1]}_{23} := l_{21}\, z\, f_{13}$;

$b^{[1]}_{32} := l_{31}\, z\, f_{12}$; $b^{[1]}_{33} := l_{31}\, z\, f_{13}$

profondeur 3 :

$f^{[1]}_{22} := z\, f_{22} - b^{[1]}_{22}$; $f^{[1]}_{23} := z\, f_{23} - b^{[1]}_{23}$;

$f^{[1]}_{32} := z\, f_{32} - b^{[1]}_{32}$; $f^{[1]}_{33} := z\, f_{33} - b^{[1]}_{33}$

profondeur 4 : Traitement du deuxième pivot

$l_{32} := f^{[1]}_{32}/(1 + f^{[1]}_{22})$; $d_2 := (1 + z\, f_{11})\,(1 + f^{[1]}_{22})$

profondeur 5 :

$b^{[2]}_{33} := l_{32}\, f^{[1]}_{23}$

profondeur 6 :

$f^{[2]}_{33} := f^{[1]}_{33} - b^{[2]}_{33}$

profondeur 7 :

$d_3 := d_2\,(1 + f^{[2]}_{33})$

Fin.

Pour passer de l'ancien circuit (programme d'évaluation 3.3) au nouveau (programme d'évaluation 3.4 page suivante), chaque porte y_{ij} ou d_i (sauf les portes d'entrée) a été remplacée par les portes y_{ijk} ou d_{ik}, avec $k = 0, \ldots, 3$, qui donnent les quatre premiers coefficients de la série formelle en z.

Dans l'algorithme transformé 3.4, nous n'avons pas écrit les portes nulles (pour les bas degrés) et nous n'avons pas mentionné les y_{ijk} qu'il est inutile d'évaluer pour obtenir le résultat final.

Il faut remarquer que pour le déterminant et même le polynôme caractéristique des matrices 3×3, les formules directes sont bien entendu préférables.

Programme d'évaluation 3.4 ***Calcul du déterminant d'une matrice carrée F par la méthode du pivot de Gauss après élimination des divisions à la Strassen.***

Entrée : Les coefficients f_{ij} de la matrice F dans un anneau commutatif arbitraire.

Sortie : Le déterminant $\det(F)$. En fait, on calcule même $d_3 = \det(\mathrm{I}_3 + zF) = 1 + d_{31}z + d_{32}z^2 + d_{33}z^3$. L'algorithme fonctionne « en ligne droite » et sans aucune hypothèse restrictive. Les opérations arithmétiques de ce programme d'évaluation sont effectuées dans $\mathcal{A}$.

Début

Renommages : $l_{211} = f_{21}$, $l_{311} = f_{31}$, $f^{[1]}_{221} = f_{22}$, $f^{[1]}_{231} = f_{23}$,
$l_{321} = f^{[1]}_{321} = f_{32}$, $f^{[1]}_{331} = f_{33}$.

profondeur 1 : Traitement du premier pivot
$l_{212} := -f_{21}\, f_{11}$; $l_{312} := -f_{31}\, f_{11}$; $d_{21} := f_{11} + f_{22}$

profondeur 2 :
$f^{[1]}_{222} := -l_{211}\, f_{12}$; $f^{[1]}_{232} := -l_{211}\, f_{13}$;
$f^{[1]}_{322} := -l_{311}\, f_{12}$; $f^{[1]}_{332} := -l_{311}\, f_{13}$; $f^{[1]}_{333} := -l_{312}\, f_{13}$

profondeur 3 :
$d_{22} := f_{11}\, f^{[1]}_{221} + f^{[1]}_{222}$

profondeur 4 : Traitement du deuxième pivot
$l_{322} := f^{[1]}_{322} - f^{[1]}_{221}\, f^{[1]}_{321}$

profondeur 6 :
$b^{[2]}_{332} := l_{321}\, f^{[1]}_{231}$; $b^{[2]}_{333} := l_{321}\, f^{[1]}_{232} + l_{322}\, f^{[1]}_{231}$

profondeur 7 :
$f^{[2]}_{331} := f^{[1]}_{331}$; $f^{[2]}_{332} := f^{[1]}_{332} - b^{[2]}_{332}$; $f^{[2]}_{333} := f^{[1]}_{333} - b^{[2]}_{333}$

profondeur 8 :
$d_{31} := d_{21} + f^{[2]}_{331}$

profondeur 9 :
$d_{32} := d_{22} + d_{21}\, f^{[2]}_{331} + f^{[2]}_{332}$; $d_{33} := d_{22}\, f^{[2]}_{331} + d_{21}\, f^{[2]}_{332} + f^{[2]}_{333}$

Fin.

3.2.2 Coût de l'élimination des divisions

Quel est le coût de la transformation d'un circuit avec division en un circuit sans division, lorsque les sorties sont des polynômes de degré $\leq n$ en les entrées ?

Tout d'abord si on utilise les algorithmes usuels pour les opérations arithmétiques dans $\mathcal{A}_n$, la taille du circuit sera en gros multipliée par n^2 (ce qui fait qu'on reste dans le cadre des circuits de taille polynomiale). Par exemple le produit de deux éléments de $\mathcal{A}_n$ réclame $(n+1)(n+2)/2$ multiplications et $n\,(n+1)/2$ additions, tandis que la division de $a(z)$ par $1-zu(z)$ nécessite $n\,(n+1)/2$ multiplications et autant d'additions si on effectue la division en puissance croissante.

Si on applique ces constatations dans le cas du calcul du déterminant (et du polynôme caractéristique par la même occasion) d'une matrice carrée par élimination des divisions dans l'algorithme du pivot de Gauss comme nous l'avons vu à la section 3.2.1, on trouve une taille de circuit équivalente à $\sum_{k=1}^{n-1} n^2\,(n-k)^2$ c'est-à-dire un $\frac{1}{3}\,n^5+\mathcal{O}(n^4)$, à comparer au $\frac{1}{10}\,n^5+\mathcal{O}(n^4)$ que nous avons obtenu pour l'algorithme de Jordan-Bareiss modifié.

Notons aussi que la multiplication dans $\mathcal{A}_n$ par l'algorithme usuel se fait naturellement en profondeur $\mathcal{O}(\log n)$ tandis que la division par puissance croissante est en profondeur $\mathcal{O}(n\,\log n)$. On peut pallier ce dernier inconvénient en utilisant la formule (3.1) qui donne un circuit de taille $\mathcal{O}(n^2\,\log n)$ et de profondeur $\mathcal{O}(\log^2 n)$.

Il existe par ailleurs des procédures de multiplication rapide pour les polynômes : les opérations arithmétiques $+,-,\times$ et division par un élément f vérifiant $f(0)=1$ dans $\mathcal{A}_n$ peuvent être exécutées par des circuits de taille $\mathcal{O}(n\,\log n\,\log\log n)$ et de profondeur $\mathcal{O}(\log n)$ (voir [13] et, infra, le théorème 6.2 page 182).

Plus généralement nous utiliserons la notation suivante.

Notation 3.2.2 Pour un anneau $\mathcal{A}$ fixé par le contexte, nous noterons $\mu_P(n)$ le nombre d'opérations arithmétiques nécessaires pour la multiplication de deux polynômes de degré n en profondeur $\mathcal{O}(\log n)$.

Strassen obtient alors précisément le résultat suivant :

Théorème 3.2 *Lorsqu'on élimine les divisions à la Strassen pour l'évaluation d'une famille de polynômes de degrés $\leq n$ la profondeur du circuit est multipliée par $\mathcal{O}(\log n)$ et sa taille par $\mathcal{O}(\mu_P(n))$.*

Notons aussi le résultat suivant simple et intéressant concernant les circuits arithmétiques qui évaluent des familles de polynômes du second degré.

Proposition 3.2.3 *Lorsqu'on élimine les divisions à la Strassen pour l'évaluation d'une famille de polynômes de degré ≤ 2, la longueur multiplicative du circuit arithmétique est inchangée.*

Preuve. Lorsqu'on applique la procédure d'élimination des divisions, supposons qu'on ait $f = f_0 + zf_1 + z^2 f_2$, et $g = g_0 + zg_1 + z^2 g_2$ dans l'anneau des développements limités à l'ordre 2 en z sur $\mathcal{A}[(x_i)]$ (ici on suppose sans perte de généralité que $(0, \ldots, 0)$ est le centre d'élimination des divisions et donc que les f_j et g_j sont homogènes de degré j en les entrées x_i). On obtient pour le produit $h = fg$ modulo z^3, $h = h_0 + zh_1 + z^2 h_2$ avec $h_0 = f_0 g_0$, $h_1 = f_1 g_0 + f_0 g_1$ et $h_2 = f_2 g_0 + f_1 g_1 + f_0 g_2$ avec la seule multiplication essentielle $f_1 g_1$ puisque f_0 et g_0 sont des constantes. Et on a un calcul analogue pour $k = f/g$. $k_0 = f_0/g_0$, $k_1 = f_1/g_0 - g_1(f_0/g_0^2)$ et $k_2 = f_2/g_0 - k_1 g_1/g_0 - g_2 k_0/g_0$ avec la seule multiplication essentielle $k_1 g_1$. $\square$

On pourrait généraliser avec un circuit arithmétique calculant une famille de polynômes de degrés $\leq d$.

3.3 Calcul de toutes les dérivées partielles d'un polynôme ou d'une fraction rationnelle

Nous donnons une méthode pour transformer un circuit arithmétique Γ qui calcule une fraction rationnelle f en un circuit arithmétique Γ' de taille comparable (la taille est multipliée par au plus 5), qui calcule à la fois la fonction f et toutes ses dérivées partielles.

Si le circuit arithmétique Γ est sans division, il en est de même pour Γ'. La méthode est due à Baur & Strassen [5]. Nous suivons l'exposé simple et constructif que Morgenstern en fait dans [72].

Une application importante de ce résultat concerne le calcul de l'adjointe d'une matrice avec un coût voisin de celui de son déterminant. En effet les coefficients b_{ij} de la matrice adjointe de A sont donnés par :

$$b_{ij} = (-1)^{i+j} \det(A \downarrow_{ji}) = \frac{\partial \det(A)}{\partial a_{ji}}$$

où $\det(A \downarrow_{ji})$ est le mineur d'ordre $n-1$ obtenu en supprimant la $j^{ème}$ ligne et la $i^{ème}$ colonne de la matrice A.

Nous montrons le résultat par récurrence sur la longueur du programme d'évaluation qui calcule la fonction.

Supposons donc par exemple qu'un polynôme $f(x_1, \ldots, x_n)$ soit calculé par un programme d'évaluation Γ sans division de longueur s. On peut numéroter $x_{n+1}, \ldots, x_{n+s}$ les variables du programme. La variable x_{n+1} représente un polynôme $g(x_1, \ldots, x_n)$ de l'un des 4 types suivants :

$$(1)\ x_i + x_j, \quad (2)\ x_i \times x_j, \quad (3)\ c + x_i, \quad (4)\ c \times x_i$$

avec $1 \leq i, j \leq n$ et c une constante. On a aussi

$$f(x_1, \ldots, x_n) = f_1(x_1, \ldots, x_n, g(x_1, \ldots, x_n))$$

où le polynôme $f_1(x_1, \ldots, x_n, x_{n+1})$ est calculé par le programme d'évaluation évident Γ_1 « extrait » de Γ et de longueur $s-1$.

Par hypothèse de récurrence f_1 et les $n+1$ dérivées partielles de f_1 peuvent être calculées par un programme d'évaluation Γ'_1 de longueur $\ell_1 \leq 5(s-1)$.

On considère alors les formules qui permettent de calculer les dérivées partielles de f à partir de celles de f_1 dans les 4 cas envisagés précédemment :

(1) $\partial f/\partial x_h = \partial f_1/\partial x_h$ si $h \neq i, j$,
$\partial f/\partial x_i = \partial f_1/\partial x_i + \partial f_1/\partial x_{n+1}$,
$\partial f/\partial x_j = \partial f_1/\partial x_j + \partial f_1/\partial x_{n+1}$.

(2) $\partial f/\partial x_h = \partial f_1/\partial x_h$ si $h \neq i, j$,
$\partial f/\partial x_i = \partial f_1/\partial x_i + x_j \times \partial f_1/\partial x_{n+1}$,
$\partial f/\partial x_j = \partial f_1/\partial x_j + x_i \times \partial f_1/\partial x_{n+1}$.

(3) $\partial f/\partial x_h = \partial f_1/\partial x_h$ si $h \neq i$,
$\partial f/\partial x_i = \partial f_1/\partial x_i + \partial f_1/\partial x_{n+1}$.

(4) $\partial f/\partial x_h = \partial f_1/\partial x_h$ si $h \neq i$,
$\partial f/\partial x_i = \partial f_1/\partial x_i + c \times \partial f_1/\partial x_{n+1}$.

C'est le deuxième cas qui consomme le plus d'instructions nouvelles : 4 en tout (2 instructions pour calculer $\partial f/\partial x_i$ et 2 pour $\partial f/\partial x_j$). Il faut par ailleurs rajouter l'instruction qui permet de calculer x_{n+1} en fonction des x_i précédents.

Ceci nous permet donc de construire à partir de Γ'_1 un programme d'évaluation Γ' pour calculer f et ses n dérivées partielles. Ce programme d'évaluation Γ' a une longueur majorée par

$$\ell_1 + 1 + 4 \leq 5(s-1) + 5 = 5s.$$

Par ailleurs l'initialisation de la récurrence est immédiate.

Le cas d'un programme d'évaluation avec divisions se traite de la même manière et aboutit à la même majoration.

4. Notions de complexité

Introduction

Ce chapitre est consacré aux notions de complexité binaire d'une part, directement issue de la modélisation du travail des ordinateurs, et de complexité arithmétique d'autre part, en relation avec le nombre d'opérations arithmétiques exécutées par un algorithme.

Les deux premières sections sont consacrées à la complexité binaire et constituent une présentation rapide en guise de « rappels ».

Les trois dernières sections décrivent de manière précise la complexité arithmétique des familles de circuits arithmétiques, elles servent donc de base de travail pour les calculs de complexité développés dans tout le reste de l'ouvrage.

Dans la section 4.3 nous introduisons les classes importantes de complexité arithmétique $\mathcal{SD}(f(n), g(n))$. Nous discutons le rapport entre complexité arithmétique (le nombre d'opérations arithmétiques exécutées) et complexité binaire (le temps d'exécution effectivement utilisé lorsqu'on travaille avec des entrées représentant les éléments de l'anneau $\mathcal{A}$ convenablement codés).

Ceci nous conduit à la notion de famille uniforme de circuits arithmétiques et aux classes $\mathcal{NC}^k$ qui sont discutées dans la section 4.4.

Enfin dans la section 4.5 nous discutons brièvement un modèle de machine parallèle (les PRAMs) correspondant aux circuits arithmétiques et assez proche de la pratique des architectures parallèles.

4.1 Machines de Turing et Machines à Accès Direct

Nous donnons ici quelques indications succinctes sur les modèles de calcul algorithmique dans lesquels est prise en compte la taille des objets

à manipuler. Par exemple le temps utilisé pour additionner deux entiers écrits en base 10 est manifestement du même ordre de grandeur que la place occupée par l'écriture de ces deux entiers, tandis que l'algorithme usuel pour la multiplication de deux entiers de tailles k et ℓ utilise un temps du même ordre de grandeur que $k \times \ell$.

Lorsque dans les années 30 des mathématiciens et logiciens ont réfléchi à la manière de décrire en termes précis ce qu'est un calcul algorithmique, ils ont abouti à des résultats assez variés quant à la forme, mais identiques quant au fond. Tous les modèles élaborés ont abouti à la même notion de « fonction calculable de $\mathbb{N}$ vers $\mathbb{N}$ ».

La Machine de Turing abstraite

Cependant, c'est Alan Turing qui a emporté la conviction par la simplicité de son modèle et par son caractère vraiment mécanique. Il est parti de l'idée qu'un calcul doit pouvoir être exécuté par une machine idéale qui, à l'instar d'un calculateur humain, dispose d'une feuille de papier et d'un crayon, et procède selon une suite d'opérations élémentaires bien répertoriées une fois pour toutes, exécutées conformément à un plan de travail détaillé ne laissant place à aucune ambigüité. Ce modèle est basé sur la notion d'opération élémentaire. Une telle opération doit être suffisamment simple pour ne consommer qu'une quantité fixe de temps et d'énergie. On imagine donc que la machine dispose d'un alphabet fini fixé une fois pour toutes, et qu'une opération élémentaire consiste à lire, écrire ou effacer une lettre à un endroit précis (la feuille de papier doit être divisée en cases, par exemple on prend du papier quadrillé), ou encore à se déplacer vers une case voisine sur la feuille de papier. Naturellement on n'autorise qu'un nombre fini de lettres distinctes. Dans le premier modèle, Turing utilise une feuille de papier constituée d'une simple succession de cases sur une seule ligne potentiellement infinie : la bande de la machine de Turing. Par la suite, il a semblé plus naturel d'utiliser pour modèle une Machine de Turing qui utilise plusieurs bandes pour son travail. Quant au crayon (muni d'une gomme), il est représenté par ce qu'il est convenu d'appeler une tête de lecture[1] qui se déplace le long de la bande. Il y a une tête de lecture pour chacune des bandes. Au départ, certaines bandes doivent contenir l'entrée de l'algorithme (convenablement codée), tandis que les autres sont entièrement vides. Lorsque la machine s'arrête, on lit le résultat à

1. Il serait plus correct mais plus lourd de parler d'une tête de lecture/effaçage/écriture.

un endroit convenu. Une tête de lecture est capable de reconnaître si la case lue est vide, d'y écrire alors une lettre, si elle n'est pas vide de lire la lettre qui s'y trouve et éventuellement de l'effacer. Pour plus de détails nous renvoyons à l'ouvrage [Tur] où sont traduits et commentés les articles originaux de Turing, ainsi qu'aux ouvrages [Ste] et [BDG].

Le caractère très élémentaire du fonctionnement abstrait de la Machine de Turing en a fait un candidat naturel, non seulement pour les questions de calculabilité théorique, mais également pour les questions de complexité, et en particulier pour la question de l'appréciation du temps et de l'espace nécessaires à l'exécution d'un algorithme. Une fois l'algorithme traduit dans le modèle de la Machine de Turing, le *temps d'exécution* est simplement mesuré par le nombre d'opérations élémentaires qui sont effectuées avant d'aboutir à l'arrêt. L'*espace nécessaire à l'exécution* est représenté par le nombre de cases réellement utilisées.

Programmes élémentaires

On peut donner un modèle équivalent à la machine de Turing en termes de programmes exécutables, sans doute plus parlant pour quiconque a déjà écrit un programme informatique. On considère des programmes de nature très simple. Ils sont écrits en utilisant des variables entières $N_1, \ldots, N_r$ (les entiers sont supposés écrits en binaire) ou booléennes $B_1, \ldots, B_s$ ($\in \{0,1\}$). Un « programme élémentaire » est une suite finie d'instructions numérotées de l'un des types suivants :

(A) Affectations
- (1) $B_j \leftarrow N_i \bmod 2$
- (2) $N_i \leftarrow N_i \operatorname{div} 2$
- (3) $N_i \leftarrow 2N_i + B_j$
- (4) $B_j \leftarrow 0$
- (5) $B_j \leftarrow 1$

(B) Branchements
- (1) Direct : aller à l'instruction n° ...
- (2) Conditionnel booléen : si $B_j = 0$ aller à l'instruction n° ...
- (3) Conditionnel entier : si $N_i = 0$ aller à l'instruction n° ...

(S) Arrêt.

Les variables sont toutes initialisées à 0 sauf celles qui représentent les entrées du programme.

Puisque les entiers sont écrits en binaire, on voit que chaque affectation ou branchement peut correspondre à un travail réalisé en consommant un temps et une énergie indépendantes de l'état des variables.

Le temps d'exécution est donc raisonnablement estimé comme étant le nombre d'instructions exécutées avant d'aboutir à l'arrêt.

Machines à Accès Direct

Comme tout modèle abstrait, la machine de Turing est une idéalisation. Le point le plus contestable est l'hypothèse implicite selon laquelle une opération élémentaire est équivalente à une autre quel que soit l'état de la bande (dans la version Machine) ou des variables (dans la version programme informatique élémentaire). Une telle conception se heurte à des limitations physiques. Elle n'est en tout cas pas conforme à ce qui se passe concrètement dans les ordinateurs actuels.

Alan Turing participa à l'aventure des premiers ordinateurs. Les ordinateurs ont une conception globale qui diffère sensiblement de la Machine de Turing abstraite. Les données ne sont pas traitées « là où elles sont », comme dans l'image du crayon qui se déplace sur la feuille de papier, mais elles sont transférées depuis la périphérie (un disque dur par exemple) vers le centre où elles sont traitées, c'est-à-dire vers un microprocesseur, avant d'être renvoyées vers la périphérie. Ces transferts permanents prennent d'autant plus de temps que les données sont plus éloignées et que l'espace nécessaire à leur stockage est plus grand.

Ceci a donné lieu à un autre modèle de calcul, le modèle MAD des *Machines à Accès Direct* (RAM en version anglaise abrégée), avec de nombreuses variantes. Dans un modèle MAD, on doit considérer une infinité potentielle de « registres » (correspondant au stockage des données en mémoire, ou aux cases d'une bande de Machine de Turing). Il serait logique (mais ce n'est pas en général l'option choisie), de considérer que chaque registre ne contient qu'une information dont la taille est fixée une fois pour toutes. Pour traiter le registre dont l'adresse est l'entier n, on considère que l'opération de transfert vers l'unité centrale requiert un temps égal à la taille en binaire de l'entier n. Dans le modèle de Turing, le temps correspondant peut être nul mais aussi beaucoup plus grand que $\log n$, selon la position des têtes de lecture sur chaque bande.

En fin de compte, selon l'algorithme utilisé (et selon le modèle MAD choisi), les temps d'exécution T et T' obtenus dans le modèle MT (Machine de Turing à plusieurs bandes) ou dans les modèles MAD pour une entrée de taille t sont soumis à des majorations respectives du type suivant (voir un exemple précis dans [Ste] chapitre 2, sections 5.5 et 5.6) :

$$a\,T' \leq T \leq b\,T'^2), \quad c\,T \leq T' \leq d\,T\,(T+t)^2\,.$$

Signalons le terme d'*accumulateur* qui dans le modèle MAD désigne le microprocesseur.

L'espace de travail proprement dit

Nous terminons cette section avec un commentaire et une définition plus précise de « l'espace de travail » utilisé dans les modèles MT ou MAD. Dans le modèle MT nous avons défini « l'espace nécessaire » comme le nombre total de cases effectivement utilisées au cours de l'exécution de l'algorithme. En fait, si on veut étudier l'espace de travail proprement dit utilisé par un algorithme, il est judicieux d'opérer une distinction entre l'espace nécessaire aux données d'entrée-sortie d'une part, et l'espace nécessaire au travail proprement dit d'autre part. On convient dans ce cas que les bandes contenant les entrées sont utilisées en lecture uniquement et qu'elles sont lues en une seule passe. De même, les bandes contenant les sorties sont utilisées en écriture uniquement, et elles sont écrites en une seule passe.

Par exemple lorsqu'on veut faire la preuve par 9 pour un produit $a \times b = c$ où a, b et c sont considérées comme des entrées écrites en base 10, il suffit de lire en une seule passe les données et aucun stockage des résultats intermédiaires n'est nécessaire. On donne à la fin le résultat (oui, ou non) sans avoir utilisé aucun espace pour le travail proprement dit [2]. Si on écrivait cela sous forme d'un programme informatique élémentaire du type que nous avons décrit ci-dessus, cela signifierait que les variables de travail sont toutes booléennes, que les variables représentant les entrées sont seulement utilisées en lecture (elles ne peuvent être utilisées que via les affectations $A1$ et $A2$) et les variables représentant la sortie sont seulement utilisées en écriture (elles ne peuvent être utilisées que via les affectations $A3$).

Ainsi certains algorithmes utilisent un espace de travail nul (dans le cas optimal) ou nettement inférieur à la taille des entrées-sorties. Pour les études de complexité d'algorithmes on est particulièrement intéressé par ceux qui n'utilisent aucun espace de travail d'une part, par ceux qui utilisent un espace de travail linéaire par rapport à la taille de l'entrée

2. De même si on veut additionner deux entiers il suffit de les lire en une seule passe et d'écrire au fur et à mesure le résultat sur la bande de sortie. Cependant les entrées et la sortie ne sont pas écrites dans le même sens. En effet, pour pouvoir enchaîner des algorithmes, la convention naturelle est que la tête de lecture sur chaque entrée doit être au départ à l'extrémité droite de l'entrée, et la tête de lecture sur chaque sortie doit être à la fin à l'extrémité droite de la sortie

d'autre part et enfin par ceux qui utilisent un espace de travail de l'ordre de grandeur de $C\log(n)$ où C est une constante et n est la taille de l'entrée. On appelle ces derniers des algorithmes *LOGSPACE*.

4.2 Complexité binaire, les classes $\mathcal{P}$, $\mathcal{NP}$ et $\#\mathcal{P}$

4.2.1 Calculs faisables

Malgré la grande abondance des modèles de calcul proposés, un consensus a fini par s'établir sur ce qu'est un *calcul faisable*. On dit qu'un calcul est faisable, ou encore qu'il est dans la classe $\mathcal{P}$ si on connaît un algorithme qui dans les modèles MT ou MAD nécessite un temps polynomial par rapport à la taille de l'entrée. Plus précisément, on ne dit rien concernant tel calcul isolé (celui des 100.000 premières décimales de π par exemple), mais on dit quelque chose concernant un calcul général correspondant à des entrées de tailles variables et en tout cas arbitrairement grandes (celui de la k-ème décimale de π par exemple). On demande que, pour un certain polynôme à coefficients positifs ou nul P, pour toute entrée de taille inférieure ou égale à n, l'algorithme donne sa réponse en un temps majoré par $P(n)$. Les algorithmes *LOGSPACE* sont dans la classe $\mathcal{P}$, et ils sont considérés à juste titre comme bien meilleurs que les algorithmes qui travailleraient en temps *et* espace polynomial.

On voit que la notion d'algorithme de classe $\mathcal{P}$ est une notion asymptotique, qui peut être assez éloignée de la réalité des calculs. Un algorithme ayant un temps de calcul « linéaire » égal à $n+10^{100}$ correspond en pratique à quelque chose d'infaisable, tandis que si son temps de calcul est « exponentiel » majoré par $\sup(n, 2^n/2^{10^{100}})$ il reste facile à exécuter pour toutes les entrées concrètement envisageables, alors même qu'il n'est pas dans la classe $\mathcal{P}$.

De nombreux auteurs distinguent les *problèmes faisables* (les entrées sont des entiers, ou codées par des entiers, mais la sortie est du type oui/non, donc codée par un booléen dans $\{0,1\}$) des *fonctions faisables* (la ou les sorties sont des entiers) et ils réservent le symbole $\mathcal{P}$ pour les problèmes faisables. La classe des fonctions faisables (calculables en temps polynomial) est alors notée $\mathcal{FP}$. En fait une fonction $f:\mathbb{N}\to\mathbb{N}$ est faisable si et seulement si d'une part la taille de la sortie est polynomialement majorée en fonction de la taille de l'entrée, et d'autre part, le problème $f(n)\leq p$? est dans la classe $\mathcal{P}$. Nous n'introduirons donc pas deux notations distinctes et nous ferons confiance au contexte pour lever les ambigüités éventuelles.

Citons des problèmes de base qui ont reçu dans le passé une solution algorithmique satisfaisante, ce qui les mettait dans la classe $\mathcal{P}$ bien avant qu'elle ne fût inventée. La résolution des systèmes linéaires par la méthode chinoise du pivot, appelée en Occident méthode du pivot de Gauss, donne un algorithme de classe $\mathcal{P}$ lorsque les coefficients et les inconnues sont des nombres rationnels. Le calcul du nombre de racines réelles d'un polynôme par la méthode de Sturm, qui avait été saluée lors de sa découverte pour sa clarté et son élégance, fournit un algorithme en temps polynomial lorsque les coefficients du polynôme sont des nombres rationnels. Le calcul du polynôme caractéristique d'une matrice carrée par la méthode de Leverrier est un autre exemple célèbre. Le calcul intégral lui-même a un aspect algorithmique (pour le calcul automatique de certaines aires par exemple) qui frappa les contemporains de Leibniz et Newton et qui est devenu aujourd'hui une des branches du calcul formel.

4.2.2 Problèmes dont les solutions sont faciles à tester

La conjecture $\mathcal{P} \neq \mathcal{NP}$ est apparue dans les années 70 (Cook, [21]). Elle correspond à l'idée intuitive suivante : il y a des problèmes dont les solutions sont faciles à tester mais qui sont difficiles à résoudre. On pourrait dire a priori que la plupart des systèmes d'équations qu'on cherche à résoudre correspondent à ce paradigme. Il est remarquable que cette idée intuitive n'ait pu recevoir une forme mathématique précise qu'avec l'avènement de la théorie de la complexité des algorithmes. Tard venue dans le monde des conjectures mathématiques, la conjecture $\mathcal{P} \neq \mathcal{NP}$ apparaît aujourd'hui comme l'une des plus importantes, l'une dont la signification est la plus profonde. Elle a résisté à toutes les tentatives d'en venir à bout, et beaucoup d'experts pensent qu'on ne dispose pas aujourd'hui des concepts nécessaires à sa solution, alors même qu'elle a quasiment la force d'une évidence. Nous allons en donner quelques commentaires relativement informels. Ils sont nécessaires pour aborder dans les chapitres 12 et 13 l'analogue en complexité algébrique de la conjecture $\mathcal{P} \neq \mathcal{NP}$ en complexité binaire. Nous recommandons là encore sur ce sujet les ouvrages [BDG] et [Ste].

Comme exemple de problème dont les solutions sont faciles à tester mais qui sont difficiles à résoudre, nous allons considérer les problèmes de programmation linéaire. Un tel problème est donné par une matrice A (de type $n \times m$) et un vecteur colonne b (de type $m \times 1$) à coefficients réels, et une solution du problème est un vecteur colonne x (de type

$n \times 1$) tel que le vecteur $y = Ax - b$ ait toutes ses coordonnées ≥ 0 ([3]). Pour en faire un problème dont la nature algorithmique est bien précise, nous nous limitons aux matrices $A' = [A|b]$ à coefficients entiers codés en binaire. Quant aux solutions, nous avons le choix. Si nous demandons des solutions en nombres rationnels, nous parlons de programmation linéaire en rationnels, et si nous demandons des solutions en nombres entiers, nous parlons de programmation linéaire en entiers. Pour chacun de ces deux problèmes une solution x éventuelle est facile à tester. Un algorithme qui donne en général une solution rapide (s'il en existe une) pour la programmation linéaire en rationnels a été mis au point dans les années 50 (cf. [23]). Il est en général très performant et il est encore aujourd'hui fréquemment utilisé, c'est l'agorithme de Dantzig. L'inconvénient est que pour certaines matrices A', l'algorithme a un mauvais comportement et son temps de calcul peut devenir exponentiel par rapport à la taille de A'. Dans les années 70 on a trouvé d'autres algorithmes, qui dans la plupart des cas sont nettement plus lents que celui de Dantzig, mais qui tournent en temps polynomial pour n'importe quelles matrices A' (cf. [55, 60, 61] et l'ouvrage [Sch]). Depuis, on sait donc que la programmation linéaire en rationnels est dans la classe $\mathcal{P}$. Par contre pour ce qui concerne la programmation linéaire en entiers, on n'est toujours pas capable de résoudre ce problème par un algorithme de la classe $\mathcal{P}$, même si on ne s'intéresse qu'aux solutions de petite taille. En fait, on pense qu'on en sera à tout jamais incapable, car une réponse dans l'autre sens signifierait que la conjecture $\mathcal{P} \neq \mathcal{NP}$ est fausse.

Pour expliquer comment est définie la classe $\mathcal{NP}$, nous essayons d'examiner avec un peu de recul ce que signifierait en général « savoir résoudre un problème dont on sait tester facilement les solutions ». Nous commençons par remarquer que pour bien poser la question, il faut savoir donner le problème sous une forme codée, qui puisse être prise comme entrée d'un programme informatique (ou d'une Machine de Turing). On peut donc toujours considérer que l'on a une suite infinie de problèmes P_n où n est justement la forme codée en binaire du problème (les entiers n qui ne coderaient pas correctement une instance de notre problème doivent pouvoir être faciles à repérer). Quant aux solutions, elles doivent également pouvoir être codées, données comme telles en entrée ou à la sortie d'un programme informatique. Nous supposons donc sans perte

3. Un problème de programmation linéaire est en général énoncé sous forme d'un problème d'optimisation. Nous en présentons ici une version équivalente plus facile à discuter pour notre propos actuel.

de généralité que la solution éventuelle est elle aussi codée par un entier x. Maintenant considérons la fonction $\varphi : \mathbb{N} \times \mathbb{N} \to \{0, 1\}$ qui est définie comme suit : $\varphi(n, x) = 1$ si x est le code d'une solution du problème P_n et $\varphi(n, x) = 0$ sinon. Supposer qu'on sait tester facilement les solutions de notre famille P_n peut être raisonnablement interprété comme signifiant que la fonction φ est dans la classe $\mathcal{P}$. Tandis que supposer que le problème est intrinsèquement difficile à résoudre peut être raisonnablement interprété comme signifiant que la question

$$\exists x \in \mathbb{N} \qquad \varphi(n, x) = 1 \ \ ?$$

n'a pas de réponse dans la classe $\mathcal{P}$. Maintenant, nous devons apporter une restriction. Il se peut que le problème soit intrinsèquement difficile à résoudre pour une trop bonne raison, à savoir que les solutions éventuelles sont de taille trop grande. Plus exactement que la taille de toute solution x du problème n° n croisse trop vite par rapport à celle de n. *Nous notons dans la suite de cette section $|x|$ la taille de l'entier naturel x,* c'est-à-dire la longueur de son écriture en binaire. Nous pouvons maintenant énoncer ce qu'est un problème dans la classe $\mathcal{NP}$. C'est répondre à une question du type suivant :
Existe-t-il une solution $x(n)$ de taille raisonnable pour telle famille P_n de problèmes dont les solutions sont faciles à tester ?
Plus précisément une famille de problèmes codée dans $\mathbb{N}$ est dite dans la classe $\mathcal{NP}$ si sa solution revient à résoudre une question du type

$$\exists x \in \mathbb{N} \qquad (|x| \leq a + |n|^k \ \text{ et } \ \varphi(n, x) = 1) \quad ? \tag{4.1}$$

où a et k sont deux entiers positifs donnés et où $\varphi : \mathbb{N} \times \mathbb{N} \to \{0, 1\}$ est dans la classe $\mathcal{P}$. Autrement dit si on pose

$$\psi(n) = \sup \left\{ \varphi(n, x) \ ; \ |x| \leq a + |n|^k \right\} \tag{4.2}$$

et si la fonction φ est dans la classe $\mathcal{P}$, alors la fonction ψ est dans la classe $\mathcal{NP}$. On peut d'ailleurs supposer sans perte de généralité que $\varphi(n, x) = 0$ si $|x| > a + |n|^k$.

Le $\mathcal{N}$ de $\mathcal{NP}$ est mis pour *non déterministe*. La raison en est la suivante. La fonction ψ ci-dessus pourrait être calculée en temps polynomial par une machine dont le fontionnement serait « non déterministe ». Plus précisément, en utilisant nos programmes informatiques élémentaires ci-dessus, on admettrait des intructions de branchement non déterministe : aller à l'instruction n° ... ou ... (selon l'humeur du moment).

Le programme peut alors aboutir à plusieurs résultats différents selon le chemin choisi lors de son exécution. Et ce programme serait réputé calculer (pour une entrée x fixée) la plus grande des valeurs qu'il peut délivrer en sortie. L'acronyme $\mathcal{NP}$ vaut alors pour : calculable en temps polynomial par une machine à fonctionnement non déterministe.

Notez que si on avait $\mathcal{P} = \mathcal{NP}$ (ce que personne ne croit), on pourrait non seulement calculer, dans l'exemple ci-dessus, la fonction ψ en temps polynomial, mais également, dans le cas d'une réponse positive $\psi(n) = 1$, trouver une solution x pour $\varphi(n, x) = 1$ en temps polynomial. En effet, on pourrait calculer un tel x par dichotomie en temps polynomial en posant un nombre polynomial de fois la question

$$\exists x \quad x \leq p \text{ et } \varphi(n, x) = 1 \quad ?$$

qui serait résoluble en temps polynomial sur les entrées n, p (on démarrerait avec $p = 2^{a+|n|^k}$).

Certains problèmes qui peuvent sembler a priori être dans la classe $\mathcal{NP}$ sont ramenés dans la classe $\mathcal{P}$ lorsque quelqu'un découvre un algorithme rapide pour les résoudre. Des succès spectaculaires ont été à la fin du 20ème siècle la solution en temps polynomial des systèmes d'équations linéaires à coefficients et inconnues entières, celle des problèmes de programmation linéaire en rationnels et la détermination de « petits vecteurs » dans un réseau (qui conduit notamment à la factorisation en temps polynomial des polynômes sur $\mathbb{Q}[X]$).

Cook a montré (cf. [21]) que certains problèmes de la classe $\mathcal{NP}$ sont universels : si on démontre pour l'un d'entre eux qu'il est dans la classe $\mathcal{P}$, alors $\mathcal{P} = \mathcal{NP}$. Un tel problème est dit $\mathcal{NP}$ - complet. Par exemple la programmation linéaire en entiers est un problème $\mathcal{NP}$ - complet, même si on limite a priori la taille des solutions par un entier fixe.

Nous pouvons expliquer informellement pourquoi il existe des problèmes $\mathcal{NP}$ - complets.

Un ordinateur qui ne serait soumis à aucune limitation physique de temps et d'espace serait une *machine universelle* en ce sens qu'il est capable d'exécuter n'importe quel programme qu'on lui soumet (en faisant abstraction des limitations physiques). Un des premiers théorèmes d'Alan Turing était *l'existence d'une Machine de Turing universelle.* Une conséquence importante de l'existence d'une Machine de Turing universelle est, via le processus diagonal de Cantor, l'existence de problèmes bien posés (pour les Machines de Turing) mais qui ne pourront être résolus par aucun procédé mécanique du type Machine de Turing : l'ensemble des (codes Turing de) fonctions mécaniquement calculables

de $\mathbb{N}$ vers $\mathbb{N}$ (au sens des Machines de Turing) n'est pas mécaniquement calculable (au sens des Machines de Turing). L'existence de problèmes $\mathcal{NP}$ - complets est un résultat de nature similaire.

Introduisons la notation $\langle x_1, \ldots, x_k \rangle$ pour un *code dans* $\mathbb{N}$ *d'un* k*-uple d'entiers* [4]. En termes de programmes informatiques élémentaires, l'existence d'une Machine de Turing universelle signifie qu'on sait écrire un programme élémentaire « universel » en ce sens qu'il remplit le contrat suivant :

- Il prend en entrée 2 entiers binaires n, x et un entier bâton t ([5]), où n est un texte de programme élémentaire Q_n codé en binaire, x est un code pour la liste des entrées pour Q_n et t est le nombre d'étapes élémentaires pendant lequel on désire que soit exécuté Q_n.
- Il donne en sortie une *description instantanée de* (c'est-à-dire un codage binaire $U(n, x, t)$ qui décrit de manière exacte) *l'état où se trouve la machine qui exécute le programme* Q_n *après l'exécution de* t *étapes élémentaires de calcul sur l'entrée* x : la valeur de chacune des variables x_i du programme d'une part, le numéro h de l'instruction en cours d'autre part (codés par $\langle x_1, \ldots, x_\ell, h \rangle$).

Si le temps d'exécution est t_0 on demande que pour $t > t_0$ on ait $U(n, x, t) = U(n, x, t_0)$. Nous supposons aussi sans perte de généralité que les variables de sortie sont en écriture seulement, c'est-à-dire ne sont utilisées que via les affectations de type $A3$.

Il n'est pas très difficile de vérifier qu'un programme élémentaire universel écrit de manière naturelle calcule la fonction universelle U en temps polynomial.

Comme conséquence on obtient quelque chose qui pouraît être compris comme une énumération dans la classe $\mathcal{P}$ de tous les programmes dans la classe $\mathcal{P}$ s'exécutant sur une entrée de taille polynomialement majorée. Expliquons nous.

Tout d'abord notons $(n, x, t) \mapsto V(n, x, t)$ la fonction (dans la classe $\mathcal{P}$) qui donne l'état de la variable en sortie (ou, s'il y a plusieurs sorties

4. On considère un codage naturel, de sorte que les fonctions de codage $(x_1, \ldots, x_k) \mapsto \langle x_1, \ldots, x_k \rangle$ et celles de décodage ($\langle x_1, \ldots, x_k \rangle \mapsto x_i$ et $\langle x_1, \ldots, x_k \rangle \mapsto k$) sont dans la classe $\mathcal{P}$. On suppose aussi sans perte de généralité que $\langle x_1, \ldots, x_k \rangle \geq x_i$.

5. Un entier bâton sert de compteur, il est codé en binaire par $2^t - 1$, c'est-à-dire (si $t \geq 1$) le mot formé de t fois la lettre 1. Ici il est nécessaire de prendre pour t un entier bâton parce qu'on veut que la fonction universelle soit calculable en temps polynomial par rapport à la taille de ses entrées.

prévues, l'état de la première d'entre elles).

Soit maintenant $\varphi : \mathbb{N} \times \mathbb{N} \to \{0,1\}$ une fonction dans la classe $\mathcal{P}$ qui vérifie

$$\forall x \quad |x| > a + |n|^k \;\Rightarrow\; \varphi(n,x) = 0 \tag{4.3}$$

Alors la fonction $\psi(n) = \sup\{\varphi(n,x)\ ;\ x \in \mathbb{N}\}$ résoud un poblème dans la classe $\mathcal{NP}$.

Vu que φ est dans la classe $\mathcal{P}$ et vu le caractère universel de V il existe un entier m_0 et deux entiers b, ℓ tels que

$$\varphi(n,x) = V(m_0, \langle n,x\rangle, t) \quad \text{avec} \quad t \le b + |n|^\ell \quad \text{si} \quad |x| \le a + |n|^k$$

Définissons par ailleurs (avec z, t des entiers bâtons, et n et x des entiers binaires,)

$$\Phi(p,x) = \begin{cases} \inf(1, V(m, \langle n,x\rangle, t)) & \text{si } |x| \le z \\ 0 & \text{sinon} \end{cases} \qquad \text{avec} \quad p = \langle m,n,z,t\rangle\,.$$

C'est naturellement une fonction $\mathbb{N} \times \mathbb{N} \to \{0,1\}$ dans la classe $\mathcal{P}$ pour laquelle on a

$$\forall x \quad |x| > |p| \;\Rightarrow\; \Phi(p,x) = 0$$

et à partir de laquelle on peut définir

$$\Psi(p) = \sup\{\Phi(p,x)\ ;\ |x| \le |p|\} \tag{4.4}$$

qui est dans la classe $\mathcal{NP}$. Maintenant il est clair que si on pose

$$\lambda(n) = \left\langle m_0, n, a + |n|^k, b + |n|^\ell \right\rangle$$

alors la fonction λ est dans la classe $\mathcal{P}$ et

$$\psi(n) = \Psi(\lambda(n)).$$

Ceci montre le caractère universel de la fonction Ψ au sens où nous le souhaitions. En écrivant cette preuve en détail, on peut donner des précisions supplémentaires sur la manière dont le problème $\mathcal{NP}$ associé à φ à été réduit en temps polynomial à celui associé à Φ. En particulier on peut fabriquer une variante où la réduction est dans la classe *LOGSPACE*.

4.2.3 Problèmes de comptage

Si E est un ensemble fini, nous noterons $\#E$ le nombre d'éléments de E.

Lorsqu'on a une famille de problèmes dont les solutions sont faciles à tester et de taille polynomialement majorées, on peut se poser non seulement la question de savoir si une solution existe, mais également combien de solutions existent.

Précisément si $\varphi : \mathbb{N} \times \mathbb{N} \to \{0, 1\}$ est une fonction dans la classe $\mathcal{P}$ qui vérifie

$$\forall x \quad |x| > a + |n|^k \;\Rightarrow\; \varphi(n, x) = 0$$

alors la fonction

$$\theta(n) = \#\{x \mid x \in \mathbb{N},\ \varphi(n, x) = 1\} = \sum_{|x| \leq a+|n|^k} \varphi(n, x) \tag{4.5}$$

compte le nombre de solutions (pour la question codée par n). A priori cette fonction est plus difficile à calculer que la fonction définie par l'équation (4.2) $\psi(n) = \sup\{\varphi(n, x)\ ;\ x \in \mathbb{N}\}$ (qui est dans la classe $\mathcal{NP}$). La taille de $\theta(n)$ est polynomialement majorée en fonction de celle de n. Les fonctions θ obtenues de cette manière définissent une nouvelle classe de complexité, *les fonctions de comptage pour les problèmes dont les solutions sont faciles à tester*, que l'on note $\#\mathcal{P}$ (prononcer dièse P). Cette classe a été introduite par Valiant dans [93].

Si on veut que la classe $\#\mathcal{P}$ soit une classe de problèmes plutôt qu'une classe de fonctions, on la définit comme la classe des problèmes du type $\theta(n) \leq p$?. En effet, puisque $\theta(n) \leq 2^{a+|n|^k}$ il est facile de calculer par dichotomie, en temps polynomial, la fonction θ à partir des tests $\theta(n) \leq p$?.

On conjecture que les deux inclusions

$$\mathcal{P} \subset \mathcal{NP} \subset \#\mathcal{P}$$

sont strictes.

De même qu'il existe des problèmes $\mathcal{NP}$ - complets, il existe des fonctions $\#\mathcal{P}$-complètes. En fait la réduction que nous avons esquissée dans le cas $\mathcal{NP}$ ci-dessus fonctionne aussi pour les fonctions de comptage. Définissons en effet

$$\Theta(p) = \#\{x \mid x \in \mathbb{N},\ \Phi(p, x) = 1\} = \sum_{|x| \leq |p|} \Phi(p, x) \tag{4.6}$$

alors, avec la même fonction λ que ci-dessus, on obtient $\theta(n) = \Theta(\lambda(n))$.

4.3 Complexité arithmétique et complexité binaire des circuits

4.3.1 Complexité arithmétique

La taille (en fait le nombre d'opérations arithmétiques) et la profondeur d'un circuit arithmétique ou d'un programme d'évaluation sont les deux paramètres qui mesurent ce qu'on appelle la *complexité arithmétique* de ce circuit arithmétique ou de ce programme d'évaluation.

Ce sont des fonctions de ce que nous avons appelé les paramètres d'entrée du circuit arithmétique. Comme on s'intéresse souvent à la complexité asymptotique des algorithmes (c'est-à-dire à leur comportement quand ces paramètres tendent vers l'infini), nous allons utiliser les notations classiques $\mathcal{O}$, o, Θ, Ω définies de la manière suivante :

Notation 4.3.1 *Étant données deux fontions f et g de $\mathbb{N}^*$ dans $\mathbb{R}_+^*$, on dit que :*

- *$g \in \mathcal{O}(f)$ et l'on écrira $g(n) = \mathcal{O}(f(n))$ s'il existe une constante réelle $c > 0$ telle que $\forall n,\, n \in \mathbb{N}^* \;\Rightarrow\; g(n) \leq c\, f(n)$.*
- *$g \in \mathrm{o}(f)$ et l'on écrira $g(n) = \mathrm{o}(f(n))$ si pour tout réel $\varepsilon > 0$, il existe $k \in \mathbb{N}^*$ tel que $\forall n,\, (n \in \mathbb{N}^* \text{ et } n > k) \;\Rightarrow\; g(n) \leq \varepsilon\, f(n)$.*
- *$g \in \Omega(f)$ et l'on écrira $g(n) = \Omega(f(n))$ si $f(n) = \mathcal{O}(g(n))$.*
- *$g \in \Theta(f)$ et l'on écrira $g(n) = \Theta(f(n))$ si $g(n) = \mathcal{O}(f(n))$ et $f(n) = \mathcal{O}(g(n))$. On dit dans ce cas que f est du même ordre que g.*

Remarquons que pour montrer que $g \in \mathcal{O}(f)$, il suffit de trouver une constante réelle K_0 et un entier $n_0 \in \mathbb{N}^*$ tels que $g(n) \leq K_0\, f(n)$ pour tout $n \geq n_0$. Nous appellerons une telle constante K_0 une *constante asymptotique (cachée dans le grand $\mathcal{O}$)*. Dans la suite chaque fois que ce sera possible nous nous appliquerons à faire apparaître la constante asymptotique cachée dans le grand $\mathcal{O}$ dans l'étude de complexité des algorithmes. Et l'entier n_0 sera parfois précisé.

Notation 4.3.2 (complexité arithmétique d'une famille de circuits)
On écrira qu'un algorithme est (dans la classe) $\mathcal{SD}(f(n), g(n))$ pour dire qu'il correspond à une famille de circuits arithmétiques de taille $t(n) = \mathcal{O}(f(n))$ et de profondeur $p(n) = \mathcal{O}(g(n))$.

Par exemple, l'algorithme simplifié du pivot de Gauss, tel qu'il a été développé dans la section 2.1, est $\mathcal{SD}(n^3, n)$.

Un algorithme est dit *optimal* lorsqu'il n'y a pas d'algorithme asymptotiquement plus performant, du point de vue de la taille.

Il y a des problèmes dont on connaît la complexité séquentielle, c'est-à-dire l'ordre asymptotique exact du nombre d'opérations arithmétiques nécessaires pour le résoudre, comme par exemple le problème de l'évaluation d'un polynôme à une indéterminée sur un anneau commutatif quelconque [6]. D'autres problèmes, par contre, comme celui de la multiplication des matrices, sont des problèmes dont on ignore la complexité exacte à cause de l'écart entre les bornes inférieure et supérieure asymptotiques que l'on connaît [7].

Il faut remarquer que le grand $\mathcal{O}$ de la notation introduite ci-dessus présente l'inconvénient majeur de « cacher » la constante asymptotique qui permet de le définir. Elle a pourtant une importance pratique considérable puisque deux algorithmes permettant par exemple de résoudre respectivement le même problème avec $100n^3$ et 10^9n^2 opérations arithmétiques sont tels que le second a une complexité asymptotique nettement meilleure que le premier (il peut arriver qu'il soit aussi optimal) alors que le second, asymptotiquement moins performant, reste plus rapide tant que le nombre d'opérations à effectuer n'a pas atteint la borne astronomique de 10^{23}.

4.3.2 Complexité binaire

On raconte que l'inventeur du jeu d'échec demanda comme récompense un grain de blé sur la première case, deux sur la deuxième, quatre sur la troisième et ainsi de suite jusqu'à la soixante-quatrième. Cela fait a priori un circuit arithmétique de profondeur 64. Mais pour calculer $2^{64} - 1 = 2^{2^6} - 1 = 18.446.744.073.709.551.615$ un circuit arithmétique de taille (et de profondeur) 6+1 suffit :

Début

$v_0 := x$ (porte d'entrée, on évaluera avec $x = 2$)
$v_1 := v_0 \times v_0$
$v_2 := v_1 \times v_1$
$v_3 := v_2 \times v_2$
$v_4 := v_3 \times v_3$
$v_5 := v_4 \times v_4$
$v_6 := v_5 \times v_5$ $(v_6 = 2^{2^6})$

6. L'algorithme de Horner est optimal pour ce problème, cf. page 11.
7. Le problème de la multiplication des matrices est $\Omega(n^2)$ et $\mathcal{O}(n^{2,376})$.

$v_7 := v_6 - 1$

Fin.

De même, un circuit arithmétique de taille 20 évalué sur l'entrée 2 permet de calculer $2^{2^{20}} = 2^{1.048.576} = 6,7411\ldots 10^{315.652}$. Ceci montre clairement qu'il y a une différence considérable entre la taille d'un circuit et celle des objets qu'il peut produire lorsqu'on l'évalue sur des entiers codés en binaire.

La *complexité binaire d'un circuit* (ou d'une famille de circuits) est par définition la complexité du calcul d'évaluation qu'il produit lorsqu'on prend ses entrées *dans un anneau fixé avec un codage fixé*. L'exemple le plus simple et le plus important est l'anneau des entiers codés en binaire.

Naturellement, si on accepte de coder un entier par un circuit arithmétique sans division ayant pour seules entrées des constantes déterminées a priori ($-1, 0, 1, 2$ par exemple) et si on note $\mathbb{Z}_{\text{preval}}$ l'anneau des entiers ainsi codé, on voit que l'évaluation d'un circuit arithmétique sans division dans $\mathbb{Z}_{\text{preval}}$ est en temps linéaire (il suffit de mettre les circuits bout à bout en changeant seulement certaines profondeurs et certains identificateurs). Le problème avec $\mathbb{Z}_{\text{preval}}$ est alors reporté du côté du test de signe, de la division euclidienne, ou de l'évaluation des circuits avec divisions exactes.

Il est donc crucial de préciser à la fois l'anneau et le codage choisi pour cet anneau lorsqu'on veut parler de la complexité binaire d'un circuit arithmétique.

Signalons à ce sujet qu'en géométrie algébrique, la notion usuelle de degré d'un polynôme peut être souvent remplacée avantageusement par la notion de profondeur d'un programme d'évaluation arithmétique qui lui correspond. Il s'agit là d'un sujet de recherche actif et prometteur (cf. [39, 40]).

Un exemple : complexité binaire de l'algorithme du pivot de Gauss

Elle est mesurée par le nombre d'opérations booléennes nécessaires pour exécuter l'algorithme avec des entrées codées sous forme de suites de bits. Cette complexité dépend de manière importante du corps $\mathcal{K}$ et du codage choisi pour les éléments de $\mathcal{K}$.

Si le corps $\mathcal{K}$ est un corps fini, la complexité binaire est proportionnelle à la complexité arithmétique. C'est « le bon cas » pour l'algorithme.

Appliqué dans le cadre de calculs numériques (ce qui constitue aujourd'hui une partie importante du travail des ordinateurs), l'algorithme

est en général exécuté avec des nombres en virgule flottante, codés par des suites de bits de longueur fixe, et la complexité binaire est de nouveau proportionnelle à la complexité arithmétique. Mais naturellement, on ne travaille pas vraiment avec les éléments du corps des réels. D'où la nécessité de garantir les résultats avec une précision demandée. L'analyse numérique matricielle remplit des rayons entiers de bibliothèques.

Dans cet ouvrage, nous ne prenons en compte que les calculs exacts (en précision infinie dit-on parfois), et nous ne ferons guère d'autre allusion aux aspects proprement numériques des algorithmes que nous commenterons (voir cependant page 148).

La méthode du pivot de Gauss appliquée dans le corps des rationnels réserve quelques désagréables surprises. Même si les entrées sont des nombres entiers (supposés codés en binaire de la manière usuelle), on doit immédiatement passer au corps des fractions. Un rationnel est alors codé par un couple d'entiers, le numérateur avec un signe et le dénominateur strictement positif. Avec les rationnels ainsi codés (ce qui est le codage binaire naturel), on est alors devant l'alternative suivante : simplifier les nouvelles entrées de la matrice dès qu'elles sont calculées, ou ne jamais simplifier. La deuxième solution est désastreuse, car les fractions successives voient en général les tailles de leur numérateur et dénominateur croître de manière exponentielle. La première solution, quoique moins désastreuse, est néanmoins coûteuse, car elle implique des calculs systématiques de pgcd. La dernière formule donnée dans la propriété 2.1.3 permet d'exprimer $a_{ij}^{[p]}$ comme quotient de deux déterminants extraits de la matrice de départ (et elle se généralise au cas où des permutations de lignes ou de colonnes sont effectuées). On a donc la garantie que toutes les fractions qui sont calculées au cours de l'algorithme restent de taille raisonnable ($\mathcal{O}(n\,(t+\log n))$ si on part d'une matrice $n \times n$ à coefficients entiers majorés par t en taille binaire, *i.e.* majorés par 2^t en valeur absolue). Le nombre d'opérations arithmétiques dans $\mathbb{Z}$ doit donc être multiplié par un facteur nt pour tenir compte du calcul de simplification des fractions. La complexité binaire, elle, a une majoration fort décevante en $\mathcal{O}(n^5t^2)$ (à des facteurs logarithmiques près) si on utilise les algorithmes usuels pour la multiplication ou la division de deux entiers.

Appliquée avec le corps des fractions de $\mathbb{Z}[X]$ ou $\mathbb{Z}[X,Y,Z]$ la méthode du pivot de Gauss se heurte au même type de difficultés, mais très nettement aggravées, car les calculs de pgcd de polynômes, surtout en plusieurs variables, sont très coûteux.

Situations dans lesquelles la complexité binaire d'un circuit est en rapport étroit avec sa complexité arithmétique

Nous signalerons ici trois situations de ce type.

Le *premier cas* est celui d'une famille de circuits arithmétiques évalués dans un anneau avec un codage pour lequel les opérations arithmétiques produisent des objets de taille bien contrôlée, du fait même de la structure du circuit arithmétique.

Proposition 4.3.3 *Considérons une famille de circuits arithmétiques* Γ_n *de taille* σ_n *et de profondeur* π_n *(*n *est un paramètre contrôlant le nombre d'entrées du circuit* Γ_n*. Supposons en outre que la production du circuit* Γ_n *réclame un temps* τ_n*. Soit enfin* $\mathcal{A}$ *un anneau donné dans un codage pour lequel les opérations arithmétiques sont en temps polynomial* $\mathcal{O}(N^k)$ *avec* $k > 1$ *et la taille* $t(x)$ *des objets vérifie l'inégalité* $t(a \circ b) \leq t(a) + t(b)$*.*
Alors la production puis l'exécution de ce circuit réclame, dans le modèle MAD, un temps majoré par $\tau_n + \sigma_n \cdot \mathcal{O}((2^{\pi_n} N)^k)$ *(*$N > n$ *est la taille de la liste des entrées). En particulier si* $\sigma_n = \mathcal{O}(n^h)$*,* $\pi_n \leq \ell \log n$ *et* $\tau_n = \mathcal{O}(n^c)$ *(pour des constantes convenables* h*,* ℓ *et* c*) alors l'exécution de l'algorithme correspondant à la famille* Γ_n *est (globalement) en temps polynomial, précisément en* $\mathcal{O}(n^c + n^{h+\ell k} N^k)$*.*

Preuve. Dans le modèle MAD, on peut utiliser un registre distinct pour chacune des variables du programme d'évaluation. La taille de tous les résultats intermédiaires est majorée par $2^{\pi_n} N$ puisqu'elle double au maximum quand la profondeur augmente d'une unité.
Les transferts entre les registres de travail et l'accumulateur représentent un temps de l'ordre de $\sigma_n \cdot (2^{\pi_n} N + \log(\sigma_n))$ qui est négligeable devant l'estimation du temps d'exécution des opérations arithmétiques proprement dites : $\sigma_n \cdot \mathcal{O}((2^{\pi_n} N)^k)$. □

Remarque 4.3.4 Dans le modèle des machines de Turing, on obtient les mêmes majorations pour n fixé. Par contre, lorsque n varie, se pose le problème de la gestion d'un nombre *non fixé a priori* de variables de travail, alors qu'une telle machine n'a, quant à elle, qu'un nombre fixé a priori de bandes de travail. Les transferts de données entre d'une part la bande où est stockée la liste des (contenus des) variables de travail et d'autre part les bandes où sont exécutées les opérations arithmétiques prennent normalement un temps de l'ordre de $(\sigma_n)^2 (2^{\pi_n} N + \log(\sigma_n))$

car la bande de stockage doit être relue pour chacune des σ_n opérations arithmétiques, et sa taille est seulement majorée par $\sigma_n \cdot (2^{\pi_n} N + \log(\sigma_n))$. Il s'ensuit que la majoration en temps obtenue peut parfois être un peu moins bonne que celle indiquée pour le modèle MAD.

De nombreuses variantes de la situation précédente peuvent être utilisées. Par exemple, pour l'évaluation dans $\mathbb{Z}$, c'est seulement la profondeur multiplicative qui doit être en $\mathcal{O}(\log n)$ pour qu'on ait un bon contrôle de la taille des objets produits, et donc de l'ensemble du calcul d'évaluation.

Un algorithme est dit *bien parallélisé* lorsqu'il correspond à une famille de circuits arithmétiques (Γ_n) dont la taille σ_n est optimale et dont la profondeur est en $\mathcal{O}(\log^\ell(\sigma_n))$ (pour un certain exposant $\ell > 0$). Si la taille est polynomiale en n, la profondeur est alors polylogarithmique , c'est-à-dire en $\mathcal{O}(\log^\ell(n))$. En fait, nous utilisons dans cet ouvrage le terme *bien parallélisé* avec un sens un peu plus libéral pour le mot optimal. Pour les algorithmes en temps polynomial nous demandons seulement que, en ce qui concerne la taille, l'exposant du n ne soit pas très loin de celui du meilleur algorithme séquentiel connu (la profondeur étant, elle polylogarithmique). C'est en ce sens que nous considérons que les algorithmes de Csanky, de Chistov ou de Berkowitz sont bien parallélisés.

Le *deuxième cas* est celui d'une famille de circuits arithmétiques dont la profondeur n'est pas nécessairement logarithmique et pour laquelle on a un argument de nature algébrique qui permet de mieux majorer la taille des objets intermédiaires que l'argument de profondeur. C'est par exemple le cas de l'algorithme du pivot de Gauss simplifié (éventuellement modifié par élimination des divisions à la Strassen) ou de l'algorithme de Jordan-Bareiss. Même dans le cas d'un algorithme bien parallélisé comme celui de Berkowitz, exécuté dans $\mathbb{Z}$, les majorations de taille obtenues par un argument algébrique direct sont meilleures que celles obtenues par l'argument de profondeur.

Signalons un calcul de majoration simple qui permet souvent un contrôle satisfaisant de la taille des objets intermédiaires dans le cas de l'évaluation dans un anneau du style $\mathrm{Mat}_n(\mathbb{Z}[x,y])$ ([8]) codé en représentation dense (voir la note 1 page 115), les entiers étant eux-mêmes codés en binaire. Si $A = (a_{ij})$ est une matrice dans cet anneau, on note d_A le degré maximum d'une entrée $a_{ij}(x,y)$ et $\ell_A := \log(\Sigma_{ijhk}|a_{ijhk}|)$,

8. Ceci désigne l'anneau des matrices $n \times n$ à coefficients dans $\mathbb{Z}[x,y]$.

où a_{ijhk} est le coefficient de $x^h y^k$ dans $a_{ij}(x,y)$. On a alors la taille de A qui est majorée par $n^2 d_A^2 \ell_A$ et les formules suivantes sont faciles à vérifier :

$$\begin{array}{ll} \ell_{A\pm B} \leq 1 + \max(\ell_A, \ell_B) & \ell_{AB} \leq \ell_A + \ell_B \\ d_{A\pm B} \leq 1 + \max(d_A, d_B) & d_{AB} \leq d_A + d_B \end{array}$$

Ceci signifie que ce type d'anneau se comporte comme $\mathbb{Z}$ pour tous les calculs de majoration de taille des objets produits lors de l'évaluation d'un circuit arithmétique. En particulier si la taille du circuit n° n est polynomiale en n et si sa profondeur multiplicative est logarithmique, alors la taille des objets est polynomialement majorée. La plupart des algorithmes que nous examinons dans cet ouvrage ont pour le type d'anneau que nous venons de signaler, une majoration polynomiale de la taille des objets intermédiaires. Signalons en revanche le mauvais comportement de l'algorithme de Hessenberg pour la taille des objets intermédiaires.

Le *troisième cas* est celui d'une famille de circuits arithmétiques (sans divisions) évalués dans un cadre de calcul numérique bien contrôlé. Lors de l'évaluation du circuit, les entrées sont des nombres dyadiques interprétés comme des nombres réels pris avec une précision fixée. Toutes les portes du circuit sont elles-mêmes évaluées avec une précision fixée. Un calcul de majoration d'erreur est nécessaire pour que le résultat du calcul ait un sens mathématique précis. Ce calcul dit une chose du genre suivant : sachant que vous désirez les sorties avec une précision absolue p (c'est-à-dire de p digits après la virgule), et que les entrées sont prises sur l'intervalle contrôlé par le paramètre n, alors vous devez évaluer le circuit $\Gamma_{n,p}$ en effectuant tous les calculs intermédiaires avec la précision $\varepsilon(n,p)$ (en particulier les entrées doivent être prises avec cette précision). Par exemple, on pourra imaginer une famille de circuits arithmétiques évaluant en ce sens la fonction $(x^2+1)/ln(1+x)$ sur l'intervalle $]\,0,\infty\,[$: le circuit arithmétique $\Gamma_{n,p}$ doit permettre d'évaluer cette fonction sur l'intervalle $[2^{-n}, 2^n]$ avec la précision p, en exécutant tous les calculs avec une précision $\varepsilon(n,p)$.

Si la famille peut être produite en temps polynomial, et si la précision requise $\varepsilon(n,p)$ peut être majorée par un polynôme en (n,p) alors la fonction réelle ainsi calculée est dite calculable en temps polynomial (cf. [KKo, 45, 59, 63]). Cela signifie que cette fonction peut être évaluée avec la précision p sur n'importe quel réel dans l'intervalle contrôlé par n en un temps qui dépend polynomialement de (n,p). Il s'agit donc d'analyse numérique entièrement sûre et parfaitement contrôlée.

Ce type d'algorithmes est en phase d'être implémenté sur machine,

cela peut être considéré comme une des tâches importantes à réaliser par le Calcul Formel.

4.4 Familles uniformes de circuits arithmétiques et booléens

Les algorithmes de calcul algébrique usuels ont un nombre d'entrées et de sorties qui dépend d'un ou plusieurs paramètres entiers, comme par exemple « la multiplication de deux matrices » (3 paramètres pour fixer les tailles des deux matrices) ou « le produit d'une liste de matrices » (une liste d'entiers pour paramètres) ou « le déterminant d'une matrice » (un paramètre). Nous avons appelé ces paramètres des *paramètres d'entrée*. Comme nous l'avons déjà dit, ce n'est pas seulement la taille et la profondeur du circuit (en fonction des paramètres d'entrée) qui sont importantes, mais aussi son coût de production. Pour calculer le déterminant d'une matrice à coefficients entiers dans la situation la plus générale possible, par exemple, on doit d'abord produire le texte du programme d'évaluation correspondant au circuit qu'on envisage, et ensuite exécuter ce programme d'évaluation sur la liste d'entrées voulue. Si le circuit est de faible profondeur et de faible taille mais que le coût de la production du programme d'évaluation correspondant croît très vite lorsque le paramètre d'entrée augmente, on ne peut guère être satisfait du résultat.

C'est la raison pour laquelle on a introduit la notion de *famille uniforme de circuits arithmétiques*. On dit qu'une famille de circuits arithmétiques (indexée par les paramètres d'entrée) est uniforme lorsque le coût de production du circuit (en tant que texte d'un programme d'évaluation) dépend « de manière raisonnable » des paramètres d'entrée. Une première notion d'uniformité consiste à demander que le coût de production du circuit soit dans la classe $\mathcal{P}$, c'est-à-dire en temps polynomial. Une deuxième notion, plus forte, consiste à demander qu'on soit dans la classe $LOGSPACE$ c'est-à-dire que l'espace de travail nécessaire à la production du circuit soit logarithmique.

Ces notions d'uniformité sont relativement satisfaisantes mais elles nécessiteraient d'être mieux explicitées dans chaque cas concret. Il est clair qu'une famille de circuits dépendant d'un paramètre d'entrée n qui aurait une profondeur en $\log n$, une taille en n^2 et un coût de production en n^{2001} ne serait pas un très bon cru pour l'année 2001. Dans la littérature sur le sujet règne un silence discret. En fait tout le monde

considère apparemment qu'il est bien clair que le coût de production du circuit n'a en général pas un ordre de grandeur bien supérieur à sa taille.

Nous nous contenterons de confirmer cette impression par l'étude d'un cas d'école, la multiplication rapide des matrices à la Strassen. Nous renvoyons pour cette étude au chapitre 7 section 7.1.2 théorème 7.2.

Classes de complexité $\mathcal{NC}$

Pour définir les notions de taille et profondeur en complexité arithmétique parallèle on a utilisé des familles de circuits arithmétiques sans exiger que ces familles soient uniformes.

En complexité binaire, les entrées et les sorties d'un algorithme sont des mots écrits sur un alphabet fixé, par exemple l'alphabet $\{0,1\}$ (ou si on préfère des entiers écrits en binaire). Il est alors naturel d'utiliser les familles de circuits booléens pour définir les notions de taille et profondeur d'un algorithme parallèle. Dans un circuit booléen, chaque entrée est un élément de $\{0,1\}$, et les portes sont de trois sortes : $\vee$, $\wedge$ (avec deux antécédents) ou $\neg$ (à un seul antécédent). Pour chaque longueur de l'entrée d'un algorithme parallèle, codée comme une suite finie de booléens, le circuit booléen correspondant doit calculer la sortie, codée de la même manière. Mais sans uniformité de la famille, on aboutirait à des contre-sens intuitifs évidents, puisque toute fonction f de $\mathbb{N}$ vers $\{0,1\}$ telle que $f(n)$ ne dépend que de la longueur de n est réalisable par une famille non uniforme de circuits booléens de taille $n+1$ et de profondeur 0 (a vrai dire, l'entrée du circuit n° n ne sert à rien, et aucune opération booléenne n'est exécutée). Or une telle fonction peut ne pas être calculable.

Pour un entier naturel k donné, on note $\mathcal{NC}^k$ la classe de toutes les fonctions qui peuvent être calculées par une famille uniforme de circuits booléens dans $\mathcal{SD}(n^h, \log^k n)$ où h est un entier positif (par hypothèse, le circuit C_n a un nombre de portes d'entrée polynomialement relié à n). L'uniformité est prise ici au sens le plus fort que nous avons considéré au début de cette section. C'est la *LOGSPACE* uniformité, c'est-à-dire, pour une famille de circuits $(C_n)_{n\in\mathbb{N}}$, l'existence d'une machine de Turing qui, pour l'entrée n, donne en sortie le codage du circuit C_n en utilisant un espace mémoire en $\mathcal{O}(\log n)$.

On pose $\mathcal{NC} = \bigcup_{k\in\mathbb{N}} \mathcal{NC}^k$. Il s'agit d'un acronyme pour Nick's Class du nom de Nicholas Peppinger qui a proposé cette classification des algorithmes parallèles.

Alors $\mathcal{NC} \subseteq \mathcal{P}$ mais l'inclusion dans l'autre sens (c'est-à-dire l'égalité des deux classes) est un problème ouvert, et il est conjecturé que l'inclusion est stricte.

On peut définir des notions analogues en complexité arithmétique ([34, BCS]). Il serait alors théoriquement nécessaire de distinguer dans les notations la classe $\mathcal{NC}$ au sens de la complexité arithmétique de celle définie précédemment. En outre, en complexité arithmétique on peut exiger ou ne pas exiger l'uniformité de la famille de circuits, et on peut aussi vouloir indiquer sur quel anneau commutatif on travaille.

Dans le cadre de cet ouvrage, nous ne désirons pas multiplier les notations et nous garderons la notation $\mathcal{NC}^k$ pour parler des familles uniformes de circuits arithmétiques en $\mathcal{SD}(n^h, \log^k n)$, (où n est la somme des paramètres d'entrée du circuit et h est un entier positif). *Nous demandons en outre que le degré de tous les polynômes évalués aux noeuds du circuit soit majoré par un polynôme en n.* Enfin, nous prendrons l'uniformité en un sens plus modeste : la famille des circuits doit seulement être construite en temps polynomial. La seule vraie preuve d'uniformité que nous faisons est d'ailleurs celle du théorème 7.2, et la construction que nous donnons n'est pas *LOGSPACE* (par contre, notre résultat est plus précis en ce qui concerne le temps de construction du circuit arithmétique).

La plupart des autres algorithmes développés dans cet ouvrage ont une preuve d'uniformité plus simple, ou alors analogue à celle donnée pour le théorème 7.2.

Dans le cas des familles non nécessairement uniformes, qui ont été intensivemnt étudiées par Valiant, nous utiliserons les notations $\mathcal{VNC}^k$ et $\mathcal{VNC}$ en complexité arithmétique et $\mathcal{BNC}^k$ et $\mathcal{BNC}$ en complexité booléenne. (voir chapitres 12 et 13).

4.5 Machines parallèles à accès direct

Nous présentons brièvement dans cette section quelques modèles de « machines » susceptibles d'exécuter des familles de circuits, arithmétiques ou booléens. Nous ne développerons pas cependant les questions de la programmation pour les machines parallèles concrètes.

Le principal objet de la conception d'algorithmes parallèles est la réduction du temps de calcul permettant de résoudre un problème donné moyennant un nombre suffisant mais raisonnable de processeurs.

4.5.1 Une idéalisation des calculs parallèles sur ordinateur

A défaut de modèle unique nous devons faire un choix. En algorithmique séquentielle la Machine à Accès Direct ou « Random Access Machine » (RAM) est une abstraction de l'ordinateur séquentiel de Von Neumann. Nous considérons ici le modèle analogue en algorithmique parallèle, celui des *machines parallèles à accès direct* (Parallel Random Access Machines) ou PRAM, qui constitue le modèle « standard » (cf. [CT, 36, 57]).

Une *machine parallèle à accès direct* ou PRAM est une machine virtuelle (et un modèle idéal abstrait) composée d'un nombre illimité de processeurs partageant une mémoire commune, *la mémoire globale*, elle-même constituée d'un nombre illimité de registres [9], auxquels ils ont accès pour y lire ou pour y écrire des données ou des résultats de calcul.

Chaque processeur a sa propre mémoire locale supposée également de taille illimitée, et inaccessible aux autres processeurs. Elle lui permet d'exécuter en une seule unité de temps ou *étape de calcul* la tâche, considérée comme élémentaire, composée de la suite d'instructions suivantes :

– chercher ses opérandes dans la mémoire globale ;
– effectuer l'une des opérations arithmétiques $\{+, -, \times\}$ (et éventuellement la division quand elle est permise) sur ces opérandes ;
– écrire le résultat dans un registre de la mémoire commune (ou globale).

Faisant abstraction de tous les problèmes d'accès à la mémoire globale, de communication et d'interconnexion entre processeurs, *une unité de temps* ou *étape de calcul parallèle* dans un tel modèle abstrait correspond à l'exécution simultanée de cette tâche par un certain nombre de processeurs, *les processeurs actifs*, d'autres processeurs pouvant rester *inactifs*.

L'exécution des tâches par l'ensemble des processeurs actifs est synchronisée : une étape démarre dès que les opérandes sont disponibles, c'est-à-dire au démarrage du processus, quand chaque processeur sollicité puise ses données dans la mémoire globale, ou dès la fin d'une étape quand chaque processeur actif a livré le résultat de son calcul, le déroulement de ce calcul étant lié aux contraintes de dépendance entre données dans l'algorithme considéré.

9. Le nombre de processeurs ainsi que le nombre de registres de mémoire partagée sont habituellement fonctions de la taille du problème à traiter.

Il existe plusieurs variantes du modèle PRAM selon le mode d'accès à la mémoire globale, concurrent ou exclusif.

Ce sera une PRAM-EREW [10] si la lecture ou l'écriture dans un même registre n'est permise qu'à un seul processeur à la fois, une PRAM-CREW [11] si la lecture est concurrente et l'écriture exclusive, une PRAM-ERCW si la lecture est exclusive et l'écriture concurrente, et une PRAM-CRCW si la lecture et l'écriture simultanées dans un même registre de la mémoire globale sont permises pour plusieurs processeurs à la fois. Dans les deux derniers cas, il faut éviter que deux processeurs mettent simultanément dans un même registre des résultats différents, ce qui donne d'autres variantes de machines PRAM selon le mode de gestion de la concurrence d'écriture (mode prioritaire, arbitraire, etc.).

Même s'il existe une hiérarchie entre ces différentes variantes, de la « moins puissante » (EREW) à la « plus puissante » (CRCW prioritaire), ces modèles PRAM sont en fait équivalents, pour la classe des problèmes qui nous intéressent, dans le sens où ils se ramènent l'un à l'autre par des techniques de simulation (cf. [CT, 36, 57]).

Nous utiliserons pour la description et l'analyse des algorithmes qui nous concernent, la variante **PRAM-CREW** dont la conception est très proche de la notion de circuit arithmétique ou de programme d'évaluation, puisqu'une PRAM-CREW peut être représentée par un circuit arithmétique dans lequel les nœuds d'entrée représentent les données du problème, et chacun des autres nœuds (internes) représente aussi bien un processeur actif (et l'opération qu'il exécute) que le contenu d'un registre de la mémoire globale correspondant au résultat de cette opération.

Enfin la profondeur du circuit arithmétique ou du programme d'évaluation telle que nous l'avons définie précédemment (section 3.1) correspond au nombre d'étapes du calcul parallèle.

4.5.2 PRAM-complexité et Processeur-efficacité

Plusieurs paramètres permettent de mesurer ce que nous appellerons la PRAM-complexité d'un algorithme donné. Ces paramètres sont :

– *le temps parallèle* qui est égal au nombre d'étapes du calcul parallèle et qui correspond au temps d'exécution de l'algorithme parallèle ; c'est aussi ce que l'on appelle *la complexité parallèle* ou la *profondeur* de l'algorithme ;

10. EREW comme « Exclusive Read, Exclusive Write ».
11. CREW comme « Concurrent Read, Exclusive Write » etc.

– *le nombre de processeurs* c'est-à-dire le nombre maximum de processeurs simultanément actifs durant une étape quelconque du calcul, sachant qu'un processeur peut être sollicité durant une ou plusieurs étapes successives ;
– *le temps séquentiel* de l'algorithme c'est-à-dire le nombre d'opérations arithmétiques qui interviennent dans le calcul ou, ce qui revient au même, le temps parallèle si on ne disposait que d'un seul processeur, ou encore la somme des nombres de processeurs actifs durant toutes les étapes du calcul parallèle. C'est ce que l'on appelle aussi *la taille* et parfois même *la surface de calcul* [CT] ou *la complexité séquentielle* de l'algorithme ;
– *le travail potentiel* ou *la surface totale* de l'algorithme qui est le produit du nombre de processeurs utilisés par le nombre d'étapes du calcul parallèle, c'est-à-dire le temps séquentiel si tous les processeurs étaient actifs durant toutes les étapes du calcul.

On peut résumer la parfaite analogie des paramètres jusqu'ici définis entre PRAM-CREW, circuit arithmétique et programme d'évaluation par le tableau suivant :

PRAM-CREW	Programme d'Evaluation	Circuit Arithmétique
Temps parallèle	Profondeur	Profondeur
Temps séquentiel	Longueur	Taille
Nombre de processeurs	Largeur	Largeur

Tableau 4.5.2

Le nombre de processeurs dans une PRAM est l'équivalent de la largeur dans un programme d'évaluation, le temps séquentiel dans une PRAM est l'analogue de la longueur (ou la taille) d'un programme d'évaluation, et le temps parallèle correspond à la profondeur.

L'efficacité d'un algorithme est alors définie comme le rapport entre le temps séquentiel et le travail potentiel de cet algorithme, ou encore le rapport entre surface de calcul et surface totale de l'algorithme considéré.

Pour revenir à l'exemple de l'algorithme du pivot de Gauss (voir page 117), la PRAM-CREW qui réalise cet algorithme peut être représentée par le tableau suivant (rectangle de gauche) dont les lignes correspondent aux 7 étapes successives du calcul et les colonnes aux processeurs (ceux marqués d'une croix sont les processeurs actifs au cours d'une étape donnée) :

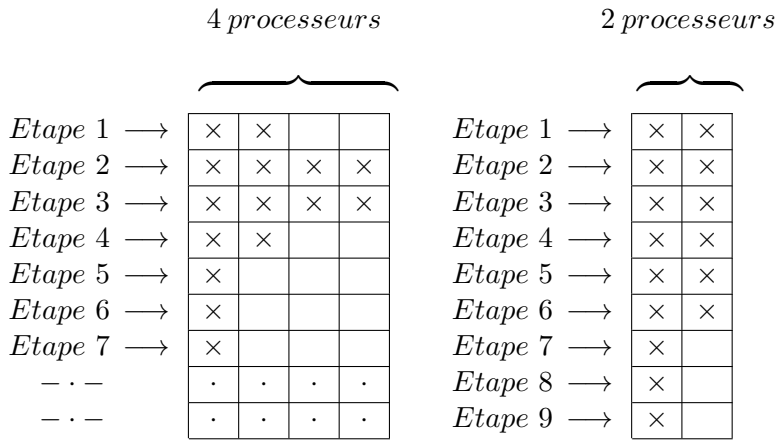

Le même algorithme peut être simulé par une PRAM à deux processeurs (rectangle de droite) au lieu de quatre, moyennant une augmentation du nombre d'étapes (c'est-à-dire un « ralentissement » des calculs) avec 9 étapes au lieu de 7.

Pour chaque rectangle, la surface marquée représente la surface de calcul ou le temps séquentiel, la surface totale représentant le travail potentiel ; la longueur et la largeur du rectangle représentent respectivement le temps parallèle et le nombre de processeurs. L'efficacité de cet algorithme passe de $15/28$ quand il est réalisé par la PRAM initiale à $15/18$ avec la PRAM modifiée c'est-à-dire de $54\,\%$ à $83\,\%$ environ.

Nous introduisons maintenant la notation classique suivante pour la PRAM-complexité qui sera utilisée dans la suite.

Notation 4.5.1 *On note $PRAM(p(n), t(n))$ la classe des problèmes de taille n résolus par un algorithme PRAM-CREW en $\mathcal{O}(t(n))$ étapes, avec $\mathcal{O}(p(n))$ processeurs. Tout algorithme P qui, exécuté sur une telle machine, permet de résoudre un problème de cette classe, est lui-même considéré, par abus de langage, comme appartenant à cette classe, et on dira que P est un algorithme $PRAM(p(n), t(n))$.*

La Processeur-efficacité d'un algorithme représenté par une PRAM-CREW est une notion relative [50, 51, 62] estimée à partir du temps séquentiel d'un algorithme choisi comme algorithme de référence : il s'agit en ce qui nous concerne, pour l'algèbre linéaire, de l'algorithme de la multiplication des matrices carrées d'ordre n supposé être réalisé par

une PRAM-CREW en $\log n$ étapes, avec $\mathcal{M}(n)$ processeurs. On peut évidemment supposer $\mathcal{M}(n) = \mathcal{O}(n^3)$ et $\mathcal{M}(n) = \Omega(n^2)$.

Définition 4.5.2 *Un algorithme P est dit processeur-efficace (par rapport à un algorithme de référence de temps séquentiel $S(n)$) s'il existe $k, m \in \mathbb{N}^*$ tels que P soit dans $PRAM(S(n)\log^m(n), \log^k(n))$.*

Nous verrons plus loin des exemples d'algorithmes « processeur-efficaces » (comme celui de l'inversion des matrices fortement régulières, page 195) pour lesquels on prend comme algorithme de référence celui de la multiplication usuelle (resp. rapide) des matrices carrées $n \times n$ réalisée par un circuit arithmétique en $\mathcal{SD}(n^3, \log n)$ (resp. $\mathcal{SD}(n^\alpha, \log n)$ pour $\alpha < 3$).

4.5.3 Le principe de Brent

Le principe de Brent affirme qu'on peut répartir intelligemment le travail entre les différentes étapes d'un calcul parallèle, afin de diminuer de manière significative la proportion des processeurs inactifs (cf. [10] lemme 2.4).

Proposition 4.5.3 *Un algorithme parallèle dont le temps séquentiel sur une PRAM est égal à $s(n)$ et dont le temps parallèle est égal à $t(n)$ peut être simulé sur une PRAM utilisant p processeurs et $\lfloor s(n)/p \rfloor + t(n)$ étapes de calcul sans changer le temps séquentiel.*

Preuve. Supposons, en effet, qu'un calcul parallèle peut être effectué en $t(n)$ étapes parallèles à raison de m_i opérations arithmétiques de base par étape. Si l'on implémente directement ce calcul sur une PRAM pour être exécuté en $t(n)$ étapes, le nombre de processeurs utilisés sera alors égal à $m = \max\{m_i \mid 1 \leq i \leq t(n)\}$. En prenant p processeurs au lieu de m avec $p < m$ (pour le cas $p \geq m$, la proposition est triviale) on peut exécuter le même calcul en faisant effectuer les m_i opérations de base de la i-ème étape par les p processeurs en $\lceil m_i/p \rceil$ étapes, et comme $\lceil m_i/p \rceil \leq \lfloor m_i/p \rfloor + 1$ le nombre total d'étapes avec une PRAM à p processeurs n'excèdera pas

$$\sum_{i=1}^{t(n)} (\lfloor m_i/p \rfloor + 1) \leq t(n) + \left\lfloor \sum_{i=1}^{t(n)} m_i/p \right\rfloor \leq t(n) + \lfloor s(n)/p \rfloor \ .$$

□

Ce principe est très utile lorsque le temps parallèle $t(n)$ est négligeable (quand $n \to \infty$) devant le temps séquentiel $s(n)$ de l'algorithme puisqu'on peut pratiquement diviser le nombre de processeurs par $t(n)$ en doublant simplement le temps d'exécution parallèle de l'algorithme : on prend $p = \lceil s(n)/t(n) \rceil$. Par exemple, un algorithme $\mathcal{SD}(n^\alpha, \log^k(n))$ où α est un réel positif et k un entier naturel quelconque, donne par application de ce principe de Brent un algorithme $PRAM(n^\omega / \log^k(n), \log^k(n))$.

Cela permet dans la pratique, au prix d'un ralentissement relatif (multiplication du temps de calcul par une petite constante), d'améliorer l'efficacité d'un algorithme parallèle en diminuant le temps d'inactivité des processeurs par une réduction du rapport entre le travail potentiel (*i.e.* la surface totale) et le travail réel (*i.e.* la surface de calcul), et ceci par une réorganisation des calculs dans le sens d'une meilleure répartition des processeurs entre les étapes parallèles.

Nous en déduisons la propriété suivante qui relie la complexité des circuits arithmétiques à celle des PRAM.

Proposition 4.5.4 *Un algorithme parallèle en $\mathcal{SD}(f(n), g(n))$ est un algorithme $PRAM(f(n)/g(n), g(n))$. Inversement, tout algorithme dans $PRAM(p(n), t(n))$ est un algorithme en $\mathcal{SD}(p(n)t(n), t(n))$.*

Remarque. Dire qu'un algorithme est processeur-efficace par rapport à un algorithme de référence de temps séquentiel $S(n)$ revient à dire qu'il est $\mathcal{SD}(S(n)\log^m(n), \log^k(n))$ pour un couple $(m, k) \in \mathbb{N}^* \times \mathbb{N}^*$.

5. Diviser pour gagner

Introduction

Dans ce chapitre, nous présentons une approche bien connue sous le nom de « divide and conquer » que l'on peut traduire par « diviser pour régner » auquel nous préférons le concept « diviser pour gagner » parce que mieux adapté, nous semble-t-il, au calcul parallèle.

Après en avoir donné le principe général nous l'utilisons pour étudier deux problèmes classiques de l'algorithmique parallèle que nous serons amenés à utiliser dans la suite :

- le calcul du produit de n éléments d'un monoïde ;
- le problème du calcul parallèle des préfixes (« Parallel Prefix Algorithm »)

Pour ce dernier problème, nous développerons, en plus de l'algorithme classique, une méthode récursive due à Ladner & Fischer [64] pour obtenir une famille de circuits de taille linéaire et de profondeur logarithmique. C'est le meilleur résultat connu à l'heure actuelle.

Nous appliquerons la stratégie « diviser pour gagner » en plusieurs autres occasions dans les chapitres suivants, notamment pour les multiplications rapides de matrices et de polynômes et pour l'algèbre linéaire rapide sur les corps.

5.1 Le principe général

L'approche « diviser pour gagner » s'applique pour résoudre une famille de problèmes $(P_n)_{n\in\mathbb{N}}$. Elle consiste à « diviser » le problème numéro n en q ($q \geq 2$) sous-problèmes du style P_m avec $m < n$, auxquels on peut appliquer, en parallèle et de manière récursive, le même algorithme que celui qui permet de résoudre le problème initial, pour récupérer ensuite le résultat final à partir des solutions des sous-problèmes.

Le paramètre entier q représente le nombre des sous-problèmes qui seront traités en parallèle. Lorsqu'il ne dépend pas de n, il s'appelle le *degré de parallélisme* de l'algorithme ainsi obtenu.

Une telle approche récursive de conception d'algorithmes permet souvent d'apporter une solution efficace à un problème dans lequel les q sous-problèmes P_m sont des copies réduites du problème initial, et avec m sensiblement égal (à $\lceil n/p \rceil$ par exemple, où p est un entier donné ≥ 2).

Cette méthode nous permet également d'analyser la complexité de l'algorithme qu'elle produit et de calculer des majorants asymptotiques de la taille et de la profondeur du circuit arithmétique correspondant, avec une estimation précise de la constante cachée du « grand $\mathcal{O}$ ».

En effet, supposons que le problème à traiter est le problème n° $n = m_0\, p^\nu$ (m_0, p, $\nu \in \mathbb{N}^*$) et qu'il peut être scindé en q sous-problèmes P_m avec $m = m_0\, p^{\nu-1}$, suceptibles d'être traités en parallèle. Remarquons tout de suite que q est un entier ≥ 2 dépendant éventuellement de ν : c'est pourquoi on écrira, dans le cas général, $q = q(\nu)$.

Le coût $\hat{\kappa}(\nu) = (\tau(\nu), \pi(\nu))$ de cet algorithme où $\tau(\nu)$ (resp. $\pi(\nu)$) désigne la taille (resp. la profondeur) du circuit correspondant, se calcule par récurrence sur ν à l'aide des formules suivantes :

$$\left\{ \begin{array}{rcl} \tau(\nu) & = & q(\nu)\,\tau(\nu-1) \,+\, \tau'(\nu) \\ \pi(\nu) & = & \pi(\nu-1) \,+\, \pi'(\nu) \end{array} \right. \tag{5.1}$$

où $\tau'(\nu)$ (resp. $\pi'(\nu)$) représente la taille (resp. la profondeur) des circuits correspondant à la double opération de partitionnement du problème et de récupération de sa solution à partir des solutions partielles.

L'absence du facteur q dans l'égalité exprimant la profondeur π est due au fait que les q sous-problèmes, de même taille, sont traités *en parallèle* avec des circuits de profondeur maximum $\pi(\nu-1)$.

Si l'on se donne $\tau(0)$ et $\pi(0)$ le système (5.1) ci-dessus admet pour solution :

$$\left\{ \begin{array}{rcl} \tau(\nu) & = & q(1)\,q(2)\,\cdots\,q(\nu)\,\tau(0) + \displaystyle\sum_{i=1}^{\nu} \left[\prod\nolimits_{j=i+1}^{\nu} q(j)\right] \tau'(i) \\ \pi(\nu) & = & \pi(0) + \displaystyle\sum_{i=1}^{\nu} \pi'(i) \end{array} \right. \tag{5.2}$$

Dans le cas où $q = q(\nu)$ est une constante, sachant que la profondeur, ne dépendant pas de q, reste la même, le système (5.2) devient (5.3)

ci-dessous. Nous rappelons précisément les hypothèses dans l'énoncé qui suit.

Proposition 5.1.1 *Soient $m_0, p, q \in \mathbb{N}^*$ fixés et $\nu \in \mathbb{N}^*$ variable. Nous supposons que le problème à traiter est le problème P_n avec $n = m_0\, p^\nu$ et qu'il peut être scindé en q sous-problèmes de type P_m avec $m = m_0\, p^{\nu-1}$, suceptibles d'être traités en parallèle. Nous notons $\tau'(\nu)$ (resp. $\pi'(\nu)$) la taille (resp. la profondeur) des circuits correspondant à la double opération de partitionnement du problème et de récupération de sa solution à partir des solutions partielles. Enfin τ_0 et π_0 sont la taille et la profondeur d'un circuit qui traite le problème P_{m_0}. Alors la taille et profondeur d'un circuit produit en utilisant la méthode « diviser pour gagner » sont :*

$$\left\{ \begin{array}{rcl} \tau(\nu) & = & q^\nu\, \tau_0 + \sum_{i=1}^{\nu} q^{\nu-i}\, \tau'(i) \\ \pi(\nu) & = & \pi_0 + \sum_{i=1}^{\nu} \pi'(i) \end{array} \right. \tag{5.3}$$

En particulier si $\tau'(\nu) = \mathcal{O}(n^r)$ avec $r \neq \log q$ et $\pi'(\nu) = \mathcal{O}(\nu^\ell)$ on obtient :

$$\left\{ \begin{array}{rcl} \tau(\nu) & = & \mathcal{O}(q^\nu) \;=\; \mathcal{O}(n^{\sup(r,\log q)}) \\ \pi(\nu) & = & \mathcal{O}(\nu^{\ell+1}) \;=\; \mathcal{O}(\log^{\ell+1} n) \end{array} \right. \tag{5.4}$$

Donnons un aperçu rapide sur quelques cas particuliers significatifs que nous allons traiter dans la suite.

Dans le calcul parallèle des préfixes section 5.3, nous avons de manière naturelle $p = q = 2$, $r = 1$ et $\ell = 0$ ce qui conduit à une famille de circuits en $\mathcal{SD}(n \log n, \log n)$, et nous verrons qu'on peut encore très légèrement améliorer la borne sur la taille.

Dans la multiplication des polynômes à la Karatsuba section 6.1, nous avons $p = 2$, $q = 3$, $r = 1$ et $\ell = 0$ ce qui conduit à une famille de circuits en $\mathcal{SD}(n^{\log 3}, \log n)$.

Dans la multiplication rapide des matrices à la Strassen section 7.1, nous avons $p = 2$, $q = 7$, $r = 2$ et $\ell = 0$ ce qui conduit à une famille de circuits en $\mathcal{SD}(n^{\log 7}, \log n)$.

Enfin pour l'inversion des matrices triangulaires section 7.2, nous avons $p = 2$, $q = 2$, $r = \alpha$ et $\ell = 1$ ce qui conduit à une famille de circuits en $\mathcal{SD}(n^\alpha, \log^2 n)$.

5.2 Circuit binaire équilibré

L'approche « diviser pour gagner », appliquée à ce premier problème, nous donne la construction d'un type particulier de circuits arithmétiques de taille linéaire et de profondeur $\lceil \log n \rceil$ que l'on appelle les circuits binaires équilibrés (« Balanced Binary Trees »).

Un circuit binaire équilibré est un circuit arithmétique prenant en entrée une liste $(x_1, x_2, \ldots, x_{n-1}, x_n)$ de n éléments d'un monoïde $\mathcal{M}$ (loi associative notée $*$ avec élément neutre noté 1) et donnant en sortie le produit $\Pi = x_1 * x_2 * \cdots * x_{n-1} * x_n$.

On peut supposer $n = 2^\nu$ où $\nu \in \mathbb{N}^*$ quitte à compléter la liste donnée par $2^{\lceil \log n \rceil} - n$ éléments égaux à 1, ce qui ne change pas le résultat.

Le circuit est défini de manière récursive en divisant le problème en deux sous-problèmes de taille $2^{\nu-1}$, qui correspondent à deux « sous-circuits » acceptant chacun en entrée une liste de taille moitié.

Ces deux sous-circuits calculent respectivement et en parallèle les deux produits partiels $\Pi_1 = x_1 * \cdots * x_{2^{\nu-1}}$ et $\Pi_2 = x_{2^{\nu-1}+1} * \cdots * x_{2^\nu}$. On récupère ensuite le produit Π en multipliant ces deux produits partiels.

Ainsi un circuit binaire équilibré pour une entrée de taille 2^ν est défini par récurrence sur ν : pour $\nu = 0$ c'est le circuit trivial $\mathcal{C}_0$ de taille profondeur nulles. Pour $\nu \geq 1$, le circuit $\mathcal{C}_\nu$ prend en entrée une liste de longueur 2^ν, fait agir deux copies du circuit $\mathcal{C}_{\nu-1}$ pour calculer Π_1 et Π_2 qu'il utilise pour récupérer le résultat final $\Pi = \Pi_1 * \Pi_2$ (comme l'indique la figure 5.1 page ci-contre). Si l'on note $\tau(\nu)$ et $\pi(\nu)$ la taille et la profondeur du circuit $\mathcal{C}_\nu$, on obtient les relations :

$$\begin{cases} \tau(\nu) &= 2\tau(\nu-1) + 1 \quad \text{avec } \tau(0) = 0 \\ \pi(\nu) &= \pi(\nu-1) + 1 \quad \text{avec } \pi(0) = 0 \end{cases}$$

qui admet la solution exacte :

$$\begin{cases} \tau(\nu) &= 2^\nu - 1 \\ \pi(\nu) &= \nu\,. \end{cases} \tag{5.5}$$

Proposition 5.2.1 *Un circuit binaire équilibré qui prend en entrée une liste une liste $(x_1, x_2, \ldots, x_{n-1}, x_n)$ dans un monoïde $\mathcal{M}$ et donne en sortie le produit $\Pi = x_1 * x_2 * \cdots * x_{n-1} * x_n$ est un circuit arithmétique de profondeur $\lceil \log n \rceil$. Il est de taille $n-1$ si n est une puissance de*

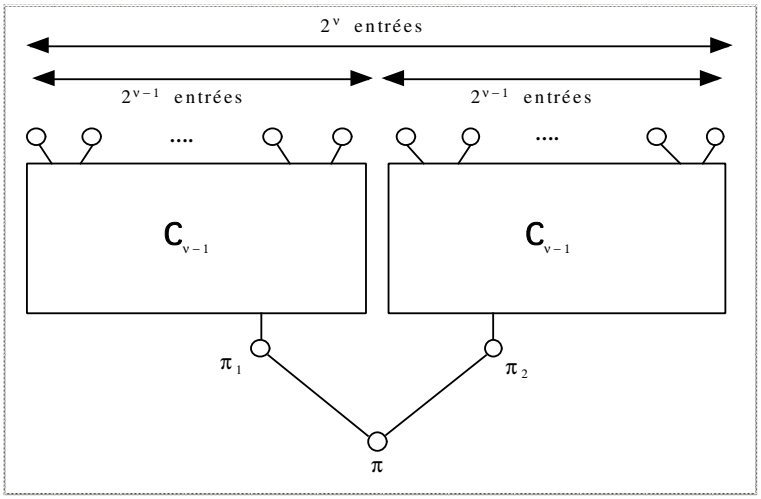

Figure 5.1 – Construction récursive du circuit binaire équilibré $\mathcal{C}_\nu$ (à partir du circuit binaire équilibré $\mathcal{C}_{\nu-1}$)

2, *et cette taille est en tous cas majorée par* $2n-3$ *lorsque* n *n'est pas une puissance de* 2.

Notons qu'on peut trouver une majoration légèrement meilleure de la taille pour $n > 3$.

5.3 Calcul parallèle des préfixes

Étant donnée une liste de n éléments $x_1, x_2, \ldots, x_n$ (ou n-uplet) d'un monoïde $(\mathcal{M}, *, 1)$ dont la loi (en général non commutative) est notée multiplicativement et dont l'élément neutre est noté 1, le problème du calcul des préfixes consiste à calculer les produits partiels

$$\Pi_k = \prod_{i=1}^{k} x_i \quad \text{pour} \quad (1 \leq k \leq n).$$

La solution naïve de ce problème donne un circuit de taille $n-1$ (c'est la taille minimum) et de profondeur $n-1$.

Première méthode de parallélisation

Il est facile de voir que ce calcul peut être parallélisé pour obtenir un circuit de profondeur $\lceil \log n \rceil$.

On peut toujours supposer $n = 2^\nu$ où $\nu = \lceil \log n \rceil \in \mathbb{N}^*$, quitte à compléter la liste donnée par $2^{\lceil \log n \rceil} - n$ copies de l'élément neutre 1.

Ce problème peut se décomposer en deux sous-problèmes de taille $n/2 = 2^{\nu-1}$ qui seront traités en parallèle :

- le calcul des préfixes pour la liste $x_1, x_2, \ldots, x_{2^{\nu-1}}$;
- le calcul des préfixes pour la liste $y_1, y_2, \ldots, y_{2^{\nu-1}}$ où $y_i = x_{2^{\nu-1}+i}$ pour $1 \leq i \leq 2^{\nu-1}$.

La solution du problème principal est ensuite obtenue par multiplication du produit $\Pi_{2^{\nu-1}}$, faisant partie de la solution du premier sous-problème, par les $2^{\nu-1}$ produits partiels des y_i qui constituent la solution du second sous-problème. Cette dernière étape de récupération augmente par conséquent de $2^{\nu-1}$ multiplications la taille du circuit et de 1 sa profondeur.

Pour le cas $n = 7$ par exemple (on prend $n = 8$ pour avoir une puissance de 2 et on fait $x_8 = 1$), on obtient le circuit 5.1 qui montre le déroulement de cette procédure pour le calcul des sept (ou huit) produits $\Pi_1 = x_1$, $\Pi_2 = x_1 * x_2$, $\Pi_3 = x_1 * x_2 * x_3$, ... , $\Pi_7 = x_1 * x_2 * \cdots * x_7$ ($\Pi_8 = \Pi_7$ puisque $x_8 = 1$). Appliquées à notre problème, les relations (5.3)

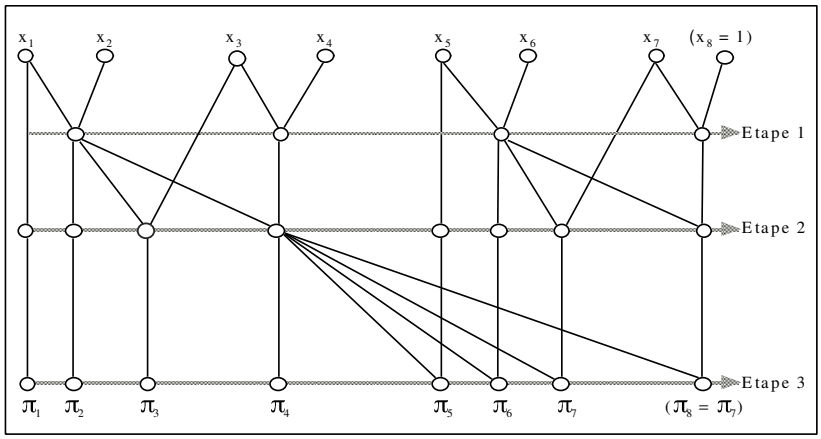

Circuit 5.1: Calcul Parallèle des Préfixes pour $n = 7$

donnent la taille et la profondeur du circuit arithmétique correspondant au calcul parallèle des préfixes pour une liste donnée de taille 2^ν.

Il suffit en effet de faire $p = q = 2$, $\tau'(i) = 2^{i-1}$, $\pi'(i) = 1$ (pour

$i \geq 1)$ et $\tau(0) = \pi(0) = 0$ pour obtenir :

$$\tau(\nu) = \sum_{i=1}^{\nu} 2^{\nu-i} 2^{i-1} = \nu\, 2^{\nu-1} = \frac{n}{2} \log n, \quad \text{et} \quad \pi(\nu) = \sum_{i=1}^{\nu} 1 = \nu = \log n.$$

Ainsi le problème du calcul des préfixes pour une liste de n éléments se parallélise bien, et il admet une solution en $\mathcal{SD}(n \log n, \log n)$ ou encore, en utilisant le principe de Brent (proposition 4.5.3), une solution qui est $PRAM(n, \log n)$.

Ladner & Fischer [64] obtiennent un meilleur résultat en donnant une construction récursive d'un circuit en $\mathcal{SD}(n, \log n)$. C'est ce que nous allons développer au paragraphe suivant.

Amélioration du calcul des préfixes (Ladner & Fischer)

Étant donnés un monoïde $(\mathcal{M}, *, 1)$, un entier $n \geq 2$, et $x_1, \ldots, x_n$ dans $\mathcal{M}$, nous allons construire, à l'instar de Ladner & Fischer [64] deux familles de circuits $(\mathcal{P}_k(n))_{n \in \mathbb{N}^*}$ de tailles $S_k(n)$ $(k \in \{0, 1\})$ majorées respectivement par $4n$ et $3n$ et de profondeurs respectives $D_0(n) = \lceil \log n \rceil$ et $D_1(n) = \lceil \log n \rceil + 1$ qui calculent les préfixes $\Pi_1, \Pi_2, \ldots, \Pi_n$ du n-uplet $(x_1, x_2, \ldots, x_n)$.

Cette construction se fait conjointement et de manière récursive à partir du circuit trivial $\mathcal{P}_0(1) = \mathcal{P}_1(1)$ réduit à une seule porte (la porte d'entrée). La figure 5.2 page suivante montre le déroulement de cette construction récursive conjointe des deux familles $(\mathcal{P}_0(n))_{n \in \mathbb{N}^*}$ et $(\mathcal{P}_1(n))_{n \in \mathbb{N}^*}$.

Construction de la famille $(\mathcal{P}_0(n))_{n \in \mathbb{N}^*}$

On définit récursivement le circuit $\mathcal{P}_0(n)$ à partir des circuits $\mathcal{P}_1(\lfloor \frac{n}{2} \rfloor)$ et $\mathcal{P}_0(\lceil \frac{n}{2} \rceil)$ appliqués respectivement aux entrées $(x_1, \ldots, x_{\lfloor \frac{n}{2} \rfloor})$ et $(x_{\lfloor \frac{n}{2} \rfloor + 1}, \ldots, x_n)$ qui forment une partition de la liste donnée $(x_1, \ldots, x_n)$.

Comme $\mathcal{P}_1(\lfloor \frac{n}{2} \rfloor)$ calcule $\Pi_1, \Pi_2, \ldots, \Pi_{\lfloor \frac{n}{2} \rfloor}$, il suffit d'effectuer en parallèle et en une seule étape les $\lceil \frac{n}{2} \rceil$ multiplications de $\Pi_{\lfloor \frac{n}{2} \rfloor}$ par les $\lceil \frac{n}{2} \rceil$ sorties de $\mathcal{P}_0(\lceil \frac{n}{2} \rceil)$ pour avoir les préfixes $\Pi_{\lfloor \frac{n}{2} \rfloor + 1}, \Pi_{\lfloor \frac{n}{2} \rfloor + 2}, \ldots, \Pi_n$ et par conséquent tous les préfixes $\Pi_1, \Pi_2, \ldots, \Pi_n$ de la liste $(x_1, \ldots, x_n)$.

Partant du circuit trivial $\mathcal{P}_0(1) = \mathcal{P}_1(1)$, la figure 5.3 page 167 illustre cette construction.

La construction du circuit $(\mathcal{P}_1(n))$, quant à elle, se fait à partir du circuit $\mathcal{P}_0(\lfloor \frac{n}{2} \rfloor)$, elle est illustrée par la figure 5.4 page 168.

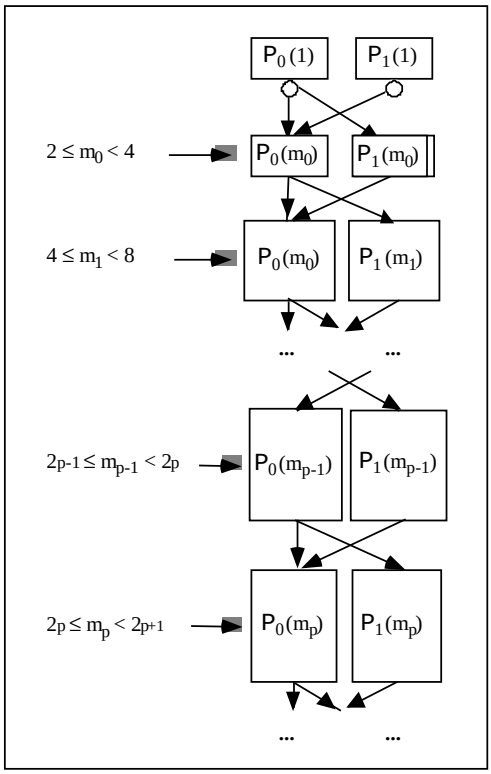

Figure 5.2 – Schéma de la construction récursive des circuits $(\mathcal{P}_k(n))_{n\in\mathbb{N}}$
$(k \in \{0,1\},\ (m_p = 2\,m_{p-1}$ pour $1 \leq p \leq \lceil \log n \rceil)$

Construction de la famille $(\mathcal{P}_1(n))_{n\in\mathbb{N}^*}$

• On commence par calculer en parallèle (c'est-à-dire en une seule étape) les produits $x_1 * x_2,\ x_3 * x_4,\ \cdots,\ x_{2p-1} * x_{2p}$ (où $p = \lfloor \frac{n}{2} \rfloor$) d'un élément de rang impair par l'élément suivant (de rang pair) dans la liste donnée $(x_1, \ldots, , x_n)$ ($n = 2p$ si n est pair et $n = 2p+1$ si n est impair).

• À ce p-uplet on applique le circuit $\mathcal{P}_0(\lfloor \frac{n}{2} \rfloor) = \mathcal{P}_0(p)$ pour obtenir en sortie les p préfixes de longueur paire : $\Pi_2,\ \Pi_4,\ \ldots,\ \Pi_{2p}$.

• On multiplie enfin, et en parallèle, les préfixes $\Pi_2, \Pi_4, \ldots, \Pi_{2p}$ respectivement par les entrées $(x_3, x_5, \ldots, x_{2p-1}$ (et éventuellement x_{2p+1} si n est impair) pour obtenir, en plus de Π_1 ($\Pi_1 = x_1$ est déjà donné), les autres préfixes de longueur impaire : $\Pi_3,\ \Pi_5,\ \ldots,\ \Pi_{2p-1}$ (et éventu-

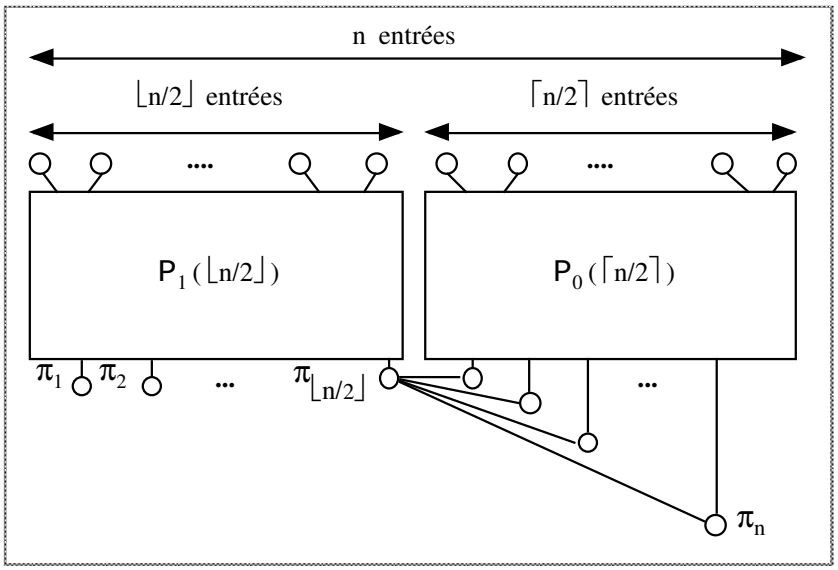

Figure 5.3 – Construction récursive des circuits $\mathcal{P}_0\,(n)$.

ellement Π_{2p+1} si n est impair).

On obtient ainsi le circuit arithmétique parallèle $\mathcal{P}_1\,(n)$ à partir du circuit $\mathcal{P}_0\,(\lfloor \frac{n}{2} \rfloor)$ en ajoutant au maximum deux étapes (à l'entrée et à la sortie) comportant au total $n-1$ opérations arithmétiques ($2p-1$ si n est pair et $2p$ si n est impair).

Les circuits 5.2 page 169 sont des exemples de circuits $\mathcal{P}_0\,(n)$ et $\mathcal{P}_1\,(n)$ pour quelques valeurs de n.

Analyse de la complexité des circuits

Si l'on note $S_k(n)$ (resp. $D_k(n)$) la taille (resp. la profondeur) du circuit $\mathcal{P}_k\,(n)$ pour $n \geq 2$ et $k \in \{0,1\}$, cette construction récursive donne les relations suivantes :

– Pour la taille :

$$\left\{ \begin{array}{lcl} S_1(n) & = & S_0(\lfloor \frac{n}{2} \rfloor) + n - 1 \\ S_0(n) & = & S_1(\lfloor \frac{n}{2} \rfloor) + S_0(\lceil \frac{n}{2} \rceil) + \lceil \frac{n}{2} \rceil \end{array} \right. \tag{5.6}$$

– Pour la profondeur :

$$\left\{ \begin{array}{lcl} D_1(n) & \leq & D_0(\lfloor \frac{n}{2} \rfloor) + 2 \\ D_0(n) & = & \max\{D_0(\lfloor \frac{1}{2} \lfloor \frac{n}{2} \rfloor \rfloor) + 1\,,\, D_0(\lceil \frac{n}{2} \rceil)\} \;+\; 1 \end{array} \right. \tag{5.7}$$

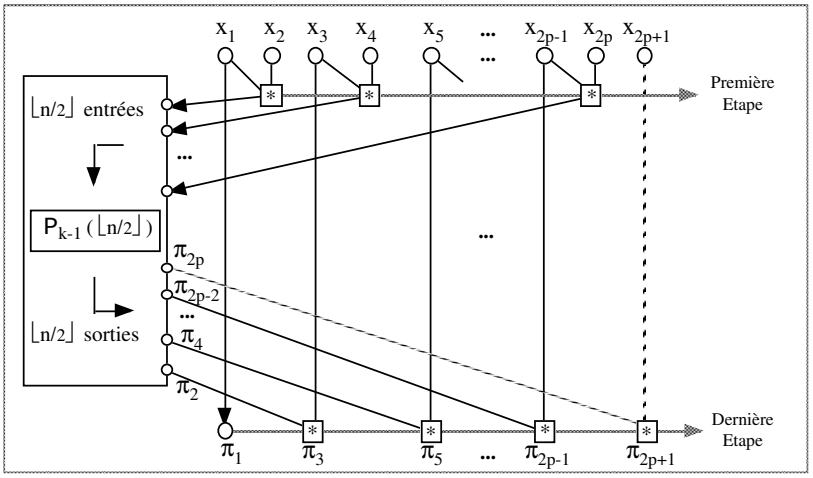

Figure 5.4 – Construction du circuit $\mathcal{P}_1(n)$ à partir du circuit $\mathcal{P}_0(\lfloor \frac{n}{2} \rfloor)$ ($p = \lfloor \frac{n}{2} \rfloor$ et les 2 lignes en pointillé sont absentes si n est pair)

avec $S_k(1) = D_k(1) = 0$ pour tout $k \in \{0, 1\}$.

Il faut remarquer que l'inégalité $D_1(n) \leq D_0(\lfloor \frac{n}{2} \rfloor) + 2$ dans (5.7) peut être stricte (voir par exemple le circuit $\mathcal{P}_1(6)$ dans les circuits 5.2 page ci-contre pour s'en convaincre).

La deuxième équation dans (5.7) est justifiée par le fait que, dans le circuit $\mathcal{P}_0(n)$, le nœud correspondant au produit $\Pi_{\lfloor \frac{n}{2} \rfloor}$ – dont on a besoin pour calculer en une étape supplémentaire les autres préfixes – se trouve exactement à la profondeur $D_0(\lfloor \frac{1}{2} \lfloor \frac{n}{2} \rfloor \rfloor) + 1$ dans le sous-circuit $\mathcal{P}_1(\lfloor \frac{n}{2} \rfloor)$ de $\mathcal{P}_0(n)$ qui calcule ce produit.

Il est facile de voir, à partir des équations (5.7), par une récurrence immédiate sur n, que les profondeurs $D_k(n)$ des circuits $\mathcal{P}_k(n)$ pour $k \in \{0, 1\}$ vérifient :

$$D_0(n) = \lceil \log n \rceil \qquad \text{et} \qquad D_1(n) \leq \lceil \log n \rceil + 1 \,.$$

Pour calculer les tailles des circuits à partir des équations (5.6), nous allons d'abord considérer le cas où n est une puissance de 2 en faisant $n = 2^\nu$ où $\nu = \lceil \log n \rceil$.

Posant $\tau_k(\nu) = S_k(2^\nu)$ avec $\tau_k(0) = 0$ pour $k \in \{0, 1\}$ les équations (5.6) deviennent :

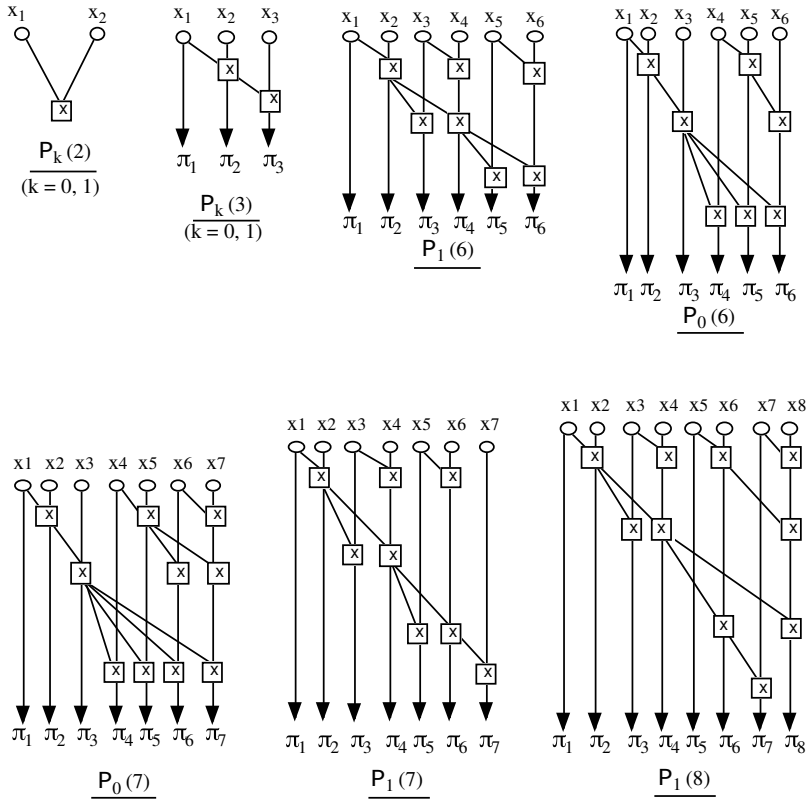

Circuit 5.2: Circuits $\mathcal{P}_0(n)$, $\mathcal{P}_1(n)$ pour quelques valeurs de n.

$$\begin{cases} \tau_0(\nu) &= \tau_0(\nu-1)+\tau_0(\nu-2)+2^\nu-1 \\ \tau_1(\nu) &= \tau_1(\nu-1)+\tau_1(\nu-2)+3.2^{\nu-2}\,. \end{cases} \tag{5.8}$$

Posant $u_0(\nu)=4.2^\nu+1-\tau_0(\nu)$ et $u_1(\nu)=3.2^\nu-\tau_1(\nu)$, les relations (5.8) permettent de vérifier que $u_k(\nu+2)=u_k(\nu+1)+u_k(\nu)$ ($\nu\in\mathbb{N}$, $k\in\{0,1\}$). Comme $u_0(0)=5$, $u_0(1)=8$, $u_1(0)=3$ et $u_1(1)=5$, on en déduit que :

$$u_0(\nu)=F(\nu+5) \text{ et } u_1(\nu)=F(\nu+4)$$

où $(F(\nu))_{\nu\in\mathbb{N}}$ est la suite de Fibonacci [1]. Par conséquent :

1. La suite de Fibonacci est définie par $F(0)=0$, $F(1)=1$ et la relation $F(\nu+2)=F(\nu+1)+F(\nu)$ pour tout $\nu\in\mathbb{N}$.

$$\left\{ \begin{array}{lcl} \tau_0(\nu) & = & 4.2^\nu + 1 - F(\nu+5) \\ \tau_1(\nu) & = & 3.2^\nu - F(\nu+4)\,. \end{array} \right. \tag{5.9}$$

qui donne, lorsque n est une puissance de 2, les majorations souhaitées. Dans le cas contraire, il est facile – en utilisant directement les relations (5.7) – d'obtenir, par récurrence sur n, les majorations suivantes vraies pour tout $n \geq 2$:

$$S_0(n) \leq 4\,n - 7 \quad \text{et} \quad S_1(n) \leq 3\,n - 3\,.$$

Ce qui donne le résultat suivant de Ladner & Fischer ([64]) qui montre que le calcul des préfixes est $PRAM(n/\log n, \log n)$:

Théorème 5.1 (Ladner & Fischer) *Le calcul des préfixes d'une liste de n éléments dans un monoïde (non nécessairement commutatif) se fait par un circuit arithmétique parallèle de profondeur $\lceil \log n \rceil$ et de taille inférieure à $4n$ et aussi par un circuit arithmétique parallèle de profondeur $1 + \lceil \log n \rceil$ et de taille inférieure à $3n$.*

6. Multiplication rapide des polynômes

Introduction

Soit $\mathcal{A}$ un anneau commutatif unitaire et $\mathcal{A}[X]$ l'anneau des polynômes à une indéterminée sur $\mathcal{A}$.

Le produit de deux polynômes $A = \sum_{i=0}^{n} a_i X^i$ et $B = \sum_{i=0}^{m} b_i X^i$ est défini par

$$C = AB = \sum_{k=0}^{m+n} c_k X^k \quad \text{avec} \quad c_k = \sum_{i=0}^{k} a_i b_{k-i} \quad \text{pour} \quad 0 \leq k \leq m+n\,.$$

L'algorithme usuel pour le calcul des coefficients du polynôme C correspond à un circuit arithmétique de profondeur $\mathcal{O}(\log m)$ (si l'on suppose $m \leq n$) et de taille $\mathcal{O}(mn)$ avec précisément $(m+1)\,(n+1)$ multiplications et mn additions dans l'anneau de base $\mathcal{A}$. Pour $m = n$, cela donne un algorithme en $\mathcal{SD}(n^2, \log n)$.

Dans les trois premières sections nous exposons deux façons d'améliorer la multiplication des polynômes.

Dans la section 6.1 nous expliquons la méthode de Karatsuba, facile à implémenter pour n'importe quel anneau commutatif, avec un résultat en $\mathcal{SD}(n^{\log 3}, \log n)$.

Un bien meilleur résultat est obtenu en $\mathcal{SD}(n \log n, \log n)$ grâce à la transformation de Fourier discrète ([AHU, Knu]) pour un anneau auquel s'applique une telle transformation. Ceci fait l'objet des sections 6.2 et 6.3.1.

Dans la section 6.3.2 nous exposons une amélioration due à Cantor et Kaltofen [13] qui ont étendu le résultat à tout anneau commutatif unitaire en exhibant un algorithme en $\mathcal{SD}(n \log n \, \log\log n, \log n)$ (avec

le même nombre de multiplications dans l'anneau de base, le facteur $\log\log n$ étant dû à l'augmentation du nombre d'additions). Pour réaliser ce travail il a fallu l'adjonction de racines principales de l'unité à l'anneau considéré. On peut comparer la borne obtenue avec la meilleure borne inférieure actuellement connue, qui est $\mathcal{O}(n)$.

Dans la section 6.4 nous donnons le lien entre la multiplication des polynômes et celle des matrices de Toeplitz triangulaires inférieures. Nous en déduisons un résultat de complexité intéressant concernant le produit d'une matrice de Toeplitz arbitraire par une matrice arbitraire.

6.1 Méthode de Karatsuba

Considérons deux polynômes arbitraires A et B et leur produit C. Si les polynômes A et B sont de degré $< d$ (déterminés chacun par d coefficients), leur produit $C = AB$ peut être calculé en appliquant directement la formule qui le définit. Il y a alors d^2 multiplications et $(d-1)^2$ additions. Les d^2 multiplications peuvent être calculées en une seule étape de calcul parallèle et les $2d-1$ coefficients de C sont ensuite calculés en $\lceil \log d \rceil$ étapes parallèles (le coefficient réclamant l'addition la plus longue est celui de degré $d-1$).

Une première façon d'améliorer cette multiplication est d'adopter une démarche récursive basée sur le fait que le produit de deux polynômes de degré 1 peut s'effectuer avec seulement 3 multiplications au lieu de 4 (le nombre d'additions/soustractions passant de 1 à 4). En effet, on peut calculer $a + bX + cX^2 = (a_1 + a_2X)\,(b_1 + b_2X)$ en posant :

$$a = a_1b_1, \qquad c = a_2b_2, \qquad b = (a_1 + a_2)\,(b_1 + b_2) - (a + c), \tag{6.1}$$

ce qui correspond à un circuit arithmétique de profondeur totale 3, de largeur 4 et de profondeur multiplicative 1.

Considérons maintenant deux polynômes arbitraires A et B et leur produit C. Ces polynômes s'écrivent de manière unique, sous la forme :

$$\left\{\begin{array}{lcl} A & = & A_1(X^2) + X\,A_2(X^2) \\ B & = & B_1(X^2) + X\,B_2(X^2) \\ C & = & C_1(X^2) + X\,C_2(X^2) \end{array}\right.$$

avec $C_1 = A_1B_1 + X\,A_2B_2$ et $C_2 = A_1B_2 + A_2B_1$. Si A_1, B_1, A_2, B_2 sont de degrés $\leq k-1$ (avec k coefficients) alors A et B sont de degré $\leq 2k-1$ (avec $2k$ coefficients).

Supposons qu'un programme d'évaluation $Kara^{(k)}$ calcule les coefficients du produit de deux polynômes arbitraires de degré $\leq k-1$, avec une profondeur multiplicative égale à $\mu^{(k)}$, une profondeur totale égale à $\pi^{(k)}$, une largeur égale à $\lambda^{(k)}$, un nombre de multiplications égal à $m^{(k)}$, un nombre d'additions/soustractions égal à $a^{(k)}$, et donc avec pour nombre total d'opérations arithmétiques $s^{(k)} = a^{(k)} + m^{(k)}$. L'utilisation des équations (6.1) donne un circuit arithmétique $Kara^{(2k)}$ que nous avons décrit schématiquement dans le programme d'évaluation 6.1.

Programme d'évaluation 6.1 $Kara^{(2k)}$

Entrée : Les $4k$ coefficients dans $\mathcal{A}$ (un anneau commutatif arbitraire) de deux polynômes de degré $< 2k$: $A(X) = A_1(X^2) + X\,A_2(X^2)$ et $B(X) = B_1(X^2) + X\,B_2(X^2)$.
Sortie : Les coefficients du produit des deux polynômes : $C(X) = C_1(X^2) + X\,C_2(X^2)$.

Début
profondeur 1 :
  $D_1 := A_1 + A_2$; $D_2 := B_1 + B_2$
profondeur $\pi^{(k)}$:
  $D_3 := Kara^{(k)}(A_1, B_1)$; $D_4 := Kara^{(k)}(A_2, B_2)$
profondeur $\pi^{(k)} + 1$:
  $D_5 := Kara^{(k)}(D_1, D_2)$; $D_6 := D_3 + D_4$; $C_1 := D_3 + X D_4$
profondeur $\pi^{(k)} + 2$:
  $C_2 := D_5 - D_6$
Fin.

Notez que la ligne écrite avec la profondeur $\pi^{(k)}$ représente la dernière ligne des deux programmes d'évaluation $Kara^{(k)}(A_1, B_1)$ et $Kara^{(k)}(A_2, B_2)$, qui ont démarré en parallèle avec les deux affectations indiquées sur la ligne de profondeur 1. Sur la ligne écrite avec la profondeur $\pi^{(k)}+1$, la première affectation correspond à la dernière ligne du programme d'évaluation $Kara^{(k)}(D_1, D_2)$ qui a commencé à la profondeur 2, tandis que les deux autres affectations sont effectuées à la profondeur $\pi^{(k)} + 1$.

On constate donc que lorsqu'on passe de $Kara^{(k)}$ à $Kara^{(2k)}$ selon la méthode décrite dans le programme d'évaluation 6.1 :

- la profondeur passe de $\pi^{(k)}$ à $\pi^{(2k)} = \pi^{(k)} + 2$,
- la profondeur multiplicative n'a pas changé ($\mu^{(2k)} = \mu^{(k)}$),

- la largeur passe de $\lambda^{(k)}$ à $\lambda^{(2k)} = \sup(3\,\lambda^{(k)}, \lambda^{(k)} + 4k - 2)$,
- le nombre de multiplications est maintenant $m^{(2k)} = 3m^{(k)}$,
- le nombre d'additions/soustractions ([1]) est $a^{(2k)} = k + k + 3a^{(k)} + (2k-1) + (2k-2) + (2k-1) = 3a^{(k)} + 8k - 4$,
- et le nombre total d'opérations arithmétiques passe de $s^{(k)}$ à $s^{(2k)} = 3s^{(k)} + 8k - 4$.

En comparaison, pour la multiplication usuelle des polynômes, le nombre de multiplications passe de $\tilde{m}^{(k)} = k^2$ à $\tilde{m}^{(2k)} = 4k^2 = 4\tilde{m}^{(k)}$, le nombre d'additions/soustractions de $\tilde{a}^{(k)} = (k-1)^2$ à $\tilde{a}^{(2k)} = (2k-1)^2 = 4\tilde{a}^{(k)} + 4k - 3$ et le nombre total d'opérations arithmétiques de $\tilde{s}^{(k)}$ à $\tilde{s}^{(2k)} = 4\tilde{s}^{(k)} + 4k - 3$.

Si on veut minimiser le nombre de multiplications on initialisera la processus récursif avec $Kara^{(1)}$ (le produit de deux constantes) et on mettra en place les circuits arithmétiques successifs $Kara^{(2)}$, $Kara^{(4)}$, $Kara^{(8)}$, ..., $Kara^{(2^\nu)}$ selon la procédure décrite ci-dessus. Le circuit $Kara^{(2^\nu)} = Kara_\nu$ est ensuite utilisé pour le produit de deux polynômes de degrés $< n = 2^\nu$ et $\geq 2^{\nu-1}$. Pour deux polynômes de degré exactement $n-1$ on aura ainsi remplacé le circuit arithmétique usuel qui utilise $4^\nu = n^2$ multiplications par un circuit arithmétique $Kara^{(n)} = Kara_\nu$ qui utilise $3^\nu = n^{\log 3} \simeq n^{1.585}$ multiplications [2]. Le gain concernant le nombre total d'opérations arithmétiques est du même style. En notant s_ν pour $s^{(n)}$, on passe en effet de s_ν à $s_{\nu+1} = 3\,s_\nu + 8.2^\nu - 4$. Les premières valeurs de s_ν sont $s_0 = 1$, $s_1 = 7$, $s_2 = 33$ et la relation de récurrence se résoud avec l'aide de Maple en :

$$s_\nu = 7 \cdot 3^\nu - 8 \cdot 2^\nu + 2.$$

En fait s_ν devient meilleur que $4^n + (2^n - 1)^2$ à partir de $\nu = 4$ (pour des polynômes de degré 15). Enfin, concernant la largeur λ_ν du circuit arithmétique $Kara_\nu$, la résolution de la récurrence donne $\lambda_\nu = 2 \cdot 3^\nu$ pour $\nu \geq 2$.

Nous pouvons conclure avec la proposition suivante.

Proposition 6.1.1 *La multiplication de deux polynômes de degré $\leq n$ par la méthode de Karatsuba se fait en $\mathcal{SD}(n^{\log 3}, \log n)$. Plus précisément, le produit de deux polynômes de degrés $< 2^\nu = n$ peut être réalisé*

1. On ne compte pas les opérations de substitution de X^2 à X ou vice-versa, ni les multiplications par X ou par X^2, qui reviennent en fait à des décalages de coefficients.

2. $\log 3 = 1.584962500721156181453738943 94$.

par un circuit arithmétique de profondeur multiplicative 1*, de profondeur totale* $1+2\,\nu$*, de largeur* $2\cdot 3^\nu = 2\,n^{\log 3}$*, avec* $3^\nu = n^{\log 3}$ *multiplications et* $6\cdot 3^\nu - 8\cdot 2^\nu + 2 = 6n^{\log 3} - 8n + 2$ *additions/soustractions.*

Notons que pour deux polynômes dont les degrés sont compris entre $2^{\nu-1}$ et 2^ν, on obtient seulement les majorations suivantes en appelant n le plus grand degré : $3 + 2\,\log n$ pour la profondeur, $6\,n^{\log 3}$ pour la largeur et $21\,n^{\log 3} - 8\,n + 2$ pour la taille du circuit.

Remarquons qu'on aurait pu envisager une autre partition de coefficients des polynômes A et B pour une application récursive, à savoir

$$A = A_1 + X^k A_2 \quad \text{et} \quad B = B_1 + X^k B_2\,.$$

avec A_i et B_i de degrés $\leq k-1$, A et B de degrés $\leq 2k-1$. Alors $C = A\,B = A_1\,B_1 + X^k(A_1\,B_2 + A_2\,B_1) + X^{2k}\,A_2\,B_2$. Une procédure récursive basée sur cette partition produirait des circuits arithmétiques avec une estimation analogue à la précédente pour ce qui concerne la taille mais une profondeur de $1 + 3\,\log n$ au lieu de $1 + 2\,\log n$ (pour le produit de deux polynômes de degré $n-1$ lorsque $n = 2^\nu$).

6.2 Transformation de Fourier discrète usuelle

Un bien meilleur résultat, que nous exposons dans cette section et la suivante, est obtenu en $\mathcal{SD}(n\log n, \log n)$ grâce à la *transformation de Fourier discrète* pour un anneau auquel s'applique une telle transformation. La transformation de Fourier discrète, que nous désignerons ici par le sigle TFD, est définie sur un anneau commutatif unitaire $\mathcal{A}$, pour un entier donné $n \geq 2$, à condition de disposer dans $\mathcal{A}$ d'une *racine* n*-ème principale* de 1, c'est-à-dire d'un élément $\xi \in \mathcal{A}$ vérifiant :

$$\xi \neq 1\,,\ \xi^n = 1\,,\ \text{et}\ \sum_{j=0}^{n-1} \xi^{ij} = 0\ \text{pour}\ i = 1, \ldots, n-1\,.$$

Dans un anneau intègre, toute racine primitive[3] n-ème de 1 est principale, mais ceci peut-être mis en défaut dans un anneau contenant des diviseurs de zéro. Dans un anneau intègre, s'il y a une racine primitive n-ème de 1, il y en a $\varphi(n)$ où φ désigne l'indicatrice d'Euler. Dans $\mathbb{C}$, les racines n-èmes principales de 1 sont les nombres complexes $\mathrm{e}^{2ik\pi/n}$ tels que $1 \leq k < n$ et k premier avec n.

3. C'est un ξ tel que $\xi^n = 1$ mais $\xi^m \neq 1$ si $1 \leq m < n$.

Il est clair que si ξ est une racine n-ème principale de 1, alors il en est de même de ξ^{-1}.

Définition 6.2.1 *La transformation de Fourier discrète d'ordre n sur $\mathcal{A}$, associée à la racine principale ξ, est l'application linéaire*

$$\mathrm{TFD}_{n,\xi} \ : \ \mathcal{A}^n \longrightarrow \mathcal{A}^n$$

définie, pour tout $(a_0, a_1, \ldots, a_{n-1}) \in \mathcal{A}^n$ par :

$$\mathrm{TFD}_{n,\xi}\,(a_0, a_1, \ldots, a_{n-1}) = (A(1), A(\xi), \ldots, A(\xi^{n-1}))$$

où A est le polynôme $A(X) = a_0 + a_1X + \ldots + a_{n-1}X^{n-1}$.

Cette application peut aussi être vue comme un homomorphisme de $\mathcal{A}$-algèbres

$$\mathrm{TFD}_{n,\xi} \ : \ \mathcal{A}[X]\,/\langle X^n - 1\rangle \longrightarrow \mathcal{A}^n$$

qui à tout polynôme A de degré $\leq n-1$ associe le vecteur formé des valeurs de A aux points $1, \xi, \ldots, \xi^{n-1}$. En effet, en notant $\odot$ la loi produit (coordonnée par coordonnée) de l'algèbre $\mathcal{A}^n$, il est immédiat de vérifier que :

$$\mathrm{TFD}_{n,\xi}(AB) = \mathrm{TFD}_{n,\xi}(A) \odot \mathrm{TFD}_{n,\xi}(B)\,.$$

En tant qu'application linéaire, $\mathrm{TFD}_{n,\xi}$ est représentée dans les bases canoniques par la matrice de Vandermonde particulière :

$$W_{n,\xi} = \begin{bmatrix} 1 & 1 & 1 & \ldots & 1 \\ 1 & \xi & \xi^2 & \ldots & \xi^{n-1} \\ 1 & \xi^2 & \xi^4 & \ldots & \xi^{2(n-1)} \\ \vdots & \vdots & \vdots & \ddots & \vdots \\ 1 & \xi^{n-1} & \xi^{2(n-1)} & \ldots & \xi^{(n-1)^2} \end{bmatrix}.$$

Si, de plus, $n\,1_{\mathcal{A}}$ est inversible dans l'anneau $\mathcal{A}$ (on désignera par n^{-1} son inverse), alors la matrice $W_{n,\xi}$ est inversible dans $\mathcal{A}^{n\times n}$ et on vérifie qu'elle admet pour inverse la matrice

$$W_{n,\xi}^{-1} = n^{-1} \begin{bmatrix} 1 & 1 & 1 & \ldots & 1 \\ 1 & \xi^{-1} & \xi^{-2} & \ldots & \xi^{1-n} \\ 1 & \xi^{-2} & \xi^{-4} & \ldots & \xi^{2(1-n)} \\ \vdots & \vdots & \vdots & \ddots & \vdots \\ 1 & \xi^{1-n} & \xi^{2(1-n)} & \ldots & \xi^{-(n-1)^2} \end{bmatrix} = n^{-1}\,W_{n,\xi^{-1}}\,.$$

Dans ce cas, modulo l'identification précédente, l'application $\mathrm{TFD}_{n,\xi}$ est un isomorphisme d'algèbres $\mathrm{TFD}_{n,\xi} : \mathcal{A}[X]/\langle X^n - 1\rangle \longrightarrow \mathcal{A}^n$. Nous énonçons ce résultat.

Proposition 6.2.2 *Supposons que l'anneau commutatif $\mathcal{A}$ possède une racine n - ème principale de 1, notée ξ, et que $n\,1_{\mathcal{A}}$ est inversible dans $\mathcal{A}$. Alors la transformation de Fourier discrète $\mathrm{TFD}_{n,\xi} : \mathcal{A}^n \longrightarrow \mathcal{A}^n$ est un isomorphisme de $\mathcal{A}$ – modules, et $\mathrm{TFD}_{n,\xi}^{-1} = (n1_{\mathcal{A}})^{-1}\mathrm{TFD}_{n,\xi^{-1}}$. Par ailleurs, si on identifie le $\mathcal{A}$ – module $\mathcal{A}^n$ source de l'application linéaire $\mathrm{TFD}_{n,\xi}$ avec $\mathcal{A}[X]/\langle X^n - 1\rangle$ (en choisissant le représentant de degré $\leq n$ et en l'exprimant sur la base des monômes) alors $\mathrm{TFD}_{n,\xi}$ définit un isomorphisme de l'algèbre $\mathcal{A}[X]/\langle X^n - 1\rangle$ (munie de la multiplication des polynômes) vers l'algèbre $\mathcal{A}^n$ (munie de la multiplication $\odot$ coordonnée par coordonnée). En bref, pour deux polynômes de degré $< n$, on a :*

$$AB \equiv TFD_{n,\xi}^{-1}\left(TFD_{n,\xi}(A) \odot TFD_{n,\xi}(B)\right) \text{ modulo } (X^n - 1).$$

C'est la clé de l'algorithme de multiplication rapide, que nous explicitons dans la section suivante.

6.3 Transformation de Fourier discrète rapide

6.3.1 Cas favorable

Le résultat énoncé dans la proposition 6.2.2 précédente peut être appliqué au calcul du produit $AB = \sum_{k=0}^{2n-1} c_k X^k$ de deux polynômes $A = \sum_{i=0}^{n-1} a_i X^i$ et $B = \sum_{i=0}^{n-1} b_i X^i$ à une indéterminée sur $\mathcal{A}$, à condition que l'anneau $\mathcal{A}$ s'y prête. Nous supposons qu'il possède une racine $2n$ - ème principale ω de 1, et que $(2n)\,1_{\mathcal{A}}$ est inversible dans $\mathcal{A}$, alors la proposition 6.2.2 pour la TFD d'ordre $2n$ sur l'anneau $\mathcal{A}$ se traduit par :

$$AB = TFD_{2n,\omega}^{-1}\left(TFD_{2n,\omega}(A) \odot TFD_{2n,\omega}(B)\right).$$

car le calcul de AB modulo $X^{2n} - 1$ donne exactement AB. Le calcul du produit AB de deux polynômes de degrés inférieur ou égal à n par la TFD est résumé dans l'algorithme 6.2 page suivante.

Le lemme suivant nous permet tout d'abord de montrer comment une TFD d'ordre 2^ν peut être effectuée rapidement au moyen d'une stratégie « diviser pour gagner ».

Algorithme 6.2 ***Multiplication des polynômes via la Transformation de Fourier Discrète.***

Entrée : Deux polynômes A et B de degrés $< n$ sur un anneau $\mathcal{A}$ convenable (voir proposition 6.2.2).
Sortie : Le produit $A\,B$.

Début
Étape 1 :
Deux TFD d'ordre $2n$ appliquées à A et B.
Étape 2 :
Évaluation de $2n$ multiplications dans $\mathcal{A}$ pour obtenir la transformée de Fourier discrète de $A\,B$.
Étape 3 :
Calcul de l'inverse d'une TFD d'ordre $2n$ pour obtenir $A\,B$.
Fin.

Lemme 6.3.1 *Soit n un entier ≥ 2 et $\nu = \lceil \log n \rceil$. La transformation de Fourier discrète d'ordre n et son inverse, dans un anneau possédant une racine 2^ν - ème principale de 1 et dans lequel $2_{\mathcal{A}}$ est inversible, se font en $\mathcal{SD}(n \log n, \log n)$. Plus précisément, la taille $S(n)$ et la profondeur $D(n)$ du circuit arithmétique correspondant sont respectivement majorées par $n\,(3\,\log n + 3)$ et $2\,\log n + 2$ pour la transformation directe et par $n\,(3\,\log n + 4)$ et $2\,\log n + 3$ pour la transformation inverse.*

Preuve. Soit $A = \sum_{i=0}^{n-1} a_i X^i$ un polynôme de degré $\leq n-1$ à coefficients dans $\mathcal{A}$, $\nu = \lceil \log n \rceil$ (de sorte que $2^{\nu-1} < n \leq 2^\nu$) et ω une racine 2^ν - ème principale de 1. Il s'agit de calculer les valeurs de A aux points $1, \omega, \omega^2, \ldots, \omega^{2^\nu - 1}$. Le polynôme A peut être mis sous la forme $A = A_1\,(X^2) + X\,A_2\,(X^2)$ avec $\deg A_1, \deg A_2 \leq 2^{\nu-1} - 1$.

Remarquons que $\xi = \omega^2$ est une racine $2^{\nu-1}$ - ème principale de 1, que $\omega^{2^{\nu-1}} = -1$ et que $A\,(\omega^i) = A_1\,(\xi^i) + \omega^i\,A_2\,(\xi^i)$ pour $0 \leq i \leq 2^{\nu-1} - 1$. Comme $\omega^{2^{\nu-1}+i} = -\omega^i$, on a aussi $A\,(\omega^{2^{\nu-1}+i}) = A_1\,(\xi^i) - \omega^i\,A_2\,(\xi^i)$ pour $0 \leq i \leq 2^{\nu-1} - 1$.

Ce qui donne toutes les valeurs recherchées de A et ramène récursivement l'évaluation de A en les 2^ν points ω^i $(0 \leq i \leq 2^\nu - 1)$, c'est-à-dire la TFD d'ordre 2^ν, au calcul suivant :

- deux TFD d'ordre $2^{\nu-1}$ appliquées à A_1 et A_2 et effectuées en parallèle ;

- $2^{\nu-1}$ multiplications (par les $\pm\omega^i$ avec $0 \leq i \leq 2^{\nu-1}-1$) effectuées en parallèle et en une seule étape de calcul, suivies de 2^ν additions dans l'anneau de base $\mathcal{A}$ effectuées également en une seule étape parallèle.

Si S et D désignent respectivement la taille et la profondeur de l'algorithme récursif ainsi défini, on obtient les relations suivantes valables pour tout entier $\nu \geq 1$:

$$\begin{cases} S(2^\nu) & \leq & 2\,S(2^{\nu-1}) + 3\,2^{\nu-1} \\ D(2^\nu) & \leq & D(2^{\nu-1}) + 2\,. \end{cases}$$

Ce qui donne, par sommation, sachant que $S(1) = D(1) = 0$:

$$\begin{cases} S(2^\nu) & \leq & 3\,\nu\,2^{\nu-1} \\ D(2^\nu) & \leq & 2\,\nu\,. \end{cases}$$

Comme $2^{\nu-1} < n \leq 2^\nu$ et par conséquent $\nu - 1 < \log n$, on en déduit que $S(n) < 3\,n\,(1+\log n)$ et que $D(n) < 2\,(1+\log n)$.

Pour la TFD inverse d'ordre n, nous avons vu que $TFD^{-1}_{n,\omega} = (n\,1_{\mathcal{A}})^{-1}\,TFD_{n,\omega^{-1}}$. Cela signifie que l'on peut récupérer les coefficients du polynôme A de degré $\leq n-1$, à partir du vecteur $\vec{A} = (A(1), A(\omega), \ldots, A(\omega^{n-1}))$ formé des valeurs de ce polynôme aux points ω^i, en effectuant sur le vecteur $\vec{A}$ la TFD d'ordre n associée à la racine principale $\omega^{-1} = \omega^{n-1}$ et en multipliant ensuite ce vecteur par $(n\,1_{\mathcal{A}})^{-1}$. Par conséquent, la TFD inverse d'ordre n peut se faire par un circuit arithmétique de taille $S(n)+n$ et de profondeur $D(n)+1$. □

Ce résultat et l'algorithme 6.2 qui a introduit le lemme 6.3.1 nous permettent d'estimer avec précision la complexité de l'algorithme de la multiplication rapide des polynômes et d'énoncer le théorème suivant.

Théorème 6.1 *On considère un anneau $\mathcal{A}$ possédant une racine $2^{\nu+1}$-ème principale de 1 et dans lequel $2_{\mathcal{A}}$ est inversible.*
Alors, en utilisant l'algorithme 6.2 avec l'évaluation récursive décrite dans la preuve du lemme 6.3.1, la multiplication de deux polynômes de degrés $< n \leq 2^\nu$ à coefficients dans $\mathcal{A}$ se fait à l'aide d'un circuit arithmétique de taille $\leq n\,(18\,\log n + 44)$ et de profondeur $\leq 4\,\log n + 10$.

Preuve. Supposons d'abord $n = 2^\nu$. On exécute en parallèle deux TFD d'ordre $2n$ suivies d'une étape parallèle avec $2n$ multiplications dans l'anneau de base, et on termine par une transformation inverse d'ordre

$2n$. La preuve du lemme 6.3.1 donne la majoration de la taille par $9(\nu+1)\,2^\nu+4n = 9\,n\,\log n+13\,n$ et de la profondeur par $4\,\nu+6 = 4\,\log n+6$. Dans le cas général, il faut remplacer n par $2n$ et $\log n$ par $1+\log n$. □

Rappelons que pour un anneau $\mathcal{A}$ fixé par le contexte, nous notons $\mu_P(n)$ le nombre d'opérations arithmétiques nécessaires pour la multiplication de deux polynômes de degré n en profondeur $\mathcal{O}(\log n)$. Le théorème précédent nous dit donc qu'on a $\mu_P(n) = \mathcal{O}(n\,\log n)$ si $2_{\mathcal{A}}$ est inversible et si l'anneau possède des racines 2^ν-èmes principales de l'unité pour tout ν.

6.3.2 Algorithme de la TFD rapide pour un anneau commutatif arbitraire

L'algorithme que nous venons de développer n'est pas valable lorsque $2_{\mathcal{A}}$ divise zéro dans l'anneau $\mathcal{A}$ (puisque, dans un tel anneau, la division par 2 ne peut pas être définie de manière unique, même lorsqu'elle est possible). On peut essayer de contourner cette difficulté en remplaçant 2 par un entier $s \geq 2$ tel que $s\,1_{\mathcal{A}}$ ne divise pas zéro dans $\mathcal{A}$. Lorsqu'un tel entier $s \geq 2$ existe, et à supposer qu'on dispose d'une racine principale s-ème de 1 dans $\mathcal{A}$, il faut encore disposer d'un algorithme performant pour la division par s (quand elle est possible) pour pouvoir effectuer la transformation de Fourier inverse. En outre, un tel entier s n'existe pas nécessairement.

Pour se débarrasser radicalement de ce problème, l'idée de Cantor-Kaltofen dans [13] est de calculer séparément uAB et vAB avec deux entiers u et v premiers entre eux, puis de récupérer AB en utilisant une relation de Bezout entre u et v. Par exemple, on prend $u = 2^\nu \geq 2n$ et $v = 3^\mu \geq 2n$. On calcule sans aucune division $2^\nu AB$ par la formule

$$2^\nu AB = TFD_{2^\nu,\omega_{2,\nu}^{-1}}\left(TFD_{2^\nu,\omega_{2,\nu}}(A) \odot TFD_{2^\nu,\omega_{2,\nu}}(B)\right).$$

(où $\omega_{2,\nu}$ est une racine 2^ν-ème principale de 1). De même, on calcule $3^\mu AB$ par la formule

$$3^\mu AB = TFD_{3^\mu,\omega_{3,\mu}^{-1}}\left(TFD_{3^\mu,\omega_{3,\mu}}(A) \odot TFD_{3^\mu,\omega_{3,\mu}}(B)\right)$$

(où $\omega_{3,\mu}$ est une racine 3^μ-ème principale de 1).

Il reste néanmoins un obstacle de taille, qui consiste en la nécessité de rajouter un substitut formel à $\omega_{2,\nu}$ (et $\omega_{3,\mu}$) lorsqu'on ne les a pas

sous la main dans l'anneau $\mathcal{A}$. Or l'idée toute simple de faire les calculs dans l'anneau $\mathcal{A}[\lambda_{2,\nu}]$, où $\lambda_{2,\nu}$ est un susbstitut formel de $\omega_{2,\nu}$ ne donne pas le résultat souhaité. En effet, une opération arithmétique dans l'anneau $\mathcal{A}[\lambda_{2,\nu}]$ correspond a priori à grosso modo n opérations arithmétiques dans $\mathcal{A}$, ce qui annule le bénéfice de la transformation de Fourier discrète.

L'idée de Cantor et Kaltofen pour résoudre ce deuxième problème est d'appliquer une stratégie « diviser pour gagner », un peu semblable à celle du lemme 6.3.1.

La définition précise de l'anneau $\mathcal{A}[\lambda_{2,\nu}]$ et la description de l'algorithme font appel aux *polynômes cyclotomiques*, dont nous rappelons maintenant quelques propriétés.

Le n-ème polynôme cyclotomique est défini à partir d'une racine n-ème primitive de 1, c'est-à-dire un générateur ω_n du groupe multiplicatif (cyclique) des racines n-èmes de 1 dans une clôture algébrique de $\mathbb{Q}$, par exemple dans $\mathbb{C}$ avec $\omega_n = \mathrm{e}^{i\,2\pi/n}$.

Le *n-ème polynôme cyclotomique* est, par définition, le polynôme

$$\Phi_n(X) = \prod_{\substack{1 \le h < n \\ (h,n)=1}} \left(X - \omega_n^h\right).$$

C'est un polynôme unitaire à coefficients entiers dont les zéros sont les racines n-èmes primitives de 1 et dont le degré est égal à $\varphi(n)$. C'est aussi un polynôme réciproque : $X^{\varphi(n)}\,\Phi_n(1/X) = \Phi_n(X)$. Les polynômes cyclotomiques possèdent en outre les propriétés suivantes :

- $\Phi_n(X) = \prod_{d|n} \Phi_d(X)$;
  ($d|n$ signifie que d est un diviseur positif de n)
- $\Phi_p(X) = X^{p-1} + \cdots + X + 1$ pour tout nombre premier p ;
- $\Phi_{ms^k}(X) = \Phi_{ms}(X^{s^{k-1}})$ si $k \ge 2$;
- $\Phi_m(X)\,\Phi_{mp}(X) = \Phi_m(X^p)$ si p premier ne divise pas m ;
- $\Phi_{2n}(X) = \Phi_n(-X)$ si n est impair ≥ 3.

On en déduit, en particulier, que :

- $\Phi_n(1) = \begin{cases} p & \text{si } n \text{ est une puissance d'un nombre premier } p \\ 1 & \text{sinon.} \end{cases}$

Rajouter formellement une racine primitive s^q-ème de 1 dans $\mathcal{A}$ revient à considérer l'anneau $\mathcal{A}[Y]/\langle\Phi_{s^q}(Y)\rangle = \mathcal{A}[\lambda_{s,q}]$. Dans cet anneau,

une addition équivaut à $\varphi(s^q)$ additions dans $\mathcal{A}$. Pour une multiplication, on peut travailler dans $\mathcal{A}[Y]$ modulo $(Y^{s^q} - 1)$ puis réduire le résultat obtenu modulo $\Phi_{s^q}(Y)$. Cette dernière opération est relativement peu coûteuse car $\Phi_{s^q}(Y) = \Phi_s(Y^{s^{q-1}})$ est un polynôme unitaire qui a très peu de coefficents non nuls. Cette remarque permet de voir que les multiplications dans $\mathcal{A}[\lambda_{s,q}]$ ne sont pas tellement plus coûteuses que les additions. Elle donne une idée de comment pourra être appliquée une stratégie diviser pour gagner, de manière à rendre peu coûteux les calculs dans l'anneau $\mathcal{A}[\lambda_{s,q}]$. L'algorithme de Cantor-Kaltofen donne alors le résultat suivant :

Théorème 6.2 *Il existe une famille uniforme de circuits arithmétiques de profondeur $\mathcal{O}(\log n)$ qui calculent le produit de deux polynômes de degré $< n$ à coefficients dans un anneau commutatif arbitraire $\mathcal{A}$ avec $\mathcal{O}(n \log n)$ multiplications et $\mu_P(n) = O(n \log n \log\log n)$ additions/soustractions.*

Remarque 6.3.2 L'algorithme de Cantor-Kaltofen prend en entrée deux polynômes A et B de degré $< n$ et donne en sortie $C = AB$. Il calcule tout d'abord $s_1^{q_1} C$ et $s_2^{q_2} C$, où s_1 et s_2 sont deux petits entiers premiers entre eux, et $s_1^{q_1}$ et $s_2^{q_2}$ ne sont pas trop grands par rapport à n. La constante cachée du « grand $\mathcal{O}$ » dans l'estimation $\mathcal{O}(n \log n \log\log n)$ de la taille du circuit calculant $s^q C$ est de l'ordre de $4s^2(3s+1)$ si s est premier. Il s'ensuit qu'en utilisant les deux valeurs optimales $s_1 = 2$ et $s_2 = 3$, l'algorithme de Cantor-Kaltofen ne devient plus performant que l'algorithme en $\mathcal{O}(n^{\log 3})$ que pour les valeurs de n qui sont de l'ordre de $6\,10^4$.

Remarque 6.3.3 La multiplication rapide des polynômes est en fait couramment utilisée en analyse numérique, en prenant des approximations numériques des racines de l'unité dans $\mathbb{C}$. Cela laisse supposer qu'une implémentation efficace de cette multiplication rapide est également possible en calcul formel avec des anneaux tels que $\mathbb{Z}$ ou un anneau de polynômes sur $\mathbb{Z}$. *Il suffit* en effet de faire le calcul numérique approché avec une précision suffisante pour que le résultat du calcul soit garanti avec une précision meilleure que $1/2$. Une autre solution voisine, mais où la précision est plus facile à contrôler, serait de faire un calcul numérique approché non dans $\mathbb{C}$ mais dans un anneau d'entiers p-adiques (voir par exemple [Ser]) : un tel anneau contient une racine primitive $(p-1)$-ème de l'unité, et $(p-1)$ y est inversible.

6.4 Produits de matrices de Toeplitz

Nous signalons ici une interprétation matricielle du produit de deux polynômes A et B de degrés m et n. On considère le $\mathcal{A}-$module libre $P_{m+n+1} \simeq \mathcal{A}^{m+n+1}$ des polynômes de degré $\leq m+n$ muni de la base canonique des monômes X^k. La multiplication par A (resp. B, resp. AB) tronquée au degré $m+n$ est représentée sur cette base par une matrice de Toeplitz triangulaire T_A (resp. T_B, resp. T_{AB}) et on a $T_A\, T_B = T_{AB}$. Par exemple avec $m=3$, $n=2$ on obtient le produit

$$\begin{bmatrix} a_0 & 0 & 0 & 0 & 0 & 0 \\ a_1 & a_0 & 0 & 0 & 0 & 0 \\ a_2 & a_1 & a_0 & 0 & 0 & 0 \\ a_3 & a_2 & a_1 & a_0 & 0 & 0 \\ 0 & a_3 & a_2 & a_1 & a_0 & 0 \\ 0 & 0 & a_3 & a_2 & a_1 & a_0 \end{bmatrix} \times \begin{bmatrix} b_0 & 0 & 0 & 0 & 0 & 0 \\ b_1 & b_0 & 0 & 0 & 0 & 0 \\ b_2 & b_1 & b_0 & 0 & 0 & 0 \\ 0 & b_2 & b_1 & b_0 & 0 & 0 \\ 0 & 0 & b_2 & b_1 & b_0 & 0 \\ 0 & 0 & 0 & b_2 & b_1 & b_0 \end{bmatrix}$$

qui est égal à la matrice de Toeplitz triangulaire inférieure dont la première colonne est donnée par les coefficients du produit AB :

$$\begin{bmatrix} a_0 & 0 & 0 & 0 & 0 & 0 \\ a_1 & a_0 & 0 & 0 & 0 & 0 \\ a_2 & a_1 & a_0 & 0 & 0 & 0 \\ a_3 & a_2 & a_1 & a_0 & 0 & 0 \\ 0 & a_3 & a_2 & a_1 & a_0 & 0 \\ 0 & 0 & a_3 & a_2 & a_1 & a_0 \end{bmatrix} \times \begin{bmatrix} b_0 \\ b_1 \\ b_2 \\ 0 \\ 0 \\ 0 \end{bmatrix} = \begin{bmatrix} a_0\, b_0 \\ a_1\, b_0 + a_0\, b_1 \\ a_2\, b_0 + a_1\, b_1 + a_0\, b_2 \\ a_3\, b_0 + a_2\, b_1 + a_1\, b_2 \\ a_3\, b_1 + a_2\, b_2 \\ a_3\, b_2 \end{bmatrix}$$

Inversement, le produit de deux matrices de Toeplitz triangulaires inférieures dans $\mathcal{A}^{n\times n}$ peut s'interpréter comme le produit de deux polynômes de degrés $\leq n-1$, tronqué au degré $n-1$ (c'est-à-dire encore comme le produit dans l'anneau des développements limités $\mathcal{A}_{n-1} = \mathcal{A}[X]\,/\langle X^n\rangle$). Par exemple

$$\begin{bmatrix} a_0 & 0 & 0 & 0 \\ a_1 & a_0 & 0 & 0 \\ a_2 & a_1 & a_0 & 0 \\ a_3 & a_2 & a_1 & a_0 \end{bmatrix} \times \begin{bmatrix} b_0 \\ b_1 \\ b_2 \\ b_3 \end{bmatrix} = \begin{bmatrix} a_0\, b_0 \\ a_1\, b_0 + a_0\, b_1 \\ a_2\, b_0 + a_1\, b_1 + a_0\, b_2 \\ a_3\, b_0 + a_2\, b_1 + a_1\, b_2 + a_0\, b_3 \end{bmatrix}.$$

En bref il n'y a pas de différence significative entre le produit de 2 polynômes, le produit de 2 matrices de Toeplitz triangulaires inférieures carrées et le produit d'une matrice de Toeplitz triangulaire inférieure par un vecteur.

Voyons maintenant la question du produit d'une matrice de Toeplitz arbitraire par un vecteur. Par exemple

$$\begin{bmatrix} a_3 & a_2 & a_1 & a_0 \\ a_4 & a_3 & a_2 & a_1 \\ a_5 & a_4 & a_3 & a_2 \\ a_6 & a_5 & a_4 & a_3 \\ a_7 & a_6 & a_5 & a_4 \\ a_8 & a_7 & a_6 & a_5 \end{bmatrix} \times \begin{bmatrix} b_0 \\ b_1 \\ b_2 \\ b_3 \end{bmatrix} = \begin{bmatrix} c_3 \\ c_4 \\ c_5 \\ c_6 \\ c_7 \\ c_8 \end{bmatrix}.$$

Il suffit d'insérer la première matrice dans la matrice de la multiplication par le polynôme $A = \sum_{i=0}^{8} a_i X^i$, tronquée au degré 11, dans le $\mathcal{A}-$module libre des polynômes de degrés ≤ 11 :

$$\begin{bmatrix} a_0 & 0 & 0 & 0 \\ a_1 & a_0 & 0 & 0 \\ a_2 & a_1 & a_0 & 0 \\ a_3 & a_2 & a_1 & a_0 \\ a_4 & a_3 & a_2 & a_1 \\ a_5 & a_4 & a_3 & a_2 \\ a_6 & a_5 & a_4 & a_3 \\ a_7 & a_6 & a_5 & a_4 \\ a_8 & a_7 & a_6 & a_5 \\ 0 & a_8 & a_7 & a_6 \\ 0 & 0 & a_8 & a_7 \\ 0 & 0 & 0 & a_8 \end{bmatrix} \times \begin{bmatrix} b_0 \\ b_1 \\ b_2 \\ b_3 \end{bmatrix} = \begin{bmatrix} a_0\, b_0 \\ a_1\, b_0 + a_0\, b_1 \\ c_2 \\ c_3 \\ c_4 \\ c_5 \\ c_6 \\ c_7 \\ c_8 \\ c_9 \\ a_7\, b_3 + a_8\, b_2 \\ a_8\, b_3 \end{bmatrix}.$$

On voit alors que le calcul se ramène au produit du polynôme A par le polynôme $B = \sum_{i=0}^{3} b_i X^i$. On en déduit le résultat important suivant où l'on voit que le produit par une matrice de Toeplitz n'est guère plus cher que le produit par une matrice creuse.

Proposition 6.4.1 *Le produit d'une matrice de Toeplitz et d'une matrice arbitraire, toutes deux carrées d'ordre n peut se faire par une famille de circuits arithmétiques en $\mathcal{SD}(n\,\mu_P(n), \log n))$.*

Remarque. Plus précisément supposons que dans l'anneau commutatif $\mathcal{A}$ la multiplication d'un polynôme de degré $\leq n$ par un polynôme de degré $\leq m$ soit en $\mathcal{SD}(\mu(n,m), \lambda(n,m))$. Alors le produit $T\,B$ d'une matrice de Toeplitz $T \in \mathcal{A}^{n\times m}$ par une matrice $B \in \mathcal{A}^{m\times p}$ est en $\mathcal{SD}(p\,\mu(n+m,m), \lambda(n+m,m))$. Ceci n'est qu'un exemple des résultats de complexité arithmétique concernant les matrices de Toeplitz. Nous renvoyons le lecteur intéressé par le sujet à l'ouvrage [BP].

7. Multiplication rapide des matrices

Introduction

La multiplication des matrices à coefficients dans un anneau commutatif unitaire $\mathcal{A}$ a fait l'objet de multiples investigations durant les trente dernières années en vue de réduire le nombre d'opérations arithmétiques (dans $\mathcal{A}$) nécessaires au calcul du produit d'une matrice $m \times n$ par une matrice $n \times p$, et d'améliorer la borne supérieure asymptotique de ce nombre. Il s'est avéré que c'est le nombre de multiplications essentielles qui contrôle la complexité asymptotique de la multiplication des matrices carrées, comme nous allons le voir tout d'abord à travers l'algorithme de la multiplication rapide de Strassen.

L'algorithme conventionnel (dit usuel) pour le calcul du produit $C = (c_{ij}) \in \mathcal{A}^{m\times p}$ d'une matrice $A = (a_{ij}) \in \mathcal{A}^{m\times n}$ par une matrice $B = (b_{ij}) \in \mathcal{A}^{n\times p}$ se fait par mnp multiplications et $mp\,(n-1)$ additions en calculant en parallèle (en une seule étape) les mnp produits $a_{ik}b_{kj}$ et en calculant ensuite, en parallèle et en $\lceil \log n \rceil$ étapes, les mp sommes c_{ij} intervenant dans les formules

$$c_{ij} = \sum\nolimits_{k=1}^{n} a_{ik}b_{kj} \quad \text{pour} \quad 1 \le i \le m \quad \text{et} \quad 1 \le j \le p\,.$$

En particulier pour la multiplication de deux matrices carrées d'ordre n, cet algorithme correspond à un circuit arithmétique de taille $n^2(2n-1)$ et de profondeur $\lceil \log n \rceil + 1$ avec n^3 multiplications et $n^2(n-1)$ additions.

Dans un premier temps, les investigations portaient sur la diminution du nombre de multiplications en essayant d'y réduire le coefficient de n^3 sans s'occuper de l'exposant de n, et c'est Winograd qui réussit le premier à réduire ce coefficient de moitié, mais en doublant presque le

nombre d'additions, ce qui constitue, malgré ce prix, un progrès dans la complexité asymptotique si l'on sait que dans une large classe d'anneaux la multiplication est beaucoup plus coûteuse que l'addition [1]. Beaucoup pensaient que ce résultat de Winograd serait optimal au sens que $\frac{1}{2}n^3$ multiplications seraient nécessaires pour le calcul du produit de deux matrices $n \times n$ (voir [Knu], page 481).

Mais une année plus tard (1969), Strassen montra que l'on pouvait multiplier deux matrices $n \times n$ en utilisant seulement $\mathcal{O}(n^{2,8})$ multiplications. Ce résultat était basé sur le fait très simple que le produit de deux matrices 2×2 à coefficients dans un anneau *non nécessairement commutatif* pouvait être calculé avec seulement 7 multiplications au lieu de 8, le nombre d'additions passant de 4 à 18, et il donna les relations prouvant ce fait dans son fameux article *Gaussian elimination is not optimal* [86]. Winograd donna un peu plus tard [97] une variante de la multiplication rapide de Strassen avec seulement 15 additions.

Comme ces relations n'utilisent pas la commutativité de la multiplication, elles s'appliquent récursivement au calcul du produit de deux matrices quelconques à coefficients dans $\mathcal{A}$ selon la stratégie « diviser pour gagner ».

La section 7.1 est consacrée à une analyse détaillée de la multiplication rapide des matrices dans la version Strassen-Winograd. Nous étudions également l'uniformité de la construction de la famille de circuits arithmétiques qui correspond à la version originale de Strassen, comme annoncé dans la section 4.4.

Dans la section 7.2 nous montrons que l'inversion des matrices triangulaires fortement régulières peut être réalisée par des circuits arithmétiques avec une taille de même ordre que les circuits de la multiplication des matrices carrées et une profondeur d'ordre $\mathcal{O}(\log^2 n)$ au lieu de $\mathcal{O}(\log n)$.

Dans la section 7.3 nous introduisons les notions de complexité bilinéaire, de complexité multiplicative et de rang tensoriel. Nous montrons le rôle central joué par la notion de rang tensoriel dans la complexité asymptotique de la multiplication des matrices carrées (théorème 7.4 dû à Strassen). Nous montrons également le résultat de Schönhage, qui dit que l'exposant de la multiplication des matrices carrées ne dépend que de la caractéristique du corps de base (on conjecture en fait que cet

1. Ce qui n'est pas vrai par exemple dans le corps des fractions rationnelles $\mathbb{Q}(X)$ où l'addition est plus coûteuse.

exposant est le même pour tous les corps et pour l'anneau des entiers relatifs.)

Dans la section 7.4 nous nous attaquons à des algorithmes nettement plus sophistiqués qui s'appuient sur la notion de calcul bilinéaire approximatif, introduite par Bini. Malgré leurs performances asymptotiques, aucun des algorithmes de cette section ne semble devoir être implémenté sur machine dans un proche avenir. Il nous a pourtant semblé que ce serait un crime contre la beauté que de ne pas dévoiler au moins en partie les idées fascinantes qui y sont à l'œuvre. Nous n'avons cependant pas exposé la « méthode du laser » due à Strassen (cf. [BCS, 90]), car nous n'avons pas vu comment en donner une idée assez exacte en termes suffisamment simples. Cette méthode a conduit à la meilleure borne connue pour l'exposant de la multiplication des matrices carrées. L'estimation actuelle de cet exposant ω est de $2,376$: Winograd & Coppersmith, 1987 ([19, 20]).

7.1 Analyse de la méthode de Strassen

7.1.1 La méthode de Strassen (version Winograd) et sa complexité

On considère dans un anneau $\mathcal{B}$ (non nécessairement commutatif) deux matrices A et B :

$$A = \begin{bmatrix} a_{11} & a_{12} \\ a_{21} & a_{22} \end{bmatrix} \quad B = \begin{bmatrix} b_{11} & b_{12} \\ b_{21} & b_{22} \end{bmatrix} \quad \text{avec} \quad C = AB = \begin{bmatrix} c_{11} & c_{12} \\ c_{21} & c_{22} \end{bmatrix}.$$

Alors la matrice C peut être obtenue par le calcul suivant :

$$\begin{array}{ll}
m_1 := a_{11}\, b_{11} & m_2 := a_{12}\, b_{21} \\
m_3 := (a_{11} - a_{21})\,(b_{22} - b_{12}) & m_4 := (a_{21} + a_{22})\,(b_{12} - b_{11}) \\
m_5 := (a_{21} + a_{22} - a_{11})\,(b_{22} - b_{12} + b_{11}) & \\
m_6 := (a_{11} + a_{12} - a_{21} - a_{22})\, b_{22} & \\
m_7 := a_{22}\,(b_{22} - b_{12} + b_{11} - b_{21}) & \\
c_{11} := m_1 + m_2 & c_{12} := m_1 + m_5 + m_4 + m_6 \\
c_{21} := m_1 + m_3 + m_5 - m_7 & c_{22} := m_1 + m_3 + m_4 + m_5
\end{array}$$

Ces relations de Strassen (version Winograd), appliquées à l'anneau des matrices carrées d'ordre $2k$, ramènent le calcul du produit de deux

matrices $2k \times 2k$ $(k \in \mathbb{N}^*)$ à celui de sept produits de matrices $k \times k$ et de 15 sommes de matrices de même type.

L'analyse de complexité faite à la section 5.1 montre que ce passage de 8 à 7 multiplications est un avantage décisif, indépendamment du nombre des additions utilisées par ailleurs. Cela tient à ce que 7 est le degré de parallélisme dans la procédure « diviser pour gagner » tandis que le nombre d'additions n'intervient que dans la constante du $\mathcal{O}(n^2)$ opérations arithmétiques nécessaires pour, partant du problème initial P_n, d'une part créer les 7 sous-problèmes de type $P_{\lceil n/2 \rceil}$, et d'autre part récupérer la solution du problème initial à partir des solutions, calculées en parallèle, des 7 sous-problèmes (cf. proposition 5.1.1 page 161).

Posant :

$$\begin{bmatrix} A_{11} & A_{12} \\ A_{21} & A_{22} \end{bmatrix} \begin{bmatrix} B_{11} & B_{12} \\ B_{21} & B_{22} \end{bmatrix} = \begin{bmatrix} C_{11} & C_{12} \\ C_{21} & C_{22} \end{bmatrix}$$

où les A_{ij}, B_{ij}, C_{ij} $(1 \leq i, j \leq 2)$ sont des matrices $k \times k$, on a un schéma de programme d'évaluation comportant les instructions suivantes dans lesquelles les affectations des variables M_i $(1 \leq i \leq 7)$ correspondent aux 7 multiplications et celles des variables N_i $(1 \leq i \leq 11)$ et C_{ij} $(1 \leq i, j \leq 2)$ correspondent aux 15 additions/soustractions([2]), avec indication des étapes du calcul parallèle :

Appliqué récursivement à une matrice $m2^\nu \times m2^\nu$ $(m \in \mathbb{N}^*, \nu \in \mathbb{N})$ ce programme donne un circuit arithmétique parallèle de taille $S(m2^\nu)$ et de profondeur $D(m2^\nu)$ dans l'anneau $\mathcal{A}$, vérifiant les relations de récurrence[3] :

$$\begin{cases} S(m2^\nu) = & 7\,S(m2^{\nu-1}) + 15 \cdot m^2\,4^{\nu-1} \\ D(m2^\nu) = & D(m2^{\nu-1}) + 6\,\cdot \end{cases} \tag{7.1}$$

La dernière équation est justifiée par le fait que les étapes où il n'y a que des additions de matrices $m2^{\nu-1} \times m2^{\nu-1}$ ont une profondeur égale à 1 (les $m^2\,4^{\nu-1}$ additions correspondantes dans $\mathcal{A}$ se faisant en parallèle) alors que l'étape comprenant les multiplications de matrices (Etape 4) est de profondeur $D(m2^{\nu-1})$.

Utilisant l'algorithme usuel pour la multiplication de deux matrices $m \times m$, on peut écrire $S(m) = m^2\,(2m-1)$ et $D(m) = \lceil \log m \rceil + 1$.

2. Dans la suite, nous dirons simplement additions, en sous-entendant additions/soustractions.

3. Signalons que pour la version originale de Strassen avec 18 additions (cf. page 191), la profondeur vérifie la relation $D(m2^\nu) = D(m2^{\nu-1}) + 3$.

Algorithme 7.1 ***Multiplication de matrices par blocs, à la Strassen-Winograd***

Début
Étape 1 :
$N_1 := A_{11} - A_{21}$; $N_2 := A_{21} + A_{22}$;
$N_3 := B_{12} - B_{11}$; $N_4 := B_{22} - B_{12}$
Étape 2 :
$N_5 := N_2 - A_{11}$; $N_6 := B_{22} - N_3$
Étape 3 :
$N_7 := A_{12} - N_5$; $N_8 := N_6 - B_{21}$
Étape 4 : Les 7 multiplications
$M_1 := A_{11}B_{11}$; $M_2 := A_{12}B_{21}$; $M_3 := N_1N_4$; $M_4 := N_2N_3$;
$M_5 := N_5N_6$; $M_6 := N_7B_{22}$; $M_7 := A_{22}N_8$
Étape 5 :
$C_{11} := M_1 + M_2$; $N_9 := M_1 + M_5$; $N_{10} := M_4 + M_6$
Étape 6 :
$N_{11} := M_3 + N_9$; $C_{12} := N_9 + N_{10}$
Étape 7 :
$C_{21} := N_{11} - M_7$; $C_{22} := M_4 + N_{11}$
Fin.

Ce qui donne $D(n) = D(m2^\nu) = D(m)+6\nu = 6\lceil\log n\rceil+\lceil\log m\rceil+1$ comme résultat pour la profondeur du circuit arithmétique correspondant au calcul du produit de deux matrices $n\times n$ si l'on prend $n = m2^\nu$ (la version originale de Strassen donne $D(n) = 3\lceil\log n\rceil + \lceil\log m\rceil + 1$).

Concernant la taille, la première équation dans (7.1) donne successivement :

$1\times$	$S(2^\nu m)$	$=$	$7\,S(2^{\nu-1}m)$	$+$	$15\cdot 4^{\nu-1}m^2$
$7\times$	$S(2^{\nu-1}m)$	$=$	$7\,S(2^{\nu-2}m)$	$+$	$15\cdot 4^{\nu-2}m^2$
$\vdots$	$\vdots$			$\vdots$	
$7^{\nu-1}\times$	$S(2m)$	$=$	$7\,S(m)$	$+$	$15\cdot m^2$
$7^\nu\times$	$S(m)$	$=$	$m^2\,(2m-1)$		
$\longrightarrow$	$S(2^\nu m)$	$=$	$7^\nu m^2\,(2m-1)$	$+$	$5\,m^2\,(7^\nu - 4^\nu)$

Ce qui donne comme résultat $S(m2^\nu) = 7^\nu m^2 (2m+4) - 5m^2 4^\nu$ pour la taille du circuit arithmétique correspondant au calcul par la méthode de Strassen (variante Winograd) [4] du produit de deux matrices $m2^\nu \times m2^\nu$. Ainsi :

$$\left\{ \begin{array}{ll} S(m2^\nu) = & 2m^2 (m+2) 7^\nu - 5m^2 4^\nu \\ D(m2^\nu) = & 6 \lceil \log n \rceil + \lceil \log m \rceil + 1 \end{array} \right. \tag{7.2}$$

En particulier, si n est une puissance de 2 (c'est-à-dire $m = 1$), et comme $7^\nu = 2^{\nu \log 7}$:

$$S(n) = 6\, n^{\log 7} - 5\, n^2 \quad \text{et} \quad D(n) = 6 \lceil \log n \rceil$$

(on obtient $3 \lceil \log n \rceil + 1$ seulement pour la version originale de Strassen).

Mais le coefficient de $n^{\log 7} \simeq n^{2.807}$ ([5]) dans $S(n)$ peut être ramené à $4,15$ lorsque n est une puissance de 2. En effet, si $n = 32$ on peut vérifier directement que le nombre d'opérations arithmétiques dans la multiplication usuelle des matrices $n^2(2n-1)$ ne dépasse guère $3{,}9\, n^{\log 7}$ et pour $n \geq 32$, on pose $\log n = \nu + 5 \geq 5$, de sorte que $n = 32.\, 2^\nu$ $(m = 32)$.

La première des équations (7.2) donne alors :

$$\begin{array}{rcll} S(n) & = & S(m2^\nu) & \\ & < & 2m^2 (m+2) 7^\nu & \\ & \leq & 2^{11} * 34 * 7^\nu & \\ & \leq & 2^{11} * 34 * (1/7)^5 * 7^{\log n} & \text{(puisque } 7^\nu = 7^{\log n - 5}) \\ & \leq & 4,15\, n^{\log 7}. & \text{(on remplace } 7^{\log n} \text{ par } n^{\log 7}) \end{array}$$

Ceci conduit donc au résultat suivant dû à Strassen, mais dans lequel nous intégrons la version (avec 15 additions) de Winograd :

Théorème 7.1 *La multiplication de deux matrices $n \times n$ à coefficients dans un anneau arbitraire $\mathcal{A}$ est dans la classe $\mathcal{SD}(n^{\log 7}, \log n)$. Plus précisément, lorsque n est une puissance de 2, elle se fait soit avec un circuit arithmétique dont la taille et la profondeur sont respectivement majorées par $4,15\, n^{\log 7}$ et $6 \lceil \log n \rceil$, soit par un circuit dont la taille et la profondeur sont respectivement majorées par $4,61\, n^{\log 7}$ et $3 \lceil \log n \rceil$.*

4. La version originale de Strassen donne $S(m2^\nu) = 7^\nu m^2 (2m+5) - 6m^2 4^\nu$.
5. $\log 7 \simeq 2.8073549220576041074$.

Notez aussi que la profondeur multiplicative de ces circuits est égale à 1. En fait la conclusion dans le théorème précédent est non seulement qu'il existe une famille de circuits arithmétiques dans la classe $\mathcal{SD}(n^{\log 7}, \log n)$ qui réalise la multiplication des matrices carrées, mais qu'on sait construire explicitement une famille *uniforme* de tels circuits arithmétiques. Ceci est l'objet du paragaphe qui suit avec le théorème 7.2.

7.1.2 Un exemple de construction uniforme d'une famille de circuits arithmétiques

Nous allons maintenant tenir une promesse que nous avions faite dans la section 4.4. Celle d'analyser un exemple de construction récursive uniforme typique d'une famille de circuits arithmétiques pour laquelle le coût de production d'un circuit de la famille n'a pas un ordre de grandeur bien supérieur à sa taille. Nous utiliserons pour cet exemple la multiplication rapide des matrices originale de Strassen [86] qui repose sur le calcul suivant. On considère dans un anneau $\mathcal{B}$ (non nécessairement commutatif) deux matrices A et B :

$$A = \begin{bmatrix} a_{11} & a_{12} \\ a_{21} & a_{22} \end{bmatrix} \quad B = \begin{bmatrix} b_{11} & b_{12} \\ b_{21} & b_{22} \end{bmatrix} \quad \text{avec} \quad C = AB = \begin{bmatrix} c_{11} & c_{12} \\ c_{21} & c_{22} \end{bmatrix}.$$

Alors la matrice C peut être obtenue par le calcul suivant, qui nécessite 18 additions/soustractions et 7 multiplications :

$$\begin{array}{ll}
m_1 := (a_{12} - a_{22})\,(b_{21} + b_{22}) & m_2 := (a_{11} + a_{22})\,(b_{11} + b_{22}) \\
m_3 := (a_{11} - a_{21})\,(b_{11} + b_{12}) & m_4 := (a_{11} + a_{12})\,b_{22} \\
m_5 := a_{11}\,(b_{12} - b_{22}) & m_6 := a_{22}\,(b_{21} - b_{11}) \\
m_7 := (a_{21} + a_{22})\,b_{11} & \\
c_{11} := m_1 + m_2 - m_4 + m_6 & c_{12} := m_4 + m_5 \\
c_{21} := m_6 + m_7 & c_{22} := m_2 - m_3 + m_5 - m_7
\end{array}$$

Ceci peut être réécrit sous forme d'un circuit arithmétique de profondeur 4. Concernant les variables en entrée, on note $x_{0,i,j}$ pour a_{ij} et $x_{0,2+i,2+j}$ pour b_{ij}. On obtient le programme d'évaluation 7.2 page suivante, que nous appelons P_1.

La méthode de Strassen consiste à utiliser ces formules de manière récursive. Si on doit multiplier des matrices carrées à $m = 2^n$ lignes et colonnes, on les partitionne chacune en 4 matrices carrées à 2^{n-1}

Programme d'évaluation 7.2 P_1 ***: produit de deux matrices carrées d'ordre*** 2 ***sur un anneau non nécessairement commutatif, à la Strassen.***

Entrée : Les 8 coefficients $x_{0,ij}$ dans $\mathcal{A}$ (un anneau arbitraire) de deux matrices carrées A et B d'ordre 2.
Sortie : Les coefficients $x_{4,ij}$ du produit : $C = A\,B$.

Début
profondeur 1 :
$x_{1,1} := x_{0,12} - x_{0,22}$; $x_{1,2} := x_{0,11} + x_{0,22}$;
$x_{1,3} := x_{0,11} - x_{0,21}$; $x_{1,4} := x_{0,11} + x_{0,12}$;
$x_{1,5} := x_{0,11}$; $x_{1,6} := x_{0,22}$; $x_{1,7} := x_{0,21} + x_{0,22}$;
$x_{1,8} := x_{0,43} + x_{0,44}$; $x_{1,9} := x_{0,33} + x_{0,44}$;
$x_{1,10} := x_{0,33} + x_{0,34}$; $x_{1,11} := x_{0,44}$;
$x_{1,12} := x_{0,34} - x_{0,44}$; $x_{1,13} := x_{0,43} - x_{0,33}$; $x_{1,14} := x_{0,33}$
profondeur 2 : Les 7 multiplications
$x_{2,1} := x_{1,1}\,x_{1,8}$; $x_{2,2} := x_{1,2}\,x_{1,9}$; $x_{2,3} := x_{1,3}\,x_{1,10}$;
$x_{2,4} := x_{1,4}\,x_{1,11}$; $x_{2,5} := x_{1,5}\,x_{1,12}$; $x_{2,6} := x_{1,6}\,x_{1,13}$;
$x_{2,7} := x_{1,7}\,x_{1,14}$
profondeur 3 :
$x_{3,1} := x_{2,1} + x_{2,2}$; $x_{3,2} := x_{2,4} - x_{2,6}$;
$x_{3,3} := x_{2,2} - x_{2,3}$; $x_{3,4} := x_{2,5} - x_{2,7}$
profondeur 4 :
$x_{4,11} := x_{3,1} - x_{3,2}$; $x_{4,12} := x_{2,4} + x_{2,5}$;
$x_{4,21} := x_{2,6} + x_{2,7}$; $x_{4,22} := x_{3,3} + x_{3,4}$
Fin.

lignes et colonnes, qui jouent le rôle des a_{ij} et b_{ij} dans les formules précédentes. On obtient en définitive un circuit arithmétique de profondeur $3n+1 = 3\log(m)+1$ comportant $6m^2$ additions/soustractions et $7^n = m^{\log(7)}$ multiplications (la méthode usuelle donne un circuit de profondeur $1+n$ comportant m^3 additions/soustractions et $8^n = m^3$ multiplications). Notre problème est de déterminer la complexité en temps pour l'écriture du programme d'évaluation correspondant.

Supposons qu'on ait écrit le programme d'évaluation P_n pour la multiplication de deux matrices carrées à $m = 2^n$ lignes et colonnes, avec les entrées $x_{0,ij}$ et $x_{0,2^n+i,2^n+j}$ avec $1 \leq i,j \leq 2^n$, et les sorties $x_{3n+1,ij}$ $(1 \leq i,j \leq 2^n)$.

Comment écrit-on le programme d'évaluation P_{n+1} ?

Les entrées sont maintenant $x_{0,i,j}$ et $x_{0,2^{n+1}+i,2^{n+1}+j}$ avec $1 \leq i, j \leq 2^{n+1}$. Notons $X_{0,uv}$ ($1 \leq u, v \leq 2$ ou $3 \leq u, v \leq 4$) les matrices extraites à 2^n lignes et colonnes, avec $m = 2^n$ et $m^2 = 2^{n+1}$:

$$\begin{array}{ll}
X_{0,11}[i,j] := x_{0,i,j} & X_{0,12}[i,j] := x_{0,i,m+j} \\
X_{0,21}[i,j] := x_{0,m+i,j} & X_{0,22}[i,j] := x_{0,m+i,m+j} \\
X_{0,33}[i,j] := x_{0,m^2+i,m^2+j} & X_{0,34}[i,j] := x_{0,m^2+i,m^2+m+j} \\
X_{0,43}[i,j] := x_{0,m^2+m+i,m^2+j} & X_{0,44}[i,j] := x_{0,m^2+m+i,m^2+m+j}
\end{array}$$

On commence par créer (conformément au programme P_1 appliqué aux matrices $X_{0,uv}$) les « matrices $X_{1,k}$ » pour $1 \leq k \leq 14$, au moyen des affectations matricielles :

$$\begin{array}{ll}
X_{1,1} := X_{0,12} - X_{0,22} & X_{1,2} := X_{0,11} + X_{0,22} \\
X_{1,3} := X_{0,11} - X_{0,21} & X_{1,4} := X_{0,11} + X_{0,12} \\
X_{1,5} := X_{0,11} & X_{1,6} := X_{0,22} \\
X_{1,7} := X_{0,21} + X_{0,12} & X_{1,8} := X_{0,34} + X_{0,44} \\
X_{1,9} := X_{0,33} + X_{0,44} & X_{1,10} := X_{0,33} + X_{0,34} \\
X_{1,11} := X_{0,44} & X_{1,12} := X_{0,34} - X_{0,44} \\
X_{1,13} := X_{0,43} - X_{0,33} & X_{1,14} := X_{0,33}
\end{array}$$

Cela signifie précisément dans l'anneau de base $\mathcal{B}$, avec $X_{1,k}[i,j] = x_{1,k,i,j}$ pour $1 \leq i, j \leq m = 2^n$:

profondeur 1 :

$$\begin{array}{l}
x_{1,1,i,j} := x_{0,i,m+j} - x_{0,m+i,m+j} \\
x_{1,2,i,j} := x_{0,i,j} + x_{0,m+i,m+j} \\
x_{1,3,i,j} := x_{0,i,j} - x_{0,m+i,j} \\
x_{1,4,i,j} := x_{0,i,j} + x_{0,i,m+j} \\
x_{1,5,i,j} := x_{0,i,j} \\
x_{1,6,i,j} := x_{0,m+i,m+j} \\
x_{1,7,i,j} := x_{0,m+i,j} + x_{0,i,m+j} \\
x_{1,8,i,j} := x_{0,m^2+i,m^2+m+j} + x_{0,m^2+m+i,m^2+m+j} \\
x_{1,9,i,j} := x_{0,m^2+i,m^2+j} + x_{0,m^2+m+i,m^2+m+j} \\
x_{1,10,i,j} := x_{0,m^2+i,m^2+j} + x_{0,m^2+i,m^2+m+j} \\
x_{1,11,i,j} := x_{0,m^2+m+i,m^2+m+j} \\
x_{1,12,i,j} := x_{0,m^2+i,m^2+m+j} - x_{0,m^2+m+i,m^2+m+j} \\
x_{1,13,i,j} := x_{0,m^2+m+i,m^2+j} - x_{0,m^2+i,m^2+j} \\
x_{1,14,i,j} := x_{0,m^2+i,m^2+j}
\end{array}$$

Ensuite on crée les « matrices $X_{2,k}$ » pour $1 \leq k \leq 7$. Pour cela il s'agit d'écrire 7 fois, avec à chaque fois une renumérotation convenable, le programme P_n. Pour k de 1 à 7, on réécrit P_n avec les transformations suivantes :

- les variables d'entrées $x_{0,i,j}$ $(1 \leq i, j \leq m)$ sont remplacées par les variables $x_{1,k,i,j}$,
- les variables d'entrées $x_{0,m+i,m+j}$ $(1 \leq i, j \leq m)$ sont remplacées par les variables $x_{1,7+k,i,j}$,
- toute variable $x_{p,u}$ dans P_n avec une profondeur $p \geq 1$ est remplacée par la variable $x_{p+1,k,u}$.

En particulier, on obtient en sortie les variables, de profondeur $3n+2$, $x_{3n+2,k,i,j}$ $(1 \leq i, j \leq m)$ qui sont les coefficients des matrices $X_{2,k}$ $(1 \leq k \leq 7)$.

Il reste enfin à réaliser les affectations matricielles :

profondeur 3 :

$X_{3,1} := X_{2,1} + X_{2,2}$; $X_{3,2} := X_{2,4} - X_{2,6}$
$X_{3,3} := X_{2,2} - X_{2,3}$; $X_{3,4} := X_{2,5} - X_{2,7}$

profondeur 4 :

$X_{4,11} := X_{3,1} - X_{3,2}$; $X_{4,12} := X_{2,4} + X_{2,5}$
$X_{4,21} := X_{2,1} + X_{2,7}$; $X_{4,22} := X_{3,3} + X_{3,4}$

Cela signifie précisément, avec $1 \leq i, j \leq m = 2^n$:

profondeur $3n + 3$:

$x_{3n+3,1,i,j} := x_{3n+2,1,i,j} + x_{3n+2,2,i,j}$;
$x_{3n+3,2,i,j} := x_{3n+2,4,i,j} - x_{3n+2,6,i,j}$;
$x_{3n+3,3,i,j} := x_{3n+2,2,i,j} - x_{3n+2,3,i,j}$;
$x_{3n+3,4,i,j} := x_{3n+2,5,i,j} - x_{3n+2,7,i,j}$

profondeur $3n + 4 = 3(n + 1) + 1$:

$x_{3n+4,11,i,j} := x_{3n+3,1,i,j} - x_{3n+3,2,i,j}$;
$x_{3n+4,12,i,j} := x_{3n+2,4,i,j} + x_{3n+2,5,i,j}$;
$x_{3n+4,21,i,j} := x_{3n+2,1,i,j} + x_{3n+2,7,i,j}$;
$x_{3n+4,22,i,j} := x_{3n+3,3,i,j} + x_{3n+3,4,i,j}$

Le programme qui, pour l'entrée n donne en sortie le texte du programme d'évaluation P_n est un programme du type « loop program » (ou *programme à boucles pour* : « **pour** u **de** 1 **à** r **faire** ... ») de structure simple. Lorsqu'on le réalise sous forme d'une machine de Turing écrivant le texte P_n, la gestion des boucles occupe un temps négligeable par rapport aux instructions qui permettent d'écrire successivement P_1, P_2, ..., P_n. Il faut prévoir que, à la fin de l'étape n° i, le texte P_i doit être recopié sur une bande où il sera lu pendant l'étape $i+1$,

car durant cette étape, la première bande où a été écrite P_i sera effacée par l'écriture de P_{i+1}. Si $t(n)$ est le temps d'exécution pour l'écriture de P_n et $s(n)$ la taille de P_n, on obtient les formules récurrentes suivantes, où les c_i sont des constantes :

$$\begin{array}{rcl} s(n+1) & \leq & c_0\ n\ m^2 + 7\ s(n) \qquad \text{et} \\ t(n+1) & \leq & c_1\ n\ m^2 + t(n) + c_2\ s(n) + c_3\ s(n+1)\,, \end{array}$$

d'où, puisque $nm^2 = n2^{2n} = n4^n$ est négligeable devant $7s(n) \geq 7^n$,

$$s(n) = \mathcal{O}(7^n) \quad \text{et} \quad t(n) = \mathcal{O}(7^n)\,.$$

Nous pouvons résumer comme suit (rappelons que nous notons $\log k$ pour $\max(\log_2 k, 1)$).

Théorème 7.2 *Lorsqu'on utilise la méthode récursive de Strassen pour construire une famille de circuits arithmétiques pour la multiplication des matrices carrées d'ordre $m = 2^n$, on peut construire une machine de Turing qui écrit le code du programme d'évaluation $Q_m = P_n$ en un temps du même ordre de grandeur que la taille de sa sortie : $\mathcal{O}(m^{\log 7})$.*

Naturellement, comme d'habitude le résultat sur le temps de calcul $\mathcal{O}(m^{\log 7})$ est encore valable lorsque m n'est pas une puissance de 2, en complétant les matrices dans $\mathcal{A}^{m\times m}$ par des lignes et colonnes de 0.

7.2 Inversion des matrices triangulaires

Les notations que nous précisons maintenant concernant la multiplication des matrices carrées seront utilisées dans toute la suite de l'ouvrage quand nous aurons à faire des calculs de complexité.

Notation 7.2.1 *Nous supposerons que le calcul du produit de deux matrices $n\times n$ se fait par un circuit arithmétique de taille $\mu_M(n) = \mathrm{C}_\alpha\, n^\alpha$ de profondeur $\gamma_M(n) = \mathrm{K}_\alpha \log n$ et de largeur $\lambda_M(n) = \mathrm{L}_\alpha\, n^\alpha \,/\, \log n$ où $2 < \alpha \leq 3$, K_α et L_α sont des constantes réelles positives ≥ 1 et $\mathrm{C}_\alpha \geq 3$ ([6]).*

6. Certains calculs de complexité dans la suite de l'ouvrage conduiraient à des formules légèrement différentes pour les cas $\alpha > 2$ et $\alpha = 2$. C'est la raison pour laquelle nous avons préféré exclure cette dernière valeur, qui n'est de toute manière pas d'actualité. L'hypothèse $\mathrm{C}_\alpha \geq 3$ qui est vérifiée pour la multiplication rapide de Strassen et pour toutes les autres multiplications rapides connues, n'est pas non plus restrictive et simplifie quelques calculs.

L'approche « diviser pour gagner » donne un algorithme qui montre que le problème de l'inversion d'une matrice triangulaire inversible (autrement dit, fortement régulière) admet une solution en $\mathcal{SD}(n^\alpha, \log^2 n)$ avec une constante asymptotique de l'ordre de $4\,\mathrm{C}_\alpha$ pour la taille et de l'ordre de K_α pour la profondeur du circuit.

Proposition 7.2.2 *Soit $\mathcal{A}$ un anneau arbitraire, n un entier ≥ 2 et $A \in \mathcal{A}^{n\times n}$ une matrice triangulaire inversible.*
Alors l'inverse de A peut être calculée par une famille uniforme de circuits arithmétiques de taille $\tau(n)$ et de profondeur $\pi(n)$ vérifiant : $\tau(n) \leq 4\,\mathrm{C}_\alpha\, n^\alpha$ et $\pi(n) \leq \mathrm{K}_\alpha \log^2 n + \mathcal{O}(\log n)$.

Preuve. On peut toujours supposer $A \in \mathcal{A}^{2^\nu\times 2^\nu}$ où $\nu = \lceil \log n \rceil$ (*i.e.* $2^{\nu-1} < n \leq 2^\nu$) quitte à rajouter $2^\nu - n$ lignes et $2^\nu - n$ colonnes de zéros à la matrice A, et remplir la partie « sud-est » restante par la matrice unité $\mathrm{I}_{2^\nu-n}$, ce qui revient à remplacer la matrice A par la matrice $A' = \begin{bmatrix} A & 0_{2^\nu-n,n} \\ 0_{n,2^\nu-n} & \mathrm{I}_{2^\nu-n} \end{bmatrix} \in \mathcal{A}^{2^\nu\times 2^\nu}$ où $0_{p,q}$ désigne, pour tous entiers naturels p et q, la matrice nulle à p lignes et q colonnes.

Le calcul de A^{-1}, si A est inversible, se ramène évidemment à celui de A'^{-1} puisque dans ce cas A' est inversible et

$$A'^{-1} = \begin{bmatrix} A & 0_{2^\nu-n,n} \\ 0_{n,2^\nu-n} & \mathrm{I}_{2^\nu-n} \end{bmatrix}^{-1} = \begin{bmatrix} A^{-1} & 0_{2^\nu-n,n} \\ 0_{n,2^\nu-n} & \mathrm{I}_{2^\nu-n} \end{bmatrix}.$$

Ainsi, remplacée par A', la matrice A peut être considérée comme une matrice $2^\nu \times 2^\nu$ et s'écrire (si elle est triangulaire inférieure) :
$A = \begin{bmatrix} A_1 & 0 \\ A_3 & A_2 \end{bmatrix}$ où $A_1, A_2, A_3 \in \mathcal{A}^{2^{\nu-1}\times 2^{\nu-1}}$ avec A_1, A_2 triangulaires inférieures. Donc :

A est fortement régulière $\iff$ A_1 et A_2 sont fortement régulières.

De plus : $A^{-1} = \begin{bmatrix} A_1^{-1} & 0_{2^{\nu-1},2^{\nu-1}} \\ -A_2^{-1}A_3A_1^{-1} & A_2^{-1} \end{bmatrix}$.

Le calcul de A_1^{-1} et A_2^{-1} se fait en parallèle avec un circuit arithmétique de taille $\tau(2^{\nu-1})$ et de profondeur $\pi(2^{\nu-1})$. On récupère ensuite le résultat, c'est-à-dire la matrice A^{-1}, à partir de A_1^{-1} et A_2^{-1}, en calculant le produit $A_2^{-1}A_3A_1^{-1}$ de trois matrices $2^{\nu-1} \times 2^{\nu-1}$.

Ce qui donne les relations de récurrence vraies pour tout $\nu \geq 1$ avec $\tau(1) = \pi(1) = 1$:

$$\begin{cases} \tau(2^\nu) &= 2\,\tau(2^{\nu-1}) + 2\,\mathrm{C}_\alpha\, 2^{(\nu-1)\alpha} \\ \pi(2^\nu) &= \pi(2^{\nu-1}) + 2\,\mathrm{K}_\alpha\, \nu\,. \end{cases}$$

On obtient par sommation lorsque $n = 2^\nu$, avec $a = 2^{\alpha-1}$:

$$\begin{cases} \tau(n) &= (\mathrm{C}_\alpha\, n^\alpha \,-\, (\mathrm{C}_\alpha + 1 - a)\, n) \,/\, (a-1) \le \frac{1}{a-1}\, \mathrm{C}_\alpha\, n^\alpha \\ \pi(n) &= \mathrm{K}_\alpha\, (\log n + 1) \log n \,+\, 1\,. \end{cases}$$

(ici on a utilisé sur la première ligne l'hypothèse $\mathrm{C}_\alpha \ge 3$).

Pour le cas général, on remplace n par $2^{\lceil \log n \rceil} < 2\,n$, $\log n$ par $1 + \log n$ et on obtient les majorations $(2 < a \le 4)$:

$$\begin{cases} \tau(n) &\le \frac{2\,a}{a-1}\, \mathrm{C}_\alpha\, n^\alpha \;\le\; 4\, \mathrm{C}_\alpha\, n^\alpha \\ \pi(n) &\le \mathrm{K}_\alpha\, (\log^2 n + 3 \log n + 2) + 1\,. \end{cases} \qquad \square$$

7.3 Complexité bilinéaire

Soit un corps $\mathcal{K}$ et trois $\mathcal{K}$–espaces vectoriels E, F, G de dimensions finies. Rappelons qu'une *application bilinéaire* $\psi : (x, y) \mapsto \psi(x, y)$ *de* $E \times F$ *vers* G est une application qui est séparément linéaire en x et en y.

Retour sur les égalités de Strassen-Winograd
Réécrivons les égalités de Strassen-Winograd données dans la section 7.1, sous une forme où nous isolons les multiplications :

$$\begin{array}{ll}
\alpha_1 := \alpha_{11} & \beta_1 := \beta_{11} \\
\alpha_2 := \alpha_{12} & \beta_2 := \beta_{21} \\
\alpha_3 := \alpha_{11} - \alpha_{21} & \beta_3 := \beta_{22} - \beta_{12} \\
\alpha_4 := \alpha_{21} + \alpha_{22} & \beta_4 := \beta_{12} - \beta_{11} \\
\alpha_5 := \alpha_{21} + \alpha_{22} - \alpha_{11} & \beta_5 := \beta_{22} - \beta_{12} + \beta_{11} \\
\alpha_6 := \alpha_{12} - \alpha_{21} - \alpha_{22} + \alpha_{11} & \beta_6 := \beta_{22} \\
\alpha_7 := \alpha_{22} & \beta_7 := \beta_{22} - \beta_{12} + \beta_{11} - \beta_{21} \\
 & \\
\mu_i := \alpha_i \beta_i \quad (i = 1, \ldots, 7) & \gamma_{11} := \mu_1 + \mu_2 \\
 & \gamma_{12} := \mu_1 + \mu_4 + \mu_5 + \mu_6 \\
 & \gamma_{21} := \mu_1 + \mu_3 + \mu_5 - \mu_7 \\
 & \gamma_{22} := \mu_1 + \mu_3 + \mu_5 + \mu_4
\end{array}$$

Ici nous avons considéré avec trois matrices A, B, C les entrées de A comme des formes linéaires α_{ij}, celles de B comme des formes linéaires β_{jk}, celles de C comme des formes linéaires γ_{ik}. Ces formes linéaires sont définies sur l'espace des matrices carrées d'ordre 2 sur un anneau $\mathcal{A}$. Les 8 affectations qui définissent le produit $C := AB$,

$$\gamma_{ik} := \alpha_{i1}\beta_{1k} + \alpha_{i2}\beta_{2k}$$

ont été remplacées par d'autres affectations, avec l'avantage de n'avoir que 7 multiplications.

L'analyse de complexité nous a montré que ce passage de 8 à 7 était un avantage décisif, indépendamment du nombre des additions utilisées par ailleurs.

Nous avons utilisé 7 formes linéaires α_ℓ sur l'espace où vit la matrice A, 7 formes linéaires β_ℓ sur l'espace où vit la matrice B, effectué les 7 produits $\mu_\ell = \alpha_\ell \beta_\ell$ et récupéré les γ_{ik} comme combinaisons linéaires des μ_ℓ.

Si nous appelons $(c_{11}, c_{12}, c_{21}, c_{22})$ la base canonique de l'espace où vit la matrice C, nous pouvons écrire

$$C := \mu_1 c_1 + \mu_2 c_2 + \cdots + \mu_7 c_7 \quad i.e., \quad C := \sum\nolimits_{\ell=1}^{7} \alpha_\ell \cdot \beta_\ell \cdot c_\ell$$

où les c_ℓ sont des combinaisons linéaires suivantes des c_{ij} :

$$\begin{array}{llll} c_1 := c_{11} + c_{12} + c_{21} + c_{22} & c_2 := c_{11} & c_3 := c_{21} + c_{22} & c_4 := c_{12} + c_{22} \\ c_5 := c_{12} + c_{21} + c_{22} & c_6 := c_{12} & c_7 := -c_{21} & \end{array}$$

Bilan des courses : 7 formes linéaires « en A », 7 formes linéaires « en B » et 7 vecteurs « en C ». En mathématiques un peu plus savantes on réécrit ceci en utilisant la notation tensorielle. L'application bilinéaire $(A, B) \mapsto C = AB$ correspond au tenseur suivant, (le premier membre de l'égalité provient directement de la définition)

$$\sum\nolimits_{i,j,k \in \{1,2\}} \alpha_{ij} \otimes \beta_{jk} \otimes c_{ik} \quad = \quad \sum\nolimits_{\ell=1}^{7} \alpha_\ell \otimes \beta_\ell \otimes c_\ell$$

On peut considérer, au choix, que ces tenseurs appartiennent à un espace tensoriel abstrait construit à partir des trois espaces E, F, G où vivent les matrices A, B, C, ou bien qu'ils sont dans l'espace des applications bilinéaires de $E \times F$ vers G. Dans ce dernier cas un *tenseur élémentaire* $\alpha \otimes \beta \otimes c$ est égal par définition à l'application bilinéaire

$$(A, B) \longmapsto \alpha(A) \cdot \beta(B) \cdot c$$

7.3.1 Rang tensoriel d'une application bilinéaire

Considérons plus généralement un corps $\mathcal{K}$, trois $\mathcal{K}-$espaces vectoriels E, F, G de dimensions finies. Soient $(e_i)_{i \in I}$, $(f_j)_{j \in J}$, $(g_\ell)_{\ell \in L}$ des bases de E, F, G et notons $(e_i^\star)_{i \in I}$, $(f_j^\star)_{j \in J}$, $(g_\ell^\star)_{\ell \in L}$ les bases duales. Toute application bilinéaire ψ de $E \times F$ vers G est alors une somme de

tenseurs élémentaires : ψ est complètement déterminée par les images qu'elle donne pour les vecteurs des bases canoniques de E et F, et si $\psi(e_i, f_j) = \sum_\ell \gamma_{ij\ell}\, g_\ell$ on obtient ipso facto

$$\psi = \sum\nolimits_{i,j,\ell} \gamma_{ij\ell}\, e_i^\star \otimes f_j^\star \otimes g_\ell$$

Les $\gamma_{ij\ell}$ peuvent être appelées les *coordonnées de* ψ *sur les trois bases* $(e_i)_{i\in I}$, $(f_j)_{j\in J}$, $(g_\ell)_{\ell\in L}$.

L'important du point de vue du calcul sont les règles de manipulation des tenseurs, qui disent qu'on a le droit d'utiliser $\otimes$ comme « n'importe quel » produit (en utilisant la linéarité par rapport à chacune des entrées, l'associativité, mais pas la commutativité).

On peut par exemple supprimer les symboles $\otimes$ et calculer avec des variables formelles x_i, y_j, z_ℓ à la place des $e_i^\star$, $f_j^\star$, g_ℓ à condition de ne pas autoriser la commutation de deux variables entre elles (par contre, elles commutent avec les éléments de $\mathcal{K}$). L'objet abstrait correspondant à ce calcul s'appelle *l'anneau des polynômes non commutatifs à coefficients dans* $\mathcal{K}$.

Définition 7.3.1 (Rang tensoriel d'une application bilinéaire) *Soient* $\mathcal{K}$ *un corps,* E, F, G *trois* $\mathcal{K}$*–espaces vectoriels de dimension finie. On note* $\mathrm{Bil}(E, F; G)$ *l'espace des applications bilinéaires de* $E \times F$ *vers* G*. Soit* $\psi \in \mathrm{Bil}(E, F; G)$*. On appelle* rang tensoriel de ψ *le plus petit entier* r *tel que* ψ *puisse s'écrire sous forme*

$$\sum\nolimits_{\ell=1}^{r} \varepsilon_\ell \otimes \varphi_\ell \otimes g_\ell$$

où les ε_ℓ *sont dans* $E^\star$*, les* φ_ℓ *sont dans* $F^\star$ *et les* g_ℓ *sont dans* G*. Autrement dit encore c'est le plus petit entier* r *tel que* ψ *puisse s'écrire comme composée de trois applications selon le format suivant*

$$E \times F \xrightarrow{\varepsilon\times\varphi} \mathcal{K}^r \times \mathcal{K}^r \xrightarrow{\mu_r} \mathcal{K}^r \xrightarrow{g} G$$

où $\varepsilon : E \to \mathcal{K}^r$, $\varphi : F \to \mathcal{K}^r$ *et* $g : \mathcal{K}^r \to G$ *sont des applications linéaires et* $\mu_r : \mathcal{K}^r \times \mathcal{K}^r \to \mathcal{K}^r$ *est le produit coordonnée par coordonnée. Le programme d'évaluation arithmétique correspondant s'appelle un* calcul bilinéaire de ψ*. Le rang tensoriel de* ψ *est encore appelé la* complexité bilinéaire *de* ψ*. Nous le noterons* $R(\psi)$*, ou s'il y a ambiguité* $R_{\mathcal{K}}(\psi)$*.*

L'importance du rang tensoriel dans les questions de complexité algébrique a été soulignée par Gastinel ([33]) et Strassen ([87, 90, 91]).

Remarque 7.3.2 Nous laissons libre choix pour l'interprétation du tenseur $\varepsilon_\ell \otimes \varphi_\ell \otimes g_\ell$. Pour les gens savants cet objet vit dans un espace tensoriel abstrait $E^\star \otimes F^\star \otimes G$, canoniquement isomorphe à l'espace des applications bilinéaires $E \times F \to G$. Mais on peut considérer aussi que cet objet est égal par définition à l'application bilinéaire $(x, y) \mapsto \varepsilon_\ell(x) \cdot \varphi_\ell(y) \cdot g_\ell$.

Remarque 7.3.3 Le lecteur ou la lectrice peut donner la définition analogue pour le rang tensoriel d'une application linéaire, ou celui d'une forme bilinéaire, et vérifier qu'on retrouve la notion usuelle de rang pour ces objets.

Remarque 7.3.4 Nous pourrions remplacer dans la définition 7.3.1 le corps $\mathcal{K}$ par un anneau commutatif arbitraire $\mathcal{A}$, à condition de considérer des espaces convenables analogues aux espaces vectoriels. Une possibilité est de considérer que E, F et G doivent être des $\mathcal{A}$ – *modules libres*, c'est-à-dire des modules (isomorphes à) $\mathcal{A}^e$, $\mathcal{A}^f$ et $\mathcal{A}^g$. Par exemple pour le produit matriciel, le cadre le plus naturel serait de choisir de travailler sans aucune hypothèse précise, c'est-à-dire sur l'anneau $\mathbb{Z}$.

Remarque 7.3.5 Contrairement au rang d'une application linéaire, le rang tensoriel d'une application bilinéaire est en général difficile à déterminer. Il ne semble pas qu'on connaisse d'algorithme qui réalise ce travail, sauf pour quelques classes de corps particuliers (les corps finis ou les corps algébriquement clos par exemple). Mais même dans ces cas, les algorithmes sont impraticables. La détermination du rang tensoriel des applications bilinéaires sur un corps fini fixé est un problème $\mathcal{NP}$-complet (cf. [43]) : le problème, en prenant pour entrées un entier r et une application bilinéaire ψ donnée par ses coordonnées sur trois bases, est de déterminer si le rang tensoriel de ψ est $\leq r$ ou non.

Rang tensoriel de la multiplication des matrices

La notation tensorielle n'a pas seulement l'avantage de l'élégance. Elle a aussi le mérite de nous aider à réfléchir sur les calculs mis en œuvre. La meilleure synthèse de l'idée de Strassen est peut-être de dire que le miracle s'est produit quand il a pu écrire le tenseur de la multiplication des matrices carrées d'ordre 2 comme somme de 7 tenseurs élémentaires.

Chaque fois qu'on arrive à écrire la multiplication des matrices carrées d'ordre k comme une somme de h tenseurs élémentaires, avec une bonne valeur de $\log h/\log k$ on obtient immédiatement que la multiplication des matrices tombe dans la classe $\mathcal{SD}(n^{\log h/\log k}, \log n)$ car le calcul de complexité de la section 7.1 pourra fonctionner à l'identique.

Plus précisément, la possibilité d'effectuer des produits de matrices carrées d'ordre k^ℓ par blocs de taille $k^{\ell-1}$ implique récursivement que ce produit matriciel est représenté par une somme de h^ℓ tenseurs élémentaires. En outre si la profondeur du programme d'évaluation correspondant au produit des matrices d'ordre k est un entier K alors celle du programme d'évaluation correspondant au produit des matrices d'ordre k^ℓ est égale à ℓK, et sa profondeur multiplicative (c'est-à-dire la profondeur mesurée en ne tenant compte que des multiplications essentielles, cf. définition 3.1.3 page 116) est égale à ℓ.

Depuis la découverte de Strassen, un nouveau sport a été créé, auquel ont participé quelques grands noms de la complexité algébrique : faire diminuer $\log h/\log k$ en élaborant des identités algébriques inédites, pour des valeurs de k de plus en plus grandes.

Un aspect fascinant de la notation tensorielle pour les applications bilinéaires est qu'elle établit une symétrie entre les trois espaces E, F, G en jeu (rappelons qu'il s'agit ici d'espaces de matrices). Symétrie qui n'est pas directement visible sur la définition. En fait, il n'y aurait vraiment symétrie que si nous considérions notre tenseur comme représentant l'application trilinéaire

$$(A, B, C) \longmapsto \sum\nolimits_{i,j,k} \alpha_{ij}\beta_{jk}\gamma_{ki}$$

L'écriture tensorielle permet de traiter des arguments de dualité sous forme scripturale. Pour montrer que ce jeu d'écriture est bien plus qu'un jeu, prenons de nouveau les égalités de Strassen-Winograd que nous réécrivons avec des tenseurs où nous ne marquons pas la différence entre formes linéaires et vecteurs. Cela donne alors pour le produit matriciel l'égalité

$$\sum\nolimits_{i,j,k\in\{1,2\}} a_{ij} \otimes b_{jk} \otimes c_{ik} \quad = \quad \sum\nolimits_{\ell=1}^{7} a_\ell \otimes b_\ell \otimes c_\ell$$

avec

$a_1 := a_{11}$	$b_1 := b_{11}$	$c_1 := c_{11} + c_{12} + c_{21} + c_{22}$
$a_2 := a_{12}$	$b_2 := b_{21}$	$c_2 := c_{11}$
$a_3 := a_{11} - a_{21}$	$b_3 := b_{22} - b_{12}$	$c_3 := c_{21} + c_{22}$
$a_4 := a_{21} + a_{22}$	$b_4 := b_{12} - b_{11}$	$c_4 := c_{12} + c_{22}$
$a_5 := a_{21} + a_{22} - a_{11}$	$b_5 := b_{22} - b_{12} + b_{11}$	$c_5 := c_{12} + c_{21} + c_{22}$
$a_6 := a_{12} - a_{21} - a_{22} + a_{11}$	$b_6 := b_{22}$	$c_6 := c_{12}$
$a_7 := a_{22}$	$b_7 := b_{22} - b_{12} + b_{11} - b_{21}$	$c_7 := -c_{21}$

Pour réaliser une symétrie par permutation circulaire dans la définition, échangeons les indices i et k dans les c_{ik}. Alors, vu l'invariance par permutation circulaire nous pouvons remplacer partout a, b et c par b, c et a. Et finalement nous permutons à nouveau les indices i et k dans les (nouveaux) c_{ik} pour revenir à la définition. Ceci nous donne d'autres égalités, qui peuvent tout aussi bien servir que les premières :

$a_1 := a_{11} + a_{21} + a_{12} + a_{22}$	$b_1 := b_{11}$	$c_1 := c_{11}$
$a_2 := a_{11}$	$b_2 := b_{12}$	$c_2 := c_{12}$
$a_3 := a_{12} + a_{22}$	$b_3 := b_{11} - b_{21}$	$c_3 := c_{22} - c_{21}$
$a_4 := a_{21} + a_{22}$	$b_4 := b_{21} + b_{22}$	$c_4 := c_{21} - c_{11}$
$a_5 := a_{21} + a_{12} + a_{22}$	$b_5 := b_{21} + b_{22} - b_{11}$	$c_5 := c_{22} - c_{21} + c_{11}$
$a_6 := a_{21}$	$b_6 := b_{12} - b_{21} - b_{22} + b_{11}$	$c_6 := c_{22}$
$a_7 := -a_{12}$	$b_7 := b_{22}$	$c_7 := c_{22} - c_{21} + c_{11} - c_{12}$

Naturellement, dans le cas présent, on obtient seulement sans fatigue un nouveau système d'identités algébriques pour traiter le même produit matriciel. Mais si nous étions parti d'un produit de matrices rectangulaires non carrées, la permutation circulaire deviendrait un outil vraiment efficace, produisant des identités correspondant à un cas de figure vraiment nouveau. Cette remarque importante remonte à 1972 (cf. [46, 75]).

Notez que nous avons une situation familière analogue si nous considérons le cas des applications linéaires de E vers F. La dualité nous dit que le passage de φ à ${}^{\mathrm{t}}\varphi$ est un isomorphisme. En termes de matrices c'est une banale transposition. En termes d'écriture tensorielle, c'est un jeu d'écriture. Les tenseurs remplacent les matrices lorsqu'il y a plus que deux espaces en cause.

Notation 7.3.6 (Rang tensoriel de la multiplication des matrices)
Soient m, n, p trois entiers > 0 et $\mathcal{K}$ un corps. On note $\langle m, n, p\rangle_{\mathcal{K}}$ (ou $\langle m, n, p\rangle$) l'application bilinéaire

$$(A, B) \longmapsto AB \quad \text{où} \quad A \in \mathcal{K}^{m\times n},\ B \in \mathcal{K}^{n\times p} \text{ et } AB \in \mathcal{K}^{m\times p}$$

On note donc le rang tensoriel par $R\,\langle m, n, p\rangle$, ou si on doit préciser $R_{\mathcal{K}}\,\langle m, n, p\rangle$.

Proposition 7.3.7 (Rang tensoriel de la multiplication des matrices)

(1) *Si* $m \leq m'$, $n \leq n'$ *et* $p \leq p'$ *alors* $R\,\langle m,n,p\rangle \leq R\,\langle m',n',p'\rangle$

(2) $R\,\langle mm',nn',pp'\rangle \leq R\,\langle m,n,p\rangle \cdot R\,\langle m',n',p'\rangle$

(3) $R\,\langle m_1+m_2,n_1+n_2,p_1+p_2\rangle \leq \sum_{i,j,k\in\{1,2\}} R\,\langle m_i,n_j,p_k\rangle$

(4) $R\,\left\langle n^\ell,n^\ell,n^\ell\right\rangle \leq (R\,\langle n,n,n\rangle)^\ell$

(5) $R\,\langle m,n,p\rangle$ *est invariant par permutation des entiers* m, n, p.

(6) $R\,\langle 1,n,1\rangle = n$ *et* $R\,\langle m,n,1\rangle = mn$

Preuve. Le point (1) est facile : on peut compléter des matrices correspondant au format (m,n,p) par des 0 pour en faire des matrices au format (m',n',p').
Les points (2), (3) résultent de la possibilité de faire des produits de matrices par blocs. Et (4) résulte de (2).
Le point (5) a été expliqué avant la proposition (voir page 201). On peut redire à peu près la même chose sous la forme suivante un peu plus abstraite, qui décrit peut-être mieux l'essence du résultat. Si E_1, E_2, E_3 sont trois $\mathcal{K}-$espaces vectoriels de dimensions finies p, n, m, alors la multiplication des matrices correspondante $\langle m,n,p\rangle : (A,B) \mapsto AB$ est un élément canonique θ de l'espace

$$\mathrm{Bil}(\mathrm{Hom}(E_2,E_3),\mathrm{Hom}(E_1,E_2);\mathrm{Hom}(E_1,E_3)) = \mathrm{Bil}(E,F;G)$$

Si nous notons $\mathrm{L}_3(E,F,G)$ l'espace des formes trilinéaires sur $E\times F\times G$, nous avons un isomorphisme canonique

$$\mathrm{Bil}(E,F;G) \simeq \mathrm{L}_3(E,F,G^\star) \qquad \psi \longmapsto \varphi = ((x,y,\gamma) \mapsto \gamma(\psi(x,y))$$

Dans la situation présente, il y a aussi une dualité canonique entre $\mathrm{Hom}(E_1,E_3) = G$ et $\mathrm{Hom}(E_3,E_1)$ donnée sous forme matricielle par $(C,D) \mapsto \mathrm{Tr}(CD)$, ce qui fournit un isomorphisme canonique entre $\mathrm{Hom}(E_3,E_1)$ et $G^\star$. Une fois mis bout à bout tous ces isomorphismes canoniques, on voit que l'élément canonique

$$\theta \in \mathrm{Bil}(\mathrm{Hom}(E_2,E_3),\mathrm{Hom}(E_1,E_2);\mathrm{Hom}(E_1,E_3))$$

correspond à l'élément canonique

$$\theta' \in \mathrm{L}_3(\mathrm{Hom}(E_2,E_3),\mathrm{Hom}(E_1,E_2),\mathrm{Hom}(E_3,E_1))$$

donné sous forme matricielle par $(A,B,D) \mapsto \mathrm{Tr}(ABD)$. Maintenant il est bien connu que $\mathrm{Tr}(ABD) = \mathrm{Tr}(BDA) = \mathrm{Tr}(DAB)$ et $\mathrm{Tr}(ABD) = \mathrm{Tr}({}^{\mathrm{t}}(ABD)) = \mathrm{Tr}({}^{\mathrm{t}}D\,{}^{\mathrm{t}}B\,{}^{\mathrm{t}}A)$. Ceci établit les symétries demandées.

Voyons maintenant le point (6). Nous reprenons les notations précédentes avec $E_1 = \mathcal{K}$, donc on identifie $\mathrm{Hom}(E_1, E_i)$ à E_i $(i = 2, 3)$. Regardons l'espace $\mathrm{Bil}(E, F; G)$ sous la forme (canoniquement équivalente) $\mathrm{Hom}(E, \mathrm{Hom}(F, G))$. Si on écrit le produit d'une matrice par un vecteur colonne $(A, X) \mapsto AX$ sous forme

$$\sum\nolimits_{i,j=1}^{i=m,j=n} \alpha_{ij} \otimes \beta_{j1} \otimes c_{i1} \quad = \quad \sum\nolimits_{\ell=1}^{r} \alpha_\ell \otimes \beta_\ell \otimes c_\ell$$

on voit que l'application linéaire correspondante de E vers $\mathrm{Hom}(F, G)$ est nulle sur $\bigcap_{l=1}^{r} \mathrm{Ker}(\alpha_\ell)$. Mais dans le cas présent, modulo les identifications précédentes, cette application linéaire n'est autre que l'application identique de E. Son noyau est donc réduit à $\{0\}$ et r est au moins égal à la dimension de E c'est-à-dire à mn. □

7.3.2 Exposant de la multiplication des matrices carrées

Définition 7.3.8 *On dit que* α est un exposant acceptable pour la multiplication des matrices carrées *si celle-ci peut être réalisée en* $\mathcal{SD}(n^\alpha, \log n)$. *La borne inférieure des exposants acceptables est appelée* l'exposant de la multiplication des matrices carrées *et elle est notée* ω.

A priori on devrait mettre en indice le corps $\mathcal{K}$ pour les exposants α et ω. Les résultats concernant ces exposants dont nous rendons compte sont cependant indépendants du corps $\mathcal{K}$ considéré.

Théorème 7.3 (Rang tensoriel et exposant de la multiplication des matrices carrées)

(1) *S'il existe* n *et* r *tels que* $R\,\langle n, n, n\rangle = r$ *alors l'exposant* $\alpha = \frac{\log r}{\log n}$ *est acceptable pour la multiplication des matrices carrées.*

(2) *S'il existe* m, n, p *et* r *tels que* $R\,\langle m, n, p\rangle = r$ *alors l'exposant* $\alpha = 3\,\frac{\log r}{\log mnp}$ *est acceptable pour la multiplication des matrices carrées.*

Preuve. Comme nous l'avons déjà remarqué le point (1) résulte du même calcul de complexité que celui fait dans la section 7.1.
Le point (2) résulte du point (1) puisque d'après les points (2) et (5) de la proposition 7.3.7 on a (avec $N = mnp$)

$$R\,\langle N, N, N\rangle \leq R\,\langle m, n, p\rangle\; R\,\langle n, p, m\rangle\; R\,\langle p, m, n\rangle = (R\,\langle m, n, p\rangle)^3$$

□

En fait la conclusion dans le théorème précédent est non seulement qu'il existe une famille de circuits arithmétiques dans la classe

$\mathcal{SD}(n^\alpha, \log n)$ qui réalise la multiplication des matrices carrées, mais qu'on sait construire explicitement une telle famille uniforme de circuits arithmétiques. En outre le temps de construction du circuit arithmétique numéro n est proportionnel à sa taille, selon les lignes de la preuve du théorème 7.2.

Le point (1) du théorème ci-dessus peut être précisé comme suit (par le même calcul qu'à la section 7.1).

Proposition 7.3.9 (Précision pour le théorème 7.3 (1)) *Supposons que l'application bilinéaire $\langle n, n, n\rangle$ puisse être calculée par un circuit arithmétique de profondeur ℓ contenant r multiplications essentielles et s autres opérations arithmétiques (addition, soustraction, multiplication par une constante), avec $r > n^2$. Alors l'application bilinéaire $\langle n^\nu, n^\nu, n^\nu\rangle$ peut être calculée par un circuit arithmétique de profondeur $\nu\,\ell$ contenant r^ν multiplications essentielles et $s\,\frac{r^\nu - n^{2\nu}}{r - n^2}$ autres opérations arithmétiques.*

7.3.3 Complexité bilinéaire versus complexité multiplicative

Soient $\mathcal{K}$ un corps, H, G deux $\mathcal{K}-$espaces vectoriels de dimension finie. Une *application quadratique* de H vers G est par définition une application de la forme $\Psi : x \mapsto \psi(x, x)$ où $\psi \in \mathrm{Bil}(H, H; G)$. Si $(h_i)_{i\in I}$ et $(g_\ell)_{\ell\in L}$ sont des bases de H et G il revient au même de dire que chaque coordonnée de $\Psi(x)$ est une forme quadratique en x, c'est-à-dire un polynôme homogène du second degré en les coordonnées de x. Si les coordonnées de x sont prises comme variables, on peut alors considérer les programmes d'évaluation arithmétiques sans division qui permettent de calculer les coordonnées de $\Psi(x)$. La *complexité multiplicative de* Ψ est alors définie comme la plus petite longueur multiplicative d'un tel programme d'évaluation. Nous la noterons $M(\Psi)$. Comme les changements de base ne coûtent rien en longueur multiplicative cette définition ne dépend pas du choix des bases. Le lemme suivant est une paraphrase de la proposition 3.1.6 dans le cas d'une application quadratique.

Lemme 7.3.10 *Avec les notations précédentes la complexité multiplicative d'une application quadratique Ψ est aussi égale au plus petit entier r tel que Ψ puisse s'écrire comme composée de trois applications selon*

le format suivant

$$H \xrightarrow{(\eta,\zeta)} \mathcal{K}^r \times \mathcal{K}^r \xrightarrow{\mu_r} \mathcal{K}^r \xrightarrow{g} G$$

où $\eta : H \to \mathcal{K}^r$, $\zeta : H \to \mathcal{K}^r$ *et* $g : \mathcal{K}^r \to G$ *sont des applications linéaires et* $\mu_r : \mathcal{K}^r \times \mathcal{K}^r \to \mathcal{K}^r$ *est le produit coordonnée par coordonnée. Un programme d'évaluation arithmétique correspondant à cette décomposition s'appelle un* calcul quadratique de Ψ.

Remarque 7.3.11 Si on considérait des circuits arithmétiques avec division on ne pourrait pas diminuer pour autant la longueur multiplicative pour évaluer une application quadratique, au moins dans le cas d'un corps infini, d'après le théorème 3.1 et la proposition 3.2.3.

Proposition 7.3.12 *Soient* $\mathcal{K}$ *un corps,* E, F, G *trois* $\mathcal{K}$*–espaces vectoriels de dimension finie. Soit* $\psi \in \mathrm{Bil}(E, F; G)$ *et* $H = E \times F$. *Alors* ψ *est une application quadratique de* H *vers* G. *Sa complexité bilinéaire* $R(\psi)$ *et sa complexité multiplicative* $M(\psi)$ *sont reliées par*

$$M(\psi) \leq R(\psi) \leq 2M(\psi)$$

Preuve. La première inégalité est évidente. Pour la seconde considérons un programme quadratique comme dans le lemme 7.3.10 qui calcule $\psi(u, v)$ avec $m = M(\psi)$ multiplications essenteielles. On a donc

$$\psi(u, v) = \sum\nolimits_{\ell=1}^{m} \alpha_\ell(u, v) \cdot \beta_\ell(u, v) \cdot g_\ell$$

où les α_ℓ et β_ℓ sont dans $H^\star$. Remarquons qu'on a

$$\begin{aligned} \alpha_\ell(u, v) \cdot \beta_\ell(u, v) \quad = \quad & \alpha_\ell(u, 0) \cdot \beta_\ell(u, 0) + \alpha_\ell(0, v) \cdot \beta_\ell(0, v) + \\ & \alpha_\ell(u, 0) \cdot \beta_\ell(0, v) + \alpha_\ell(0, v) \cdot \beta_\ell(u, 0) \end{aligned}$$

Puisque $\psi(u, v)$ est bilinéaire on a $\psi(u, 0) = 0$ et on peut supprimer les termes $\alpha_\ell(u, 0) \cdot \beta_\ell(u, 0) \cdot g_\ell$ dont la somme est nulle. Même chose avec $\psi(0, v) = 0$ et finalement on obtient

$$\psi(u, v) = \sum\nolimits_{\ell=1}^{m} (\alpha_\ell(u, 0) \cdot \beta_\ell(0, v) + \beta_\ell(u, 0) \cdot \alpha_\ell(0, v)) \cdot g_\ell$$

et ceci montre que $R(\psi) \leq 2r$. □

On en déduit le résultat suivant qui relie le rang tensoriel et l'exposant de la multiplication des matrices carrées.

Théorème 7.4 *L'exposant ω de la multiplication des matrices carrées est égal à la borne inférieure des exposants α qui vérifient, pour au moins un entier n, l'inégalité $R\,\langle n,n,n\rangle \leq n^\alpha$. On a aussi*

$$\omega = \lim_{n\to\infty} \frac{\log R\,\langle n,n,n\rangle}{\log n} = \lim_{n\to\infty} \frac{\log M(\langle n,n,n\rangle)}{\log n}$$

où chaque suite converge vers sa borne inférieure.

Preuve. Il est clair d'après la proposition 7.3.12 que les deux suites considérées ont la même borne inférieure β.
On a le résultat direct plus précis dans le théorème 7.3 : tout exposant α strictement supérieur à la borne inférieure des $\frac{\log R\,\langle n,n,n\rangle}{\log n}$ est acceptable pour la multiplication des matrices carrées.
Pour la réciproque on considère un $\alpha > \beta$. Pour un n_0 assez grand on a un programme d'évaluation sans division de longueur $< n_0^\alpha/2$ qui calcule l'application quadratique $\langle n_0,n_0,n_0\rangle$. A fortiori sa longueur multiplicative est $< n_0^\alpha/2$ et on a $R\,\langle n_0,n_0,n_0\rangle \leq 2M(\langle n_0,n_0,n_0\rangle) < n_0^\alpha$.
□

Malgré la relation très étroite entre $M(\psi)$ et $R(\psi)$, c'est seulement la considération du rang tensoriel qui permet de démontrer les résultats de base concernant l'exposant de la multiplication des matrices. Cela tient à ce que la proposition 7.3.7 ne serait pas vraie en remplaçant le rang tensoriel par la longueur multiplicative. Le fait d'interdire la commutation dans les tenseurs est ce qui permet de traiter correctement le produit des matrices par blocs.

7.3.4 Extension du corps de base

Soient $\mathcal{K}$ un corps, E, F, G trois $\mathcal{K}-$espaces vectoriels de dimension finie. Soit $\psi \in \mathrm{Bil}(E,F;G)$. Si $\mathcal{L}$ est une extension de $\mathcal{K}$ on peut *étendre* ψ *à* $\mathcal{L}$ de manière naturelle. Nous nous en tiendrons ici à un point de vue pragmatique et purement calculatoire. Si $(e_i)_{i\in I}$, $(f_j)_{j\in J}$, $(g_\ell)_{\ell\in L}$ sont des bases de E, F, G et si

$$\psi \quad = \quad \sum\nolimits_{i,j,\ell} \gamma_{ij\ell}\, e_i^\star \otimes f_j^\star \otimes g_\ell$$

nous considérons trois $\mathcal{L}-$espaces vectoriels $E_\mathcal{L}$, $F_\mathcal{L}$, $G_\mathcal{L}$ ayant les mêmes bases et l'extension $\psi_\mathcal{L}$ de ψ est définie par la même égalité. Comme tout calcul bilinéaire dans $\mathcal{K}$ est aussi un calcul bilinéaire dans $\mathcal{L}$ on a nécessairement l'inégalité $R_\mathcal{L}(\psi_L) \leq R_\mathcal{K}(\psi)$, mais il se peut

que l'utilisation de constantes dans $\mathcal{L}$ puisse faciliter le calcul de ψ et l'inégalité peut être stricte.

Nous allons cependant voir dans ce paragraphe que l'exposant de la multiplication des matrices ne peut pas changer lorsqu'on passe d'un corps $\mathcal{K}$ à une extension $\mathcal{L}$.

Lemme 7.3.13 *Avec les notations précédentes*
1) Si $\mathcal{L}$ est une extension finie de $\mathcal{K}$ de degré n il existe un entier $m \leq n^3$ tel que pour toute application bilinéaire ψ on a $R_{\mathcal{K}}(\psi) \leq m\, R_{\mathcal{L}}(\psi_L)$. En particulier l'exposant de la multiplication des matrices ne change pas lorsqu'on passe de $\mathcal{K}$ à $\mathcal{L}$.
2) Si $\mathcal{L} = \mathcal{K}(t)$ (corps des fractions rationnelles en t) et si $\mathcal{K}$ est infini, on a l'égalité $R_{\mathcal{L}}(\psi_L) = R_{\mathcal{K}}(\psi)$.

Preuve. Dans le cas 2) la famille finie des constantes $c_s(t)$ dans $\mathcal{L}$ utilisées par le circuit arithmétique peut être remplacée par des constantes $c_s(a)$ où $a \in \mathcal{K}$ est choisi de manière à n'annuler aucun des dénominateurs.
Dans le cas 1) considérons une base $b = (1, b_2, \ldots, b_n)$ de $\mathcal{L}$ lorsqu'on le voit comme $\mathcal{K}-$espace vectoriel. La multiplication dans $\mathcal{L}$ représente une application bilinéaire sur $\mathcal{K}$ lorsqu'elle est traduite dans les coordonées sur la base b. Cette application bilinéaire $\mathcal{L} \times \mathcal{L} \to \mathcal{L}$ peut être réalisée par $m \leq n^3$ multiplications essentielles dans $\mathcal{K}$. En fait la constante m peut être prise égale au rang tensoriel de cette application bilinéaire, qui est en général noté $R_{\mathcal{K}}(\mathcal{L})$.
Tout calcul bilinéaire dans $\mathcal{L}$ peut alors être mimé par un calcul bilinéaire dans $\mathcal{K}$ de la manière suivante. Chaque variable x_i sur $\mathcal{L}$ est remplacée par n variables $x_{i,n}$ sur $\mathcal{K}$ qui représentent les coordonnées de x_i sur la base b. Seules les multiplications essentielles du calcul dans $\mathcal{L}$ produisent des multiplications essentielles dans $\mathcal{K}$. Dans cette simulation, le nombre de multiplications essentielles est multiplié par la constante m.
Si maintenant $\alpha > \omega_{\mathcal{L}}$ il existe un entier n tel que $R_{\mathcal{L}}\ \langle n, n, n\rangle < n^{\alpha}$, donc pour une puissance convenable $N = n^{\ell}$ on a $R_{\mathcal{K}}\ \langle N, N, N\rangle \leq R_{\mathcal{K}}(\mathcal{L}) \cdot R_{\mathcal{L}}\ \langle N, N, N\rangle < N^{\alpha}$, donc $\alpha \geq \omega_{\mathcal{K}}$. □

On en déduit le résultat suivant dû à Schönhage ([82]).

Proposition 7.3.14 *L'exposant de la multiplication des matrices carrées sur un corps $\mathcal{K}$ ne dépend que de la caractéristique de $\mathcal{K}$.*

Preuve. Il suffit de prouver que l'exposant ne change pas lorsqu'on passe d'un corps premier $\mathcal{K}$ ($\mathbb{Q}$ ou l'un des $\mathbb{F}_p$) à l'une de ses extensions

$\mathcal{L}$. Supposons qu'on ait $R_{\mathcal{L}}(\langle n,n,n\rangle) \leq r \leq n^{\alpha}$, c'est-à-dire qu'on ait sur le corps $\mathcal{L}$ une égalité

$$\sum\nolimits_{i,j,k\in\{1,\ldots,n\}} \alpha_{ij} \otimes \beta_{jk} \otimes c_{ik} \quad = \quad \sum\nolimits_{\ell=1}^{r} \alpha_{\ell} \otimes \beta_{\ell} \otimes c_{\ell}$$

On peut considérer les coordonnées des α_ℓ, β_ℓ, c_ℓ sur les bases α_{ij}, β_{ij}, c_{ij} comme $3rn^2$ indéterminées z_s. L'égalité des deux tenseurs ci-dessus signifie que ces indéterminées vérifient un système de n^6 équations polynomiales de degré 3 dont tous les coefficients sont égaux à 1 ou 0. Maintenant, le lecteur ou la lectrice connaît peut-être le beau résultat suivant [7] : lorsqu'un système d'équations polynomiales sur un corps $\mathcal{K}$ admet une solution dans une extension $\mathcal{L}$, alors il admet une solution dans une extension finie de $\mathcal{K}$. On est donc ramené au premier cas du lemme précédent. □

Remarque 7.3.15 L'exposant $\omega_{\mathcal{K}}$ peut donc être étudié en prenant pour $\mathcal{K}$ la clôture algébrique de $\mathbb{Q}$ ou de $\mathbb{F}_p$. Lorsqu'on a affaire à un corps algébriquement clos $\mathcal{K}$ le rang tensoriel $R_{\mathcal{K}}(\langle n,n,n\rangle)$ est calculable en principe (sinon en pratique) car savoir si $R_{\mathcal{K}}(\langle n,n,n\rangle) \leq m$ revient à déterminer si un système d'équations algébriques admet ou non une solution (comme dans la preuve de la proposition 7.3.14). Et on sait, en principe, répondre à ce genre de questions par un algorithme d'élimination. On ne sait cependant pas grand chose concernant $\omega_{\mathcal{K}}$. Cet exposant mythique est un nombre compris entre 2 et $2,38$. Mais on ne sait apparemment toujours rien sur la vitesse avec laquelle la suite $\log R_{\mathcal{K}}(\langle n,n,n\rangle)/\log n$ (cf. théorème 7.4) converge vers $\omega_{\mathcal{K}}$. Il se pourrait que la vitesse de convergence soit si lente que le nombre $\omega_{\mathcal{K}}$ serait définitivement impossible à calculer.

7.4 Accélération par la méthode des calculs bilinéaires approximatifs

7.4.1 Méthode de Bini

La méthode des calculs bilinéaires approximatifs est inspirée des méthodes numériques approchées, elle a été inventée par Bini et elle

7. Ce résultat admet de nombreuses preuves, dont certaines tout à fait explicites. Essentiellement c'est un résultat de la théorie de l'élimination. On peut le faire découler du Nullstellensatz de Hilbert, du lemme de normalisation de Noether ou encore de la théorie des bases de Gröbner. Il se trouve dans les bons livres d'algèbre.

a quelque parenté avec l'élimination des divisions de Strassen. Elle a débloqué la situation pour l'exposant ω de la multiplication des matrices.

Un exemple est le produit de deux matrices $A, B \in \mathcal{A}^{2\times 2}$ avec la première qui a son coefficient $a_{2,2}$ nul. On schématise ce produit sous la forme suivante (figure 7.1). Ce *produit matriciel à trous* correspond

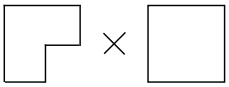

Figure 7.1 – Produit matriciel à trou de Bini

à un tenseur de rang 6 qui s'écrit avec la notation des polynômes non commutatifs

$$\psi = a_{11}b_{11}c_{11} + a_{12}b_{21}c_{11} + a_{21}b_{11}c_{21} + a_{11}b_{12}c_{12} + a_{12}b_{22}c_{12} + a_{21}b_{12}c_{22}$$

On introduit (pour les mêmes variables) un tenseur de rang 5 perturbé par des $\varepsilon\, x_{ij}$ (avec $x = a,\ b$ ou c).

$$\begin{aligned}\varphi(\varepsilon) \quad = \quad & (a_{12} + \varepsilon a_{11})\,(b_{12} + \varepsilon b_{22})\,c_{21} + (a_{21} + \varepsilon a_{11})\,b_{11}\,(c_{11} + \varepsilon c_{12}) \\ & -a_{12}\,b_{12}\,(c_{11} + c_{21} + \varepsilon c_{22}) - a_{12}\,(b_{11} + b_{12} + \varepsilon b_{21})\,c_{11} \\ & +(a_{12} + a_{21})\,(b_{12} + \varepsilon b_{21})\,(c_{11} + \varepsilon c_{22})\end{aligned}$$

Lorsqu'on développe on obtient

$$\varphi(\varepsilon) = \varepsilon\,\psi + \varepsilon^2\,\theta(\varepsilon)$$

Numériquement on a donc lorsque ε est suffisamment petit $\psi \simeq \varphi(\varepsilon)/\varepsilon$. On dit que φ constitue une approximation d'ordre 1 de ψ. On peut transformer ceci en un calcul purement formel dans l'anneau des développements limités à l'ordre 1 en ε comme lorsqu'on élimine les divisions à la Strassen. Naturellement, il n'y a pas de miracle, cela ne donne pas une écriture de ψ comme somme de 5 tenseurs élémentaires. Mais il y a néanmoins quelque chose à gagner en prenant un peu de recul et en analysant en détail ce qui se passe. Tout d'abord en appliquant le schéma suivant (où on fait un produit par blocs non rectangulaires !) on constate que le produit matriciel $\langle 3, 2, 2\rangle$ peut être réalisé de manière approximative (à l'ordre 1) par une somme de 10 tenseurs élémentaires au lieu de 12. Grâce au produit de matrices par blocs rectangulaires on pourra alors réaliser $\langle 12, 12, 12\rangle$ de manière approximative (à un ordre

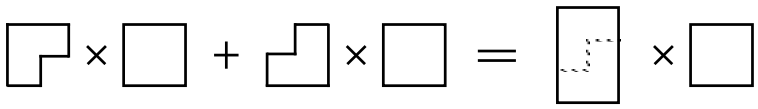

Figure 7.2 – Produit matriciel plein

convenable, nous allons définir cela un peu plus loin) comme somme de 10^3 tenseurs élémentaires au lieu des 12^3 nécessaires dans la méthode usuelle. Enfin il reste à réaliser que lorsqu'on passe (grâce au produit par blocs) à $\langle 12^n, 12^n, 12^n \rangle$ l'ordre d'approximation ne croît pas trop vite et que le coût du décryptage d'un calcul bilinéaire approximatif en un calcul bilinéaire exact devient négligeable devant $10^{\varepsilon n}$ pour n'importe quel $\varepsilon > 0$. Tout ceci ramène l'exposant ω à

$$3 \log(10)/\log(12) < 2,78 < 3 \log(7)/\log(8) = 2,807$$

Nous devons maintenant donner des définitions et énoncés plus précis pour vérifier que ce plan de travail fonctionne bien.

Définition 7.4.1 *Soient $\mathcal{K}$ un corps, E, F, G trois $\mathcal{K}$ – espaces vectoriels de dimensions finies. Soit $\psi \in \mathrm{Bil}(E, F; G)$. Soit $\mathcal{L} = \mathcal{K}[\varepsilon]$ l'anneau des polynômes en la variable ε sur $\mathcal{K}$. Un élément $\varphi(\varepsilon)$ de $\mathrm{Bil}(E_{\mathcal{L}}, F_{\mathcal{L}}; G_{\mathcal{L}})$ est appelé une* approximation d'ordre q de ψ *si on a*

$$\varphi(\varepsilon) \equiv \varepsilon^q \, \psi \qquad \text{modulo} \quad \varepsilon^{q+1}$$

Un calcul bilinéaire de $\varphi(\varepsilon)$ est appelé un calcul bilinéaire approximatif de ψ à l'ordre q. *On appelle* rang tensoriel marginal de ψ à l'ordre q *le plus petit rang possible pour un calcul bilinéaire approximatif de ψ à l'ordre q. On le note $\underline{R}(\psi, q)$. Enfin, le* rang tensoriel marginal de ψ *est le plus petit des $\underline{R}(\psi, q)$ et il est noté $\underline{R}(\psi)$. Nous dirons aussi plus simplement le* rang marginal de ψ.

Remarque 7.4.2 Nous utilisons ici des calculs bilinéaires sur un anneau, comme il était indiqué dans la remarque 7.3.4. De même l'extension de ψ à l'anneau $\mathcal{K}[\varepsilon]$ se fait comme dans le cas d'une extension du corps de base (cf. page 207).

Remarque 7.4.3 Il est clair que lorsque q augmente, le rang tensoriel marginal à l'ordre q d'une application bilinéaire ne peut que diminuer,

autrement dit

$$R(\psi) \;=\; \underline{R}(\psi,0) \;\geq\; \underline{R}(\psi,1) \;\geq\; \cdots \;\geq\; \underline{R}(\psi,q) \;\geq\; \underline{R}(\psi,q+1) \;\cdots$$

Le rang tensoriel marginal à l'ordre q d'une application bilinéaire est a priori nettement plus difficile à calculer que son rang tensoriel. Le rang marginal est encore plus difficile à établir. En fait on est satisfait quand on a établi une bonne majoration du rang marginal en explicitant un calcul bilinéaire approximatif.

Quel est le coût d'un décryptage d'un calcul bilinéaire approximatif à l'ordre q ? Nous avons déjà fait un calcul analogue dans la preuve de la proposition 3.1.6 qui concernait la possibilité d'une mise en forme simplifiée des circuits arithmétiques sans division.

On commence par considérer que le calcul bilinéaire de $\varphi(\varepsilon)$ se passe non pas sur l'anneau $\mathcal{L} = \mathcal{K}[\varepsilon]$ mais sur l'anneau des développements limités à l'ordre q. Ensuite on simule toute variable Z, qui représente un élément de $\mathcal{K}[\varepsilon]$ modulo ε^q, par $q+1$ variables $Z^{[k]}$ dans $\mathcal{K}$ $(0 \leq k \leq q)$ qui représentent les coefficients de Z en dessous du degré q. Quand on doit calculer le coefficient de ε^q dans un tenseur $X(\varepsilon)\,Y(\varepsilon)\,Z(\varepsilon)$ on voit qu'on doit faire la somme des $X^{[i]}\,Y^{[j]}\,Z^{[k]}$ pour tous les triplets (i,j,k) dont la somme vaut q. Il y a au plus $(q+1)(q+2)/2$ triplets de ce type. En termes de rang tensoriel, cela signifie donc que le rang tensoriel de ψ est majoré par $(q+1)(q+2)/2$ fois son rang marginal à l'ordre q. Nous avons donc établi le lemme suivant.

Lemme 7.4.4 *Soit ψ une application bilinéaire définie sur un corps $\mathcal{K}$. Si un calcul bilinéaire approximatif à l'ordre q de ψ a une complexité bilinéaire ℓ, on en déduit par décryptage un calcul bilinéaire de ψ de complexité bilinéaire $\leq \ell \cdot (q+1)(q+2)/2$. En bref*

$$R(\psi) \;\leq\; \frac{(q+1)(q+2)}{2}\;\underline{R}(\psi,q) \qquad \big(\leq\; q^2\;\underline{R}(\psi,q) \quad \text{si} \quad q \geq 4\big)$$

Maintenant nous devons examiner comment se comporte le rang marginal du produit matriciel lorsqu'on utilise des produits par blocs.

Proposition 7.4.5 (Rang tensoriel marginal de la multiplication des matrices)

(1) *Le rang marginal $\underline{R}(\langle m,n,p\rangle\,,q)$ est une fonction croissante de chacun des entiers m, n, p et décroissante de l'entier q.*

(2) $\underline{R}(\langle mm', nn', pp'\rangle, q+q') \leq \underline{R}(\langle m,n,p\rangle, q)\cdot\underline{R}(\langle m',n',p'\rangle, q')$. *En particulier avec* $N = mnp$ *on a*
$$\underline{R}(\langle N,N,N\rangle, 3q) \leq (\underline{R}(\langle m,n,p\rangle, q))^3$$
(3) $\underline{R}(\langle m_1+m_2, n_1+n_2, p_1+p_2\rangle, q) \leq \sum_{i,j,k\in\{1,2\}} \underline{R}(\langle m_i, n_j, p_k\rangle, q)$
(4) $\underline{R}\left(\langle n^\ell, n^\ell, n^\ell\rangle, \ell q\right) \leq \underline{R}(\langle n,n,n\rangle, q)^\ell$
(5) $\underline{R}(\langle m,n,p\rangle, q)$ *est invariant par permutation des entiers* m, n, p.

Preuve. Tout se passe comme avec le rang tensoriel usuel dans la preuve de la proposition 7.3.7. Le seul point qui demande un peu d'attention est le point (2). La meilleure manière de le comprendre est (encore une fois) de prendre du recul. Il faut prendre du recul sur ce que représente le tenseur $\langle m_1m_2, n_1n_2, p_1p_2\rangle$ par rapport aux tenseurs $\langle m_1, n_1, p_1\rangle$ et $\langle m_2, n_2, p_2\rangle$. Lorsque nous voyons une matrice A de type $m_1m_2 \times n_1n_2$ comme une matrice de type $m_1 \times n_1$ ayant pour entrées des matrices A_{ij} de type $m_2 \times n_2$ nous repérons une entrée de la grosse matrice par deux paires d'indices $((i_1, j_1), (i_2, j_2))$ correspondant au couple d'indices $(i_1(m_2-1)+i_2, j_1(n_2-1)+j_2)$ comme dans l'exemple décrit par la figure 7.4.1 avec $(m_1, n_1) = (5, 6)$, $(m_2, n_2) = (3, 4)$, $(i_1, i_2) = (3, 1)$ et $(j_1, j_2) = (4, 2)$.

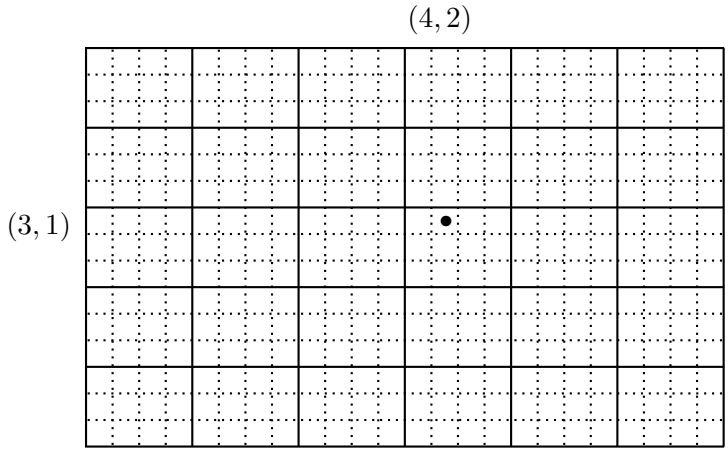

Figure 7.3 – Numérotation par blocs

Cependant la mise en ligne de la paire (i_1, i_2) sous forme $i_1(m_2-1)+i_2$, si elle est indispensable au dessin et à une première compréhension des choses, est plutôt un obstacle pour ce qui concerne la compréhension du calcul « emboité » que représente un produit par blocs. Prenons en

effet les indices dans la grande matrice sous forme des couples $(i,j) = ((i_1,i_2),(j_1,j_2))$ comme dans la figure 7.4.1 (et non pas $(i_1(m_2-1)+i_2, j_1(n_2-1)+j_2)$ ni non plus $((i_1,j_1),(i_2,j_2))$). Nous obtenons, en notation de polynômes non commutatifs :

$$\langle m_1m_2, n_1n_2, p_1p_2\rangle \;=\; \sum_{i,j,k} a_{i,j}\; b_{j,k}\; c_{i,k}$$

(où la somme est prise sur $i \in I_1 \times I_2,\ j \in J_1 \times J_2,\ k \in K_1 \times K_2$ pour des ensembles d'indices de cardinalités convenables). Alors nous avons l'égalité :

$$\langle m_1m_2, n_1n_2, p_1p_2\rangle \;=\; \langle m_1,n_1,p_1\rangle\ \langle m_2,n_2,p_2\rangle$$

où

$$\begin{array}{rcl} \langle m_1,n_1,p_1\rangle & = & \sum_{i_1,j_1,k_1} a_{i_1,j_1}\, b_{j_1,k_1}\, c_{i_1,k_1} \text{ et} \\ \langle m_2,n_2,p_2\rangle & = & \sum_{i_2,j_2,k_2} a'_{i_2,j_2}\, b'_{j_2,k_2}\, c'_{i_2,k_2} \end{array}$$

(nous avons mis des $'$ pour le cas où les ensembles d'indices dans le premier tenseur ne seraient pas disjoints de ceux du second) *à condition de respecter les règles de calcul suivantes*

$$\begin{array}{rcll} x_{(i_1,i_2),(j_1,j_2)} & = & x_{i_1,j_1}\, x'_{i_2,j_2} & (x \text{ vaut pour } a,\ b \text{ ou } c) \\ x_{i_1,j_1}\, y'_{i_2,j_2} & = & y'_{i_2,j_2}\, x_{i_1,j_1} & (\text{idem avec } x \text{ et } y \neq x) \end{array}$$

Une fois ceci constaté, nous n'avons même plus besoin de penser au calcul emboité que représente le produit par blocs. Nos nouvelles règles de calcul fonctionnent toutes seules et produisent automatiquement le résultat (2) aussi bien dans la proposition 7.3.7 que dans la proposition 7.4.5. Nous sommes en effet ramenés maintenant à la constatation banale suivante concernant les développements limités : le premier terme non nul du produit de deux développements limités est le produit des premiers termes non nuls de chacun des deux développements limités. Et les ordres des deux développements limités s'ajoutent. □

Le raisonnement fait au début de ce paragraphe, en tenant compte de la proposition 7.4.5 et du lemme 7.4.4 donne alors le résultat de Bini.

Théorème 7.5 (1) *S'il existe n et r tels que $\underline{R}\ \langle n,n,n\rangle \leq r$ alors $n^\omega \leq r$, c'est-à-dire $\omega \leq \frac{\log r}{\log n}$.*

(2) *S'il existe m, n, p tels que $\underline{R}\ \langle m,n,p\rangle \leq r$ alors $(mnp)^{\omega/3} \leq r$, c'est-à-dire $\omega \leq 3\,\frac{\log r}{\log mnp}$.*

En bref, pour ce qui concerne l'exposant ω, une inégalité $\underline{R}\ \langle m,n,p\rangle \leq r$ donne le même résultat qu'une inégalité $R\ \langle m,n,p\rangle \leq r$.

On pourra remarquer que la preuve du théorème 7.5 est tout à fait explicite. Si on connait un calcul bilinéaire approximatif à l'ordre q qui utilise r multiplications essentielles pour le produit matriciel $\langle m,n,p\rangle$ et si $\alpha > 3\,\frac{\log r}{\log mnp}$ alors on sait construire un entier N et un calcul bilinéaire pour le produit matriciel $\langle N,N,N\rangle$ qui utilise moins de N^α multiplications essentielles.

Corollaire 7.4.6 *On a pour l'exposant de la multiplication des matrices carrées* $\omega \leq 3\,\log 10/\log 12 < 2.7799$.

7.4.2 Une première amélioration décisive de Schönhage

La méthode de Bini n'a pas donné dans un premier temps une amélioration très importante de l'exposant ω mais elle a ouvert la voie aux améliorations suivantes, beaucoup plus substantielles.

Dans la méthode de Strassen on remplace pour calculer le produit matriciel $\langle 2,2,2\rangle$ le calcul bilinéaire avec 8 multiplications (correspondant à la définition du produit) par un calcul bilinéaire avec seulement 7 multiplications essentielles, et on obtient $\omega \leq 3\,\log 7/\log 8$. Dans la méthode de Bini, on utilise un produit de matrices à trous dans lesquel les 6 multiplications qui interviennent dans la définition du produit matriciel peuvent être remplacées (dans un calcul bilinéaire approximatif) par seulement 5 multiplications essentielles. Cependant au lieu d'aboutir à $\omega \leq 3\,\log 5/\log 6$ comme dans la méthode de Strassen, on a abouti à $\omega \leq 3\,\log 10/\log 12$. Schönhage a pensé qu'il y avait là quelque chose d'immoral et il a obtenu dans un travail mémorable (voir [82]) l'amélioration décisive suivante.

Théorème 7.6 *Si dans un produit de matrices à trous, on est capable de remplacer, dans un calcul bilinéaire approximatif, les* ρ *multiplications qui interviennent dans la définition du produit matriciel par seulement* θ *multiplications essentielles, alors* $\omega \leq 3\,\frac{\log\theta}{\log\rho}$. *En particulier* $\omega \leq 3\,\frac{\log 5}{\log 6} \leq 2,695$.

Le reste de ce paragraphe est consacré à la preuve de ce théorème, selon les lignes de [82]. La preuve est faite sur un corps $\mathcal{K}$ infini, ce qui est légitime d'après la proposition 7.3.14. Le plus simple est de commencer sur un exemple. Nous allons voir directement sur l'exemple de Bini quelle est la machinerie mise en œuvre par Schönhage. La méthode itérative de

Strassen donne des produits matriciels à trous successifs du type suivant (figures 7.4 et 7.5). Le produit matriciel à trous itéré une fois de la figure

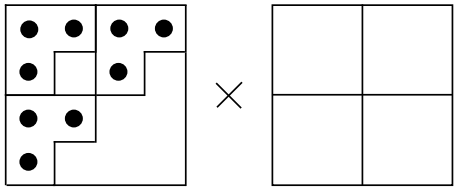

Figure 7.4 – Bini itéré une fois

7.4 peut être obtenu par un calcul bilinéaire approximatif d'ordre 2 et de rang 5^2 (au lieu de 6^2). Ceci se démontre comme le point (2) dans la proposition 7.4.5. Le produit matriciel à trous itéré deux fois (figure 7.5)

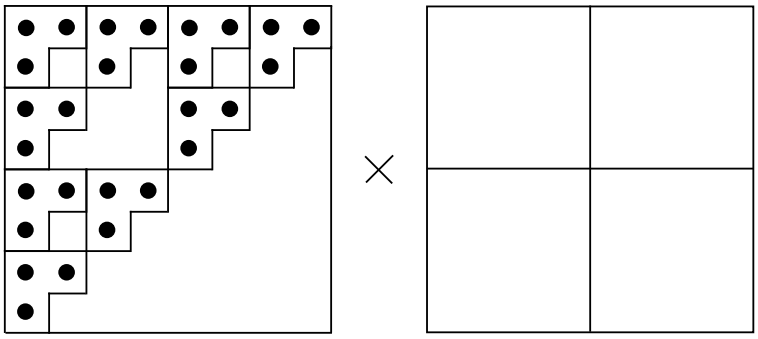

Figure 7.5 – Bini itéré deux fois

peut être obtenu par un calcul bilinéaire approximatif d'ordre 3 et de rang 5^3. Ceci se démontre aussi comme le point (2) dans la proposition 7.4.5.

Plus généralement, la même preuve donne.

Proposition 7.4.7 *Notons φ l'application bilinéaire qui correspond à un produit matriciel à trou $(A, B) \mapsto A\,B$ où certaines entrées fixées de A et B sont nulles et les autres sont des variables inépendantes. Notons $\varphi^{\otimes k}$ le produit matriciel à trou obtenu en itérant $k-1$ fois le produit φ. Alors on a*

$$R\left(\varphi^{\otimes k}\right) \leq (R(\varphi))^k$$

et

$$\underline{R}\left(\varphi^{\otimes k}, kq\right) \leq \left(\underline{R}(\varphi, q)\right)^k$$

De même si on emboîte dans un produit par blocs deux produits matriciels à trous φ *et* ψ *et qu'on note* $\varphi \otimes \psi$ *le produit matriciel à trous que l'on obtient, on a les inégalités*

$$R\left(\varphi \otimes \psi\right) \leq R(\varphi)\, R(\psi)$$

et

$$\underline{R}\left(\varphi \otimes \psi, q + q'\right) \leq \underline{R}(\varphi, q)\, \underline{R}(\psi, q')$$

Revenons à notre exemple. Dans le produit de la figure 7.5 nous pouvons sélectionner les 3 colonnes 2, 3, 5 de la première matrice, qui contiennent chacune 4 véritables entrées et les lignes 2, 3, 5 de la deuxième, qui contiennent 8 entrées. On obtient le produit à trous $U \times V = W$ suivant (figure 7.6). Du point de vue du calcul bilinéaire approximatif, cette extraction de lignes et de colonnes revient simplement à remplacer des variables par des 0 et donc ne peut que le simplifier. Si nous

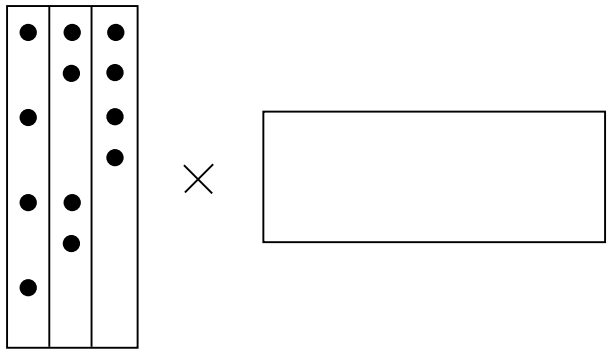

Figure 7.6 – Produit à trous extrait de « Bini itéré deux fois »

considérons maintenant une matrice fixée $G \in \mathcal{K}^{4\times 8}$ l'application linéaire $\mu_G : U \mapsto GU$ est en fait une application linéaire entre deux espaces vectoriels de dimension 12. Admettons un moment que les coefficients de G peuvent être choisis de manière que μ_G soit un isomorphisme (lemme de compression). En posant $GU = U'$ on voit que le produit matriciel *sans trou* $\langle 4, 3, 8\rangle$ est réalisé sous forme $(U', V) \mapsto U' \times V$ par un calcul bilinéaire approximatif d'ordre 3 et de rang 5^3 : décrypter

U' pour obtenir U (sans aucune multiplication essentielle) puis calculer $U \times V$.

De manière plus générale, nous pouvons considérer le produit à trous $A_k \times B_k$ obtenu en itérant $k-1$ fois le processus de Bini. La matrice A_k est de plus en plus creuse. Dans chaque colonne, le nombre d'entrées véritables est égal à une puissance de 2. En sélectionnant les colonnes ayant un même nombre d'entrées (disons m_k colonnes avec 2^{h_k} entrées non nulles), on obtient un produit à trous $U_k \times V_k = W_k$ à l'intérieur du format $\langle 2^k, m_k, 2^k \rangle$. Chaque colonne de U_k a exactement 2^{h_k} entrées véritables. En appliquant le lemme de compression, nous choisissons une matrice convenable $G_k \in \mathcal{K}^{2^{h_k} \times 2^k}$ nous remplaçons U_k par $U'_k = G_k\, U_k$ et nous obtenons un produit matriciel sans trou $\langle 2^{h_k}, m_k, 2^k \rangle$ sous la forme $(U'_k, V_k) \mapsto U'_k \times V_k$ par un calcul bilinéaire approximatif d'ordre k et de rang 5^k.

Quel est le comportement asymptotique de ce calcul ? On peut facilement se convaincre que le produit $m_k\, 2^{h_k}$ est obtenu comme l'un des termes du développement de $(1+2)^k$ selon la formule du binôme. Cela tient à ce que la matrice à trous initiale possède une colonne à deux entrées et une autre à une entrée. Comme la formule du binôme est une somme de $(k+1)$ termes, le plus grand de ces termes est certainement supérieur à $3^k/(k+1)$. Donc par un choix optimal de h_k nous obtenons

$$N_k = 2^{h_k} \cdot m_k \cdot 2^k \geq \frac{6^k}{k+1}$$

Donc en appliquant la proposition 7.4.7

$$\underline{R}\left(\langle N_k, N_k, N_k \rangle, 3k\right) \leq 5^{3k}$$

d'où en appliquant le lemme 7.4.4

$$R\,\langle N_k, N_k, N_k \rangle \leq 9k^2\, 5^{3k}$$

ce qui donne bien par passage à la limite $\omega \leq 3\,\frac{\log 5}{\log 6}$.

Avant de passer à la preuve dans le cas général, nous montrons le lemme de compression.

Lemme 7.4.8 (lemme de compression) *Soit $A = (a_{ij})$ une « matrice à trous » de format $m \times n$ dont les entrées sont ou bien nulles ou bien des variables indépendantes. Nous supposons que la matrice possède p variables et $m-p$ entrées nulles dans chaque colonne. Si on spécialise les variables dans le corps $\mathcal{K}$ on obtient un espace vectoriel E_A de*

dimension $n\,p$. *On suppose le corps* $\mathcal{K}$ *infini. Alors il existe une matrice* $G \in \mathcal{K}^{p\times m}$ *telle que l'application linéaire*

$$\mu_{G,A} \ : \ E_A \longrightarrow \mathcal{K}^{p\times n} \ , \quad U \longmapsto G\,U$$

soit bijective.

Preuve. Les colonnes de U sont transformées indépendamment les unes des autres. Chaque colonne U_j de la matrice U, en ne gardant que les entrées non nulles, est transformée selon le schéma

$$U_j \ \longmapsto \ G_j\,U_j$$

où G_j est une matrice carrée extraite de G en ne gardant que p colonnes de G. Il s'ensuit que l'application linéaire $\mu_{G,A}$ est bijective si et seulement si les matrices G_j sont inversibles. Pour cela, il suffit que p colonnes distinctes de G soient toujours indépendantes. Ce problème de géométrie combinatoire admet toujours une solution sur un corps ayant suffisamment d'éléments. Si on a déjà construit une matrice convenable G avec $\ell \geq p$ colonnes, pour rajouter une colonne, il faut choisir un vecteur en dehors des hyperplans définis par n'importe quel système de $p-1$ colonnes extraites de G. □

Passons maintenant à la preuve du cas général. Nous supposons que nous avons un produit de matrice à trous $A \times B$ par exemple du style suivant (figure 7.7) qui peut être réalisé par un calcul bilinéaire approxi-

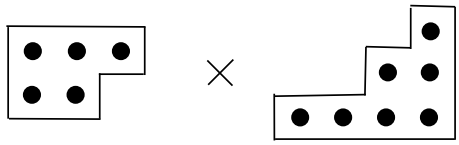

Figure 7.7 – Un exemple arbitraire de produit matriciel à trous

matif de manière économique. Supposons que les colonnes successives de A, au nombre de t contiennent respectivement $m_1,\ m_2, \ldots,\ m_t$ entrées véritables. Supposons que les t lignes successives de B contiennent respectivement $n_1,\ n_2, \ldots,\ n_t$ entrées véritables. A priori ce produit à trous réclame

$$\rho = m_1 n_1 + \cdots + m_t n_t$$

multiplications : le tenseur qui correspond à sa définition est une somme de ρ tenseurs élémentaires (dans l'exemple ci-dessus, $t = 3$, $(m_1, m_2,$

$m_3) = (2,2,1)$, $(n_1,n_2,n_3) = (1,2,4)$ et $\rho = 10$). Supposons qu'un calcul bilinéaire approximatif à l'ordre ℓ et de rang θ permette de réaliser ce produit à trous. Si on itère $k-1$ fois ce calcul bilinéaire approximatif, on obtient un nouveau produit de matrices à trous $A_k \times B_k$. Par exemple pour $A_2 \times B_2$, on obtient le produit à trous suivant (figure 7.8). Une colonne de A_k doit être indexée par un k-uple $j = (j_1,\ldots,j_k)$

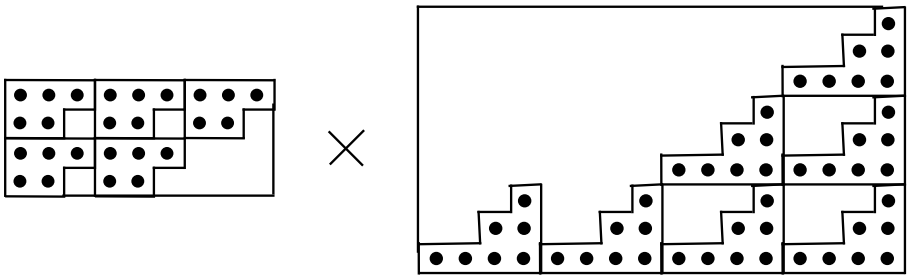

Figure 7.8 – L'exemple précédent itéré une fois

d'éléments de $\{1,\ldots,t\}$. Une telle colonne contient alors

$$m_{j_1}\cdots m_{j_k} = m_1^{u_1}\cdots m_t^{u_t}$$

entrées non nulles, où chaque u_i est égal au nombre des j_s égaux à i. De même une ligne de B_k doit être indexée par un k-uple $j = (j_1,\ldots,j_k)$ d'éléments de $\{1,\ldots,t\}$ et elle contient $n_{j_1}\cdots n_{j_k}$ entrées non nulles. Parmi toutes les colonnes de A_k on décide de sélectionner toutes celles qui fournissent une certaine liste d'exposants $(u_1,\ldots,u_t)$. En particulier elles ont toutes le même nombre $\mu_k = m_1^{u_1}\cdots m_r^{u_t}$ d'entrées non nulles (avec $u_1+\cdots+u_t = k$). Le nombre des colonnes en question est égal au coefficient multinomial

$$\lambda_k = \binom{k}{u_1,\ldots,u_t} = \frac{k\,!}{u_1!\cdots u_t!}$$

De même, nous sélectionnons parmi les lignes de B_k toutes celles correspondant aux mêmes indices (qui sont des k-uples $j = (j_1,\ldots,j_k)$). Elles ont toutes le même nombre d'entrées non nulles $\nu_k = n_1^{u_1}\cdots n_t^{u_t}$. Nous obtenons de cette manière un produit de matrice à trous $U_k \times V_k$. Comme les colonnes de U_k ont toutes le même nombre μ_k d'entrées non nulles, on peut utiliser le lemme de compression. Même chose pour V_k en tenant compte du fait que toutes les lignes ont le même nombre

ν_k d'entrées non nulles. En définitive nous obtenons un produit matriciel sans trou de type $\langle \mu_k, \lambda_k, \nu_k \rangle$ qui est réalisé par un calcul bilinéaire approximatif d'ordre $k\ell$ et de rang $\leq \theta^k$.
A quoi est égal $\mu_k \cdot \lambda_k \cdot \nu_k$? C'est l'un des termes du développement multinomial de $(m_1 n_1 + \cdots + m_t n_t)^k = \rho^k$. Si on choisit le terme le plus grand dans cette somme on obtient donc

$$M_k = \mu_k \cdot \lambda_k \cdot \nu_k \geq \frac{\rho^k}{\binom{k+t}{t-1}} \geq \frac{\rho^k}{(k+1)^{t-1}}$$

car il y a $\binom{k+t}{t-1}$ termes dans cette somme. On termine comme dans le cas particulier examiné au début :

$$\underline{R}\left(\langle M_k, M_k, M_k \rangle, 3k\ell\right) \leq \theta^{3k}, \qquad R\ \langle M_k, M_k, M_k \rangle \leq 9\, k^2\, \ell^2\, \theta^{3k}$$

et par passage à la limite en appliquant le théorème 7.4, $\omega \leq 3\, \frac{\log \theta}{\log \rho}$.

Remarque 7.4.9 Dans [82] Schönhage indique des produits matriciels à trous avec un rang marginal plus avantageux que celui de Bini, ce qui donne $\omega \leq 2,6087$. Mais ce dernier résultat est surpassé par la formule asymptotique qu'il obtient ensuite et que nous exposons dans le paragraphe suivant.

Remarque 7.4.10 Dans le lemme 7.4.4 il est possible de remplacer $(q+1)(q+2)/2$ par $1+6q$. Même avec cette amélioration, c'est uniquement pour des entiers N très grands que la procédure de Bini aussi bien que celle de Schönhage fournissent un meilleur calcul bilinéaire pour $\langle N, N, N \rangle$ que celui qui découle de la procédure originale de Strassen. Ces méthodes ne sont donc pas implémentées sur machine.

7.4.3 Sommes directes d'applications bilinéaires

Approfondissant son analyse des produits de matrices à trous, Schönhage a remarqué que certains produits du type ci-dessous (figure 7.9) permettent de construire à partir d'un calcul bilinéaire approximatif des calculs bilinéaires exacts donnant un meilleur exposant pour la multiplication des matrices carrées que celui établi dans le théorème 7.6. L'exemple de la figure 7.9 correspond à la *somme disjointe* (on peut dire aussi *somme directe* ou encore *juxtaposition*) des deux applications bilinéaires $\langle 1, 2, 1 \rangle$ et $\langle 3, 1, 3 \rangle$. De manière générale, la somme directe de

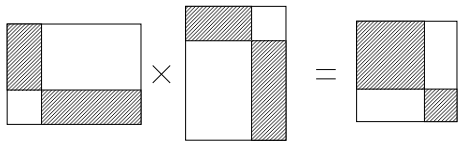

Figure 7.9 – Somme directe de deux produits matriciels

deux applications bilinéaires $\varphi_1 : E_1 \times F_1 \to G_1$ et $\varphi_2 : E_2 \times F_2 \to G_2$ est l'application bilinéaire

$$\varphi : (E_1 \oplus E_2) \times (F_1 \oplus F_2) \longrightarrow (G_1 \oplus G_2)$$

définie par $\varphi((x_1, y_1), (x_2, y_2)) = (\varphi_1(x_1, y_1), \varphi_2(x_2, y_2))$. Du point de vue des calculs bilinéaires, un calcul bilinéaire possible pour la somme disjointe consiste à faire seulement les deux calculs en parallèle avec toutes les variables distinctes.

Notation 7.4.11 *On note $\varphi_1 \oplus \varphi_2$ la somme directe des applications bilinéaires φ_1 et φ_2. On note $\ell \odot \varphi$ pour la somme directe de ℓ exemplaires de φ.*

On fait alors les remarques suivantes. Le premier lemme est à la fois simple et crucial.

Lemme 7.4.12 *Supposons $R\,\langle f, f, f\rangle \leq s$ et $R(s \odot \langle m, n, p\rangle) \leq r$. Alors $R\,\langle fm, fn, fp\rangle \leq r$.*

Preuve. L'application bilinéaire $\langle fm, fn, fp\rangle$ peut être réalisée comme un produit par blocs, chacune des deux matrices A et B qu'on multiplie étant découpée en f^2 blocs de même format. Les f^3 multiplications correspondantes de type $\langle m, n, p\rangle$ qui sont a priori nécessaires pour ce produit par blocs peuvent être remplacées par seulement s produits (entre combinaisons linéaires convenables des blocs), selon le schéma fourni par le calcul bilinéaire qui montre $R\,\langle f, f, f\rangle \leq s$. □

Lemme 7.4.13
(1) *$R(ss' \odot \langle mm', nn', pp'\rangle) \leq R(s \odot \langle m, n, p\rangle) \cdot R(s' \odot \langle m', n', p'\rangle)$. En particulier avec $N = mnp$ on a*

$$R(s^3 \odot \langle N, N, N\rangle) \leq (R(s \odot \langle m, n, p\rangle))^3$$

(2)
$\underline{R}(ss' \odot \langle mm', nn', pp'\rangle\,, q+q') \leq \underline{R}(s \odot \langle m, n, p\rangle\,, q) \cdot \underline{R}(s' \odot \langle m', n', p'\rangle\,, q')$. En particulier avec $N = mnp$ on a

$$\underline{R}(s^3 \odot \langle N, N, N\rangle\,, 3q) \leq (\underline{R}(s \odot \langle m, n, p\rangle\,, q))^3$$

Preuve. C'est toujours la méthode du produit par blocs, appliquée avec les produits matriciels à trous correspondants. On peut considérer qu'il s'agit d'un cas particulier de la proposition 7.4.7. □

On en déduit la proposition suivante qui généralise le théorème 7.5.

Proposition 7.4.14 *S'il existe s, m, n, p, r tels que $\underline{R}(s\odot\langle m,n,p\rangle)\leq r$ alors $s\,(mnp)^{\omega/3}\leq r$, c'est-à-dire $\omega\leq 3\,\frac{\log(r/s)}{\log mnp}$.*

Autrement dit, pour ce qui concerne l'exposant ω, l'inégalité $\underline{R}(s\odot\langle m,n,p\rangle)\leq r$ donne le même résultat qu'une inégalité $R\,\langle m,n,p\rangle\leq r/s$.

Preuve. Si $\underline{R}(s\odot\langle m,n,p\rangle\,,q)\leq r$, en appliquant le lemme 7.4.13 on obtient avec $N=mnp$

$$\underline{R}\left(s^3\odot\langle N,N,N\rangle\,,3q\right)\leq r^3$$

puis aussi

$$\underline{R}\left(s^{3\ell}\odot\left\langle N^\ell,N^\ell,N^\ell\right\rangle,3\ell q\right)\leq r^{3\ell}$$

et donc

$$R\left(s^{3\ell}\odot\left\langle N^\ell,N^\ell,N^\ell\right\rangle\right)\leq 9\,\ell^2\,q^2r^{3\ell}\,. \tag{7.3}$$

Par passage à la limite, cela nous ramène au cas où on connaît des entiers s, m, r tels que $R(s\odot\langle m,m,m\rangle)\leq r$. On veut alors montrer $\omega\leq\frac{\log(r/s)}{\log m}$. Posons $\lambda=\frac{\log(r/s)}{\log m}$.

Supposons tout d'abord qu'on connaisse un calcul bilinéaire qui montre que $R\,\langle f,f,f\rangle\leq s$ et posons $\alpha_0=\log s/\log f$ (α_0 est un exposant acceptable). Si $\alpha_0\leq\lambda$ on n'a rien à faire. Si $\alpha_0>\lambda$ le lemme 7.4.13 nous dit que $R\,\langle fm,fm,fm\rangle\leq r$. Donc l'exposant

$$\alpha_1=\log r/\log fm=\alpha_0\log r/(\log s+\alpha_0\log m)$$

est acceptable pour la multiplication des matrices carrées. Un calcul simple montre alors que $\lambda<\alpha_1<\alpha_0$. Donc nous avons amélioré la situation en passant de α_0 à α_1.

Nous voyons maintenant le travail qui nous reste à faire.

Primo, montrer que si on a $R\,\langle f,f,f\rangle\leq s'=f^{\alpha_0}$ avec un entier $s'\neq s$, cela n'est pas trop grave, car on peut utiliser $R\,s^\ell\odot\left\langle m^\ell,m^\ell,m^\ell\right\rangle\leq r^\ell$ et $R\left\langle f^k,f^k,f^k\right\rangle\leq s'^k=\left(f^k\right)^{\alpha_0}$ avec $s'^k\leq s^\ell$ et le rapport de leurs logarithmes aussi proche qu'on veut de 1. Donc par le lemme 7.4.13 $R\left\langle f^km^\ell,f^km^\ell,f^km^\ell\right\rangle\leq r^\ell$, ce qui conduit à un exposant acceptable

$$\alpha_1'=\log r\ell/\log f^km^\ell=\alpha_0'\log r/(\log s+\alpha_0'\log m)$$

avec α'_0 aussi proche qu'on veut de α_0.
Secundo, montrer que si on recommence, les exposants successifs α_n qu'on obtient convergent bien vers λ.
Nous ne ferons pas ce travail, car les détails techniques deviennent vraiment trop lourds. □

La conjecture additive de Strassen

On a évidemment

$$\begin{aligned} R(\varphi_1 \oplus \varphi_2) &\leq R(\varphi_1) + R(\varphi_2) \qquad \text{et} \\ \underline{R}(\varphi_1 \oplus \varphi_2, q) &\leq \underline{R}(\varphi_1, q) + \underline{R}(\varphi_2, q)\,. \end{aligned}$$

Une conjecture de Strassen est que la première inégalité est en fait toujours une égalité. On appelle cette conjecture *la conjecture additive (pour le rang tensoriel des applications bilinéaires)*. Bien que plausible, cette conjecture a été ébranlée par Schönhage qui a montré que la variante avec « rang tensoriel marginal » à la palce de « rang tensoriel » est fausse, d'après le résultat du lemme 7.4.15. Si la conjecture additive est vraie, ou même si seulement $R(s \odot \langle m,m,m\rangle) = s\,R\,\langle m,m,m\rangle$ pour s et m arbitraires, la preuve de la proposition 7.4.14 est beaucoup simplifiée, car on déduit de l'équation 7.3 directement $R\left(\langle N^\ell, N^\ell, N^\ell\rangle\right) \leq 9\,\ell^2\,q^2(r/s)^{3\ell}$. Mais cela ne fournirait les calculs bilinéaires demandés que si on était capable de trouver un calcul bilinéaire de rang convenable pour $\langle m,m,m\rangle$ à partir d'un calcul bilinéaire pour $s \odot \langle m,m,m\rangle$.

Lemme 7.4.15 *Pour $k > 1$ et $m = (k-1)^2$:*

$$\underline{R}(\langle k,1,k\rangle \oplus \langle 1,m,1\rangle) = k^2 + 1 < k^2 + m = \underline{R}\,\langle k,1,k\rangle + \underline{R}\,\langle 1,m,1\rangle$$

Preuve. Nous montrons seulement $\underline{R}(\langle k,1,k\rangle \oplus \langle 1,m,1\rangle) \leq k^2+1$. Nous représentons le produit $\langle k,1,k\rangle$ par le polynôme non commutatif $\sum_{i=1}^k a_i b_j c_{j,i}$ et le produit $\langle 1,m,1\rangle$ par le polynôme non commutatif $\sum_{\ell=1}^m u_\ell v_\ell w$. Pour simplifier les écritures qui suivent, nous prenons $\ell = (i,j)$ avec $1 \leq i,j \leq k-1$. Nous introduisons en outre les notations

$$u_{i,k} = v_{k,j} = 0, \quad u_{k,j} = -\sum_{i=1}^{k-1} u_{i,j}, \quad v_{i,k} = -\sum_{j=1}^{k-1} v_{i,j}$$

de sorte que

$$\sum_{\ell=1}^{m} u_\ell v_\ell = \sum_{i=1,j=1}^{k-1} u_{i,j} v_{i,j} = \sum_{i=1,j=1}^{k} u_{i,j} v_{i,j}$$

On considère alors le polynôme non commutatif suivant (qui correspond à un calcul bilinéaire approximatif avec k^2+1 multiplications essentielles)

$$\sum_{i=1,j=1}^{k} (a_i + \varepsilon u_{i,j})\,(b_j + \varepsilon v_{i,j})\,(\varepsilon^2 c_{j,i} + w) - \left(\sum_{i=1}^{k} a_i\right)\left(\sum_{j=1}^{k} b_j\right) w$$

qui, une fois développé donne

$$\varepsilon^2 \left(\sum_{i=1,j=1}^{k} (a_i b_j c_{j,i} + u_{i,j} v_{i,j} w)\right) + \varepsilon^3 Q\,.$$

□

7.4.4 L'inégalité asymptotique de Schönhage

Revenons au produit à trou de la figure 7.9 qui représente la juxtaposition $\langle 2,1,2\rangle \oplus \langle 1,3,1\rangle$. Si nous itérons une fois (à la Strassen) ce produit à trous, nous obtenons un nouveau produit à trou correspondant à la figure 7.10, qui peut être réorganisé, par changement de

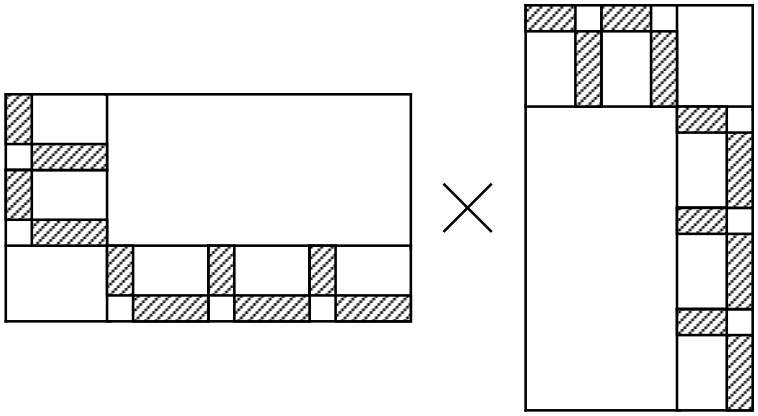

Figure 7.10 – Somme directe, itérée une fois, de deux produits matriciels

numérotation des lignes et colonnes, en le produit à trou qui correspond à la figure 7.11, et nous voyons clairement que cela signifie

$$(\langle 2,1,2\rangle \oplus \langle 1,3,1\rangle)^{\otimes 2} \simeq \langle 4,1,4\rangle \oplus 2 \odot \langle 2,3,2\rangle \oplus \langle 1,9,1\rangle$$

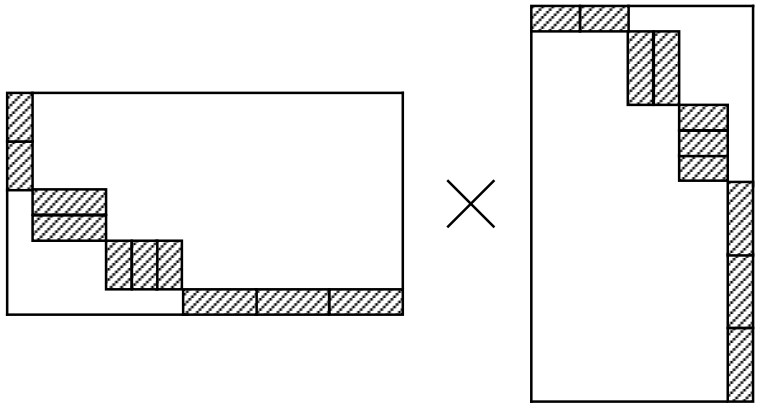

Figure 7.11 – Somme directe, itérée une fois et réorganisée

Le lecteur ou la lectrice est invitée à réaliser par elle-même l'itération une deuxième fois, et à vérifier que

$$(\langle 2,1,2\rangle \oplus \langle 1,3,1\rangle)^{\otimes 3} \simeq \langle 8,1,8\rangle \oplus 3 \odot \langle 4,3,4\rangle \oplus 3 \odot \langle 2,9,2\rangle \oplus \langle 1,27,1\rangle$$

avec la parenté évidente avec la formule du binôme. Cette parenté n'est pas un hasard. C'est bien la même machinerie combinatoire qui est à l'œuvre dans les deux cas. En itérant $k-1$ fois on obtiendra

$$(\langle 2,1,2\rangle \oplus \langle 1,3,1\rangle)^{\otimes k} \simeq \sum_{i=1}^{k} \binom{k}{i} \odot \left\langle 2^i, 3^{k-i}, 2^i \right\rangle$$

où le $\sum$ indique une somme disjointe d'applications bilinéaires. En fait nous avons une formule du multinôme générale, où les sommes indiquent des sommes disjointes d'applications bilinéaires, et où l'isomorphisme correspond à une organisation convenable des lignes et colonnes du produit matriciel à trous correspondant au premier membre

$$\left(\sum_{i=1}^{t} \langle m_i, n_i, p_i\rangle\right)^{\otimes k} \simeq \sum_{(u_1,\ldots,u_t)} \binom{k}{u_1,\ldots,u_t} \odot \left\langle \prod_{i=1}^{t} m_i^{u_i}, \prod_{i=1}^{t} n_i^{u_i}, \prod_{i=1}^{t} p_i^{u_i} \right\rangle$$

(la deuxième somme est prise sur tous les t-uples $(u_1,\ldots,u_t)$ tels que $\sum u_i = k$). On en déduit la formule asymtotique suivante.

Théorème 7.7 (formule asymptotique de Schönhage) *Supposons qu'on ait*

$$\underline{R}\left(\bigoplus_{i=1}^{t}\langle m_i, n_i, p_i\rangle\right) \leq r \quad \text{et} \quad \sum_{i=1}^{t}(m_i\, n_i\, p_i)^{\beta} = r$$

Alors on obtient pour l'exposant de la multiplication des matrices carrées $\omega \leq 3\,\beta$.

Preuve. Notons d'abord que le théorème 7.6 donne

$$2 \leq \omega \leq \frac{\log r}{\log\left(\sum_{i=1}^{t} m_i n_i p_i)\right)}$$

donc $\log r \geq 2\log t$. En appliquant la formule du multinôme et l'inégalité de la proposition 7.4.7 on obtient

$$\underline{R}\left(\binom{k}{u_1,\ldots,u_t} \odot \left\langle \prod_{i=1}^{t} m_i^{u_i}, \prod_{i=1}^{t} n_i^{u_i}, \prod_{i=1}^{t} p_i^{u_i}\right\rangle\right) \leq r^k$$

Pour un choix particulier de $u_1,\ldots,u_t$, nous notons ceci sous la forme

$$\underline{R}(S_k \odot \langle M_k, N_k, P_k\rangle) \leq r^k$$

ce qui nous donne, d'après la proposition 7.4.14

$$\omega \leq 3\,\frac{\log(r^k/S_k)}{\log M_k N_k P_k}.$$

Quel est le choix optimal de $u_1,\ldots,u_t$? Nous considérons l'égalité

$$\left(\sum_{i=1}^{t}(m_i\, n_i\, p_i)^{\beta}\right)^k = r^k = \sum_{(u_1,\ldots,u_t)}\binom{k}{u_1,\ldots,u_t}\left(\prod_{i=1}^{t} m_i^{u_i}\, n_i^{u_i}\, p_i^{u_i}\right)^{\beta}$$

La somme de droite a $\binom{k+t-1}{t-1} \leq \frac{r^k}{(k+1)^{t-1}}$ termes et donc pour le plus grand d'entre eux on obtient

$$\binom{k}{u_1,\ldots,u_t}\left(\prod_{i=1}^{t} m_i^{u_i}\, n_i^{u_i}\, p_i^{u_i}\right)^{\beta} = S_k\,(M_k N_k P_k)^{\beta} \geq \frac{r^k}{(k+1)^{t-1}}$$

ce qui donne

$$\omega \leq 3\,\frac{\log\left(r^k/(S_k(k+1)^{t-1})\right)}{\log(M_k N_k P_k)} \leq 3\,\beta + 3\,\frac{(t-1)\log(k+1)}{\log(M_k N_k P_k)}$$

D'où le résultat par passage à la limite : $\beta\,\log(M_k N_k P_k)$ est équivalent à $\log r^k/S_k$, et on a $S_k < t^k$ et $r \geq t^2$. □

Corollaire 7.4.16 *L'exposant de la multiplication des matrices carrées vérifie* $\omega \leq 2,5479$.

Preuve. On applique la formule asymptotique avec la somme disjointe $\langle 4,1,4\rangle \oplus \langle 1,9,1\rangle$ du lemme 7.4.15. $\square$

8. Algèbre linéaire séquentielle rapide

Introduction

Une conséquence importante de la multiplication rapide des matrices est la recherche de méthodes de calcul permettant de ramener les problèmes classiques d'algèbre linéaire à une complexité algébrique du même ordre que celle de la multiplication des matrices.

Bien que nous utilisions systématiquement la multiplication rapide des matrices, qui est obtenue par un algorithme très bien parallélisé, les algorithmes obtenus dans ce chapitre ne sont pas eux-mêmes bien parallélisés. Leur profondeur est en général en $\mathcal{O}(n)$, ce qui explique le titre du chapitre (algèbre linéaire *séquentielle* rapide)

Nous avons déjà vu à la section 7.2 que l'inverse d'une matrice triangulaire d'ordre n peut se calculer par une famille uniforme de circuits arithmétiques de taille $\mathcal{O}(n^\alpha)$ et de profondeur $\mathcal{O}(\log^2 n)$.

Nous allons dans ce chapitre montrer que, pour autant qu'on travaille sur un corps et qu'on ait droit à la division [1], des familles de circuits arithmétiques ayant des tailles voisines peuvent être construites pour résoudre les principaux problèmes de l'algèbre linéaire sur un corps. Mais dans tous les algorithmes que nous exhiberons, le temps parallèle (la profondeur du circuit) n'est plus polylogarithmique.

En outre, comme ce sont des circuits avec divisions, ils ne peuvent pas être exécutés sur toutes les entrées, et nous donnerons en général une version sous la forme d'un algorithme « avec branchements » (les branchements sont gouvernés par des tests d'égalité à 0 dans le corps). Dans ces algorithmes (qui ne correspondent plus à des circuits arith-

1. Ceci est légitime si la division n'est pas trop coûteuse en termes de complexité binaire.

métiques proprement dits), nous aurons pour le temps séquentiel et le temps parallèle des estimations très voisines de celles obtenues pour les circuits arithmétiques avec divisions.

Par exemple le calcul du déterminant et de l'inverse d'une matrice carrée (si elle est inversible) peuvent être réalisés par une famille uniforme de circuits arithmétiques avec divisions de taille $\mathcal{O}(n^\alpha)$ (voir section 8.2). Ceci est une conséquence de l'algorithme séquentiel de Bunch & Hopcroft pour la LUP-décomposition que nous développons dans la section 8.1. Cet algorithme se présente naturellement sous la forme d'un algorithme avec branchements.

En ce qui concerne le calcul du polynôme caractéristique plusieurs méthodes d'accélération de l'algorithme de Frobenius (section 2.8.1) assez sophistiquées ont été mises au point par Keller-Gehrig. L'algorithme avec branchements, qui utilise un temps séquentiel en $\mathcal{O}(n^\alpha \log n)$ nécessite au préalable une méthode rapide pour la mise en forme « échelonnée en lignes » d'une matrice arbitraire. Ceci est expliqué dans les sections 8.3 et 8.4.

Dans la dernière section 8.5, nous quittons le cadre de l'algèbre linéaire sur les corps, mais nous restons dans celui de l'algèbre linéaire séquentielle accélérée grâce à la multiplication rapide des matrices. Nous décrivons la méthode de Kaltofen, inspirée de l'algorithme probabiliste de Wiedemann, très efficace pour les matrices creuses sur des corps finis. Elle donne le meilleur temps séquentiel actuellement connu pour le calcul du déterminant, du polynôme caractéristique et de l'adjointe d'une matrice carrée *sur un anneau commutatif arbitraire*. L'algorithme utilise la multiplication rapide des polynômes et celle des matrices. Contrairement à l'algorithme de Wiedemann, celui de Kaltofen n'a cependant pas encore fait l'objet d'une implémentation satisfaisante.

Si les algorithmes développés dans ce chapitre sont théoriquement plus rapides que les algorithmes « usuels » donnés au chapitre 2, il y a encore malheureusement loin de la théorie à la pratique. En fait seule la première forme de la multiplication rapide des matrices (celle de Strassen, correspondant à $\alpha = \log 7 \simeq 2,807$) commence à être implémentée. Outre la difficulté pratique d'implémenter d'autres algorithmes de multiplication rapide des matrices, les coefficients C_α pour de meilleures valeurs de α sont trop grands. Leur implémentation ne se révèlerait efficace que pour des matrices de tailles astronomiques.

8.1 L'Algorithme de Bunch & Hopcroft pour la LUP-décomposition des matrices surjectives

Dans la section 2.1 nous avons présenté l'algorithme 8 page 63 qui est l'algorithme séquentiel usuel (par la méthode du pivot de Gauss) pour la LUP-décomposition des matrices surjectives. La procédure de la LUP-décomposition que nous allons développer ici fait appel à la multiplication rapide des matrices. Cette procédure , que nous noterons **lup**, est due à Bunch et Hopcroft [11].

L'algorithme de Bunch & Hopcroft prend en entrée une matrice de rang n, $A \in \mathcal{K}^{n\times p}$ $(1 \leq n \leq p)$ et donne en sortie un triplet (L, U, P) tel que L est une matrice unitriangulaire inférieure, U une matrice triangulaire supérieure fortement régulière et P une matrice de permutation. On écrira : $\mathbf{lup}(A, n, p) = \mathbf{lup}_{n,p}(A) = (L, U, P)$.

Pour $n = 1$, A est une matrice ligne de rang 1 : il existe donc un élément non nul de A occupant la i-ème place de cette ligne $(1 \leq i \leq p)$. Il suffit de prendre $L = [1]$ et $U = AP$ où P est la matrice de permutation d'ordre p correspondant à l'échange des colonnes 1 et i. On a donc $\mathbf{lup}(A, 1, p) = ([1],\, A\,P,\, P)$ pour la matrice P ainsi définie.

Supposant la propriété vraie pour tout entier n compris entre 1 et $2^{\nu-1}$, on la démontre pour $2^{\nu-1} < n \leq 2^{\nu}$ $(\nu = \lceil \log n \rceil)$. On pose $n_0 = 2^{\nu-1}$, $n_1 = n - n_0$ et $p_1 = p - n_0$. Pour obtenir $\mathbf{lup}(A, n, p)$ avec $A \in \mathcal{K}^{n\times p}$, on considère la partition suivante de la matrice A :

$$A = \begin{bmatrix} A_1 \\ A_2 \end{bmatrix}, \quad A_1 \in \mathcal{K}^{n_0\times p},\, A_2 \in \mathcal{K}^{n_1\times p} \tag{8.1}$$

Si A est une matrice surjective, A_1 et A_2 le sont également. On commence par appeler $\mathbf{lup}(A_1, n_0, p)$ qui donne une LUP-décomposition $(L_1,\, U_1,\, P_1)$ de A_1. On considère alors les partitions suivantes des matrices U_1 et $A_2\, P_1^{-1}$:

$$\begin{cases} U_1 = [\, V_1 \,|\, B \,] \in \mathcal{K}^{n_0\times p} \quad \text{et} \quad A_2\, P_1^{-1} = [\, C \,|\, D \,] \in \mathcal{K}^{n_1\times p} \\ V_1 \in \mathcal{K}^{n_0\times n_0},\, B \in \mathcal{K}^{n_0\times p_1},\, C \in \mathcal{K}^{n_1\times n_0},\, D \in \mathcal{K}^{n_1\times p_1} \end{cases} \tag{8.2}$$

V_1 étant triangulaire supérieure et inversible (puisque U_1 est fortement régulière). Posant $C_1 = C\, V_1^{-1}$ et $E = D - C_1\, B$, on vérifie que :

$$A = \begin{bmatrix} L_1 & 0 \\ C_1 & \mathrm{I}_{n_1} \end{bmatrix} \begin{bmatrix} V_1 & B \\ 0 & E \end{bmatrix} P_1\,. \tag{8.3}$$

Comme la matrice E satisfait à l'hypothèse de récurrence (elle est surjective puisque A l'est), on peut appliquer la procédure $\mathbf{lup}(E, n_1, p_1)$ qui donne la LUP-décomposition $E = L_2\, U_2\, P_2$ dans laquelle U_2 est une matrice $n_1 \times p_1$ triangulaire supérieure fortement régulière.
Il suffit de poser $Q = \begin{bmatrix} \mathrm{I}_{n_0} & 0 \\ 0 & P_2 \end{bmatrix}$ et $B_2 := B\, P_2^{-1}$ pour obtenir la décomposition :

$$A = \begin{bmatrix} L_1 & 0 \\ C_1 & L_2 \end{bmatrix} \begin{bmatrix} V_1 & B_2 \\ 0 & U_2 \end{bmatrix} Q\, P_1\,. \tag{8.4}$$

Ce qui donne $\mathbf{lup}(A, n, p) = (L, U, P)$ avec :

$$L = \begin{bmatrix} L_1 & 0 \\ C_1 & L_2 \end{bmatrix}\ ,\quad U = \begin{bmatrix} V_1 & B_2 \\ 0 & U_2 \end{bmatrix}\ ,\quad \text{et}\quad P = Q\, P_1\,.$$

En résumé on obtient le schéma récursif de l'algorithme 8.1.

Algorithme 8.1 ***:*** $\mathbf{lup}_{(n,p)}$***, LUP-décomposition à la Bunch & Hopcroft pour une matrice surjective.***

Entrée : Une matrice surjective $A \in \mathcal{K}^{n\times p}$ ($\mathcal{K}$ est un corps).
Sortie : Les matrices L, U, P de la LUP-décomposition de A.

Début On utilise la partition donnée en (8.1)
Étape 1 : récurrence avec $A_1 \in \mathcal{K}^{n_0\times p}$, $\nu = \lceil \log n \rceil$, $n_0 = 2^{\nu-1}$.
$(L_1, U_1, P_1) := \mathbf{lup}_{(n_0,p)}(A_1)$
Étape 2 : pas d'opération arithmétique ici
$B_2 := A_2\, P_1^{-1}$ avec $A_2 \in \mathcal{K}^{n_1\times p}$, $n_1 = n - n_0$.
Étape 3 : inversion d'une matrice triangulaire supérieure régulière
$V_2 := V_1^{-1}$ avec $V_1 \in \mathcal{K}^{n_0\times n_0}$ (cf. la partition (8.2))
Étapes 4, 5, 6 :
$C_1 := C\, V_2\,;\ F := C_1\, B\,;\ E := D - F\,.$
Étape 7 : récurrence avec $E \in \mathcal{K}^{n_1\times p_1}$
$(L_2, U_2, P_2) := \mathbf{lup}_{(n_1,p_1)}(E)$
Étape 8 : pas d'opération arithmétique ici
$B_2 := B\, P_2^{-1},\ P := Q\, P_1.$
Fin.

L'algorithme obtenu est un algorithme avec branchements. Ceci est inévitable puisque la sortie P dépend de manière discontinue de l'entrée

A. Les branchements sont tous commandés par le test d'égalité à 0 dans le corps $\mathcal{K}$. Notons $\tau(n,p)$ le nombre d'opérations arithmétiques exécutées par cet algorithme pour les matrices $A \in \mathcal{K}^{n\times p}$ et $\pi(n,p)$ son *temps parallèle arithmétique*, c'est-à-dire sa profondeur si on ne prend pas en compte les étapes de recherche d'éléments non nuls ni les produits d'une matrice par une matrice de permutation.

On a alors en suivant le schéma récursif 8.1 page ci-contre les inégalités suivantes.

Tout d'abord concernant le nombre d'opérations arithmétiques :

$$\tau(n,p) \leq \left\{ \begin{array}{ccccccc} \tau(n_0,p) & + & 4\,\mathrm{C}_\alpha\, {n_0}^\alpha & + & \mathrm{C}_\alpha\, {n_0}^\alpha & + \\ \lceil p_1/n_0 \rceil\, \mathrm{C}_\alpha\, {n_0}^\alpha & + & p_1\, n_1 & + & \tau(n_1,p_1) & \end{array} \right. \tag{8.5}$$

Le terme $p_1\, n_1$ correspond à la soustraction $E := D - F$ et le terme $\mathrm{C}_\alpha {n_0}^\alpha \lceil p_1/n_0 \rceil$ correspond au calcul du produit $C_1\, B$ dans lequel $B \in \mathcal{K}^{n_0\times p_1}$ et $C_1 \in \mathcal{K}^{n_1\times n_0}$: on peut toujours compléter C_1 par des lignes de 0 pour en faire une matrice carrée et on découpe B en $\lceil p_1/n_0 \rceil$ blocs carrés (après lui avoir éventuellement rajouté des colonnes de 0) ; on effectue alors en parallèle $\lceil p_1/n_0 \rceil$ multiplications dans $\mathcal{K}^{n_0\times n_0}$.

Ensuite, concernant le temps parallèle arithmétique, on obtient de la même manière en utilisant le résultat de l'inversion des matrices triangulaires (section 7.2) :

$$\pi(n,p) \leq \pi(n_0,p) + \mathrm{K}_\alpha\, [(\nu-1)^2 + 5\,(\nu-1) + 2] + 2 + \pi(n_1,p_1) \tag{8.6}$$

On en déduit précisément :

Théorème 8.1 *La LUP-décomposition d'une matrice surjective de type (n,p) sur $\mathcal{K}$ peut être effectuée par un algorithme (avec branchements) qui exécute un nombre d'opérations arithmétiques égal à $\tau(n,p)$ en temps parallèle (arithmétique) $\pi(n,p)$ majorés par*

$$\tau(n,p) \leq \frac{1}{2}\,\gamma_\alpha\,(\left\lceil \frac{p}{n} \right\rceil + 1)\, n^\alpha + \frac{1}{2}\,\left\lceil \frac{p}{n} \right\rceil\, n^2 \log n \quad \text{et} \quad \pi(n,p) \leq 4\,(5\,\mathrm{K}_\alpha + 1)\, n$$

$$\text{où} \quad \gamma_\alpha = \mathrm{C}_\alpha\, \max\left(4\,,\, \frac{1}{2^{\alpha-2}-1}\right).$$

Notons que pour $p = n$, la taille du circuit correspondant à l'algorithme de Bunch & Hopcroft est exactement majorée par $\gamma_\alpha\, n^\alpha + \frac{1}{2}\, n^2 \log n$.

Preuve.
Le calcul de $\mathbf{lup}(A, n, p)$ se fait de manière récursive. Nous donnons les majorations pour le cas où $n = 2^\nu$, et il est clair que si $n < 2^\nu$, le calcul ne peut être que plus rapide.

Pour le temps parallèle arithmétique on a $\pi(1, p) = 0$ donc, vue la récurrence (8.6), le résultat ne dépend pas de p et

$$\pi(n, p) = \pi(n) = \pi(2^\nu) \leq 2\,\pi(2^{\nu-1}) + \mathrm{K}_\alpha\,[(\nu-1)^2 + 5\,(\nu-1) + 2] + 2\,.$$

La relation de récurrence $f(\nu) = 2f(\nu-1) + c\,[(\nu-1)^2 + 5\,(\nu-1)] + 2\,(c+1)$ avec $f(0) = 0$ est résolue par Maple en

$$f(\nu) = (10\,c + 2)\,(2^\nu - 1) - c\nu^2 - 7\,c\,\nu$$

majoré par $(10\,c + 2)\,2^\nu = 2\,(5\,c + 1)\,n$, ce qui donne le résultat.

Pour calculer le nombre d'opérations arithmétiques on pose $r_\nu = r = \lceil p/n \rceil$ et on suppose sans perte de généralité que $p = rn$. L'inégalité (8.5) se réécrit, puisque $p_1 = (2r-1)n_0$:

$$\tau(2^\nu, p) \;\leq\; \begin{cases} \tau(2^{\nu-1}, p) \;+\; (4\mathrm{C}_\alpha + \mathrm{C}_\alpha + (2r_\nu - 1)\,\mathrm{C}_\alpha)\;2^{(\nu-1)\alpha} \\ +(2\,r-1)\,2^{2(\nu-1)} \;+\; \tau(2^{\nu-1}, p_1) \end{cases}$$

ce qui donne :

$$\tau(2^\nu, p) \;\leq\; 2\,\tau(2^{\nu-1}, p) \;+ (4\mathrm{C}_\alpha + 2\,r\,\mathrm{C}_\alpha)\,2^{(\nu-1)\alpha} \;+\; 2^{2\nu-1}\,r\,.$$

Dans le déroulement récursif de l'algorithme, lorsqu'on traite les matrices de type[2] $2^\kappa \times p$, on a $r_\kappa = 2^{\nu-\kappa} r_\nu$. Et donc en ramenant à $r = r_\nu$ on obtient les inégalités :

$$\tau(2^\kappa, p) \;\leq\; 2\,\tau(2^{\kappa-1}, p) \;+\; 2^{(\kappa-1)\alpha}\,(4\mathrm{C}_\alpha \;+\; 2^{\nu-\kappa+1}\,r\,\mathrm{C}_\alpha) \;+\; 2^{2\kappa-1}\,2^{\nu-\kappa}\,r\,.$$

Sachant que $\tau(1, p) = 0$, on obtient par sommation (et simplification de la solution d'une relation de récurrence) la majoration suivante :

$$\tau(n, p) \leq \frac{1}{2}\,n^2 r \log n + 2\,\frac{\mathrm{C}_\alpha\,n^a r}{2^a - 4} + 4\,\frac{\mathrm{C}_\alpha\,n^a}{2^a - 2}.$$

Ce qui donne le résultat annoncé. □

2. La majoration vaut aussi pour les matrices de type $2^\kappa \times p'$ avec $p' \leq p$.

8.2 Calcul du déterminant et de l'inverse d'une matrice carrée

La LUP-décomposition précédente permet un calcul séquentiel rapide du déterminant et de l'inverse d'une matrice carrée (inversible) en ramenant ces problèmes à la multiplication rapide des matrices carrées d'ordre n.

En effet, si l'on passe par la LUP-décomposition, le calcul du déterminant d'une matrice $A \in \mathcal{K}^{n\times n}$ s'effectue avec le même ordre de complexité séquentielle que la multiplication des matrices $n \times n$ puisque si $A = LUP$, alors $\det A = \epsilon \det U$ ce qui revient à calculer le produit des n éléments diagonaux de la matrice triangulaire U ($\epsilon = \pm 1$ est la signature de la permutation représentée par la matrice P). Il y a donc, après la LUP-décomposition, un calcul supplémentaire en $\mathcal{SD}(n, \log n)$ (par un circuit binaire équilibré).

Il en est de même pour le calcul de l'inverse de A, quand elle est inversible, puisque $A^{-1} = P^{-1}U^{-1}L^{-1}$ ce qui revient, en plus de la LUP-décomposition, à inverser deux matrices triangulaires (U et L) et à effectuer un produit de matrices $n \times n$.

A priori les algorithmes de calcul du déterminant et de l'inverse tels que nous venons de les décrire sont des algorithmes avec branchements.

Dans cette perspective, le coût de la recherche des éléments non nuls comme celui des permutations de lignes ou de colonnes, c'est-à-dire des multiplications à gauche ou à droite par une matrice de permutation, n'est pas pris en considération dans les comptes d'opérations arithmétiques aussi bien du point de vue de leur nombre total que de celui de leur profondeur.

Néanmoins, on peut aussi prendre le point de vue selon lequel nous avons construit des familles uniformes de circuits arithmétiques avec divisions, qui calculent des fractions rationnelles formelles en les coefficients de la matrice donnée au départ. Il n'y a alors pas de LUP-décomposition mais seulement une LU-décomposition, sans aucun branchement. Naturellement la contrepartie est que l'algorithme ne peut pas être exécuté concrètement sur un corps avec une matrice arbitraire. C'est seulement pour une « matrice générique » que le circuit arithmétique fonctionne : une telle matrice est une matrice qui, lorsqu'on lui applique l'algorithme avec branchements, subit tous les tests $x = 0$? en donnant une réponse négative.
Dans nos énoncés nous adoptons de préférence ce second point de vue.

Proposition 8.2.1 *Le calcul du déterminant d'une matrice carrée d'ordre n sur un corps $\mathcal{K}$ est réalisé par une famille uniforme de circuits arithmétiques avec divisions en $\mathcal{SD}(n^\alpha, n)$.*
Les constantes asymptotiques sont respectivement majorées par γ_α pour la taille $\mathcal{O}(n^\alpha)$ et par $4\,(5\,\mathrm{K}_\alpha+1)$ pour la profondeur $\mathcal{O}(n)$ (les mêmes majorations des constantes que celles données au théorème 8.1).

Proposition 8.2.2 *L'inversion d'une matrice carrée d'ordre n sur un corps $\mathcal{K}$ est un problème résolu par une famille uniforme de circuits arithmétiques avec divisions en $\mathcal{SD}(n^\alpha, n)$ avec la même estimation que celle de la proposition 8.2.1 pour la constante asymptotique de la profondeur $\mathcal{O}(n)$, et une constante asymptotique majorée par $\zeta_\alpha = \gamma_\alpha + 9\,\mathrm{C}_\alpha$ pour la taille $\mathcal{O}(n^\alpha)$.*

Dans la constante ζ_α de la proposition ci-dessus, le terme γ_α correspond à la LUP-décomposition et le terme $9\,\mathrm{C}_\alpha$ à l'inversion de deux matrices triangulaires suivie de la multiplication de deux matrices carrées.

8.3 Forme réduite échelonnée en lignes

Dans cette section nous donnons un aperçu sur une méthode récursive permettant de réduire les matrices à coefficients dans un corps commutatif $\mathcal{K}$, à la forme échelonnée en lignes avec une complexité séquentielle du même ordre que celle de la multiplication des matrices.

Étant donnée une matrice A de type (n, p) sur $\mathcal{K}$, la réduction de A à la forme échelonnée en lignes consiste à transformer A, en ayant exclusivement recours à des transformations élémentaires *unimodulaires* sur les lignes[3], en une matrice de de type (n, p) sur $\mathcal{K}$ avec un nombre de zéros strictement croissant apparaissant à gauche des lignes successives de la matrice réduite. Si l'on note E la matrice unimodulaire correspondant à ces transformations[4], cela revient à multiplier la matrice A à gauche par la matrice E.

3. Rappelons (cf. page 55) qu'il s'agit d'une part de la transformation qui consiste à ajouter à une ligne une combinaison linéaire des autres et d'autre part des *échanges signés de lignes* du type $(L_i, L_j) \leftarrow (L_j, -L_i)$.

4. C'est-à-dire la matrice obtenue en faisant subir à la matrice unité d'ordre n les mêmes transformations.

Prenons par exemple la matrice carrée d'ordre 6

$$A = \begin{bmatrix} 1 & 2 & 3 & 4 & 5 & 6 \\ 1 & 2 & 3 & 6 & 7 & 8 \\ 1 & 2 & 3 & 2 & 3 & 1 \\ 1 & 1 & 2 & 1 & 1 & 1 \\ 1 & 3 & 4 & 7 & 9 & 6 \\ 3 & 6 & 9 & 10 & 11 & 20 \end{bmatrix}.$$

On peut la réduire à la forme échelonnée en lignes en effectuant des transformations du style pivot de Gauss sur les lignes. Ces mêmes transformations, effectuées sur les lignes de la matrice unité d'ordre 6, donnent la matrice unimodulaire E qui résume ces transformations :

$$E = \begin{bmatrix} 1 & 0 & 0 & 0 & 0 & 0 \\ -1 & 0 & 0 & 1 & 0 & 0 \\ -1 & 0 & 1 & 0 & 0 & 0 \\ -2 & 0 & -1 & 0 & 0 & 1 \\ -2 & 0 & 0 & 1 & 1 & 0 \\ -4/5 & 1 & 1 & -3/5 & -3/5 & 0 \end{bmatrix}.$$

La matrice réduite échelonnée en lignes est alors donnée par le produit :

$$EA = \begin{bmatrix} 1 & 2 & 3 & 4 & 5 & 6 \\ 0 & -1 & -1 & -3 & -4 & -5 \\ 0 & 0 & 0 & -2 & -2 & -5 \\ 0 & 0 & 0 & 0 & -2 & 7 \\ 0 & 0 & 0 & 0 & 0 & -5 \\ 0 & 0 & 0 & 0 & 0 & 0 \end{bmatrix}.$$

Comme nous l'avons fait pour la LUP-décomposition, il s'agit ici de décrire une version rapide de la méthode du pivot de Gauss sur les lignes. Mais contrairement à la LUP-décomposition, aucune hypothèse supplémentaire n'est faite sur la matrice A et aucune permutation de colonnes n'est permise. En contrepartie, dans la décomposition $A = FU$ qui résulte de cette méthode de réduction ($F = E^{-1}$), la matrice F possède seulement la propriété d'être unimodulaire.

La forme échelonnée en lignes trouve sa justification et son application dans des problèmes comme la résolution des systèmes d'équations linéaires ou la détermination d'une base pour un sous-espace de $\mathcal{K}^n$ défini par un système générateur. Elle sera aussi utilisée dans la section 8.4 pour le calcul rapide du polynôme caractéristique sur un corps. La méthode que nous allons exposer ci-dessous est due à Keller-Gehrig [58] et elle est reprise dans [BCS].

Description de la procédure rapide

On considère une matrice $A \in \mathcal{K}^{n\times p}$. Pour la réduire à la forme échelonnée en lignes, on peut supposer sans perte de généralité que $n = p = 2^\nu$ quitte à compléter la matrice A avec suffisamment de lignes et/ou colonnes de zéros[5].

La procédure principale que nous noterons **Fel** utilise les procédures auxiliaires $\mathbf{Fel}_1$, $\mathbf{Fel}_2$ et $\mathbf{Fel}_3$ suivantes.

Procédure $\mathbf{Fel}_1$:
C'est une procédure récursive qui transforme une matrice carrée $A \in \mathcal{K}^{2n\times n}$ ($n = 2^\nu$) dont la moitié inférieure est triangulaire supérieure en une matrice triangulaire supérieure.
Plus précisément, si $A = \begin{bmatrix} A_1 \\ A_2 \end{bmatrix}$ avec $A_1, A_2 \in \mathcal{K}^{n\times n}$ et A_2 triangulaire supérieure, la procédure $\mathbf{Fel}_1$ calcule une matrice unimodulaire $E \in \mathrm{SL}_{2n}(\mathrm{K})$ et une matrice $T \in \mathcal{K}^{n\times n}$ triangulaire supérieure telles que $E\,A = \begin{bmatrix} T \\ 0 \end{bmatrix}$. Utilisant l'approche « diviser pour gagner » on divise la matrice A donnée en huit blocs $2^{\nu-1} \times 2^{\nu-1}$ (si $\nu = 0$, le traitement de la matrice A est immédiat) et on applique de manière récursive la procédure $\mathbf{Fel}_1$ aux blocs $2^{\nu-1} \times 2^\nu$ qui possèdent la même propriété que A. On obtient, avec des notations évidentes, le déroulement suivant de la procédure :

$$\begin{bmatrix} A_{11} & A_{12} \\ A_{13} & A_{14} \\ A_{21} & A_{22} \\ 0 & A_{24} \end{bmatrix} \xrightarrow{E_1} \begin{bmatrix} A_{11} & A_{12} \\ A'_{13} & A'_{14} \\ 0 & A'_{22} \\ 0 & A_{24} \end{bmatrix} \xrightarrow{E_2} \begin{bmatrix} A'_{11} & A'_{12} \\ 0 & A''_{14} \\ 0 & A'_{22} \\ 0 & A_{24} \end{bmatrix} \xrightarrow{E_3}$$

$$\begin{bmatrix} A'_{11} & A'_{12} \\ 0 & A''_{14} \\ 0 & A''_{22} \\ 0 & 0 \end{bmatrix} \xrightarrow{E_4} \begin{bmatrix} A'_{11} & A'_{12} \\ 0 & A'''_{14} \\ 0 & 0 \\ 0 & 0 \end{bmatrix} \qquad \text{avec :}$$

$$E_1 \begin{bmatrix} A_{13} \\ A_{21} \end{bmatrix} = \begin{bmatrix} A'_{13} \\ 0 \end{bmatrix} \quad \text{et} \quad \begin{bmatrix} A'_{14} \\ A'_{22} \end{bmatrix} = E_1 \begin{bmatrix} A_{14} \\ A_{22} \end{bmatrix} \ ;$$

$$E_2 \begin{bmatrix} A_{11} \\ A'_{13} \end{bmatrix} = \begin{bmatrix} A'_{11} \\ 0 \end{bmatrix} \quad \text{et} \quad \begin{bmatrix} A'_{12} \\ A''_{14} \end{bmatrix} = E_2 \begin{bmatrix} A_{12} \\ A'_{14} \end{bmatrix} \ ;$$

5. Les lignes et les colonnes ajoutées ne feront l'objet d'aucune manipulation.

$$E_3 \begin{bmatrix} A'_{22} \\ A_{24} \end{bmatrix} = \begin{bmatrix} A''_{22} \\ 0 \end{bmatrix} \quad \text{et} \quad E_4 \begin{bmatrix} A''_{14} \\ A''_{22} \end{bmatrix} = \begin{bmatrix} A'''_{14} \\ 0 \end{bmatrix}.$$

Posant $E = \begin{bmatrix} \mathrm{I}_{2^{\nu-1}} & 0 & 0 \\ 0 & E_4 & 0 \\ 0 & 0 & \mathrm{I}_{2^{\nu-1}} \end{bmatrix} \begin{bmatrix} E_2 & 0 \\ 0 & E_3 \end{bmatrix} \begin{bmatrix} \mathrm{I}_{2^{\nu-1}} & 0 & 0 \\ 0 & E_1 & 0 \\ 0 & 0 & \mathrm{I}_{2^{\nu-1}} \end{bmatrix}$,

on a bien $EA = \begin{bmatrix} T \\ 0 \end{bmatrix}$ où $T = \begin{bmatrix} A'_{11} & A'_{12} \\ 0 & A'''_{14} \end{bmatrix}$ est une matrice triangulaire supérieure A'_{11} et A'''_{14} le sont.

Procédure $\mathbf{Fel}_2$:
Elle prend en entrée une matrice carrée $A \in \mathcal{K}^{n\times n}$ ($n = 2^\nu$) et retourne une matrice unimodulaire $E \in \mathrm{SL}_n(\mathrm{K})$ et une matrice triangulaire supérieure T vérifiant $EA = T$.
Là encore, on obtient avec l'approche « diviser pour gagner » et des notations analogues à celles utilisées précédemment, le déroulement suivant de la procédure :

$$\begin{bmatrix} A_{11} & A_{12} \\ A_{21} & A_{22} \end{bmatrix} \xrightarrow{E_1} \begin{bmatrix} A_{11} & A_{12} \\ A'_{21} & A'_{22} \end{bmatrix}$$

$$\xrightarrow{E_2} \begin{bmatrix} A'_{11} & A'_{12} \\ 0 & A''_{22} \end{bmatrix} \xrightarrow{E_3} \begin{bmatrix} A'_{11} & A'_{12} \\ 0 & A'''_{22} \end{bmatrix}$$

où E_1 est la matrice unimodulaire correspondant à l'algorithme $\mathbf{Fel}_2$ appliqué de manière récursive à la matrice A_{21} ($E_1 A_{21} = A'_{21}$ est donc une matrice triangulaire supérieure, et l'on pose $A'_{22} = E_1 A_{22}$) alors que les matrices E_2 et E_3 correspondent à l'application respective de l'algorithme $\mathbf{Fel}_1$ à la matrice $\begin{bmatrix} A_{11} \\ A'_{21} \end{bmatrix}$ qui est de type $(2^\nu, 2^{\nu-1})$ et de l'algorithme $\mathbf{Fel}_2$ à la matrice A''_{22} qui est carrée d'ordre $2^{\nu-1}$. Cela se traduit par le fait que $E_3 A''_{22} = A'''_{22}$ est triangulaire supérieure et que :

$$E_2 \begin{bmatrix} A_{11} \\ A'_{21} \end{bmatrix} = \begin{bmatrix} A'_{11} \\ 0 \end{bmatrix} \quad \text{avec} \quad \begin{bmatrix} A'_{12} \\ A''_{22} \end{bmatrix} = E_2 \begin{bmatrix} A_{12} \\ A'_{22} \end{bmatrix}.$$

Posant $E = \begin{bmatrix} \mathrm{I}_{2^{\nu-1}} & 0 \\ 0 & E_3 \end{bmatrix} E_2 \begin{bmatrix} \mathrm{I}_{2^{\nu-1}} & 0 \\ 0 & E_1 \end{bmatrix}$, on a bien $EA = \begin{bmatrix} T \\ 0 \end{bmatrix}$ où $T = \begin{bmatrix} A'_{11} & A'_{12} \\ 0 & A'''_{22} \end{bmatrix}$ est une matrice triangulaire supérieure.

Procédure Fel$_3$:
Elle prend en entrée une matrice triangulaire supérieure $A \in \mathcal{K}^{n\times n}$ (avec $n = 2^\nu$) et donne en sortie une matrice unimodulaire $E \in \mathrm{SL}_n(\mathrm{K})$ et une matrice S sous forme échelonnée en lignes vérifiant $EA = S$.
On considère la partition $A = \begin{bmatrix} A_{11} & A_{12} \\ 0 & A_{22} \end{bmatrix}$ en blocs $2^\nu \times 2^\nu$ de la matrice A donnée (A_{11} et A_{22} sont des matrices triangulaires supérieures).

Le déroulement de la procédure est alors illustré par le schéma suivant dans lequel c'est d'abord l'algorithme **Fel$_3$** qui est appliqué à la matrice A_{11} pour donner la matrice $\begin{bmatrix} S_{11} \\ 0 \end{bmatrix}$ où S_{11} est une matrice surjective[6] échelonnée en lignes ; c'est ensuite **Fel$_1$** qui est appliqué à la matrice $\begin{bmatrix} A_{23} \\ A_{24} \end{bmatrix}$ pour donner la matrice $\begin{bmatrix} A'_{23} \\ 0 \end{bmatrix}$ où A'_{23} est triangulaire supérieure ; et c'est enfin **Fel$_3$** qui, appliqué à la matrice A'_{23}, donne la matrice échelonnée en lignes S_{23} :

$$\begin{bmatrix} A_{11} & A_{12} \\ 0 & A_{22} \end{bmatrix} \xrightarrow{E_1} \begin{bmatrix} S_{11} & A'_{12} \\ 0 & A_{23} \\ 0 & A_{24} \end{bmatrix} \xrightarrow{E_2} \begin{bmatrix} S_{11} & A'_{12} \\ 0 & A'_{23} \\ 0 & 0 \end{bmatrix} \xrightarrow{E_3} \begin{bmatrix} S_{11} & A'_{12} \\ 0 & S_{23} \\ 0 & 0 \end{bmatrix}$$

avec $E_1 A_{12} = \begin{bmatrix} A'_{12} \\ A_{23} \end{bmatrix}$. Si maintenant on pose :

$$E = \begin{bmatrix} \mathrm{I}_r & 0 & 0 \\ 0 & E_3 & 0 \\ 0 & 0 & \mathrm{I}_r \end{bmatrix} \begin{bmatrix} \mathrm{I}_r & 0 \\ 0 & E_2 \end{bmatrix} \begin{bmatrix} E_1 & 0 \\ 0 & \mathrm{I}_{2^{\nu-1}} \end{bmatrix}$$

où r est le rang de A_{11}, alors $EA = S$ avec $S = \begin{bmatrix} S_{11} & A'_{12} \\ 0 & S_{23} \\ 0 & 0 \end{bmatrix}$ qui est bien une matrice échelonnée en lignes puisque S_{11} et S_{23} le sont.

Procédure principale Fel :
Elle prend en entrée une matrice carrée $A \in \mathcal{K}^{n\times n}$ ($n = 2^\nu$) et retourne une matrice unimodulaire $E \in \mathrm{SL}_n(\mathrm{K})$ et une matrice S sous forme échelonnée en lignes vérifiant $EA = S$.
Le cas $\nu = 0$ est trivial. Pour $\nu \geq 1$, on applique la procédure auxiliaire

6. Le nombre r de ses lignes est égal à son rang qui est aussi celui de A_{11}.

$\mathbf{Fel}_2$ pour transformer la matrice A en une matrice triangulaire supérieure T puis la procédure $\mathbf{Fel}_3$ pour transformer T en une matrice échelonnée en lignes.

Analyse de complexité

L'étude de complexié de la procédure principale **Fel** passe par celle des trois algorithmes auxiliaires $\mathbf{Fel}_1$, $\mathbf{Fel}_2$ et $\mathbf{Fel}_3$. Si l'on désigne par τ_1, τ_2 et τ_3 les tailles et par π_1, π_2 et π_3 les profondeurs respectives de ces trois algorithmes, on a les majorations suivantes dans lesquelles les coefficients C_α et K_α sont les constantes intervenant dans la taille et la profondeur des complexités arithmétiques de la multiplication des matrices.

pour les tailles :

$$\begin{aligned}
&\tau_1(2^\nu) \leq 4\,\tau_1(2^{\nu-1}) + 2\,\mathrm{C}_\alpha\,2^{\nu\alpha}\\
&\tau_2(2^\nu) \leq \tau_1(2^{\nu-1}) + 2\,\tau_2(2^{\nu-1}) + (2^\alpha+1)\,\mathrm{C}_\alpha\,2^{(\nu-1)\alpha}\\
&\tau_3(2^\nu) \leq \tau_1(2^{\nu-1}) + 2\,\tau_3(2^{\nu-1}) + \mathrm{C}_\alpha\,2^{(\nu-1)\alpha}
\end{aligned}$$

pour les profondeurs :

$$\begin{aligned}
&\pi_1(2^\nu) \leq 3\,\pi_1(2^{\nu-1}) + 2\,\mathrm{K}_\alpha\,\nu\\
&\pi_2(2^\nu) \leq \pi_1(2^{\nu-1}) + 2\,\pi_2(2^{\nu-1}) + \mathrm{K}_\alpha\,(2\nu-1)\\
&\pi_3(2^\nu) \leq \pi_1(2^{\nu-1}) + 2\,\pi_3(2^{\nu-1}) + \mathrm{K}_\alpha\,(\nu-1)
\end{aligned}$$

Il faut remarquer que dans la procédure $\mathbf{Fel}_1$ les étapes $\xrightarrow{E_2}$ et $\xrightarrow{E_3}$ peuvent être exécutées en parallèle, ce qui explique la diminution du coefficient (de 4 à 3) entre τ_1 et π_1.

Utilisant les inégalités ci-dessus et le fait que :

$$\tau(2^\nu) = \tau_2(2^\nu) + \tau_3(2^\nu) \quad \text{et} \quad \pi(2^\nu) = \pi_2(2^\nu) + \pi_3(2^\nu)\,,$$

nous allons montrer le résultat suivant concernant la complexité du problème de la réduction à la forme échelonnée en lignes.

Proposition 8.3.1 *La réduction à la forme échelonnée en lignes d'une matrice carrée d'ordre n sur un corps commutatif $\mathcal{K}$ est réalisée par une famille uniforme de circuits arithmétiques de taille $\tau(n)$ et de profondeur $\pi(n)$ avec les majorations suivantes :*

$$\tau(n) \leq \frac{21\,\mathrm{C}_\alpha}{2^{\alpha-2}-1}\,n^\alpha \quad \text{et} \quad \pi(n) \leq (3\,K_\alpha + 2)\,n^{\log 3}\,.$$

Preuve. Les sommations des relations $\tau_1(2^k) \leq 4\,\tau_1(2^{k-1}) + 2\,\mathrm{C}_\alpha\,2^{k\alpha}$ d'une part et des relations $\pi_1(2^k) \leq 3\,\pi_1(2^{k-1}) + 2\,\mathrm{K}_\alpha\,k$ d'autre part pour k allant de 0 à ν (avec $\tau_1(1) = \pi_1(1) = 1$) donnent les majorations suivantes pour la taille et la profondeur du circuit arithmétique correspondant à la procédure $\mathbf{Fel}_1$:

$$\tau_1(2^\nu) < \frac{2^{\alpha+1}\mathrm{C}_\alpha}{2^{\alpha-2}-1}\,2^{\nu\alpha} \quad \text{et} \quad \pi_1(2^\nu) < \left(\frac{3}{2}\,\mathrm{K}_\alpha + 1\right)\,3^\nu - \mathrm{K}_\alpha\,\nu - \frac{3}{2}\,\mathrm{K}_\alpha\,.$$

Tenant compte de ces relations et du fait que $\tau_2(1) = \pi_2(1) = 1$, les sommations pour k allant de 0 à ν des inégalités relatives à la taille et la profondeur du circuit arithmétique correspondant à la procédure $\mathbf{Fel}_2$ nous donnent la majoration :

$$\tau_2(2^\nu) < \frac{1}{2}\,E_\alpha\,\frac{2^{\nu\alpha}}{2^{\alpha-1}-1} < \frac{1}{2}\,E_\alpha\,2^{\nu\alpha} \quad \text{dans laquelle}$$

$$E_\alpha \;=\; \frac{2^{\alpha+1}}{2^{\alpha-2}-1}\,\mathrm{C}_\alpha + (2^\alpha+1)\;\mathrm{C}_\alpha \;<\; \frac{25\,\mathrm{C}_\alpha}{2^{\alpha-2}-1}$$

(avec $2 < \alpha \leq 3$) et la majoration :

$$\pi_2(2^\nu) \;<\; \left(\frac{3}{2}\,\mathrm{K}_\alpha + 1\right)\,3^\nu - \mathrm{K}_\alpha\,\left(2^\nu + \nu + \frac{1}{2}\right)\,.$$

On obtient, par des calculs analogues, les majorations suivantes pour la taille et la profondeur du circuit arithmétique correspondant à la procédure $\mathbf{Fel}_3$:

$$\tau_3(2^\nu) < \frac{1}{2}\,F_\alpha\,\frac{2^{\nu\alpha}}{2^{\alpha-1}-1} < \frac{1}{2}\,F_\alpha\,2^{\nu\alpha} \qquad \text{et}$$

$$\pi_3(2^\nu) < \left(\frac{3}{2}\,\mathrm{K}_\alpha + 1\right)\,3^\nu - \frac{3}{2}\,\mathrm{K}_\alpha\,(2^{\nu+1}-1)$$

$$\text{où} \quad F_\alpha = \left(\frac{2^{\alpha+1}}{2^{\alpha-2}-1} + 1\right)\,\mathrm{C}_\alpha < \frac{17\,\mathrm{C}_\alpha}{2^{\alpha-2}-1}$$

Le résultat annoncé découle des majorations ci-dessus et du fait que l'on a : $\tau(2^\nu) = \tau_2(2^\nu) + \tau_3(2^\nu)$, $\pi(2^\nu) = \pi_2(2^\nu) + \pi_3(2^\nu)$ et $n = 2^\nu$. $\square$

Remarque. Le fait de considérer des matrices carrées dont le nombre de lignes (et de colonnes) est une puissance de 2 n'est pas une hypothèse restrictive. On peut en effet plonger toute matrice $A \in \mathcal{K}^{n\times p}$ dans une matrice carrée d'ordre 2^ν en prenant $\nu = \max\left(\lceil \log n \rceil\,, \lceil \log p \rceil\right)$ et en

complétant la matrice donnée par $2^\nu - n$ lignes et $2^\nu - p$ colonnes nulles. Les rangées ajoutées, formées de zéros, ne subissent aucune transformation au cours du déroulement de la procédure décrite et le résultat énoncé dans la proposition 8.3.1 reste valable à condition de remplacer n par $\max(n, p)$.

8.4 Méthode de Keller-Gehrig

Les algorithmes de Keller-Gehrig [58] sont des versions accélérées de l'algorithme de Frobenius que nous avons décrit à la section 2.8.1.

Dans la section présente nous ne décrirons en détail que le plus simple de ces algorithmes. Nous reprenons les notations de la section 2.8.1.

La matrice $A \in \mathcal{K}^{n\times n}$ définit l'endomorphisme h_A de $\mathcal{K}^n$. Nous appelons $a = (e_1, \ldots, e_n)$ la base canonique de $\mathcal{K}^n$.

Accélération dans le cas simple

Nous examinons ici le cas le plus simple (et le plus fréquent) où $k_1 = n$ c'est-à-dire le cas où $b = (e_1, Ae_1, \ldots, A^{n-1}e_1)$ est une base de $\mathcal{K}^n$.

Nous désignons par $[S']_S$ la matrice d'un système de vecteurs (ou d'un vecteur ou d'un endomorphisme) S' dans une base S. Alors $U = [b]_a$ est la matrice de passage de a à b, et on a :

$$[h_A]_b = U^{-1}AU = [(e_1, Ae_1, \ldots, A^{n-1}e_1)]_b = \begin{bmatrix} 0 & \ldots & 0 & a_0 \\ 1 & \ddots & \vdots & a_1 \\ \vdots & \ddots & 0 & \vdots \\ 0 & \ldots & 1 & a_{n-1} \end{bmatrix}$$

où $a_0, a_1, \ldots, a_{n-1}$ sont les coefficients (dans $\mathcal{K}$) de la relation de dépendance $A^n e_1 = a_{n-1}A^{n-1}e_1 + \ldots + a_1 Ae_1 + a_0 e_1$. Ceci prouve que A est semblable à une matrice de Frobenius et que son polynôme caractéristique est $\mathrm{P}_A(X) = (-1)^n\,(X^n - (a_{n-1}X^{n-1} + \cdots + a_1 X + a_0))$.

L'algorithme de Keller-Gehrig, dans ce cas le plus simple, consiste à calculer la matrice U puis le produit $U^{-1}AU$ pour obtenir par simple lecture de la dernière colonne les coefficients du polynôme caractéristique de A. Prenant $\nu = \lceil \log n \rceil$, le calcul de U se fait en ν étapes. L'étape n° k ($1 \le k \le \nu$) consiste à :

— calculer la matrice A^{2^k} (élévation au carré de la matrice $A^{2^{k-1}}$ déjà calculée à l'étape précédente) ;

— calculer la matrice $A^{2^{\nu-1}}\,[e_1 \,|\, Ae_1 \,|\, \ldots \,|\, A^{2^{k-1}-1}e_1]$ à partir de la matrice $[e_1 \,|\, Ae_1 \,|\, \ldots \,|\, A^{2^{k-1}-1}e_1]$ calculée à l'étape $k-1$ pour obtenir la matrice $[e_1 \,|\, Ae_1 \,|\, \ldots \,|\, A^{2^k-1}e_1]$ de l'étape k.

À la fin de ces ν étapes, on obtient la matrice

$$[e_1 \,|\, Ae_1 \,|\, \ldots \,|\, A^{2^\nu-1}e_1] \in \mathcal{K}^{n\times 2^\nu}$$

qui admet comme sous-matrice la matrice recherchée

$$U = [e_1 \,|\, Ae_1 \,|\, \ldots \,|\, A^{n-1}e_1] \in \mathcal{K}^{n\times n}$$

puisque $2^\nu - 1 \geq n-1$.

On calcule ensuite la dernière colonne de $U^{-1}\,A\,U$ en commençant par inverser la matrice U (en passant par sa LUP-décomposition). Enfin on calcule la dernière colonne V de $A\,U$ en multipliant A par la dernière colonne de U, puis on calcule $U^{-1}\,V$.

L'analyse de complexité dans ce cas simple nous donne donc :

Proposition 8.4.1 *On peut calculer le polynôme caractéristique d'une matrice carrée d'ordre n à coefficients dans un corps $\mathcal{K}$ au moyen d'un circuit arithmétique avec divisions en $\mathcal{SD}(n^\alpha \log n, n \log n)$, de taille majorée plus précisément par*

$$2\,\mathrm{C}_\alpha\, n^\alpha\, \lceil \log n \rceil + \zeta_\alpha\, n^\alpha + \mathcal{O}(n^2)$$

où C_α et ζ_α sont les constantes intervenant dans les complexités séquentielles de la multiplication des matrices et de l'inversion des matrices carrées (voir proposition 8.2.2 page 236).

Le cas général

L'algorithme précédent fournit déjà une famille uniforme de circuits arithmétiques avec divisions qui calcule le polynôme caractéristique d'une matrice sur un corps, au sens des circuits avec divisions. Autrement dit, le circuit arithmétique évalue correctement le polynôme caractéristique en tant que fraction rationnelle : en tant qu'élément du corps $\mathcal{K}((a_{ij}))$ où les coefficients a_{ij} de la matrice carrée sont pris comme des indéterminées.

Mais il échoue à calculer le polynôme caractéristique de toute matrice qui n'a pas un polynôme minimal de même degré que le polynôme caractéristique.

On est donc dans une situation pire que pour le calcul du déterminant à la Bunch & Hopcroft, car dans ce dernier cas, il suffit de

multiplier à droite et à gauche la matrice par des matrices unimodulaires (à petits coefficients entiers) prises au hasard pour obtenir une matrice qui possède une LU-décomposition avec une très grande probabilité [7]. Et ceci même si son déterminant est nul (cf. l'algorithme 2.2 page 62). L'algorithme de Bunch & Hopcroft sans branchement, avec le preprocessing que nous venons d'indiquer n'échouera que dans le cas d'une matrice $n \times n$ dont le rang est strictement inférieur à $n-1$.

C'est donc en produisant un algorithme avec branchements qui fonctionne dans tous les cas que Keller-Gehrig réalise son véritable tour de force. Et pour cela il lui fallait d'abord développer sa méthode de réduction rapide d'une matrice à la forme échelonnée en lignes (sur un corps). Dans cette réduction nous avons vu que la profondeur de l'algorithme (avec branchements) est un $\mathcal{O}(n^{\log 3})$. Keller-Gehrig obtient précisément le résultat suivant :

Théorème 8.2 *Le polynôme caractéristique d'une matrice carrée d'ordre n sur un corps $\mathcal{K}$ peut être calculé par un algorithme avec branchements qui a pour taille un $\mathcal{O}(n^{\alpha} \log n)$.*

Une version plus rapide pour les cas favorables

Notons que Keller-Gehrig propose une version plus rapide pour un algorithme avec divisions mais sans branchements, qui calcule le polynôme caractéristique dans les mêmes conditions qu'à la proposition 8.4.1 :

Proposition 8.4.2 *On peut calculer le polynôme caractéristique d'une matrice carrée d'ordre n à coefficients dans un corps $\mathcal{K}$ au moyen d'un circuit arithmétique avec divisions qui a pour taille un $\mathcal{O}(n^{\alpha})$.*

Une version parallèle

Signalons enfin qu'une parallélisation de l'algorithme de Keller-Gehrig a été obtenue par Giesbrecht [37, 38].

8.5 Méthode de Kaltofen-Wiedemann

Pour généraliser l'algorithme de Wiedemann (section 2.8.3) à un anneau commutatif arbitraire $\mathcal{A}$ en évitant les divisions qu'il contient et

7. Si cette méthode est seulement probabiliste en théorie, elle fonctionne toujours en pratique.

le débarrasser en même temps de son aspect aléatoire, l'idée de Kaltofen [49] est de lui appliquer la méthode de l'élimination des divisions de Strassen (cf. le théorème 3.1 page 122). Il doit pour cela exhiber une matrice particulière $C \in \mathcal{K}^{n\times n}$ et un couple de vecteurs $u, v \in \mathcal{A}^{n\times 1}$ pour lesquels l'algorithme de Wiedemann s'effectue sans divisions et tels que le polynôme générateur minimal de la suite récurrente linéaire $({}^{\mathrm{t}}u\, C^i\, v)_{i\in\mathbb{N}}$, qui est donné par l'algorithme de Berlekamp/Massey [27], est de degré n (et n'est autre, par conséquent, que le polynôme minimal P^C et, à un signe près, le polynôme caractéristique P_C de C).

Kaltofen considère la suite de nombres entiers $(a_i) \in \mathbb{N}^{\mathbb{N}}$ définie par

$$a_i = \binom{i}{\lfloor i/2 \rfloor}, \quad \text{avec} \quad \begin{cases} a_{n+1} = 2\, a_n & \text{si } n \text{ est impair et} \\ a_{n+1} = 2\, \frac{n+1}{n+2}\, a_n & \text{si } n \text{ estpair.} \end{cases}$$

Les premiers termes sont 1, 1, 2, 3, 6, 10, 20, 35, 70, 126, 252, 462, 924, 1716, 3432, 6435, 12870, 24310, 48620, 92378, ...

Il applique l'algorithme de Berlekamp/Massey aux $2n$ premiers termes :

$$a_0 = 1,\ a_1 = 1,\ a_2 = 2,\ \ldots,\ a_{2n-1} = \binom{2n-1}{n-1}$$

Il constate que les restes successifs dans l'algorithme d'Euclide étendu, jusqu'au $(n-1)$-ème, ont un coefficient dominant égal à ± 1, avec un degré ne diminuant que d'une seule unité à chaque pas (c'est-à-dire que $\mathrm{d}^{\mathrm{o}} R_i = 2n-1-i$ pour $1 \le i \le n-1$). Ce qui garantit le fait que les polynômes R_i, Q_i, U_i, V_i $(1 \le i \le n)$ appartiennent à $\mathbb{Z}[X]$ et que $\mathrm{d}^{\mathrm{o}} R_n = n-1$. Il constate également que les multiplicateurs V_i $(1 \le i \le n)$ ont un coefficient dominant et un terme constant égaux à ± 1 et que, par conséquent, dans la dernière égalité obtenue :

$$U_n\, X^{2n} + V_n \sum_{i=0}^{2n-1} a_i X^i = R_n \qquad (\text{ avec } \ \mathrm{d}^{\mathrm{o}} R_n = n-1)\,,$$

V_n est un polynôme de degré n qui, à un signe près, s'écrit :

$$\pm V_n = X^n - (c_{n-1} X^{n-1} + \cdots + c_1 X + c_0)\,.$$

(avec $c_0 = \pm 1$, $c_{n-1} = 1$) Kaltofen montre même, à partir de l'algorithme qui calcule les coefficients de V_n, que ces derniers sont en fait donnés par la formule :

$$c_i = (-1)^{\lfloor \frac{n-i-1}{2} \rfloor} \binom{\lfloor \frac{n+i}{2} \rfloor}{i} \qquad \text{pour} \quad 0 \le i \le n-1\,.$$

C'est donc le polynôme $f(X) = X^n - c_{n-1}X^{n-1} - \ldots - c_1 X - c_0$ ainsi obtenu qui est le polynôme minimal de la suite récurrente linéaire $(a'_i)_{i\in\mathbb{N}}$ dont les $2n$ premiers termes coïncident avec les $2n$ premiers termes $a_0, a_1, \ldots, a_{2n-1}$ de la suite (a_i).

Il considére alors la matrice C transposée de la matrice compagnon du polynôme $f(X)$:

$$C = \begin{bmatrix} 0 & 1 & 0 & \ldots & 0 \\ 0 & 0 & 1 & \ldots & 0 \\ \vdots & \vdots & \vdots & \ddots & \vdots \\ 0 & 0 & 0 & \ldots & 1 \\ c_0 & c_1 & c_2 & \ldots & c_{n-1} \end{bmatrix},$$

Par exemple, pour $n = 7$ on obtient

$$C := \begin{bmatrix} 0 & 1 & 0 & 0 & 0 & 0 & 0 \\ 0 & 0 & 1 & 0 & 0 & 0 & 0 \\ 0 & 0 & 0 & 1 & 0 & 0 & 0 \\ 0 & 0 & 0 & 0 & 1 & 0 & 0 \\ 0 & 0 & 0 & 0 & 0 & 1 & 0 \\ 0 & 0 & 0 & 0 & 0 & 0 & 1 \\ -1 & 4 & 6 & -10 & -5 & 6 & 1 \end{bmatrix}$$

Le polynôme caractéristique de C n'est autre que $\mathrm{P}_C = (-1)^n f(X)$. Il considère enfin les deux vecteurs :

$$V = \begin{bmatrix} a_0 \\ a_1 \\ \ldots \\ a_{n-1} \end{bmatrix} \quad \text{et} \quad E_1 = \begin{bmatrix} 1 \\ 0 \\ \vdots \\ 0 \end{bmatrix} \quad \text{de} \quad \mathcal{A}^{n\times 1}.$$

On vérifie immédiatement que les suites récurrentes linéaires $(a'_i)_{i\in\mathbb{N}}$ et $({}^{\mathrm{t}}E_1\, C^i\, V)_{i\in\mathbb{N}}$, qui admettent un polynôme générateur unitaire commun de degré n, sont telles que $a'_i = {}^{\mathrm{t}}E_1\, C^i\, V$ $(= a_i)$ pour tout i compris entre 0 et $2n-1$. On en déduit que $a'_i = {}^{\mathrm{t}}E_1\, C^i\, V$ pour tout $i \in \mathbb{N}$.

Ainsi, par construction même de C, l'algorithme de Wiedemann, prenant C en entrée avec les deux vecteurs E_1 et V, s'effectue avec les seules opérations d'addition et de multiplication dans $\mathbb{Z}$ pour donner en sortie le polynôme minimal de la suite récurrente linéaire $({}^{\mathrm{t}}E_1\, C^i\, V)_{i\in\mathbb{N}}$, et par conséquent le polynôme caractéristique de C.

Soit maintenant $A = (a_{ij})$ une matrice carrée d'ordre n à coefficients dans $\mathcal{A}$. Il s'agit de calculer le polynôme caractéristique de A en n'utilisant que les opérations arithmétiques de $\mathcal{A}$. Cela se fait par élimination des divisions dans l'algorithme de Wiedemann pour la matrice A en prenant comme centre d'élimination des divisions le point formé par la matrice C et les deux vecteurs auxilaires E_1 et V. Comme les coefficients du polynôme caractéristique de A (les sorties de l'algorithme de Wiedemann) sont des polynômes de degré $\leq n$ en les coefficients (a_{ij}), on utilise l'élimination des divisions de Strassen en degré n.

On considère donc une indéterminée z sur $\mathcal{A}$.

On pose $F = A - C$, et on applique l'algorithme de Wiedemann dans l'anneau $\mathcal{A}_n = \mathcal{A}[z] \big/ \langle z^{n+1} \rangle$ à la matrice $B = C + zF$ avec les vecteurs auxiliaires E_1 et V. On récupère le polynôme caractéristique de A en remplaçant z par 1 dans les sorties.

Cet algorithme calcule le polynôme générateur minimal $g_z(X) \in \mathcal{A}_n[X]$ de la suite récurrente linéaire $({}^{\mathrm{t}}E_1\, B^i\, V)_{i\in\mathbb{N}}$. Comme les seules divisions se font par des polynômes en z de terme constant égal à ± 1, l'ensemble du calcul se fait uniquement avec des additions et multiplications dans $\mathcal{A}$.

D'où l'algorithme 8.2 page ci-contre de Kaltofen pour le calcul du polynôme caractéristique d'une matrice carrée $A \in \mathcal{A}^{n\times n}$.

Complexité de l'algorithme

On utilise comme d'habitude la notation 3.2.2 page 125 ainsi que la notation 7.2.1 page 195. L'étude de complexité donne le résultat suivant dû à Kaltofen [49] :

Théorème 8.3 *Le calcul du déterminant, du polynôme caractéristique et de l'adjointe d'une matrice carrée d'ordre n sur un anneau commutatif arbitraire $\mathcal{A}$ se fait à l'aide d'une famille uniforme de circuits arithmétiques en $\mathcal{SD}(n \log n, n^{\frac{\alpha+3}{2}}\, \mu_P(\lceil \sqrt{n} \rceil))$.*

Si on utilise une multiplication rapide des polynômes en $\mathcal{O}(n \log n)$ ou en $\mathcal{O}(n \log n \log\log n)$ opérations arithmétiques (selon l'anneau considéré), cela fait donc, $\mathcal{O}(n^{\frac{\alpha}{2}+2} \log n)$ ou $\mathcal{O}(n^{\frac{\alpha}{2}+2} \log n \log\log n)$ opérations arithmétiques pour l'algorithme de Kaltofen. Nous verrons au chapitre 10 que les algorithmes parallèles en profondeur $\log^2 n$ font moins bien dans le cas d'un anneau vraiment arbitraire (ils utilisent $\mathcal{O}(n^{\alpha+1} \log n)$

Algorithme 8.2 ***Algorithme de Kaltofen-Wiedemann***

Entrée : Un entier $n \geq 2$ et une matrice $A = (a_{ij}) \in \mathcal{A}^{n\times n}$.
Sortie : Le polynôme caractéristique $\mathrm{P}_A(X)$ de A.
Début (on pose $\mathcal{A}_n = \mathcal{A}[z] \big/ \langle z^{n+1} \rangle$)
Variables locales : i, $k \in \mathbb{N}$; $V = (v_i) \in \mathbb{Z}^{n\times 1}$ (vecteur du centre d'élimination des divisions) ; $C = (c_{ij}) \in \mathbb{Z}^{n\times n}$ (matrice du centre d'élimination des divisions) ; $B \in (\mathcal{A}_n)^{n\times n}$; $(r_k)_{k=0..2n-1} \in (\mathcal{A}_n)^{2n}$.
Étape 1 : Calcul du centre d'élimination des divisions, et initialisation.
  $C := 0 \in \mathcal{A}^{n\times n}$;
  pour i **de** 1 **à** n **faire**
    $v_i := \binom{i-1}{\lfloor \frac{i-1}{2} \rfloor}$; $c_{n,i} := (-1)^{\lfloor \frac{n-i}{2} \rfloor} \binom{\lfloor \frac{n+i-1}{2} \rfloor}{i-1}$
  fin pour ;
  pour i **de** 1 **à** $n-1$ **faire** $c_{i,i+1} := 1$ **fin pour** ;
  $B := C + z \times (A - C)$;
Étape 2 : Calcul de la suite récurrente linéaire
  pour k **de** 0 **à** $2n-1$ **faire**
    $r_k :=$ première coordonnée de $B^k \times V$ dans $\mathcal{A}_n$
  fin pour ;
Étape 3 : Berlekamp-Massey
  Appliquer la procédure de Berlekamp-Massey à la suite $(r_k)_{k=0..2n-1}$ puis remplacer z par 1 dans le polynôme générateur minimal trouvé.
Fin.

opérations arithmétiques) mais un peu mieux ($\mathcal{O}(n^{\alpha+\frac{1}{2}})$ opérations arithmétiques) dans le cas d'un anneau où les entiers $\leq n$ sont non diviseurs de zéro.

Dans le cours de la preuve qui suit nous ferons également l'analyse de complexité de la version élémentaire de l'algorithme de Kaltofen. Nous obtenons le résultat suivant.

Proposition 8.5.1 *Dans la version séquentielle simple de l'algorithme de Kaltofen, le calcul du déterminant, du polynôme caractéristique et de l'adjointe d'une matrice carrée d'ordre n sur un anneau commutatif arbitraire $\mathcal{A}$ se fait à l'aide d'une famille uniforme de circuits arithmétiques de taille $\mathcal{O}(n^4)$ et plus précisément avec un nombre de multiplications égal à $4n^4 + \mathcal{O}(n^3)$ et un nombre d'additions du même ordre de grandeur. Le nombre de multiplications essentielles est de $2n^4 + \mathcal{O}(n^3)$.*

Preuve. On remarque tout d'abord que le coût de l'étape 1 est négligeable. Les entiers qu'elle calcule sont des constantes du circuit disponibles une fois pour toutes et leur calcul ne doit pas être pris en compte (ils sont de toute façon calculables en $\mathcal{O}(n^2)$ opérations arithmétiques). Quant à l'affectation $B := C + z \times (A - C)$ dans $(\mathcal{A}_n)^{n\times n}$ elle signifie du point de vue des opérations arithmétiques dans $\mathcal{A}$ qu'on effectue $2n - 1$ soustractions qui peuvent être effectuées en une seule étape parallèle.

L'étape 3 est pour l'essentiel un algorithme d'Euclide étendu. Elle se fait avec un circuit arithmétique de profondeur $\mathcal{O}(n \log n)$ et de taille $\mathcal{O}(n^2\, \mu_P(n))$ où $\mu_P(n)$ est le nombre d'opérations arithmétiques nécessaires pour la multiplication de deux polynômes de degré n dans $\mathcal{A}[z]$ en profondeur $\mathcal{O}(\log n)$. Cela est dû au fait que l'algorithme d'Euclide étendu utilisé comporte $\mathcal{O}(n)$ étapes avec chacune $\mathcal{O}(n)$ opérations arithmétiques dans l'anneau des développements limités $\mathcal{A}_n$ (certaines de ces opérations sont des divisions par des éléments inversibles).

Pour obtenir le résultat énoncé, reste l'étape 2, la plus coûteuse en nombre d'opérations arithmétiques.

Voyons tout d'abord la version élémentaire. On calcule successivement les $V_k = B^k V$ pour $k = 1, \ldots, 2n - 1$ par $V_{k+1} = BV_k$. Cela fait en tout $2n^3 - n^2$ multiplications et $n(n-1)(2n-1)$ additions dans $\mathcal{A}_n$. Chacune des $2n^3 - n^2$ multiplications est le produit d'une entrée de B par une coordonnée de l'un des V_k. Or les entrées de B sont des éléments de la forme $c + bz$ où c est une constante (une des entrées non nulles de C) et b est une entrée de $A - C$. Un tel produit consomme donc n multiplications essentielles, $n+1$ multiplications du type « produit d'un élément de $\mathcal{A}$ par une constante » et n additions. En résumé, l'étape 2 dans la version séquentielle élémentaire consomme $2n^4 - n^3$ multiplications essentielles, $2n^4 + \mathcal{O}(n^3)$ multiplications non essentielles et $4n^4 + \mathcal{O}(n^3)$ additions.

Voyons maintenant la version accélérée. On subdivise l'étape 2 en quatre sous-étapes qui sont les suivantes, numérotées de 2.1 à 2.4, dans lesquelles on pose $r = \lceil \sqrt{n} \rceil$, $s = \lceil 2n/r \rceil - 1$, $U_0 = E_1$ et $V_0 = V$:

Étape 2.1 : **pour** j **de** 1 **à** $r-1$ **calculer** $V_j := B^j V_0$
Étape 2.2 : Calculer la matrice B^r
Étape 2.3 : **pour** k **de** 1 **à** s **calculer** $U_k := ({}^{\mathrm{t}}B^r)^k E_1$
Étape 2.4 : **pour** j **de** 0 **à** $r-1$ et **pour** k **de** 0 **à** s **calculer**
$$b_{kr+j}(z) := {}^{\mathrm{t}}U_k(z)\, V_j(z)\,.$$

Notez que $r(s+1) \geq 2n$ si bien que que les entiers $kr+j$ parcourent tout l'intervalle $[0, 2n-1]$.

Au cours des sous-étapes 2.1 et 2.2, les coefficients calculés sont des polynômes en z de degré $\leq r$ (dans $B^j V$, ils sont de degré $\leq j$), c'est-à-dire que chaque multiplication de deux coefficients correspond à un circuit arithmétique de profondeur $\mathcal{O}(\log r)$ avec $\mu_P(r)$ opérations de base dans $\mathcal{A}$. Cela donne l'analyse suivante pour les différentes sous-étapes.

• **Sous-étape** 2.1 : Pour obtenir tous les vecteurs $B^j V$ pour $1 \leq j \leq r-1$ on peut procéder en $\lfloor \log r \rfloor$ étapes parallèles où chaque étape i ($i = 1, \ldots, \lfloor \log r \rfloor$) consiste à élever au carré la matrice $B^{2^{i-1}}$ puis à la multiplier à droite par la matrice $[\, V \mid B\, V \mid \ldots \mid B^{2^{i-1}-1}\, V\,]$ qui est une matrice $n \times 2^{i-1}$ pour obtenir la matrice $[\, V \mid B\, V \mid \ldots \mid B^{2^i-1}\, V\,]$ qui est une matrice $n \times 2^i$ dont les coefficients sont des polynômes de $\mathcal{A}[z]$ de degré $< 2^i \leq r$.

Chacune de ces $\lfloor \log r \rfloor$ étapes correspond donc à un circuit arithmétique de profondeur $\mathcal{O}(\log n \log r)$ et de taille $\mathcal{O}(n^\alpha\, \mu_P(r))$, ce qui donne au total, pour la sous-étape 2.1, un circuit arithmétique de profondeur $\mathcal{O}(\log^3 n)$ et de taille $\mathcal{O}(n^\alpha\, \mu_P(r)\, \log n)$.

• **Sous-étape** 2.2 : Si r est une puissance de 2, le calcul de B^r se fait en élevant au carré la matrice $B^{r/2}$ déjà calculée. Sinon il faut faire le produit de certaines des matrices $B^{2^{i-1}}$: par exemple si $r = 39 = 32+4+2+1$, on a $B^{39} = B^{2^5} B^{2^2} B^2 B$. Pour chaque produit les coefficients des matrices sont de degré $\leq r/2$ dans $\mathcal{A}[z]$. Ceci correspond de nouveau à un circuit arithmétique de profondeur $\mathcal{O}(\log^3 n)$ et de taille $\mathcal{O}(n^\alpha\, \mu_P(r)\, \log n)$. Pour la suite nous posons $B_1 = {}^{\mathrm{t}}B^r$

• **Sous-étape** 2.3 : Nous ne pouvons plus utiliser la technique de l'étape 2.1 qui ici donnerait a priori une famille uniforme de circuits arithmétiques dans $\mathcal{SD}(\log^3 n, n^\alpha\, \mu_P(n)\, \log n)$.

Partant du vecteur $U_0 = E_1$, la sous-étape 2.3 de notre algorithme consiste à calculer, pour k allant de 1 à s, le vecteur $U_k(z) = B_1\, U_{k-1}(z)$. Posons $s_1 = \lceil (n+1)/r \rceil$. Notons que $U_{k-1} = B_1^{k-1}\, E_1$ se réécrit dans $\mathcal{A}_n$ sous la forme $U_{k-1}(z) = \sum_{\ell=0}^{s_1-1} z^{r\ell}\, U_{k-1,\ell}$ où chacun des $U_{k-1,\ell}$ est un vecteur dont les composantes sont des polynômes en z de degré $< r$. On peut donc identifier $U_{k-1}(z)$ avec la matrice $n \times s_1$:

$$W_k(z) = [\, U_{k-1,0} \mid U_{k-1,1} \mid \ldots \mid U_{k-1,s_1-1}\,]\,.$$

Le calcul du vecteur $U_k(z)$ à n lignes et s_1 colonnes se fait comme suit. On calcule la matrice $B_1 W_{k-1}(z)$ dont les entrées sont des poly-

nômes de degré $\leq 2r$, puis on réorganise les sommes correspondantes pour obtenir $U_k(z)$ (ce qui nécessite au plus n^2 additions dans $\mathcal{A}$). Le produit $B_1 W_{k-1}(z)$ est celui d'une matrice $n \times n$ par une matrice $n \times s_1$, toutes les entrées étant de degré $\leq r$. Ceci peut se faire avec r^2 multiplications parallèles de blocs $s_1 \times s_1$. Chaque multiplication de blocs se fait en $\mathcal{O}(s_1^\alpha)$ opérations arithmétiques sur des polynômes de degré $\leq r$. On obtient donc chaque $U_k(z)$ en $\mathcal{SD}(\log^2 r, r^{2+\alpha}\, \mu_P(r))$.

Cela donne au total, pour la sous-étape 2.3, une famille uniforme de circuits arithmétiques dans $\mathcal{SD}(s \log^2 n, s\, r^{2+\alpha} \mu_P(r))$ c'est-à-dire encore dans $\mathcal{SD}(n^{\frac{1}{2}} \log^2 n, n^{\frac{3+\alpha}{2}} \mu_P(\lceil \sqrt{n} \rceil))$.

• **Sous-étape** 2.4 : Cette étape peut être également ramenée à la multiplication d'une matrice $(s+1) \times n$ par une matrice $n \times r$:

$$\begin{bmatrix} {}^{\mathrm{t}}U_0(z) \\ {}^{\mathrm{t}}U_1(z) \\ \vdots \\ {}^{\mathrm{t}}U_s(z) \end{bmatrix} \times \left[\; V_0(z) \;\middle|\; V_1(z) \;\middle|\; \cdots \;\middle|\; V_{r-1}(z) \;\right] =$$

$$\begin{bmatrix} {}^{\mathrm{t}}U_0(z)\, V_0(z) & \cdots & {}^{\mathrm{t}}U_0(z)\, V_{r-1}(z) \\ \vdots & \ddots & \vdots \\ {}^{\mathrm{t}}U_s(z)\, V_0(z) & \cdots & {}^{\mathrm{t}}U_s(z)\, V_{r-1}(z) \end{bmatrix}$$

dont l'élément en position $(k+1, j+1)$ pour $0 \leq k \leq s$ et $0 \leq j \leq r-1$ n'est autre que le coefficient recherché : ${}^{\mathrm{t}}U_k(z)\, V_j(z) = b_{kr+j}(z)$.

Utilisant à nouveau la multiplication par blocs $(s+1) \times (s+1)$, nous concluons que la sous-étape 2.4 correspond à un circuit arithmétique de profondeur $\mathcal{O}(\log^2 n)$ et de taille $\mathcal{O}(n^{\frac{\alpha+2}{2}}\, \mu_P(\lceil \sqrt{n} \rceil))$.

On peut résumer le calcul de complexité dans le tableau (8.5) suivant qui donne, pour chaque étape, la complexité arithmétique du circuit correspondant, en même temps que le résultat général. Nous avons également indiqué la taille lorsqu'on exécute l'algorithme avec une multiplication accélérée des polynômes mais sans multiplication rapide des matrices, sur les lignes « avec $\alpha = 3$ ».

Etape	Profondeur	Taille
Etape 1	$\mathcal{O}(1)$	négligeable
Etape 2 avec $\alpha = 3$	$\mathcal{O}(n^{\frac{1}{2}} \log^2 n)$ $\cdots$	$\mathcal{O}(n^{\frac{\alpha+3}{2}} \mu_P(\lceil \sqrt{n} \rceil))$ $\mathcal{O}(n^3 \mu_P(\lceil \sqrt{n} \rceil) \log n)$
Etape 3	$\mathcal{O}(n \log n)$	$\mathcal{O}(n^2 \mu_P(n))$
Total avec $\alpha = 3$	$\mathcal{O}(n \log n)$ $\cdots$	$\mathcal{O}(n^{\frac{\alpha+3}{2}} \mu_P(\lceil \sqrt{n} \rceil))$ $\mathcal{O}(n^3 \mu_P(\lceil \sqrt{n} \rceil) \log n)$

Tableau 8.5
Complexité de l'algorithme de Kaltofen-Wiedemann

□

Dans notre preuve c'est l'étape 3 qui détermine la profondeur du circuit arithmétique correspondant à l'algorithme de Kaltofen-Wiedemann. Mais on peut réduire la profondeur de l'étape 3 par diverses méthodes.

Une première est de ne pas utiliser l'algorithme de Berlekamp/Massey pour le calcul du polynôme minimal d'une suite récurrente linéaire. Une telle méthode, développée dans [50] (voir aussi [BP]) ramène ce calcul à la résolution d'un système linéaire qui a la forme de Toeplitz, en utilisant le calcul du polynôme caractéristique de sa matrice par la méthode de Le Verrier améliorée par Csanky (cf. section 9.1). On obtient un circuit arithmétique de profondeur de $\mathcal{O}(\log^3 n)$ et de même taille, c'est-à-dire $\mathcal{O}(n^2 \mu_P(n))$. L'inconvénient de cette amélioration est qu'elle s'applique uniquement lorsque $n!$ ne divise pas zéro dans l'anneau $\mathcal{A}$.

Une deuxième méthode, qui ne se heurte pas à l'obstacle précédent, consiste à utiliser une version parallélisée de l'algorithme d'Euclide étendu. Voir [71, 66] et [GG] corollaire 11.6 page 304.

Cependant, il ne suffit pas de réduire la profondeur de l'étape 3 pour obtenir une profondeur polylogarithmique. Il faudrait le faire également pour l'étape 2 et plus précisément la sous-étape 2.3.

On a donc à l'heure actuelle un problème ouvert : peut-on obtenir un circuit, de la taille de cet algorithme et de profondeur polylogarithmique, permettant de calculer le polynôme caractéristique sur un anneau commutatif arbitraire ?

L'algorithme de Kaltofen-Wiedemann obtient le résultat asymptotique ci-dessus, à savoir $\mathcal{O}(n^{\frac{\alpha+3}{2}} \mu_P(\lceil \sqrt{n} \rceil))$, le meilleur temps séquentiel

de tous les algorithmes connus pour le calcul du polynôme caractéristique sur un anneau commutatif arbitraire, grâce à la multiplication rapide des matrices, bien sûr, mais aussi grâce à la multiplication rapide des polynômes. Et pour les polynômes la multiplication rapide est désormais couramment implémentée sur machine.

Ainsi lorsqu'on ne dispose pas d'une multiplication rapide des matrices, on obtient un temps séquentiel asymptotiquement meilleur que tous les autres algorithmes fonctionnant sur un anneau commutatif arbitraire, dès qu'on accélère la multiplication des polynômes, ne serait-ce que par la méthode de Karatsuba.

Notons que sur un anneau commutatif qui ne possède pas de racines principales de l'unité, la méthode qui utilise la transformation de Fourier rapide est en $\mathcal{O}(n \log n \log\log n)$ et elle ne devient plus performante que la méthode de Karatsuba en $\mathcal{O}(n^{\log 3})$ que pour n très grand, de l'ordre de plusieurs milliers (cf. section 6.3.2 et notamment la remarque 6.3.2 page 182).

Un vaste champ d'expérimentation s'ouvre donc, maintenant que différentes multiplications rapides commencent à avoir une réelle portée pratique en calcul formel.

Conclusion

Nous terminons ce chapitre en renvoyant le lecteur à deux surveys récents d'Erich Katofen et Gilles Villard [53, 54] concernant la complexité aussi bien algébrique que binaire du calcul des déterminants (nous nous intéressons plutôt au calcul du polynôme caractéristique dans cet ouvrage).

Ils montrent à quel point l'algèbre linéaire est un sujet de recherche actif en calcul formel et l'importance des méthodes modulaires et seminumériques pour le traitement des problèmes concrets.

9. Parallélisations de la méthode de Leverrier

Introduction

Csanky [22] fut le premier à prouver que les problèmes du calcul des déterminants, de l'inversion des matrices, de la résolution des systèmes d'équations linéaires et du calcul du polynôme caractéristique, dans le cas d'un anneau contenant le corps des rationnels, sont dans la classe $\mathcal{NC}$, c'est-à-dire dans la classe des problèmes qui peuvent être résolus en temps parallèle polylogarithmique avec un nombre polynomial de processeurs par une famille uniforme de circuits arithmétiques.

Il montre, en effet, que tous ces problèmes se ramènent au calcul du polynôme caractéristique et que ce dernier se calcule en $\mathcal{SD}(n^{\alpha+1}, \log^2 n)$. En particulier ils sont dans la classe $\mathcal{NC}^2$.

Nous présentons le travail de Csanky dans la section 9.1. Dans la section suivante nous donnons l'amélioration due à Preparata & Sarwate [77] qui montre que le calcul du polynôme caractéristique peut être réalisé dans $\mathcal{SD}(n^{\alpha+1/2}, \log^2 n)$. Dans la section 9.3 nous donnons une meilleure estimation de la complexité théorique de l'algorithme précédent, légèrement amélioré, due à Galil & Pan [32].

Dans le chapitre 10, nous examinerons des algorithmes qui résolvent les mêmes problèmes sur un anneau commutatif arbitraire.

9.1 Algorithme de Csanky

Pour calculer le polynôme caractéristique , Csanky utilise la méthode de Le Verrier en la parallélisant de la manière suivante.

On se donne un entier n, un corps $\mathcal{K}$ (ou plus généralement un anneau dans lequel $n!$ est inversible) et une matrice $A \in \mathcal{K}^{n\times n}$ de po-

lynôme caractéristique :

$$P(X) = \det(A - X\mathrm{I}_n) = (-1)^n[X^n - c_1X^{n-1} - \ldots - c_{n-1}X - c_n\,].$$

On pose $s_k = \mathrm{Tr}(A^k)$ pour $k = 1, 2, \ldots, n$.

La méthode de Le Verrier consiste à résoudre l'équation

$$S\,\vec{c} = \vec{s} \tag{9.1}$$

où

$$\vec{c} = \begin{bmatrix} c_1 \\ \vdots \\ \vdots \\ c_n \end{bmatrix}, \quad \vec{s} = \begin{bmatrix} s_1 \\ \vdots \\ \vdots \\ s_n \end{bmatrix} \quad \text{et} \quad S = \begin{bmatrix} 1 & 0 & \cdots & \cdots & 0 \\ s_1 & 2 & \ddots & & \vdots \\ \vdots & \ddots & \ddots & \ddots & \vdots \\ s_{n-2} & & \ddots & \ddots & 0 \\ s_{n-1} & s_{n-2} & \cdots & s_1 & n \end{bmatrix}.$$

Cette équation admet la solution unique $\vec{c} = S^{-1}\vec{s}$ qui donne les coefficients du polynôme caractéristique.

Ceci donne l'algorithme de Csanky 9.1 en quatre grandes étapes.

Algorithme 9.1 ***Algorithme de Csanky, principe général.***

Entrée : Un entier $n \in \mathbb{N}$ et une matrice $A \in \mathcal{A}^{n\times n}$. L'anneau $\mathcal{A}$ contient le corps $\mathbb{Q}$.

Sortie : Les coefficients du polynôme caractéristique $\mathrm{P}_A(X)$ de A.

Début

Étape 1 :

Calculer en parallèle les puissances $A^2, A^3, \ldots, A^n$;

Étape 2 :

Calculer en parallèle les traces $s_1, s_2, \ldots, s_n$ des matrices $A, A^2, \ldots, A^n$.

Étape 3 :

Créer et inverser la matrice triangulaire S (équation 9.1).

Étape 4 :

Calculer le produit $S^{-1}\vec{s} = \vec{c}$.

Fin.

L'analyse de complexité pour cet algorithme utilise les résultats de complexité de la technique « diviser pour gagner » et notamment son

application au calcul parallèle de l'inverse d'une matrice triangulaire que nous avons décrite au § 7.2.

La complexité de l'algorithme

• Le calcul en parallèle des puissances $A^2, \ldots, A^n$ de la matrice A se ramène à un algorithme de calcul parallèle des préfixes représenté par un circuit arithmétique parallèle de profondeur $\mathcal{O}(\log n)$ et de taille majorée par $4n$ (théorème 5.1 page 170), mais dont les nœuds internes représentent eux-mêmes des circuits de multiplication de matrices $n \times n$, c'est-à-dire des circuits de taille $\mathcal{O}(n^\alpha)$ et de profondeur $\mathcal{O}(\log n)$. Ce qui donne au total, pour réaliser l'étape 1 un circuit arithmétique en $\mathcal{SD}(n^{\alpha+1}, \log^2 n)$.

• On calcule ensuite les traces des matrices $A, A^2, \ldots, A^n$, c'est-à-dire les coefficients $s_k = \mathrm{Tr}(A^k)$ qui forment la matrice triangulaire S.
Ce sont des sommes de n éléments de $\mathcal{A}$ que l'on calcule en parallèle pour $1 \leq k \leq n$ en $\mathcal{SD}(n^2, \log n)$.

• Le calcul de S^{-1} se fait comme indiqué au § 7.2. La matrice S est en effet triangulaire et fortement régulière. D'après la proposition 7.2.2, le calcul de la matrice S^{-1} se fait par un circuit arithmétique parallèle en $\mathcal{SD}(n^\alpha, \log^2 n)$.

• Enfin, le calcul de $\vec{c} = S^{-1}\vec{s}$, qui est le produit d'une matrice triangulaire par un vecteur, se fait en parallèle par un circuit arithmétique de taille n^2 et de profondeur $\lceil \log n \rceil$, la profondeur étant essentiellement due aux additions.

En fait, on a un tout petit peu mieux.

Théorème 9.1 (Csanky)
Soit $\mathcal{A}$ un anneau vérifiant les hypothèses pour l'algorithme de Le Verrier : la division par $n!$, quand elle est possible, est unique et explicite. Le calcul du polynôme caractéristique, de l'adjointe et l'inverse d'une matrice carrée d'ordre n est en $\mathcal{SD}(n^{\alpha+1}, log^2 n)$.

Preuve. Une légère modification de l'algorithme de Csanky pour le polynôme caractéristique d'une matrice carrée d'ordre n montre que l'hypothèse d'un anneau dans lequel $n!$ est inversible, peut être remplacée par l'hypothèse pour l'algorithme de Le Verrier. En effet soit $A \in \mathcal{A}^{n \times n}$ et S la matrice utilisée dans l'algorithme de Csanky pour le calcul du polynôme caractéristique .

Au lieu de calculer S^{-1} (ce qui n'est possible que si $n!$ est inversible dans $\mathcal{A}$), on calcule $n!\,S^{-1}$. Il suffit pour cela de développer le polynôme caractéristique de S en calculant le produit $(X-1)(X-2)\cdots(X-n)$, ce qui revient à calculer les valeurs des polynômes symétriques élémentaires $\sigma_1, \sigma_2, \ldots, \sigma_n$ de n variables au point $(1, 2, \ldots, n)$.

Le théorème de Cayley-Hamilton permet alors d'écrire :

$$(-1)^{n+1}\, n!\, S^{-1} = S^{n-1} + \sum_{k=1}^{n-1} (-1)^k \sigma_k S^{n-k-1}$$

ce qui ramène le calcul de $n!\,S^{-1}$ à celui des puissances $S^2, S^3, \ldots, S^{n-1}$.

Or ce calcul se fait en parallèle, d'après le calcul des préfixes par exemple (proposition 5.1) en $\mathcal{SD}(n^{\alpha+1}, \log^2 n)$.

Nous laissons le lecteur ou la lectrice terminer pour ce qui concerne les calculs de l'adjointe et de l'inverse. □

Variante de Schönhage

Signalons qu'il existe une variante de la méthode de Csanky/Le Verrier due à Schönhage [81] qui donne une famille uniforme de circuits arithmétiques avec divisions calculant le polynôme caractéristique avec une faible profondeur sur un corps de caractéristique finie.

Schönhage utilise le résultat suivant concernant les sommes de Newton (§ 1.5) connu sous le nom de *critère de Kakeya* [48] :

Proposition 9.1.1 *Soit J une partie finie à n éléments de $\mathbb{N}$ et $(s_j)_{j\in J}$ le système correspondant de n sommes de Newton à n indéterminées sur un corps $\mathcal{K}$ de caractéristique nulle. Alors $(s_j)_{j\in J}$ est un système fondamental de polynômes symétriques sur $\mathcal{K}$ (cf. définition 1.5.1) si et seulement si $\mathbb{N}\setminus J$ est stable pour l'addition dans $\mathbb{N}$.*

Par exemple, pour tout entier p positif, la partie $J(p,n) \subset \mathbb{N} \setminus p\,\mathbb{N}$ constituée des n premiers entiers naturels qui ne sont pas des multiples de p, satisfait ce critère, et Schönage [81] l'utilise pour adapter la méthode de Le Verrier au calcul du polynôme caractéristique sur un corps de caractéristique $p > 0$.

Notez qu'en caractéristique p l'égalité $(x+y)^p = x^p + y^p$ implique que les sommes de Newton vérifient les égalités $s_{kp} = {s_k}^p$.

Prenons maintenant un exemple. Le polynôme général de degré 8 est $P(X) = X^8 - \sum_{i=1}^{8} a_i X^{8-i}$. Si nous sommes sur un corps de caractéristique 3, nous considérons les 8 premières relations de Newton qui

donnent les sommes s_j pour $j \in \mathbb{N} \setminus 3\,\mathbb{N}$ (cf. l'égalité (1.22) page 28) :

$$\begin{bmatrix} 1 & 0 & 0 & 0 & 0 & 0 & 0 & 0 \\ s_1 & 2 & 0 & 0 & 0 & 0 & 0 & 0 \\ s_3 & s_2 & s_1 & 1 & 0 & 0 & 0 & 0 \\ s_4 & s_3 & s_2 & s_1 & 2 & 0 & 0 & 0 \\ s_6 & s_5 & s_4 & s_3 & s_2 & s_1 & 1 & 0 \\ s_7 & s_6 & s_5 & s_4 & s_3 & s_2 & s_1 & 2 \\ s_9 & s_8 & s_7 & s_6 & s_5 & s_4 & s_3 & s_2 \\ s_{10} & s_9 & s_8 & s_7 & s_6 & s_5 & s_4 & s_3 \end{bmatrix} \begin{bmatrix} a_1 \\ a_2 \\ a_3 \\ a_4 \\ a_5 \\ a_6 \\ a_7 \\ a_8 \end{bmatrix} = \begin{bmatrix} s_1 \\ s_2 \\ s_4 \\ s_5 \\ s_7 \\ s_8 \\ s_{10} \\ s_{11} \end{bmatrix} \tag{9.2}$$

Compte tenu des relations

$$s_3 = {s_1}^3,\ s_6 = {s_2}^3,\ s_9 = {s_1}^9, \tag{9.3}$$

le déterminant de la matrice carrée est égal à

$$\begin{aligned} d \;=\; & -s_1\, s_2^3\, s_5 + s_2^2\, s_4^2 + s_1^3\, s_4\, s_5 + s_1^5\, s_2\, s_5 + s_1^3\, s_2^2\, s_5 - s_1^2\, s_2^3\, s_4 + \\ & s_1^2\, s_5^2 + s_1^4\, s_2^4 + s_1^6\, s_2^3 - s_1^5\, s_7 - s_1^4\, s_8 - s_4^3 - s_1\, s_7\, s_2^2 + s_1^{12} \\ & -s_1^4\, s_4^2 + s_1^2\, s_2^5 + s_1^{10}\, s_2 + s_2^6 + s_2^2\, s_8 - s_1^8\, s_2^2 + s_1^8\, s_4 - s_1^2\, s_2\, s_8 \\ & +s_4\, s_8 - s_5\, s_7 + s_1^4\, s_2^2\, s_4 + s_2\, s_5^2 - s_1^6\, s_2\, s_4 + s_1\, s_2\, s_4\, s_5 \end{aligned}$$

Un point non trivial est que d n'est pas une fonction identiquement nulle (si le corps de base est infini). En fait dans le cas générique, c'est-à-dire si on considère les a_i comme des indéterminées et les s_i ($i = 1, 2, 4, 5, 7, 8, 10, 11$) comme donnés par les relations (9.2) et (9.3), les éléments s_i sont algébriquement indépendants. Cela implique alors que les a_i ($i = 1, \ldots, 8$) peuvent s'exprimer comme fractions rationnelles en les s_i ($i = 1, 2, 4, 5, 7, 8, 10, 11$) avec d pour dénominateur.

Un autre point non trivial consiste à résoudre les systèmes linéaires du type (9.2) (lorsque le déterminant correspondant est non nul) par un algorithme (avec divisions) bien parallélisé.

L'algorithme de Schönage [81] correspond à une famille de circuits arithmétiques (avec divisions) dans $\mathcal{SD}(n^{\alpha+1}, \log^2 n)$ (voir aussi le livre [BP] Annexe C pages 372–377).

9.2 Amélioration de Preparata et Sarwate

Principe général

Considérons un anneau $\mathcal{A}$ vérifiant les hypothèses pour l'algorithme de Le Verrier, et une matrice carrée $A \in \mathcal{A}^{n \times n}$. L'amélioration apportée

par Preparata & Sarwate [77] à l'algorithme de Csanky provient du fait que pour calculer les traces $s_k = \mathrm{Tr}(A^k)$ $(1 \leq k \leq n)$, on n'a pas besoin de calculer toutes les puissances de A.

Il suffit en effet, si l'on pose $p = \lceil \sqrt{n} \rceil$, de disposer des $2p$ matrices I_n, A, ..., A^{p-1} et $A^p = B$, B^2, ..., $B^p = A^{p^2}$, ce qui revient à calculer $2 \lceil \sqrt{n} \rceil - 2$ puissances de matrices $n \times n$ au lieu des $n-1$ puissances de A. Il est fait appel pour cela à deux procédures récursives notées $\mathsf{Powers}(A, r)$ et $\mathsf{Superpowers}(A, r)$ permettant de calculer les puissances successives d'une matrice carrée A jusqu'à l'ordre r.

Les traces des puissances de A seront alors obtenues en considérant les matrices U_j $(1 \leq j \leq n)$ définies de la manière suivante :
$U_j = L_j C_j$ où $L_j \in \mathcal{A}^{p \times n}$ est la matrice formée uniquement des j-èmes lignes ($1 \leq j \leq n$) des p matrices I_n, A, ..., A^{p-1} et où $C_j \in \mathcal{A}^{n \times p}$ est la matrice formée des j-èmes colonnes ($1 \leq j \leq n$) des autres matrices A^p, A^{2p}, ..., A^{p^2}.

Les matrices U_j $(1 \leq j \leq n)$ sont des matrices carrées d'ordre p dont les p^2 coefficients ne sont autres que les j-èmes *éléments diagonaux* des matrices A^p, A^{p+1}, ..., A^{p^2+p-1}.

Plus précisément, l'élément $u_{kl}^{[j]}$ qui est position (k, l) dans la matrice U_j et qui est obtenu par multiplication de la j-ème ligne de la matrice A^{k-1} par la j-ème colonne de la matrice A^{pl} est donc le j-ème élément de la diagonale du produit $A^{k-1}A^{pl} = A^{pl+k-1}$, c'est-à-dire que $u_{kl}^{[j]} = a_{jj}^{[pl+k-1]}$ pour $1 \leq k, l \leq p$, si l'on désigne par $a_{rs}^{[m]}$ l'élément en position (r, s) de la matrice A^m.

Posant $m = pl + k - 1$ (m prend toutes les valeurs comprises entre p et $p^2 + p - 1$ quand k et l varient de 1 à p) on obtient, avec les notations ci-dessus, et pour $p \leq m \leq p^2 + p - 1$:

$$\mathrm{Tr}(A^m) = \sum_{j=1}^{n} a_{jj}^{[m]} = \sum_{j=1}^{n} u_{kl}^{[j]}$$

(où l et $k-1$ sont respectivement le quotient et le reste euclidiens de m par p).

Comme les matrices A, ..., A^{p-1} sont déjà disponibles, cela nous donne donc les traces de toutes les puissances A, ..., A^p, ..., A^{p^2} donc celles de toutes les matrices A, ..., A^n puisque $p^2+p-1 \geq n+\sqrt{n}-1 \geq n$.

D'où l'algorithme de Preparata & Sarwate qui comprend deux parties, la première pour le calcul du polynôme caractéristique de la matrice

donnée $A \in \mathcal{A}^{n\times n}$, et la deuxième pour le calcul de l'adjointe et de l'inverse de cette matrice.

Calcul du polynôme caractéristique

Avant de donner l'algorithme 9.2 page suivante, voyons tout d'abord les sous-procédures utilisées dans cet algorithme. Il s'agit essentiellement de la procédure Superpowers qui est définie de manière récursive à partir de la procédure Powers (elle-même définie de manière récursive) en vue d'accélérer le calcul des puissances d'une matrice carrée donnée (dans notre cas, c'est la matrice $A \in \mathcal{A}^{n\times n}$).

Chacune de ces deux sous-procédures prend donc en entrée A et un entier $p > 1$ et donne en sortie la matrice rectangulaire $n \times np$ formée des p puissances de A :

$$\mathsf{Powers}(A,p) \;=\; \mathsf{Superpowers}(A,p) \;=\; [\,A \mid A^2 \mid \;\ldots\; \mid A^p\,].$$

Powers(A, s)
- $m := \lceil s/2 \rceil$;
- $[\,A \mid \ldots \mid A^m\,] :=$ Powers(A, m) ;
- **pour** i **de** $m+1$ **à** s **faire** $A^i := A^{\lfloor i/2 \rfloor}\, A^{\lceil i/2 \rceil}$.

Superpowers(A, p)
- $r := \lceil \log p \rceil$;
- $s := \lfloor p/r \rfloor$; $q := p - rs$;
- $[\,A \mid \ldots \mid A^s\,] :=$ Powers(A, s) ;
- **pour** k **de** 1 **à** $r-1$ **faire** $A^{sk} \times$ Powers (A, s) ;
  (cela donne toutes les puissances de A jusqu'à l'ordre rs)
- **pour** i **de** 1 **à** q **faire** $A^{sr} \times [\,A \mid \;\ldots\; \mid A^q\,]$;
  (pour avoir les $q = p - rs$ puissances restantes de A).

La complexité de l'algorithme

Nous utilisons comme d'habitude les notations 7.2.1 page 195. Nous allons déterminer les paramètres de complexité de la famille de circuits arithmétiques parallèles représentant l'algorithme de Preparata & Sarwate en commençant par la complexité des sous-procédures qu'il utilise.

Les paramètres de complexité pour l'algorithme principal 9.2 (représenté par la colonne $\mathrm{PS}(A, n)$) et les procédures auxiliaires Powers (colonne $\mathrm{PW}(A, p)$) et Superpowers (colonne $\mathrm{SPW}(A, p)$) seront désignés, conformément au tableau suivant, respectivement par :

Algorithme 9.2 ***Algorithme de Preparata & Sarwate***

Entrée : Un entier n et une matrice $A \in \mathcal{A}^{n\times n}$.

Sortie : Le vecteur $\vec{c}$ des coefficients du polynôme caractéristique de A.

Les étapes du calcul (avec $p = \lceil \sqrt{n} \rceil$),

1. Calculer les puissances $A, \ldots, A^p$ en appelant Superpowers(A, p) ;
2. Calculer les puissances $A^p, \ldots, A^{p^2}$ en faisant Superpowers(A^p, p) ;
3. Calculer en parallèle les n produits $U_j = L_j C_j$ $(1 \le j \le n)$;
4. Former le vecteur $\vec{s}$ et la matrice triangulaire S en calculant en parallèle, à partir des matrices $U_j = (u_{kl}^{[j]})$ obtenues à l'étape précédente, les n traces $s_m = \sum_{j=1}^{n} u_{kl}^{[j]}$ $(1 \le m \le n)$. On prendra, pour chaque valeur de m, $l = \lfloor m/p \rfloor$ et $k = m + 1 - lp$;
5. Calculer S^{-1} (en utilisant l'approche « diviser pour gagner ») ;
6. Calculer le produit $S^{-1}\vec{s} = \vec{c}$.

↓ Paramètre / Procédure →	PS(A, n)	PW(A, p)	SPW(A, p)
Taille	$\tau(n)$	$\tau_1(p)$	$\tau_2(p)$
Profondeur	$\pi(n)$	$\pi_1(p)$	$\pi_2(p)$
Largeur	$\lambda(n)$	$\lambda_1(p)$	$\lambda_2(p)$

La définition de la procédure Powers nous donne les relations de récurrence :

$$\begin{cases} \tau_1(p) &= \tau_1(\lceil p/2 \rceil) + \lfloor p/2 \rfloor \, \mu_M(n) \\ \pi_1(p) &= \pi_1(\lceil p/2 \rceil) + \gamma_M(n) \\ \lambda_1(p) &= \max\{\, \lambda_1(\lceil p/2 \rceil), \lfloor p/2 \rfloor \, \lambda_M(n) \,\} \end{cases}$$

on en déduit pour $p \ge 2$ par sommation de 1 à $r = \lceil \log p \rceil$:

$$\begin{cases} \tau_1(p) &\le (2p-3)\, \mathrm{C}_\alpha \, n^\alpha \\ \pi_1(p) &\le \mathrm{K}_\alpha \, \lceil \log p \rceil \log n \\ \lambda_1(p) &= \lfloor p/2 \rfloor \, \lambda_M(n) \le \frac{1}{2} \mathrm{L}_\alpha \, p \, \log n \,. \end{cases}$$

La définition de la procédure Superpowers dans laquelle $r = \lceil \log p \rceil$, $s = \lfloor p/r \rfloor$ et $q := p - rs$, permet d'écrire [1] :

$$\begin{cases} \tau_2(p) &= \tau_1(s) + (p-s)\, \mu_M(n) \\ \pi_2(p) &= \pi_1(s) + r\, \gamma_M(n) \\ \lambda_2(p) &= \max\{\lambda_1(s), s\, \lambda_M(n)\} \end{cases}$$

1. Le calcul préliminaire des entiers r, s, q n'intervient pas : il fait partie de la construction du circuit arithmétique correspondant.

qui donnent, avec les majorations précédentes :

$$\begin{cases} \tau_2(p) & \leq & (p+s-3)\,\mathrm{C}_\alpha\, n^\alpha & \leq [\,p+(p/\log p)-3\,]\,\mathrm{C}_\alpha\, n^\alpha \\ \pi_2(p) & \leq & 2\mathrm{K}_\alpha\,(\lceil \log p \rceil \log n) & \\ \lambda_2(p) & = & \lfloor p/r \rfloor\, \lambda_M(n) & \leq (\mathrm{L}_\alpha\, p\, n^\alpha)\,/\,(\log p \log n)\,. \end{cases}$$

L'algorithme utilise en plus des procédures ci-dessus une procédure d'inversion de matrice triangulaire. Nous avons vu (proposition 7.2.2) que l'inversion d'une matrice triangulaire fortement régulière se fait par un circuit arithmétique parallèle de taille majorée par $\mathrm{C}_\alpha\,(2n-1)^\alpha$ donc par $8\,\mathrm{C}_\alpha\, n^\alpha$, de profondeur au plus égale à

$$\mathrm{K}_\alpha\,(\log^2(n)+3\log(n)+2)+1 \;\leq\; 2\,\mathrm{K}_\alpha\,(\log(n)+1)^2\,.$$

Et sa largeur est $\mathcal{O}(n^\alpha/\log^2 n)$ si on applique le principe de Brent.

Ceci permet d'établir la complexité de la première partie de l'algorithme principal. Compte tenu du fait que $p = \lceil \sqrt{n}\,\rceil$ et que $2 \leq \alpha \leq 3$, le tableau 9.2 indique le résultat des majorations pour la taille et la profondeur et pour chaque étape.

Complexité de l'Algorithme de Preparata & Sarwate

Etapes	Taille	Profondeur
Etape 1	$[\,p+(p/\log p)-3\,]\,n^\alpha$	$2\,\mathrm{K}_\alpha\ \lceil \log p \rceil\ \log n$
Etape 2	$[\,p+(p/\log p)-3\,]\,n^\alpha$	$2\,\mathrm{K}_\alpha\ \lceil \log p \rceil\ \log n$
Etape 3	$n\,[p\mu_M(p)+(p-1)p^2]$	$\mathrm{K}_\alpha\ \log n$
Etape 4	$n\,(n-1)$	$\lceil \log n \rceil$
Etape 5	$8\,\mathrm{C}_\alpha\, n^\alpha$	$2\,\mathrm{K}_\alpha\,(\log(n)+1)^2$
Etape 6	n^2	$\lceil \log n \rceil + 1$
Total	$\tau(n) = \mathcal{O}(n^{\alpha+\frac{1}{2}})$	$\pi(n) = \mathcal{O}(\log^2 n)$

Tableau 9.2

On en déduit le résultat suivant de Preparata & Sarwate, dans lequel nous avons également intégré, le calcul de l'adjointe et de l'inverse qui constitue la deuxième partie de cet algorithme :

Théorème 9.2 *Soit $\mathcal{A}$ un anneau vérifiant les hypothèses pour l'algorithme de Le Verrier. Le polynôme caractéristique, le déterminant, l'adjointe et l'inverse (s'il existe) d'une matrice carrée $A \in \mathcal{A}^{n\times n}$ se fait par un circuit arithmétique de taille $\tau(n)$, de profondeur $\pi(n)$ et*

de largeur $\lambda(n)$ *majorées respectivement par :*

$$\begin{cases} \tau(n) & \leq & 4\,\mathrm{C}_\alpha\, n^{\alpha+\frac{1}{2}} + \mathrm{o}(n^{\alpha+\frac{1}{2}}) \\ \pi(n) & \leq & 5\,\mathrm{K}_\alpha\, \log^2 n + \mathcal{O}(\log n) \\ \lambda(n) & \leq & (2\,\mathrm{L}_\alpha\, n^{\alpha+\frac{1}{2}})\,/\,(\log^2 n) \end{cases}$$

où C_α, K_α, L_α *désignent les constantes asymptotiques de la multiplication parallèle des matrices en* $\mathcal{SD}(n^\alpha, \log n)$.

Calcul de l'adjointe et de l'inverse

L'algorithme de Preparata & Sarwate ne calcule pas toutes les puissances de la matrice A. Par conséquent le calcul de l'adjointe de A à partir de la formule de Cayley-Hamilton doit se faire en n'utilisant que les $2\,\lceil\sqrt{n}\,\rceil$ puissances de A déjà calculées, avec en plus les coefficients $c_1, c_2, \ldots, c_n$ du polynôme caractéristique et les matrices L_j formées des lignes des premières puissances de A également disponibles.

L'astuce est de considérer les p matrices

$$B_{i-1} = \textstyle\sum_{j=0}^{p-1} c_{n-p\,(i-1)-j-1}\, A^j$$

$(1 \leq i \leq p)$ formées avec les coefficients du polynôme caractéristique, avec la convention $c_0 = -1$ et $c_k = 0$ si $k < 0$ (rappelons que $n \leq p^2$). On calcule ensuite la somme

$$\textstyle\sum_{k=0}^{p-1} B_k\, A^{pk} = \sum_{k=0}^{p-1} \sum_{j=0}^{p-1} c_{n-pk-j-1}\, A^{pk+j}$$

en répartissant les calculs sur $\lceil \log p \rceil$ étapes parallèles avec au maximum $p\,/\,\log p$ multiplications de matrices $n \times n$ (*i.e.* des produits du type $B_k \times A^{pk}$) par étape.

Or cette somme est égale à $\sum_{\ell=1}^{n} c_{n-\ell}\, A^{\ell-1} = \mathrm{Adj}A$, puisque d'une part $c_{n-\ell} = 0$ si $\ell > n$ et que d'autre part, si ℓ est compris entre 1 et n, ℓ correspond de manière unique à un couple (k, j) tel que $1 \leq j,\, k \leq p-1$ et $\ell - 1 = p\,k + j$ (division euclidienne de $\ell - 1$ par p). Ce qui donne l'adjointe puis l'inverse.

Ainsi la deuxième partie de l'algorithme de Preparata & Sarwate pour le calcul de l'adjointe et de l'inverse de A peut être détaillée comme suit.

Entrées :

— Les puissances $A, \ldots, A^p$ de la matrice A, ainsi que les puissances $A^{2p}, \ldots, A^{p^2}$ de la matrice A^p, toutes disponibles à l'issue des deux premières étapes de l'algorithme principal 9.2 ;

— La matrice $L = [\,L_1 \,|\, L_2 \,|\, \cdots \,|\, L_n\,] \in \mathcal{A}^{p \times n^2}$ formée des n matrices

L_k $(1 \leq k \leq n)$ déjà calculées ;
— Enfin la matrice C formée à partir des coefficients $c_1, c_2, \ldots, c_n$ du polynôme caractéristique $\mathrm{P}_A(X) = (-1)^n \left(X^n - \sum_{i=1}^{n} c_i X^{n-i}\right)$:

$$C = \begin{bmatrix} c_{n-1} & c_{n-2} & \cdots & c_{n-p} \\ c_{n-p-1} & c_{n-p-2} & \cdots & c_{n-p-p} \\ \vdots & \vdots & \vdots & \vdots \\ c_{n-p\,(p-1)-1} & c_{n-p\,(p-1)-2} & \cdots & c_{n-p\,(p-1)-p} \end{bmatrix} \in \mathcal{A}^{p \times p} .$$

On a alors $B_{i-1} = \sum_{j=0}^{p-1} c_{ij}\, A^j$ et il est facile de voir que la k-ème ligne de cette matrice n'est autre que la i-ème ligne de la matrice $T_k := C\, L_k$ où L_k, rappelons-le, est la matrice formée des k-èmes lignes des matrices I_n, A, $\ldots$, A^{p-1}.

Sortie :

L'adjointe et l'inverse de A, c'est-à-dire les matrices
$\mathrm{Adj}A = A^{n-1} - c_1 A^{n-2} - \ldots - c_{n-1} A - c_n \mathrm{I}_n$ et $A^{-1} = \frac{1}{c_n}\,\mathrm{Adj}A$.

Les étapes du calcul :

Faisant suite aux étapes (1 à 6) qui calculent le polynôme caractéristique, elles seront numérotées de 7 à 10. On pose $r = \lceil \log p \rceil$ et $D_0 = 0_{nn}$ (la matrice carrée d'ordre n nulle) et $s = \lfloor p/r \rfloor$:

7. Calculer le produit $T = C\,L = [\,CL_1 \,|\, CL_2 \,|\, \cdots \,|\, CL_n\,]$ (ce qui revient à calculer en parallèle les produits de la matrice C qui est une matrice $p \times p$ par les n matrices CL_k qui sont des matrices $p \times n$).
   Cette étape permet d'écrire les matrices B_{i-1} $(1 \leq i \leq p)$.
8. **pour** k **de** 1 **à** r **faire** $D_k := D_{k-1} + \sum_{k=(i-1)s}^{is-1} B_k\, A^{pk}$;
9. Calculer $\mathrm{Adj}\,A := -(D_r + \sum_{k=rs}^{p-1} B_k\, A^{pk})$;
10. Calculer $A^{-1} = \frac{1}{c_n}\,\mathrm{Adj}\,A$.

La complexité de cette deuxième partie de l'algorithme de Preparata & Sarwate possède les mêmes bornes que l'algorithme principal du polynôme caractéristique.

L'étape 7 se fait en $\mathrm{K}_\alpha \log n$ étapes comportant au total $n\,p\,\mathrm{C}_\alpha\, p^\alpha$ opérations arithmétiques dans l'anneau de base, utilisant au maximum $n\,p\,\mathrm{L}_\alpha\,(p^\alpha / \log p)$ processeurs.

Les étapes 8 et 9 sont les plus coûteuses. Elles correspondent à un total de $r+1$ étapes parallèles comportant p multiplications de matrices carrées d'ordre n c'est-à-dire $p\,\mathrm{C}_\alpha\, n^\alpha$ opérations arithmétiques de

base, ce à quoi il faut rajouter des additions de matrices $n \times n$. Cela fait un circuit de profondeur

$$(r+1)\,\mathrm{L}_\alpha\,\log n + \mathcal{O}(\log n) \leq \frac{1}{2}\,(\log n + 1)\,\mathrm{L}_\alpha\,\log n + \mathcal{O}(\log n)\,.$$

Le nombre de processeurs utilisés au cours de ces $r+1$ étapes parallèles est égal à $s\,\mathrm{L}_\alpha\,(n\alpha\,/\,\log n) \leq (\mathrm{L}_\alpha\,p\,n\alpha)\,/\,\log n \log p$ puisque $s = \lfloor p/r \rfloor \leq p\,/\,\log p$.

9.3 Amélioration de Galil et Pan

Galil & Pan [32] réduisent les étapes les plus coûteuses de l'algorithme précédent à quatre multiplications de matrices rectangulaires.

Il s'agit plus précisément des l'étapes 1, 2 et 3 de l'algorithme principal (calcul du polynôme caractéristique) d'une part et des étapes 8 et 9 du calcul de l'adjointe d'autre part.

Par une réorganisation des étapes 1 et 2 de l'algorithme principal qui font intervenir les procédures récursives Powers et Superpowers, on remplace l'appel à ces procédures par l'appel récursif à une procédure unique permettant de calculer les matrices

$$[\,A\,|\,A^2\,|\,\ldots\,|\,A^{p-1}\,] \quad \text{et} \quad [\,A^p\,|\,A^{2p}\,|\,\ldots\,|\,A^{p(p-1)}\,]$$

à partir des matrices

$$[\,A\,|\,A^2\,|\,\ldots\,|\,A^{s-1}\,] \quad \text{et} \quad [\,A^s\,|\,A^{2s}\,|\,\ldots\,|\,A^{(s-1)\,s}\,]$$

où $s = \lceil \sqrt{p}\,\rceil$. Cela se fait en effectuant le produit d'une matrice rectangulaire $n\,(s-1) \times n$ par une matrice rectangulaire $n \times ns$ qui donne les puissances restantes :

$$\begin{bmatrix} A \\ A^2 \\ \vdots \\ A^{s-1} \end{bmatrix} \times \left[\; A^s \;\middle|\; A^{2s} \;\middle|\; \cdots \;\middle|\; A^{s^2} \;\right].$$

L'étape 3 de l'algorithme principal calcule les n produits $U_j = L_j\,C_j \in \mathcal{A}^{p\times p}$ pour en déduire les traces des puissances de A. Il est possible de réduire cette étape au calcul d'un seul produit de deux matrices rectangulaires de types respectifs $p \times n^2$ et $n^2 \times p$ où $p = \lceil \sqrt{n}\,\rceil$. En effet, si on écrit les éléments de chaque matrice A^k (pour $0 \leq k \leq p-1$) sur une seule ligne, de manière à la représenter par la suite ordonnée de ses n lignes, c'est-à-dire par $v_k \in \mathcal{A}^{1\times n^2}$, et si l'on fait de même avec

les matrices A^{pk} $(1 \leq k \leq n)$, mais en déroulant cette fois chacune d'elles sur une seule colonne (A^{pk} sera donc représentée, dans l'ordre de ses colonnes, par $w_k \in \mathcal{A}^{n^2 \times 1}$), le calcul des traces s_k revient alors à calculer le produit des deux matrices rectangulaires :

$$\begin{bmatrix} v_0 \\ v_1 \\ \cdots \\ v_{p-1} \end{bmatrix} \times \left[\, w_1 \mid w_2 \mid \cdots \mid w_p \,\right] =$$

$$\begin{bmatrix} v_0\, w_1 & v_0\, w_2 & \cdots & v_0\, w_p \\ v_1\, w_1 & v_1\, w_2 & \cdots & v_1\, w_p \\ \vdots & \vdots & \vdots & \vdots \\ v_{p-1}\, w_1 & v_{p-1}\, w_2 & \cdots & v_{p-1}\, w_p \end{bmatrix}.$$

Il est clair que l'élément $v_{i-1}\, w_j$ de la i - ème ligne et j - ème colonne de cette matrice est égal à $s_{pj+i-1} = \mathrm{Tr} A^{pj+i-1}$ $(1 \leq i, j \leq p)$.

On modifie enfin les étapes 8 et 9 du calcul de l'adjointe de A en prenant $q = \lceil \sqrt[3]{n} \rceil$, $t = \lfloor (n+1)/q \rfloor$ de manière à avoir $qt \leq n+1 < q(t+1)$, et on change les dimensions de la matrice C en la remplaçant par $C^* = (c_{ij}) \in \mathcal{A}^{(t+1)\times q}$ (avec les mêmes notations et la même convention pour les c_{ij}) ainsi que les dimensions des matrices $L_1, L_2, \ldots, L_n$ en les remplaçant par des matrices $L_1^*, L_2^*, \cdots, L_n^*$ définies exactement de la même façon mais à partir des lignes des matrices $\mathrm{I}_n, A, \cdots, A^{q-1}$, ce qui fait qu'elles sont de type $q \times n$ au lieu d'être de type $p \times n$.

On calcule alors la matrice $T^* \in \mathcal{A}^{(t+1)\times n^2}$ en effectuant le produit d'une matrice $(t+1) \times q$ par une matrice $q \times n^2$:

$$T^* = C^* \left[\, L_1^* \mid L_2^* \mid \cdots \mid L_n^* \,\right] = \left[\, C^* L_1^* \mid C^* L_2^* \mid \cdots \mid C^* L_n^* \,\right]$$

en tenant compte du fait que la $(i+1)$ - ème ligne du bloc $C^* L_j^*$ n'est autre que la j - ème ligne de la matrice

$$B_i = \sum_{j=0}^{q-1} c_{n-1-qi-j}\, A^j = \sum_{j=0}^{q-1} c_{i+1,j+1} A^{qi+j} \qquad (\text{ici } \ 0 \leq i \leq t)\,.$$

Avec ces modifications, les étapes 8 et 9 se ramènent donc, comme on peut le constater, au calcul du produit de deux matrices rectangulaires (avec les mêmes notations que ci-dessus) qui est un produit d'une

matrice $n \times n\,(t+1)$ par une matrice $n\,(t+1) \times n$:

$$\left[\ B_0 \mid B_1 \mid B_2 \mid \cdots \mid B_t\ \right] \times \begin{bmatrix} \mathrm{I}_n \\ A^q \\ A^{2q} \\ \vdots \\ A^{tq} \end{bmatrix}.$$

Posant $\ell = qi + j$, ce dernier produit est en effet égal à

$$\sum_{i=0}^{t} B_i\, A^{qi} = \sum_{i=0}^{t} \sum_{j=0}^{q-1} c_{n-1-qi-j}\, A^{qi+j} = \sum_{\ell=0}^{(t+1)\,q-1} c_{n-1-\ell}\, A^{\ell}\,.$$

Comme $(t+1)\,q - 1 > n$ (d'après la définition même de t et de q) et que $c_{n-1-\ell} = 0$ pour $\ell \geq n$, la matrice ainsi obtenue est exactement l'opposée de l'adjointe de A : $\mathrm{Adj}A = -\sum_{l=1}^{n} c_{n-\ell}\, A^{\ell-1}$.

Les calculs de ces quatre produits de matrices rectangulaires auxquels Galil & Pan réduisent l'algorithme de Preparata & Sarwate, et qui sont des multiplications d'ordres respectifs donnés par le tableau suivant où $p = \lceil \sqrt{n}\,\rceil$, $s = \lceil \sqrt{p}\,\rceil$, $q = \lceil \sqrt[3]{n}\,\rceil$, $t = \lfloor (n+1)\,/\,q \rfloor$,

Multiplication	1er facteur	2ème facteur
1ère multiplication	$n\,(s-1) \times n$	$n \times ns$
2ème multiplication	$p \times n^2$	$n^2 \times p$
3ème multiplication	$(t+1) \times q$	$q \times n^2$
4ème multiplication	$n \times n\,(t+1)$	$n\,(t+1) \times n$

s'effectuent en $\mathcal{O}(\log^2 n)$ étapes parallèles.

On fait d'autre part appel aux résultats concernant les notions d'algorithme bilinéaire et de rang tensoriel (voir la section 7.3), pour améliorer la complexité théorique de l'algorithme de Preparata & Sarwate ainsi remanié, en faisant passer l'exposant de n dans cette complexité (en taille et en nombre de processeurs) de $2,876$ à $2,851$ (si on prend le $\alpha \approx 2,376$ de Winograd & Coppersmith [19]).

Rappelons (voir la section 7.3.1) que le rang tensoriel de l'application bilinéaire

$$f\ :\ \mathcal{A}^{m\times n} \times \mathcal{A}^{n\times p} \longrightarrow \mathcal{A}^{m\times p}$$

associée à la multiplication des matrices $m \times n$ par des matrices $n \times p$ à coefficients dans $\mathcal{A}$ (on note $\langle m, n, p\rangle_{\mathcal{A}}$ cette application bilinéaire) est défini comme le rang de l'algorithme bilinéaire ou du tenseur

définissant $\langle m, n, p\rangle_{\mathcal{A}}$, c'est-à-dire le nombre minimum de multiplications essentielles nécessaires au calcul bilinéaire correspondant. Ce rang est noté $R\,\langle m, n, p\rangle$ (nous omettons $\mathcal{A}$ en indice dans la mesure où tous les résultats cités s'appliquent à n'importe quel anneau).

Outre les propriétés établies dans la section 7.3, il y a un résultat dû à Coppersmith [18] pour le cas des matrices rectangulaires qui nous occupe ici. Il est utilisé par Galil & Pan pour établir qu'il existe une constante positive β estimée dans un premier temps à $\beta = (2\log 2)\,/\,(5\log 5) \approx 0,172$ puis à $\beta \approx 0,197$ qui vérifie la propriété

$$R\,\langle m, m^{\beta}, m\rangle = \mathcal{O}(m^{2+\epsilon}) \quad \text{pour tout} \quad \epsilon > 0\,.$$

Les modifications des étapes les plus coûteuses aboutissent à des multiplications de matrices rectangulaires de rangs respectifs :

Multiplication	Rang tensoriel
1ère multiplication	$R\,\langle n^{5/4}, n, n^{5/4}\rangle$
2ème multiplication	$R\,\langle n^{1/2}, n^{2}, n^{1/2}\rangle$
3ème multiplication	$R\,\langle t+1, q, n^{2}\rangle$
4ème multiplication	$R\,\langle n, n\,(t+1), n\rangle$

où $q \asymp n^{1/3}$ et $t \asymp n^{2/3}$ vérifient aussi $qt \leq n+1 < q\,(t+1)$.

On a alors :

Théorème 9.3 (Galil & Pan)
Le calcul du polynôme caractéristique, de l'adjointe et l'inverse d'une matrice carrée d'ordre n est en $\mathcal{SD}(n^{\alpha+\frac{1}{2}-\delta}, log^2 n)$ où δ est un réel strictement positif dépendant de α.
En particulier, pour $\alpha \approx 2,376$ la taille du circuit arithmétique est un $\mathcal{O}(n^{2,851})$.

Il suffit en effet, pour établir ce résultat, d'évaluer les quatre rangs tensoriels indiqués dans le tableau ci-dessus en utilisant la constante β de la multiplication des matrices rectangulaires ($\beta < 1$). Pour cela, on pose $m = n^{1\,/\,(4-4\beta)}$ et $r = n^{1\,/\,(4-4\beta)}$, ce qui donne les estimations

$$R\,\langle m, m^{\beta}, m\rangle = \mathcal{O}(n^{(2+\epsilon)\,/\,(4-4\beta)})$$

et

$$R\,\langle r, r, r\rangle = \mathcal{O}(n^{\alpha(4-5\beta)\,/\,(4-4\beta)})$$

qui, multipliées entre elles, donnent

$$R\,\langle n^{5/4}, n, n^{5/4}\rangle = \mathcal{O}(n^{\rho}) \quad \text{où} \quad \rho = \alpha + \frac{1}{2} + \delta_1 \quad \text{et} \quad \delta_1 = \frac{\epsilon - \beta(\alpha-2)}{4-4\beta}\,.$$

Comme $\alpha > 2$ et $\beta < 1$, on peut prendre $0 < \epsilon < \beta(\alpha - 2)$ et $\delta_1 > 0$, ce qui établit le résultat pour la première multiplication.

Pour les trois autres multiplications, on remarque que :

- d'une manière générale $R\langle m, m^4, m\rangle = \mathcal{O}(m^{\alpha+3})$ (multiplication par blocs $m \times m$) et que, par conséquent, $R\langle n^{1/2}, n^2, n^{1/2}\rangle = \mathcal{O}(n^{\frac{\alpha+3}{2}}) = \mathcal{O}(n^{\alpha+\frac{1}{2}+\delta_2})$ avec $\delta_2 = \frac{\alpha-2}{2} > 0$.
- $R\langle t+1, q, n^2\rangle = \mathcal{O}(n^{(\alpha-3)\,\eta+3}) = \mathcal{O}(n^{\alpha+\frac{1}{2}+\delta_3})$ si l'on prend $t = n^\eta$, $q = n^{1-\eta}$, et $\delta_3 = (1-\eta)(3-\alpha) + \frac{1}{2}$ avec $0 < \eta < 1$.
- $R\langle n, n\,(t+1), n\rangle = \mathcal{O}(n^{\alpha+\eta}) = \mathcal{O}(n^{\alpha+\frac{1}{2}+\delta_4})$ avec $\delta_4 = \frac{1}{2} - \eta$ pour le même η.

Prenant $0 < \eta < \frac{1}{2}$ et $(1-\eta)(\alpha-3) < \frac{1}{2}$, ce qui correspond au cas concret $\eta = \frac{1}{3}$, cela donne bien $\inf(\delta_1, \delta_2, \delta_3, \delta_4) > 0$ et établit le résultat $\mathrm{o}(n^{\alpha+1/2-\delta})$ pour n'importe $\delta > 0$ strictement inférieur à $\inf(\delta_1, \delta_2, \delta_3, \delta_4)$. Le résultat numérique en découle pour $\alpha < 2,376$.

En fin de compte l'exposant de n dans la complexité asymptotique pour le calcul du polynôme caractéristique et de l'adjointe par la méthode de Preparata & Sarwate est de $2,876$ au lieu de $2,851$ de Galil & Pan pour $\alpha = 2,376$.

Conclusion

Les algorithmes de Csanky, de Preparata & Sarwate, de Galil & Pan ne sont en fait que des variantes parallélisées de la méthode de Le Verrier (1840) mais elles ont le mérite d'avoir ingénieusement réduit, et de manière spectaculaire, la complexité des circuits arithmétiques permettant de résoudre ces problèmes dans le cas d'un anneau commutatif autorisant les divisions exactes par les entiers. Les estimations de ces algorithmes parallèles dans le cas de tels anneaux restent les meilleures connues à l'heure actuelle.

10. Calcul du polynôme caractéristique sur un anneau commutatif arbitraire

Introduction

Dans ce chapitre, nous présentons des algorithmes bien parallélisés de calcul du polynôme caractéristique sur un anneau commutatif arbitraire.

Le premier résultat de cette sorte, exposé dans la section 10.1, a été obtenu en 1982. L'estimation de son temps séquentiel est pessimiste, mais il reste d'un grand intérêt théorique

Dans les sections suivantes nous expliquons les algorithmes de Chistov et de Berkowitz (amélioré) qui sont dans $\mathcal{SD}(n^{\alpha+1}\log n, \log^2 n)$.

On notera que le résultat est cependant moins bon en temps séquentiel que pour l'algorithme de Preparata & Sarwate (qui réclame la division par un entier arbitraire) ou celui de Kaltofen (qui n'est pas bien parallélisé).

10.1 Méthode générale de parallélisation

Tout programme d'évaluation (donc tout circuit arithmétique) sans division à n indéterminées $(x_i)_{i=1..n}$ sur un anneau $\mathcal{A}$ calcule un polynôme de $\mathcal{A}[x_1, \ldots, x_n]$. Valiant, Skyum, Berkowitz et Rackoff [95] démontrent le résultat important suivant. La preuve, délicate, est bien expliquée dans [Bur].

Théorème 10.1 *Soit Γ un circuit arithmétique sans division, de taille ℓ, qui calcule un polynôme f de degré d en n variables sur un anneau $\mathcal{A}$. Alors il existe un circuit arithmétique homogène Γ' de taille $\mathcal{O}(\ell^3 d^6)$ et de profondeur $\mathcal{O}(\log(\ell\, d)\log d)$ qui calcule (les composantes homogènes de) f ([1]). En outre la construction de Γ' à partir de Γ est LOGSPACE.*

En particulier :

Corollaire 10.1.1 *Toute famille (Q_ℓ) de polynômes de degrés $d = \mathcal{O}(\ell^k)$ qui peut être calculée au moyen d'une famille uniforme de circuits arithmétiques peut aussi être calculée dans la classe $\mathcal{NC}^2$.*

En appliquant le théorème 10.1 à l'algorithme du pivot de Gauss auquel on fait subir la procédure d'élimination des divisions à la Strassen, et vu que le déterminant qu'il calcule est un polynôme de degré n, on obtient le résultat suivant dû à Borodin, Hopcroft et Von zur Gathen [9] :

Proposition 10.1.2 *Le déterminant d'une matrice $n \times n$ est calculé par un programme d'évaluation de taille $\mathcal{O}\left(n^{18}\log^3 n\,\log^3\log n\right)$ et de profondeur $\mathcal{O}(\log^2 n)$.*

Dans la construction correspondant au théorème 10.1 est utilisée la multiplication rapide des polynômes. Avec la multiplication usuelle des polynômes, la proposition 10.1.2 donne $\mathcal{O}\left(n^{21}\right)$ opérations arithmétiques dans l'anneau de base.

10.2 Algorithme de Berkowitz amélioré

Introduction

Utilisant la méthode de partitionnement [Gas, FF], attribuée à Samuelson ([79]), Berkowitz [6] a pu exhiber un circuit arithmétique parallèle de taille $\mathcal{O}(n^{\alpha+1+\epsilon})$ et de profondeur $\mathcal{O}(\log^2 n)$, où ϵ est un réel positif quelconque.

1. On trouve dans [Bur] la majoration $\mathcal{O}(\log(\ell\, d)\log d + \log n)$ pour la profondeur. Le terme $\log(n)$ supplémentaire est nécessaire lorsque $d = 1$ si on a $\log 1 = 0$. Mais la convention de notation 1.6.1 que nous avons choisie pour $\log d$, conforme à la longueur du code binaire de d, nous donne $\log 1 = 1$.

Il a ainsi amélioré de manière décisive la complexité asymptotique du calcul des déterminants, polynômes caractéristiques, et adjointes de matrices à coefficients dans un anneau commutatif quelconque $\mathcal{A}$.

Nous allons donner une version légèrement améliorée de l'algorithme de Berkowitz, due à Eberly [29], qui ramène sa taille à $\mathcal{O}(n^{\alpha+1}\log n)$ sans en changer la profondeur. Pour cela nous donnons une version plus simple de la récurrence utilisée pour le calcul des coefficients du polynôme caractéristique. Nous donnons également une estimation précise de la constante qui intervient dans le « *grand* $\mathcal{O}$ » de la complexité séquentielle (cf. [1]).

Soit $A = (a_{ij}) \in \mathcal{A}^{n\times n}$ une matrice carrée d'ordre $n \geq 2$ sur un anneau commutatif arbitraire $\mathcal{A}$. Conformément aux notations introduites dans la section 1.1, pour tout entier r $(1 \leq r \leq n)$, on désigne par A_r la sous-matrice principale dominante d'ordre r de A. On notera ici R_r la matrice $A_{r+1,1..r} \in \mathcal{A}^{1\times r}$ et S_r la matrice $A_{1..r,r+1} \in \mathcal{A}^{r\times 1}$. Rappelons la formule de Samuelson (2.14) vue à la section 2.6.

$$P_{r+1} = \begin{cases} (a_{r+1,r+1} - X)\, P_r(X) + \\ \sum_{k=2}^{r+1} \left[(R_r A_r^{k-2} S_r)\, p_0 + \cdots + (R_r S_r)\, p_{k-2}\right] \; X^{r+1-k} \end{cases}$$

où $P_r(X) = \sum_{i=0}^{r} p_{r-i} X^i$. Notons Q_{r+1} le polynôme

$$-X^{r+1} + a_{r+1,r+1}\, X^r + R_r S_r\, X^{r-1} + R_r A_r S_r\, X^{r-2} + \cdots + R_r A_r^{r-1} S_r\,.$$

On peut aussi écrire la formule de Samuelson sous la forme (2.15) :

$$\overrightarrow{P_{r+1}} = \mathrm{Toep}(Q_{r+1}) \times \overrightarrow{P_r}$$

où $\overrightarrow{P_r}$ est le vecteur colonne ${}^{\mathrm{t}}(p_0, p_1, \ldots, p_r)$ des coefficients du polynôme P et $\mathrm{Toep}(Q_{r+1}) \in \mathcal{A}^{(r+2)\times(r+1)}$ est la matrice de Toeplitz suivante définie à partir du polynôme Q_{r+1} :

$$\mathrm{Toep}(Q_{r+1}) = \begin{bmatrix} -1 & 0 & \cdots & \cdots & 0 \\ a_{r+1,r+1} & -1 & \ddots & & \vdots \\ R_r S_r & \ddots & \ddots & \ddots & \vdots \\ \vdots & \ddots & \ddots & \ddots & 0 \\ R_r A_r^{r-2} S_r & & \ddots & \ddots & -1 \\ R_r A_r^{r-1} S_r & R_r A_r^{r-2} S_r & \ldots & R_r S_r & a_{r+1,r+1} \end{bmatrix}$$

Le calcul du polynôme caractéristique consiste donc :

– à calculer d'abord les coefficients de la matrice $\mathrm{Toep}(Q_{r+1})$ – qui interviennent dans l'égalité (2.15) – ou, ce qui revient au même, la famille $T = \{RM^iS\}_{i=0}^{r-1}$ lorsque R, M, S sont respectivement des matrices $1 \times r$, $r \times r$, et $r \times 1$, et lorsque r est un entier tel que $2 \leq r < n$ $(M = A_r,\ R = R_r,\ S = S_r)$;
– à calculer ensuite le polynôme P_n dont le vecteur des coefficients, compte tenu de (2.15), est donné par :

$$\overrightarrow{P_n} = \mathrm{Toep}(Q_n) \times \mathrm{Toep}(Q_{n-1}) \times \cdots \times \mathrm{Toep}(Q_1) \tag{10.1}$$

Dans son papier original [6], Berkowitz démontre que les familles

$$U = \{RM^i\}_{i=0}^{n^{1/2}} \quad \text{et} \quad V = \{M^{j\,n^{1/2}}S\}_{j=0}^{n^{1/2}}$$

peuvent être calculées par un circuit arithmétique parallèle en $\mathcal{SD}(n^{\alpha+\epsilon}, \log^2 n)$ pour en déduire que le calcul du polynôme caractéristique se fait en $\mathcal{SD}(n^{\alpha+1+\epsilon}, \log^2 n)$.

La version parallèle améliorée et sa complexité

Nous utilisons comme d'habitude la notation 7.2.1 page 195.

Proposition 10.2.1 *On considère un entier $r \geq 2$ et des matrices $R \in \mathcal{A}^{1\times r}$, $M \in \mathcal{A}^{r\times r}$, $S \in \mathcal{A}^{r\times 1}$.*

$$\textit{La famille} \quad T = \{R\,M^iS\}_{i=0}^{r-1}$$

peut être calculée par un circuit arithmétique dont la taille et la profondeur sont majorées respectivement par

$$\mathrm{C}_\alpha\, r^\alpha \log r + \mathcal{O}(r^\alpha) \quad \text{et} \quad \mathrm{K}_\alpha \log^2 r + \mathcal{O}(\log r)\,.$$

Preuve.
Soit $r \geq 2$. On utilisera, pour l'analyse de complexité des algorithmes, les entiers $\nu = \lceil \log_4 r \rceil = \lceil \frac{1}{2} \log r \rceil$ et $\eta = \lceil \log r \rceil$ qui vérifient les inégalités : $2^{2\nu-2} < r \leq 2^{2\nu}$ et $2^{\eta-1} < r \leq 2^\eta$ (on a aussi $1 \leq \nu \leq 2\nu - 1 \leq \eta \leq 2\nu$).
Toute matrice carrée A d'ordre r sera plongée, selon le cas, soit dans une matrice $\begin{bmatrix} A & 0 \\ 0 & 0 \end{bmatrix}$ carrée d'ordre 2^η soit dans une matrice $\begin{bmatrix} A & 0 \\ 0 & 0 \end{bmatrix}$ carrée d'ordre $2^{2\nu}$ (chacun des 0 désignant ici une matrice nulle de dimensions convenables).

Il faut cependant remarquer que, dans les deux cas, l'élévation au carré de la matrice $\begin{bmatrix} A & 0 \\ 0 & 0 \end{bmatrix}$ se fait à l'aide d'un circuit arithmétique de taille $\mathrm{C}_\alpha r^\alpha$ et de profondeur $\mathrm{K}_\alpha \log r$ puisque $\begin{bmatrix} A & 0 \\ 0 & 0 \end{bmatrix}^2 = \begin{bmatrix} A^2 & 0 \\ 0 & 0 \end{bmatrix}$.
De même, le produit d'une matrice $2^k \times 2^{2\nu}$ $(k = 1, \ldots, \nu)$ par une matrice du type $\begin{bmatrix} A & 0 \\ 0 & 0 \end{bmatrix} \in \mathcal{A}^{2^{2\nu} \times 2^{2\nu}}$ avec $A \in \mathcal{A}^{r \times r}$ peut être obtenu par le calcul du produit d'une matrice $2^k \times 2^\eta$ par une matrice du type $\begin{bmatrix} A & 0 \\ 0 & 0 \end{bmatrix} \in \mathcal{A}^{2^\eta \times 2^\eta}$ à cause du fait que, dans ces deux produits, les r premières colonnes sont les mêmes alors que les colonnes restantes sont nulles. Ce qui fait que le produit en question peut être obtenu par $2^{2(\eta-k)}$ multiplications en parallèle de blocs $2^k \times 2^k$ et de $2^{\eta-k}\,(2^{\eta-k}-1)$ additions en parallèle des blocs produits obtenus, c'est-à-dire par un circuit arithmétique de taille $2^{\eta-k}\,[2^{\eta-k}\mathrm{C}_\alpha 2^{k\alpha} + (2^{\eta-k}-1)2^{2k}]$ ([2]) et de profondeur $(\mathrm{K}_\alpha + 1)\,k$.

Considérons à présent, pour $k = 1, \ldots, \nu$, la matrice U_k dont les lignes sont les éléments de la famille $\{RM^i\}_{i=0}^{2^k-1}$ considérée comme une matrice $2^k \times 2^\eta$ et la matrice V_k dont les colonnes sont les éléments de la famille $\{M^{j2^\nu} S\}_{j=0}^{2^k-1}$ considérée comme une matrice $2^\eta \times 2^k$. La famille T s'obtient alors en calculant la matrice $U_\nu \in \mathcal{A}^{2^\nu \times 2^\eta}$ puis la matrice $V_\nu \in \mathcal{A}^{2^\eta \times 2^\nu}$ et enfin le produit matriciel $W_\nu = U_\nu V_\nu$. La famille $T = \{R\,M^i S\}_{i=0}^{r-1}$ est entièrement déterminée par la donnée de la matrice $W_\nu = (w_{ij}) = U_\nu V_\nu \in \mathcal{A}^{2^\nu \times 2^\nu}$ puisque : $R\,M^k S = w_{ij}$ $(0 \le k \le 2^{2\nu-1})$ si et seulement si $k = (i-1) + (j-1)2^\nu$ i.e. si et seulement si $j = \lfloor \frac{k}{2^\nu} \rfloor + 1$ et $i = k + 1 - \lfloor \frac{k}{2^\nu} \rfloor\, 2^\nu$.

Le calcul de T se fait donc en deux phases : une première phase de calcul des matrices U_ν et V_ν et une deuxième phase de calcul du produit $W_\nu = U_\nu V_\nu$.

- **Coût de la phase 1 :**

Le calcul de U_ν et de V_ν se fait de proche en proche à partir de $U_0 = \begin{bmatrix} R & 0 \end{bmatrix} \in \mathcal{A}^{1 \times 2^\eta}$, $V_0 = \begin{bmatrix} S \\ 0 \end{bmatrix} \in \mathcal{A}^{2^\eta \times 1}$ et des puissances de M obtenues par élévations successives au carré, c'est-à-dire les matrices M^{2^s} $(1 \le s \le 2\nu - 1)$.

2. Le premier terme du crochet provient des multiplications de blocs $2^k \times 2^k$, et le second terme indique le nombre d'additions dues aux additions des blocs.

On a en effet, pour $k = 1, \ldots, \nu$:

$$\begin{array}{rcl} \{RM^i\}_{i=0}^{2^k-1} & = & \{RM^i\}_{i=0}^{2^{k-1}-1} \cup \{RM^{i+2^{k-1}}\}_{i=0}^{2^{k-1}-1} \quad \text{et} \\ \{M^{j2^\nu}S\}_{j=0}^{2^k-1} & = & \{M^{j2^\nu}S\}_{j=0}^{2^{k-1}-1} \cup \{M^{2^\nu(j+2^{k-1})}S\}_{j=0}^{2^{k-1}-1} \end{array}$$

Ce qui donne, de manière plus précise, les relations matricielles suivantes (si on pose $N = M^{2^\nu}$) :

$$U_k = \begin{bmatrix} U_{k-1} \\ \widetilde{U_{k-1}} \end{bmatrix} \in \mathcal{A}^{2^k \times 2^\eta} \quad \text{et} \quad V_k = \begin{bmatrix} V_{k-1} & \widetilde{V_{k-1}} \end{bmatrix} \in \mathcal{A}^{2^\eta \times 2^k}$$

$$\text{avec} \quad \widetilde{U_{k-1}} = U_{k-1} \times M^{2^{k-1}} \quad \text{et} \quad \widetilde{V_{k-1}} = N^{2^{k-1}} \times V_{k-1} \ .$$

D'où l'algorithme suivant pour le calcul de U_ν et V_ν (comportant 2ν étapes successives) à partir des données initiales U_0 , V_0 (c'est-à-dire R , S) :

1. L'étape k ($1 \leq k \leq \nu$) consiste à calculer U_k et M^{2^k} ; pour cela deux opérations seront exécutées en parallèle sur $M^{2^{k-1}}$ qui est une matrice $2^\eta \times 2^\eta$ (déjà calculée à l'étape $k-1$) : l'élever au carré et la multiplier à gauche par U_{k-1} qui est une matrice $2^{k-1} \times 2^\eta$. A la fin de ces ν étapes, on obtient la matrice U_ν et la matrice $N = M^{2^\nu}$ (figure 10.1).

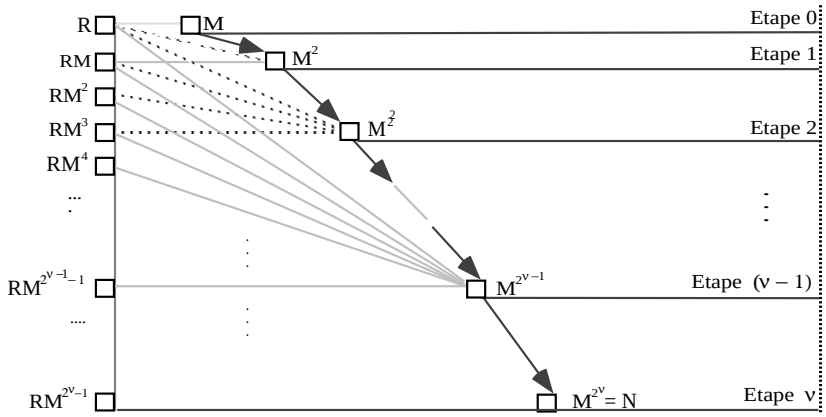

Figure 10.1 – Calcul de U_ν

les liens en trait pointillé indiquent les multiplications
à effectuer au cours d'une étape pour passer à l'étape suivante

2. L'étape $\nu + k$ $(1 \leq k \leq \nu)$ consiste à calculer V_k et N^{2^k} : là encore, il s'agit d'élever au carré une matrice $2^\eta \times 2^\eta$ et de la multiplier à droite par V_{k-1} qui est une matrice $2^\eta \times 2^{k-1}$.
   A l'issue de ces ν nouvelles étapes, on obtient V_ν et la matrice N^{2^ν} (figure 10.2).

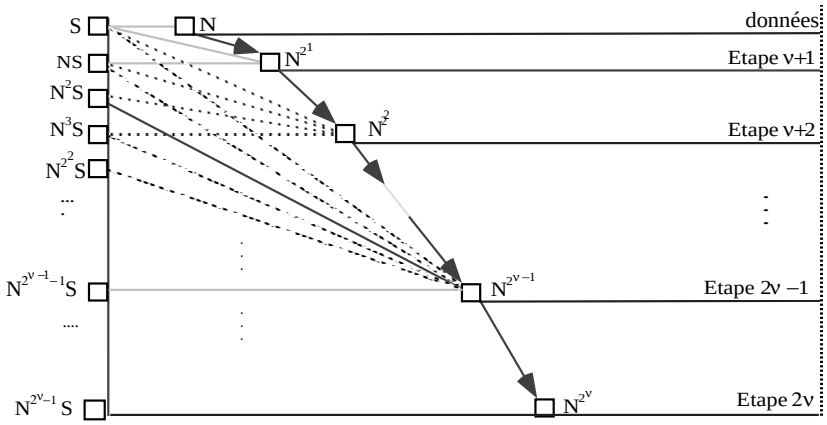

Figure 10.2 – Calcul de V_ν
les liens en trait pointillé indiquent les multiplications
à effectuer au cours d'une étape pour passer à l'étape suivante

Si l'on utilise les multiplications par blocs $2^{k-1} \times 2^{k-1}$ (ils sont ici au nombre de $2^{\eta-k+1}$ blocs), l'étape k (resp. $\nu + k$) ci-dessus est réalisée par un circuit de taille :

$$\mathrm{C}_\alpha r^\alpha + 2^{\eta-k+1} \times [\ 2^{\eta-k+1}\mathrm{C}_\alpha 2^{(k-1)\alpha} + (2^{\eta-k+1} - 1)2^{2(k-1)}\ ].$$

et de profondeur égale à $\max\{\mathrm{K}_\alpha\,\eta, (k-1)\,(\mathrm{K}_\alpha - 1) + \eta\} = \mathrm{K}_\alpha\,\eta$ (puisque K_α est supposé ≥ 1).

Tenant compte du fait qu'il y a 2ν étapes et que $\eta \leq 2\nu < \log r + 2$, l'algorithme calculant U_ν et V_ν est donc réalisé par un circuit de profondeur $2\nu\mathrm{K}_\alpha\,\eta \leq \mathrm{K}_\alpha\,(\log r + 1)(\log r + 2)$ et de taille majorée par :
$\mathrm{C}_\alpha\, r^\alpha(\log r + 2) + 2^{\eta+1} \sum_{k=1}^{\nu}(\mathrm{C}_\alpha\, 2^{(\alpha-2)(k-1)} + 1)$ et donc par :
$(\mathrm{C}_\alpha\, r^\alpha + 2\,r)(\log r + 2) + 4\,\mathrm{C}_\alpha\, r \sum_{k=1}^{\nu} 2^{(\alpha-2)(k-1)}$ qui est égal à :

$$(\mathrm{C}_\alpha\, r^\alpha + 2\,r)(\log r + 2) + 4\,\mathrm{C}_\alpha\, \frac{2^{(\alpha-2)\nu} - 1}{2^{(\alpha-2)} - 1}\, r\,.$$

Cette taille est donc majorée par :

$$(\mathrm{C}_\alpha\, r^\alpha + 2\,r)(\log r + 2) + \frac{8\,\mathrm{C}_\alpha}{2^{(\alpha-2)} - 1}\, r^{\frac{\alpha}{2}} = \mathrm{C}_\alpha\, r^\alpha \log r + 2\,\mathrm{C}_\alpha\, r^\alpha + \mathcal{O}\,(r^{\frac{\alpha}{2}})\,.$$

qui est clairement $\mathcal{O}(r^\alpha \log r)$.

- **Coût de la phase 2 :**

Cette phase consiste à calculer le produit $U_\nu \times V_\nu$ qui peut s'effectuer par des multiplications de blocs $2^\nu \times 2^\nu$, en parallèle et en 2 grandes étapes.

– La première étape consiste à calculer en parallèle $2^{\eta-\nu}$ produits de blocs $2^\nu \times 2^\nu$, avec $2^{\eta-\nu}\,\mathrm{C}_\alpha\, 2^{\nu\alpha}$ opérations arithmétiques dans l'anneau de base, ce qui donne une profondeur totale de $\mathrm{K}_\alpha\,\nu$;

– Il s'agit dans la deuxième étape de calculer en parallèle la somme des $2^{\eta-\nu}$ produits obtenus précédemment, faisant intervenir $(2^{\eta-\nu}-1)\,2^{2\nu}$ additions dans l'anneau de base, à l'aide d'une famille de circuits binaires équilibrés de profondeur $\eta-\nu$.

Le nombre total d'opérations arithmétiques, dans l'anneau de base, qui interviennent dans ces deux grandes étapes du calcul de T, correspondant à une profondeur totale de $(\mathrm{K}_\alpha - 1)\,\nu + \eta$, est donc majoré par :

$$2^{\eta-\nu}\,\mathrm{C}_\alpha\, 2^{\alpha\nu} + 2^{\eta+\nu} \leq \mathrm{C}_\alpha\, 2^{(\alpha+1)\nu} + 2^{3\nu} \leq \mathrm{C}_\alpha\, 2^{\alpha+1}\, r^{\frac{\alpha+1}{2}} + 8\, r^{\frac{3}{2}}\,.$$

puisque $\eta \leq 2\nu$, $\alpha \leq 3$ et $\mathrm{C}_\alpha \geq 1$. Ce qui fait aussi $\mathcal{O}(r^{\frac{\alpha+1}{2}})$ avec une constante asymptotique égale à $2^{\alpha+1}\mathrm{C}_\alpha$. Ainsi, le calcul de T à partir de U_ν et V_ν se fait par un circuit parallèle de taille $\mathcal{O}(r^{\frac{\alpha+1}{2}})$ et de profondeur

$$(\mathrm{K}_\alpha - 1)\,\nu + \eta \leq \frac{1}{2}\,(\mathrm{K}_\alpha + 1)\,\log r + \mathrm{K}_\alpha \leq \mathrm{K}_\alpha\,(1 + \log r)$$

puisque $\mathrm{K}_\alpha \geq 1$, $\nu \leq \frac{1}{2}\,(2 + \log r)$ et $r \geq 2$.

Nous résumons dans le tableau ci-dessous l'analyse de complexité qui vient d'être faite et qui établit le résultat annoncé.

Etapes	Profondeur	Taille
1ère phase	$\mathrm{K}_\alpha\,(\log r + 1)(\log r + 2)$	$\mathrm{C}_\alpha\, r^\alpha \log r + \mathcal{O}\,(r^\alpha)$
2ème phase	$\mathrm{K}_\alpha\,(\log r + 1)$	$\mathcal{O}(r^{\frac{\alpha+1}{2}})$
Total	$\mathrm{K}_\alpha\,(\log r + 1)(\log r + 3)$	$\mathrm{C}_\alpha\, r^\alpha \log r + \mathcal{O}\,(r^\alpha)$

La différence essentielle avec l'algorithme de Berkowitz [6] réside dans la simplification de la récurrence permettant de calculer de proche en proche les matrices U_ν et V_ν : à chaque pas, la multiplication par une

seule matrice (au lieu de $\lceil n^\epsilon \rceil$ matrices), avec recours à la multiplication par blocs, a permis de réduire le nombre d'opérations arithmétiques dans l'anneau de base, en éliminant le facteur n^ϵ.

La démonstration de la proposition 10.2.1 a permis de donner une estimation précise de la constante asymptotique : cette constante est en effet égale à C_α ; elle est la même que la constante asymptotique de la multiplication des matrices.

Théorème 10.2 *Les coefficients du polynôme caractéristique d'une matrice carrée d'ordre n peuvent être calculés par un circuit arithmétique dont la taille et la profondeur sont respectivement majorées par* $\frac{1}{\alpha+1}\mathrm{C}_\alpha\, n^{\alpha+1}\, \log n + \mathcal{O}(n^{\alpha+1})$ *et par* $2\,\mathrm{K}_\alpha\, \log^2 n + \mathcal{O}(\log n)$.

Preuve. Le polynôme caractéristique de la matrice $A = (a_{ij})$ n'est autre que le polynôme P_n donné par la formule (10.1) :

$$\overrightarrow{P_n} = \mathrm{Toep}(Q_n) \times \mathrm{Toep}(Q_{n-1}) \times \cdots \times \mathrm{Toep}(Q_1).$$

Le calcul des coefficients (de la forme $R\,M^i S$) du polynôme Q_{k+1} (pour $1 \leq k \leq n-1$) se fait, d'après la proposition 10.2.1, en $\mathcal{O}(k^\alpha \log k)$. De manière plus précise, le calcul de la totalité des matrices $\mathrm{Toep}(Q_{k+1})$ se fait donc avec une profondeur majorée par $\mathrm{K}_\alpha\,(\log n + 1)(\log n + 3)$ et une taille majorée par :

$$\mathrm{C}_\alpha \sum_{k=1}^{n-1} [k^\alpha \log k + 2k^\alpha + \mathcal{O}(k^{\frac{\alpha}{2}})]\ ;$$

c'est-à-dire par :

$$\frac{\mathrm{C}_\alpha}{\alpha+1}\, n^{\alpha+1}\, \log n + \frac{2\mathrm{C}_\alpha}{\alpha+1}\, n^{\alpha+1} + \mathcal{O}(n^{\frac{\alpha}{2}+1})$$

à cause du fait :

$$\sum_{k=1}^{n-1} k^\alpha\, \log k < (\sum_{k=1}^{n-1} k^\alpha)\, \log n \quad \text{et} \quad \sum_{k=1}^{n-1} k^\alpha < n^{\alpha+1} \int_0^1 x^\alpha dx = \frac{n^{\alpha+1}}{\alpha+1}\cdot$$

D'autre part, le produit (10.1) peut être calculé à l'aide d'un circuit binaire équilibré avec $\mathcal{O}(n^{\alpha+1})$ opérations arithmétiques de base et une profondeur majorée par $\mathrm{K}_\alpha\, \log^2 n$.

Cela donne en fin de compte, dans l'anneau de base, un nombre total d'opérations arithmétiques majoré par

$$\frac{\mathrm{C}_\alpha}{\alpha+1}\, n^{\alpha+1}\log n + \frac{2\,\mathrm{C}_\alpha}{\alpha+1}\, n^{\alpha+1} + \mathcal{O}(n^{\frac{\alpha}{2}+1}) = \frac{\mathrm{C}_\alpha}{\alpha+1}\, n^{\alpha+1}\log n + \mathcal{O}(n^{\alpha+1}),$$

avec un circuit arithmétique de profondeur majorée par

$$2\,\mathrm{K}_\alpha\,(\log n+1)^2 + \mathrm{K}_\alpha = 2\,\mathrm{K}_\alpha\,\log^2 n + \mathcal{O}(\log n).$$

Proposition 10.2.2 *Les coefficients des polynômes caractéristiques de toutes les sous-matrices principales dominantes d'une matrice carrée d'ordre n peuvent être calculés en $\mathcal{SD}(n^{\alpha+1}\log n, \log^2 n)$ (avec les mêmes estimations que celles du théorème 10.2 pour les constantes asymptotiques).*

Preuve. En effet, on a $A = A_n$, et les coefficients du polynôme caractéristique P_r de la sous-matrice principale dominante A_r de A ($1 \leq r \leq n$) sont donnés par les vecteurs :

$$\overrightarrow{P_r} = \mathrm{Toep}(Q_r) \times \mathrm{Toep}(Q_{r-1}) \times \cdots \times \mathrm{Toep}(Q_1)$$

Ces vecteurs ne sont autres que les troncatures successives (pour r allant de 2 à n) du second membre de (10.1) : ils peuvent donc être calculés par un algorithme parallèle des préfixes. Le circuit que nous avons représenté (figure 10.3) correspond à l'une des solutions du « Calcul parallèle des préfixes » [64], que nous avons présentées dans la section 5.3. Il s'agit d'un circuit parallèle de profondeur $\lceil \log n \rceil + 1$ et de taille majorée par $3n$. Comme il s'agit de multiplications matricielles, chaque nœud interne du circuit (représenté par une croix dans la figure) correspond à un circuit de multiplication de matrices de profondeur $\mathrm{K}_\alpha \log n$ avec $\mathcal{O}(n^\alpha)$ opérations arithmétiques dans l'anneau de base.

Le calcul des P_r ($2 \leq r \leq n$) à partir des matrices $\mathrm{Toep}(Q_k)$ se fait donc par un circuit de taille $\mathcal{O}(n^{\alpha+1})$ et de profondeur majorée par $\mathrm{K}_\alpha\,(\log n+1)\,(\log n+2)$. On conclut de la même façon que le théorème 10.2 pour le produit des matrices de Toeplitz. □

Corollaire 10.2.3 *Le déterminant et l'adjointe d'une matrice carrée d'ordre n se calculent en $\mathcal{SD}(n^{\alpha+1}\log n, \log^2 n)$ (avec les mêmes bornes que celles du théorème 10.2 pour les constantes asymptotiques).*

Preuve. Le déterminant de A n'est autre que $\mathrm{P}_A(0)$. D'autre part, la matrice adjointe de A est donnée par la formule :

$$\mathrm{Adj}(A) = -(p_0 A^{n-1} + p_1 A^{n-2} + \cdots + p_{n-2} A + p_{n-1}\mathrm{I}_n)$$

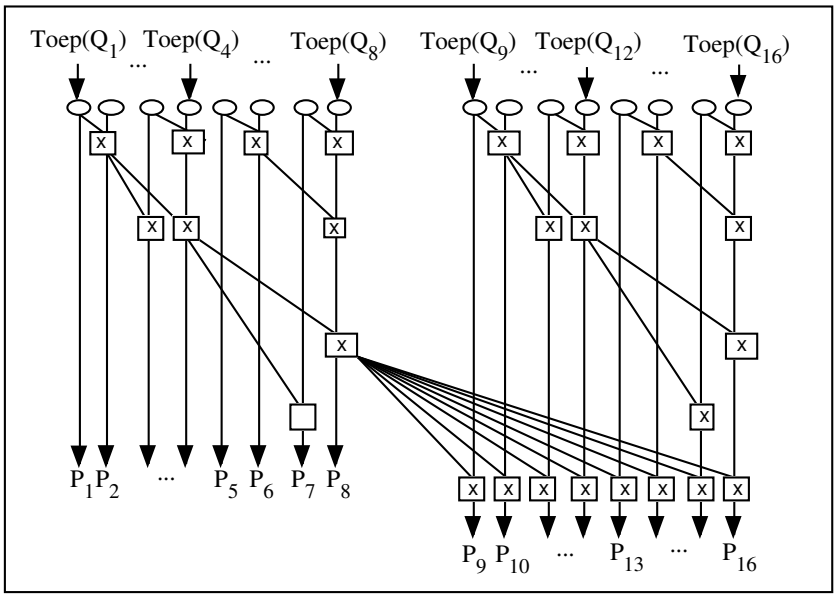

Figure 10.3 – Calcul des P_r pour $1 \leq r \leq n$ (ici $n = 2^4$)

où $\mathrm{P}_A(X) = \sum_{i=1}^{n} p_{n-i} X^i$.

Preparata & Sarwate (voir section 9.2) donnent un algorithme récursif (Powers (A, n)) pour calculer les n premières puissances de A avec un circuit arithmétique parallèle de profondeur $\mathrm{K}_\alpha \log n \,(\log n + 1)$ et de taille majorée par $(2n-3)\,\mathrm{C}_\alpha\, n^\alpha$.([3])

Le résultat est alors obtenu en remarquant que $\mathrm{Adj}\,(A)$ se calcule à partir des puissances de A en $1 + \lceil \log n \rceil$ étapes avec $\mathcal{O}(n^3)$ opérations arithmétiques de base. □

Remarque 10.2.4 La méthode de Baur & Strassen [5] pour le calcul des dérivées partielles (cf. section 3.3) montre que le calcul de l'adjointe d'une matrice a toujours un coût voisin de celui de son déterminant. La construction originale ne se préoccupe pas de la profondeur, mais le résultat a été amélioré par Kaltofen et Singer [52] : tout circuit arithmétique de taille τ et de profondeur π calculant une fonction polynomiale (sur un anneau) ou une fonction rationnelle (sur un corps) donne un circuit de taille 4τ et de profondeur $\mathcal{O}(\pi)$ qui calcule la fonction et toutes

3. Le « parallel prefix algorithm » (section 5.3) donne le même résultat pour la profondeur mais une taille majorée par $3n\,\mathrm{C}_\alpha\, n^\alpha$.

ses dérivées partielles, et ceci indépendamment du nombre de variables d'entrées du circuit.

Remarque 10.2.5 Les théorèmes de complexité que nous venons d'établir ne citent que deux paramètres de complexité : la taille et la profondeur des circuits. Mais une analyse minutieuse des algorithmes étudiés nous permet également d'avoir le nombre de processeurs utilisés par ces algorithmes dans le modèle PRAM, c'est-à-dire la largeur du circuit arithmétique correspondant. Ce troisième paramètre peut être exprimé en fonction de la largeur d'un circuit arithmétique (de profondeur $\mathrm{K}_\alpha \log n$ et de taille $\mathrm{C}_\alpha\, n^\alpha$) qui calcule le produit de deux matrices carrées d'ordre n. Il est facile de vérifier que le résultat trouvé est le même que celui obtenu par application directe du principe de Brent à cet algorithme parallèle, c'est-à-dire un nombre de processeurs de l'ordre de $\mathcal{O}(n^{\alpha+1}/\log n)$.

Remarque 10.2.6 Concernant les questions d'uniformité et de coût de construction des circuits, ainsi que la taille des coefficients intermédiaires, le travail de Matera & Turull Torres [69] donne, dans le cas de l'anneau $\mathbb{Z}$ des entiers relatifs, une construction effective, avec une taille bien contrôlée des coefficients, des circuits de base qui interviennent dans l'algorithme de Berkowitz.

Traduisant les opérations arithmétiques de $\mathbb{Z}$ (addition et multiplication) par des circuits booléens de profondeur $\mathcal{O}(\log b)$ où b est la taille maximum de la représentation binaire des coefficients de la matrice donnée $A \in \mathbb{Z}^{n\times n}$, ils obtiennent :

– pour la multiplication de deux matrices $n\times n$ sur $\mathbb{Z}$ un circuit booléen de taille $\mathcal{O}(n^3\, b^2)$ et de profondeur $\mathcal{O}(\log(bn))$;
– pour la taille des coefficients intermédiaires calculés, une majoration de l'ordre de $\mathcal{O}(n(b+\log n))$;
– pour l'algorithme de Berkowitz, une famille uniforme de circuits booléens de profondeur $\mathcal{O}(\log(n)\log(bn))$ et de taille $\mathcal{O}(n^6\, b^2\, \log^2(n))$.

Cette construction, appliquée à l'algorithme amélioré que nous avons présenté, donne une famille uniforme de circuits booléens de même profondeur, avec la même majoration pour la taille des coefficients intermédiaires, mais de taille réduite à $\mathcal{O}(n^5\, b^2\, \log^2 n)$.
Le facteur n ainsi économisé provient essentiellement des étapes correspondant aux figures 10.1 page 276 et 10.2 page 277 de notre algorithme.

10.3 Méthode de Chistov

Introduction

On considère une matrice carrée $A \in \mathcal{A}^{n\times n}$ on pose $B = \mathrm{I}_n - XA \in \mathcal{A}[X]^{n\times n}$, B_r est la sous-matrice principale dominante d'ordre r de B et $Q(X) = \det B$.

L'algorithme est basé sur les formules suivantes (ce sont les équations (2.16) et (2.18) établies à la section 2.7.1) valables dans l'anneau des développements limités à l'ordre n, $\mathcal{A}_n = \mathcal{A}[X] \big/ \langle X^{n+1} \rangle$:

$$Q(X)^{-1} = [\det(\mathrm{I}_n - XA)]^{-1} = \prod_{r=1}^{n} \left(B_r^{-1}\right)_{r,r}. \tag{10.2}$$

et, en notant E_r la r-ème colonne de I_r :

$$\left(B_r^{-1}\right)_{r,r} \bmod X^{n+1} = 1 + \sum_{k=1}^{n} \left({}^{\mathrm{t}}\mathrm{E}_r \, (A_r)^k \, \mathrm{E}_r \right) X^k. \tag{10.3}$$

Rappelons alors le principe général de l'algorithme 2.12 donné en section 2.7.1.

Algorithme de Chistov, principe général

Entrée : la matrice $A \in \mathcal{A}^{n\times n}$.
Sortie : le polynôme caractéristique $P(X)$ de A.
Début
Étape 1 :
Calculer pour $r, k \in \{1, \ldots, n\}$ les produits ${}^{\mathrm{t}}\mathrm{E}_r \, (A_r)^k \, \mathrm{E}_r$,
ce qui donne les polynômes $\left(B_r^{-1}\right)_{r,r}$ (formule (10.3)).
Étape 2 :
Calculer le produit des n polynômes précédents modulo X^{n+1},
ce qui donne $Q(X)^{-1} \bmod X^{n+1}$ (formule (10.2)).
Étape 3 :
Inverser modulo X^{n+1} le polynôme précédent : on obtient $Q(X)$.
Étape 4 :
Prendre le polynôme réciproque à l'ordre n du polynôme $Q(X)$.
On obtient $P(X)$ en multipliant par $(-1)^n$.
Fin.

La version parallèle et sa complexité

Étudions pour chacune des étapes de cet algorithme, la taille et la profondeur d'un circuit arithmétique correspondant qui tire le meilleur parti de la multiplication rapide des matrices et permet d'obtenir un temps parallèle en $\mathcal{O}(\log^2 n)$.

- **Coût de l'étape 1 :**

Chacun des éléments ${}^{\mathrm{t}}\mathrm{E}_r\,(A_r)^k\,\mathrm{E}_r$ qu'il s'agit de calculer est obtenu en prenant la r-ème composante du vecteur-colonne $(A_r)^k\,\mathrm{E}_r$. On doit donc calculer simultanément, pour tous r compris entre 1 et n et pour chaque r, les n produits (matrice $\times$ vecteur) $(A_r)^k\,\mathrm{E}_r$ $(1 \leq k \leq n)$.

Pour évaluer la complexité de ce calcul, considérons l'entier $\nu \in \mathbb{N}$ tel que $2^{\nu-1} < r \leq 2^\nu$, c'est-à-dire $\nu = \lceil \log r \rceil$, et ramenons la matrice A_r à une matrice $2^\nu \times 2^\nu$ en remplissant de zéros les rangées supplémentaires. Ainsi, toutes nos matrices $(A_r)^k$ seront considérées comme des matrices $2^\nu \times 2^\nu$, et E_r comme une matrice $2^\nu \times 1$: cela ne change pas les produits ${}^{\mathrm{t}}\mathrm{E}_r\,(A_r)^k\,\mathrm{E}_r$ recherchés. Considérons d'autre part l'entier $\eta \in \mathbb{N}$ vérifiant $2^{\eta-1} \leq n < 2^\eta$ c'est-à-dire $\eta = \lfloor \log n \rfloor + 1$.

On procède alors en η sous-étapes successives (numérotées de 0 à $\eta-1$), chacune utilisant le résultat de la précédente.

À l'étape j $(0 \leq j \leq \eta-1)$, on élève au carré la matrice $(A_r)^{2^j}$ puis on la multiplie à droite par la matrice

$$(\mathrm{E}_r|A_r\,\mathrm{E}_r|\ldots|(A_r)^{2^j-1}\mathrm{E}_r) \in \mathcal{A}^{2^\nu \times 2^j}$$

pour obtenir la matrice $(A_r)^{2^{j+1}}$ et la matrice

$$(\mathrm{E}_r|A_r\,\mathrm{E}_r|\ldots|(A_r)^{2^j-1}\mathrm{E}_r|(A_r)^{2^j}\mathrm{E}_r|\ldots|(A_r)^{2^{j+1}-1}\mathrm{E}_r) \in \mathcal{A}^{2^\nu \times 2^{j+1}}.$$

À la fin de ces η étapes (faisant $j = \eta - 1$), on obtient la matrice

$$(\mathrm{E}_r|A_r\,\mathrm{E}_r|\ldots|(A_r)^{2^\eta-1}\mathrm{E}_r) \in \mathcal{A}^{2^\nu \times 2^\eta}$$

dont les éléments de la r-ème ligne, plus précisément les n premiers (on a $n < 2^\eta$), ne sont autres que les éléments ${}^{\mathrm{t}}\mathrm{E}_r\,(A_r)^k\,\mathrm{E}_r$ recherchés.

Pour chaque r $(1 \leq r \leq n \leq 2^\eta - 1)$, on a ainsi η sous-étapes, chacune d'elles comportant l'élévation au carré d'une matrice $2^\nu \times 2^\nu$ (en fait d'une matrice $r \times r$), et la multiplication d'une matrice $2^\nu \times 2^\nu$ par une matrice $2^\nu \times 2^j$. Utilisant pour cette dernière opération les multiplications par blocs $2^j \times 2^j$ (quitte à plonger la matrice $2^\nu \times 2^\nu$ dans

une matrice $2^\eta \times 2^\eta$ et la matrice $2^\nu \times 2^j$ dans une matrice $2^\eta \times 2^j$, on obtient pour chacune des η sous-étapes considérées un nombre d'opérations arithmétiques majoré par :

$$\mathrm{C}_\alpha\, r^\alpha + 2^{2\eta}\,[\mathrm{C}_\alpha\, 2^{(\alpha-2)j} + 1] \leq \mathrm{C}_\alpha\, r^\alpha + 4n^2\,[\mathrm{C}_\alpha\, 2^{(\alpha-2)j} + 1].$$

Cela est dû au fait que $\eta - 1 \leq \log n$ (et $2^\eta \leq 2n$) qui permet d'obtenir les majorations suivantes :

$$\sum_{j=0}^{\eta-1} \mathrm{C}_\alpha\, r^\alpha \leq \mathrm{C}_\alpha\, r^\alpha\, \log n \quad \text{et} \quad \sum_{j=0}^{\eta-1} 2^{(\alpha-2)j} \leq \frac{2\, n^{\alpha-2}}{2^{\alpha-2} - 1}\,.$$

D'où la majoration du nombre d'opérations arithmétiques intervenant (pour chaque valeur de r) dans le calcul des n produits ${}^{\mathrm{t}}\mathrm{E}_r\,(A_r)^k\,\mathrm{E}_r$ $(1 \leq k \leq n)$:

$$\mathrm{C}_\alpha\, r^\alpha\, \log n + 4n^2\,[\log n + \frac{2\,\mathrm{C}_\alpha\, n^{\alpha-2}}{2^{\alpha-2} - 1}\,]\,.$$

Comme r varie de 1 à n, le calcul de l'étape 1 s'effectue à l'aide d'un circuit arithmétique de taille $\mathcal{O}(n^{\alpha+1} \log n)$ et de profondeur $\mathcal{O}(\log^2 n)$. Plus précisément, la taille est majorée par :

$$[\,4n^3 + \mathrm{C}_\alpha \sum_{r=1}^{n} r^\alpha\,]\, \log n + \frac{8\,\mathrm{C}_\alpha}{2^{\alpha-2} - 1}\, n^{\alpha+1} \leq \frac{\mathrm{C}_\alpha}{\alpha+1}\, n^{\alpha+1}\, \log n + \mathcal{O}(n^{\alpha+1})\,.$$

et la profondeur par :

$$\mathrm{K}_\alpha\, \eta\, \log n + \sum_{j=0}^{\eta-1} (\mathrm{K}_\alpha\, j + \eta - j) \leq \frac{3\,\mathrm{K}_\alpha + 1}{2}\, \log^2 n + \mathcal{O}(\log n).$$

On peut remarquer qu'avec la multiplication usuelle des matrices ($\alpha = 3$), l'étape 1 correspond à un circuit arithmétique parallèle de profondeur $\mathcal{O}(\log^2 n)$ et de taille $\mathcal{O}(n^4 \log n) + \mathcal{O}(n^4) = \mathcal{O}(n^4 \log n)$ puisque $\displaystyle\sum_{j=0}^{\eta-1} n^2 2^j = n^2\,(2^\eta - 1) < 2n^4$.

- **Coût de l'étape 2 :**

On doit calculer le produit tronqué à l'ordre n des n polynômes de degré $\leq n$ calculés à l'étape précédente. Ce calcul se fait à l'aide d'un circuit binaire équilibré en $\mathcal{SD}(n^3, \log^2 n)$.

- **Coût de l'étape 3 :**

Il s'agit d'inverser modulo X^{n+1} le polynôme $\tilde{Q}$ de degré $\leq n$ obtenu à l'étape précédente. Ce polynôme est de la forme $\tilde{Q} = 1 - XR$ où R est un polynôme de degré n en X. Inverser $\tilde{Q}$ modulo X^{n+1} revient à calculer le produit

$$Q(X) = (1 + XR)(1 + X^2R^2) \dots (1 + X^{2^\nu} R^{2^\nu}) \bmod X^{n+1}.$$

Cela s'effectue en $\mathcal{SD}(n^2 \log n, \log n \log\log n)$ à l'aide d'un circuit binaire équilibré.

On peut accélérer le calcul des deux étapes précédentes en utilisant une multiplication rapide des polynômes (mais cela n'améliore pas sensiblement le résultat final).

- **Coût de l'étape 4 :**

Cette étape, de profondeur 1, n'intervient pas dans la complexité de l'algorithme.

Nous donnons ci-dessous un tableau résumant l'analyse qui vient d'être faite pour la complexité de l'algorithme de Chistov, montrant que ce dernier est $\mathcal{SD}(n^{\alpha+1} \log n, \log^2 n)$ si l'on utilise la multiplication rapide des matrices ($\alpha < 3$) avec une estimation précise des constantes asymptotiques pour la taille et pour la profondeur.

Etape	Profondeur	Taille
Etape 1	$\frac{3\mathrm{K}_\alpha+1}{2} \log^2 n + \mathcal{O}(\log n)$	$\frac{\mathrm{C}_\alpha}{\alpha+1} n^{\alpha+1} \log n + \mathcal{O}(n^{\alpha+1})$
Etape 2	$\log^2 n + \mathcal{O}(\log n)$	$\mathcal{O}(n^3)$
Etape 3	$\mathcal{O}(\log n \log\log n)$	$\mathcal{O}(n^2 \log n)$
Etape 4	1	négligeable

Tableau 10.3

Complexité de la version parallèle de l'algorithme de Chistov

Si l'on utilise la multiplication usuelle ($\alpha = 3$), cela donne un algorithme en $\mathcal{SD}(n^4 \log n, \log^2 n)$. Dans ce dernier cas, l'algorithme séquentiel élémentaire donné à la section 2.7.2 est donc préférable (sur une machine séquentielle).

Théorème 10.3 *L'algorithme de Chistov calcule les coefficients du polynôme caractéristique d'une matrice carrée d'ordre n par un circuit arithmétique de profondeur $\mathcal{O}(\log^2 n)$ et de taille $\mathcal{O}(n^{\alpha+1}\log n)$ avec des constantes asymptotiques estimées respectivement à $\frac{3}{2}(\mathrm{K}_\alpha+1)$ pour la profondeur et $\frac{1}{\alpha+1}\mathrm{C}_\alpha$ pour la taille.*

Enfin, comme dans le cas de l'algorithme de Berkowitz, on obtient facilement le résultat complémentaire suivant.

Proposition 10.3.1 *Les coefficients des polynômes caractéristiques de toutes les sous-matrices principales dominantes d'une matrice carrée d'ordre n peuvent être calculés en $\mathcal{SD}(n^{\alpha+1}\log n, \log^2 n)$ par un algorithme directement dérivé de celui correspondant au théorème 10.3.*

Remarque 10.3.2 Remarquons que dans l'estimation de la taille des circuits arithmétiques construits à partir des algorithmes de Chistov et de Berkowitz amélioré, les termes en $n^{\alpha+1}\log n$ sont les mêmes pour les deux algorithmes alors que les termes en $n^{\alpha+1}$ sont respectivement estimés à $\frac{8\,\mathrm{C}_\alpha}{2^{\alpha-2}-1}\,n^{\alpha+1}$ pour Chistov et à seulement $2\frac{\mathrm{C}_\alpha}{\alpha+1}\,n^{\alpha+1}$ pour Berkowitz amélioré (le rapport du premier coefficient au second étant strictement supérieur à 16).

10.4 Applications des algorithmes à des anneaux commutatifs

Application en évaluation dynamique

Le calcul des déterminants et des polynômes caractéristiques de toutes les sous–matrices principales d'une matrice donnée trouve une application intéressante en *évaluation dynamique*.

Lorsqu'on travaille dans la clôture algébrique dynamique [28] d'un corps $\mathcal{K}$, on se trouve dans la situation standard suivante : on a des variables $x_1,\ldots,x_n$ qui représentent des éléments $\xi_1,\ldots,\xi_n$ algébriques sur $\mathcal{K}$. On sait que ces éléments vérifient un système triangulaire d'équations algébriques.

De sorte que le corps $\mathcal{K}[\xi_1,\ldots,\xi_n]$ est un quotient d'une $\mathcal{K}-$algèbre de dimension finie

$$\mathcal{A}_{P_1,\ldots,P_n} = \mathcal{K}[x_1,\ldots,x_n]\,/\langle P_1(x_1), P_2(x_1,x_2), P_n(x_1,\ldots,x_n)\rangle\ .$$

Chaque P_i est unitaire en x_i et cela donne la structure de l'algèbre de manière explicite.

Néanmoins, cette algèbre peut contenir des diviseurs de zéro, ce qui signifie que plusieurs situations différentes sont représentées par un seul calcul dans $\mathcal{A}_{P_1,\ldots,P_n}$.

Lorsqu'on pose la question « $Q(x_1,\ldots,x_n)=0$? », le programme doit calculer les coefficients sous-résultants de P_n et Q par rapport à la variable x_n (une discussion « cas par cas » s'ensuit).

Une solution est de calculer ces coefficients dans l'algèbre $\mathcal{K}[x_1,\ldots,x_{n-1}]$ en utilisant l'algorithme des sous-résultants [41, 67, 68] qui nécessite des divisions exactes et se situe naturellement dans le cadre d'un anneau intègre, puis de les réduire modulo l'idéal $\langle P_1,\ldots,P_{n-1}\rangle$.

Dès qu'on a trois x_i le calcul s'avère très lourd. Une étude de complexité montre qu'on a un bien meilleur contrôle de la taille des objets manipulés si on fait tous les calculs dans l'algèbre $\mathcal{A}_{P_1,\ldots,P_{n-1}}$.

Malheureusement l'algorithme des sous-résultants ne peut plus s'appliquer. En effet, des divisions requises par l'algorithme peuvent s'avérer impossibles, et même si l'algèbre est un corps, la division peut demander un effort disproportionné par rapport aux multiplications.

Aussi semble-t-il que l'algorithme de Berkowitz (ou celui de Chistov), appliqué à la matrice de Sylvester des polynômes P_n et Q offre la meilleure solution (en l'état de l'art actuel) pour calculer ces coefficients sous-résultants.

Il faut noter à cet égard que l'algorithme de Le Verrier-Fadeev-Csanky etc. (en caractéristique nulle) ou celui proposé par Kaltofen (cf. section 8.5) en caractéristique arbitraire n'ont des performances supérieures à l'algorithme de Berkowitz que pour le calcul d'un déterminant isolé, mais non pour le calcul de tous les mineurs principaux dominants d'une matrice donnée.

Signalons aussi que dans le cas où on utilise l'évaluation dynamique pour la clôture réelle d'un corps ordonné, certaines discussions « cas par cas » font appel aux signes de tous les coefficients sous-résultants (cf. [42]).

Une autre application de l'algorithme du calcul du polynôme caractéristique en évaluation dynamique est la détermination de la signature d'une forme quadratique donnée par une matrice symétrique arbitraire S. Dans ce cas, la seule connaissance des signes des mineurs principaux dominants de la matrice S ne suffit pas toujours pour certifier le rang

et la signature[4]. On pourra consulter à ce sujet le livre [Gan]. Mais il n'est pas difficile de voir que la connaissance des signes des coefficients du polynôme caractéristique de la matrice S permet de calculer et de certifier le rang de S et la signature de la forme quadratique qui lui est associée.

Cas des matrices creuses

Signalons pour terminer que l'algorithme de Berkowitz et celui de Chistov sont particulièrement bien adaptés au cas des matrices creuses, notamment en version séquentielle élémentaire où le nombre d'opérations passe de $\mathcal{O}(n^4)$ à $\mathcal{O}(n^3)$ lorsque seulement $\mathcal{O}(n)$ coefficients de la matrice sont non nuls.

Parmi les autres algorithmes étudiés, celui de Kaltofen-Wiedemann peut également être adapté au cas des matrices creuses, avec une diminution similaire du nombre d'opérations arithmétiques.

4. Cela suffit dans le cas d'une matrice fortement régulière.

11. Résultats expérimentaux

11.1 Tableaux récapitulatifs des complexités

Dans cette section, nous donnons les tableaux récapitulatifs des complexités arithmétiques théoriques pour les différents algorithmes étudiés.

Y figure notamment le tableau des complexités algébriques des algorithmes en version séquentielle élémentaire (c'est-à-dire n'utilisant que la multiplication usuelle des matrices, des polynômes et des entiers) que nous avons expérimentés.

Abbréviations utilisées

Le mot Cte signifie « constante asymptotique » (pour les estimations de taille des circuits), et Val. signifie « Domaine de validité » :

- A.C.A. signifie « anneau commutatif arbitraire »,
- A.I.A.D. signifie « anneau intègre possédant un algorithme pour les divisions exactes »,
- A.I.C. signifie « anneau intègre et intégralement clos possédant un algorithme pour les divisions exactes »,
- D. $n!$ signifie « la division par $n!$ quand elle est possible, est unique et explicite ».
- Prob. signifie « algorithme de nature probabiliste », il s'agit de l'algorithme de Wiedemann, qui fonctionne sur les corps, avec des variantes possibles dans le cas A.I.A.D.

Les sigles M.R.P. et M.U.P. désignent respectivement la multiplication rapide et la multiplication usuelle des polynômes.

Rappelons que nous notons $\mu_P(n)$ le nombre d'opérations arithmétiques dans la multiplication de deux polynômes de degré n en profondeur $\mathcal{O}(\log n)$. En M.U.P. $\mu_P(n) = \mathcal{O}(n^2)$, avec la méthode de Karat-

suba $\mu_P(n) = \mathcal{O}(n^{\log 3})$, et en M.R.P. $\mu_P(n) = \mathcal{O}(n \log n \log\log n)$ ou $\mathcal{O}(n \log n)$ selon les anneaux.

Les initiales G et JB désignent les algorithmes de Gauss (sur un corps) et de Jordan-Bareiss (sur un anneau intègre possédant un algorithme pour les divisions exactes) pour le calcul des déterminants. Rappelons que l'algorithme de Jordan-Bareiss, qui consomme un peu plus d'opérations arithmétiques, présente des avantages significatifs par rapport à l'algorithme du pivot de Gauss, dans le nombreux anneaux commutatifs (comme par exemple les anneaux de polynômes à coefficients entiers).

A : Calcul des Déterminants

Méthodes séquentielles simples

Algorithme	Taille	Cte	Val.	Date
Gauss	$\mathcal{O}(n^3)$	2/3	Corps	< 1900
Jordan-Bareiss	$\mathcal{O}(n^3)$	4/3	A.I.A.D.	< 1900
Gauss avec élimination des divisions	$\mathcal{O}(n^5)$	1/3	A.C.A.	1973
Jordan-Bareiss modifié	$\mathcal{O}(n^5)$	1/10	A.C.A.	1982

Méthodes rapides en profondeur $\mathcal{O}(n)$

Bunch&Hopcroft	$\mathcal{O}(n^\alpha)$	γ_α(*)	Corps	1974

(*) Voir théorème 8.1 et proposition 8.2.1.

Dans le premier tableau ci-après nous avons rajouté la colonne Cr. pour le traitement des matrices creuses : si une matrice $C \in \mathcal{A}^{n\times n}$ a environ $k \cdot n$ coefficients non nuls, certains algorithmes sont accélérés et leur temps d'exécution séquentiel divisé par n/k. Nous avons indiqué cette possibilité d'accélération par un « oui » dans la colonne Cr.

B : Calcul du Polynôme Caractéristique

Versions séquentielles simples

Algorithme	Taille	Cte	Val.	Cr.
Wiedemann	$\mathcal{O}(n^3)$	2	Prob.	oui
Hessenberg	$\mathcal{O}(n^3)$	2	Corps	
Frobenius	$\mathcal{O}(n^3)$	10/3	A.I.C.	
Preparata & Sarwate	$\mathcal{O}(n^{3,5})$	2	D. $n!$	
Berkowitz	$\mathcal{O}(n^4)$	1/2	A.C.A.	oui
Chistov	$\mathcal{O}(n^4)$	2/3	A.C.A.	oui
Faddeev-Souriau-Frame (Le Verrier)	$\mathcal{O}(n^4)$	2	D. $n!$	oui
Interpolation (Lagrange)	$\mathcal{O}(n^4)$	2/3 (G) 4/3 (JB)	Corps A.I.A.D.	
Kaltofen-Wiedemann	$\mathcal{O}(n^4)$	8	A.C.A.	oui
Jordan-Bareiss modifié	$\mathcal{O}(n^5)$	1/10	A.C.A.	
Gauss avec élimination des divisions	$\mathcal{O}(n^5)$	1/3	A.C.A.	

Taille avec multiplication rapide des polynômes

Kaltofen-Wiedemann	$\mathcal{O}(n^3\mu_P(\lceil\sqrt{n}\rceil)\log n)$
Jordan-Bareiss modifié	$\mathcal{O}(n^3\mu_P(n))$
Gauss avec élimination des divisions	$\mathcal{O}(n^3\mu_P(n))$

C : Calcul du Polynôme Caractéristique

Méthodes séquentielles rapides

Algorithme	Taille	Cte	Val.
Keller-Gehrig	$\mathcal{O}(n^{\alpha} \log n)$	$\cdots$	Corps
Interpolation (de Lagrange)	$\mathcal{O}(n^{\alpha+1})$	γ_α	Corps
Faddeev-Souriau-Frame	$\mathcal{O}(n^{\alpha+1})$	C_α	D. $n!$
Kaltofen-Wiedemann	$\mathcal{O}(n^{\frac{\alpha+3}{2}} \mu_P(\lceil \sqrt{n} \rceil))$	$\cdots$	A.C.A.

D : Calcul du Polynôme Caractéristique

Méthodes parallèles en profondeur $\mathcal{O}(\log^2 n)$

Algorithme	Taille	Cte	K	Val.
Csanky 1976	$\mathcal{O}(n^{\alpha+1})$	$4\,\mathrm{C}_\alpha$	K_α	D. $n!$
Preparata & Sarwate 1978	$\mathcal{O}(n^{\alpha+\frac{1}{2}})$	$4\,\mathrm{C}_\alpha$	$5\,\mathrm{K}_\alpha$	D. $n!$
Galil & Pan 1989	$\mathcal{O}(n^{\alpha+\frac{1}{2}-\delta(\alpha)})$	$\cdots$	$\cdots$	D. $n!$
B.H.G. (†) 1982	$\mathcal{O}(n^{18+\epsilon})$ (*) $\mathcal{O}(n^{21})$ (**)	$\cdots$	$\cdots$	A.C.A.
Berkowitz 1984	$\mathcal{O}(n^{\alpha+1+\epsilon})$	$\cdots$	$\cdots$	A.C.A.
Chistov 1985	$\mathcal{O}(n^{\alpha+1} \log n)$	$\frac{1}{\alpha+1}\,\mathrm{C}_\alpha$	$\frac{3}{2}\,(\mathrm{K}_\alpha + 1)$	A.C.A.
Berkowitz amélioré 1985	$\mathcal{O}(n^{\alpha+1} \log n)$	$\frac{1}{\alpha+1}\,\mathrm{C}_\alpha$	$3\,\mathrm{K}_\alpha$	A.C.A.

(†) Borodin, Hopcroft & v. z. Gathen. (*) M.R.P. (**) M.U.P.
La colonne K donne la constante asymptotique du temps parallèle en $\mathcal{O}(\log^2 n)$. Le nombre $\delta(\alpha) > 0$ dépend de α. Enfin ϵ est positif arbitrairement petit.

11.2 Présentation des tests

Les algorithmes considérés dans les tableaux de comparaison que nous présentons ci-dessous ont été expérimentés à l'aide du logiciel de Calcul Formel MAPLE et écrits dans le langage de programmation qui lui est rattaché [1].

Les algorithmes sont ceux du tableau B, c'est-à-dire les versions séquentielles simples pour le calcul du polynôme caractéristique. Nous avons indiqué également dans la colonne « linalpoly » les performances de l'algorithme donné par MAPLE dans la version V. Les versions plus récentes du logiciel utilisent désormais l'algorithme de Berkowitz.

Chacun des tests de comparaison entre les différents algorithmes a été effectué sur une même machine, avec le même échantillon de matrices.

Les matrices utilisées font partie de l'un des groupes suivants, selon le type de l'anneau de base choisi :

• **Groupe 1 :** les matrices $randmatrix(n, n)$ qui sont des matrices carrées d'ordre n à coefficients pris au hasard (entre -99 et +99) dans l'anneau $\mathbb{Z}$ des entiers relatifs ;

• **Groupe 2 :** les matrices $Mathard(n, x, y)$ dont les éléments sont des polynômes en $[x, y]$ de degré total ≤ 5. Les coefficients de ces polynômes de $\mathbb{Z}[x, y]$ sont aussi des entiers compris entre -99 et +99 ;

• **Groupe 3 :** les matrices $Matmod(n, lisvar, Ideal, p)$ qui sont des matrices carrées d'ordre n dont les coefficients sont des éléments choisis au hasard dans l'anneau-quotient

$$\mathbb{Z}_p[lisvar] \,/\langle Ideal\rangle$$

où p est un entier positif (on le prendra premier), $lisvar$ une liste donnée de variables et $Ideal$ une liste donnée de polynômes en $lisvar$ à coefficients dans $\mathbb{Z}$. L'anneau de base est donc ici, sauf exception, un anneau dans lequel la division n'est pas permise.

• **Groupe 4 :** les matrices $Jou(n, x)$, carrées d'ordre n, à coefficients dans $\mathbb{Z}[x]$, dont les coefficients sont donnés par :

$$[Jou]_{ij} = x + x^2(x - ij)^2 + (x^2 + j)(x + i)^2 \qquad \text{pour} \qquad 1 \leq i, j \leq \ n\,.$$

Quelle que soit la valeur de n, le rang de la matrice $Jou(n, x)$ ne dépasse pas 3 : c'est ce qui explique la supériorité, dans ce cas, des algorithmes

1. Les programmes ont tourné avec la version Maple V Release 3.

de Souriau-Faddeev et de Jordan-Bareiss (nettement plus performants pour les matrices de rang petit).

• **Groupe 5 :** ce sont des matrices creuses à coefficients entiers choisis au hasard entre -99 et +99. Elles sont données par la procédure MAPLE **randmatrix(n,n,sparse)** .

Quant aux machines utilisées, il s'agit essentiellement d'un DEC Alpha-600 à 175 Mhz et 320 Mo de mémoire centrale. [2]

Les matrices intervenant dans les comparaisons sont générées par des codes MAPLE : une procédure Matmod par exemple crée une matrice du Groupe 3 à partir de la donnée de deux entiers positifs n (la taille de la matrice) et p (on calcule modulo p), d'une liste de variables $lisvar$, et d'une liste $Ideal$ de polynômes en $lisvar$ comprenant autant de polynômes P_i que de variables x_i, chacun des P_i étant un polynôme en $[x_1, \ldots, x_i]$, unitaire en x_i. Ceci afin d'illustrer le genre d'application de l'algorithme de Berkowitz lorsqu'on se place dans l'algèbre $\mathbb{Z}_p[lisvar] / \langle Ideal \rangle$, et la situation indiquée dans la section 10.4.

La procédure Matmod utilise comme sous-procédure la procédure polmod (donnée dans l'annexe) qui prend en entrée un nombre entier p, un polynôme P de $\mathbb{Z}[lisvar]$, et donne en sortie un représentant simple de l'image canonique de P dans l'anneau-quotient $\mathbb{Z}_p[lisvar] / \langle Ideal \rangle$.

11.3 Tableaux de Comparaison

Nous donnons dans les trois pages qui suivent les tableaux correspondant aux cinq groupes de matrices que nous avons précédemment indiqués.

Il ne s'agit que de quelques exemples, mais ils sont significatifs.

La comparaison entre le comportement pratique des algorithmes montre un bon accord avec les calculs théoriques de complexité, surtout si on prend en compte la taille des objets intermédiaires créés par les différents algorithmes. Sauf exception l'algorithme de Berkowitz est le plus performant, suivi de près par celui de Chistov.

Les performances a priori meilleures pour les algorithmes de Hessenberg, Frobenius et Wiedemann ne se révèlent qu'avec des tests portant sur des matrices à coefficients dans des corps finis. En effet l'avantage en nombre d'opérations arithmétiques est contrebalancé par la plus mau-

2. Grâce notamment à l'hospitalité du Laboratoire GAGE (Ecole Polytechnique).

vaise taille des objets intermédiaires manipulés, par exemple dès que l'anneau des coefficients contient $\mathbb{Z}$. Il aurait fallu créer un autre groupe de matrices pour mettre en évidence cet avantage.

Il serait également intéressant d'élargir l'expérimentation en implémentant la version séquentielle simple de l'algorithme de Preparata & Sarwate.

Dans le groupe 1 nous avons pris des matrices carrées d'ordre n à coefficients dans $\mathbb{Z}$ pour 10 valeurs de n comprises entre 16 et 128.

Dans le groupe 2, ce sont des matrices carrées d'ordre n à coefficients dans $\mathbb{Z}[x,y]$ pour $n \in \{10, 12, 20\}$ et des matrices à coefficients dans $\mathbb{Z}[x]$ pour $n \in \{10, 15, 20, 25\}$.

Parmi les matrices du groupe 3, nous avons pris des matrices carrées d'ordre $n \in \{8, 10, 12, 16\}$ à coefficients dans $\mathbb{Z}_7[x] \big/ \langle x^3 - 1 \rangle$ (pour lesquelles Faddeev ne s'applique pas) et des matrices à coefficients dans $\mathbb{Z}_{17}[x,y] \big/ \langle H, L \rangle$ (pour lesquelles Faddeev s'applique).
Ici $\langle H, L \rangle$ est l'idéal engendré par les deux polynômes $H = x^5 - 5xy + 1$ et $L = y^3 - 2y + 1$.

Dans le groupe 4, ce sont des matrices carrées d'ordre $n \in \{10, 15, 20, 25\}$ à coefficients dans $\mathbb{Z}[x]$, mais de rang petit ≤ 3.

Enfin les matrices du groupe 5 (des matrices creuses à coefficients entiers choisis au hasard entre -99 et +99) ont été prises parmi les matrices **randmatrix**(n,n,**sparse**) telles que $n \in \{32, 50, 64, 128, 200\}$.

Premier Groupe : Matrices denses $n \times n$

(Matrices à coefficients entiers)

matrice		linalpoly †	berkosam	Chistov	Faddeev	barmodif ‡	Hessenberg
$n = 16$	CPU Time	0' 05"	0' 02 "	0' 05"	0' 12"	0' 09"	0' 03"
	Mem. All.	1, 244 Mb	3, 014 Mb	2, 003 Mb	1, 376 Mb	1, 244 Mb	1, 969 Mb
$n = 20$	CPU Time	0' 16"	0' 04"	0' 07"	0' 28"	0' 24"	0' 20"
	Mem. All.	1, 834 Mb	3, 538 Mb	1, 834 Mb	2, 096 Mb	2, 031 Mb	5, 254 Mb
$n = 25$	CPU Time	0' 40"	0' 17"	0' 17"	1' 07"	1' 04"	1' 28"
	Mem. All.	1, 900 Mb	1, 900 Mb	1, 900 Mb	2, 489 Mb	1, 834 Mb	14, 468 Mb
$n = 32$	CPU Time	2' 09"	0' 30"	0' 44 "	3' 16"	3' 25"	$\approx$ 2H
	Mem. All.	1, 507 Mb	1, 965 Mb	1, 965 Mb	3, 014 Mb	2, 817 Mb	OUT*
$n = 40$	CPU Time	6' 08"	1' 13"	1' 48"	17' 58"	11' 28"	–
	Mem. All.	2, 096 Mb	4, 062 Mb	2, 031 Mb	5, 241 Mb	5, 307 Mb	–
$n = 50$	CPU Time	19' 42"	3' 04"	4' 37"	2H 38' 50"	42' 38"	–
	Mem. All.	2, 424 Mb	4, 193 Mb	2, 096 Mb	9, 500 Mb	8, 124 Mb	–
$n = 64$	CPU Time	1H 17' 17"	8' 47"	13' 23"	13H 15' 45"	3h 54' 46"	–
	Mem. All.	1, 900 Mb	4, 324 Mb	2, 162 Mb	18, 870 Mb	14, 284 Mb	–
$n = 128$	CPU Time	71H 33' 31"	8H 17' 38"	11H 22' 53"	$\approx$ 170H	$\approx$ 7H	–
	Mem. All.	–	6, 552 Mb	6, 814 Mb	OUT*	OUT*	–

† La procédure Maple linalg[charpoly].

‡ La procédure correspondant à la Méthode de Jordan-Bareiss modifiée.

* OUT signifie qu'après un temps (« CPU Time ») plus ou moins long de calcul, un message d'erreur « Out of memory » apparaît lorsque la mémoire allouée (« Mem. All. ») a dépassé le seuil de 350 Mbytes.

Deuxième Groupe : Mathard(n, x, y)

matrice		linalpoly	berkosam	Chistov	Faddeev	barmodif
$n = 10$	CPU Time	48' 35"	4' 04"	13' 17"	53' 31"	$\approx$ 17'
	Mem. All.	44, 359 Mb	8, 059 Mb	10, 352 Mb	47, 898 Mb	OUT
$n = 12$	CPU Time	$\approx$ 1H 25'	15' 30"	54' 18"	$\approx$ 1H 10'	–
	Mem. All.	OUT	13, 891 Mb	13, 563 Mb	OUT	–
$n = 15$	CPU Time	–	1H 23' 24"	5H 28' 28"	–	–
	Mem. All.	–	30, 403 Mb	26, 733 Mb	–	–
$n = 10$ & $y = 1$	CPU Time	0' 47"	0' 05"	0' 10"	0' 27"	1' 13"
	Mem. All.	4, 062 Mb	2, 031 Mb	2, 227 Mb	3, 276 Mb	2, 162 Mb
$n = 15$ & $y = 1$	CPU Time	$\approx$ 2H 10'	0' 42"	1' 33"	5' 33"	22' 06"
	Mem. All.	OUT	3, 341 Mb	3, 603 Mb	14, 480 Mb	3, 800 Mb
$n = 20$ & $y = 1$	CPU Time	–	3' 26"	7' 14"	44' 30"	3H 24' 47"
	Mem. All.	–	5, 110 Mb	4, 979 Mb	47, 111 Mb	5, 831 Mb
$n = 25$ & $y = 1$	CPU Time	–	11' 56"	24' 52"	$\approx$ 1H 10'	23H 54' 55"
	Mem. All.	–	8, 583 Mb	10, 025 Mb	OUT	9, 107 Mb

Troisième Groupe : Matmod$(n, lisvar, Ideal, p)$

Pour $lisvar = [x]$, $Ideal = [x^3 - 1]$ et $p = 7$:

matrice		linalpoly	berkomod	Chistov	Faddeev	barmodif
$n = 10$	CPU Time	0' 14"	0' 02"	0' 04"	*	0' 43"
	Mem. All.	2, 162 Mb	1, 703 Mb	1, 769 Mb		1, 900 Mb
$n = 12$	CPU Time	2' 03"	0' 04"	0' 07"	*	1' 52"
	Mem. All.	8, 059 Mb	1, 769 Mb	1, 769 Mb		2, 031 Mb
$n = 16$	CPU Time	≈ 1H 30'	0' 12"	0' 19"	*	8' 31"
	Mem. All.	OUT	1, 834 Mb	1, 900 Mb		2, 424 Mb

Pour $lisvar = [x, y]$; $Ideal = [H, L]^{\dagger}$; et $p = 17$:

matrice		linalpoly	berkomod	Chistov	Faddeev	barmodif
$n = 10$	CPU Time	38' 13"	0' 28"	0' 50"	1' 25"	1H 06' 01"
	Mem. All.	37, 872 Mb	2, 162 Mb	3, 014 Mb	1, 638 Mb	9, 369 Mb
$n = 12$	CPU Time	≈ 2H	0' 50"	1' 33"	2' 43"	5H 59' 23"
	Mem. All.	OUT	2, 293 Mb	3, 996 Mb	2, 096 Mb	14, 087 Mb
$n = 16$	CPU Time	–	2' 11"	4' 25"	8' 03"	≈ 84H 40'
	Mem. All.	–	2, 424 Mb	7, 142 Mb	3, 276 Mb	OUT

† on a : $H = x^5 - 5xy + 1$ et $L = y^3 - 3y + 1$.
* signifie que Faddeev n'est pas applicable dans ce cas (puisque $p < n$).

Quatrième Groupe : Jou(n, x) †

(Matrices de rang petit)

matrice		linalpoly	berkosam	Chistov	Faddeev	barmodif
$n = 10$	CPU Time	0' 09"	0' 07"	0' 14"	0' 05"	0' 06"
	Mem. All.	1, 310 Mb	2, 489 Mb	2, 555 Mb	1, 244 Mb	1, 310 Mb
$n = 15$	CPU Time	5' 10"	1' 00"	2' 08"	0' 17"	0' 24"
	Mem. All.	5, 677 Mb	3, 603 Mb	3, 669 Mb	1, 376 Mb	1, 703 Mb
$n = 20$	CPU Time	$\approx$ 3H 30'	5' 09"	10' 55"	0' 43"	1' 07"
	Mem. All.	OUT	5, 700 Mb	5, 176 Mb	1, 834 Mb	2, 293 Mb
$n = 25$	CPU Time	$\approx$ 3H 30'	19' 01"	44' 21"	1' 39"	2' 32"
	Mem. All.	OUT	8, 714 Mb	9, 238 Mb	2, 620 Mb	2, 948 Mb

† Jou(n, x) est une matrice $n \times n$ dont les coefficients $J_{ij}(x) \in \mathbf{Z}[x]$ sont donnés par la formule :
$J_{ij}(x) = x^2(x - ij)^2 + (x^2 + j)(x + i)^2 + x$ pour $1 \leq i, j \leq n$.
Son rang est ≤ 3 pour tout x et pour tout entier positif n. On remarque la supériorité des algorithmes de Faddeev et de Jordan-Bareiss modifié dans ce cas exceptionnel.

Cinquième Groupe : Matrices creuses $n \times n$
(Matrices à coefficients entiers)

matrice		linalpoly	berkosam (creux)	Chistov (creux)
$n = 32$	CPU Time	0' 59"	0' 05"	0' 35"
	Mem. All.	2, 424 Mb	1, 834 Mb	1, 769 Mb
$n = 50$	CPU Time	5' 32"	0' 21"	3' 55"
	Mem. All.	2, 555 Mb	1, 965 Mb	1, 834 Mb
$n = 64$	CPU Time	14' 46"	0' 42"	12' 00"
	Mem. All.	2, 620 Mb	2, 031 Mb	2, 031 Mb
$n = 128$	CPU Time	4H 29' 43"	6' 27"	6H 27' 19"
	Mem. All.	9, 173 Mb	2, 489 Mb	3, 603 Mb
$n = 200$	CPU Time	$>$ 16 heures :	29' 20"	Calcul stoppé
	Mem. All.	Calcul stoppé	2, 555 Mb	Calcul stoppé

12. Le déterminant et les expressions arithmétiques

Introduction

Ce chapitre et le suivant donnent quelques aperçus sur le travail de Valiant (notamment [92, 93, 94]) dans lequel il décrit un analogue algébrique de la conjecture $\mathcal{P} \neq \mathcal{NP}$. Notre exposé doit beaucoup au survey de von zur Gathen [35] et au livre de Bürgisser [Bur]. Une autre référence classique est le livre de Bürgisser, Clausen et Shokrollahi [BCS].

Dans la section 12.1 nous discutons différents codages possibles pour un polynôme sur un anneau. La section 12.2 est consacrée pour l'essentiel à la méthode de Brent pour la parallélisation des expressions arithmétiques. Dans la section 12.3 nous montrons pourquoi la plupart des polynômes sont difficiles à calculer. Enfin la section 12.4 expose le résultat de Valiant sur le caractère universel du déterminant.

12.1 Expressions, circuits et descriptions

Nous nous intéressons dans cette section à différentes approches concernant le codage d'un polynôme arbitraire sur un anneau commutatif $\mathcal{A}$ (le codage des éléments de $\mathcal{A}$ est supposé fixé).

Une première manière de coder un polynôme est de donner son degré total, les noms de ses variables et la liste de ses coefficients, dans un ordre convenu. C'est ce que nous avons appelé la *représentation dense* des polynômes. Il est raisonnable de penser que pour l'immense majorité des polynômes il n'y a rien de mieux à faire, et nous donnerons un résultat dans cette direction (voir le théorème 12.2).

Certains polynômes très utilisés ont relativement peu de coefficients non nuls. On peut choisir pour leur codage une *représentation creuse*, dans laquelle on donne la liste des couples (coefficient non nul, monôme) effectivement présents dans le polynôme, chaque monôme étant codé lui-même par la liste des exposants de chaque variable, écrits en binaire. Par exemple le polynôme $\alpha X^{64}Y + \beta XY^{33}Z^4$ sera codé par $[[a, [1000000, 1, 0]], [b, [1, 100001, 100]]]$, où a et b désignent des codes pour α et β.

La *taille booléenne* d'une représentation creuse ou dense est la longueur du mot qui code le polynôme. La taille peut également être appréciée d'un point de vue purement algébrique, auquel cas chaque constante et chaque variable a conventionnellement la longueur 1. Le point faible de la représentation creuse est que le produit d'un petit nombre de polynômes creux est un polynôme dense comme le montre l'exemple classique suivant :

$$(1+X)\times(1+X^2)\times(1+X^4)\times\cdots\times(1+X^{2^n}) = \sum_{k=0}^{2^{n+1}-1} X^k \quad (12.1)$$

Un autre codage naturel est l'utilisation des *expressions arithmétiques*. Une expression arithmétique est un mot bien formé qui utilise comme ingrédients de base les éléments de $\mathcal{A}$ et les symboles de variables d'une part, les symboles $+$, $\times$ d'autre part, et enfin les parenthèses ouvrante et fermante. D'un point de vue un peu plus abstrait, une expression est vue comme *un arbre étiqueté*. Aux feuilles de l'arbre, il y a des éléments de $\mathcal{A}$ (les constantes) et des symboles de variables, chaque nœud est étiqueté par $+$ ou $\times$. En outre deux branches partent exactement de chaque nœud. La racine de l'arbre représente l'expression arithmétique.

La *taille d'une expression* peut être appréciée d'un point de vue purement algébrique, on prend alors le nombre de nœuds dans l'arbre, sans compter les feuilles (la taille est alors égale au nombre de feuilles moins 1). Si on adopte un point de vue proprement informatique, il faut prendre en compte pour la *taille booléenne* la longueur de l'écriture explicite de l'expression dans un langage précis, où les constantes et les variables ont des codes. Même si on ne travaille qu'avec un nombre fini de constantes, la taille booléenne de l'expression ne peut être considérée comme simplement proportionnelle à sa taille algébrique, ceci parce que l'ensemble des variables n'est pas borné a priori.

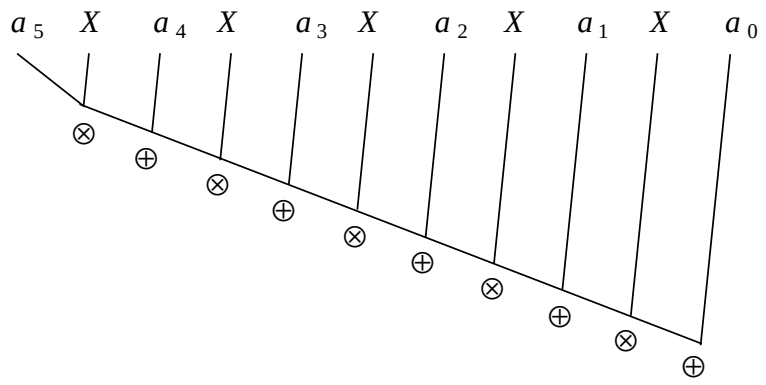

Figure 12.1 – L'arbre de l'expression de Horner

La représentation dense peut naturellement être vue comme une représentation par expressions dans laquelle seules sont autorisées des écritures canoniques. Le nombre de coefficients d'un polynôme de degré d en n variables est égal à $\binom{d+n}{n}$. La représentation par expression arithmétique permet d'exprimer certains polynômes (une petite minorité, mais ce sont les polynômes les plus utilisés) sous forme plus compacte, et plus efficace en ce qui concerne leur évaluation. Donnons en trois exemples.

Le premier est celui de la représentation à la Horner d'un polynôme en une variable. Dans les deux écritures ci-dessous

$$\left\{ \begin{array}{l} a_5X^5 + \cdots + a_1X + a_0 = \\ \qquad\qquad a_0 + X\,(a_1 + X\,(a_2 + X\,(a_3 + X\,(a_4 + X\,a_5)))) \end{array} \right. \tag{12.2}$$

l'expression dense réclame pour son évaluation 15 multiplications et l'expression de Horner (dans le second membre) en réclame seulement 5. En degré d on obtient respectivement $\binom{d+1}{2} + d$ et $2d$ opérations arithmétiques respectivement pour l'expression développée et l'expression de Horner.

Le deuxième exemple est celui d'un produit itéré. L'expression ci-dessous, qui est de taille $2n - 1$

$$(X_1 + Y_1) \times (X_2 + Y_2) \times \cdots \times (X_n + Y_n) \tag{12.3}$$

s'écrit comme une somme de 2^n monômes, et a une taille de l'ordre de $n\,2^n$ en représentation creuse (et plus grande encore en représentation dense).

Le troisième exemple, sur lequel nous reviendrons plus en détail est celui du déterminant d'une matrice carrée dont les entrées sont n^2 variables indépendantes. On ne sait pas si cette famille de polynômes peut être ou non représentée par une famille d'expressions *de taille polynomiale*, c'est-à-dire dont la taille serait majorée par un $C\,n^k \leq C\,2^{k\,\log n}$ (avec C et k fixés). On conjecture que c'est faux. Par contre nous verrons que le déterminant peut être représenté par une expression *de taille quasi-polynomiale*, c'est-à-dire majorée par un $C\,2^{(\log n)^k}$ (avec C et k fixés). Il est clair qu'en représentation dense comme en représentation creuse, le déterminant a une taille $\geq n! \geq 2^n$ (pour $n \geq 5$) donc asymptotiquement beaucoup plus grande que $C\,2^{(\log n)^k}$.

Notez par contre que la famille de polynômes de l'exemple (12.1) occupe une taille exponentielle en représentation par expressions arithmétiques, à cause du X^{2^n} : le degré d'un polynôme ne peut pas être plus grand que la taille d'une expression arithmétique qui l'exprime.

Un troisième codage naturel est celui que nous avons retenu pour l'ensemble de cet ouvrage, le codage par les programmes d'évaluation arithmétiques ou, ce qui revient au même, par les circuits arithmétiques.

Une expression arithmétique peut être vue comme un cas particulier de circuit arithmétique. Sa taille en tant qu'expression arithmétique est la même que celle du circuit arithmétique qui lui correspond, c'est-à-dire est égale au nombre d'opérations arithmétiques lors de l'exécution du circuit. La représentation creuse peut également être simulée efficacement par un circuit.

Pour un circuit, les paramètres pertinents sont à la fois la taille et la profondeur. Un polynôme calculé par un circuit arithmétique de profondeur p a un degré majoré par 2^p et on est particulièrement intéressé par les familles de polynômes (P_n) qui peuvent être évalués par des familles de circuits dont la profondeur est un $\mathcal{O}(\log(\deg(P_n)))$. Il semble cependant très improbable que le déterminant (comme polynôme de degré n à n^2 variables), qui est dans la classe $\mathcal{SD}(n^4, \log^2 n)$ puisse être réalisé dans une classe $\mathcal{SD}(n^k, \log n)$ (pour un entier k).

Convention 12.1.1 *Dans les chapitres 12 et 13 les circuits et les expressions arithmétiques que nous considérerons seront toujours* sans division et sans soustraction. *Rappelons que l'élimination des divisions à la Strassen montre qu'il ne s'agit pas d'une restriction importante (surtout dans le cas des corps, voir théorèmes 3.1 et 3.2). La soustraction, quant à elle, est simulée en deux opérations par* $x - y = x + (-1) \times y$.

Un dernier codage naturel que nous envisagerons est celui dans lequel un polynôme $P(x_1, \ldots, x_k)$ est obtenu sous la forme

$$P(x_1, \ldots, x_k) \;=\; \sum_{e_1,\ldots,e_\ell \in \{0,1\}} R(x_1, \ldots, x_k, e_1, \ldots, e_\ell) \tag{12.4}$$

le polynôme R étant lui-même donné par un circuit ou une expression arithmétique. Ceci peut sembler a priori artificiel, mais nous verrons dans le chapitre 13 que cette écriture condensée des polynômes est en rapport assez étroit avec la conjecture $\mathcal{P} \neq \mathcal{NP}$.

Nous donnons maintenant quelques définitions qui résultent de la discussion précédente.

Définition 12.1.2 *Soit (P_n) une famille de polynômes (indexée par $n \in \mathbb{N}$ ou $\mathbb{N}^\ell$) à coefficients dans un anneau commutatif $\mathcal{A}$. Notons v_n et d_n le nombre de variables et le degré de P_n.*

- *Nous disons que la famille (P_n) est* p-bornée *si v_n et d_n sont majorés par un polynôme en n. On dit encore qu'il s'agit d'une* p-famille de polynômes.
- *Nous disons qu'une famille (φ_n) d'expressions arithmétiques est* p-bornée *si la taille de φ_n est majorée par un polynôme en n.*
- *Nous disons que la famille (P_n) est* p-exprimable *si elle est réalisable par une famille p-bornée d'expressions arithmétiques φ_n (en particulier, (P_n) est p-bornée).*
- *Nous disons qu'une famille (γ_n) de circuits arithmétiques est* p-bornée en taille *si la taille de γ_n est majorée par un polynôme en n,* p-bornée en degrés *si les polynômes évalués à tous les noeuds de γ_n sont majorés par un polynôme en n,* p-bornée *si la famille est p-bornée en taille et en degrés.*
- *Nous disons que la famille (P_n) est* p-évaluable *(ou encore* p-calculable*) si elle est réalisable par une famille p-bornée de circuits arithmétiques (en particulier, (P_n) est p-bornée).*
- *Nous disons que la famille (P_n) est* qp-exprimable *si c'est une p-famille réalisable par une famille d'expressions arithmétiques dont la taille est quasi-polynomiale en n (c'est-à-dire majorée par un $C\,2^{(\log n)^k}$ avec C et k fixés).*
- *Nous disons que la famille (P_n) est* qp-évaluable *(ou encore* qp-calculable*) si c'est une p-famille réalisable par une famille de circuits arithmétiques dont la taille est quasi-polynomiale en n.*

– *Nous disons qu'un polynôme* R *en les variables* $x_1, \ldots, x_k$, $y_1, \ldots, y_\ell$ est une description du polynôme P *en les variables* $x_1, \ldots, x_k$ *si*

$$P(\underline{x}) \;=\; \sum\nolimits_{\underline{y} \in \{0,1\}^\ell} R(\underline{x}, \underline{y}) \tag{12.5}$$

– *Nous disons que la famille* (P_n) *est* p-descriptible *s'il existe une famille* p*-calculable de polynômes* (R_n)*, telle que chaque* R_n *est une description de* P_n*.*
– *Nous disons que la famille* (P_n) *est* p-descriptible en expressions *s'il existe une famille* p*-exprimable de polynômes* (R_n)*, telle que chaque* R_n *est une description de* P_n*.*

Il faut souligner que toutes les notions introduites ici sont *non uniformes*, c'est-à-dire qu'on ne demande pas que les familles d'expressions ou de circuits soient des familles uniformes (cf. section 4.4).

Nous utiliserons les notations suivantes pour décrire les classes (de familles de polynômes) correspondant aux définitions précédentes. Le $\mathcal{V}$ est mis pour Valiant, qui a établi la plupart des concepts et des résultats des chapitres 12 et 13.

Notation 12.1.3
– *La classe des familles de polynômes* p*-exprimables est notée* $\mathcal{VP}_e$*, celle des familles* qp*-exprimables* $\mathcal{VQP}_e$*.*
– *La classe des familles de polynômes* p*-calculables est notée* $\mathcal{VP}$*, celle des familles* qp*-calculables* $\mathcal{VQP}$*.*
– *La classe des familles de polynômes* p*-descriptibles est notée* $\mathcal{VNP}$*, celle des familles* p*-descriptibles en expressions* $\mathcal{VNP}_e$*.*
– *La classe des familles de polynômes évaluables par des familles* p*-bornées de circuits arithmétiques de profondeur* $\mathcal{O}(\log^k(n))$ *est notée* $\mathcal{VNC}^k$*. La réunion des* $\mathcal{VNC}^k$ *est notée* $\mathcal{VNC}$*.*

Ces classes sont définies relativement à un anneau commutatif fixé $\mathcal{A}$. Si on a besoin de préciser l'anneau on notera $\mathcal{VP}_e(\mathcal{A})$, $\mathcal{VP}(\mathcal{A})$, etc...La plupart des résultats sont cependant indépendants de l'anneau. Les conjectures sont énoncées en général pour des corps.

Remarque 12.1.4 Vue la proposition 3.1.6, s'il existe une famille p-bornée en taille de circuits arithmétiques qui calcule une p-famille de polynômes, alors il existe aussi une famille p-bornée de circuits arithmétiques qui calcule la même famille de polynômes. Pour la même raison nous aurions pu demander, pour définir la classe $\mathcal{VQP}$, que la famille de

circuits arithmétiques soit non seulement qp-bornée en taille mais aussi p-bornée en degrés.

12.2 Parallélisation des expressions et des circuits

Parallélisation des expressions

Des expressions comme celles de Horner, qui sont optimales quant à leur taille (i.e. pour le temps séquentiel d'évaluation), présentent un défaut de parallélisme criant. Brent a découvert que n'importe quelle expression arithmétique peut être remplacée par un circuit ou par une expression dont la profondeur est logarithmique en la taille de l'expression initiale.

Théorème 12.1 (Brent [10]) *Pour tout polynôme P la profondeur π du meilleur circuit et la taille τ de la meilleure expression sont reliés par*

$$\log(\tau+1) \leq \pi \leq \frac{2}{\log 3/2} \log(\tau+1) \tag{12.6}$$

NB : On a $\frac{2}{\log 3/2} = 3,4190\ldots$. Un calcul plus précis (théorème 21.35 dans [BCS]) donne $\pi \leq \frac{2}{\log \phi} \log(\tau)+1$ où ϕ est le nombre d'or $\frac{1+\sqrt{5}}{2}$ et $\frac{2}{\log \phi} = 2,8808\ldots$

Preuve. Dans cette preuve nous notons $t(\varphi)$ le nombre de feuilles de l'arbre correspondant à l'expression φ (c'est la taille de l'expression $+1$) et $\pi(\gamma)$ la profondeur d'un circuit ou d'une expression γ.

La première inégalité est facile. Si P est une variable ou une constante la profondeur et la taille sont nulles. Sinon lorsque P est évalué par un circuit γ on a $\gamma = \gamma_1 \circ \gamma_2$ (où $\circ$ représente $+$ ou $\times$) et si on suppose avoir déjà réécrit γ_1 et γ_2 avec des expressions φ_1 et φ_2 on obtient $t(\varphi) = t(\varphi_1)+t(\varphi_2)$ et $\pi(\gamma) = 1+\max(\pi(\gamma_1), \pi(\gamma_2))$. En fait ce calcul correspond à une procédure qui déploie le circuit en une expression de même profondeur. Or l'arbre d'une expression de profondeur p a au plus 2^p feuilles.

La deuxième inégalité est nettement plus subtile. L'idée est la suivante. Appelons $x_1, \ldots, x_m$ les variables de l'expression φ qui représente P. Nous voyons cette expression comme un arbre. Si on considère un nœud N de l'arbre, il représente une sous-expression α (voir figure 12.2 page suivante).

En remplaçant cette sous-expression (ce sous-arbre) par une nouvelle variable y (c'est-à-dire une feuille), on obtient une expression (un arbre) β qui représente un polynôme $b_0 + b_1 y$ avec $b_0, b_1 \in \mathcal{A}[x_1, \ldots, x_m]$. Les polynômes b_0 et b_1 correspondent à des arbres β_0 et β_1 qu'il est facile de construire à partir de l'arbre β.

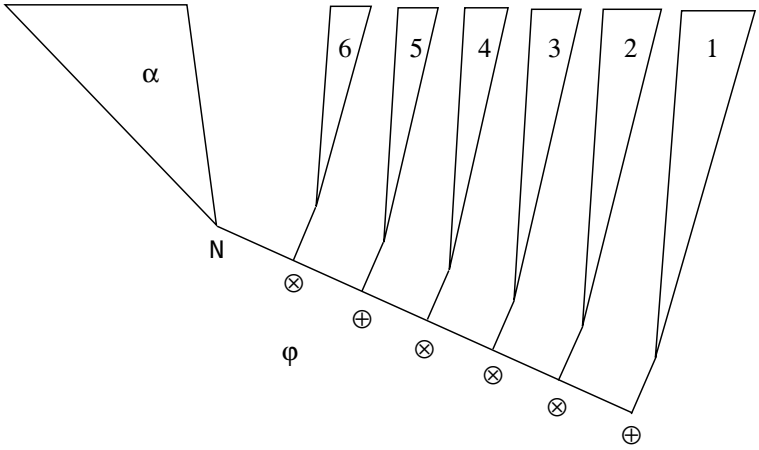

Figure 12.2 – Parallélisation d'une expression, à la Brent.

En effet (voir figure 12.3 page suivante) pour β_0 on substitue 0 à y dans β, et on simplifie. Pour β_1 on part de la racine de β on suit le chemin jusqu'à y et on supprime les nœuds étiquetés $+$, (et avec eux, la branche qui ne va pas à y).

On peut alors construire une expression dans laquelle on met d'abord en parallèle les expressions α, β_0 et β_1 et où on termine en calculant $\beta_0 + (\beta_1 \times \alpha)$.

La profondeur $\pi(\gamma)$ de cette expression γ est majorée par $2 + \max(\pi(\beta_0), \pi(\beta_1), \pi(\alpha))$.

Pour que cela soit efficace, il faut bien choisir le nœud N (de manière que les tailles des trois expressions aient baissé dans une proportion suffisante) et procéder de manière récursive, c'est-à-dire que chacune des 3 expressions est ensuite soumise de nouveau au même traitement (et ainsi de suite, cela va sans dire). Le choix du nœud N se fait comme suit. Soit $t_0 = t(\varphi)$. Si $t_0 \leq 4$ on ne fait rien. Sinon on part de la racine de l'arbre et on choisit à chaque nœud la branche la plus lourde φ_k. Si $t_k = t(\varphi_k)$ on a donc $t_{k+1} \geq t_k/2$. On s'arrête la dernière fois que $t_k > (1/3)t_0$ (on aura fait un pas de trop lorsqu'on s'apercevra que le

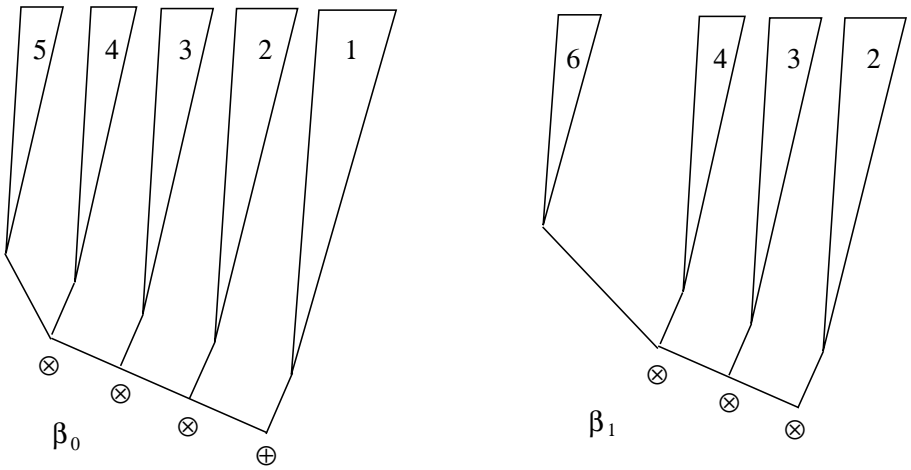

Figure 12.3 – Parallélisation d'une expression, à la Brent (β_0 et β_1).

seuil a éte franchi, et il faudra retourner un cran en arrière).

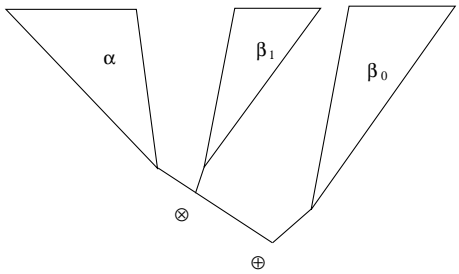

Figure 12.4 – Parallélisation d'une expression, à la Brent, $\beta_0 + \beta_1 \times \alpha$.

On a donc $t_k > (1/3)t_0 \geq t_{k+1} \geq t_k/2$, on en déduit que t_k et $t_0 - t_k$ sont tous deux $\leq (2/3)t_0$. Et on a $t(\alpha) = t_k$ et $t(\beta_0), t(\beta_1) \leq t_0 - t_k$. L'inégalité voulue est donc établie par récurrence en vérifiant qu'elle fonctionne pour les expressions de taille ≤ 3. □

Notez que les procédures décrites sont uniformes.

Remarque 12.2.1 Dans la première procédure, on transforme un circuit en une expression de même profondeur mais de taille peut-être beaucoup plus grande. La seconde procédure transforme toute expression

« mal équilibrée » de taille τ en une expression « bien équilibrée » dont la taille τ' n'a pas trop augmenté[1] et dont la profondeur est devenue logarithmique. Autrement dit la partie difficile du théorème de Brent fonctionne entièrement au niveau des expressions.

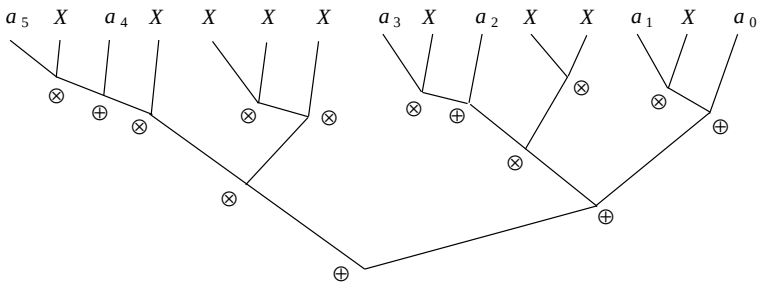

Figure 12.5 – L'arbre de Horner, parallélisé à la Brent

Du théorème de Brent, on déduit le corollaire suivant (la version uniforme serait également valable) :

Corollaire 12.2.2 *On a* $\mathcal{VP}_e = \mathcal{VNC}^1$.

On conjecture que par contre le déterminant n'est pas réalisable par une expression de taille polynomiale, et donc que $\mathcal{VP} \neq \mathcal{VP}_e$.

La partie facile du théorème de Brent et l'algorithme parallèle de Berkovitz montrent également :

Fait 12.2.3 *Le déterminant* $n \times n$ *est réalisable par une expression de taille quasi-polynomiale, en* $2^{\mathcal{O}(\log^2 n)}$.

Parallélisation des circuits arithmétiques

Rappelons maintenant le théorème 10.1 (section 10.1) de Valiant *et al.* [95] (voir aussi [47]). C'est en quelque sorte l'analogue pour les circuits arithmétiques du théorème de Brent pour les expressions arithmétiques. Il donne une procédure pour paralléliser n'importe quel circuit arithmétique à condition qu'il calcule un polynôme de degré raisonnable (le

1. Le théorème donne $(1+\tau') \leq (1+\tau)^{\frac{2}{\log(3/2)}}$. En fait, lors d'une étape de parallélisation on a $t(\beta_0 + \beta_1 \times \alpha) \leq (5/3)\, t(\varphi)$ et cela conduit plus précisément à $(1+\tau') \leq (1+\tau)^{\frac{\log(5/2)}{\log(3/2)}} \leq (1+\tau)^{2.26}$.

circuit arithmétique purement séquentiel de taille n qui calcule x^{2^n} ne peut pas être parallélisé, mais c'est à cause de son degré trop élevé).

Théorème 10.1 *Soit Γ un circuit arithmétique sans division, de taille ℓ, qui calcule un polynôme f de degré d en n variables sur un anneau $\mathcal{A}$. Alors il existe un circuit arithmétique homogène Γ' de taille $\mathcal{O}(\ell^3 d^6)$ et de profondeur $\mathcal{O}(\log(\ell\, d)\log d)$ qui calcule f.*

Ce théorème implique immédiatement que $\mathcal{VP} = \mathcal{VNC}^2$. Avec la partie facile du théorème de Brent il implique aussi qu'une famille qp-bornée de circuits arithmétiques peut être parallélisée en une famille de circuits de profondeur polylogarithmique et donc en une famille d'expressions arithmétiques de taille quasi-polynomiale. En bref :

Corollaire 12.2.4 *On a $\mathcal{VP} = \mathcal{VNC}^2 = \mathcal{VNC}$ et $\mathcal{VQP} = \mathcal{VQP}_e$.*

Remarque 12.2.5 1) Ainsi $\mathcal{VQP}$ est la classe des familles de polynômes réalisables par des circuits arithmétiques dont le nombre de variables et les degrés sont p-bornés et la profondeur est polylogarithmique (ce qui ne signifie pas pour autant qu'ils soient dans $\mathcal{VNC}$). Pour $\mathcal{VQP}_e$ cela résultait déjà du théorème de Brent.
2) On conjecture a contrario que les inclusions $\mathcal{NC}^2 \subset \mathcal{NC} \subset \mathcal{P}$ sont strictes.

12.3 La plupart des polynômes sont difficiles à évaluer

Pour établir sous forme précise ce qui est annoncé dans le titre de cette section nous avons besoin d'un résultat de théorie de l'élimination, dont la signification est intuitivement évidente. Si vous paramétrez « un objet géométrique S » dans l'espace de dimension 3 en donnant les 3 cooordonnées x, y, z comme fonctions polynomiales de deux paramètres u et v, l'objet que vous obtenez est en général une surface, exceptionnellement une courbe ou plus exceptionnellement encore un point, mais jamais l'objet géométrique ainsi créé ne remplira l'espace. Plus précisément, à partir des trois polynômes $X(u,v)$, $Y(u,v)$, $Z(u,v)$ qui paramètrent l'objet S il est possible de calculer un polynôme Q à trois variables non identiquement nul tel que $Q(X(u,v), Y(u,v), Z(u,v))$ soit identiquement nul. Autrement dit tous les points de S sont sur la surface algébrique S_1 d'équation $Q(x,y,z) = 0$. Donc, si le corps de base $\mathcal{K}$ est infini « la plupart » des points de $\mathcal{K}^3$ sont en dehors de S. Précisément,

considérons un point M en dehors de S_1 (puisque le corps est infini, il en existe sûrement), alors toute droite passant par M ne coupe S_1 qu'en un nombre fini de points, majoré par le degré de Q. Si le corps de base est celui des réels ou celui des complexes, on en déduit que le complémentaire de S_1 est un ouvert dense, ce qui donne encore une signification intuitive plus claire au terme « la plupart » utilisé dans la phrase ci-dessus.

On peut montrer l'existence du polynôme Q comme suit. Supposons les degrés de X, Y, Z majorés par d. Pour m fixé, les polynômes $X^{m_1}Y^{m_2}Z^{m_3}$ avec $m_1+m_2+m_3 \leq m$ sont au nombre de $\binom{m+3}{3}$, leur degré est majoré par dm, donc ils sont dans l'espace des polynômes de degré $\leq dm$ en 2 variables, qui est de dimension $\binom{dm+2}{2}$. Pour m assez grand, $\binom{m+3}{3} > \binom{dm+2}{2}$, d'où une relation de dépendance linéaire non triviale entre les $X^{m_1}Y^{m_2}Z^{m_3}$, ce qui donne le polynôme Q.
Nous énonçons maintenant le résultat général, qui peut se démontrer de la même manière.

Proposition 12.3.1 *Soit $\mathcal{K}$ un corps et $(P_i)_{1\leq i\leq n}$ une famille de polynômes en m variables $y_1,\ldots,y_m$ avec $m<n$. Alors il existe un polynôme non identiquement nul $Q(x_1,\ldots,x_n)$ tel que $Q(P_1,\ldots,P_n)$ est identiquement nul. En termes plus géométriques, l'image d'un espace $\mathcal{K}^m$ dans un espace $\mathcal{K}^n$ (avec $m<n$) par une application polynomiale est toujours contenue dans une hypersurface algébrique.*

La proposition précédente a la signification intuitive que, au moins en géométrie algébrique, $\infty^n > \infty^m$ lorsque $n>m$.

Nous en déduisons notre théorème, dans lequel l'expresssion « la plupart » doit être comprise au sens de la discussion qui précédait la proposition 12.3.1.

Théorème 12.2 *Soit $\mathcal{K}$ un corps infini, n et d des entiers fixés. L'ensemble des polynômes de degré $\leq d$ en n variables $x_1,\ldots,x_n$ est un espace vectoriel $E(n,d)$ sur $\mathcal{K}$ de dimension $\binom{n+d}{d}$. Soit t une constante arbitraire fixée. Notons $A(n,d,t)$ la famille de tous les circuits arithmétiques qui représentent des polynômes en $x_1,\ldots,x_n$ de degré $\leq d$, avec au plus $\binom{n+d}{d}-1$ constantes aux portes d'entrées, et dont la taille est majorée par t. Alors « la plupart » des éléments de $E(n,d)$ ne sont pas représentés par un circuit arithmétique dans $A(n,d,t)$.*
En particulier, pour la plupart des $P\in E(n,d)$ la taille τ du meilleur circuit admet la minoration $\tau \geq \binom{n+d}{d}$.

Preuve. Chaque circuit dans $A(n,d,t)$ peut être interprété comme calculant un polynôme $P(c_1,\ldots,c_s;x_1,\ldots,x_n)$ dans lequel les c_i sont les constantes du circuit. Le polynôme P en $s+n$ variables correspondant fournit (lorsqu'on fait varier les constantes) une application de $\mathcal{K}^s$ vers $E(n,d)$ et chaque coordonnée de cette application est une fonction polynomiale. Le fait de majorer la taille du circuit par t implique que les polynômes correspondants (en $s+n$ variables) sont en nombre fini. Finalement les éléments de $E(n,d)$ représentés par un circuit arithmétique dans $A(n,d,t)$ sont contenus dans une réunion finie d'hypersurfaces algébriques (d'après la proposition 12.3.1), qui est encore une hypersurface algébrique. □

On trouvera dans [44, 88] des résultats plus précis sur ce sujet.

Remarque 12.3.2 Notez a contrario, que le circuit arithmétique qui exprime un polynôme de $E(n,d)$ directement comme somme de ses monômes utilise $\binom{n+d}{d}$ constantes, et qu'il peut être écrit avec une taille $\leq 3\binom{n+d}{d}$. Tous les $x_1^{\mu_1}\cdots x_n^{\mu_n}$ de degré $\leq d$, qui sont au nombre de $\binom{n+d}{d}$, peuvent en effet être calculés en $\binom{n+d}{d}-n$, étapes (un produit de degré $k>1$ est calculé en multipliant un produit de degré $k-1$, déjà calculé, par une variable). Il reste ensuite à multiplier chaque produit par une constante convenable, puis à faire l'addition.

12.4 Le caractère universel du déterminant

Le but de cette section est de montrer que toute expression arithmétique peut être vue comme un cas particulier de l'expression « déterminant » dans laquelle les entrées de la matrice ont simplement été remplacées par une des constantes ou une des variables de l'expression, avec en outre le fait que le nombre de lignes de la matrice carrée est du même ordre de grandeur que la taille de l'expression.

Ceci n'est pas très surprenant, au vu de l'exemple classique ci-dessous, (inspiré de la matrice compagnon d'un polynôme) dans lequel nous n'avons pas marqué les entrées nulles :

$$\det\begin{bmatrix} x & & & & a_4 \\ -1 & x & & & a_3 \\ & -1 & x & & a_2 \\ & & -1 & x & a_1 \\ & & & -1 & a_0 \end{bmatrix} = a_4 + a_3x + a_2x^2 + a_1x^3 + a_0x^4\,.$$

Projections

Nous introduisons maintenant formellement une notion précise appelée *projection* pour décrire le processus de substitution extrêmement limité auquel nous allons avoir recours dans la suite.

Définition 12.4.1 *Soit $\mathcal{A}$ un anneau commutatif fixé. Soient $P \in \mathcal{A}[x_1, \ldots, x_k]$ et $Q \in \mathcal{A}[y_1, \ldots, y_\ell]$. Soient aussi (P_n) et (Q_m) des p-familles de polynômes à coefficients dans $\mathcal{A}$.*

(1) *On dit que Q* est une projection de *P si Q est obtenu à partir de P en substituant à chaque x_i un y_j ou un élément de $\mathcal{A}$.*
(2) *On dit que* la famille (Q_m) est une p-projection de la famille (P_n) *s'il existe une fonction polynomialement majorée $m \mapsto \varphi(m)$ telle que, pour chaque m, Q_m est une projection de $P_{\varphi(m)}$*
(3) *On dit que* la famille (Q_m) est une qp-projection de la famille (P_n) *s'il existe une fonction quasi-polynomialement majorée $m \mapsto \varphi(m)$ telle que, pour chaque m, Q_m est une projection de $P_{\varphi(m)}$.*

La proposition suivante est facile.

Proposition 12.4.2

(1) *La composée de deux projections est une projection. Même chose pour les p-projections, ou pour les qp-projections.*
(2) *Les classes $\mathcal{VP}$ et $\mathcal{VP}_e$ sont stables par p-projection.*
(3) *La classe $\mathcal{VQP} = \mathcal{VQP}_e$ est stable par qp-projection.*

Réécriture d'une expression comme déterminant

Dans le théorème de Valiant qui suit, la difficulté est de produire une matrice ayant pour déterminant la somme des déterminants de deux autres matrices. L'idée est de faire cette construction non pas pour n'importe quelles matrices, mais en respectant un certain format. C'est l'objet du lemme crucial qui suit. Le format des matrices qui interviennent dans ce lemme est visualisé ci-dessous sur un exemple avec $d = 4$.

$$\begin{bmatrix} a_1 & a_2 & a_3 & a_4 & 0 \\ 1 & x_{1,2} & x_{1,3} & x_{1,4} & b_1 \\ 0 & 1 & x_{2,3} & x_{2,4} & b_2 \\ 0 & 0 & 1 & x_{3,4} & b_3 \\ 0 & 0 & 0 & 1 & b_4 \end{bmatrix} = \begin{bmatrix} \alpha & 0 \\ T & \beta \end{bmatrix}$$

(α est un vecteur ligne, β un vecteur colonne et T est carrée unitriangulaire supérieure). Notez que lorsqu'on développe le déterminant d'une telle matrice sous la forme $\sum_{1\leq i,j\leq 4} a_i\, b_j\, c_{ij}$, le polynôme c_{ij} en facteur de $a_i b_j$ est nul si la colonne de a_i et la ligne de b_j se coupent dans la partie strictement supérieure de la matrice T, puisque le cofacteur correspondant de T est nul.

Lemme 12.4.3 *Soient (pour $i = 1, 2$) deux entiers d_i, deux matrices carrées $T_i \in \mathcal{A}^{d_i\times d_i}$ unitriangulaires supérieures, soient deux vecteurs lignes $\alpha_i \in \mathcal{A}^{1\times d_i}$ et deux vecteurs colonnes $\beta_i \in \mathcal{A}^{d_i\times 1}$. Considérons les trois matrices suivantes*

$$M_1 = \begin{bmatrix} \alpha_1 & 0 \\ T_1 & \beta_1 \end{bmatrix}, \quad M_2 = \begin{bmatrix} \alpha_2 & 0 \\ T_2 & \beta_2 \end{bmatrix}, \quad M = \begin{bmatrix} \alpha_1 & \alpha_2 & 0 \\ T_1 & 0 & \beta_1 \\ 0 & T_2 & \beta_2 \end{bmatrix}.$$

Alors on a

$$\det M = (-1)^{d_2} \det M_1 + (-1)^{d_1} \det M_2$$

Preuve. Nous donnons seulement l'idée directrice de cette preuve un peu technique. Lorsqu'on développe complètement le déterminant comme indiqué avant le lemme, le polynôme en facteur d'un produit $\alpha_{2,i}\beta_{1,j}$ est nul car la ligne et la colonne correspondante se coupent dans la partie strictement supérieure de la matrice $\begin{bmatrix} T_1 & 0 \\ 0 & T_2 \end{bmatrix}$ (cf. le commentaire juste avant le lemme). Pour voir que le polynôme en facteur d'un produit $\alpha_{1,i}\,\beta_{2,j}$ est nul également, il suffit de considérer la matrice

$$M' = \begin{bmatrix} \alpha_2 & \alpha_1 & 0 \\ T_2 & 0 & \beta_2 \\ 0 & T_1 & \beta_1 \end{bmatrix}.$$

Son déterminant est identique (en tant qu'expression développée) à celui de M et l'argument précédent s'applique. Il reste à considérer, dans le développement complet du déterminant en somme de produits, les produits contenant un facteur $\alpha_{1,i}\,\beta_{1,j}$ (et ceux contenant un facteur $\alpha_{2,i}\beta_{2,j}$). Un examen attentif montre que les seuls produits non nuls de ce type sont ceux qui empruntent la diagonale de T_2, donc on retrouve exactement les facteurs présents dans $\det M_1$ au signe près. Ce signe correspond à une permutation circulaire des $d_2 + 1$ dernières colonnes de M. $\square$

Théorème 12.3 *Toute expression de taille n est la projection du déterminant d'une matrice d'ordre inférieur ou égal à $2n+2$.*

Précisions : la matrice est dans le format décrit au lemme précédent, ses entrées sont soit une constante de l'expression, soit une variable de l'expression, soit 0, 1 ou -1, la dernière colonne (resp. la dernière ligne) ne contient que 0, 1 ou -1, une colonne quelconque contient au plus une variable ou une constante de l'expression.

Corollaire 12.4.4

(1) *Toute famille p-exprimable est une p-projection de la famille « déterminant » (*$\det_n$ *est le déterminant d'une matrice carrée d'ordre n donc un polynôme de degré n en n^2 variables).*

(2) $\mathcal{VQP} = \mathcal{VQP}_e$ *coïncide avec la classe des familles qui sont des qp-projections de la famille déterminant.*

Preuve. On construit la matrice en suivant l'arbre de l'expression. Pour une feuille f de l'arbre (constante ou variable) on prend la matrice 2×2

$$\begin{bmatrix} f & 0 \\ 1 & 1 \end{bmatrix}$$

qui répond bien aux spécifications souhaitées. Supposons qu'on a construit les matrices A_i $(i=1,2)$ qui ont pour déterminants les polynômes P_i. Voyons d'abord la matrice pour P_1+P_2. Quitte à changer la dernière colonne β_i en $-\beta_i$ on peut aussi avoir les déterminants opposés, et on peut donc dans tous les cas appliquer le lemme 12.4.3. Donnons enfin la matrice N pour $P_1\times P_2$

$$N = \begin{bmatrix} A_1 & 0 \\ J & A_2 \end{bmatrix} \quad \text{avec} \quad J = \begin{bmatrix} 0 & \cdots & 0 & 1 \\ 0 & \cdots & 0 & 0 \\ \vdots & & \vdots & \vdots \\ 0 & \cdots & 0 & 0 \end{bmatrix}.$$

Cette matrice N répond aux spécifications voulues, et comme elle est triangulaire par blocs, son déterminant est égal à $\det A_1 \cdot \det A_2$. □

Donnons par exemple la matrice construite comme indiqué dans la preuve ci-dessus pour obtenir le déterminant $x+(2+y)z$ (nous n'avons

pas mis les 0) :

$$\begin{bmatrix} x & 2 & y & . & . & . \\ 1 & . & . & . & . & 1 \\ . & 1 & . & -1 & . & . \\ . & . & 1 & -1 & . & . \\ . & . & . & 1 & z & . \\ . & . & . & . & 1 & -1 \end{bmatrix}.$$

Conclusion

Dans le corollaire 12.4.4 on a vu que toute famille p-exprimable est une p-projection du déterminant et que toute famille qp-calculable est une qp-projection du déterminant. Cette dernière propriété s'énonce sous la forme suivante, qui ressemble à la $\mathcal{NP}$ - complétude.

La famille $(\det_n)$ *est universelle pour* $\mathcal{VQP}$ *et les* qp*-projections.*

Cependant le déterminant lui-même n'est probablement pas p-exprimable et il est p-calculable, donc mieux que qp-calculable.

Il se pose donc la question légitime de trouver une famille p-exprimable qui soit universelle dans $\mathcal{VP}_e$ par rapport aux p-projections et celle de trouver une famille p-calculable qui soit universelle dans $\mathcal{VP}$ par rapport aux p-projections (le déterminant serait un candidat naturel, mais pour le moment on ne connaît pas la réponse à son sujet). Le premier de ces deux problèmes a été résolu positivement par Fich, von zur Gathen et Rackoff dans [30]. Le deuxième par Bürgisser dans [12].

La première question admet une réponse assez facile une fois connu le théorème de Brent. En effet toute expression peut être obtenue comme projection d'une expression de profondeur comparable extrêmement parallélisée qui combine systématiquement additions et multiplications. Par exemple l'expression (de profondeur 2) $\varphi_3 = x_1 + (x_2 \times x_3)$ donne par projection, au choix, l'une des deux expressions (de profondeur 1) $x_1 + x_2$ ou $x_2 \times x_3$. Si maintenant on remplace chacun des x_i par l'expression $x_{i,1} + (x_{i,2} \times x_{i,3})$ on obtient une expression φ_9 à 9 variables de profondeur 4 et on voit que toute expression de profondeur 2 est une projection de φ_9.
En itérant le processus, toute expression de profondeur n est une projection de l'expression φ_{3^n}, qui est elle-même de profondeur $2n$.

Donc, après parallélisation à la Brent d'une famille dans $\mathcal{VP}_e$, la famille parallélisée est clairement une p-projection de la famille (φ_{3^n}).

Enfin la famille (φ_{3^n}) est elle-même dans $\mathcal{VP}_e$ car φ_{3^n} est de taille

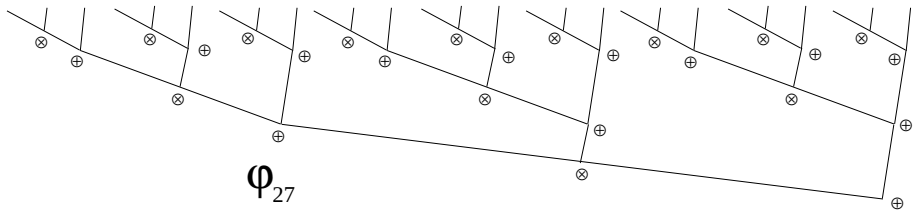

Figure 12.6 – Une famille d'expressions p-universelle dans $\mathcal{VP}_e$

$3^n - 1$ (on peut, si on a des scrupules, définir φ_k pour tout entier k en posant $\varphi_k = \varphi_{3^\kappa}$ où $3^{\kappa-1} < k \leq 3^\kappa$).

La deuxième question (trouver une famille p-calculable qui soit universelle dans $\mathcal{VP}$ par rapport aux p-projections) admet une réponse positive du même style (cf. [12]), mais nettement plus embrouillée.

13. Le permanent et la conjecture $\mathcal{P} \neq \mathcal{NP}$

Introduction

Ce chapitre est dédié à la conjecture de Valiant. Nous ne démontrerons que les résultats les plus simples et nous souhaitons faire sentir l'importance des enjeux.

Dans la section 13.1 nous faisons une étude rapide des classes de complexité booléenne, qui constituent une variante non uniforme de la complexité binaire.

Dans la section 13.2 nous mettons en évidence quelques liens étroits et simples entre fonctions booléennes et polynômes, et entre complexité booléenne et complexité algébrique.

Dans la section 13.3 nous faisons le lien entre complexité binaire et complexité booléenne. Dans la section 13.4 nous donnons quelques résultats sur le permanent. Dans la section finale, nous rappelons la conjecture de Valiant et discutons brièvement sa portée.

Parmi les références utiles pour ce chapitre, il faut citer le livre [Weg] et l'article [83], non encore signalés.

13.1 Familles d'expressions et de circuits booléens

Expressions, circuits et descriptions

L'analogue booléen de l'anneau de polynômes $\mathcal{A}[x_1, \ldots, x_n]$ est l'algèbre de Boole

$$\mathbb{B}[x_1, \ldots, x_n] \simeq \mathbb{F}_2[x_1, \ldots, x_n] \big/ \langle x_1^2 - x_1, \ldots, x_n^2 - x_n \rangle$$

avec dans $\mathbb{B}[x_1, \ldots, x_n]$ les égalités $a \wedge b = ab$, $a \vee b = a + b + ab$, $\neg a = 1 + a$ et $a + b = (\neg a \wedge b) \vee (a \wedge \neg b)$. Cette interprétation de l'algèbre de Boole librement engendrée par n éléments comme quotient d'un anneau de polynômes à n variables sur le corps $\mathbb{F}_2$ laisse penser que les méthodes algébriques sont a priori pertinentes pour résoudre les problèmes booléens.

L'analogue booléen d'une fonction polynôme à n variables est une *fonction booléenne* $f : \{0,1\}^n \to \{0,1\}$. Nous aurons aussi à considérer des *applications booléennes* $g : \{0,1\}^n \to \{0,1\}^m$.

L'algèbre de Boole $\mathbb{B}[x_1, \ldots, x_n]$ est isomorphe à l'algèbre des fonctions booléennes $f : \{0,1\}^n \to \{0,1\}$. L'isomorphisme fait correspondre à l'élément x_i de $\mathbb{B}[\underline{x}]$ la i-ème fonction coordonnée : $(a_1, \ldots, a_n) \mapsto a_i$.

Rappelons que si $p_1, \ldots, p_n$ sont les variables booléennes présentes dans une expression booléenne, on appelle *littéral* l'une des expressions $p_1, \neg p_1, \ldots, p_n, \neg p_n$. Et qu'une expression est dite *en forme normale conjonctive* (resp. *en forme normale disjonctive*) si elle est une conjonction de disjonctions de littéraux (resp. une disjonction de conjonctions de littéraux).

Il y a plusieurs types d'écritures canoniques pour une fonction booléenne, en forme normale conjonctive, en forme normale disjonctive ou sous forme d'un polynôme en représentation creuse (chaque variable intervenant avec un degré ≤ 1 dans chaque monôme). On peut aussi exprimer une fonction booléenne au moyen d'une expression booléenne ou d'un circuit booléen.

Convention 13.1.1 *Nous adopterons la convention qu'une expression booléenne ou un circuit booléen n'utilisent que les connecteurs $\wedge$, $\vee$ et $\neg$. En outre dans le cas d'une expression l'usage du connecteur $\neg$ sera seulement implicite : on utilisera les littéraux comme variables (aux feuilles de l'arbre), et nulle part ailleurs n'apparaîtra le connecteur $\neg$. La taille et la profondeur d'une expression booléenne ne prendront en compte que les connecteurs $\wedge$ et $\vee$ (les littéraux sont tous considérés comme de profondeur nulle).*

Cette convention n'a pas de conséquence importante en ce qui concerne les circuits car autoriser d'autres connecteurs ne ferait diminuer la taille et/ou la profondeur que d'un facteur constant. Par contre, en ce qui concerne les expressions booléennes, il s'agit d'une restriction significative de leur pouvoir d'expression : par exemple si on admet en plus le

connecteur $a \oplus b \stackrel{\text{def}}{=} (a \wedge \neg b) \vee (\neg a \wedge b)$ l'expression $p_1 \oplus p_2 \oplus \cdots \oplus p_n$ réclamera très probablement une écriture nettement plus longue sans l'utilisation de $\oplus$.

Classes de complexité booléenne

Nous sommes particulièrement interessés ici par les analogues booléens des classes $\mathcal{VNC}$, $\mathcal{VP}$, $\mathcal{VP}_e$, $\mathcal{VNP}$ et $\mathcal{VNP}_e$ (cf. section 12.1).

Définition 13.1.2 *Soit* $f_n : \{0,1\}^{v_n} \to \{0,1\}$ *une famille de fonctions booléennes (indexée par* $n \in \mathbb{N}$ *ou* $\mathbb{N}^\ell$*).*

- *Nous disons que la famille* (f_n) *est* p-bornée *si* v_n *est majoré par un polynôme en* n*. On dit encore qu'il s'agit d'une* p-famille de fonctions booléennes.
- *Nous disons qu'une famille d'expressions booléennes* (φ_n) *est* p-bornée *si la taille de* φ_n *est majorée par un polynôme en* n*.*
- *Nous disons que la famille* (f_n) *est* p-exprimable *si elle est réalisable par une famille* p*-bornée d'expressions booléennes. La classe des familles de fonctions booléennes* p*-exprimables est notée* $\mathcal{BP}_e$*.*
- *Nous disons qu'une famille de circuits booléens* (γ_n) *est* p-bornée *si la taille de* γ_n *est majorée par un polynôme en* n*.*
- *Nous disons que la famille* (f_n) *est* p-évaluable *(ou encore* p-calculable*) si elle est réalisable par une famille* p*-bornée de circuits booléens. La classe des familles de fonctions booléennes* p*-calculables est notée* $\mathcal{BP} = \mathcal{P}/poly$*.*
- *Nous notons* $\mathcal{BNC}^k = \mathcal{NC}^k/poly$ *la classe des familles de fonctions booléennes réalisables par une famille de circuits booléens de taille polynomiale et de profondeur en* $\mathcal{O}(\log^k n)$*, et* $\mathcal{BNC} = \mathcal{NC}/poly$ *dénote la réunion des* $\mathcal{BNC}^k$*.*
- *Nous disons qu'une fonction booléenne* g *en les variables* $p_1, \ldots, p_k, r_1, \ldots, r_\ell$ est une description de la fonction booléenne f *en les variables* $p_1, \ldots, p_k$ *si*

$$f(\underline{p}) \;=\; \bigvee_{\underline{r} \in \{0,1\}^\ell} g(\underline{p}, \underline{r}) \tag{13.1}$$

- *Nous disons que la famille* (f_n) *est* p-descriptible *s'il existe une famille* p*-calculable de fonctions booléennes* (g_n)*, telle que chaque* g_n *est une description de* f_n*. La classe des familles de fonctions booléennes* p*-descriptibles est notée* $\mathcal{BNP} = \mathcal{NP}/poly$*.*

– *Nous disons que la famille* (f_n) *est* p-descriptible en expressions *s'il existe une famille* p*-exprimable de fonctions booléennes* (g_n)*, telle que chaque* g_n *est une description de* f_n*. La classe des familles de fonctions booléennes* p*-descriptibles en expressions est notée* $\mathcal{BNP}_e$*.*

Il faut souligner que toutes les notions introduites ici sont *non uniformes*, comme dans le cas algébrique.

La classe $\mathcal{P}/poly$ est clairement l'analogue booléen de la classe $\mathcal{VP}$ en complexité algébrique. C'est aussi un analogue non uniforme de la classe $\mathcal{P}$. Ce dernier point sera plus clair après le théorème 13.7 page 337. De même nous verrons que la classe $\mathcal{NP}/poly$ est un analogue non uniforme de la classe $\mathcal{NP}$.

Si on compare les définitions des *descriptions* dans le cas algébrique et dans le cas booléen, on voit qu'on utilise maintenant une disjonction à la place d'une somme (formules 12.5 et 13.1).

La notation $\mathcal{P}/poly$ (voir par exemple [BDG] ou [Weg]) s'explique comme suit : une famille (f_n) dans $\mathcal{P}/poly$ peut être calculée en temps polynomial si on a droit à « une aide » (sous forme d'une famille de circuits booléens γ_n qui calculent les fonctions f_n) qui n'est peut-être pas uniforme mais qui est de taille polynomiale en n.

Signalons que Karp et Lipton, qui introduisent la classe $\mathcal{P}/poly$ dans [56] donnent une définition générale pour une variante non uniforme $\mathcal{C}/poly$ en complexité booléenne d'une classe de complexité binaire arbitraire $\mathcal{C}$. Leur définition justifie aussi les égalités $\mathcal{BNP} = \mathcal{NP}/poly$ et $\mathcal{BNC}^k = \mathcal{NC}^k/poly$. Enfin la définition de Karp et Lipton ne semble rien donner pour $\mathcal{P}_e/poly$ par absence de la classe $\mathcal{P}_e$ en complexité binaire.

La complexité booléenne des opérations arithmétiques dans $\mathbb{Z}$

Le livre [Weg] de Wegener contient une étude précise et très complète de la complexité des familles de fonctions booléennes. On y trouve notamment les résultats donnés dans le théorème qui suit concernant la complexité booléenne des opérations arithmétiques dans $\mathbb{N}$. En fait les résultats sont uniformes et ils s'étendent immédiatement à $\mathbb{Z}$.

Théorème 13.1 *(théorèmes 1.3, 2.4 et 2.8 du chapitre 3 de [Weg])*
L'addition et la multiplication dans $\mathbb{N}$ *sont réalisables par des familles de circuits booléens dans* $\mathcal{BNC}^1$*. Plus précisément :*

1. *L'addition de deux entiers de taille* $n \geq 3$ *est réalisable par un circuit booléen de taille* $\leq 9\,n$ *et de profondeur* $2\,\lceil \log n \rceil + 8$*.*

2. *Le produit de deux entiers de taille n est réalisable à la Karatsuba par un circuit booléen de taille $\mathcal{O}(n^{\log 3})$ et de profondeur $\mathcal{O}(\log n)$, ou même, en suivant Schönage et Strassen qui adaptent la transformation de Fourier discrète rapide des polynômes au cas des entiers, par un circuit booléen de taille $\mathcal{O}(n \log n \log\log n)$ et de profondeur $\mathcal{O}(\log n)$.*

Concernant la multiplication des entiers on lira aussi avec intérêt l'exposé de Knuth dans [Knu].

Parallélisation des expressions booléennes

Nous avons pour les expressions booléennes un résultat analogue à la parallélisation à la Brent des expressions arithmétiques (voir [85] ou [Sav] théorème 2.3.3).

Théorème 13.2 *Pour toute fonction booléenne $f : \{0,1\}^n \to \{0,1\}$ la profondeur π du meilleur circuit booléen et la taille τ de la meilleure expression booléenne sont reliés par*

$$\log(\tau+1) \leq \pi \leq \frac{2}{\log 3/2} \log(\tau+1)$$

Preuve. Cela marche de la même manière que la parallélisation à la Brent des expressions arithmétiques. Le polynôme $b_0 y + b_1$ dans le cas algébrique (cf. la preuve du théorème 12.1, page 310) doit être remplacé par une expression $(y \wedge b_0) \vee (\neg y \wedge b_1)$ dans le cas booléen. □

L'analogue booléen du corollaire 12.2.2 ($\mathcal{VP}_e = \mathcal{VNC}^1$) est :

Corollaire 13.1.3 *On a $\mathcal{BP}_e = \mathcal{BNC}^1$.*

Description des circuits booléens par des expressions booléennes

Le lemme suivant est facile et utile.

Lemme 13.1.4 *Étant donné un circuit booléen γ de taille τ avec les portes d'entrée $p_1, \ldots, p_n$, les portes internes $r_1, \ldots, r_\ell$ et une seule porte de sortie (donc $\tau = \ell + 1$), on peut construire une expression booléenne en forme normale conjonctive $\varphi(\underline{p}, \underline{r})$ de taille $\leq 7\tau$ et de profondeur $\leq 2 + \log(3\tau)$ telle que, pour tous $\underline{p} \in \{0,1\}^n$ on ait l'équivalence :*

$$\gamma(\underline{p}) = 1 \qquad \Longleftrightarrow \qquad \bigvee_{\underline{r} \in \{0,1\}^\ell} \varphi(\underline{p}, \underline{r}) = 1\,. \tag{13.2}$$

En outre dans le second membre il y a une seule affectation des booléens $r_1, \ldots, r_\ell$ *qui rend l'expression vraie (lorsque* $\gamma(\underline{p}) = 1$*).*

Preuve. On remplace chaque affectation du programme d'évaluation défini par le circuit booléen par une expression booléenne qui est vraie si et seulement si la valeur du booléen affecté est correcte. La conjonction de toutes ces expressions booléennes donne l'expression φ. Une affectation $c := \neg a$ est traduite par $(c \vee a) \wedge (\neg c \vee \neg a)$. Une affectation $c := a \vee b$ est traduite par $(\neg c \vee a \vee b) \wedge (c \vee \neg a) \wedge (c \vee \neg b)$. Une affectation $c := a \wedge b$ est traduite par $(c \vee \neg a \vee \neg b) \wedge (\neg c \vee a) \wedge (\neg c \vee b)$. □

On en déduit immédiatement.

Proposition 13.1.5 *On a l'inclusion* $\mathcal{BP} \subset \mathcal{BNP}_e$ *et l'égalité* $\mathcal{BNP} = \mathcal{BNP}_e$*.*

Signalons aussi le résultat important de Valiant (pour une preuve voir [Bur]).

Théorème 13.3 *On a pour tout corps* $\mathcal{VNP} = \mathcal{VNP}_e$*.*

Expressions, circuits et descriptions : le cas des applications booléennes

Nous pouvons reprendre avec les familles d'applications booléennes les définitions données au début de cette section pour les familles de fonctions booléennes. Notre objectif est surtout ici de définir l'analogue non uniforme de la classe $\#\mathcal{P}$.

Définition 13.1.6 *Soit* $f_n : \{0,1\}^{v_n} \longrightarrow \{0,1\}^{w_n}$ *une famille d'applications booléennes (indexée par* $n \in \mathbb{N}$ *ou* $\mathbb{N}^\ell$*). Soit* $(f_{n,k})$ *la famille double de fonctions booléennes* $f_{n,k} : \{0,1\}^{v_n} \to \{0,1\}$ *qui donne la* k*-ème coordonnée de* f_n *si* $k \leq w_n$*.*

- *Nous disons que la famille* (f_n) *est* p-bornée *si* v_n *et* w_n *sont majorés par un polynôme en* n*. On dit encore qu'il s'agit d'une* p-famille d'applications booléennes.
- *Nous disons que la famille* (f_n) *est* p-exprimable *si elle est* p*-bornée et si la famille double* $(f_{n,k})$ *correspondante est* p*-exprimable. Définition analogue pour une famille* p-calculable*,* p-descriptible*, ou* p-descriptible en expressions*.*

– *Nous disons qu'une famille* $g_n : \{0,1\}^{v_n} \longrightarrow \mathbb{N}$ *est dans la classe* $\#\mathcal{BP} = \#\mathcal{P}/poly$*, ou encore qu'*elle compte les solutions d'une famille p-calculable de fonctions booléennes *si elle vérifie :*

$$\forall \underline{p} \quad g_n(\underline{p}) \;=\; \#\left\{\; \underline{q} \in \{0,1\}^{\ell_n} \;\mid h_n(\underline{p},\underline{q}) = 1 \;\right\} \tag{13.3}$$

où $h_n : \{0,1\}^{v_n+\ell_n} \to \{0,1\}$ *est une famille p-calculable de fonctions booléennes. Si la famille* (h_n) *est p-exprimable on dira que la famille* (g_n) *est dans la classe* $\#\mathcal{BP}_e$*.*
Si $g_n(\underline{p}) = \sum_{k=1}^{w_n} f_{n,k}(\underline{p})\, 2^{k-1}$ *on dira que la famille* (f_n) *est dans* $\#\mathcal{BP}$ *(resp. dans* $\#\mathcal{BP}_e$*) lorsque la famille* (g_n) *est dans* $\#\mathcal{BP}$ *(resp. dans* $\#\mathcal{BP}_e$*).*

Une conséquence immédiate de la description des circuits booléens par les expressions booléennes (lemme 13.1.4) est la proposition suivante, analogue à la proposition 13.1.5.

Proposition 13.1.7 *On a l'égalité* $\#\mathcal{BP} = \#\mathcal{BP}_e$*.*

Remarque 13.1.8 Il n'y a pas de différence de principe entre une famille d'applications booléennes et une famille de fonctions booléennes, puisque donner une famille d'applications booléennes revient à donner une famille double de fonctions booléennes. Si on veut définir directement la classe $\#\mathcal{BP} = \#\mathcal{P}/poly$ comme une classe de fonctions booléennes, on pourra dire que le problème dans $\#\mathcal{P}/poly$ associé à la famille $(h_n) \in \mathcal{P}/poly$ est le problème suivant portant sur le couple $(\underline{p}, m)$ (où m est codé en binaire) :

$$\#\left\{\; \underline{q} \in \{0,1\}^{\ell_n} \;\mid h_n(\underline{p},\underline{q}) = 1 \;\right\} \leq m \;?$$

La plupart des fonctions booléennes sont difficiles à évaluer

On a aussi l'analogue suivant du théorème 12.2 page 314 : ici on trouve qu'une famille de circuits booléens de taille quasi-polynomiale ne peut calculer qune infime partie de toutes les fonctions booléennes.

Proposition 13.1.9 *Soit* $VQPB(k)$ *l'ensemble des familles* (f_n) *de fonctions booléennes à* n *variables réalisables par une famille de circuits booléens de taille* $2^{\log^k n}$*. Soit* $\varepsilon > 0$*. Pour* n *assez grand seulement une proportion* $< \varepsilon$ *de fonctions booléennes à* n *variables est dans* $VQPB(k)$*.*

Preuve. Faisons les comptes. Le nombre total de fonctions booléennes à n variables est égal à 2^{2^n}. Le nombre total de circuits booléens à n variables et de taille $t+1$ est majoré par $N(t+1) = 2\,N(t)\,(t+2n)^2$: en effet un programme d'évaluation de taille $t+1$ est obtenu en rajoutant une instruction à un programme d'évaluation de taille t, instruction de la forme $x_{t+1} \leftarrow y \circ z$ avec $\wedge$ ou $\vee$ pour $\circ$, et y, z sont à choisir parmi les littéraux ou parmi les x_i $(1 \leq i \leq t)$. Cette majoration conduit à $N(1) = 2\,(2n)^2$, $N(2) = 2^2\,(2n)^2\,(2n+1)^2, \ldots,$ $N(t) < 2^t\,((2n+t)!)^2 = 2^{\mathcal{O}((n+t)\,\log(n+t))}$. Donc si $t = 2^{\log^k n}$, $\log N(t) = \mathcal{O}(2^{\log^{k+1} n})$ qui devient négligeable devant 2^n pour n grand. □

On trouvera des résultats du même style mais nettement plus précis dans le chapitre 4 du livre de Wegener [Weg].

13.2 Booléen versus algébrique (non uniforme)

13.2.1 Évaluation booléenne des circuits arithmétiques

Rappelons ici le problème, déjà évoqué à la section 4.3.2, de l'évaluation d'un circuit arithmétique sur un anneau $\mathcal{A}$ dont les éléments sont codés en binaire. Si l'anneau $\mathcal{A}$ est fini, le temps parallèle ou séquentiel du calcul booléen correspondant à l'éxécution d'un circuit arithmétique est simplement proportionnel à la profondeur ou à la taille du circuit arithmétique. Par ailleurs rappelons que $\mathcal{VP} = \mathcal{VNC} = \mathcal{VNC}^2$, $\mathcal{VNC}^1 = \mathcal{VP}_e$ et $\mathcal{BNC}^1 = \mathcal{BP}_e$. On obtient donc :

Lemme 13.2.1 *Si une p-famille de polynômes sur un anneau fini $\mathcal{A}$ est dans la classe $\mathcal{VP}$ (resp. $\mathcal{VP}_e$, $\mathcal{VNP}$) son évaluation booléenne est donnée par une famille dans la classe booléenne $\mathcal{BNC}^2 \subset \mathcal{BP}$ (resp. $\mathcal{BP}_e$, $\#\mathcal{BP}$).*

Dans le cas d'un anneau infini, l'évaluation booléenne d'un circuit arithmétique peut réserver quelques mauvaises surprises (voir l'exemple de l'inventeur du jeu d'échec page 144). Il faudrait bannir toute constante (même 1 !) d'un circuit arithmétique sur $\mathbb{Z}$ si on veut que l'évaluation booléenne (avec le codage naturel binaire de $\mathbb{Z}$) ne produise pas d'explosion (et $\mathbb{Z}$ est l'anneau infini le plus simple).

Une solution serait de coder les éléments de l'anneau par des circuits arithmétiques n'ayant que des constantes en entrées [1]. Mais le test d'éga-

1. Du point de vue des calculs en temps polynomial on peut remarquer que le codage binaire usuel de $\mathbb{Z}$ est équivalent à un codage par des expressions arithméti-

lité, le test de signe et bien d'autres opérations simples sur $\mathbb{Z}$ semblent alors sortir de la classe $\mathcal{P}$.

Une autre solution serait d'apporter une restriction plus sévère aux familles p-bornées de circuits arithmétiques. Avant d'y introduire la moindre constante, même 1, la famille devrait être p-bornée (en taille et en degrés). Ensuite seulement on remplacerait certaines variables par des constantes.

De manière générale il faut avoir une majoration convenable de la taille des objets à calculer.

Définition 13.2.2 *Une famille de fonctions $f_n : \mathbb{Z}^{v_n} \to \mathbb{Z}$ est dite p-*bornée en taille *si v_n est majoré par un polynôme en n et la taille de $f_n(x_1, \ldots, x_{v_n})$ est majorée par un polynôme en la taille de l'entrée $x_1, \ldots, x_{v_n}$ (en utilisant les codages binaires usuels).*

On a alors l'extension importante suivante du lemme 13.2.1 à l'anneau $\mathbb{Z}$, sous une condition restrictive supplémentaire, qui est d'ailleurs inévitable.

Lemme 13.2.3 *On considère une p-famille (P_n) de polynômes sur $\mathbb{Z}$. On suppose que la famille de fonctions $f_n : \mathbb{Z}^{v_n} \to \mathbb{Z}$ définie par (P_n) est p-bornée en taille. Alors si (P_n) est dans $\mathcal{VP}(\mathbb{Z}) = \mathcal{VNC}^2(\mathbb{Z})$ (resp. $\mathcal{VP}_e(\mathbb{Z}) = \mathcal{VNC}^1(\mathbb{Z})$, $\mathcal{VNP}(\mathbb{Z})$) son évaluation booléenne est donnée par une famille de circuits booléens dans $\mathcal{BNC}^3 \subset \mathcal{BP}$ (resp. $\mathcal{BNC}^2$, $\#\mathcal{BP}$).*

Preuve. Supposons que (P_n) est dans la classe $\mathcal{VP}(\mathbb{Z})$ et soit (Γ_n) une famille p-bornée de circuits arithmétiques correspondant à (P_n). Pour tous m, n entiers positifs on veut construire un circuit booléen $\gamma_{n,m}$ qui calcule (le code de) $f_n(x_1, \ldots, x_{v_n})$ à partir des (codes des) x_i lorsqu'ils sont de taille $\leq m$. On sait que la taille de la sortie y est majorée par un entier $p \leq C\,(n+m)^k$. Il suffit alors de prendre les constantes de Γ_n modulo 2^{2p} et d'exécuter les calculs indiqués par le circuit Γ_n modulo 2^{2p} pour récupérer y comme élément de $\mathbb{Z}$ à la fin du calcul. La taille du circuit booléen $\gamma_{n,m}$ correspondant est bien polynomialement majorée. Quant à sa profondeur, comparée à celle de Γ_n, elle a été multipliée par un $\mathcal{O}(\log p) = \mathcal{O}(\log(m+n))$ (cf. le théorème 13.1)
Le résultat pour (P_n) dans la classe $\mathcal{VNP}(\mathbb{Z})$ se déduit immédiatement du résultat pour (P_n) dans la classe $\mathcal{VP}(\mathbb{Z})$. □

---

ques n'ayant que les constantes 0, 1, ou -1 aux feuilles de l'arbre. Il n'est donc pas artificiel de proposer un codage de $\mathbb{Z}$ par des circuits arithmétiques n'ayant que les constantes 0, 1, ou -1 aux portes d'entrée, ce que nous avions noté $\mathbb{Z}_{\text{preval}}$.

Notez que si (P_n) est dans $\mathcal{VNC}^1$, l'hypothèse que (f_n) est p-bornée en taille est automatiquement vérifiée si les constantes du circuit Γ_n ont une taille majorée par un $C\,n^\ell$. Dans la section suivante, tous les circuits arithmétiques qui simulent des circuits booléens utilisent les seules constantes 0, 1 et -1.

13.2.2 Simulation algébrique des circuits et expressions booléennes

Nous nous intéressons dans cette section à la possibilité de *simuler algébriquement* une fonction booléenne $f : \{0,1\}^n \to \{0,1\}$, ou une application $g : \{0,1\}^n \to \mathbb{Z}$ (par exemple codée par un circuit booléen $\{0,1\}^n \to \{0,1\}^m$).

Nous disons que *le polynôme P simule la fonction booléenne f en évaluation* s'il a le même nombre de variables, et s'il s'évalue de la même manière que la fonction booléenne sur des entrées dans $\{0,1\}$.

Définition analogue pour la simulation algébrique de l'application g par un polynôme (l'anneau doit contenir $\mathbb{Z}$).

Un résultat élémentaire

Le lemme suivant nous dit ce que donne la simulation naturelle d'un circuit booléen par un circuit arithmétique : la profondeur et la taille sont convenables mais les degrés peuvent réserver de mauvaises surprises.

Lemme 13.2.4 *Un circuit booléen γ de taille τ et de profondeur π peut être simulé en évaluation par un circuit arithmétique ψ de taille $\leq 4\tau$ et de profondeur $\leq 3\pi$ (sa profondeur multiplicative reste égale à π donc le degré des polynômes est $\leq 2^\pi$). Cette simulation fonctionne sur tout anneau commutatif (non trivial).*

Preuve. Les seules valeurs des booléens sont 0 et 1, on a donc

$$x \wedge y = xy, \quad \neg x = 1 - x, \quad x \vee y = x + y - xy$$

sur n'importe quel anneau commutatif (non trivial) [2]. □

2. Nous rappelons que dans les chapitres 12 et 13 les seules opérations arithmétiques autorisées sont $+$ et $\times$ ce qui nous contraint à introduire des multiplications par la constante -1 pour faire des soustractions. Ceci implique que le polynôme $x+y-xy$ est évalué par un circuit de profondeur égale à 3.

Simulation d'une expression booléenne par une expression arithmétique

Le lemme suivant est une conséquence directe du théorème de parallélisation 13.2 et du lemme 13.2.4.

Lemme 13.2.5 *Une expression booléenne φ de taille τ peut être simulée en évaluation par une expression arithmétique de profondeur majorée par $\frac{6}{\log 3/2}\log(\tau+1) \leq 10,26\log(\tau+1)$. Cette simulation fonctionne sur tout anneau commutatif (non trivial).*

En particulier la taille de l'expression arithmétique est $\leq (\tau+1)^{10,26}$ ([3]). On en déduit :

Proposition 13.2.6 *Toute famille dans $\mathcal{BP}_e$ est simulée algébriquement par une famille dans $\mathcal{VP}_e$. Cette simulation fonctionne sur tout anneau commutatif (non trivial).*

Dans [Bur] la proposition précédente est énoncée avec une terminologie différente : « $\mathcal{BP}_e$ est contenu dans la partie booléenne de $\mathcal{VP}_e$ ».

Une proposition analogue à la précédente et qui voudrait relier de manière aussi simple les classes $\mathcal{BP}$ et $\mathcal{VP}$ échouerait parce que la traduction naturelle d'un circuit booléen en un circuit arithmétique donnée au lemme 13.2.4 fournit en général un polynôme de degré trop grand. Autrement dit, on ne connaît pas d'analogue satisfaisant du lemme 13.2.5 pour les circuits booléens.

Supposons maintenant que nous ayons démarré avec une p-famille double d'expressions booléennes $(\varphi_{n,k})$ associée à une famille de fonctions $f_n : \{0,1\}^{v_n} \to \mathbb{Z}$. La sortie est codée par exemple comme suit dans $\{0,1\}^m$, le premier bit code le signe, et les bits suivants codent l'entier sans signe en binaire (supposé $< 2^{m-1}$). Par exemple avec $m = 8$ les entiers 5, -11 et 69 sont respectivement codés par 00000101, 10001011 et 01000101. Il n'y a alors aucune difficulté à calculer par un circuit arithmétique ou par une expression arithmétique de profondeur $\mathcal{O}(\log m)$ la sortie dans $\mathbb{Z}$ à partir de son code.

Nous pouvons alors énoncer la proposition suivante, qui généralise la proposition 13.2.6, et qui résulte également du lemme 13.2.5.

Proposition 13.2.7 *Soit $(\varphi_{n,k})_{1\leq k\leq a+n^h}$ une p-famille double dans $\mathcal{BP}_e$ qui code une famille de fonctions $f_n : \{0,1\}^{v_n} \to \mathbb{Z}$. Alors il existe*

3. Le degré du polynôme est majoré par $(\tau+1)^{3,419}$.

une p-famille (γ_n) *d'expressions arithmétiques dans* $\mathcal{VP}_e$ *qui simule en évaluation la famille* (f_n) *sur n'importe quel anneau contenant* $\mathbb{Z}$.

Description d'un circuit booléen par une expression arithmétique

Nous pouvons faire une synthèse des lemmes 13.1.4 et 13.2.4 pour obtenir une description algébrique (au sens de la définition 12.1.2) d'un circuit booléen.

Lemme 13.2.8 *Soit* γ *un circuit booléen de taille* $\tau = \ell+1$ *qui calcule une fonction booléenne* $f : \{0,1\}^n \to \{0,1\}$. *Il existe une expression arithmétique* $\psi(x_1, \ldots, x_n, y_1, \ldots, y_\ell)$ *de taille* $\leq 14\,\tau$ *et de profondeur* $\leq 4 + \lceil \log(3\,\tau) \rceil$ *vérifiant :*

$$\forall \underline{p} \in \{0,1\}^n \qquad f(\underline{p}) = \sum\nolimits_{\underline{r} \in \{0,1\}^\ell} \psi(\underline{p}, \underline{r}) \tag{13.4}$$

Cette expression arithmétique utilise les seules constantes 0, 1 *et* -1 *et l'égalité est valable sur tout anneau commutatif (non trivial).*

Preuve. On applique la simulation donnée dans le lemme 13.2.4 à l'expression booléenne φ en forme normale conjonctive construite au lemme 13.1.4. On doit simuler algébriquement chacune des expressions booléennes de base qui sont du type $(\neg c \vee a \vee b) \wedge (c \vee \neg a) \wedge (c \vee \neg b)$ ou du type $(c \vee \neg a \vee \neg b) \wedge (\neg c \vee a) \wedge (\neg c \vee b)$. Dans ces expressions booléennes c est un littéral positif et a, b des littéraux positifs ou négatifs. L'examen précis montre que la taille maximum pour une telle simulation est 11. Il reste ensuite à faire le produit de 3τ expressions (chacune correspond à l'un des composants dans les deux types ci-dessus). On obtient alors une expression arithmétique ψ de taille $\leq 14\,\tau$ et de profondeur $\leq 4 + \lceil \log(3\,\tau) \rceil$ vérifiant :

$$\forall \underline{p} \in \{0,1\}^n \quad \left(f(\underline{p}) = 1 \iff \bigvee\nolimits_{\underline{r} \in \{0,1\}^\ell} \psi(\underline{p}, \underline{r}) = 1 \right) \tag{13.5}$$

En outre dans le second membre il y a une seule affectation des variables $r_1, \ldots, r_\ell$ dans $\{0,1\}^\ell$ qui rend l'expression φ vraie (lorsque $f(\underline{p}) = 1$), c'est-à-dire que $\psi(\underline{p}, \underline{r})$ est nulle pour tout $\underline{r} \in \{0,1\}^\ell$ à l'exception de cette valeur. D'où l'égalité 13.4 : $f(\underline{p}) = \sum_{\underline{r} \in \{0,1\}^\ell} \psi(\underline{p}, \underline{r})$. $\square$

Nous en déduisons les corollaires suivants.

Proposition 13.2.9 *Toute famille* $f_n : \{0,1\}^{v_n} \to \{0,1\}$ *dans* $\mathcal{BP}$ *est simulée en évaluation par une famille dans* $\mathcal{VNP}_e$*, ceci sur tout anneau commutatif (non trivial). Toute famille* $g_n : \{0,1\}^{v_n} \to \mathbb{N}$ *dans* $\#\mathcal{BP}$*, est simulée en évaluation par une famille dans* $\mathcal{VNP}_e$ *sur tout anneau commutatif contenant* $\mathbb{Z}$*.*

Théorème 13.4 *Si* $\mathcal{VP}(\mathbb{Z}) = \mathcal{VNP}_e(\mathbb{Z})$ *alors* $\mathcal{BNC}^3 = \mathcal{BP} = \mathcal{BNP} = \#\mathcal{BP}$*.*

Preuve. Supposons $\mathcal{VP}(\mathbb{Z}) = \mathcal{VNP}_e(\mathbb{Z})$ et soit (f_n) une famille dans $\#\mathcal{BP}$. Remarquons que (f_n) est p-bornée en taille. Par la proposition précédente, cette famille est simulée en évaluation par une famille dans $\mathcal{VNP}_e(\mathbb{Z})$ donc par une famille dans $\mathcal{VP}(\mathbb{Z}) = \mathcal{VNC}^2(\mathbb{Z})$. Or une telle famille s'évalue par une famille dans $\mathcal{BNC}^3$ d'après le lemme 13.2.3. □

En fait, en utilisant des techniques nettement plus subtiles, Bürgisser a montré les résultats suivants (cf. [Bur]).

Théorème 13.5

1. *Soit* $\mathbb{F}_q$ *un corps fini, si* $\mathcal{VP}(\mathbb{F}_q) = \mathcal{VNP}_e(\mathbb{F}_q)$ *alors* $\mathcal{BNC}^2 = \mathcal{BP} = \mathcal{BNP}$*.*
2. *Soit* $\mathcal{K}$ *un corps de caractéristique nulle. Supposons que l'hypothèse de Riemann généralisée est vraie. Si* $\mathcal{VP}(\mathcal{K}) = \mathcal{VNP}_e(\mathcal{K})$ *alors* $\mathcal{BNC}^3 = \mathcal{BP} = \mathcal{BNP}$*.*

13.2.3 Formes algébriques déployées

Forme algébrique déployée d'une fonction booléenne

Pour traiter les questions de taille d'expressions ou de circuits booléens il est a priori prometteur d'interpréter une fonction booléenne par un polynôme algébrique usuel. Une traduction particulièrement simple consiste à *étaler* certaines valeurs de la fonction booléenne : on remplace la fonction booléenne à $m+n$ variables $f(p_1,\ldots,p_m,q_1,\ldots,q_n)$ par le polynôme suivant, en m variables, avec pour seuls exposants 0 ou 1 dans les monômes

$$F(p_1,\ldots,p_m) = \sum\nolimits_{\mu\in\{0,1\}^n} f(p_1,\ldots,p_m,\mu)\, x^\mu \tag{13.6}$$

où $\mu = \mu_1,\ldots,\mu_n$ et $x^\mu = x_1^{\mu_1}\cdots x_n^{\mu_n}$.

Nous dirons que *le polynôme* F *est la forme algébrique déployée (sur les variables* $q_1,\ldots,q_n$*) de la fonction booléenne* f*.* Lorsque $m \neq 0$

chaque coefficient de F est une fonction booléenne de $p_1, \ldots, p_m$ qui doit être simulée algébriquement. Lorsque $m = 0$ on a une *forme algébrique déployée pure* et les coefficients de F sont tous égaux à 0 ou 1.

Une définition analogue est également valable si on remplace $f : \{0,1\}^{m+n} \to \{0,1\}$ par une application $g : \{0,1\}^{m+n} \to \mathbb{Z}$.

Si la fonction booléenne f est facile à calculer, le polynôme correspondant F aura ses coefficients faciles à évaluer, mais il risque d'être difficile à évaluer, puisqu'il y aura en général un nombre trop grand (exponentiel en n) de coefficients non nuls.

On a alors comme conséquence des résultats précédents.

Lemme 13.2.10 *Soit une fonction booléenne $f(p_1, \ldots, p_m, q_1, \ldots, q_n)$ évaluée par un circuit booléen γ de taille τ. Sa forme algébrique déployée F sur les variables $q_1, \ldots, q_n$ admet une description (au sens de la définition 12.1.2) par une expression arithmétique de profondeur $\leq 5 + \lceil \log(3\tau) \rceil$ et de taille $\leq 14\tau + 4n \leq 18\tau$. Cette expression arithmétique utilise les seuls constantes 0, 1 et -1 et est valable sur tout anneau commutatif (non trivial).*

Preuve. Cela résulte du lemme 13.2.8 et de la constatation suivante. On a pour $\mu_1, \ldots, \mu_n \in \{0,1\}$

$$x_1^{\mu_1} \cdots x_n^{\mu_n} = \prod_{i=1}^{n} (\mu_i(x_i - 1) + 1)$$

qui s'écrit comme une expression de profondeur $\leq 3 + \lceil \log n \rceil < 4 + \lceil \log(3\tau) \rceil$ et de taille $4n - 1$. Donc si la fonction booléenne f est décrite par l'expression arithmétique $\psi(\underline{p}, \underline{q}, \underline{r})$ (lemme 13.2.8), le polynôme F est égal à

$$\sum_{(\underline{\mu}, \underline{r}) \in \{0,1\}^{n+\ell}} \psi(\underline{p}, \underline{\mu}, \underline{r}) \cdot \prod_{i=1}^{n} (\mu_i x_i + 1 - \mu_i)$$

et il admet pour description l'expression arithmétique à $m + 2n + \ell$ variables

$$\theta(\underline{p}, \underline{x}, \underline{\mu}, \underline{r}) = \psi(\underline{p}, \underline{\mu}, \underline{r}) \cdot \prod_{i=1}^{n} (\mu_i x_i + 1 - \mu_i)$$

de profondeur $\leq 5 + \lceil \log(3\tau) \rceil$ et de taille $\leq 14\tau + 4n$. □

Forme algébrique déployée d'une famille de fonctions booléennes

Une famille de fonctions booléennes $f_n : \{0,1\}^{v_n + w_n} \to \{0,1\}$ admet pour forme algébrique déployée (sur les w_n dernières variables) la famille des polynômes F_n qui sont les formes algébriques déployées des

fonctions f_n. Même chose pour la forme algébrique déployée d'une famille $g_n : \{0,1\}^{v_n+w_n} \to \mathbb{N}$.

On a comme corollaire du lemme 13.2.10.

Théorème 13.6 (Critère de Valiant) *Toute famille de fonctions booléennes dans $\mathcal{BP}$ admet pour forme algébrique déployée une famille de polynômes dans $\mathcal{VNP}_e$, qui convient pour tout anneau commutatif (non trivial). En conséquence une famille dans $\#\mathcal{BP}$ admet pour forme algébrique déployée une famille dans $\mathcal{VNP}_e(\mathbb{Z})$, et cette famille convient pour tout anneau contenant $\mathbb{Z}$.*

Dans le cas d'une fonction booléenne cela peut sembler un peu décevant, puisqu'a priori $\mathcal{VNP}_e$ est une classe réputée difficile à calculer (elle simule $\#\mathcal{BP}_e = \#\mathcal{BP}$), mais il y a une très bonne raison à cela. En effet, supposons qu'on déploie toutes les variables, alors si on calcule $F_n(1,\ldots,1)$ on trouve le nombre total des solutions de l'équation $f_n(\underline{p}) = 1$, c'est-à-dire la somme $\sum_{\underline{p}} f_n(\underline{p})$. Et ce n'est donc pas surprenant que F_n soit a priori plus difficile à calculer que ses coefficients. De manière générale, on ne peut guère espérer que l'intégrale définie d'une fonction soit en général aussi simple à calculer que la fonction elle-même.

Le critère de Valiant, malgré la simplicité de sa preuve, est un moyen puissant pour fabriquer des familles dans $\mathcal{VNP}_e$.

Comme toutes les preuves que nous avons données dans les chapitres 12 et 13, la preuve du critère de Valiant est clairement uniforme. Donc si (g_n) est une famille dans $\#\mathcal{P}$ (on prend pour entrée le mot formé par l'entier bâton n suivi d'un 0 puis du mot $\underline{p}$), alors la forme algébrique déployée de (g_n) admet pour description une famille *uniforme* de circuits arithmétiques dans $\mathcal{NC}^1$ qui utilise les seules constantes 0, 1 et -1 et qui donne le résultat correct sur tout anneau contenant $\mathbb{Z}$.

13.3 Complexité binaire versus complexité booléenne

Famille de fonctions booléennes associée à un problème algorithmique

Notons $\{0,1\}^\star$ l'ensemble des mots écrits sur l'alphabet $\{0,1\}$. Nous pouvons voir cet ensemble comme la réunion disjointe des $\{0,1\}^n$.

Considérons un *problème algorithmique* P qui est codé sous forme binaire : autrement dit, toute instance de ce problème correspond à une

question codée comme un élément de $\{0,1\}^n$ pour un certain entier n et la réponse à la question, du type oui ou non, est elle-même codée comme un élément de $\{0,1\}$.

On peut interpréter ce problème P comme fournissant, pour chaque n, une fonction booléenne $f_n : \{0,1\}^n \to \{0,1\}$. Nous dirons que la famille (f_n) est *la famille de fonctions booléennes associée au problème algorithmique* P.

Supposons maintenant que le problème P porte sur les graphes orientés. Un code naturel pour un graphe orienté à n sommets est sa *matrice d'ajacence* qui est une matrice dans $\{0,1\}^{n\times n}$. Cette matrice contient 1 en position (i,j) si et seulement si il y a une arète orientée qui va de i à j dans le graphe considéré. Dans ce cas, on voit que la famille de fonctions booléennes associée au problème P est plus naturellement définie comme une famille $f_n : \{0,1\}^{n^2} \to \{0,1\}$.

On dira que le problème algorithmique P est dans une classe de complexité booléenne $\mathcal{C}$ si la famille de fonctions booléennes qui lui est naturellement attachée est dans $\mathcal{C}$.

Famille d'applications booléennes associée à une fonction algorithmique

Considérons maintenant une *fonction algorithmique* F, une fonction qu'on aurait envie de faire calculer par un ordinateur : l'entrée et la sortie sont codées en binaire, c'est-à-dire considérées comme des éléments de $\{0,1\}^\star$.

Supposons que $t(n)$ est une majoration de la taille de la sortie en fonction de la taille n de l'entrée et que la fonction t « n'est pas plus difficile à calculer » que F.

Nous pouvons alors recalibrer la fonction F de manière que la taille de sa sortie ne dépende que de la taille de son entrée. Par exemple nous prenons la fonction G qui, pour un mot μ en entrée de taille n, calcule le mot $F(\mu)$ précédé d'un 1, lui-même précédé du nombre de 0 nécessaire pour atteindre la longueur $1+t(n)$. Il est clair qu'on récupère facilement F à partir de G.

Cette convention nous permet d'associer à toute fonction algorithmique F une famille d'applications booléennes

$$f_n : \{0,1\}^n \to \{0,1\}^{1+m}$$

où $m = t(n)$ est une majoration de la taille de la sortie en fonction de

la taille de l'entrée. La famille d'applications booléennes associée à F dépend donc de la fonction de majoration t que l'on considère.

Définition 13.3.1 *Dans les conditions ci-dessus, nous dirons que* la famille (f_n) est la famille d'applications booléennes associée à la fonction algorithmique F avec la fonction de majoration t. *Si nous ne précisons pas cette fonction de majoration, nous disons simplement que la famille* (f_n) *est* une *famille d'applications booléennes associée à la fonction algorithmique* F. *On dira que la fonction algorithmique* F *est dans une classe de complexité booléenne* $\mathcal{C}$ *si la famille* (f_n) *est dans* $\mathcal{C}$.

Lorsque la fonction F est calculable, dans une classe de complexité binaire connue, on choisira toujours la fonction de majoration suffisamment simple, de façon que la fonction G reste dans la même classe de complexité.

Tout ce que nous venons de dire s'applique par exemple à une fonction F de $\{0,1\}^\star$ ou $\mathbb{N}$ vers $\mathbb{N}$ ou $\mathbb{Z}$, modulo des codages binaires naturels convenables.

Familles uniformes de circuits booléens

Considérons un problème algorithmique P qui est codé sous forme binaire : pour chaque n, une *fonction booléenne* $f_n : \{0,1\}^n \to \{0,1\}$ donne la réponse pour les mots de longueur n. Cette famille (f_n) peut être réalisée sous forme d'une famille d'expressions booléennes, ou sous forme d'une famille de circuits booléens.

En complexité binaire on s'intéresse à la fois à la taille (de ces expressions ou de ces circuits) et à la difficulté proprement algorithmique qu'il peut y avoir à produire l'expression (ou le circuit) n° n en fonction de l'entrée n (codée en unaire). Ce deuxième aspect correspond à la question : la famille est-elle uniforme ?

Un théorème précis donne l'interprétation de la calculabilité en temps polynomial en termes de familles de circuits booléens (cf. [BDG] théorème 5.19).

Théorème 13.7 *Soit* P *un problème algorithmique codé sous forme binaire.*

(1) *Si le problème* P *est résoluble en temps* T *par une Machine de Turing à une seule bande, on peut construire en temps* $\mathcal{O}(T^2)$ *une famille de circuits booléens qui représente la famille de fonctions booléennes* (f_n) *associée à* P.

(2) *Le problème P est résoluble en temps polynomial par une Machine de Turing si et seulement si il existe une famille uniforme de circuits booléens (γ_n) qui représente la famille de fonctions booléennes (f_n) associée à P.*

Ce théorème est important, même s'il a l'air de se mordre un peu la queue, puisque la famille (γ_n) doit être uniforme, c'est-à-dire calculable en temps polynomial par une Machine de Turing.

Il n'est pas trop compliqué à démontrer. Il est relié à l'existence d'une Machine de Turing universelle qui travaille en temps polynomial. Le fait que le résultat du calcul (sur une entrée μ de taille n) au bout de t étapes est bien celui affiché peut être vérifié en exécutant soi-même le programme à la main, et on peut certifier la totalité du calcul en certifiant le résultat de chaque étape intermédiaire. Quand au bout du compte, on dit « la sortie a été correctement calculée », on peut aussi l'écrire en détail sous forme d'un circuit booléen γ_n qui fonctionne pour toute entrée de taille n. Il faut un peu d'attention pour vérifier que tout ceci reste dans le cadre de la taille polynomiale. C'est le même genre d'argument qui a permis à Cook de fournir le premier et le plus populaire des problèmes $\mathcal{NP}$-complets, celui de la satisfiabilité des expressions booléennes (étant donné une expression booléenne, existe-t-il une façon d'affecter les variables booléennes en entrée qui donne à l'expression la valeur Vrai ?), problème plus parlant que le problème $\mathcal{NP}$-complet universel que nous avons exposé page 140 dans la section 4.2.

Le théorème 13.7 nous donne immédiatement.

Proposition 13.3.2 *Soit P un problème algorithmique, codé sous forme binaire. Soit $F : \{0,1\}^\star \to \mathbb{N}$ une fonction algorithmique.*

- *Si le problème P est dans la classe $\mathcal{P}$, alors il est dans $\mathcal{P}/poly$.*
- *Si le problème P est dans la classe $\mathcal{NP}$, alors il est dans $\mathcal{NP}/poly$.*
- *Si la fonction F est dans la classe $\#\mathcal{P}$, alors elle est dans $\#\mathcal{P}/poly$.*

La signification intuitive importante du théorème 13.7 est que *la classe $\mathcal{P}/poly$ est l'exact analogue non uniforme de la classe $\mathcal{P}$:* soit en effet P un problème algorithmique qui correspond à une famille (f_n) de fonctions booléennes,

- le problème P est dans la classe $\mathcal{P}$ signifie que (f_n) est calculable par une *famille uniforme* γ_n de circuits booléens (à fortiori la taille de (γ_n) est polynomiale en n),

– le problème P est dans la classe $\mathcal{P}/poly$ signifie que (f_n) est calculable par une famille (γ_n) de circuits booléens dont la taille est polynomiale en n.

Étant donné que $\mathcal{NP}/poly$ et $\#\mathcal{P}/poly$ sont définis à partir de $\mathcal{P}/poly$ de manière similaire à la définition de $\mathcal{NP}$ et $\#\mathcal{P}$ à partir de $\mathcal{P}$, une autre signification intuitive importante du théorème 13.7 est que les classes $\mathcal{NP}/poly$ et $\#\mathcal{P}/poly$ sont les exacts analogues non uniformes des classes $\mathcal{NP}$ et $\#\mathcal{P}$.

La preuve qu'un problème algébrique donné P est $\mathcal{NP}$-complet donne en général un procédé uniforme de réduction d'une famille arbitraire dans $\mathcal{BNP}$ (uniforme ou non) à la famille de fonctions booléennes attachée à P. En conséquence on obtient l'implication $\mathcal{P} = \mathcal{NP} \Rightarrow \mathcal{BP} = \mathcal{BNP}$. Autrement dit la conjecture non uniforme $\mathcal{BP} \neq \mathcal{BNP}$ est plus forte que la conjecture classique $\mathcal{P} \neq \mathcal{NP}$.

La même remarque vaut en remplaçant $\mathcal{NP}$ par $\#\mathcal{P}$.

13.4 Le caractère universel du permanent

Le permanent

Par définition le *permanent* d'une matrice carrée $A = (a_{ij})_{1\leq i,j\leq n}$ sur un anneau commutatif $\mathcal{A}$ est le polynôme en les a_{ij}, noté $\mathrm{per}(A)$, défini par l'expression analogue à celle du déterminant obtenue en remplaçant les signes $-$ par les $+$:

$$\mathrm{per}(A) \;=\; \mathrm{per}_n((a_{ij})_{1\leq i,j\leq n}) \;=\; \sum_{\sigma\in\mathcal{S}_n} \quad \prod\nolimits_{i=1}^{n} a_{i,\sigma(i)} \tag{13.7}$$

où σ parcourt toutes les permutations de $\{1,\ldots,n\}$. Nous considérons (per_n) comme une famille de polynômes à n^2 variables sur l'anneau $\mathcal{A}$.

On ne connaît pas de manière rapide d'évaluer le permanent d'une matrice à coefficients entiers, ni sur aucun corps de caractéristique distincte de 2 (en caractéristique 2 le permanent est égal au déterminant et se laisse donc évaluer facilement).

Lorsque les coefficients sont tous égaux à 0 ou 1 on peut interpréter la matrice A comme donnant le graphe d'une relation entre deux ensembles à n éléments F et G. Par exemple les éléments de F sont des filles et ceux de G sont des garçons, et la relation est la relation d'affinité (ils veulent bien danser ensemble). Alors le permanent de la matrice correspondante compte le nombre de manières distinctes de rem-

plir la piste de danse sans laisser personne sur le bord. Ainsi la famille $f_n : \{0,1\}^{n^2} \to \mathbb{N}$ définie par $f_n(A) = \mathrm{per}_n(A)$ est une famille dans $\#\mathcal{P}$.

Le critère de Valiant (théorème 13.6 page 335) montre par ailleurs que la famille de polynômes (per_n) est dans $\mathcal{VNP}_e$ sur n'importe quel anneau commutatif : en effet la famille (per_n) n'est autre que la forme algébrique déployée de la famille des fonctions booléennes qui testent si une matrice dans $\{0,1\}^{n\times n}$ est une matrice de permutation.

Deux théorèmes de Valiant sur le permanent

Valiant a établi l'égalité $\mathcal{VNP} = \mathcal{VNP}_e$ et il a montré le caractère universel du permanent, à la fois en complexité binaire et en complexité algébrique.

Théorème 13.8 *Le calcul du permanent pour les matrices carrées à coefficients dans* $\{0,1\}$ *est* $\#\mathcal{P}$*-complet.*

Théorème 13.9 *Sur un corps de caractéristique* $\neq 2$*, et plus généralement sur un anneau dans lequel* 2 *est inversible, la famille* (per_n) *est universelle pour la classe* $\mathcal{VNP}$ *: toute famille dans* $\mathcal{VNP}$ *est une p-projection de la famille* (per_n)*.*

Les preuves de ces deux théorèmes sont délicates. Pour le deuxième nous recommandons [Bur].

13.5 La conjecture de Valiant

Le petit tableau ci-après récapitule les analogies entre différentes classes de complexité. Dans les colonnes Booléen et Algébrique interviennent des familles *non uniformes* d'expressions ou circuits. Dans la colonne Sim nous indiquons si la simulation algébrique du cas booléen est connue comme étant sur la même ligne : deux points d'interrogation signifient qu'on ne le croit guère possible.

Rappelons que dans la première colonne (complexité binaire) toutes les inclusions en descendant sont conjecturées être strictes, et que les inclusions correspondantes dans le cas booléen (2ème colonne) sont aussi conjecturées strictes.

Petit récapitulatif

(Analogies entre complexité binaire, booléenne et algébrique)

Binaire	Booléen	Algébrique	Sim
$\mathcal{NC}^1$	$\mathcal{BP}_e = \mathcal{BNC}^1$	$\mathcal{VP}_e = \mathcal{VNC}^1$	oui
$\mathcal{NC}^2$	$\mathcal{BNC}^2$	$\mathcal{VNC}^2$	? ?
$\mathcal{NC}$	$\mathcal{BNC}$	$\mathcal{VNC} = \mathcal{VNC}^2$	? ?
$\mathcal{P}$	$\mathcal{BP}$	$\mathcal{VP} = \mathcal{VNC}^2$	? ?
		$\mathcal{VQP} = \mathcal{VQP}_e$	
$\mathcal{NP}$	$\mathcal{BNP} = \mathcal{BNP}_e$		
$\#\mathcal{P}$	$\#\mathcal{BP} = \#\mathcal{BP}_e$	$\mathcal{VNP} = \mathcal{VNP}_e$	oui

Valiant a proposé la conjecture :

$$\textit{Pour tout corps } \mathcal{K}, \qquad \mathcal{VP} \neq \mathcal{VNP}.$$

Cette conjecture est un analogue algébrique non uniforme de la conjecture algorithmique $\mathcal{P} \neq \mathcal{NP}$ ou plus précisément de $\mathcal{P} \neq \#\mathcal{P}$.

Sur un corps de caractéristique $\neq 2$, vu le théorème 13.9, cette conjecture s'écrit purement en termes d'expressions arithmétiques :

Le permanent n'est pas une p-projection du déterminant.

C'est sur les corps finis que la conjecture semble le plus significative, parce que la situation algébrique y est le plus proche du cas booléen : elle n'est pas perturbée par la présence d'éléments de taille arbitrairement grande dans le corps.

Si on disposait d'une procédure uniforme qui réduise la famille (per_n) à une famille dans $\mathcal{VP}$, alors le calcul du permanent d'une matrice dans $\{0,1\}^{n^2}$ serait dans la classe $\mathcal{P}$ et donc on aurait $\mathcal{P} = \#\mathcal{P}$ par le théorème 13.8.

Plus généralement, le théorème 13.5 page 333 montre que $\mathcal{P}/poly \neq \#\mathcal{P}/poly$ implique $\mathcal{VP}(\mathbb{F}_q) \neq \mathcal{VNP}(\mathbb{F}_q)$ pour tout corps fini, et sous l'hypothèse de Riemann généralisée, $\mathcal{VP}(\mathcal{K}) \neq \mathcal{VNP}(\mathcal{K})$ pour tout corps de caractéristique nulle.

Par ailleurs si on avait $\mathcal{P} = \#\mathcal{P}$, le calcul du permanent d'une matrice dans $\{0,1\}^{n^2}$ serait dans la classe $\mathcal{P}$, donc a foriori dans $\mathcal{P}/poly$ et on aurait $\#\mathcal{P}/poly = \mathcal{P}/poly$, mais peut-être pas pour autant $\mathcal{VP} = \mathcal{VNP}$.

La conjecture de Valiant est qu'il n'existe aucune procédure, même sans l'hypothèse restrictive d'uniformité, qui réduise la famille (per_n) à une famille dans $\mathcal{VP}$.

L'avantage de la conjecture de Valiant est qu'elle est un problème purement algébrique, qui parle uniquement de la taille de la représentation d'une certaine famille de polynômes par des familles de circuits arithmétiques.

Comme un des aspects les plus mystérieux de la conjecture $\mathcal{P} \neq \mathcal{NP}$ (cela n'a pas toujours représenté un million de dollars [4] mais cela a toujours semblé très excitant) tient à la question de l'uniformité des familles de circuits booléens en jeu, on contournerait cet obstacle si on démontrait la conjecture analogue non uniforme et plus forte $\mathcal{P}/poly \neq \mathcal{NP}/poly$.

Et la forme purement algébrique $\mathcal{VP} \neq \mathcal{VNP}$ serait plus à notre portée. Une preuve de $\mathcal{VP} \neq \mathcal{VNP}$ serait un pas important qui éclairerait le chemin pour une preuve de $\mathcal{P}/poly \neq \#\mathcal{P}/poly$, qui implique $\mathcal{P} \neq \#\mathcal{P}$. Cela pourrait suggérer enfin une preuve de $\mathcal{P} \neq \mathcal{NP}$.

Un petit ennui dans cette suite de considérations informelles : les deux points d'interrogation sur la ligne $\mathcal{P}$ du petit tableau récapitualtif.

Comme $\mathcal{VQP} = \mathcal{VQP}_e$ et $\mathcal{VNP} = \mathcal{VNP}_e$, la *conjecture de Valiant étendue*, à savoir :

$$\textit{Pour tout corps } \mathcal{K}, \qquad \mathcal{VNP} \not\subset \mathcal{VQP}$$

est regardée par certains auteurs comme encore plus instructive pour la compréhension du problème algorithmique analogue $\mathcal{P} \neq \#\mathcal{P}$.

Sur un corps de caractéristique $\neq 2$, cela équivaut à :

Le permanent n'est pas une qp-projection du déterminant.

Notons que Bürgisser a démontré que $\mathcal{VQP} \not\subset \mathcal{VNP}$ sur les corps de caractéristique nulle (voir [Bur]).

4. Un milliardaire américain qui aimerait devenir célèbre a proposé en l'an 2000 un prix d'un million de dollars pour celui ou celle qui résoudrait le problème $\mathcal{P} = \mathcal{NP}$?. Six autres conjectures mathématiques importantes sont dotées d'un prix analogue. Un million de dollars n'est d'ailleurs pas grand chose comparé à ce que gagne un bon joueur de football, et rien du tout par rapport à un avion furtif. Ceci tendrait à dire qu'un milliardaire peut espérer devenir célèbre avec un investissement très modeste. Notez que si vous démontrez que $\#\mathcal{P} \neq \mathcal{NP}$, vous aurez droit à l'admiration de tou(te)s les mathé/infor-maticien(ne)s, mais vous n'aurez pas le million de dollars correspondant à $\mathcal{P} \neq \mathcal{NP}$. C'est certainement injuste, mais c'est ainsi.

Annexe : codes Maple

Nous donnons, dans les pages qui suivent, les codes MAPLE des algorithmes qui calculent le polynôme caractéristique et dont nous avons testé les performances.

Les codes sont écrits ici dans la version MAPLE 6, mais les tests ont été faits avec la version MAPLE 5. Les différences sont les suivantes. Premièrement la version MAPLE 6 a grandement amélioré son calcul standard de polynôme caractéristique (en le basant sur l'algorithme de Berkowitz ?). Deuxièmement, dans MAPLE 6, le dernier objet calculé est désigné par `%` alors que dans MAPLE 5 il était désigné par `"`. Enfin, dans MAPLE 6 une procédure se termine par `end proc:` tandis que dans MAPLE 5 elle se termine par `end:`

Les algorithmes que nous avons comparés sont ceux de Berkowitz amélioré (noté **berkodense**), de Jordan-Bareiss modifié (**barmodif**), de Faddeev-Souriau-Frame (**faddeev**), de Chistov (**chistodense**) et leurs versions modulaires respectives (nous donnons ici **berkomod**), ainsi que les algorithmes correspondant à la méthode d'interpolation de Lagrange, celle de Hessenberg et celle de Kaltofen-Wiedemann (notés respectivement **interpoly**, **hessenberg** et **kalto**), en plus de la fonction **charpoly** faisant partie du package `linalg` de MAPLE que nous avons notée **linalpoly** dans nos tableaux de comparaison. Nous avons également adapté **berkodense** et **chistodense** au cas des matrices creuses (voir les codes **berksparse** et **chisparse** dérivés)

Les mesures du temps CPU et de l'espace-mémoire pour chaque algorithme testé sont prises à l'aide des fonctions `time()` et `bytesalloc` du noyau de MAPLE.

```
### Somme des éléments d'une liste ###
###   de fractions rationnelles    ###
somme := proc(suite :: list(ratpoly))
  normal(convert(suite,`+`))
end proc:
###

##### Berkowitz dans le cas d'une matrice dense #####
berkodense := proc(A :: matrix,X :: name)
local n,r,i,j,k,V,C,S,Q;
  n := coldim(A);
  V := table([1 = -1,2 = A[1,1]]); C[1] := -1;
  for r from 2 to n do
    for i to r-1 do S[i] := A[i,r] od; C[2] := A[r,r];
    for i from 1 to r-2 do
      C[i+2] := somme([seq(A[r,k]*S[k],k=1..r-1)]);
      for j to r-1 do
        Q[j] := somme([seq(A[j,k]*S[k],k=1..r-1)])
      od;
      for j to r-1 do S[j] := Q[j] od;
    od;
    C[r+1] := somme([seq(A[r,k]*S[k],k=1..r-1)]);
    for i to r+1 do
      Q[i] := somme([seq(C[i+1-k]*V[k],k=1..min(r,i))]);
    od;
    for i to r+1 do V[i] := Q[i] od;
  od;
  somme([seq(V[k+1]*X^(n-k),k=0..n)]);
  collect(%,X)
end proc:
#####
```

```
##### Berkowitz dans le cas d'une matrice creuse #####
berksparse := proc(A::matrix,X::name)
local n,r,i,j,k,V,C,S,Q,N;
  n := coldim(A);
  V := table([1=-1,2=A[1,1]]);
  N := vector(n);
  for i to n do N[i] := {} od;
  C[1] := -1;
  for r from 2 to n do
    for i to n do
      if A[i,r-1]<>0 then N[i] := N[i] union {r-1} fi
    od;
    for i to r-1 do S[i] := A[i,r] od; C[2] := A[r,r];
    for i from 1 to r-2 do
      C[i+2] := somme([seq(A[r,j]*S[j],j=N[r])]);
      for j to r-1 do
        Q[j] := somme([seq(A[j,k]*S[k],k=N[j])]);
      od;
      for j to r-1 do S[j] := Q[j] od;
    od;
    C[r+1] := somme([seq(A[r,j]*S[j],j=N[r])]);
    for i to r+1 do
      Q[i] := somme([seq(C[i+1-k]*V[k],k=1..min(r,i)]);
    od;
    for i to r+1 do V[i] := Q[i] od;
  od;
  somme([seq(V[k+1]*X^(n-k),k=0..n)]);
  collect(%,X)
end proc;
#####
```

Nous avons également adapté les codes Maple ci-dessus, correspondant à l'algorithme amélioré de Berkowitz, au cas où les coefficients appartiennent à un anneau-quotient du type $\mathbb{Z}_p[lisvar]/\langle Ideal\rangle$. On obtient une procédure, notée **berkomod** dans nos tableaux de comparaison, qui prend en entrée un entier positif p, une liste d'indéterminées $lisvar$, une liste $Ideal$ de polynômes en $lisvar$ et la matrice $A \in (\mathbb{Z}_p[lisvar]/\langle Ideal\rangle)^{n\times n}$ pour donner en sortie le polynôme caractéristique de A.

La procédure **berkomod** ainsi que les versions modulaires des autres

algorithmes utilisent comme sous-procédure la procédure **polmod** qui prend en entrée un nombre entier p, un polynôme P de $\mathbb{Z}[lisvar]$, et donne en sortie un représentant simple de l'image canonique de P dans l'anneau-quotient $\mathbb{Z}_p[lisvar]/\langle Ideal\rangle$.

```
##### Réduction d'un polynôme modulo un idéal #####
polmod := 
proc(P::polynom,lisvar::list,Ideal::list,p::posint)
  local i, Q;
  if nops(lisvar)<>nops(Ideal) then
    ERROR(`The number of polynomials must
    be equal to the number of variables`)
  fi;
  Q := P;
  for i to nops(lisvar) do
    Q := rem(Q,Ideal[i],lisvar[i]);
    Q := Q mod p
  od;
  sort(Q);
end proc:
#####
```

On en déduit les deux calculs de base modulo l'idéal considéré, la somme d'une liste et le produit de deux éléments.

```
##### Somme d'une liste modulo un idéal #####
sommod := proc(s::list(polynom),
            lsv::list(name),lsp::list(polynom),p::posint)
  polmod(somme(s),lsv,lsp,p)
end proc:
#####

##### Evaluation d'un produit modulo un un ideal #####
promod := proc(P,Q::polynom,
            lsv::list(name),lsp::list(polynom),p::posint)
  polmod(P*Q,lsv,lsp,p)
end proc:
#####
```

Il ne reste plus qu'à réécrire **berkodense** en y remplaçant les opérations somme d'une liste de polynômes et produit de deux polynômes par les calculs modulaires donnés par **sommod** et **promod**.

```
##### Berkowitz modulaire #####
berkomod := proc(A::matrix,X::name,lsv::list(name),
                      lsp::list(polynom),p::posint)
local n,r,i,j,V,C,S,Q;
  n := coldim(A);
  V := table([1 = -1,2 = A[1,1]]); C[1] := -1;
  for r from 2 to n do
    for i to r-1 do S[i] := A[i,r] od; C[2] := A[r,r];
    for i from 1 to r-2 do
      [seq(promod(A[r,k],S[k],lsv,lsp,p),k=1..r-1)];
      C[i+2] := sommod(%,lsv,lsp,p);
      for j to r-1 do
        [seq(promod(A[j,k],S[k],lsv,lsp,p),k=1..r-1)]
        Q[j] := sommod(%,lsv,lsp,p)
      od;
      for j to r-1 do S[j] := Q[j] od;
    od;
    [seq(promod((A[r,k],S[k],lsv,lsp,p),k=1..r-1)];
    C[r+1] := sommod(%,lsv,lsp,p);
    for i to r+1 do
      [seq(promod((C[i+1-k],V[k],lsv,lsp,p),
                                  k=1..min(r,i))];
      Q[i] := sommod(%,lsv,lsp,p);
    od;
    for i to r+1 do V[i] := Q[i] od;
  od;
  somme([seq(V[k+1]*X^(n-k),k=0..n)]);
  collect(%,X)
end proc:
#####
```

Voici maintenant sans plus de commentaire les codes Maple des algorithmes **chistodense**, **chisparse**, **barmodif**, **faddeev**, **interpoly**, **hessenberg**, **kalto**.

```
##### (Chistov. Cas des matrices denses) #####
chistodense := proc(A::matrix,X::name)
local n,r,i,j,k,a,b,C,V,W,Q;
  n := coldim(A);
  a := array(0..n,[1]); C := array(0..n,[1]);
  for i to n do a[i] := normal(a[i-1]*A[1,1]) od;
  for r from 2 to n do
    for i to r do V[i] := A[i,r] od; C[1] := V[r];
    for i from 2 to n-1 do
      for j to r do
        W[j] := somme([seq(A[j,k]*V[k],k=1..r)]);
      od;
      for j to r do V[j] := W[j] od; C[i] := V[r];
    od;
    [C[n] := somme(seq(A[r,k]*V[k],k=1..r)]);
    for j from 0 to n do
      b[j] := somme([seq(C[j-k]*a[k],k=0..j)]);
    od;
    for j from 0 to n do a[j] := b[j] od;
  od;
  Q := somme([seq(X^k*a[k],k=0..n)]);
  Q := X^n*subs(X=1/X,inversf(Q,X,n));
  Q := collect((-1)^n*Q,X)
end proc:
#####
```

Calcul de l'inverse modulo $z^{(n+1)}$ d'un polynôme en z

```
inversf := proc(P,z,n)
  collect(convert(series(1/P,z,n+1),polynom),z,normal)
end proc:
### cette procédure utilisée dans les algorithmes
### de Chistov sera aussi utile dans l'algorithme kalto
```

```
##### Chistov. Cas des matrices creuses #####
chisparse := proc(A::matrix,X::name)
local n,r,i,j,k,a,b,C,N,V,W,Q;
  n := coldim(A);
  a := array(0..n,[1]); C := array(0..n,[1]);
  N := array(1..n); for i to n do N[i] := {} od;
  ## N[i]; éléments non nuls de la i-ème ligne
  for i to n do
    for j to n do
      if A[i,j] <> 0 then N[i] := N[i] union {j} fi
    od
  od; #### Fin de la construction de N
  for i to n do a[i] := normal(a[i-1]*A[1,1]) od;
  for r from 2 to n do
    for i to r do V[i] := A[i,r] od;
    C[1] := V[r];
    for i from 2 to n-1 do
      for j to r do
        [seq(A[j,k]*V[k],k = {$ 1..r} intersect N[j])];
        W[j] := somme(%)
      od;
      for j to r do V[j] := W[j] od;
      C[i] := V[r];
    od;
    [seq(A[r,k]*V[k],k = {$ 1..r} intersect N[r])];
    C[n] := somme(%);
    for j from 0 to n do
      b[j] := somme([seq(C[j-k]*a[k],k = 0..j)]);
    od;
    for j from 0 to n do a[j] := b[j] od;
  od;
  Q := somme([seq(X^k*a[k],k = 0..n)]);
  Q := X^n*subs(X = 1/X,inversf(Q,X,n));
  Q := collect((-1)^n*Q,X)
end proc:
#####
```

```
##### Jordan-Bareiss Modifié #####
barmodif := proc(A::matrix,X::name)
local B,n,p,i,j,piv,dencoe;
  den := 1; n := coldim(A); B := copy(A);
  B := evalm(B-X*array(identity, 1..n,1..n)); piv := B[1,1];
  for p from 1 to n-1 do
    for i from p+1 to n do
      coe := B[i,p];
      for j from p+1 to n do
        B[i,j] := normal((piv*B[i,j]-coe*B[p,j])/den)
      od
    od;
    den := piv; piv := B[p+1,p+1]
  od;
  sort(collect(piv,X),X)
end proc:    #####
```

```
##### Faddeev-Souriau-Frame #####
faddeev := proc(A::matrix,X::name)
local n, k, a, C, B, Id, P;
  n := coldim(A); a := array(1..n);
  Id := array(1..n,1..n,identity); B := copy(Id);
  for k from 1 to n do
    C := map(normal,multiply(A,B));
    a[k] := trace(C)/k;
    B := map(normal,evalm(C-a[k]*Id))
  od;
  P := somme([seq(a[k]*X^(n-k),k=1..n)]);
  sort((-1)^n*(X^n-P,X);
end proc:
#####
```

```
##### Interpolation de Lagrange #####
interpoly := proc(M::matrix,X::name)
local n,Id,i,j,N,d,L;
  n := coldim(M); Id := array(identity, 1..n, 1..n);
  for i to n+1 do d[i] := det(evalm(M-(i-1)*Id)) od;
  L := [seq(d[j], j = 1..n+1)];
  interp([`$`(0 .. n)], L, X);
end proc:
#####
```

```
##### Méthode de Hessenberg #####
hessenberg := proc(A::matrix,X::name)
local jpiv, ipiv, iciv, i, m, n, piv, c, H, P;
          # Initialisations
  n := coldim(A); P[0] := 1; H := copy(A);
          # Réduction de H à la forme de Hessenberg
  for jpiv from 1 to n-2 do
    ipiv := jpiv+1; iciv := ipiv; piv := normal(H[iciv,jpiv]) ;
    while piv = 0 and iciv < n do
      iciv := iciv+1 ; piv := normal(H[iciv,jpiv])
    od ;
    if piv <> 0 then
      if iciv > ipiv then
        H := swaprow(H,ipiv,iciv); # Echange de lignes
        H := swapcol(H,ipiv,iciv)  # Echange de colonnes
      fi;
      for i from iciv+1 to n do
        c := normal(H[i,jpiv]/piv) ;
        H := addrow(H,ipiv,i,-c);# Manipulation de lignes
        H := addcol(H,i,ipiv,c)  # Manipulation de colonnes
      od;
      H := map(normal,H)
    fi
  od ;
          # Calcul du polynôme caractéristique
  for m from 1 to n do
    P[m] := normal((H[m,m]-X) * P[m-1]) ; c := 1 ;
    for i from 1 to m-1 do
      c := normal(-c * H[m-i+1,m-i]) ;
      P[m] := normal(P[m]+c * H[m-i,m]* P[m-i-1])
    od
  od ;
  collect(P[n],X) # le polynôme caractéristique de A.
end proc;
#####
```

```
#### developpement limité à l'ordre n ####
devlim := proc(s::ratpoly,u::name,n::integer)
  convert(series(s,u,n+1),polynom); collect(",u,normal)
end proc;
#####

##### Kaltofen-Wiedemann #####
kalto := proc(A::matrix,X::name)
local n,i,j,k,a,b,bv,bw,c,B,C,P,u;
  n := coldim(A);
  ### Initialisation
  a := stre(n); C := stra(n);
  b := vector(2*n); B := evalm(C+u*(A-C));
  ### Calcul des b_i
  b[1] := a[1];
  bv := copy(a); bw := vector(n);
  for i from 2 to n+1 do
    ## multiplication de B par bv
    for j to n do
      bw[j] := somme([seq(B[j,k]*bv[k],k=1..n)]);
    od;
    for j to n do bv[j] := bw[j] od;
    b[i] := bv[1]
  od;
  for i from n+2 to 2*n do
    ## multiplication de B par bv
    for j to n do
      bw[j] := somme([seq(B[j,k]*bv[k],k=1..n)]);
    od;
    for j to n do bv[j] := bw[j] od;
    b[i] := devlim(bv[1],u,n);
  od;
  P := polgenmin(b,X,u,n);
  P := sort(subs(u=1,(-1)^n*res),X);
  P := collect(P,X,normal)
end proc:
#####
```

```
##### Sous-procédures utilisées dans kalto  #####

### polgenmin: Procédure de Berlekamp-Massey     ###
### pour le calcul du polynôme générateur minimal ###
###        d'une suite récurrente linéaire        ###
###    Ici, l'anneau de base est l'anneau des     ###
###     développements limités A[z]/<z^(n+1)>     ###
polgenmin := proc(b::vector,X::name,z::name,n::integer)
local i,lc,ilc,ill,R1,R2,R3,V1,V2,V3,Q;
  R1 := somme([seq(b[2*n-k]*X^k,k=0..2*n-1)]);
  Q := quo(X^(2*n),R,X,'R2');
  V1 := 1; V2 := -Q; ill := 1;
  for i from 2 to n do
    ### traiter R2
    R2 := collect(R2,X,normal);
    lc := lcoeff(R2,X);
    ilc := inversf(lc,z,n);
    R2 := devlim(ilc*R2,z,n);
    Q := quo(R1,R2,X,'R3');
    Q := devlim(Q,z,n);
    R3 := devlim(R3,z,n);
    V3 := devlim(ill*V1-ilc*V2*Q,z,n);
    ill := ilc;
    V1 := V2; V2 := sort(V3,X);
    R1 := R2; R2 := sort(R3,X);
  od;
  V2 := collect(V2,X);
  lc := lcoeff(V2,X); ilc := inversf(lc,z,n);
  V2 := devlim(ilc*V2,z,n);
  V2 := collect(V2,z,normal)
end proc:
#####
```

```
#### Vecteur du centre d'élimination des divisions ####
stre := proc(n)
local i,a;
  a := vector(n);
  for i to n do
    a[i] := binomial(i-1,floor((i-1)/2))
  od;
  eval(a)
end proc:
#####

#### Matrice du centre d'élimination des divisions ####
stra := proc(n)
local i,C;
  C := array(1..n,1..n,sparse);
  for i to n-1 do
    C[n,i] := (-1)^floor((n-i)/2) *
          binomial(floor((n+i-1)/2),i-1);
    C[i,i+1] := 1
  od;
  C[n,n] := 1; evalm(C)
end proc:
#####
```

Liste des algorithmes, circuits et programmes d'évaluation

2.1 Algorithme du pivot de Gauss simplifié et LU-décomposition . . . 60
2.2 Deuxième algorithme du pivot de Gauss simplifié . . . 62
2.3 LUP-décomposition d'une matrice surjective . . . 64
2.4 Algorithme de Jordan-Bareiss . . . 68
2.5 Algorithme de Dodgson pour une matrice de Hankel . . . 73
2.6 Algorithme de Hessenberg . . . 76
2.7 Algorithme de Le Verrier . . . 83
2.8 Algorithme de Souriau-Faddeev-Frame . . . 85
2.9 Algorithme de Preparata & Sarwate, version séquentielle . . . 89
2.10 Algorithme de Berkowitz, principe général . . . 91
2.11 Algorithme de Berkowitz, version séquentielle . . . 92
2.12 Algorithme de Chistov, principe général . . . 95
2.13 Algorithme de Chistov, version séquentielle simple . . . 96
2.14 Algorithme JorBarSol . . . 99
2.15 Algorithme de Frobenius. . . . 101
2.16 Algorithme de Berlekamp-Massey . . . 109

3.1 Programme d'évaluation du déterminant et de la LU-décomposition d'une matrice carrée d'ordre 4 . . . 113
3.2 Circuit de l'algorithme du pivot de Gauss simplifié . . . 117
3.3 Programme d'évaluation du déterminant et de la LU-décomposition de la matrice carrée $\mathrm{I}_3 + zF$ . . . 123
3.4 Programme d'évaluation du déterminant d'une matrice carrée après élimination des divisions à la Strassen . . . 124

5.1 Calcul Parallèle des Préfixes 164
5.2 Exemples de circuits $\mathcal{P}_k(n)$ $(k \in \{0,1\})$ 169

6.1 Produit de deux polynômes à la Karatsuba 173
6.2 Transformation de Fourier Discrète 178

7.1 Multiplication par blocs, à la Strassen-Winograd 189
7.2 Produit à la Strassen de deux matrices carrées d'ordre 2 . 192

8.1 LUP-décomposition à la Bunch & Hopcroft 232
8.2 Algorithme de Kaltofen-Wiedemann 249

9.1 Algorithme de Csanky 256
9.2 Algorithme de Preparata & Sarwate 262

Liste des figures

5.1 Construction récursive des circuits binaires équilibrés . . 163
5.2 Schéma de la construction récursive des circuits $\mathcal{P}_k(n)$ . . 166
5.3 Construction récursive des circuits $\mathcal{P}_0(n)$ 167
5.4 Construction récursive des circuits $\mathcal{P}_1(n)$ 168

7.1 Produit matriciel à trou de Bini 210
7.2 Produit matriciel plein 211
7.3 Numérotation par blocs 213
7.4 Bini itéré une fois 216
7.5 Bini itéré deux fois 216
7.6 Produit à trous extrait de « Bini itéré deux fois » 217
7.7 Un exemple arbitraire de produit matriciel à trous 219
7.8 L'exemple précédent itéré une fois 220
7.9 Somme directe de deux produits matriciels 222
7.10 Somme directe itérée 225
7.11 Somme directe itérée, variante 226

10.1 Calcul de U_ν 276
10.2 Calcul de V_ν 277
10.3 Calcul des produits partiels 281

12.1 L'arbre de Horner 305
12.2 Parallélisation d'une expression, 1 310
12.3 Parallélisation d'une expression, 2 311
12.4 Parallélisation d'une expression, 3 311
12.5 L'arbre de Horner parallélisé 312
12.6 Une expression p-universelle 320

Bibliographie

[AHU] Aho A.V. & Hopcroft J. & Ulmann J. *The Design and Analysis of Computer Algorithms*, Addison Wesley, Reading, MA, 1974. 62, 171

[BDG] Balcázar J. L., Díaz J. & Gabarró J. *Structural complexity. I.* Second edition. Texts in Theoretical Computer Science. Springer, (1995). v, 131, 135, 324, 337

[Bha] Bhaskara Rao K. *The Theory of Generalized Inverses over a Commutative Ring.* Taylor & Francis Londres, 2002. 48

[BP] Bini D. & Pan V. *Polynomial and Matrix Computations, Vol. 1, Fundamental Algorithms*, Birkhäuser, 1994. v, 40, 62, 184, 253, 259

[Bur] Bürgisser P. *Completeness and Reduction in Algebraic Complexity Theory*, Springer, 2000. v, 271, 272, 303, 326, 331, 333, 340, 342

[BCS] Bürgisser P., Clausen M. & Shokrollahi M. *Algebraic Complexity Theory*, Springer, 1997. v, 151, 187, 237, 303, 309

[Cia] Ciarlet P. *Introduction à l'analyse numérique matricielle et à l'optimisation*, Dunod, 1998. 30, 41

[Coh] Cohen H. *A course in computational algebraic number theory*, Graduate Texts in Maths, vol. 138, Springer, 1993.

[CCS] Cohen A., Cuypers H., Sterk H. (eds) *Some tapas of computer algebra*, Algorithms and Computation in Mathematics, vol. 4, Springer, 1999. 365

[CT] Cosnard M. & Trystram D. *Algorithmes et architectures parallèles*, InterEditions, Paris, 1993. 152, 153, 154

[Dur] Durand E. *Solutions numériques des équations algébriques. Tome II : Systèmes de plusieurs équations, Valeurs propres des matrices.* Masson, Paris, 1961. 66

[FF] Faddeev D.K. & Faddeeva V.N. *Computational methods of linear algebra* , W.H. Freeman & Co., San Francisco, 1963. 13, 83, 90, 272

[FS] Faddeev D. & Sominskii I. *Collected Problems in Higher Algebra*, 1949, Problem n° 979. 84

[GR] Gabriel P. & Roiter A. *Representations of finite-dimensional algebras*, Springer, 1997. 55

[GG] von zur Gathen J. & Gerhard J. *Modern Computer Algebra*, Cambridge University Press, 1999. v, 33, 108, 253

[Gan] Gantmacher F. *Théorie des Matrices, Tome 1, (Théorie Générale)*, Dunod, Paris, 1966. v, 4, 20, 289

[Gas] Gastinel N. *Analyse numérique réelle*, Hermann, Paris, 1966. ii, 13, 90, 272

[Gob] Goblot R. *Algèbre commutative*, Masson, Paris. 2ème édition, 2002. 20

[GL] Golub G. & van Loan Ch. *Matrix Computations*, J. Hopkins Univ. Press, Baltimore and London. 3ème édition, 1996. 30, 41

[GKW] Grabmeier J., Kaltofen E. & Weispfenning V. (Eds) *Computer Algebra Handbook : Foundations, Applications, Systems.* Springer, 2003. v

[Jac] Jacobson N. *Lectures in abstract algebra, I. Basic concepts*, D. Van Nostrand & Co., Inc., Toronto, 1951. Réédition Springer G.T.M. n° 30, 1975. 1

[KKo] Ker I. Ko *Complexity theory of real functions*, Birhaüser (1991). 148

[Knu] Knuth D. *The art of computer programming, vol. 2 : Seminumerical algorithms*, Second Edition, Addison Wesley Publishing Co, 1981. i, v, 171, 186, 325

[Kou] Koulikov L. *Algèbre et Théorie des Nombres*, Mir, Moscou, 1982.

[LT] Lancaster P. & Tismenetsky M. *The theory of matrices*, Second Edition, Academic Press, 1984. v, 41, 48

[Min] Minc H. *Permanents*, Encyclopedia of Mathematics and its Applications, Vol 6, Addison-Wesley, Reading MA, 1978.

[MRR] Mines R., Richman F. & Ruitenburg W. *A Course in Constructive Algebra*, Universitext, Springer, 1988. 20

[Pan] PAN V. *How to multiply matrices faster*, Lecture Notes in Computer Science n° 179, Springer Verlag, 1984. i

[Rob] ROBERT Y. *The impact of vector and parallel architectures on the Gaussian elimination algorithm*, Manchester Univ. Press, Halsted Press, John Wiley & Sons, New-York Brisbane Toronto, 1990.

[Sav] SAVAGE J. *The Complexity of Computing*, Robert E. Krieger Pub. Comp., Malabar, Florida, 1987. 325

[Sch] SCHRIJVER A. *Theory of integer and linear programming*, John Wiley, New-York, 1985. 51, 136

[Ser] SERRE J.-P. *Cours d'arithmétique*, PUF, Paris, 1970. 182

[Ste] STERN J. *Fondements mathématiques de l'informatique.* Mc Graw-Hill, Paris, 1990. v, 131, 132, 135

[Tur] TURING A., GIRARD J.-Y. *La machine de Turing*, Le Seuil. Points Sciences, Paris, 1995. 131

[Weg] WEGENER I. *The Complexity of Boolean Functions*, Wiley-Teubner Series in Computer Science, Stuttgart, 1987. 321, 324, 328

Articles

[1] ABDELJAOUED J. *Algorithmes Rapides pour le Calcul du Polynôme Caractéristique*, Thèse de l'Université de Franche-Comté Besançon, 1997. 273

[2] ABDELJAOUED J. *Berkowitz Algorithm, Maple and computing the characteristic polynomial in an arbitrary commutative ring,* Computer Algebra MapleTech, **4**/3, Birkhauser Boston 1997.

[3] ABDELJAOUED J. & MALASCHONOK G. *Efficient algorithms for Computing the characteristic Polynomial in a Domain*, Journal of Pure and Applied Algebra, **156**, 2001, pp. 127–145. 81

[4] BAREISS E. *Sylvester's Identity and Multistep Integer-Preserving Gaussian Elimination*, Math. Comput., **22**, 1968, pp. 565–578. 66

[5] Baur W. & Strassen V. *The complexity of partial derivatives*, Theoretical Computer Science, **22**, 1983, pp. 317–330. 126, 281

[6] Berkowitz S. *On computing the determinant in small parallel time using a small number of processors*, Information Processing Letters, **18**, 1984, pp. 147–150. ii, 90, 272, 274, 278

[7] Bini D. *Relation between exact and approximate bilinear algorithms. Applications*, Calcolo, **17**, 1980, pp. 87–97. i

[8] Bini D., Capovani M., Lotti G. & Romani F. $\mathcal{O}(n^{2.7799})$ *complexity of matrix multiplication*, Inf. Proc. Letters, **8**, 1979, pp. 234–235. i

[9] Borodin A., von zur Gathen J. & Hopcroft J. *Parallel matrix and GCD computations*, Information & Control, **52**, 1982, pp. 241–256. 272

[10] Brent R. *The parallel evaluation of general arithmetic expressions*, J. Assoc. Comp. Mach., **21**, 1974, pp. 201–206. 156, 309

[11] Bunch J. & Hopcroft J. *Triangular factorization and inversion by fast matrix multiplication*, Math. Comput., **28**/125, 1974, pp. 231–236. 231

[12] Bürgisser P. *On the structure of Valiant's complexity classes*, Discr. Math. Theoret. Comp. Sci., **3**, 1999, pp. 73–94. 319, 320

[13] Cantor D. & Kaltofen E. *On fast multiplication of polynomials over arbitrary rings*, Acta Informatica, **28**/7, 1991, pp. 693–701. 125, 171, 180

[14] Chandra A. *Maximal parallelism in matrix multiplication*, Report RC – 6193, I.B.M. Watson Research Center, Yorktown Heights, N.Y., 1976. i

[15] Chemla K. *Résonances entre démonstration et procédure. Remarques sur le commentaire de Liu Hui (3ème siècle) aux Neuf Chapitres sur les Procédures Mathématiques (1er siècle)*, Extrême-Orient, Extrême-Occident, **14**, 1992, pp. 91–129. 51

[16] Équipe de recherche « Histoire des sciences et de la philosophie arabes et médiévales » *Les problèmes comme champ d'interprétation des algorithmes dans Les neuf chapitres sur les procédures mathématiques et leurs commentaires. De la résolution des systèmes d'équations linéaires*, Oriens-Occidens, **3**, 2000, pp. 189–234. 51

[17] Chistov A. *Fast parallel calculation of the rank of matrices over a field of arbitrary characteristic*, Proc. FCT '85, Springer Lecture Notes in Computer Science n° 199, 1985, pp. 147–150. 93

[18] Coppersmith D. & Winograd S. *On the asymptotic complexity of matrix multiplication*, SIAM J. Comput., **11**/3, 1982, pp. 472–492. i, 269

[19] Coppersmith D. & Winograd S. *Matrix multiplication via arithmetic progressions*, Proc. 19th Ann. ACM Symp. on the Theory of Computing, 1987, pp. 1–6. i, 187, 268

[20] Coppersmith D. & Winograd S. *Matrix multiplication via arithmetic progressions*, Proc. J. of Symbolic Computation, **9**, 1990, pp. 251–280. 187

[21] Cook S. *The complexity of theorem proving procedures*, Proc. 3rd Ann. ACM Symp. on the Theory of Computing, 1971, pp. 151–158. 135, 138

[22] Csanky L. *Fast parallel inversion algorithms*, SIAM J. Comput., **5**/4, 1976, pp. 618–623. 83, 255

[23] Dantzig G. *Maximization of a linear function of variables subject to linear inequalities*, in : Activity Analysis of Production and Allocation (Koopmans T. ed.) Wiley New-York, 1951, pp. 359–373. 136

[24] Díaz-Toca G., Gonzalez Vega L. & Lombardi H. *Generalizing Cramer's Rule : Solving uniformly linear systems of equations*, SIAM Journal on Matrix Analysis and Applications. **27** n° 3 (2005), 621–637. 34

[25] Díaz-Toca G., Gonzalez Vega L., Lombardi H. & Quitté C. *Modules projectifs de type fini, applications linéaires croisées et inverses généralisés*, Journal of Algebra. **303** 2 (2006), 450–475. 49

[26] Dodgson C. *Condensation of determinants, being a new and brief method for computing their arithmetic values*, Proc. Royal Soc. Lond., **15**, 1866, pp. 150-155. 66

[27] Dornstetter J. *On the equivalence between Berlekamp's and Euclid's algorihms*, IEEE Trans. Inform. Theory, **33**/3, 1987, pp. 428–431. 108, 246

[28] Della Dora J., Dicrescenzo C. & Duval D. *About a new method for computing in algebraic number fields*, Eurocal '85, vol **2**, Springer Lecture Notes in Computer Science **204**, 1985, pp. 289–290. 287

[29] Eberly W. *Very fast parallel matrix and polynomial arithmetic*, Technical Report # 178/85, PhD Thesis, University of Toronto, Canada, 1985. 273

[30] Fich F., von zur Gathen J. & Rackoff C. *Complete families of polynomials*, Manuscript, 1986. 319

[31] Frame J.S. *A simple recurrent formula for inverting a matrix*, (abstract) Bull. Amer. Math. Soc., **55**, 1949, p. 1045. 84

[32] Galil N. & Pan V. *Parallel evaluation of the determinant and of the inverse of a matrix*, Information Processing Letters, **30**, 1989, pp. 41–45. 83, 255, 266

[33] Gastinel N. *Sur le calcul de produits de matrices*, Num. Math., **17**, 1971, pp. 222–229. 199

[34] von zur Gathen J. *Parallel arithmetic computations : a survey*, in Proc. 12th. Internat. Symp. on Mathematical Foundations of Computer Science, Lecture Notes in Computer Science, n° 233, Springer, Berlin, 1986, pp. 93–113. 151

[35] von zur Gathen J. *Feasible Arithmetic Computations : Valiant's Hypothesis*, Journal of Symbolic Computation, **4**, 1987, pp. 137–172. 303

[36] von zur Gathen J. *Parallel Linear Algebra*, in Synthesis of parallel algorithms (J. H. Reif Editor), Morgan Kaufmann publishers, San Mateo, Californie, 1993, pp. 573–617. 152, 153

[37] Giesbrecht, M. *Fast algorithms for rational forms of integer matrices*, in International Symposium on Symbolic and Algebraic Computation, Oxford, UK, ACM Press, 1994, pp. 305–317. 245

[38] Giesbrecht, M. *Nearly optimal algorithms for canonical matrix forms*, SIAM Journal on Computing, **24**/5, 1995, pp. 948–969. 245

[39] Giusti M. & Heintz J. *La détermination des points isolés et de la dimension d'une variété algébrique peut se faire en temps polynomial*, in Computational Algebraic Geometry & Commutative Algebra, eds : Eisenbud, Robbiano. Cambridge University Press, 1993, pp. 216–256. 144

[40] Giusti M., Heintz J, Morais J.-E., Morgenstern, J. & Pardo, L.-M. *Straight-line programs in geometric elimination theory*, J. Pure Appl. Algebra, **124**/1-3, 1998, 1, pp. 101–146. 144

[41] Gonzalez Vega L., Lombardi H., Recio T. & Roy M.-F. *Spécialisation de la suite de Sturm et sous-résultants*, Informatique Théorique et Applications (R.A.I.R.O.), **24**, 1990, pp. 561–588. 288

[42] González-Vega L., Rouillier F., Roy M.-F. & Trujillo G. *Symbolic Recipes for Real Solutions*, pp. 121-167 dans [CCS]. 288

[43] Håstad J. *Tensor rank is $\mathcal{NP}$-complete*, in Automata, Languages and Programming Proc. of the 16th International Colloquium, Springer Lecture Notes in Computer Science, **372**, 1989, pp. 451–460. 200

[44] Heintz J. & Sieveking M. *Lower bounds for polynomials with algebraic coefficients*, Theoretical Computer Science **11**, 1980, pp. 321–330. 315

[45] Hoover J. *Feasible real functions and arithmetic circuits*, SIAM J. Comput., **19**/1, 1990, pp. 182–204. 148

[46] Hopcroft J. & Musinski *Duality applied to the complexity of matrix multiplication and other bilinear forms*, SIAM J. Comp., **2**, 1973, pp. 159–173. 202

[47] Hyafil L. *On the parallel evaluation of multivariate polynomials*, SIAM J. Comput., **8**, 1979, pp. 120–123. 312

[48] Kakeya R. *On fundamental systems of symmetric functions*, Jap. J. of Math., **2**, 1927, pp. 69–80. 258

[49] Kaltofen E. *On computing determinants of matrices without divisions*, I.S.S.A.C.'92, ACM, 1992, pp. 342–349. 246, 248

[50] Kaltofen E. & Pan V. *Processor efficient parallel solution of linear systems over an abstract field*, in Proc. 3rd Ann. Parallel Algo. Architectures, ACM Press (July 1991), pp. 180–191. 155, 253

[51] Kaltofen E. & Pan V. *Processor efficient parallel solution of linear systems II : the general case*, in Proc. 33rd IEEE Symp. Foundations Of Computer Science, Pittsburg, USA, 1992, pp. 714–723. 155

[52] Kaltofen E. & Singer M. *Size efficient parallel algebraic circuits for partial derivatives*, in Proc. IV Intern. Conf. on Computer Algebra in Physical Research. World Scientific, Singapour, 1991, pp. 113–145. 281

[53] Kaltofen E. & Villard G. *On the complexity of computing determinants*, In Proc. Fifth Asian Symposium on Computer Mathematics (ASCM 2001) pp. 13–27. 254

[54] Kaltofen E. & Villard G. *Computing the sign or the value of the determinant of an integer matrix, a complexity survey*, à paraître dans Computational Applied Math. Special issue on Congrès International Algèbre Linéaire et Arithmétique : Calcul Numérique, Symbolique et Parallèle, Rabat, Maroc, May 2001. 17 pages. 254

[55] Karmakar N. *A new polynomial time algorithm for linear programming*, Combinatorica, **4**/4, 1984, pp. 373-395. 136

[56] Karp R., Lipton R. *Turing Machines that take advice*, Logic and arithmetic, int. Symp., Zurich 1980, Monogr. L'Enseign. Math. **30**, 1982, pp. 255–273,. 324

[57] Karp R. & Ramachandran V. *Parallel algorithms for shared-memory machines*, Handbook of Theoretical Computer Science, Edited by J. van Leeuwen, Elsevier Science Publishers B.V., 1990, pp. 871–941. 152, 153

[58] Keller-Gehrig W. *Fast algorithms for the characteristic polynomial*, Theoretical Computer Science, **36**, 1985, pp. 309–317. 237, 243

[59] Ker-I. KO & Friedman H. *Computational complexity of real functions*, Theoretical Computer Science, **20**, 1982, pp. 323–352. 148

[60] Khachiyan L. *Polynomial algorithms in linear programming*, Soviet Math. Doklady, **20**, 1979, pp. 191–194. 136

[61] Khachiyan L. *A polynomial algorithm in linear programming*, Computational Mathematics and Mathematical Physics, **20**, 1980, pp. 53–72. 136

[62] Kruskal C., Rudolph L. & Snir M. *A complexity theory of efficient parallel algorithms*, Theoretical Computer Science, **71**, 1990, pp. 95–132. 155

[63] Labhalla S., Lombardi H. & Moutai E. *Espaces métriques rationnellement présentés et complexité, le cas de l'espace des fonctions réelles uniformément continues sur un intervalle compact*, Theoretical Computer Science, **250**/1-2, 2001, pp. 265–332. 148

[64] Ladner R. & Fischer M. *Parallel Prefix Computation*, Journal of the ACM, **27**/4, 1980, pp. 831–838. 159, 165, 170, 280

[65] Le Verrier U. *Sur les variations séculaires des éléments elliptiques des sept planètes principales : Mercure, Vénus, La Terre, Mars, Jupiter, Saturne et Uranus*, J. Math. Pures Appli., **4**, 1840, pp. 220–254. 82

[66] Lickteig T., Roy M.-F. *Sylvester-Habicht sequences and fast Cauchy index computation*, Journal of Symbolic Computation, **31**, 2001, pp. 315–341. 253

[67] Lombardi H., Roy M.-F., Safey El Din M. *New structure theorems for subresultants*, Journal of Symbolic Computation **29**/3-4, 2000, pp. 663–690. 288

[68] R. Loos, *Generalized polynomial remainder sequences*, in : Computer algebra, symbolic and algebraic computation, Springer-Verlag, Berlin, 1982. 288

[69] Matera G. & Turull Torres J.-M. *The space complexity of elimination : upper bounds*, Foundations of computational mathematics (Rio de Janeiro, 1997), pp. 267–276, Springer, Berlin. 282

[70] Miller G., Ramachandran V., Kaltofen E. *Efficient Parallel Evaluation of Straight-Line Code and Arithmetic Circuits*, SIAM J. Comput. **17**/4, 1988, pp. 687–695.

[71] Moenck *Fast computation of GCDs*, Proc. STOC'73, pp. 142–151. 253

[72] Morgenstern J. *How to compute fast a function and all its derivatives (a variation on the theorem of Baur-Strassen)*, SIGACT News, **16**/4, 1985, pp. 60–62. 126

[73] Mulmuley K. *A fast parallel algorithm to compute the rank of a matrix over an arbitrary field*, Combinatorica, **7**/1, 1987, pp. 101–104. 34, 47

[74] Ostrowski A. *On two problems in abstract algebra connected with Horner's rule*, Studies in Math. and Mec. presented to Richard von Mises, Academic Press N.Y, 1954, pp. 40–48.

[75] Pan V. *Computation schemes for a product of matrices and for the inverse matrix*, Uspehi Mat. Nauk, **5**/167, 1972, pp. 249–250. 202

[76] Prasad K., Bapat R. *The generalized Moore-Penrose inverse.* Linear Algebra Appl. **165**, 1992, 59–69. 49

[77] Preparata F. & Sarwate D. *An improved parallel processor bound in fast matrix inversion*, Inf. Proc. Letters, **7**/3, 1978, pp. 148–150. 83, 255, 260

[78] Revol N. *Complexité de l'évaluation parallèle de circuits arithmétiques*, Thèse de l'Institut National Polytechnique de Grenoble, Août 1994.

[79] Samuelson P. *A method for determining explicitely the characteristic equation*, Ann. Math. Statist., **13**, 1942, pp. 424–429. ii, 13, 90, 272

[80] Sasaki T. & Murao H. *Efficient Gaussian elimination method for symbolic determinants and linear systems*, ACM Trans. Math. Software, **8**/4, 1982, pp. 277–289. 70

[81] Schönhage R. *Fast parallel computation of characteristic polynomials by Le Verrier's power sum method adapted to fields of finite characteristic*, Proc. 20th ICALP, Lecture Notes in Computer Science n° 700, Springer, 1993, pp. 410-417. 258, 259

[82] Schönhage R. *Partial and total matrix multiplication*, Siam J. Comp., **10**, 1981, pp. 434–445. i, 208, 215, 221

[83] Skyum S. & Valiant L. *A complexity theory based on Boolean algebra*, J. Assoc. Comp. Mach., **32**/2, 1985, pp. 484–502. 321

[84] Souriau J.-M. *Une méthode pour la décomposition spectrale et l'inversion des matrices*, C.R. Acad. Sciences, **227**, 1948, pp. 1010–1011. 83, 84

[85] Spira P. *On Time hardware Complexity Tradeoffs for Boolean Functions*, Proceedings of Fouth Hawaii International Symposium on System Sciences, 1971, pp. 525–527. 325

[86] Strassen V. *Gaussian elimination is not optimal*, Numerische Mathematik **13**, 1969, pp. 354–356. i, 186, 191

[87] Strassen V. *Vermeidung von divisionen*, Crelle J. Reine Angew. Math., **264**, 1973, pp. 184–202. 120, 199

[88] Strassen V. *Polynomials with rational coefficients which are hard to compute*, Siam J. Comp., **3**, 1974, pp. 128–149. 315

[89] Strassen V. *The work of Valiant*, Proc. International Congress of Mathematicians, Berkeley, USA, 1986.

[90] Strassen V. *Relative bilinear complexity and matrix multiplication*, Crelle J. Reine Angew. Math., **375/376**, 1987, pp. 406–443. i, 187, 199

[91] Strassen V. *Algebraic complexity theory*, in Handbook of Theoretical Computer Science (ed. J. van Leeuwen) Vol A. Chap. 11, Elsevier Science Publishers B.V., 1990, pp. 634–672. 199

[92] Valiant L. *Completeness classes in algebra*, in : Proc. 11th ACM STOC, 1979, pp. 249–261. 303

[93] Valiant L. *The complexity of computing the permanent*, Theoretical Computer Science **8**, 1979, pp. 189–201. 141, 303

[94] Valiant L. *Reducibility by algebraic projections*, in : Logic and Algorithmic, Symposium in honour of Ernst Specker, Enseign. Math **30**, 1982, pp. 365–380. 303

[95] Valiant L., Skyum S., Berkowitz S. & Rackoff C. *Fast parallel computation of polynomials using few processors*, SIAM J. Comput., **12**/4, 1983, pp. 641–644. 271, 312

[96] Wiedemann D. *Solving sparse linear equations over finite fields*, I.E.E.E. Trans. Inf. Theory **32**, 1986, pp. 54–62. 109, 110

[97] Winograd S. *On the multiplication of 2 by 2 matrices*, Linear Algebra Appl., **4**, 1971, pp. 381–388. 186

Index des termes

affectation sans scalaires, 116
$\mathcal{A}$ – module, 5
anneau des développements limités à l'ordre n, 94, 121
anneau des polynômes non commutatifs, 199
application
  bilinéaire, 197
  booléenne, 322
  quadratique, 205
approximation d'ordre q d'une application bilinéaire, 211

Berkowitz
  algorithme de, 91
Berlekamp/Massey
  algorithme de, 108
bien parallélisé
  algorithme, 147
bilinéaire
  application, 197
  calcul, 199
  complexité, 199
binaire
  complexité, 144

calcul
  bilinéaire, 199
  bilinéaire approximatif, 211
  quadratique, 205
Cayley-Hamilton
  théorème de, 12
centre d'élimination des divisions, 122
Chistov
  algorithme de, 94
circuit
  arithmétique, 116
    avec divisions, 116
    homogène, 118
    sans division, 116
  booléen, 118, 322
code d'un k-uple d'entiers, 139
coefficient de Gram
  d'une matrice, 37
  généralisé, 45
comatrice, 2
compagnon
  matrice, 16
complexité
  arithmétique, 142
  arithmétique d'une famille de circuits , 142
  bilinéaire, 199
  binaire, 143
  binaire d'une famille de circuits , 144
  multiplicative, 205
conjecture addititve, 224
Cramer, 7
  identifés de, 7

degré de parallélisme, 160
description

d'un polynôme, 308
d'une fonction booléenne, 323
instantanée, 139
Dodgson-Jordan-Bareiss
formule de, 67

élémentaire
matrice, 54
transformation, 54
élimination des divisions (Strassen), 122
éliminer les divisions
à la Strassen dans un circuit arithmétique, 122
entier bâton, 139
essentielle
multiplication, 116
exposant
acceptable pour la multiplication des matrices carrées , 204
de la multiplication des matrices carrées , 204
expression
arithmétique, 304
booléenne, 322

famille uniforme
de circuits arithmétiques, 149
de circuits booléens, 150
fonction booléenne, 322
forme algébrique déployée
d'une famille de fonctions booléennes, 334
d'une fonction booléenne, 333
forme normale
conjonctive, 322
disjonctive, 322
formule
de Binet-Cauchy, 4
de Samuelson, 13
Frobenius
algorithme de, 100
matrice de, 100

Gauss
méthode du pivot, 53
Gram
coefficient de, 37
coefficient généralisé de, 45
polynôme de, 45

Hadamard
inégalité de, 31
Hankel
matrice de, 23
Hessenberg
algorithme de, 76
Horner
expression de, 305
parallélisation de l'expression, 312
schéma de, 12

inverse de Moore-Penrose
en rang r, 38
inverse Moore-Penrose
généralisé en rang r, 47

Jordan-Bareiss
méthode de, 65
méthode modifiée , 70

Kakeya
critère de, 258
Krylov
sous-espace de, 17

Le Verrier
algorithme de, 83
hypothèses de l'algorithme de, 89

littéral, 322
longueur
d'un programme d'évaluation, 115
multiplicative, 116
stricte, 116
LU-décomposition, 56
LUP-décomposition , 63

matrice
adjointe, 2
caractéristique, 11
caractéristique adjointe, 11
compagnon d'un polynôme unitaire, 16
de Frobenius, 100
de Hankel, 23
de Toeplitz, 23
élémentaire , 54
fortement régulière, 5
régulière, 5
rang d'une, 5
singulière, 5
structurée, 23
trace d'une, 2
triangulaire, 53
unimodulaire, 55
unitriangulaire, 54
mineur
connexe, 71
d'une matrice, 2
principal, 3
module
libre, 6
sur un anneau, 5
Moore-Penrose
inverse de, 38
multiplicité
algébrique, 14
géométrique, 86

Newton
relation de, 28
somme de, 26
non déterministe, 137
$\mathcal{NP}$ - complet , 138

p-bornée, 307, 323, 326
famille d'applications booléennes, 326
famille d'expressions arithmétiques, 307
famille d'expressions booléennes, 323
famille de circuits arithmétiques, 307
famille de circuits booléens, 323
famille de fonctions booléennes, 323
famille de polynômes, 307
p-calculable, 307, 323
famille de fonctions booléennes, 323
famille de polynômes, 307
p-descriptible, 308, 323
en expressions, 308, 324
p-évaluable, 307
p-exprimable, 307, 323
famille de fonctions booléennes, 323
famille de polynômes, 307
p-famille
d'applications booléennes, 326
de fonctions booléennes, 323
de polynômes, 307
p-projection, 316
paramètre d'entrée
d'un programme d'évaluation, 115
$\tilde{\text{P}}$LUP-décomposition , 63

polylogarithmique, 147
polynôme
caractéristique, 11
cyclotomique, 181
générateur d'une suite, 21
générateur minimal d'une suite récurrente linéaire, 22
minimal, 17
minimal d'une suite récurrente linéaire, 22
réciproque, 95
polynôme de Gram (généralisé), 45
Preparata&Sarwate
algorithme de, 89
produit matriciel à trous, 209
profondeur
d'un programme d'évaluation, 115
d'une expression booléenne, 322
multiplicative, 116
stricte, 116
programme d'évaluation
arithmétique, 114
booléen, 115
largeur d'un, 115
longueur d'un, 115
paramètre d'entrée d'un, 115
profondeur d'un, 115
taille d'un, 115
variable d'affectation d'un, 114
projection, 316
d'une expression, 316

qp-calculable, 307
qp-évaluable, 307
qp-exprimable, 307
qp-projection, 316
quadratique
application, 205
calcul, 205
quasi-polynomial, 306

racine de l'unité
primitive n-ème, 175
principale n-ème, 175
rang marginal, 211
rang tensoriel
d'une application bilinéaire, 199
marginal, 211
relation de Newton, 28
représentation
creuse, 115
dense, 115
par expressions, 305

Samuelson, 13
Schönhage
inégalité asymptotique, 225
variante de la méthode de Csanky, 258
simulation
en évaluation, 330
somme de Newton, 26
somme directe (de deux applications bilinéaires), 221
somme disjointe (de deux applications bilinéaires), 221
Souriau-Faddeev-Frame
algorithme de, 85
sous-matrice
principale, 3
principale dominante, 3
suite récurrente linéaire, 21
Sylvester
identités de, 9
système fondamental
de polynômes symétriques, 27

de fractions rationnelles symétriques, 27

taille
d'un programme d'évaluation, 115
d'une expression artithmétique, 304
d'une expression booléenne, 322
tenseur
coordonnées d'un, 199
élémentaire, 198
Théorème chinois, 32
Toeplitz
matrice de, 23
transformation élémentaire, 54
unimodulaire, 55
triangulaire
matrice, 53

unimodulaire
transformation élémentaire, 55
unitriangulaire
matrice, 54

valeur propre, 14
multiplicité algébrique d'une, 14
multiplicité géométrique d'une, 86

Wiedemann
algorithme de, 109